



This is a digital copy of a book that was preserved for generations on library shelves before it was carefully scanned by Google as part of a project to make the world's books discoverable online.

It has survived long enough for the copyright to expire and the book to enter the public domain. A public domain book is one that was never subject to copyright or whose legal copyright term has expired. Whether a book is in the public domain may vary country to country. Public domain books are our gateways to the past, representing a wealth of history, culture and knowledge that's often difficult to discover.

Marks, notations and other marginalia present in the original volume will appear in this file - a reminder of this book's long journey from the publisher to a library and finally to you.

Usage guidelines

Google is proud to partner with libraries to digitize public domain materials and make them widely accessible. Public domain books belong to the public and we are merely their custodians. Nevertheless, this work is expensive, so in order to keep providing this resource, we have taken steps to prevent abuse by commercial parties, including placing technical restrictions on automated querying.

We also ask that you:

- + *Make non-commercial use of the files* We designed Google Book Search for use by individuals, and we request that you use these files for personal, non-commercial purposes.
- + *Refrain from automated querying* Do not send automated queries of any sort to Google's system: If you are conducting research on machine translation, optical character recognition or other areas where access to a large amount of text is helpful, please contact us. We encourage the use of public domain materials for these purposes and may be able to help.
- + *Maintain attribution* The Google "watermark" you see on each file is essential for informing people about this project and helping them find additional materials through Google Book Search. Please do not remove it.
- + *Keep it legal* Whatever your use, remember that you are responsible for ensuring that what you are doing is legal. Do not assume that just because we believe a book is in the public domain for users in the United States, that the work is also in the public domain for users in other countries. Whether a book is still in copyright varies from country to country, and we can't offer guidance on whether any specific use of any specific book is allowed. Please do not assume that a book's appearance in Google Book Search means it can be used in any manner anywhere in the world. Copyright infringement liability can be quite severe.

About Google Book Search

Google's mission is to organize the world's information and to make it universally accessible and useful. Google Book Search helps readers discover the world's books while helping authors and publishers reach new audiences. You can search through the full text of this book on the web at <http://books.google.com/>



Über dieses Buch

Dies ist ein digitales Exemplar eines Buches, das seit Generationen in den Regalen der Bibliotheken aufbewahrt wurde, bevor es von Google im Rahmen eines Projekts, mit dem die Bücher dieser Welt online verfügbar gemacht werden sollen, sorgfältig gescannt wurde.

Das Buch hat das Urheberrecht überdauert und kann nun öffentlich zugänglich gemacht werden. Ein öffentlich zugängliches Buch ist ein Buch, das niemals Urheberrechten unterlag oder bei dem die Schutzfrist des Urheberrechts abgelaufen ist. Ob ein Buch öffentlich zugänglich ist, kann von Land zu Land unterschiedlich sein. Öffentlich zugängliche Bücher sind unser Tor zur Vergangenheit und stellen ein geschichtliches, kulturelles und wissenschaftliches Vermögen dar, das häufig nur schwierig zu entdecken ist.

Gebrauchsspuren, Anmerkungen und andere Randbemerkungen, die im Originalband enthalten sind, finden sich auch in dieser Datei – eine Erinnerung an die lange Reise, die das Buch vom Verleger zu einer Bibliothek und weiter zu Ihnen hinter sich gebracht hat.

Nutzungsrichtlinien

Google ist stolz, mit Bibliotheken in partnerschaftlicher Zusammenarbeit öffentlich zugängliches Material zu digitalisieren und einer breiten Masse zugänglich zu machen. Öffentlich zugängliche Bücher gehören der Öffentlichkeit, und wir sind nur ihre Hüter. Nichtsdestotrotz ist diese Arbeit kostspielig. Um diese Ressource weiterhin zur Verfügung stellen zu können, haben wir Schritte unternommen, um den Missbrauch durch kommerzielle Parteien zu verhindern. Dazu gehören technische Einschränkungen für automatisierte Abfragen.

Wir bitten Sie um Einhaltung folgender Richtlinien:

- + *Nutzung der Dateien zu nichtkommerziellen Zwecken* Wir haben Google Buchsuche für Endanwender konzipiert und möchten, dass Sie diese Dateien nur für persönliche, nichtkommerzielle Zwecke verwenden.
- + *Keine automatisierten Abfragen* Senden Sie keine automatisierten Abfragen irgendwelcher Art an das Google-System. Wenn Sie Recherchen über maschinelle Übersetzung, optische Zeichenerkennung oder andere Bereiche durchführen, in denen der Zugang zu Text in großen Mengen nützlich ist, wenden Sie sich bitte an uns. Wir fördern die Nutzung des öffentlich zugänglichen Materials für diese Zwecke und können Ihnen unter Umständen helfen.
- + *Beibehaltung von Google-Markenelementen* Das "Wasserzeichen" von Google, das Sie in jeder Datei finden, ist wichtig zur Information über dieses Projekt und hilft den Anwendern weiteres Material über Google Buchsuche zu finden. Bitte entfernen Sie das Wasserzeichen nicht.
- + *Bewegen Sie sich innerhalb der Legalität* Unabhängig von Ihrem Verwendungszweck müssen Sie sich Ihrer Verantwortung bewusst sein, sicherzustellen, dass Ihre Nutzung legal ist. Gehen Sie nicht davon aus, dass ein Buch, das nach unserem Dafürhalten für Nutzer in den USA öffentlich zugänglich ist, auch für Nutzer in anderen Ländern öffentlich zugänglich ist. Ob ein Buch noch dem Urheberrecht unterliegt, ist von Land zu Land verschieden. Wir können keine Beratung leisten, ob eine bestimmte Nutzung eines bestimmten Buches gesetzlich zulässig ist. Gehen Sie nicht davon aus, dass das Erscheinen eines Buchs in Google Buchsuche bedeutet, dass es in jeder Form und überall auf der Welt verwendet werden kann. Eine Urheberrechtsverletzung kann schwerwiegende Folgen haben.

Über Google Buchsuche

Das Ziel von Google besteht darin, die weltweiten Informationen zu organisieren und allgemein nutzbar und zugänglich zu machen. Google Buchsuche hilft Lesern dabei, die Bücher dieser Welt zu entdecken, und unterstützt Autoren und Verleger dabei, neue Zielgruppen zu erreichen. Den gesamten Buchtext können Sie im Internet unter <http://books.google.com> durchsuchen.

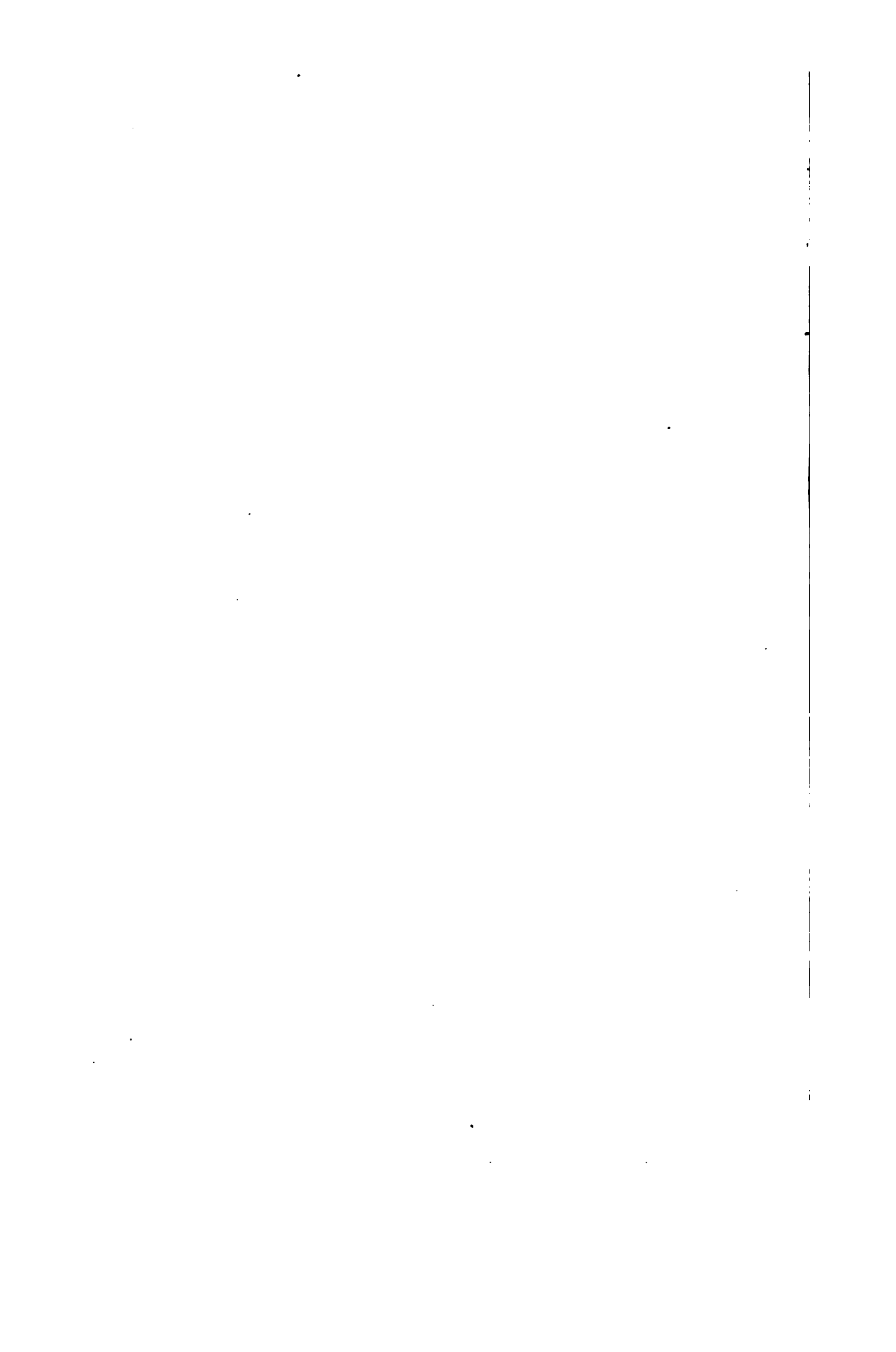




LELAND • STANFORD • JUNIOR • UNIVERSITY



49.947
179

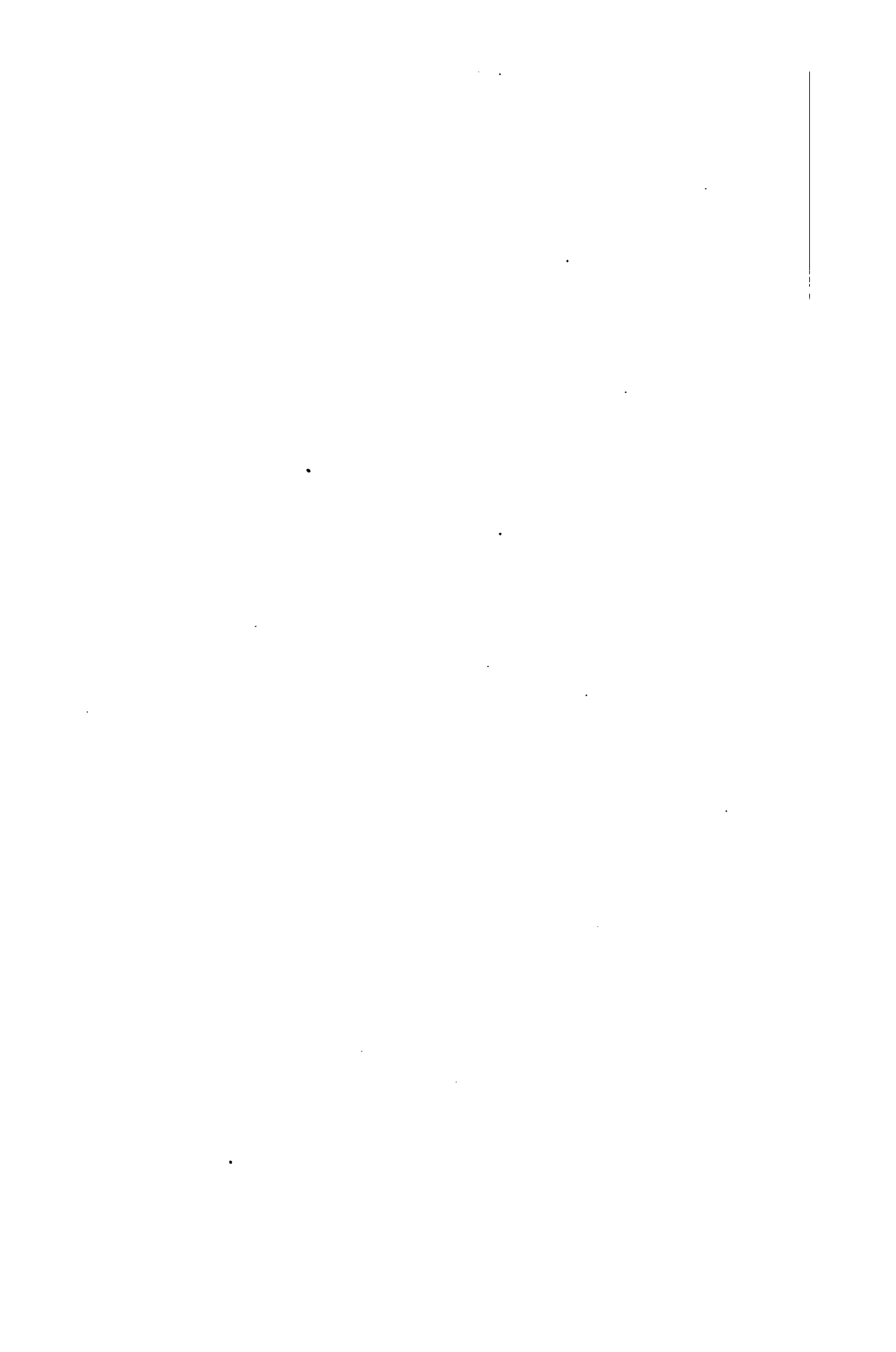


MATERIALIEN

ZUR

MINERALOGIE RUSSLANDS.

NEUNTER BAND.



MATERIALIEN

ZUR

MINERALOGIE RUSSLANDS

VON

NIKOLAI v. KOKSCHAROW,

Berg-Ingenieur, wirklichem Mitgliede der Kaiserl. Akademie der Wissenschaften zu St.-Petersburg, Director und Ehren-Mitgliede der Kaiserl. Mineralogischen Gesellschaft zu St.-Petersburg, Ehren-Mitgliede der Kaiserl. Universitäten zu St.-Petersburg, Moskau, Kazan und der Kaiserl. Medicinischen Akademie zu St.-Petersburg, Doctor der Mineralogie und Ehren-Mitgliede der Kaiserl. St. Wladimir Universität in Kiew, Correspondirendem Mitgliede der Akademie der Wissenschaften zu Paris, Turin, München, Rom, Kopenhagen, New-York und Philadelphia, der Königl. Gesellschaft der Wissenschaften zu Göttingen, der Kaiserl.-Königl. Geologischen Reichsanstalt zu Wien, der Geologischen Gesellschaft zu London, der Naturforschenden Gesellschaft in Freiburg und der Deutschen Leopoldinischen Akademie der Wissenschaften, Wirklichem Mitgliede der Kaiserl. Geographischen und Freien Oekonomischen Gesellschaft zu St.-Petersburg, und des Naturforschenden Vereins zu Moskau, Ehren-Mitgliede der Mineralogischen Gesellschaft zu Paris, des Natur-Wissenschaften Vereins für Steiermark, der Oberhessischen Gesellschaft für Natur- und Heilkunde zu Giessen, des Naturhistorischen Vereins »Lotos« in Prag, des Freien Deutschen Hochstiftes für Wissenschaften, Künste und allgemeine Bildung in Goethe's Vaterhause zu Frankfurt am Main, der Pharmaceutischen Gesellschaft zu St.-Petersburg, der Naturforschenden-Vereine zu St.-Petersburg, Moskau, Charkow und Riga.

NEUNTER BAND.

St.-Petersburg.

Gedruckt bei ALEXANDER JACOBSON.

1884.

Дозволено цензурою. С.-Петербургъ, 23-го Ноября 1883 года.

128647
УРАДУ
КОМУ. ОБЩАТАС ОНА
УТРАДУ

Beitrag zu meiner Notiz über Krystallmessungen des Pachnoliths.

In meiner Notiz über den Pachnolith *) habe ich die Winkel für denselben berechnet und die Figur eines Zwillingskrystalls gezeichnet nach den brieflichen Angaben meines hochgeehrten Freundes A. Descloizeaux. Als die erwähnte Abhandlung schon im Druck erschienen war, schrieb mir A. Descloizeaux, dass, nach seinen neueren optischen und krystallographischen Untersuchungen, die Zwillingsene in den Pachnolith-Zwillingen nicht parallel mit der längeren Diagonale der Basis läuft, wie man gewöhnlich geglaubt hat, sondern parallel mit der *kürzeren*, was er **) so wie auch P. Groth ***) jetzt schon publicirt haben.

Aus diesem Grund müssen meine früheren Berechnungen verschiedener Elemente und einige Benennungen der Krystallformen etwas geändert werden, indem jetzt die klinodiagonale Kante des Hauptprismas $m = \infty P$ die scharfe und nicht, wie früher, die stumpfe Kante sein muss, u. s. w.

Also, wenn wir die Elemente der Grundform (monoklinoëdrische Pyramide) des Pachnoliths folgender Maassen bezeichnen wollen: $a =$ Verticalaxe, $b =$ Klinodiagonale, $c =$ Orthodiagonale und $\gamma =$ Winkel zwischen den Axen a und b , so haben wir:

*) Vergl. „Materialien zur Mineralogie Russlands“ 1878—1882, Bd. VIII, S. 425. Auch „Bulletin de l'Academie Impériale des Sciences de St.-Petersbourg 1882.

**) Bulletin de la Société Minéralogique de France, 1882, tome V, p. 310.

***) Zeitschrift für Krystallographie und Mineralogie von P. Groth, 1883, Bd. VII, S. 465.

$$(1) \ a : b : c = 1,53200 : 1,16260 : 1 \left. \vphantom{a : b : c} \right\} \text{ nach Groth *).}$$

$$\gamma = 89^\circ 40' 0''$$

$$(2) \ a : b : c = 1,54355 : 1,16347 : 1 \left. \vphantom{a : b : c} \right\} \text{ nach Descloizeaux **).}$$

$$\gamma = 89^\circ 41' 0''$$

$$(3) \ a : b : c = 1,52110 : 1,16390 : 1 \left. \vphantom{a : b : c} \right\} \text{ nach Krenner ***).}$$

$$\gamma = 89^\circ 43' 36''$$

$$(4) \ a : b : c = 1,54413 : 1,16427 : 1 \left. \vphantom{a : b : c} \right\} \text{ nach Kokscharow.}$$

$$\gamma = 89^\circ 45' 30''$$

Also der *mittlere* Werth aus (1), (2), (3) und (4) wird:

$$a : b : c = 1,535190 : 1,163560 : 1$$

$$\gamma = 89^\circ 42' 30''$$

Wenn wir von Descloizeaux das berechnete Axenverhältniss in Rücksicht nehmen wollen ($a : b : c = 1,54355 : 1,16347 : 1$, $\gamma = 89^\circ 41' 0''$), so erhalten wir:

Durch Rechnung, nach von Descloizeaux entlehntem Axenverhältnisse: Durch Messung.

$$m : m \left. \vphantom{m : m} \right\} = 81^\circ 21' 32'' \dots \left\{ \begin{array}{l} 81^\circ 20' \text{ bis } 32' \text{ Descloiz.} \\ 81 \ 24 \text{ Groth.} \\ 81 \ 20 \text{ Krenner.} \\ 81 \ 19 \text{ Kokscharow.} \end{array} \right.$$

*) P. Groth. Tabellarische Uebersicht der Mineralien, 1882, Zweite Auflage, S. 41. Zeitschrift für Krystallographie, 1883, Bd. VII, S. 462.

**) Bulletin de la Société Minéralogique de France, 1882, tome V, p. 313.

***) D-r Josef Alexander Krenner: „Die Grönländischen Minerale der Kryolithgruppe“, 1883. Budapest, S. 18 (Separat Abdruck aus den mathematischen und naturwissenschaftlichen Berichten aus Ungarn, Bd. I, 1883).

$$\left. \begin{array}{l} m : m \\ \text{Orthod. Kante} \end{array} \right\} = 98^\circ 38' 28'' \dots \left\{ \begin{array}{l} 98^\circ 23' \text{ bis } 40' \text{ Déscloiz.} \\ 98 \ 36 \text{ Knop.} \\ 98 \ 42 \text{ Kokscharow.} \end{array} \right.$$

$$p : \frac{m}{m} = 90 \ 19 \ 0 \dots \quad , \quad ,$$

$$\left. \begin{array}{l} p : p' \\ \text{Zwillings-} \\ \text{kante} \end{array} \right\} = 179 \ 22 \ 0 \dots \left\{ \begin{array}{l} 179 \ 20\frac{1}{2} \text{ Déscloizeaux.} \\ 179 \ 20 \text{ Groth.} \\ 179 \ 30 \text{ (ungef.) Krenner.} \\ 179 \ 32 \text{ Kokscharow.} \end{array} \right.$$

$$\left. \begin{array}{l} p : o \\ \text{anliegende} \end{array} \right\} = 116 \ 19 \ 55 \dots \quad , \quad ,$$

$$p : m = 90 \ 12 \ 23 \dots \quad , \quad ,$$

$$\left. \begin{array}{l} o : m \\ \text{anliegende} \end{array} \right\} = 153 \ 52 \ 28 \dots \left\{ \begin{array}{l} 153 \ 52 \text{ Déscloizeaux.} \\ 154 \ 10 \text{ Knop.} \\ 153 \ 32 \text{ Krenner.} \\ 153 \ 52 \text{ Kokscharow.} \end{array} \right.$$

$$\left. \begin{array}{l} o : o' \\ \text{über } p, \\ \text{Zwillingsk.} \end{array} \right\} = 52 \ 15 \ 4 \dots \left\{ \begin{array}{l} 52 \ 19 \text{ (?) Déscloizeaux.} \\ 52 \ 10 \text{ Kokscharow.} \end{array} \right.$$

$$\left. \begin{array}{l} o : m' \\ \text{über } o, \\ \text{Zwillingsk.} \end{array} \right\} = 26 \ 7 \ 32 \dots \quad 26 \ 5 \text{ Déscloizeaux.}$$

$$\left. \begin{array}{l} p : s \\ \text{anliegende} \end{array} \right\} = 115 \ 59 \ 58 \dots \quad , \quad ,$$

$$\left. \begin{array}{l} s : m \\ \text{anliegende} \end{array} \right\} = 153 \ 47 \ 39 \dots \quad 153 \ 36 \text{ (?) Déscloizeaux.}$$

$$\left. \begin{array}{l} o : s \\ \text{über } p \end{array} \right\} = 52 \ 19 \ 53 \dots \quad , \quad ,$$

$$\left. \begin{array}{l} s : s' \\ \text{über } p, \\ \text{Zwillingsk.} \end{array} \right\} = 52 \ 24 \ 42 \dots \quad 52 \ 26 \text{ (?) Déscloizeaux.}$$

$$\left. \begin{array}{l} s : m' \\ \text{über } s', \\ \text{Zwillingsk.} \end{array} \right\} = 26 \ 12 \ 21 \dots \quad 26 \ 41 \text{ (?) Déscloizeaux.}$$

$$\left. \begin{array}{l} o : o \\ \text{Klinod. Polk.} \end{array} \right\} = 94^{\circ} 21' 42'' \dots \left\{ \begin{array}{l} 94^{\circ} 19' \text{ bis } 26' \text{ Déscloiz.} \\ 94 \ 38 \text{ Krenner.} \end{array} \right.$$

$$\left. \begin{array}{l} s : s \\ \text{Klinod. Polk.} \end{array} \right\} = 94 \ 3 \ 30 \dots 93 \ 56 \text{ Déscloizeaux.}$$

$$\left. \begin{array}{l} o : o' \\ \text{Von der Seite,} \\ \text{Zwillingsk.} \end{array} \right\} = 108 \ 9 \ 50 \dots \left\{ \begin{array}{l} 108 \ 15 \ (?) \text{ Déscloizeaux.} \\ 108 \ 14 \text{ Groth.} \end{array} \right.$$

$$\left. \begin{array}{l} s : s' \\ \text{Von der Seite,} \\ \text{Zwillingsk.} \end{array} \right\} = 108 \ 37 \ 2 \dots \left\{ \begin{array}{l} 108 \ 20 \text{ bis } 24 \ (?) \text{ Déscloiz.} \\ 108 \ 40 \ (?) \text{ Knop.} \\ 108 \ 37 \ (?) \text{ Kokscharow.} \end{array} \right.$$

$$\left. \begin{array}{l} o : s \\ \text{Von der Seite} \end{array} \right\} = 108 \ 23 \ 26 \dots \quad \cdot \quad \cdot$$

Und weiter berechnet sich für:

$$s = + P.$$

$$X = 47^{\circ} \ 1' \ 15''$$

$$Y = 54 \ 18 \ 31$$

$$Z = 64 \ 0 \ 2$$

$$\mu = 37^{\circ} \ 7' \ 20''$$

$$\nu = 53 \ 11 \ 40$$

$$\rho = 32 \ 56 \ 14$$

$$\sigma = 40 \ 40 \ 44$$

$$o = -P.$$

$$X' = 47^{\circ} \ 10' \ 51''$$

$$Y' = 54 \ 4 \ 55$$

$$Z' = 63 \ 40 \ 5$$

$$\mu' = 36^{\circ} \ 53' \ 34''$$

$$\nu' = 52 \ 47 \ 26$$

$$\rho = 32 \ 56 \ 14$$

$$\sigma = 40 \ 40 \ 44$$

$$m = \infty P.$$

$$X = 40^{\circ} \ 40' \ 46''$$

$$Y = 49 \ 19 \ 14$$

Ungeachtet, dass der grösste Theil der von Descloizeaux untersuchten Pachnolith-Krystalle Zwillinge waren, so ist es ihm doch gelungen auch einige einfache Krystalle zu beobachten, in welchen nicht nur die Flächen der negativen Hemipyramide $o = -P = d^{\frac{1}{2}}$, sondern auch die der positiven Hemipyramide $s = +P = b^{\frac{1}{2}}$ vereinigt waren. Descloizeaux schreibt mir über diesen Gegenstand folgendes:

•Die Differenzen, welche ich oft in den Winkeln der Hemipyramiden an der vorderen und hinteren Seite der Krystalle, welche eine oktaëdrische Beendigung hatten, beobachtete, liessen sich durch einen von den einfachen Krystallen erklären, welchen ich ebenso gut optisch als krystallographisch untersuchte und welcher die beiden Hemipyramiden (positive und negative) enthielt. Da ich aber nur wenige von diesen einfachen Krystallen schleifen konnte, so kann ich auch nicht mit Gewissheit sagen, welche von diesen beiden Hemipyramiden ich gemessen habe? Auf diesem Grunde war ich genöthigt, zu den Winkeln: $s : m$, $o : o'$ (über p), $s : s'$ (über p), $s : m'$ (über s'), $o : o'$ (von der Seite), $s : s'$ (von der Seite), — ein Fragezeichen (?) hinzuzufügen. Woher ich auch $108^{\circ} 37'$ (?) und $108^{\circ} 40'$ (?) *) schreibe«.

•In optischer Hinsicht erlaubten mir einer von den an P. Groth gehörenden Krystallen und einer von den meinigen, alle beide mit oktaëdrischer Beendigung, schliesslich folgende Charaktere festzustellen:

•Die Ebene der optischen Axen und die spitze *positive* Bisseptrix gehen durch den *stumpfen* Winkel $p : \frac{m}{m} = 90^{\circ} 19'$ und bilden annäherungsweise folgende Winkel:

• $21^{\circ} 55'$ mit Normale zu $\frac{m}{m}$ (vordere Kante),

*) Wie dies auf oben gegebenen vergleichenden Tabelle gezeigt wurde.

»67° 46' mit Normale zu p ,

»14 59 mit Normale zu $\frac{o}{o}$,

»für das weisse Licht«.

»Die Axendispersion ist sehr schwach, $\rho < \nu$? Winkel der optischen Axen in der Luft: $2E = 118^\circ$, ungefähr«.

Dritter Anhang zum Xanthophyllit.

(Vergl. Bd. IV, S. 121 und Bd. VII, S. 155 und 346.)

P. Nicolajew hat neuerdings eine vollständige Analyse des »Waluewit« ausgeführt und folgendes erhalten: *)

Kieselsäure	16,39
Thonerde	43,40
Eisenoxyd	1,57
Eisenoxydul	0,60
Kalk	13,04
Magnesia	20,38
Glühverlust	4,39
	<hr/>
	99,77

Specificisches Gewicht = 3,075.

Dritter Anhang zum Monazit.

(Vergl. Bd. IV, S. 5 und Bd. VI, S. 200 und 387.)

Edward S. Dana **) hat sehr ausführlich die Monazit-Krystalle von Milholland's Mill, Alexander County North Carolina, untersucht

*) Verhandlungen der Russisch-Kaiserlichen Mineralogischen Gesellschaft zu St.-Petersburg, Zweite Serie, 1883, Bd. XVIII, S. 226.

**) American Journal of Science, Vol. XXIV, October, 1882, p. 247.

und genau gemessen. Er hat in den von ihm untersuchten Krystallen folgende Formen beobachtet: $\infty P\infty$, ∞P , $-\infty P$, $(P\infty)$, $-\infty P$, $+\infty P$, $-(2P^2)$, $+2P^2$ und $+3P^3$.

Für die Fundamentalwinkel, durch sehr genaue Messungen, fand er folgende Werthe:

$$\begin{aligned} a : w &= 140^\circ 47' 30'' \\ M : M \} &= 93 \quad 25 \quad 40 \\ \text{über } a & \\ a : e &= 100 \quad 6 \quad 57 \end{aligned}$$

Aus diesen Fundamentalwinkeln, die seinerseits aus vielzähligen Beobachtungen (zwischen welchen die grösste Differenz nicht mehr als 30 Secunden war) abgeleitet wurden, hat Edward S. Dana für die Grundform des Minerals folgendes Axenverhältniss berechnet:

$$\begin{aligned} a : b : c &= 0,95484 : 1 : 1,03163 \\ \gamma &= 76^\circ 20' 0'', \end{aligned}$$

wo a = Verticalaxe, b = Klinodiagonale, c = Orthodiagonale und γ = Winkel zwischen den Axen a und b .

Wir haben also bis jetzt folgende Axenverhältnisse von verschiedenen Beobachtern:

Monazit aus:	a	b	c	γ
Alexander Co., N. C .	0,95484	1	1,03163	76°20', E.S.Dana.
Norvich, Mass.	0,94715	1	1,02650	76°14', J.D.Dana.
Tavetsch, Switzerland				
(Turnerit)	0,96166	1	1,04336	77°18', G.v.Rath.
Laacher See (Turnerit)	0,95425	1	1,03532	76°32', G.v.Rath.
Ural	0,95010	1	1,03037	76°14', Kokschar.

und folgende bis jetzt bekannte Formen für das Mineral:

$$\begin{aligned} a &= \infty P\infty = (\infty a : b : \infty c) \\ b &= (\infty P\infty) = (\infty a : \infty b : c) \\ c &= oP = (a : \infty b : \infty c) \end{aligned}$$

$$\begin{aligned}
 M &= \infty P &= (\infty a : b : c) \\
 l &= \infty P^2 &= (\infty a : \frac{1}{2} b : c) \\
 x &= +P\infty &= (a : b : \infty c) \\
 w &= -P\infty &= (a : -b : \infty c) \\
 k &= (\frac{1}{2}P\infty) &= (\frac{1}{2}a : \infty b : c) \\
 e &= (P\infty) &= (a : \infty b : c) \\
 u &= (2P\infty) &= (a : \infty b : \frac{1}{2}c) \\
 d &= +\frac{1}{2}P &= (\frac{1}{2}a : b : c) \\
 v &= +P &= (a : b : c) \\
 t &= +P^2 &= (\frac{1}{2}a : \frac{1}{2}b : c) \\
 i &= +2P^2 &= (a : \frac{1}{2}b : c) \\
 z &= +3P^3 &= (a : \frac{1}{3}b : c) \\
 o &= +(2P^2) &= (a : b : \frac{1}{2}c) \\
 r &= -P &= (a : -b : c) \\
 s &= -(2P^2) &= (a : -b : \frac{1}{2}c)
 \end{aligned}$$

Das von Edward S. Dana abgeleitete Axenverhältniss,

$$a : b : c = 0,95484 : 1 : 1,03163, \gamma = 76^\circ 20' 0'',$$

müssen wir als das genaueste betrachten, welches bis jetzt für die Grundform des Monazits erhalten wurde; aus demselben berechnen sich folgende Winkel: *)

Hemipyramiden.

$$d = +\frac{1}{2}P.$$

$$X = 65^\circ 48' 45''$$

$$Y = 77 \quad 18 \quad 26$$

$$Z = 36 \quad 3 \quad 47$$

$$\mu = 76^\circ 3' 44''$$

$$\nu = 27 \quad 36 \quad 16$$

$$\rho = 65 \quad 9 \quad 58$$

$$\sigma = 45 \quad 53 \quad 31$$

*) C. F. Naumann's Bezeichnungweise beibehaltend.

— 13 —

$n = +P.$

$$X = 53^{\circ} 20' 38''$$

$$Y = 61 30 37$$

$$Z = 59 3 57$$

$$\mu = 53^{\circ} 31' 0''$$

$$\nu = 50 9 0$$

$$\rho = 47 12 50$$

$$\sigma = 45 53 31$$

$l = +P2.$

$$X = 69^{\circ} 35' 24''$$

$$Y = 56 8 0$$

$$Z = 53 5 26$$

$$\mu = 53^{\circ} 31' 0''$$

$$\nu = 50 9 0$$

$$\rho = 65 9 58$$

$$\sigma = 64 8 31$$

$i = + 2P2.$

$$X = 65^{\circ} 4' 22''$$

$$Y = 38 21 5$$

$$Z = 75 5 49$$

$$\mu = 30^{\circ} 8' 32''$$

$$\nu = 73 31 28$$

$$\rho = 47 12 50$$

$$\sigma = 64 8 31$$

$z = + 3P3.$

$$X = 72^{\circ} 12' 20''$$

$$Y = 26 44 14$$

$$Z = 83 41 42$$

$$\mu = 20^{\circ} 17' 23''$$

$$\nu = 83 22 37$$

$$\rho = 47 12 50$$

$$\sigma = 72 5 37$$

— 14 —

$o = + (2P2).$

$X = 33^\circ 53' 46''$

$Y = 70 \ 38 \ 3$

$Z = 69 \ 3 \ 44$

$\mu = 53^\circ 31' \ 0''$

$\nu = 50 \ 9 \ 0$

$\rho = 28 \ 22 \ 42$

$\sigma = 27 \ 17 \ 7$

$r = -P.$

$X' = 59^\circ 40' 10''$

$Y' = 48 \ 1 \ 29$

$Z' = 46 \ 30 \ 51$

$\mu' = 39^\circ 12' 25''$

$\nu' = 37 \ 7 \ 35$

$\rho = 47 \ 12 \ 50$

$\sigma = 45 \ 53 \ 31$

$s = - (2P2).$

$X' = 40^\circ 31' 1''$

$Y' = 59 \ 46 \ 27$

$Z' = 58 \ 48 \ 9$

$\mu' = 39^\circ 12' 25''$

$\nu' = 37 \ 7 \ 35$

$\rho = 28 \ 22 \ 42$

$\sigma = 27 \ 17 \ 7$

Hemidomen.

$x = +P\infty.$

$Y = 53^\circ 31' \ 0''$

$Z = 50 \ 9 \ 0$

$w = -P\infty.$

$Y' = 39^\circ 12' 25''$

$Z' = 37 \ 7 \ 35$

Klinodomen.

$$k = (\frac{1}{2}P\infty).$$

$$X = 65^\circ 47' 15''$$

$$Y = 102 \ 26 \ 39$$

$$Z = 24 \ 12 \ 45$$

$$e = (P\infty).$$

$$X = 48^\circ 1' 59''$$

$$Y = 100 \ 7 \ 5$$

$$Z = 41 \ 58 \ 1$$

$$u = (2P\infty).$$

$$X = 29^\circ 4' 19''$$

$$Y = 96 \ 35 \ 33$$

$$Z = 60 \ 55 \ 41$$

Prismen.

$$M = \infty P.$$

$$X = 46^\circ 42' 50''$$

$$Y = 43 \ 17 \ 10$$

$$l = \infty P2.$$

$$X = 64^\circ 46' 55''$$

$$Y = 25 \ 13 \ 5$$

Und endlich berechnen sich die Combinationswinkel:

$$d : a = 102^\circ 41' 34''$$

$$d : b = 114 \ 11 \ 15$$

$$d : c = 143 \ 56 \ 13$$

$$\left. \begin{array}{l} d : M \\ \text{anliegende} \end{array} \right\} = 116 \ 9 \ 34$$

$$\left. \begin{array}{l} d : d \\ \text{Klinod. Polkante} \end{array} \right\} = 131 \ 37 \ 30$$

	$v : a$	$=$	118°	29'	23''
	$v : b$	$=$	126	39	22
	$v : c$	$=$	120	56	3
	$v : M$	$\left. \vphantom{\begin{matrix} v : M \\ v : v \end{matrix}} \right\} =$	139	9	44
	anliegende				
Klinod. Polkante	$v : v$	$\left. \vphantom{\begin{matrix} v : M \\ v : v \end{matrix}} \right\} =$	106	41	16
	anliegende				
	$v : t$	$\left. \vphantom{\begin{matrix} v : t \\ v : i \end{matrix}} \right\} =$	163	45	14
	anliegende				
	$v : i$	$\left. \vphantom{\begin{matrix} v : i \\ v : z \end{matrix}} \right\} =$	156	50	28
	anliegende				
	$v : z$	$\left. \vphantom{\begin{matrix} v : z \\ t : a \end{matrix}} \right\} =$	145	13	37
	über i				
	$t : a$	$=$	123	52	0
	$t : b$	$=$	110	24	36
	$t : c$	$=$	126	54	34
	$t : t$	$\left. \vphantom{\begin{matrix} t : t \\ t : x \end{matrix}} \right\} =$	139	10	48
Klinod. Polkante	anliegende				
	$t : x$	$\left. \vphantom{\begin{matrix} t : x \\ i : a \end{matrix}} \right\} =$	159	35	24
	anliegende				
	$i : a$	$=$	144	38	55
	$i : b$	$=$	144	55	38
	$i : c$	$=$	104	54	11
	$i : i$	$\left. \vphantom{\begin{matrix} i : i \\ i : z \end{matrix}} \right\} =$	130	8	44
Klinod. Polkante	anliegende				
	$i : z$	$\left. \vphantom{\begin{matrix} i : z \\ z : a \end{matrix}} \right\} =$	168	23	9
Zone $r a$	anliegende				
	$z : a$	$=$	153	15	46
	$z : b$	$=$	107	47	40
	$z : c$	$=$	96	18	18
	$z : z$	$\left. \vphantom{\begin{matrix} z : z \\ o : a \end{matrix}} \right\} =$	144	21	40
Klinod. Polkante	anliegende				
	$o : a$	$=$	109	21	57
	$o : b$	$=$	146	6	14
	$o : c$	$=$	110	56	16
	$o : o$	$\left. \vphantom{\begin{matrix} o : o \\ o : o \end{matrix}} \right\} =$	67	47	32
Klinod. Polkante	anliegende				

	$r : a$	$=$	131° 58' 31''
	$r : b$	$=$	120 19 50
	$r : c$	$=$	133 29 9
Klinod. Polkante	$r : r$	}	$=$ 119 20 20°
	$r : M$		
	$s : a$	$=$	120 13 33
	$s : b$	$=$	139 28 59
	$s : c$	$=$	121 11 51
Klinod. Polkante	$s : s$	}	$=$ 81 2 2
	$x : a$		
	$x : b$	$=$	126 29 0
	$x : c$	$=$	90 0 0
	$x : c$	$=$	129 51 0
	$x : M$	$=$	{ 115 38 49 64 21 11
	$x : l$	$=$	{ 122 32 32 57 27 28
	$x : w$ über c	$=$	92 43 25
	$w : a$	$=$	140 47 35
	$w : b$	$=$	90 0 0
	$w : c$	$=$	142 52 25
	$w : M$	$=$	{ 55 39 48 124 20 12
	$w : l$	$=$	{ 134 30 31 45 29 29
	$k : a$	$=$	77 33 21
	$k : b$	$=$	114 12 45
	$k : c$	$=$	155 47 15
	$k : k$ über c	$=$	131 34 30
	$k : e$ anliegende	$=$	162 14 44

$$e : a = 79^{\circ} 52' 55''$$

$$e : b = 131 \ 58 \ 1$$

$$e : c = 138 \ 1 \ 59$$

$$\left. \begin{array}{l} e : e \\ \text{über } c \end{array} \right\} = 96 \ 3 \ 58$$

$$u : a = 83 \ 24 \ 27$$

$$u : b = 150 \ 55 \ 41$$

$$u : c = 119 \ 4 \ 19$$

$$\left. \begin{array}{l} u : u \\ \text{über } c \end{array} \right\} = 58 \ 8 \ 38$$

$$M : a = 136 \ 42 \ 50$$

$$M : b = 133 \ 17 \ 10$$

$$M : c = \left\{ \begin{array}{l} 80 \ 5 \ 47 \\ 99 \ 54 \ 13 \end{array} \right.$$

$$\left. \begin{array}{l} M : M \\ \text{über } a \end{array} \right\} = 93 \ 25 \ 40$$

$$\left. \begin{array}{l} M : M \\ \text{über } b \end{array} \right\} = 86 \ 34 \ 20$$

$$l : a = 154 \ 46 \ 55$$

$$l : b = 115 \ 13 \ 5$$

$$l : c = \left\{ \begin{array}{l} 77 \ 39 \ 27 \\ 102 \ 20 \ 33 \end{array} \right.$$

$$\left. \begin{array}{l} l : l \\ \text{über } a \end{array} \right\} = 129 \ 33 \ 50$$

$$\left. \begin{array}{l} l : l \\ \text{über } b \end{array} \right\} = 50 \ 26 \ 10$$

CXXXVIII.

WOLLASTONIT.

(Wollastonit, Monticelli, Haüy; Schalstein, Werner; Tafelspath, Hausmann; Prismatischer Augit-Spath, Mohs; Wilnit, Horodeki.)

Allgemeine Charakteristik.

Kr. Syst.: monoklinoëdrisch.

Grundform: monoklinoëdrische Pyramide, nach G. vom Rath *)

Messungen, mit folgendem Axenverhältnisse:

$$a : b : c = 0,96766 : 1,05317 : 1$$
$$\gamma = 84^\circ 30' 11''$$

(wo a = Verticalaxe, b = Klinodiagonale, c = Orthodiagonale und γ = Winkel zwischen a und b).

Der Wollastonit kommt, obgleich ziemlich selten, in schön und manigfaltig ausgebildeten Krystallen vor, welche grösstentheils tafelförmig und häufig als Zwillingkrystalle nach der Fläche des Orthopinakoids ausgebildet sind. Gewöhnlich bietet das Mineral stängelige, oder schaalige und radial-stängelige bis faserige Aggregate dar. Spaltbarkeit orthodiagonal und basisch ($c = \infty P \infty$ und $u = oP$) vollkommen, so auch hemidionatisch nach $t = P \infty$ und $a = \frac{1}{2} P \infty$. Härte = 4,5...5. Spec. Gewicht = 2,78...2,91. Farblos, meist röthlich-, gelblich-, graulich weiss bis isabellgelb und licht fleischroth. Glasglanz, auf Spaltungsflächen stark und zum Theil Perlmut-

*) Poggendorff's Annalen, 1869, Bd. CXXXVIII, S. 484. Wir stellen die Krystalle so aufrecht, wie G. vom Rath, welcher hinwies, dass die von Brooke gewählte Stellung, welche von Miller, Dufrénoy, Descloizeaux angenommen wurde, vortheilhafter mit einer anderen zu vertauschen wäre, in welcher diejenige Fläche, welche die Rolle der Zwillingsebene spielt, zum Orthopinakoid wird.

terglanz. Durchscheinend, selten durchsichtig. Die optischen Axen liegen in dem klinodiagonalen Hauptschnitte. Chemische Zusammensetzung: Calciumbisilicat, mit 51,72 Kieselsäure und 48,28 Kalk.

Vor dem Löthrohre schmilzt er schwierig zu halbdurchsichtigem Glase. Phosphorsalz — löst ihn auf mit Hinterlassung eines Kiesel-skelets. Von Salzsäure wird er vollständig zersetzt unter Abscheidung von Kieselgallert.

Der Name »Wollastonit« wurde dem Minerale von Haüy, zu Ehren des englischen Chemikers und Physikers W. H. Wollaston, Entdecker des Palladiums und Rhodiums, gegeben.

Der Name »Tafelspath« wurde dem Minerale von Hausmann gegeben, wegen des tafelartigen Ansehens seiner Krystalle.

Der Name »Schalstein« wurde dem Minerale von Werner gegeben, wegen der schaligen Aggregate, in welchen das Mineral häufig vorkommt.

Der Name »Wilnit« (oder auch »Vilnite«, nach den französischen Autoren) wurde dem Minerale von Horodeki gegeben.

Wollastonit wurde zuerst von Monticelli (1818) in den Auswürflingen des Somma erkannt. Die von Monticelli damals und später gegebenen krystallographischen Angaben waren aber sehr ungenügend. Das Verdienst der krystallographischen Bestimmung des Wollastonits gebührt Brooke (Poggendorff's Annalen, 1831, Band XXIII, S. 363) und später, viel genauere, G. vom Rath (Poggendorff's Annalen, 1869, Band CXXXVIII, S. 484). In seiner werthvollen Abhandlung beschreibt G. vom Rath folgende Krystallformen:

Bezeichnung bei Déscloizeaux.

$e = \infty P$	e^1
$z = \infty P \frac{3}{2}$	$e^{\frac{3}{2}}$
$x = (\infty P 2)$	$e^{\frac{1}{2}}$
$c = \infty P \infty$	p
$u = oP$	$a^{\frac{1}{2}}$

$v =$	$-\text{P}\infty$	$a^{\frac{2}{3}}$
$w =$	$-\frac{1}{2}\text{P}\infty$	»
$a =$	$+\frac{1}{2}\text{P}\infty$	$h^{\frac{1}{2}}$
$l =$	$+\text{P}\infty$	$0^{\frac{1}{2}}$
$r =$	$+3\text{P}\infty$	$0^{\frac{2}{3}}$
$s =$	$+2\text{P}\infty$	$0^{\frac{2}{3}}$
$f =$	$+\text{P}$	$d^{\frac{1}{2}}$
$g =$	$(\text{P}\infty)$	$b^{\frac{1}{2}}$
$m =$	$+(\text{P}2)$	m
$n =$	$+\frac{3}{2}\text{P}\frac{2}{3}$	$d^{\frac{1}{2}}$

Vorausgesetzt, dass eine jede monoklinoëdrische Pyramide aus zwei Hemipyramiden zusammengesetzt ist (nämlich aus jener positiven, deren Flächen über den spitzen Winkel γ liegen und einer negativen, deren Flächen über den stumpfen Winkel γ liegen), bezeichnen wir wie folgt.

In allen *positiven* Hemipyramiden, durch:

$X =$ Neigung der Fläche zur Ebene, welche die Axen a und b enthält (klinod. Hauptschnitt).

$Y =$ Neigung der Fläche zur Ebene, welche die Axen a und c enthält (orthod. Hauptschnitt).

$Z =$ Neigung der Fläche zur Ebene, welche die Axen b und c enthält (basischen Hauptschnitt).

$\mu =$ Neigungswinkel der klinodiagonalen Polkante zur Verticalaxe.

$\nu =$ Neigungswinkel derselben Kante zur Klinodiagonalaxe b .

$\rho =$ Neigungswinkel der orthodiagonalen Polkante zur Verticalaxe a .

$\sigma =$ Neigungswinkel der Mittelkante zur Klinodiagonalaxe b .

Die Winkel der negativen Hemipyramiden werden wir mit denselben Buchstaben bezeichnen, aber zu denjenigen Winkeln, die einer Aenderung in ihrer Grösse unterworfen sind, werden wir ein Accent

hinzufügen. Auf diese Weise haben wir für die *negativen* Hemipyramiden X', Y', Z, μ' und ν' .

Nach dem oben gegebenen von G. vom Rath abgeleiteten Axenverhältnisse, berechnen sich folgende Winkel.

Für $e = \infty P$.

$$X = 43^\circ 38' 54''$$

$$Y = 46 \quad 21 \quad 6$$

Für $z = \infty P\frac{3}{2}$.

$$X = 55^\circ 3' 3''$$

$$Y = 34 \quad 56 \quad 57$$

Für $x = (\infty P^2)$.

$$X = 25^\circ 29' 56''$$

$$Y = 64 \quad 30 \quad 4$$

Für $v = -P\infty$.

$$Y' = 44^\circ 27' 10''$$

$$Z' = 40 \quad 3 \quad 1$$

Für $w = -\frac{1}{2}P\infty$.

$$Y' = 60^\circ 50' 56''$$

$$Z' = 23 \quad 39 \quad 15$$

Für $a = +\frac{1}{2}P\infty$.

$$Y = 69^\circ 56' 0''$$

$$Z = 25 \quad 33 \quad 49$$

Für $t = +P\infty$.

$$Y = 50^\circ 24' 56''$$

$$Z = 45 \quad 4 \quad 53$$

Für $r = +3P_{\infty}$.

$$Y = 20^{\circ} 30' 43''$$

$$Z = 74 \ 59 \ 6$$

Für $s = +2P_{\infty}$.

$$Y = 29^{\circ} 44' 49''$$

$$Z = 65 \ 45 \ 0$$

Für $f = +P$.

$$X = 53^{\circ} 17' 9''$$

$$Y = 59 \ 16 \ 56$$

$$Z = 55 \ 31 \ 34$$

$$\mu = 50^{\circ} 24' 56''$$

$$\nu = 45 \ 4 \ 53$$

$$\rho = 45 \ 56 \ 30$$

$$\sigma = 43 \ 30 \ 59$$

Für $g = (P_{\infty})$.

$$X = 46^{\circ} 4' 25''$$

$$Y = 93 \ 57 \ 22$$

$$Z = 43 \ 55 \ 35$$

Für $m = +(P2)$.

$$X = 47^{\circ} 43' 55''$$

$$Y = 75 \ 17 \ 29$$

$$Z = 48 \ 7 \ 14$$

$$\mu = 69^{\circ} 56' 0''$$

$$\nu = 25 \ 33 \ 49$$

$$\rho = 45 \ 56 \ 30$$

$$\sigma = 25 \ 23 \ 47$$

Für $n = +\frac{3}{2}P\frac{3}{2}$.

$X = 59^\circ 19' 5''$

$Y = 47 12 19$

$Z = 62 37 28$

$\mu = 37^\circ 49' 6''$

$\nu = 57 40 43$

$\rho = 45 56 30$

$\sigma = 54 55 36$

Endlich berechnen sich folgende Combinationswinkel:

Nach G. vom Rath's Messungen.

$$\begin{aligned}
 e : c &= 133^\circ 38' 54'' \\
 e : u &= \begin{cases} 86 & 12 & 32 \\ 93 & 47 & 28 \end{cases} \\
 \left. \begin{array}{l} e : e \\ \text{klinod. Kante} \end{array} \right\} &= 87 17 48 \\
 \left. \begin{array}{l} e : e \\ \text{orthod. Kante} \end{array} \right\} &= 92 42 12 \\
 \left. \begin{array}{l} e : z \\ \text{anliegende} \end{array} \right\} &= 168 35 51 \dots\dots\dots 168^\circ 35' \\
 \left. \begin{array}{l} e : x \\ \text{anliegende} \end{array} \right\} &= 161 51 2 \\
 \left. \begin{array}{l} e : f \\ \text{anliegende} \end{array} \right\} &= 144 44 6 \\
 e : m &= 131 26 46 \dots\dots\dots 131 21 \\
 e : v &= 119 31 7 \dots\dots\dots 119 25 \\
 e : w &= 109 38 49 \\
 e : a &= 103 41 58 \\
 e : t &= 116 5 34 \\
 e : r &= 130 16 33 \\
 e : s &= 126 49 5 \\
 z : c &= 145 3 3 \dots\dots\dots 145 3 \\
 z : u &= \begin{cases} 85 & 29 & 48 \\ 94 & 30 & 12 \end{cases}
 \end{aligned}$$

Nach G. vom Rath's Messungen.

klinod. Kante	$z : z$	} =	110° 6' 6''	
orthod. Kante	$z : z$	} =	69 53 54	
anliegende	$z : x$	} =	150 26 53	
	$z : m$	=	126 24 0 126° 22' ₂
	$z : v$	=	125 48 35	
	$x : c$	=	115 29 56	
	$x : u$	= {	87 38 12	
			92 21 48	
klinod. Kante	$x : x$	} =	50 59 52	
orthod. Kante	$x : x$	} =	129 0 8	
	$x : v$	=	107 53 47	
	$v : c$	=	135 32 50 135 29
	$v : u$	=	139 56 59 139 58
	$v : s$ über u	} =	74 11 59	
	$v : a$ über u	} =	114 23 10	
	$v : g$	=	123 27 28	
anliegende	$v : w$	} =	163 36 14	
	$v : l$ über u	} =	94 52 6	
	$v : r$ über u	} =	64 57 53	
	$v : m$	=	107 47 26	
	$v : n$	=	96 38 30	
	$v : f$	=	93 54 3 93 59
	$w : c$	=	119 9 4	
	$w : u$	=	156 20 45	
	$a : c$	=	110 4 0	

Nach G. vom Rath's Messungen.

	$a : u$	$=$	$154^{\circ} 26' 11''$	
	$a : m$	$=$	$137 43 55$	
	$a : g$	$=$	$130 31 15$	
	$t : c$	$=$	$129 35 4$	
	$t : u$	$=$	$134 55 7$	
	$t : f$	$=$	$143 17 9$	
	$t : g$	$=$	$120 34 4$	
	$t : s$	$=$	$159 19 53$	
	$r : c$	$=$	$159 29 17$	
	$r : u$	$=$	$105 0 54$	
	$r : s$	$=$	$170 45 54$	
	$s : c$	$=$	$150 15 11$	
	$s : u$	$=$	$114 15 0$	
	$f : c$	$=$	$120 43 4$	
	$f : u$	$=$	$124 28 26 \dots \dots 124^{\circ} 34'$	
klinod. Polkante	$f : f$	$\}$	$= 106 34 18$	
	$f : g$	$=$	$145 19 32 \dots \dots 145 12$	
anliegende	$f : n$	$\}$	$= 167 55 23$	
andere n	$f : n'$	$\}$	$= 111 34 38 \dots \dots 111 39$	
	$f : m$	$=$	$163 59 27 \dots \dots 163 56$	
	$m : c$	$=$	$104 42 31 \dots \dots 104 37$	
	$m : u$	$=$	$131 52 46$	
klinod. Polkante	$m : m$	$\}$	$= 95 27 50$	
	$n : c$	$=$	$132 47 41 \dots \dots 132 50$	
	$n : u$	$=$	$117 22 32$	
klinod. Polkante	$n : n$	$\}$	$= 118 38 10 \dots \dots 118 39$	
	$g : c$	$=$	$\left\{ \begin{array}{l} 86 2 38 \\ 93 57 22 \end{array} \right.$	

Nach G. vom Rath's Messungen.

$$\begin{array}{rcl}
 g : u & = & 136^\circ \ 4' \ 25'' \\
 \left. \begin{array}{l} g : g \\ \text{klinod. Polkante} \end{array} \right\} & = & 92 \ 8 \ 50 \\
 c : u & = & 95 \ 29 \ 49
 \end{array}$$

In Russland kommt der Wollastonit in Finnland, in der Umgegend von Wilna und in der Kirgisen-Steppe vor.

1) In Finnland, nach Baron A. v. Nordenskiöld *) trifft man den Wollastonit in folgenden Orten an: Perheniemi im Kirchspiel Ithis, Pargas (Ersby, Strogård, Skräßbole), Kimito, Märtensby im Kirchspiel Sibbo, Manby im Kirchspiel Borgå, Frugård im Kirchspiel Mäntsälä, u. in a. O. Wollastonit von Perheniemi besteht, nach der Analyse von H. Rose, aus:

Kieselsäure	51,60
Kalk	46,41
Glühverlust	1,11
	99,12

Wollastonit von Skräßbole, nach der Analyse von Bonsdorff, besteht aus:

Kieselsäure	52,58
Kalk	44,45
Magnesia	0,68
Eisenoxyd	0,13
Wasser	0,99
	98,83

2) Wollastonit (Wilnit) aus der Umgegend von Wilna kommt in einzelnen Geschieben vor.

*) A. v. Nordenskiöld: Beskrifning öfver de in Finland funna Mineralier, Helsingfors 1855, p. 67.

Professor Horodeki, hatte schon vor langer Zeit, an Al. Brogniart ein stänglich-faseriges Mineral, welches in Form einzelner Gesschiebe auf einem Berge von Alluvion gefunden worden war, unter dem Namen »Wilnit« geschickt. Später durch Descloizeaux's Untersuchungen wurde erkannt, dass der Wilnit nichts anders als Wollastonit ist *).

3) In der Kirgisen-Steppe kommt der Wollastonit in den Kupfergruben des Distrikts Karkaralinsk (Revier Semipalatinsk) vor. Den Wollastonit aus dieser Gegend habe ich ganz neuerdings bestimmt, nach den Exemplaren einiger Mineralien, welche mir Herr Graumann, ein junger Berg-Ingenieur, aus den unter seiner Leitung stehenden Kupfergruben in der Kirgisen-Steppe gesandt hatte.

Der Wollastonit aus diesem neuen Fundorte bildet stengliche, von ziemlich grossen breit säulenförmigen, von beiden Enden abgebrochenen Individuen bestehende Aggregate, welche als kleine Adern einen grauen Kalkstein durchsetzen. Der hiesige Wollastonit bietet alle seine normalen Kennzeichen dar. Spaltbarkeit orthodiagonal $\infty P \infty$ und basisch oP , vollkommen; mit Hilfe des gewöhnlichen Wollaston'schen Goniometers habe ich für die gegenseitige Neigung dieser beiden Spaltungsflächen ungefähr $84^{\circ} 36'$ (Mittel aus den Messungen mehrerer Krystalle **) erhalten. Härte = 4,5. Specificisches Gewicht = 2,889 (nach P. Nicolajew's Bestimmung). Farblos, oder graulichweiss. Durchscheinend. Man bemerkt in der Wollastonit-Masse ziemlich viele kleine Krystalle (Rhomben-Dödekaëder) von braunem Granat. Im Allgemeinen hielt es ziemlich schwer, das für die Analyse verwandte Mineral von den mechanischen Beimischungen zu befreien. Nach der Analyse, welche P. Nicolajew Laborant des Berg-Instituts, auf meinem Wunsche, ausgeführt hat, besteht der Wollastonit aus der Kirgisen-Steppe aus:

*) Descloizeaux: Manuel de Mineralogie, Paris, 1862, tome I, p. 554.

***) Man muss diese Messungen nur als annäherende betrachten.

Kieselsäure	47,66
Kalk	45,61
Eisenoxyd und Thonerde	0,68
Manganoxydul	0,14
Magnesia	Spur
Schwefelsäure }	
Glühverlust	1,24
Unauflösliche Theile	4,10
	99,43

Sechster Anhang zum Rutil.

(Vergl. Bd. I, S. 50; Bd. II, S. 352; Bd. III, S. 218; Bd. IV, S. 36 und 118; Bd. V, S. 193).

P. v. Jeremejew *) hat, in den Krystallen des Ilmenorutils vom Ilmengebirge, eine neue tetragonale Pyramide = $\frac{2}{3}P$ bestimmt.

Im Laufe der Jahre 1882 und 1883 wurden die Rutil-Krystalle wieder ausführlich untersucht: V. von Zepharovich **) hat mehrere sehr strenge Messungen an den Rutil-Krystallen aus dem »Stillup-Thal« in Tirol angestellt und A. Arzruni ***) hat nicht weniger genaue Beobachtungen an den Rutil-Krystallen von den »Tioplyie Klütschy« (Warmen-Quellen) in der Nähe des Hüttenwerkes Kassli (Kasslinskij Sawod) unweit der Grenze des Distrikts Ufalejsk, am Ural ausgeführt.

V. von Zepharovich hat am Rutil zwei neue Formen bestimmt, nämlich: $n = P2$ und $k = \infty P\frac{4}{5}$. A. Arzruni hat auch, seinerseits, drei neue Formen entdeckt, nämlich: $i = \frac{5}{3}P\infty$, $y = \frac{5}{3}P5$ und $r = \infty P8$.

*) Verhandlungen der R. K. Mineralogischen Gesellschaft zu St.-Petersburg, 1871, Bd. VI, S. 376.

**) Zeitschrift für Krystallographie und Mineralogie von P. Groth, 1882, Bd. VI, S. 238.

***) Idem, 1883, Bd. VIII, S. 330.

Noch im Jahre 1853 habe ich aus meinen eigenen, sehr strengen Messungen, für die Grundform des Rutils folgendes Axenverhältniss abgeleitet: *)

$$a : b : c = 0,64418 : 1 : 1$$

Als ich die Winkel aus diesem Axenverhältnisse berechnete, so sah ich zu meiner Ueberraschung, dass dieselben vollkommen identisch waren mit denen, welche Miller **) in seinem berühmten Werke geliefert hatte. Also gebührt Miller die Ehre, der Erste gewesen zu sein, der die wahren Winkel des Rutils bestimmt hat, was ich auch schon damals erwähnte. Um jetzt besser zu zeigen, in welchem vollkommenen Einklang die Resultate der neuesten Messungen mit den Werthen stehen, welche sich aus dem oben citirten Axenverhältnisse berechnen lassen, so füge ich hier die nachstehende vergleichende Tabelle ***) bei.

	Berechnet	Gemessen.
aus $a : b : c = 0,64418 : 1 :$		
$f : o$ anliegende	} = 171° 24' 49'' . .	171° 26' Zepharovich.
$f : n$ anliegende	} = 175 17 59 . .	175 17 Zepharovich.
$n : n$ normale Polkante	} = 149 41 54 . .	149 45 Zepharovich
$n : l$ anliegende	} = 164 50 57 . .	164 52 Zepharovich.

*) N. v. Kokscharow: „Mat. z. Min. Russlands, 1853, Bd. I, S. 50. Verhandlungen der R. K. Mineralogischen Gesellschaft zu St.-Petersburg, Jahrgang 1852—1853, S. 50.

**) H. J. Brooke und W. H. Miller: An elementary Introduction to Mineralogy, London, 1852, p. 224. Pogendorff's Annalen, 1842, LVII, S. 479.

***) In dieser Tabelle, so wie auch weiter unten, habe ich für die Bezeichnung der Krystallformen, der Gleichförmigkeit wegen, meine eigenen Buchstaben gebraucht, welche schon zum Theil in meinem Werk adoptirt worden sind und die also mit denen von Miller und v. Zepharowich gebrauchten Buchstaben nicht übereinstimmen.

	Berechnet	Gemessen.
	aus $a : b : c = 0,64418 : 1 : 1$	
$n : h$	$\} = 121^\circ 30' 53''$	$. . 121^\circ 29'$ Zepharovich.
$x : x$ normale Polkante	$\} = 159 32 2$	$. . 159 34$ Zepharovich.
$x : x$ diagonale Polkante	$\} = 150 53 58$	$. . 150 55$ Zepharovich.
$x : x$ Mittelkante	$\} = 68 21 10$	$. . 68 22$ Zepharovich.
$x : x$ abwechselnde	$\} = 133 11 26$	$. . 133 11$ Zepharovich.
$x : l$ anliegende	$\} = 169 46 1$	$. . 169 45$ Zepharovich.
$x : l$ nicht anliegende	$\} = 142 20 40$	$. . 142 21$ Zepharovich.
$x : o$ anliegende	$\} = 161 47 44$	$. . 161 52$ Zepharovich.
$x : p$ anliegende	$\} = 121 3 52$	$. . 123 57$ Zepharovich.
$z : z$ in der Polkanten- Zone von $t = P_\infty$	$\} = 51 30 44$	$. . 51 29\frac{3}{4}$ Kokscharow.
$z : l$ anliegende	$\} = 138 16 17$	$. . 138 16\frac{1}{4}$ Kokscharow.
$z : l$ über t	$\} = 93 14 27$	$. . 93 14\frac{3}{4}$ Kokscharow.
$z : o$ anliegende	$\} = 154 0 36$	$. . 154 0$ Kokscharow.
$o : o$ Polkante	$\} = 123 7 30$	$. . 123 7\frac{1}{2}$ Kokscharow.
$o : o$ an der Spitze	$\} = 95 19 56$	$. . 95 20\frac{1}{4}$ Kokscharow.
$l : l$ Polkante	$\} = 134 58 10$	$. . 134 57\frac{3}{4}$ Kokscharow.
$l : l$ an der Spitze	$\} = 114 25 20$	$. . \left\{ \begin{array}{l} 114 25\frac{1}{2} \text{ Miller.} \\ 114 25\frac{1}{2} \text{ Kokscharow.} \end{array} \right.$
$l : h$ anliegende	$\} = 122 47 20$	$. . 122 48\frac{1}{2}$ Arzruni.

	Berechnet	Gemessen.
	aus $a : b : c = 0,64418 : 1 : 1$	
$M : l$ anliegende	} = 161° 33' 54'' . .	161° 33 $\frac{1}{2}$ ' Arzruni.
$M : h$ anliegende	} = 135 0 0 . .	134 59 $\frac{3}{4}$ Arzruni.
$k : k$ normale Kante	} = 106 15 36 . .	106 16 Zepharovich.
$k : h$ anliegende	} = 143 7 48 . .	143 2 Zepharovich.
$l : h$ anliegende	} = 153 26 6 . .	153 28 $\frac{1}{2}$ Arzruni.
$l : p$ anliegende	} = 167 28 16 . .	167 28 Arzruni.
$l : r$ nicht anliegende	} = 146 18 36 . .	146 10 $\frac{1}{2}$ Arzruni.
$h : h'$ Zwillingskante	} = 114 25 20 . .	{ 114 25 Zepharovich. 114 26 Arzruni.
$h' : t$ Zwillingskante	} = 171 38 0 . .	{ 171 40 Zepharovich. 171 37 $\frac{1}{2}$ Arzruni.

Nach A. Arzruni's Aufzählung besteht die Krystallreihe des Rutil's aus 24 Formen, welche nämlich folgende sind:

	Autor.
$y = \frac{5}{8}P5$	Arzruni.
$f = P\frac{3}{2}$	Hessenberg.
$n = P2$	v. Zepharovich.
$x = P3$	Lévy.
$b = P5$	Arzruni.
$z = 3P\frac{2}{3}$	Lévy.
$d = \frac{3}{4}P$	Dana?
$o = P$	Häüy.
$a = \frac{2}{3}P$	v. Jeremejew.
$e = 2P$	Hessenberg.

	Autor.
$i = \frac{5}{8}P\infty$	Arzruni.
$l = P\infty$	Haüy.
$v = 3P\infty$?
$w = 5P\infty$	v. Jeremejew,
$M = \infty P$	Haüy.
$h = \infty P\infty$	Haüy.
$k = \infty P\frac{4}{3}$	v. Zepharovich.
$g = \infty P\frac{3}{2}$	Miller.
$l = \infty P2$	Haüy.
$s = \infty P3$	Mohs.
$p = \infty P4$	Miller.
$u = \infty P7$	Miller.
$r = \infty P8$	Arzruni.
$c = oP$	Miller.

Für alle diese Formen berechnen sich, aus

$$a : b : b = 0,64418 : 1 : 1,$$

nachstehende Winkel. Es wird hier bezeichnet:

In jeder *ditetragonalen* Pyramide mPn .

- die normale Polkante = X,
- die diagonale Polkante = Y,
- die Mittelkante = Z,

In jeder *tetragonalen* Pyramide.

- die Neigung der Fläche gegen die Verticalaxe = i,
- die Neigung der Endkante gegen die Verticalaxe = r.

$$y = \frac{3}{8}P5.$$

$\frac{1}{2}X = 85^\circ 43' 41''$	$X = 171^\circ 27' 22''$
$\frac{1}{2}Y = 77 50 15$	$Y = 155 40 30$
$\frac{1}{2}Z = 22 19 20$	$Z = 44 38 40$

$$f = P\frac{3}{2}.$$

$$\begin{array}{ll} \frac{1}{2}X = 70^\circ 8' 56'' & X = 140^\circ 17' 52'' \\ \frac{1}{2}Y = 83 & 6 & 16 & Y = 166 & 12 & 32 \\ \frac{1}{2}Z = 37 & 44 & 51 & Z = 75 & 29 & 42 \end{array}$$

$$n = P2.$$

$$\begin{array}{ll} \frac{1}{2}X = 74^\circ 50' 57'' & X = 149^\circ 41' 54'' \\ \frac{1}{2}Y = 79 & 21 & 0 & Y = 158 & 42 & 0 \\ \frac{1}{2}Z = 35 & 45 & 44 & Z = 71 & 31 & 28 \end{array}$$

$$x = P3.$$

$$\begin{array}{ll} \frac{1}{2}X = 79^\circ 46' 1'' & X = 159^\circ 32' 2'' \\ \frac{1}{2}Y = 75 & 26 & 59 & Y = 150 & 53 & 58 \\ \frac{1}{2}Z = 34 & 10 & 35 & Z = 68 & 21 & 10 \end{array}$$

$$b = P5.$$

$$\begin{array}{ll} \frac{1}{2}X = 83^\circ 49' 5'' & X = 167^\circ 38' 10'' \\ \frac{1}{2}Y = 72 & 16 & 3 & Y = 144 & 32 & 6 \\ \frac{1}{2}Z = 33 & 18 & 9 & Z = 66 & 36 & 18 \end{array}$$

$$z = 3P\frac{3}{2}.$$

$$\begin{array}{ll} \frac{1}{2}X = 59^\circ 22' 12'' & X = 118^\circ 44' 24'' \\ \frac{1}{2}Y = 79 & 37 & 21 & Y = 159 & 14 & 42 \\ \frac{1}{2}Z = 66 & 42 & 20 & Z = 133 & 24 & 40 \end{array}$$

$$d = \frac{3}{4}P.$$

$$\begin{array}{ll} \frac{1}{2}X = 66^\circ 29' 23'' & X = 132^\circ 58' 46'' \\ \frac{1}{2}Z = 34 & 20 & 35 & Z = 68 & 41 & 10 \end{array}$$

$$i = 55^\circ 39' 25''$$

$$r = 64 & 12 & 47$$

$o = P.$

$$\begin{array}{ll} \frac{1}{3}X = 61^\circ 33' 45'' & X = 123^\circ 7' 30'' \\ \frac{1}{3}Z = 42 \ 20 \ 2 & Z = 84 \ 40 \ 4 \end{array}$$

$$\begin{array}{l} i = 47^\circ 39' 58'' \\ r = 57 \ 12 \ 40 \end{array}$$

$a = \frac{2}{8}P.$

$$\begin{array}{ll} \frac{1}{3}X = 59^\circ 35' 43'' & X = 119^\circ 11' 26'' \\ \frac{1}{3}Z = 45 \ 42 \ 15 & Z = 91 \ 24 \ 30 \end{array}$$

$$\begin{array}{l} i = 44^\circ 17' 45'' \\ r = 54 \ 4 \ 9 \end{array}$$

$e = 2P.$

$$\begin{array}{ll} \frac{1}{3}X = 51^\circ 41' 33'' & X = 103^\circ 23' 6'' \\ \frac{1}{3}Z = 61 \ 14 \ 25 & Z = 122 \ 28 \ 50 \end{array}$$

$$\begin{array}{l} i = 28^\circ 45' 35'' \\ r = 37 \ 49 \ 5 \end{array}$$

$i = \frac{5}{8}P\infty.$

$$\begin{array}{ll} \frac{1}{3}Y = 74^\circ 41' 14'' & Y = 149^\circ 22' 28'' \\ \frac{1}{3}Z = 21 \ 55 \ 50 & Z = 43 \ 51 \ 40 \end{array}$$

$$\begin{array}{l} i = 68^\circ 4' 10'' \\ r = 74 \ 6 \ 32 \end{array}$$

$t = P\infty.$

$$\begin{array}{ll} \frac{1}{3}Y = 67^\circ 29' 5'' & Y = 134^\circ 58' 10'' \\ \frac{1}{3}Z = 32 \ 47 \ 20 & Z = 65 \ 34 \ 40 \end{array}$$

$$\begin{array}{l} i = 57^\circ 12' 40'' \\ r = 65 \ 30 \ 38 \end{array}$$

$$v = 3P\infty.$$

$$\frac{1}{2}Y = 51^\circ 5' 48'' \quad Y = 102^\circ 11' 36''$$

$$\frac{1}{2}Z = 62 38 26 \quad Z = 125 16 52$$

$$i = 27^\circ 21' 34''$$

$$r = 36 11 47$$

$$w = 5P\infty.$$

$$\frac{1}{3}Y = 47^\circ 31' 20'' \quad Y = 95^\circ 2' 40''$$

$$\frac{1}{3}Z = 72 45 7 \quad Z = 145 30 14$$

$$i = 17^\circ 14' 53''$$

$$r = 23 42 20$$

$$M = \infty P.$$

$$\frac{1}{2}X = 45^\circ 0' 0'' \quad X = 90^\circ 0' 0''$$

$$\frac{1}{2}Y = 90 0 0 \quad Y = 180 0 0$$

$$h = \infty P\infty.$$

$$\frac{1}{2}X = 90^\circ 0' 0'' \quad X = 180^\circ 0' 0''$$

$$\frac{1}{2}Y = 45 0 0 \quad Y = 90 0 0$$

$$k = \infty P\frac{1}{3}.$$

$$\frac{1}{3}X = 53^\circ 7' 48'' \quad Y = 106^\circ 15' 36''$$

$$\frac{1}{3}Y = 81 52 12 \quad Y = 163 44 24$$

$$g = \infty P\frac{3}{2}.$$

$$\frac{1}{4}X = 56^\circ 18' 36'' \quad X = 112^\circ 37' 12''$$

$$\frac{1}{2}Y = 78 41 24 \quad Y = 157 22 48$$

$$l = \infty P2.$$

$$\frac{1}{2}X = 63^\circ 26' 6'' \quad X = 126^\circ 52' 12''$$

$$\frac{1}{2}Y = 71 33 54 \quad Y = 143 7 48$$

$$s = \infty P3.$$

$$\begin{array}{ll} \frac{1}{2}X = 71^\circ 33' 54'' & X = 143^\circ 7' 48'' \\ \frac{1}{2}Y = 63 \ 26 \ 6 & Y = 126 \ 52 \ 12 \end{array}$$

$$p = \infty P4.$$

$$\begin{array}{ll} \frac{1}{2}X = 75^\circ 57' 50'' & X = 151^\circ 55' 40'' \\ \frac{1}{2}Y = 59 \ 2 \ 10 & Y = 118 \ 4 \ 20 \end{array}$$

$$u = \infty P7.$$

$$\begin{array}{ll} \frac{1}{2}X = 81^\circ 52' 12'' & X = 163^\circ 44' 24'' \\ \frac{1}{2}Y = 53 \ 7 \ 48 & Y = 106 \ 15 \ 36 \end{array}$$

$$r = \infty P8.$$

$$\begin{array}{ll} \frac{1}{2}X = 82^\circ 52' 30'' & X = 165^\circ 45' 0'' \\ \frac{1}{2}Y = 52 \ 7 \ 30 & Y = 104 \ 15 \ 0 \end{array}$$

Die von A. Arzruni beschriebenen Rutil-Krystalle wurden in einer Chromitlagerstätte der oben citirten Localität (»Warme Quellen«, Kassli) gefunden, wo sie zusammen mit Kämmererit und Perowskit vorkommen. Nach A. Arzruni's Beschreibung besitzen diese Krystalle eine braunrothe Farbe, sind sehr spröde und sitzen so fest auf dem Chromit auf, dass ein Herunternehmen derselben von der Stufe nicht ohne Gefahr für ihr Intactbleiben geschehen könnte, sie zeigen meist einen äusserst einfachen, kurzstulenförmigen Habitus. Fast alle Krystalle des Rutils von den »Warmen Quellen«, obwohl zum Theil einfach erscheinend, sind Zwillinge nach $t = P\infty$. A. Arzruni drückt sich über den Chromgehalt dieser Krystalle folgender Maassen aus:

»Die hier besprochenen Rutil-Krystalle sind nicht bloß wegen ihrer schönen Ausbildung und wegen ihres ungewöhnlichen Auftretens auf Chromeisenstein merkwürdig, sie sind es auch in chemischer Beziehung, indem sie auch selbst chromhaltig sind«.

»Die erste darauf bezügliche Beobachtung stellte Herr M. W. Je-
»roféjew in St.-Petersburg an. Später bestätigte Herr Damour,
»dem ich einige Splitter eines zerbrochenen Krystals sandte, die
»Gegenwart des Chroms, die er aber auf kleine Mengen eingeschlos-
»senen resp. mechanisch beigemengten chromreichen Kämmererits
»zurückführen will. Immerhin ist es bemerkenswerth, dass bereits
»im Jahre 1803 Ekeberg über einen chromhaltigen Rutil aus dem
»Kirchspiel Vestra Fernebo in Westmanland *) berichtet wo er in
»röthlichbraunen oder auch stahlgrauen Knollen mit weissem Quarz
»und einem mit *Glimmer untermischten Chlorit* vorkommt.
»Vauquelin, der eine approximative Analyse dieses Minerals aus-
»führte **), taxirt dessen Chromgehalt auf ungefähr 3% und bemerkt,
»dass mit dem Rutil Turmalin, Quarz und Talk vorkommen. Nach
»Hisinger (l. c.), der als Fundort Kåringbrickan anführt, kommt
»hier mit dem Rutil auch Granat vor. Das *Titanerz* ist in *klei-
»nen Nieren und Nestern von unbestimmter Form, theils
»in Quarz, theils in Glimmer, mit viel schwarzem Tur-
»malin eingewachsen*. Dieses Mineral ist es, welches Haüy ver-
»anlasste ***) ein *Titane oxydé chromifère* aufzustellen.

»Herr Damour, befragt, ob er den Chromgehalt dieses Rutils
»aus Schweden ebenfalls als Verunreinigung und nicht zur Consti-
»tution des Minerals gehört ansehe, theilte mir freundlichst brief-
»lich mit:

»Le Titane oxydé chromifère cité par Haüy se trouve engagé
»parait-il dans une roche talqueuse et verdâtre renfermant aussi du
»Quartz et des Tourmalines noires. Cette roche talqueuse *verdâtre*
»pourrait bien être chrômifère, tout comme la gangue de votre der-

*) Vergl. Ekeberg, kongl. Vetensk. Acad. nya Handl. Stockholm, 1803, XXIV, 45. Vergl. auch Hisinger, Vers. einer mineral. Geogr. von Schweden, Uebers. von Blöde, 1819, S. 115.

**) Ann. du Muséum d'hist.-nat. Bd. VI, S. 93 - 97, Ann. XIII, 1805.

***) Traité de Minéralogie, 2-ème ed. 1822 Bd. IV, S. 398.

•nier Rutile; et c'est encore à la présence, à un mélange de cette
•gangue qu'il est aussi permis d'attribuer l'association du Chrôme à
•l'acide titanique. Je verrai s'il est possible de retrouver de pareils
•echantillons dans nos collections de Paris. Il y aurait à examiner
•encore si la tourmaline qui les accompagne est chromifère comme
•celle que Vous avez déjà déterminée dous les gisements de l'Oural«.

•In dem Berliner mineralogischen Museum fanden sich nun einige
•Stücke des Rutils von Vestra-Fernebo, mit einer ausführlichen Eti-
•quette von Ch. S. Weiss vor, aus welcher zu ersehen ist, dass die
•Stücke von Ekeberg herrühren. Auf denselben ist der braune
•Rutil von weissem Quarz, dichtem Felgspath, Chlorit und schwar-
•zem Turmalin begleitet, welcher letztere die Hauptmasse ausmacht.
•Talk und Glimmer (die Ekeberg angiebt) sind fraglich. Von Chrom-
•mineralien ist Nichts zu sehen. Von diesen Stücken hatte Professor
•Websky die Güte eines zur Analyse zu opfern, welche auszuführen
•Herr C. Baerwald, Assistent am chemischen Laboratorium der
•Kgl. geologischen Landesanstalt in Berlin, freundlichst übernahm.
•Diese Analyse, für deren Genauigkeit die früheren von Herrn Baer-
•wald mit ausgezeichnete Sorgfalt und nach erprobten Methoden
•ausgeführten bürgen, wird nun zeigen, ob der Chromgehalt ledig-
•lich als zufällige Beimengung anzusehen ist oder eine bestimmte
•Rolle im Rutil spielt, was freilich mit den jetzt bestehenden Ansich-
•ten über chemische Constitution des Rutils schwer in Einklang zu
•bringen und blos durch Annahme eines Bioxydes des Chroms oder
•eines Titantrioxydes; zugleich aber auch eines Titanmonoxydes zu
•erklären sein würde«.

CXXXIX.

CALEDONIT.

(Caledonit, Beudant; Parotomer Blei-Baryt, Mohs; Cupreous sulphato-carbonate of Lead, Phillips; Kupferhaltiges Schwefelkohlensäures Blei, v. Leonhard; Halblasurblei.)

Allgemeine Charakteristik.

Kr. Syst.: rhombisch *).

Grundform: rhombische Pyramide, nach Brooke und Miller's Messungen, mit folgendem Axenverhältnisse:

$$a : b : c = 1,53118 : 1,09124 : 1$$

(wo a = Verticalaxe, b = Makrodiagonale, c = Brahydiagonale).

Der Caledonit kommt bisweilen in schön ausgebildeten Krystallen vor. Die Krystalle erscheinen gewöhnlich horizontal säulenförmig nach den Flächen $a = \infty \bar{P}\infty$, $c = oP$ und $e = \bar{P}\infty$ und zu Büscheln gruppirt. Spaltbarkeit brachydiagonal deutlich, basisch und prismatisch unvollkommen. Härte = 2,5...3; Spec. Gewicht = 6,4. Spangrün bis berggrün. Strich grünlich weiss. Fettglanz. Pellucid in allen Graden. Chemische Zusammensetzung, nach Brooke, eine Verbindung von 55,8 Bleisulfat mit 32,8 Bleicarbonat und 11,4 Kupfercarbonat; allein Flight hat später gefunden, dass die Kohlensäure dem begleitenden Weissbleierz angehört, und dass das Mineral was-

*) Nach Schrauf und P. v. Jeremejew ist das Krystallsystem des Caledonits *monoklinoëdrisch*, was weiter unten ausführlicher besprochen werden wird. Da aber die optischen Eigenschaften, nach Descloizeaux's Untersuchungen, nicht mit dem monoklinoëdrischen System übereinstimmen, sondern im vollkommenen Einklang mit dem *rhombischen* System stehen und da die Zwillingsbildung der Caledonit-Krystalle, wie es mir scheint, bis jetzt noch nicht mit ganzer Sicherheit bewiesen ist, so habe ich hier die alten Daten von Miller beibehalten.

serhaltig ist *); nach ihm ist der Caledonit eine Verbindung von Bleisulfat mit Bleihydroxyd und Kupferhydroxyd; die gefundene Zusammensetzung:

Bleioxyd	68,42
Kupferoxyd	10,17
Schwefelsäure	17,30
Wasser	4,05
	99,94

V. d. L. auf Kohle leicht zu Blei reducirbar; in Salpetersäure löst er sich unter Brausen mit Hinterlassung von Bleisulfat.

Caledonit ist ein sehr seltenes Mineral, anfänglich längere Zeit nur von Leadhills bekannt, zuerst 1825 von Brooke krystallographisch und chemisch untersucht. Späterhin beschäftigten sich mit Caledonit-Krystallen mehrere Gelehrte, wie Miller, Greg und Lettsom, Phillips, Hessenberg, Schrauf, und P. v. Jeremejew. Durch die Untersuchungen dieser Forscher wurden in den Caledonit-Krystallen folgende Krystallformen bestimmt:

Rhombische Pyramiden.

$d = \frac{2}{5}P$	Schrauf.
$s = \frac{2}{3}P$	Brooke und Miller.
$r = P$	Brooke und Miller.
$v = \frac{7}{4}P$	Kokscharow.
$w = 2P$	Greg und Lettsom.
$n = 20P (?)$	Schrauf.

Brachydomen.

$u = \frac{1}{2} \check{P} \infty$	Schrauf.
$y = \frac{1}{2} \check{P} \infty$	Schrauf

*) Journal chem. Soc. (2), XII, p. 101.

$q = \frac{1}{10}\bar{P}\infty$	Schrauf.
$z = \frac{1}{10}\bar{P}\infty$	Schrauf.
$o = \frac{1}{8}\bar{P}\infty$	Schrauf.
$f = \frac{1}{6}\bar{P}\infty$	Jeremejew.
$g = \frac{1}{3}\bar{P}\infty$	Jeremejew.
$i = \frac{1}{3}\bar{P}\infty$	Schrauf.
$e = \bar{P}\infty$	Brooke und Miller.
$p = 2\bar{P}\infty$	Schrauf.

Makrodoma.

$x = 2\bar{P}\infty$	Brooke und Miller.
----------------------	-----------	--------------------

Rhombisches Prisma.

$m = \infty P$	Brooke und Miller.
----------------	-----------	--------------------

Orthopinakoid.

$a = \infty\bar{P}\infty$	Brooke und Miller.
---------------------------	-----------	--------------------

Basisches Pinakoid.

$c = oP$	Brooke und Miller.
----------	-----------	--------------------

Von diesen Formen an Krystallen, welche ich untersucht und welche wahrscheinlich aus Leadhills in Schottland stammten, konnte ich nur folgende annäherungsweise messen: $c = oP$, $a = \infty\bar{P}\infty$, $m = \infty P$, $y = \frac{1}{10}\bar{P}\infty$, $i = \frac{1}{2}\bar{P}\infty$, $s = \frac{2}{3}P$, $v = \frac{7}{4}P$ (dies ist eine neue Form) und $w = 2P$.

Für alle bis jetzt beschriebenen Formen berechnen sich, aus dem oben gegebenen Axenverhältnisse

$$a : b : c = 1,53118 : 1,09124 : 1,$$

die nachstehenden Winkel.

Es wird hier bezeichnet in jeder rhombischen Pyramide :

die makrodiagonalen Polkanten mit X,

die brachydiagonalen Polkanten mit Y,

die Mittelkanten mit Z,

Winkel der makrodiagonalen Polkante gegen die Verticalaxe mit α ,

Winkel der brachydiagonalen Polkante gegen die Verticalaxe mit β ,

Winkel der Mittelkante gegen die Makrodiagonale der Grundform mit γ .

Für $d = \frac{2}{3}P$.

$$\frac{1}{2}X = 54^{\circ} 54' 1'' \quad X = 109^{\circ} 48' 2''$$

$$\frac{1}{2}Y = 58 12 7 \quad Y = 116 24 14$$

$$\frac{1}{2}Z = 51 15 12 \quad Z = 102 30 24$$

$$\alpha = 49^{\circ} 54' 22''$$

$$\beta = 47 25 34$$

$$\gamma = 42 30 6$$

Für $s = \frac{2}{3}P$.

$$\frac{1}{2}X = 53^{\circ} 17' 48'' \quad X = 106^{\circ} 35' 36''$$

$$\frac{1}{2}Y = 56 47 26 \quad Y = 113 34 52$$

$$\frac{1}{2}Z = 54 9 42 \quad Z = 108 19 24$$

$$\alpha = 46^{\circ} 54' 38''$$

$$\beta = 44 24 38$$

$$\gamma = 42 30 6$$

Für $r = P$.

$$\frac{1}{2}X = 48^{\circ} 22' 26'' \quad X = 96^{\circ} 44' 52''$$

$$\frac{1}{2}Y = 52 30 10 \quad Y = 105 0 20$$

$$\frac{1}{2}Z = 64 17 22 \quad Z = 128 34 44$$

$$\alpha = 35^{\circ} 28' 36''$$

$$\beta = 33 8 53$$

$$\gamma = 42 30 6$$

Für $v = \frac{1}{4}P$.

$$\begin{array}{ll} \frac{1}{2}X = 44^\circ 41' 48'' & X = 89^\circ 23' 36'' \\ \frac{1}{2}Y = 49 \ 21 \ 8 & Y = 98 \ 42 \ 16 \\ \frac{1}{2}Z = 74 \ 36 \ 59 & Z = 149 \ 13 \ 58 \end{array}$$

$$\alpha = 22^\circ 9' 30''$$

$$\beta = 20 \ 27 \ 55$$

$$\gamma = 42 \ 30 \ 6$$

Für $w = 2P$.

$$\begin{array}{ll} \frac{1}{2}X = 44^\circ 12' 39'' & X = 88^\circ 25' 18'' \\ \frac{1}{2}Y = 48 \ 56 \ 25 & Y = 97 \ 52 \ 50 \\ \frac{1}{2}Z = 76 \ 27 \ 50 & Z = 152 \ 55 \ 40 \end{array}$$

$$\alpha = 19^\circ 36' 47''$$

$$\beta = 18 \ 5 \ 3$$

$$\gamma = 42 \ 30 \ 6$$

Für $n = 20P$ (?).

$$\begin{array}{ll} \frac{1}{2}X = 42^\circ 31' 9'' & X = 85^\circ 2' 18'' \\ \frac{1}{2}Y = 47 \ 30 \ 51 & Y = 95 \ 1 \ 42 \\ \frac{1}{2}Z = 88 \ 37 \ 15 & Z = 177 \ 14 \ 30 \end{array}$$

$$\alpha = 2^\circ 2' 27''$$

$$\beta = 1 \ 52 \ 13$$

$$\gamma = 42 \ 30 \ 6$$

Für $u = \frac{1}{24}\check{P}_\infty$.

$$\begin{array}{ll} \frac{1}{2}Y = 86^\circ 39' 15'' & Y = 173^\circ 18' 30'' \\ \frac{1}{2}Z = 3 \ 20 \ 45 & Z = 6 \ 41 \ 30 \end{array}$$

Für $y = \frac{1}{20}\check{P}_\infty$.

$$\begin{array}{ll} \frac{1}{2}Y = 85^\circ 59' 12'' & Y = 171^\circ 58' 24'' \\ \frac{1}{2}Z = 4 \ 0 \ 48 & Z = 8 \ 1 \ 36 \end{array}$$

Für $q = \frac{1}{16}\check{P}\infty$.

$$\begin{array}{ll} \frac{1}{3}Y = 84^\circ 59' 17'' & Y = 169^\circ 58' 34'' \\ \frac{1}{3}Z = 5 \ 0 \ 43 & Z = 10 \ 1 \ 26 \end{array}$$

Für $z = \frac{1}{10}\check{P}\infty$.

$$\begin{array}{ll} \frac{1}{3}Y = 82^\circ 0' 46'' & Y = 164^\circ 1' 32'' \\ \frac{1}{3}Z = 7 \ 59 \ 14 & Z = 15 \ 58 \ 28 \end{array}$$

Für $o = \frac{1}{2}\check{P}\infty$.

$$\begin{array}{ll} \frac{1}{3}Y = 80^\circ 3' 7'' & Y = 160^\circ 6' 14'' \\ \frac{1}{3}Z = 9 \ 56 \ 53 & Z = 19 \ 53 \ 46 \end{array}$$

Für $f = \frac{1}{4}\check{P}\infty$.

$$\begin{array}{ll} \frac{1}{3}Y = 76^\circ 50' 15'' & Y = 153^\circ 40' 30'' \\ \frac{1}{3}Z = 13 \ 9 \ 45 & Z = 26 \ 19 \ 30 \end{array}$$

Für $g = \frac{1}{3}\check{P}\infty$.

$$\begin{array}{ll} \frac{1}{3}Y = 64^\circ 56' 1'' & Y = 129^\circ 52' 2'' \\ \frac{1}{3}Z = 25 \ 3 \ 59 & Z = 50 \ 7 \ 58 \end{array}$$

Für $i = \frac{1}{2}\check{P}\infty$.

$$\begin{array}{ll} \frac{1}{3}Y = 54^\circ 56' 50'' & Y = 109^\circ 53' 40'' \\ \frac{1}{3}Z = 35 \ 3 \ 10 & Z = 70 \ 6 \ 20 \end{array}$$

Für $e = \check{P}\infty$.

$$\begin{array}{ll} \frac{1}{3}Y = 35^\circ 28' 36'' & Y = 70^\circ 57' 12'' \\ \frac{1}{3}Z = 54 \ 31 \ 24 & Z = 109 \ 2 \ 48 \end{array}$$

Für $p = 2\check{P}\infty$.

$$\begin{array}{ll} \frac{1}{3}Y = 19^\circ 36' 47'' & Y = 39^\circ 13' 34'' \\ \frac{1}{3}Z = 70 \ 23 \ 13 & Z = 140 \ 46 \ 26 \end{array}$$

Für $x = 2\bar{P}\infty$.

$$\begin{array}{ll} \frac{1}{2}X = 18^\circ 5' 3'' & X = 36^\circ 10' 6'' \\ \frac{1}{2}Z = 71 54 57 & Z = 143 49 54 \end{array}$$

Für $m = \infty P$.

$$\begin{array}{ll} \frac{1}{2}X = 42^\circ 30' 6'' & X = 85^\circ 0' 12'' \\ \frac{1}{2}Z = 47 29 54 & Z = 94 59 48 \end{array}$$

Ferner berechnen sich die nachstehende Winkel:

In der Zone $m/c = \infty P/oP$.

$$\begin{array}{l} c : d = 128^\circ 44' 48'' \\ c : s = 125 50 18 \\ c : r = 115 42 38 \\ c : v = 105 23 1 \\ c : w = 103 32 10 \\ c : n = 91 22 45 \\ c : m = 90 0 0 \\ c : n \left. \vphantom{c : n} \right\} = 88 37 15 \\ \text{über } m \\ c : w \left. \vphantom{c : w} \right\} = 76 27 50 \\ \text{über } m \\ c : v \left. \vphantom{c : v} \right\} = 74 36 59 \\ \text{über } m \\ c : r \left. \vphantom{c : r} \right\} = 64 17 22 \\ \text{über } m \\ c : s \left. \vphantom{c : s} \right\} = 54 9 42 \\ \text{über } m \\ c : d \left. \vphantom{c : d} \right\} = 51 15 12 \\ \text{über } m \\ d : s = 177 5 30 \\ d : r = 166 57 50 \\ d : v = 156 38 13 \\ d : w = 154 47 22 \end{array}$$

$d : n$	$=$	$142^{\circ} 37' 57''$
$d : m$	$=$	$141 \ 15 \ 12$
$d : n$ über m	$\}$	$= 139 \ 52 \ 27$
$d : w$ über m	$\}$	$= 127 \ 43 \ 2$
$d : v$ über m	$\}$	$= 125 \ 52 \ 11$
$d : r$ über m	$\}$	$= 115 \ 32 \ 34$
$d : s$ über m	$\}$	$= 105 \ 24 \ 54$
$d : d$ über m	$\}$	$= 102 \ 30 \ 24$
$s : r$	$=$	$169 \ 52 \ 20$
$s : v$	$=$	$159 \ 32 \ 43$
$s : w$	$=$	$157 \ 41 \ 52$
$s : n$	$=$	$145 \ 32 \ 27$
$s : m$	$=$	$144 \ 9 \ 42$
$s : n$ über m	$\}$	$= 142 \ 46 \ 57$
$s : w$ über m	$\}$	$= 130 \ 37 \ 32$
$s : v$ über m	$\}$	$= 128 \ 46 \ 41$
$s : r$ über m	$\}$	$= 118 \ 27 \ 4$
$s : s$ über m	$\}$	$= 108 \ 19 \ 24$
$r : v$	$=$	$169 \ 40 \ 23$
$r : w$	$=$	$167 \ 49 \ 32$
$r : n$	$=$	$155 \ 40 \ 7$
$r : m$	$=$	$154 \ 17 \ 22$
$r : n$ über m	$\}$	$= 152 \ 54 \ 37$
$r : w$ über m	$\}$	$= 140 \ 45 \ 12$

$$r : v \left. \vphantom{r : v} \right\} = 138^\circ 54' 21''$$

$$\text{über } m \left. \vphantom{r : v} \right\} = 128 \quad 34 \quad 44$$

$$v : w = 178 \quad 9 \quad 9$$

$$v : n = 165 \quad 59 \quad 44$$

$$v : m = 164 \quad 36 \quad 59$$

$$v : n \left. \vphantom{v : n} \right\} = 163 \quad 14 \quad 14$$

$$\text{über } m \left. \vphantom{v : n} \right\} = 151 \quad 4 \quad 49$$

$$v : v \left. \vphantom{v : v} \right\} = 149 \quad 13 \quad 58$$

$$\text{über } m \left. \vphantom{v : v} \right\} = 167 \quad 50 \quad 35$$

$$w : n = 166 \quad 27 \quad 50$$

$$w : n \left. \vphantom{w : n} \right\} = 165 \quad 5 \quad 5$$

$$\text{über } m \left. \vphantom{w : n} \right\} = 152 \quad 55 \quad 40$$

$$n : m = 178 \quad 37 \quad 15$$

$$n : n \left. \vphantom{n : n} \right\} = 177 \quad 14 \quad 30$$

$$\text{über } m \left. \vphantom{n : n} \right\} = 177 \quad 14 \quad 30$$

In der Zone $a/c = \infty \tilde{P} \infty / oP$

$$c : u = 176^\circ 39' 15''$$

$$c : y = 175 \quad 59 \quad 12$$

$$c : q = 174 \quad 59 \quad 17$$

$$c : z = 172 \quad 0 \quad 46$$

$$c : o = 170 \quad 3 \quad 7$$

$$c : f = 166 \quad 50 \quad 15$$

$$c : g = 154 \quad 56 \quad 1$$

$$c : i = 144 \quad 56 \quad 50$$

$$c : e = 125 \quad 28 \quad 36$$

$$c : p = 109 \quad 36 \quad 47$$

$$c : a = 90 \quad 0 \quad 0$$

$$c : p \left. \begin{array}{l} \\ \text{über } a \end{array} \right\} = 70^\circ 23' 13''$$

$$c : e \left. \begin{array}{l} \\ \text{über } a \end{array} \right\} = 54 \quad 31 \quad 24$$

$$c : i \left. \begin{array}{l} \\ \text{über } a \end{array} \right\} = 35 \quad 3 \quad 10$$

$$c : g \left. \begin{array}{l} \\ \text{über } g \end{array} \right\} = 25 \quad 3 \quad 59$$

$$c : f \left. \begin{array}{l} \\ \text{über } a \end{array} \right\} = 13 \quad 9 \quad 45$$

$$c : o \left. \begin{array}{l} \\ \text{über } a \end{array} \right\} = 9 \quad 56 \quad 53$$

$$c : z \left. \begin{array}{l} \\ \text{über } a \end{array} \right\} = 7 \quad 59 \quad 14$$

$$c : q \left. \begin{array}{l} \\ \text{über } a \end{array} \right\} = 5 \quad 0 \quad 43$$

$$c : y \left. \begin{array}{l} \\ \text{über } a \end{array} \right\} = 4 \quad 0 \quad 48$$

$$c : u \left. \begin{array}{l} \\ \text{über } a \end{array} \right\} = 3 \quad 20 \quad 45$$

$$u : y = 179 \quad 19 \quad 57$$

$$u : q = 178 \quad 20 \quad 2$$

$$u : z = 175 \quad 21 \quad 31$$

$$u : o = 173 \quad 23 \quad 52$$

$$u : f = 170 \quad 11 \quad 0$$

$$u : g = 158 \quad 16 \quad 46$$

$$u : i = 148 \quad 17 \quad 35$$

$$u : e = 128 \quad 49 \quad 21$$

$$u : p = 112 \quad 57 \quad 32$$

$$u : a = 93 \quad 20 \quad 45$$

$$u : p \left. \begin{array}{l} \\ \text{über } a \end{array} \right\} = 73 \quad 43 \quad 58$$

$$u : e \left. \begin{array}{l} \\ \text{über } a \end{array} \right\} = 57 \quad 52 \quad 9$$

$$u : i \left. \begin{array}{l} \\ \text{über } a \end{array} \right\} = 38 \quad 23 \quad 55$$

$$u : g \left. \begin{array}{l} \\ \text{über } a \end{array} \right\} = 28 \quad 24 \quad 44$$

$$u : f \left. \vphantom{u : f} \right\} = 16^\circ 30' 30''$$

$$u : o \left. \vphantom{u : o} \right\} = 13 \ 17 \ 38$$

$$u : z \left. \vphantom{u : z} \right\} = 11 \ 19 \ 59$$

$$u : q \left. \vphantom{u : q} \right\} = 8 \ 21 \ 28$$

$$u : y \left. \vphantom{u : y} \right\} = 7 \ 21 \ 33$$

$$u : u \left. \vphantom{u : u} \right\} = 6 \ 41 \ 30$$

$$y : q = 179 \ 0 \ 5$$

$$y : z = 176 \ 1 \ 34$$

$$y : o = 174 \ 3 \ 55$$

$$y : f = 170 \ 51 \ 3$$

$$y : g = 158 \ 56 \ 49$$

$$y : i = 148 \ 57 \ 38$$

$$y : e = 129 \ 29 \ 24$$

$$y : p = 113 \ 37 \ 35$$

$$y : a = 94 \ 0 \ 48$$

$$y : p \left. \vphantom{y : p} \right\} = 74 \ 24 \ 1$$

$$y : e \left. \vphantom{y : e} \right\} = 58 \ 32 \ 12$$

$$y : i \left. \vphantom{y : i} \right\} = 39 \ 3 \ 58$$

$$y : g \left. \vphantom{y : g} \right\} = 29 \ 4 \ 47$$

$$y : f \left. \vphantom{y : f} \right\} = 17 \ 10 \ 33$$

$$y : o \left. \vphantom{y : o} \right\} = 13 \ 57 \ 41$$

$$y : z \left. \vphantom{y : z} \right\} = 12 \ 0 \ 2$$

$$y : q \left. \vphantom{y : q} \right\} = 9 \ 1 \ 31$$

$$y : y \left. \vphantom{y : y} \right\} = 8 \ 1 \ 36$$

$q : z$	$=$	177°	$1'$	$29''$
$q : o$	$=$	175	3	50
$q : f$	$=$	171	50	58
$q : g$	$=$	159	56	44
$q : i$	$=$	149	57	33
$q : e$	$=$	130	29	19
$q : p$	$=$	114	37	30
$q : a$	$=$	95	0	43
$q : p$ über a	$\}$	$=$	75	23 56
$q : e$ über a	$\}$	$=$	59	32 7
$q : i$ über a	$\}$	$=$	40	3 53
$q : g$ über a	$\}$	$=$	30	4 42
$q : f$ über a	$\}$	$=$	18	10 28
$q : o$ über a	$\}$	$=$	14	57 36
$q : z$ über a	$\}$	$=$	12	59 57
$q : q$ über a	$\}$	$=$	10	1 26
$z : o$	$=$	178	2	21
$z : f$	$=$	174	49	29
$z : g$	$=$	162	55	15
$z : i$	$=$	152	56	4
$z : e$	$=$	133	27	50
$z : p$	$=$	117	36	1
$z : a$	$=$	97	59	14
$z : p$ über a	$\}$	$=$	78	22 27
$z : e$ über a	$\}$	$=$	62	30 38
$z : i$ über a	$\}$	$=$	43	2 24

$z : g \}$ über a	$=$	33° 3' 13''
$z : f \}$ über a	$=$	21 8 59
$z : o \}$ über a	$=$	17 56 7
$z : z \}$ über a	$=$	15 58 28
$o : f$	$=$	176 47 8
$o : g$	$=$	164 52 54
$o : i$	$=$	154 53 43
$o : e$	$=$	135 25 29
$o : p$	$=$	119 33 40
$o : a$	$=$	99 56 53
$o : p \}$ über a	$=$	80 20 6
$o : e \}$ über a	$=$	64 28 17
$o : i \}$ über a	$=$	45 0 3
$o : g \}$ über a	$=$	35 0 52
$o : f \}$ über a	$=$	23 6 38
$o : o \}$ über a	$=$	19 53 46
$f : g$	$=$	168 5 46
$f : i$	$=$	158 6 35
$f : e$	$=$	138 38 21
$f : p$	$=$	122 46 32
$f : a$	$=$	103 9 45
$f : p \}$ über a	$=$	83 32 58
$f : e \}$ über a	$=$	67 41 9
$f : i \}$ über a	$=$	48 12 55

$f : g$ über a	$\}$	$=$	38°	$13'$	$44''$
$f : f$ über a	$\}$	$=$	26	19	30
$g : i$		$=$	170	0	49
$g : e$		$=$	150	32	35
$g : p$		$=$	134	40	46
$g : a$		$=$	115	3	59
$g : p$ über a	$\}$	$=$	95	27	12
$g : e$ über a	$\}$	$=$	79	35	23
$g : i$ über a	$\}$	$=$	60	7	9
$g : g$ über a	$\}$	$=$	50	7	58
$i : e$		$=$	160	31	46
$i : p$		$=$	144	39	57
$i : a$		$=$	125	3	10
$i : p$ über a	$\}$	$=$	105	26	23
$i : e$ über a	$\}$	$=$	89	34	34
$i : i$ über a	$\}$	$=$	70	6	20
$e : p$		$=$	164	8	11
$e : a$		$=$	144	31	24
$e : p$ über a	$\}$	$=$	124	54	37
$e : e$ über a	$\}$	$=$	109	2	48
$p : a$		$=$	160	23	13
$p : p$ über a	$\}$	$=$	140	46	26

In der Zone $b/c = \infty \bar{P} \infty / oP$.

$$c : x = 108^\circ 5' 3''$$

$$c : b = 90 \quad 0 \quad 0$$

$$\left. \begin{array}{l} c : x \\ \text{über } b \end{array} \right\} = 71 \quad 54 \quad 57$$

$$x : b = 161 \quad 54 \quad 57$$

$$\left. \begin{array}{l} x : x \\ \text{über } b \end{array} \right\} = 143 \quad 49 \quad 54$$

Einige andere Combinationswinkel.

$$m : u = 92^\circ 15' 35''$$

$$m : y = 92 \quad 42 \quad 37$$

$$m : q = 93 \quad 23 \quad 1$$

$$m : z = 95 \quad 23 \quad 12$$

$$m : f = 98 \quad 51 \quad 0$$

$$m : g = 106 \quad 37 \quad 58$$

$$m : i = 112 \quad 49 \quad 54$$

$$m : e = 123 \quad 22 \quad 47$$

$$m : p = 129 \quad 31 \quad 30$$

$$m : x = 134 \quad 29 \quad 39$$

$$m : a = 132 \quad 30 \quad 6$$

$$m : b = 137 \quad 29 \quad 54$$

$$\left. \begin{array}{l} m : m \\ \text{über } a \end{array} \right\} = 85 \quad 0 \quad 12$$

$$\left. \begin{array}{l} m : m \\ \text{über } b \end{array} \right\} = 94 \quad 59 \quad 48$$

$$d : a = 121 \quad 47 \quad 53$$

$$d : b = 125 \quad 5 \quad 59$$

$$s : a = 123 \quad 12 \quad 34$$

$$s : b = 126 \quad 42 \quad 12$$

$$r : a = 127 \quad 29 \quad 50$$

$$r : b = 131 \quad 37 \quad 34$$

$r : e$	$=$	138°	$22'$	$26''$
$r : x$	$=$	140	0	23
$v : a$	$=$	130	38	52
$v : b$	$=$	135	18	12
$w : a$	$=$	131	3	35
$w : b$	$=$	135	47	21
$w : x$	$=$	138	56	25
$n : a$	$=$	132	29	9
$n : b$	$=$	137	28	51

In Russland findet sich der Caledonit am Ural, nämlich in der Grube Preobrajensk in der Umgegend der Hütte Beresowsk (Revier Katherinenburg).

Die Entdeckung des Caledonits in Russland verdanken wir P. v. Jeremejew *), der denselben nach den Exemplaren bestimmte, welche er vom Berg-Ingenieuren A. v. Auerbach erhalten hatte, und welche von ihm auch in den Dubletten des Museums des Berg-Instituts zu St.-Petersburg gefunden wurden. Nach der Beschreibung dieses Gelehrten sind die Krystalle des russischen Caledonits meistens gut ausgebildet und haben glänzende Flächen, mit Ausnahme der Flächen, welche in der Zone $\infty P \infty / oP = a/c$ liegen, denn diese letzteren sind gewöhnlich schwach gestreift. Die Grösse der Krystalle variirt von 1 bis 3,5 Millimeter. Farbe schön bläulich-grün, wie bei den Krystallen aus Schottland. Fettglanz. Einige Krystalle sind vollkommen durchsichtig, andere halbdurchsichtig oder nur durchscheinend.

In den russischen Caledonit-Krystallen hat P. v. Jeremejew folgende Formen beschrieben: $a = \infty \check{P} \infty$, $c = oP$, $q = \frac{1}{6} \check{P} \infty$, $f = \frac{1}{6} \check{P} \infty$, $g = \frac{1}{3} \check{P} \infty$, $i = \frac{1}{2} \check{P} \infty$, $e = \check{P} \infty$, $m = \infty P$, $s = \frac{2}{3} P$,

*) Verhandlungen der Russisch-Kaiserlichen Mineralogischen Gesellschaft zu St.-Petersburg, zweite Serie, 1882, Bd. XVII, S. 207.

$r = P$ und $w = 2P$. Von diesen Formen sind $f = \frac{1}{6}\bar{P}\infty$ und $g = \frac{1}{3}\bar{P}\infty$ neue.

Der Caledonit kommt in der Grube Preobrajensk im goldführenden Quarz zusammen mit Weissbleierz, Bleivitriol und Wismuthocker vor.

Messungen der Caledonit-Krystalle und besondere Bemerkungen.

Mit den Messungen der Caledonit-Krystalle beschäftigten sich mehrere Forscher, wie Brooke, Miller, Greg und Lettsom, Hessenberg, Schrauf, v. Jeremejew und auch ich war im Stande zwei Krystalle annäherungsweise zu messen. Es scheint aber, dass man alle diese Messungen nicht als befriedigende betrachten kann und dies ist wahrscheinlich die Ursache, dass über das Krystall-System des Minerals zwei verschiedene Meinungen entstanden sind: Brooke, Miller, Greg und Hessenberg, betrachten den Caledonit als *rhombisch*, dagegen Schrauf und v. Jeremejew — als *monoklinoëdrisch*.

Die optischen Eigenschaften des Minerals, stehen nach Descloizeaux's Beobachtungen im vollkommenen Einklang mit dem *rhombischen* System. Dieser grosse Meister sagt nämlich folgendes *):

Rhombisches Prisma von 95° . Die Ebene der optischen Axen parallel mit $a = \infty\bar{P}\infty$. Die *scharfe* Bissectrix normal zu $b = \infty\bar{P}\infty$. Die optischen Axen sind sehr entfernt von einander und zeigen eine bedeutende Dispersion, mit $\rho < \nu$. Zwei sehr dünne Platten, ziemlich genau normal zu beiden Bissectrixen, haben mir, bei der Temperatur 14°C. , gegeben **):

*) A. Descloizeaux: Nouvelles recherches sur les propriétés optiques des cristaux naturels ou artificiels, III-e Memoire, Paris, 1867, p. 205.

***) Descloizeaux bezeichnet nämlich: H_a = einen halben scharfen (aigu) Winkel der optischen Axen im Oel, H_o = einen halben stumpfen (obtus) Winkel der optischen Axen im Oel, V = einen halben wirklichen Winkel der optischen Axen, β = mittlerer Brechungsexponent.

$$2H_1 = \begin{cases} 112^\circ 27' & \text{rothe Strahlen.} \\ 113^\circ 27\frac{1}{3}' & \text{blaue Strahlen.} \end{cases}$$

$$2H_0 = \begin{cases} 142^\circ 5\frac{1}{2}' & \text{rothe Strahlen.} \\ 141^\circ 32' & \text{blaue Strahlen.} \end{cases}$$

Aus diesen Elementen, leitet man folgende annäherende Werthe ab:

$$2V = \begin{cases} 82^\circ 37' & \beta = 1,846 \text{ rothe Strahlen.} \\ 83^\circ 3' & \beta = 1,864 \text{ blaue Strahlen} \end{cases}$$

Ausserdem hat mir noch in einem Briefe von Paris, vom $\frac{10.}{22.}$ December 1883, Descloizeaux unter anderem geschrieben:

•Um auf ihre Frage zu antworten habe ich meine alten Caledonit-Platten wieder einer neuen Untersuchung unterworfen und noch eine neue Platte verfertigen lassen, um meine alten Arbeiten zu wiederholen und zugleich zu vervollständigen. Ich fand nichts zu ändern und bleibe bei meinen alten Angaben, welche ich in meinem 3-ten optischen Memoiren 1867 veröffentlicht habe. Auch konnte ich keine Spur von einer Zwillingbildung entdecken•.

Von meiner Seite kann ich nur noch hinzufügen, dass in den von mir untersuchten Krystallen von Schottland ich ebenfalls keine Zwillingbildung beobachten konnte. Meine eigenen Messungen (welche ich unten geben werde) sind nicht zahlreich und nicht genau genug um aus denselben einen befriedigenden Schluss über das Krystallsystem des Minerals ziehen zu können. Da aber die optischen Eigenschaften gegen das monoklinoëdrische System sprechen und da über die Zwillingbildung die Meinungen verschieden sind, so habe ich oben (in der allgemeinen Charakteristick) die alten Brooke und Miller'schen Daten beibehalten, ungeachtet dass Schrauf und v. Jermesjew fast alle Caledonit-Krystalle als Zwillinge und daher das Mineral selbst als zum monoklinoëdrischen System gehörig betrachten. Jedenfalls muss man gestehen, dass die bisherigen Messungen nicht ganz gut übereinstimmen und nicht im gewünschten

Einklang zu den Rechnungen stehen. Nur v. Jeremejew's Messungen bieten in dieser Hinsicht einen Unterschied von den anderen dar, denn dieselben entsprechen sehr gut den Werthen, welche er aus seinem Axenverhältnisse ($a : b : c = 1,577254 : 1,089562 : 1$ $\gamma = 89^\circ 22' 0''$) berechnet hat. Unter anderem erwähnt er, dass die besten seiner Messungen (mit Hilfe des Mitscherlich'schen Goniometer), welche als Daten zu den Berechnungen dienten, folgende waren *) :

$$\begin{aligned}
 oP & : - \frac{1}{8}P_\infty = 166^\circ 30' 10'' \\
 \infty P_\infty & : + 2P_\infty = 160 \quad 49 \quad 10 \\
 \infty P & : + P = 154 \quad 50 \quad 56 \\
 \infty P & : - 2P = 166 \quad 52 \quad 0 \\
 \infty P & : \infty P = 94 \quad 54 \quad 18 \\
 \infty P_\infty & : \infty P_\infty \Big\} = 178 \quad 44 \quad 10 \\
 & \text{Zwillingskante}
 \end{aligned}$$

Was seine anderen Messungen anbelangt, so schweigt P. v. Jeremejew über den Grad der Genauigkeit derselben. Endlich giebt er folgende Vergleichung :

	Gemessen.	Berechnet.
· {	$oP : + \frac{2}{3}P = 124^\circ 42' 10''$	$\dots 124^\circ 43' 50''$
	$oP : - \frac{2}{3}P = 125 \quad 15 \quad 20$	$\dots 125 \quad 18 \quad 18$
{	$oP : + P = 114 \quad 39 \quad 30$	$\dots 114 \quad 41 \quad 10$
	$oP : - P = 115 \quad 27 \quad 40$	$\dots 115 \quad 23 \quad 21$
{	$oP : + 2P = 102 \quad 47 \quad 8$	$\dots 102 \quad 44 \quad 23$
	$oP : - 2P = 103 \quad 37 \quad 32$	$\dots 103 \quad 33 \quad 7$

*) Ich behalte hier bei den Jeremejew'schen Messungen, so wie weiter bei der Aufzählung der Schraufachen Messungen, die von diesen Autoren adoptirte monoklinoëdrische Bezeichnung bei.

	Gemessen.	Berechnet.
$\left\{ \begin{array}{l} \infty P \\ \infty P \end{array} \right.$	$\begin{array}{l} : + 2P \\ : - 2P \end{array} = 166^{\circ} 47' 30'' \dots 166^{\circ} 49' 55''$	$\begin{array}{l} \\ \\ \end{array} = 166 \ 52 \ 0 \dots 166 \ 52 \ 35$
$\left\{ \begin{array}{l} \infty P \\ \infty P \end{array} \right.$	$\begin{array}{l} : + P \\ : - P \end{array} = 154 \ 50 \ 56 \dots 154 \ 53 \ 8$	$\begin{array}{l} \\ \\ \end{array} = 155 \ 6 \ 10 \dots 155 \ 2 \ 21$
∞P	$: - \frac{2}{3}P = 145 \ 3 \ 20 \dots 145 \ 7 \ 24$	
$\left\{ \begin{array}{l} \infty P \infty \\ \infty P \infty \end{array} \right.$	$\begin{array}{l} : + P \\ : - P \end{array} = 127 \ 29 \ 50 \dots 127 \ 34 \ 12$	$\begin{array}{l} \\ \\ \end{array} = 128 \ 4 \ 30 \dots 127 \ 59 \ 37$
$\left\{ \begin{array}{l} \infty P \infty \\ \infty P \infty \end{array} \right.$	$\begin{array}{l} : + 2P \\ : - 2P \end{array} = 131 \ 1 \ 10 \dots 131 \ 4 \ 33$	$\begin{array}{l} \\ \\ \end{array} = 131 \ 12 \ 20 \dots 131 \ 17 \ 33$
$\infty P \infty$	$: \infty P = 132 \ 35 \ 10 \dots 132 \ 32 \ 51$	
∞P	$: \infty P = 94 \ 54 \ 18 \dots 94 \ 54 \ 18$	
oP	$: - \frac{1}{6}P \infty = 174 \ 45 \ 30 \dots 174 \ 50 \ 8$	
$\left\{ \begin{array}{l} oP \\ oP \end{array} \right.$	$\begin{array}{l} : + \frac{1}{6}P \infty \\ : - \frac{1}{6}P \infty \end{array} = 166 \ 20 \ 40 \dots 166 \ 24 \ 5$	$\begin{array}{l} \\ \\ \end{array} = 166 \ 30 \ 10 \dots 166 \ 28 \ 16$
$\left\{ \begin{array}{l} oP \\ oP \end{array} \right.$	$\begin{array}{l} : + \frac{1}{3}P \infty \\ : - \frac{1}{3}P \infty \end{array} = 154 \ 12 \ 48 \dots 154 \ 7 \ 20$	$\begin{array}{l} \\ \\ \end{array} = 154 \ 18 \ 50 \dots 154 \ 21 \ 41$
oP	$: + \frac{1}{3}P \infty = 143 \ 57 \ 30 \dots 143 \ 53 \ 8$	
$\infty P \infty$	$: + 2P \infty = 160 \ 49 \ 10 \dots 160 \ 52 \ 44$	
$\left\{ \begin{array}{l} \infty P \infty \\ \infty P \infty \end{array} \right.$	$\begin{array}{l} : + P \infty \\ : - P \infty \end{array} = 145 \ 5 \ 20 \dots 145 \ 9 \ 34$	$\begin{array}{l} \\ \\ \end{array} = 145 \ 31 \ 30 \dots 145 \ 34 \ 9$
$\infty P \infty$	$: - \frac{1}{3}P \infty = 126 \ 21 \ 10 \dots 126 \ 18 \ 44$	

Was die Messungen von Schrauf anbelangt (zu welchen wir weiter unten noch zurückkehren werden), so sind sie sehr zahlreich, aber auch, wie es scheint, nicht ganz genau, denn am Schlusse seiner werthvollen Abhandlung, sagt Schrauf *) unter anderem:

*) Schrauf: Mineralogische Beobachtungen III, Sitzb. der K. Akad. der Wissenschaften zu Wien, Bd. LXIV, 1. Abth. Juli-Heft, Jahrgang 1871, S. 57.

»Ich habe wohl versucht, aus meinen Messungen ein Parametersystem abzuleiten, allein ich betrachte dasselbe nur als einen vorläufigen Versuch, die morphologischen Verhältnisse dieser Substanz zu erläutern, und würde auch dasselbe nicht veröffentlichen, wenn das mir vorliegende Material eine weitere Verbesserung meiner bisherigen Resultate erwarten liesse. Ich kann nur die Hoffnung hegen, dass glückliche Funde ausgezeichnete Caledonit-Krystalle bald die Mittel liefern möchten, die krystallographischen Studien an dieser Mineralspecies fortführen zu können. Ich darf wohl endlich nicht verhehlen, dass man nur durch die Anwendung eines Reflexionsgoniometer mit zwei Fernröhren im Stande ist, Zwillingcombinationen wie die vorliegenden zu unterscheiden. Die Zwillinglamellen sind nämlich z. B. auf den Flächen α oftmals zahlreich interponirt, die gegenseitige Neigung der Flächen selbst gering, so dass die Fläche unter der Loupe nur einen Reflex zu liefern scheint. Erst im Beobachtungsfernrohr des Reflexionsgoniometer lösen sich die beiden Fadenkreuze deutlich erkennbar auseinander und lassen die Neigung der Zwillinglamellen messen«.

A. Schrauf hat 7 Krystalle sehr ausführlich gemessen und für die wichtigsten Winkel derselben folgende Werthe erhalten *):

$$\begin{array}{r} \infty P \quad : \quad \infty P \infty = 132^{\circ} 33' \\ = 132 \quad 32 \\ = 132 \quad 32 \\ = 132 \quad 32\frac{1}{4} \\ = 132 \quad 35 \\ = 132 \quad 33 \end{array}$$

$$\text{Gedris} = 132^{\circ} 32' 55''$$

* Um in meinem Werke Gleichförmigkeit bei zu behalten, alle Formen, welche Schrauf als *negative* betrachtet, habe ich, nach Naumann's Methode, als *positive* und umgekehrt angenommen.

$$\begin{aligned} \infty P & : - 2P = 167^\circ 0' \\ & \quad 166 \quad 0 \\ & \quad 167 \quad 0 \\ & \quad 166 \quad 57 \end{aligned}$$

$$\text{Mittel} = 166^\circ 44' 15''$$

$$\infty P : + \frac{2}{5}P = 141^\circ 30'$$

$$\begin{aligned} +P\infty : \infty P\infty & = 145^\circ 20' \\ & \quad 145 \quad 10 \\ & \quad 145 \quad 20 \\ & \quad 144 \quad 55 \\ & \quad 144 \quad 59 \\ & \quad 145 \quad 0 \\ & \quad 144 \quad 57 \end{aligned}$$

$$\text{Mittel} = 145^\circ 5' 51''$$

$$\begin{aligned} -P\infty : \infty P\infty & = 144^\circ 15' \\ & \quad 143 \quad 50 \\ & \quad 144 \quad 20 \\ & \quad 144 \quad 35 \end{aligned}$$

$$\text{Mittel} = 144^\circ 15' 0''$$

$$+P\infty : oP = 123^\circ 50'$$

$$-P\infty : oP = 124^\circ 50'$$

$$\begin{aligned} + \frac{1}{2}P\infty : \infty P\infty & = 125^\circ 28' \\ & \quad 125 \quad 5 \\ & \quad 125 \quad 10 \\ & \quad 125 \quad 0 \\ & \quad 125 \quad 40 \end{aligned}$$

$$\text{Mittel} = 125^\circ 16' 36''$$

$$\begin{array}{r} - \frac{1}{2}P_{\infty} : \quad \infty P_{\infty} = 125^{\circ} 0' \\ \qquad \qquad \qquad 126 \ 10 \\ \hline \text{Mittel} = 125^{\circ} 35' 0'' \end{array}$$

$$\begin{array}{r} + 2P_{\infty} : \quad \infty P_{\infty} = 160^{\circ} 30' \\ + \frac{1}{3}P_{\infty} : \quad \infty P_{\infty} = 115^{\circ} 0' \text{ circa.} \\ + \frac{1}{4}P_{\infty} : \quad oP = 175^{\circ} 55' \\ + \frac{1}{5}P_{\infty} : \quad \infty P_{\infty} = 93^{\circ} 30' \\ - 2P : \quad oP = 103^{\circ} 30' \\ - \frac{1}{8}P_{\infty} : \quad oP = 170^{\circ} 0' \\ - \frac{1}{8}P_{\infty} : \quad \infty P_{\infty} = 100^{\circ} 50' \\ + \frac{1}{10}P_{\infty} : \quad \infty P_{\infty} = 97^{\circ} 20' \\ \qquad \qquad \qquad 97 \ 30 \\ \qquad \qquad \qquad 97 \ 48 \\ \hline \text{Mittel} = 97^{\circ} 32' 40'' \end{array}$$

$$\begin{array}{r} + \frac{1}{10}P_{\infty} : \quad oP = 171^{\circ} 30' \\ - \frac{1}{18}P_{\infty} : \quad \infty P_{\infty} = 95^{\circ} 30' \\ + \frac{2}{3}P : \quad oP = 125^{\circ} 30' \\ \qquad \qquad \qquad 125 \ 20 \\ \qquad \qquad \qquad 125 \ 9 \\ \hline \text{Mittel} = 125^{\circ} 19' 40'' \end{array}$$

Brooke *) hat folgende Winkel gemessen:

$$\begin{array}{r} m : m = 95^{\circ} 0' \\ m : c = 90 \ 0 \end{array}$$

*) Vergl. „Elementary Introduction to Mineralogy“, by William Phillips, 1837, London, p. 360.

$$\begin{aligned}
 m : s &= 144^\circ 0' \\
 m : a &= 132 30 \\
 s : c &= 126 0 \\
 \left. \begin{array}{l} s : s \\ \text{in Z} \end{array} \right\} &= 108 0 \\
 r : c &= 115 30 \\
 r : x &= 140 40 \\
 \left. \begin{array}{l} r : r \\ \text{in Z} \end{array} \right\} &= 128 35 \\
 x : c &= 108 0 \\
 \left. \begin{array}{l} x : x \\ \text{in Z} \end{array} \right\} &= 143 42 \\
 e : c &= 126 0 \\
 e : a &= 144 30 \\
 a : c &= 90 0
 \end{aligned}$$

Miller giebt als Daten für seine Berechnungen:

$$\begin{aligned}
 m : a &= 132^\circ 30' \\
 e : c &= 125 28\frac{1}{2}
 \end{aligned}$$

Greg *) hat gefunden:

$$\left. \begin{array}{l} w : w \\ \text{in Z} \end{array} \right\} = 152^\circ 30'$$

Hessenberg **) hat durch Messung gefunden:

$$\begin{aligned}
 \left. \begin{array}{l} m : m \\ \text{in Y} \end{array} \right\} &= 94^\circ 47' \\
 m : a &= 132 42 \text{ vorn} \\
 &132 16 \text{ hinten} \\
 \hline
 \text{Mittel} &= 132^\circ 29'
 \end{aligned}$$

*) R. P. Greg und W. G. Lettsom: *Manuel of the Mineralogy of Great Britain and Irland*, London, 1858, p. 403.

**) F. Hessenberg: *Mineralogische Notizen*, № 9, Frankfurt a. M. S. 48. (Aus den Abhandlungen der Senkenbergischen Gesellschaft in Frankfurt a. M. Bd. VII, S. 267 ff).

$$\begin{aligned} m : c &= 90^\circ 0' \\ m : s &= 144 56 \\ e : c &= 125 25 \\ e : a &= 144 39 \\ \left. \begin{array}{l} e : e \\ \text{in Z} \end{array} \right\} &= 109 38 \\ s : c &= 125^\circ - 125^\circ 21' \text{ Ca.} \\ w : c &= 103 5 \\ a : c &= 90 7 \end{aligned}$$

Meinerseits konnte ich, wie schon oben bemerkt wurde, nicht mehr als zwei Krystalle *annäherungsweise* messen, und dazu noch an einem von diesen beiden nur einen einzigen Winkel $e : a$. Durch Messung mit Hilfe des gewöhnlichen Wollaston'schen Reflexionsgoniometers habe ich nämlich gefunden *):

$$\begin{array}{l} e : a = 144^\circ 45' \text{ gut} \\ \qquad 144 35 \text{ ziemlich gut} \end{array} \left. \vphantom{\begin{array}{l} e : a \\ 144 35 \end{array}} \right\} \begin{array}{l} \text{in zwei verschie-} \\ \text{denen Krystallen.} \end{array}$$

$$\text{Mittel} = 144^\circ 40'$$

$$i : a = 125^\circ 50' \text{ ziemlich gut.}$$

$$y : a = 94^\circ 7' \text{ ziemlich gut.}$$

$$\begin{array}{l} s : m = 143^\circ 22' \text{ vorne} \\ \qquad 145 3 \text{ hintre} \end{array} \left. \vphantom{\begin{array}{l} s : m \\ 145 3 \end{array}} \right\} \text{mittelmässig.}$$

$$\text{Mittel} = 144^\circ 13'$$

$$\left. \begin{array}{l} s : s \\ \text{in Z} \end{array} \right\} = 108^\circ 25' \text{ mittelmässig.}$$

*) Den Grad der Reflexion werde ich hier, wie gewöhnlich, durch die Worte: „sehr gut“, „gut“, „ziemlich“, „mittelmässig“, „unbefriedigend“ u. s. w. bezeichnen. Der von mir gemessene Krystall № 1 war wahrscheinlich nicht ganz gut ausgebildet, denn einige Winkel desselben, obgleich ihre Reflexion befriedigend war, stimmten nicht überein.

$$\left. \begin{array}{l} s : w \\ \text{anliegende} \end{array} \right\} = 158^\circ 0' \text{ mittelmässig.}$$

$$\left. \begin{array}{l} s : w \\ \text{über } m \end{array} \right\} = 130^\circ 20' \text{ mittelmässig.}$$

$$v : m = 164^\circ 40' \text{ sehr gut *).}$$

$$\left. \begin{array}{l} v : w \\ \text{über } m \end{array} \right\} = 151^\circ 45' \text{ gut.}$$

$$w : m = 167^\circ 4' \text{ gut.}$$

Versuch vermittelt der oben angeführten Messungen, bei Beibehaltung des rhombischen Systems, ein möglichst passendes Axenverhältniss für die Grundform des Caledonits abzuleiten.

Anfangs glaubte ich, dass wenn man alle bisher gefundenen Werthe für das Prisma $m = \infty P$ und Brachydoma $e = \bar{P}\infty$ in Rücksicht nehmen wollte, man durch eine solche Combination zu einem befriedigenden Axenverhältnisse gelangen könnte. Unglücklicherweise bin ich in meinem Erwartungen getäuscht worden. In der That, wenn wir folgende Messungen in Rücksicht nehmen wollen:

$$\left. \begin{array}{l} m : m \\ \text{in } Y \end{array} \right\} = \begin{array}{l} 95^\circ 0' \text{ Brooke.} \\ 94 47 \text{ Hessenberg.} \\ 94 57 \text{ Schrauf **).} \\ 94 54 \text{ Jeremejew.} \end{array}$$

$$\text{Mittel} = 94^\circ 54' 30'' \text{ (I)}$$

*) Wenn diese Messung, bei der Annahme $v = \frac{1}{2}P$, für die Berechnung als Data genommen wird, so vermittelt der Formel des *rhombischen* System's berechnen sich folgende Winkel:

$$r : m = 154^\circ 21' 59'' \text{ (nach Miller} = 154^\circ 17' 30'')$$

$$s : m = 144 15 19 \text{ (nach Miller} = 144 10 0)$$

***) Bei Erwähnung der von Schrauf und v. Jeremejew erhaltenen Werthe sind hier die Mittel zwischen denselben genommen, welche diese Forscher für die positiven und negativen Formen geben.

$$\begin{aligned}
 m : a &= 132^\circ 30' \text{ Brooke.} \\
 &132 \ 29 \text{ Hessenberg.} \\
 &132 \ 33 \text{ Schrauf.} \\
 &132 \ 35 \text{ Jeremejew.}
 \end{aligned}$$

$$\text{Mittel} = 132^\circ 31' 45'', \text{ also } m : m \left. \vphantom{\text{Mittel}} \right\}_{\text{in Y}} = 94^\circ 56' 30'' \text{ (II)}$$

so bekommen wir im Mittel aus (I) und (II):

$$m : m \left. \vphantom{\text{Mittel}} \right\}_{\text{in Y}} = 94^\circ 55' 30''$$

und folglich können wir diese Zahl als Data für die Berechnungen annehmen.

Wir haben weiter:

$$\begin{aligned}
 e : a &= 144^\circ 30' \text{ Brooke.} \\
 &144 \ 31 \frac{1}{3} \text{ Miller.} \\
 &144 \ 39 \text{ unmittelbar} \\
 &144 \ 49 \text{ aus } e : e \text{ abg.} \\
 &144 \ 35 \text{ aus } e : c \text{ abg.} \\
 &144 \ 40 \frac{1}{3} \text{ Schrauf.} \\
 &145 \ 18 \frac{1}{3} \text{ Jeremejew.} \\
 &144 \ 40 \text{ Kokscharow.}
 \end{aligned}
 \left. \vphantom{\begin{aligned} e : a \\ \dots \\ 144 \ 40 \end{aligned}} \right\} \text{Hessenberg.}$$

$$\text{Mittel} = 144^\circ 42' 56''$$

Also für das Data zu den Berechnungen können wir eine runde Zahl nehmen, nämlich:

$$e : a = 144^\circ 43' 0''$$

Aus denen auf dieser Weise erhaltenen zwei Winkel $m : m = 94^\circ 55' 30''$ und $e : a = 144^\circ 43' 0''$ berechnet sich folgendes Axenverhältniss für die Grundform:

$$a : b : c = 1,54024 : 1,08988 : 1,$$

(wo $a =$ Verticalaxe, $b =$ Makrodiagonale, $c =$ Brachydiagonale).

und aus derselben folgende Winkel:

Für $d = \frac{2}{5}P$.

$$\begin{array}{ll} \frac{1}{2}X = 54^\circ 49' 17'' & X = 109^\circ 38' 34'' \\ \frac{1}{2}Y = 58 \quad 5 \quad 18 & Y = 116 \quad 10 \quad 36 \\ \frac{1}{2}Z = 51 \quad 26 \quad 2 & Z = 102 \quad 52 \quad 4 \end{array}$$

$$\alpha = 49^\circ 42' 16''$$

$$\beta = 47 \quad 15 \quad 27$$

$$\gamma = 42 \quad 32 \quad 15$$

Für $s = \frac{2}{3}P$.

$$\begin{array}{ll} \frac{1}{3}X = 53^\circ 13' 36'' & X = 106^\circ 27' 12'' \\ \frac{1}{3}Y = 56 \quad 40 \quad 55 & Y = 113 \quad 21 \quad 50 \\ \frac{1}{3}Z = 54 \quad 20 \quad 15 & Z = 108 \quad 40 \quad 30 \end{array}$$

$$\alpha = 46^\circ 42' 22''$$

$$\beta = 44 \quad 14 \quad 30$$

$$\gamma = 42 \quad 32 \quad 15$$

Für $r = P$.

$$\begin{array}{ll} \frac{1}{4}X = 48^\circ 20' 29'' & X = 96^\circ 40' 58'' \\ \frac{1}{4}Y = 52 \quad 25 \quad 10 & Y = 104 \quad 50 \quad 20 \\ \frac{1}{4}Z = 64 \quad 26 \quad 2 & Z = 128 \quad 52 \quad 4 \end{array}$$

$$\alpha = 35^\circ 17' 0''$$

$$\beta = 32 \quad 59 \quad 37$$

$$\gamma = 42 \quad 32 \quad 15$$

$v = \frac{7}{4}P$.

$$\begin{array}{ll} \frac{1}{4}X = 44^\circ 42' 12'' & X = 89^\circ 24' 24'' \\ \frac{1}{4}Y = 49 \quad 17 \quad 48 & Y = 98 \quad 35 \quad 36 \\ \frac{1}{4}Z = 74 \quad 42 \quad 39 & Z = 149 \quad 25 \quad 18 \end{array}$$

$$\alpha = 22^\circ 0' 56''$$

$$\beta = 20 \quad 21 \quad 17$$

$$\gamma = 42 \quad 32 \quad 15$$

$w = 2P.$

$$\begin{array}{ll} \frac{1}{2}X = 44^\circ 13' 26'' & X = 88^\circ 26' 52'' \\ \frac{1}{2}Y = 48 \ 53 \ 20 & Y = 97 \ 46 \ 40 \\ \frac{1}{2}Z = 76 \ 32 \ 52 & Z = 153 \ 5 \ 44 \end{array}$$

$$\alpha = 19^\circ 29' \ 2''$$

$$\beta = 17 \ 59 \ 5$$

$$\gamma = 42 \ 32 \ 15$$

$u = \frac{1}{24}\check{P}\infty.$

$$\begin{array}{ll} \frac{1}{2}Y = 86^\circ 37' 48'' & Y = 173^\circ 15' 36'' \\ \frac{1}{2}Z = 3 \ 22 \ 12 & Z = 6 \ 44 \ 24 \end{array}$$

$y = \frac{1}{20}\check{P}.$

$$\begin{array}{ll} \frac{1}{2}Y = 85^\circ 57' 29'' & Y = 171^\circ 54' 58'' \\ \frac{1}{2}Z = 4 \ 2 \ 31 & Z = 8 \ 5 \ 2 \end{array}$$

$q = \frac{1}{16}\check{P}.$

$$\begin{array}{ll} \frac{1}{2}Y = 84^\circ 57' \ 9'' & Y = 169^\circ 54' 18'' \\ \frac{1}{2}Z = 5 \ 2 \ 51 & Z = 10 \ 5 \ 42 \end{array}$$

$z = \frac{1}{10}\check{P}.$

$$\begin{array}{ll} \frac{1}{2}Y = 81^\circ 57' 22'' & Y = 163^\circ 54' 44'' \\ \frac{1}{2}Z = 8 \ 2 \ 38 & Z = 16 \ 5 \ 16 \end{array}$$

$o = \frac{1}{8}\check{P}.$

$$\begin{array}{ll} \frac{1}{2}Y = 79^\circ 58' 55'' & Y = 159^\circ 57' 50'' \\ \frac{1}{2}Z = 10 \ 1 \ 5 & Z = 20 \ 2 \ 10 \end{array}$$

$f = \frac{1}{2}\check{P}\infty$

$$\begin{array}{ll} \frac{1}{2}Y = 76^\circ 44' 47'' & Y = 153^\circ 29' 34'' \\ \frac{1}{2}Z = 13 \ 15 \ 13 & Z = 26 \ 30 \ 26 \end{array}$$

— 70 —

$$g = \frac{1}{3}\check{P}\infty.$$

$$\begin{array}{ll} \frac{1}{2}Y = 64^{\circ} 46' 34'' & Y = 129^{\circ} 33' 8'' \\ \frac{1}{2}Z = 25 \ 13 \ 26 & Z = 50 \ 26 \ 52 \end{array}$$

$$i = \frac{1}{3}\check{P}\infty.$$

$$\begin{array}{ll} \frac{1}{2}Y = 54^{\circ} 45' 17'' & Y = 109^{\circ} 30' 34'' \\ \frac{1}{2}Z = 35 \ 14 \ 43 & Z = 70 \ 29 \ 26 \end{array}$$

$$e = \check{P}\infty.$$

$$\begin{array}{ll} \frac{1}{2}Y = 35^{\circ} 17' 0'' & Y = 70^{\circ} 34' 0'' \\ \frac{1}{2}Z = 54 \ 43 \ 0 & Z = 109 \ 26 \ 0 \end{array}$$

$$p = 2\check{P}\infty.$$

$$\begin{array}{ll} \frac{1}{2}Y = 19^{\circ} 29' 2'' & Y = 38^{\circ} 58' 4'' \\ \frac{1}{2}Z = 70 \ 30 \ 58 & Z = 141 \ 1 \ 56 \end{array}$$

$$x = 2\bar{P}\infty.$$

$$\begin{array}{ll} \frac{1}{2}X = 17^{\circ} 59' 5'' & X = 35^{\circ} 58' 10'' \\ \frac{1}{2}Z = 72 \ 0 \ 55 & Z = 144 \ 1 \ 50 \end{array}$$

$$m = \infty P.$$

$$\begin{array}{ll} \frac{1}{2}X = 42^{\circ} 32' 15'' & X = 85^{\circ} 4' 30'' \\ \frac{1}{2}Y = 47 \ 27 \ 45 & Y = 94 \ 55 \ 30 \end{array}$$

Wenn wir jetzt die berechneten Werthe mit denen durch Messung erhaltenen, vergleichen, so bekommen wir folgende Tabelle:

Berechnet, nach Miller aus a : b : c = 1,53118 : 1,09124 : 1	Berechnet aus a : b : c = 1,54024 : 1,08988 : 1	Gemessen.
$c : s = 125^{\circ} 50' 18''$	$125^{\circ} 39' 45''$	126° 0' Brooke. 125 — 125 21 Ca. Hessenb. 125 20 Schrauf. 124 42 — 125 15 Jerem.
$c : r = 115 42 38$	115 33 58	115 30 Brooke. 114 40 — 115 28 Jerem.
$c : w = 103 32 10$	103 27 8	103 5 Hessenberg. 103 30 Schrauf. 102 47 — 103 38 Jerem.
$c : m = 90 0 0$	90 0 0	90 0 Brooke. 90 0 Hessenberg. 90 1 Schrauf.
$d : m = 141 15 12$	141 26 2	141 30 Schrauf.
$s : w \left. \begin{array}{l} \text{anliegende} \\ \text{über } m \end{array} \right\} = 157 41 52$	157 47 23	158 0 Kokscharow.
$s : w \left. \begin{array}{l} \text{über } m \end{array} \right\} = 130 37 32$	130 53 7	130 20 Kokscharow.
$s : m = 144 9 42$	144 20 15	144 0 Brooke. 144 56 Hessenberg. 144 35 — 145 14 Schrauf. 145 3 Jeremejew. 144 13 Kokscharow.
$s : s \left. \begin{array}{l} \text{über } m \end{array} \right\} = 108 19 24$	108 40 30	108 0 Brooke. 108 25 Kokscharow.
$r : m = 154 17 22$	154 26 2	154 40 Schrauf. 154 51 — 155 6 Jerem.

Berechnet, nach Miller aus a : b : c = 1,58118 : 1,09124 : 1	Berechnet aus a : b : c = 1,54024 : 1,08988 : 1	Gemessen.
$r : r \left. \begin{array}{l} \text{über } m \end{array} \right\} = 128^{\circ} 34' 44''$	128° 52' 4''	128° 35' Brooke.
$r : a = 127 \ 29 \ 50$	127 34 50	127 30 — 128 5 Jerem.
$v : w \left. \begin{array}{l} \text{über } m \end{array} \right\} = 151 \ 4 \ 49$	151 15 31	151 45 Kokscharow.
$v : m = 164 \ 36 \ 59$	164 42 39	164 40 Kokscharow.
$w : m = 166 \ 27 \ 50$	166 32 52	166 22 — 166 44 Schrauf. 166 48 — 166 52 Jerem. 167 4 Kokscharow.
$w : w \left. \begin{array}{l} \text{über } m \end{array} \right\} = 152 \ 55 \ 40$	153 5 44	152 30 Greg.
$w : a = 131 \ 3 \ 35$	131 6 40	131 1 — 131 12 Jerem.
$m : a = 132 \ 30 \ 6$	132 32 15	132 30 Brooke. 132 29 Hessenberg. 132 33 Schrauf. 132 35 Jeremejew.
$m : m \left. \begin{array}{l} \text{über } \infty \end{array} \right\} = 94 \ 59 \ 48$	94 55 30	95 0 Brooke. 94 47 Hessenberg. 94 57 Schrauf. 94 54 Jeremejew.
$a : u = 176 \ 39 \ 15$	176 37 48	176 20 Schrauf.
$a : y = 175 \ 59 \ 12$	175 57 29	175 55 Schrauf.
$a : q = 174 \ 59 \ 17$	174 57 9	174 46 Jeremejew.
$a : s = 172 \ 0 \ 46$	171 57 22	171 30 Schrauf.
$a : o = 170 \ 3 \ 7$	169 58 55	170 0 Schrauf.

Berechnet, nach Miller aus a : b : c = 1,58118 : 1,09124 : 1	Berechnet aus a : b : c = 1,54024 : 1,08988 : 1	Gemessen
$c : f = 166^{\circ}50'15''$	166°44'47''	166°21' — 166 30 Jerem.
$c : g = 154 56 1$	154 46 34	154°13' — 154 19 Jerem.
$c : i = 144 56 50$	144 45 17	143 58 Jeremejew.
$c : e = 125 28 36$	125 17 0	126 0 Brooke. 125 25 Hessenberg. 123 50 — 124 50 Schrauf.
$u : a = 93 20 45$	93 22 12	93 30 Schrauf.
$y : a = 94 0 48$	94 2 31	93 30 Schrauf. 94 7 Kokscharow.
$q : a = 95 0 43$	95 2 51	95 30 Schrauf.
$z : a = 97 59 14$	98 2 38	97 33 Schrauf.
$o : a = 99 56 53$	100 1 5	99 20 — 100 50 Schrauf.
$f : a = 103 9 45$	103 15 13	104 24 Schrauf.
$g : a = 115 3 59$	115 13 26	115 0 Ca. Schrauf.
$i : a = 125 3 10$	125 14 43	125 17 — 125 35 Schrauf. 126 21 Jeremejew. 125 50 Kokscharow.
$e : a = 144 31 24$	144 43 0	144 30 Brooke. 144 39 Hessenberg. 144 15 — 145 6 Schrauf. 145 5 — 145 32 Jerem. 144 40 Kokscharow.

Berechnet, nach Miller aus $a : b : c =$ 1,58118 : 1,09124 : 1	Berechnet aus $a : b : c =$ 1,54024 : 1,08988 : 1	Gemessen.
$e : e \left. \vphantom{e} \right\} = 109^\circ 2' 48''$ über a	109° 26' 0''	109° 38' Hessenberg.
$p : a = 160 \ 23 \ 13$	160 30 58	160 30 Schrauf. 160 49 Jeremejew.
$r : x = 140 \ 0 \ 23$	139 56 53	140 40 Brooke.
$x : c = 108 \ 5 \ 3$	107 59 5	108 0 Brooke.
$x : x \left. \vphantom{x} \right\} = 143 \ 49 \ 54$ über $\infty \bar{P}_\infty$	144 1 50	143 42 Brooke.

Aus dieser Tabelle ersieht man, dass durch Annahme eines neuen Axenverhältnisses für die Grundform des Caledonits, man nicht viel gewinnt und es bleibt also noch immer zu wünschen übrig bessere Resultate zu erhalten, als die, welche wir bis jetzt besitzen.

Endlich wollen wir sehen in welchem Grade die Anwendung des *monoklinoëdrischen* Axensystems für das Mineral passt.

Wenn wir das *Mittel*, aus dem Schrauf'schen und v. Jeremejew'schen Axenverhältnisse nehmen *), nämlich:

$$a : b : c = 1,57719 : 1,08949 : 1$$

$$\gamma = 89^\circ 20'' 0'$$

so berechnen sich aus diesen Zahlen folgende Winkel:

*) Schrauf giebt: $a : b : c = 1,577130 : 1,089420 : 1$
 $\gamma = 89^\circ 18' 0''$

v. Jeremejew „ $a : b : c = 1,577254 : 1,089562 : 1$
 $\gamma = 89^\circ 22' 0''$

Für + $\frac{2}{3}$ P.

$$X = 54^{\circ} 18' 4''$$

$$Y = 58 \quad 5 \quad 55$$

$$Z = 52 \quad 22 \quad 43$$

$$\mu = 49^{\circ} 24' 11''$$

$$\nu = 41 \quad 15 \quad 49$$

$$\rho = 46 \quad 34 \quad 48$$

$$\sigma = 42 \quad 32 \quad 51$$

Für + $\frac{2}{3}$ P.

$$X = 52^{\circ} 43' 48''$$

$$Y = 56 \quad 41 \quad 24$$

$$Z = 55 \quad 17 \quad 4$$

$$\mu = 46^{\circ} 21' 46''$$

$$\nu = 44 \quad 18 \quad 14$$

$$\rho = 43 \quad 33 \quad 47$$

$$\sigma = 42 \quad 32 \quad 51$$

Für + P.

$$X = 47^{\circ} 58' 21''$$

$$Y = 52 \quad 26 \quad 22$$

$$Z = 65 \quad 19 \quad 56$$

$$\mu = 34^{\circ} 51' 2''$$

$$\nu = 55 \quad 48 \quad 58$$

$$\rho = 32 \quad 22 \quad 35$$

$$\sigma = 42 \quad 32 \quad 51$$

Für + 2P.

$$X = 44^{\circ} 3' 28''$$

$$Y = 48 \quad 55 \quad 41$$

$$Z = 77 \quad 16 \quad 53$$

$$\mu = 19^{\circ} 7' 28''$$

$$\nu = 71 \quad 32 \quad 32$$

$$\rho = 17 \quad 35 \quad 23$$

$$\sigma = 42 \quad 32 \quad 51$$

Für — $\frac{1}{4}$ P.

$$X' = 86^{\circ} 14' 59''$$

$$Y' = 85 \ 53 \ 35$$

$$Z' = 5 \ 5 \ 37$$

$$\mu' = 85^{\circ} 53' 3''$$

$$\nu' = 3 \ 26 \ 57$$

$$\rho = 86 \ 14 \ 25$$

$$\sigma = 42 \ 32 \ 51$$

Für — $\frac{2}{3}$ P.

$$X' = 53^{\circ} 3' 2''$$

$$Y' = 56 \ 3 \ 11$$

$$Z' = 54 \ 40 \ 47$$

$$\mu' = 45^{\circ} 40' 21''$$

$$\nu' = 43 \ 39 \ 39$$

$$\rho = 43 \ 33 \ 47$$

$$\sigma = 42 \ 32 \ 51$$

Für — P.

$$X' = 48^{\circ} 16' 57''$$

$$Y' = 51 \ 59 \ 36$$

$$Z' = 64 \ 35 \ 32$$

$$\mu' = 34^{\circ} 25' 11''$$

$$\nu' = 54 \ 54 \ 49$$

$$\rho = 32 \ 22 \ 35$$

$$\sigma = 42 \ 32 \ 51$$

Für — 2P.

$$X' = 44^{\circ} 15' 48''$$

$$Y' = 48 \ 42 \ 0$$

$$Z' = 76 \ 25 \ 35$$

$$\mu' = 18^{\circ} 58' 57''$$

$$\nu' = 70 \ 21 \ 3$$

$$\rho = 17 \ 35 \ 23$$

$$\sigma = 42 \ 32 \ 51$$

Für $+\frac{1}{20}P\infty$.

$$Y = 86^{\circ} 31' 25''$$

$$Z = 4 \quad 8 \quad 35$$

Für $+\frac{1}{10}P\infty$.

$$Y = 82^{\circ} 24' 59''$$

$$Z = 8 \quad 15 \quad 1$$

Für $+\frac{1}{6}P\infty$.

$$Y = 77^{\circ} 3' 58''$$

$$Z = 13 \quad 36 \quad 2$$

Für $+\frac{1}{3}P\infty$.

$$Y = 64^{\circ} 46' 56''$$

$$Z = 25 \quad 53 \quad 4$$

Für $+\frac{1}{2}P\infty$.

$$Y = 54^{\circ} 32' 25''$$

$$Z = 36 \quad 7 \quad 35$$

Für $+P\infty$.

$$Y = 34^{\circ} 51' 2''$$

$$Z = 55 \quad 48 \quad 58$$

Für $+2P\infty$.

$$Y = 19^{\circ} 7' 28''$$

$$Z = 71 \quad 32 \quad 32$$

Für $-\frac{1}{10}P\infty$.

$$Y' = 84^{\circ} 10' 9''$$

$$Z' = 5 \quad 9 \quad 51$$

Für — $\frac{1}{3}P_{\infty}$.

$$Y' = 79^{\circ} 5' 53''$$

$$Z' = 10 \ 14 \ 7$$

Für — $\frac{1}{6}P_{\infty}$.

$$Y' = 75^{\circ} 48' 22''$$

$$Z' = 13 \ 31 \ 38$$

Für — $\frac{1}{3}P_{\infty}$.

$$Y' = 63^{\circ} 42' 3''$$

$$Z' = 25 \ 37 \ 57$$

Für — $\frac{1}{3}P_{\infty}$.

$$Y' = 53^{\circ} 39' 55''$$

$$Z' = 35 \ 40 \ 5$$

Für — P_{∞} .

$$Y' = 34^{\circ} 25' 11''$$

$$Z' = 54 \ 54 \ 49$$

Für ∞P .

$$X = 12 \ 32' 58''$$

$$Y = 47 \ 27 \ 2$$

Berechnet, nach Schrauf und v. Jeremejew, aus $a : b : c = 1,57719 : 1,08949 : 1$ $\gamma = 89^\circ 20' 0''$	Gemessen.
$oP : + \frac{2}{3}P = 124^\circ 42' 56''$	124° 42' Jeremejew.
$oP : - \frac{2}{3}P = 125 19 13$	125 20 Schrauf. 125 15 Jeremejew.
	$c : s = 126 0$ Brooke. 125—125 21 Ca. Hessenb.
$oP : +P = 114 40 4$	114 40 Jeremejew.
$oP : -P = 115 24 28$	115 28 Jeremejew.
	$c : r = 115 30$ Brooke.
$oP : + 2P = 102 43 7$	102 47 Jeremejew.
$oP : - 2P = 103 34 25$	103 30 Schrauf. 103 38 Jeremejew.
	$c : w = 103 5$ Hessenberg.
$oP : \infty P = \begin{cases} 89 32 57 \\ 90 27 3 \end{cases}$	89 13 Schrauf. 90 33 Schrauf.
	$c : m = 90 0$ Brooke. 90 0 Hessenberg.
$- \frac{2}{3}P : \infty P = 141 55 40$	141 30 Schrauf.
$+ \frac{2}{3}P : \infty P = 144 50 1$	144 35 Schrauf.
$- \frac{2}{3}P : \infty P = 145 7 50$	145 14 Schrauf. 145 3 Jeremejew.

Berechnet, nach Schrauf und v. Jeremejew, aus $a : b : c = 1,57719 : 1,08949 : 1$ $\gamma = 89^\circ 20' 0''$	Gemessen.
	$s : m = 144^\circ 0' \text{ Brooke.}$
	144 56 Hessenberg.
	144 13 Kokscharow.
$\left\{ \begin{array}{l} +P : \infty P = 154^\circ 52' 53'' \\ -P : \infty P = 155 \quad 2 \quad 35 \end{array} \right.$	154 40 Schrauf.
	154 51 Jeremejew.
	155 6 Jeremejew.
$\left\{ \begin{array}{l} +P : \infty P \infty = 127 \quad 33 \quad 38 \\ -P : \infty P \infty = 128 \quad 0 \quad 24 \end{array} \right.$	127 30 Jeremejew.
	128 5 Jeremejew.
$\left\{ \begin{array}{l} + 2P : \infty P = 166 \quad 49 \quad 50 \\ - 2P : \infty P = 166 \quad 52 \quad 38 \end{array} \right.$	166 22 Schrauf.
	166 48 Jeremejew
	166 44 Schrauf.
	166 52 Jeremejew.
	$w : m = 167 \quad 4 \text{ Kokscharow.}$
$\left\{ \begin{array}{l} + 2P : \infty P \infty = 131 \quad 4 \quad 19 \\ - 2P : \infty P \infty = 131 \quad 18 \quad 0 \end{array} \right.$	131 1 Jeremejew.
	131 12 Jeremejew.
$\infty P : \infty P \infty = 132 \quad 32 \quad 58$	132 30 Brooke.
	132 29 Hessenberg.
	132 33 Schrauf.
	132 35 Jeremejew.
$\left. \begin{array}{l} \infty P : \infty P \\ \text{über } (\infty P \infty) \end{array} \right\} = 94 \quad 54 \quad 4$	95 0 Brooke.
	94 47 Hessenberg.
	94 57 Schrauf.
	94 54 Jeremejew.

Berechnet, nach Schrauf und v. Jeremejew, aus $a : b : c = 1,57719 : 1,08949 : 1$ $\gamma = 89^\circ 20'' 0''$	Gemessen.
$oP : + \frac{1}{2}P_\infty = 175^\circ 51' 25''$	175° 55' Schrauf.
$oP : - \frac{1}{6}P_\infty = 174 \ 50 \ 9$	174 46 Jeremejew.
$oP : + \frac{1}{10}P_\infty = 171 \ 44 \ 59$	171 30 Schrauf.
$oP : - \frac{1}{3}P_\infty = 169 \ 45 \ 53$	170 0 Schrauf.
$oP : + \frac{1}{6}P_\infty = 166 \ 23 \ 58$	166 21 Jeremejew.
$oP : - \frac{1}{6}P_\infty = 166 \ 28 \ 22$	166 30 Jeremejew.
$oP : + \frac{1}{3}P_\infty = 154 \ 6 \ 56$	154 13 Jeremejew.
$oP : - \frac{1}{3}P_\infty = 154 \ 22 \ 3$	154 19 Jeremejew.
$oP : + \frac{1}{2}P_\infty = 143 \ 52 \ 25$	143 58 Jeremejew.
$oP : + P_\infty = 124 \ 11 \ 2$	123 50 Schrauf.
$oP : - P_\infty = 125 \ 5 \ 11$	124 50 Schrauf.
	$c : e = 126 \ 0$ Brooke. 125 25 Hessenberg.
$+ \frac{1}{10}P_\infty : \infty P_\infty = 93 \ 28 \ 35$	93 30 Schrauf.
	$y : a = 94 \ 7$ Kokscharow.
$- \frac{1}{6}P_\infty : \infty P_\infty = 95 \ 49 \ 51$	95 30 Schrauf.
$+ \frac{1}{10}P_\infty : \infty P_\infty = 97 \ 35 \ 1$	97 33 Schrauf.
$+ \frac{1}{3}P_\infty : \infty P_\infty = 115 \ 13 \ 4$	115 0 Ca. Schrauf.

Berechnet, nach Schrauf und v. Jeremejew, aus $a : b : c = 1,57719 : 1,08949 : 1$ $\gamma = 89^\circ 20' 0''$	Gemessen.
$\left\{ \begin{array}{l} +\frac{1}{2}P_\infty : \infty P_\infty = 125^\circ 27' 35'' \\ -\frac{1}{2}P_\infty : \infty P_\infty = 126 \quad 20 \quad 5 \end{array} \right.$	<p>125° 17' Schrauf. 125 35 Schrauf. 126 21 Jeremejew.</p> <p>$i : a = 125 \quad 50$ Kokscharow.</p>
$\left\{ \begin{array}{l} +P_\infty : \infty P_\infty = 145 \quad 8 \quad 58 \\ -P_\infty : \infty P_\infty = 145 \quad 34 \quad 49 \end{array} \right.$	<p>145 6 Schrauf. 145 5 Jeremejew. 145 32 Jeremejew.</p> <p>$e : a = 144 \quad 30$ Brooke. 144 39 Hessenberg. 144 40 Kokscharow.</p>
$+ 2P_\infty : \infty P_\infty = 160 \quad 52 \quad 32$	<p>160 30 Schrauf. 160 49 Jeremejew.</p>

Aus dieser letzten Vergleichung ersieht man, dass die Messungen von Schrauf und v. Jeremejew sehr gut mit den berechneten *monoklinoëdrischen* Werthen übereinstimmen. Da aber die optischen Eigenschaften gegen das monoklinoëdrische System sprechen, in Hinsicht der Zwillingsbildung die Meinungen verschieden sind und da es nicht ganz sicher ist in welchem Grade die Messungen der oben erwähnten beiden Gelehrten genau sind *), so scheint es mir wenigstens, dass die Frage über das *monoklinoëdrische* System noch nicht mit ganzer Bestimmtheit entschieden ist.

*) Wie schon oben bemerkt wurde: Schrauf betrachtet seine Untersuchungen nicht mehr als einen vorläufigen Versuch die morphologischen Verhältnisse des Minerals zu erläutern. v. Jeremejew sagt, dass er nur die Winkel $\infty P : -\frac{1}{2}P_\infty$, $\infty P_\infty : +2P_\infty$, $\infty P : +P$, $\infty P : -2P$ und $\infty P : \infty P_\infty$ genauer

CXL.

TÜR K I S.

(Kalait, Fischer; Kallait, Hausmann; Untheilbarer Lasur-Spath, Mohs;
Turkis, Haidinger; Turquoise, Haüy; Biruisa, russische Autoren.)

Allgemeine Charakteristik.

Kr. Syst.: unbekannt.

Der Türkis anscheinend amorph, jedoch nach Bücking *) ein Aggregat aller kleinsten doppelbrechender Partickelchen. Er kommt derb, eingesprengt, in Trümmern und Adern, nierförmig, stalaktitisch, als Ueberzug und in Geröllern vor. Bruch muschlig bis uneben. Glasglanz, in geringem Grade. Farbe himmelblau, span-, gras-, pistazien- apfelgrün und grünlichgrau. Strich grünlichweiss. Schwach an den Kanten durchscheinend bis undurchsichtig. Nicht sehr spröde. Härte = 6. Spec. Gewicht = 2,62 — 2,8. Die wesentlichsten Bestandtheile sind: Phosphorsäure, Thonerde und Wasser mit etwas beigemengten Kupferoxyd und Eisenoxyd. Von der chemischen Constitution des Türkis sagt C. F. Rammelsberg **) unter anderem folgendes:

•Offenbar ist der Kalait ein Gemenge eines Thonerdephosphats
•mit den die Färbung bedingenden Phosphaten von Kupfer und
•Eisen«, und ferner:

•Offenbar ist die Natur des Thonerdephosphats im Kalait noch nicht festgestellt. «

als die anderen bestimmt und aus denselben das Axenverhältniss berechnet hat, was aber die anderen Messungen anbelangt, so übergeht er mit Stillschweigen ihrer Grad den Genauigkeit.

*) Zeitschrift für Krystallographie und Mineralogie von P. Groth, 1878, Bd. II, S. 168.

**) C. F. Rammelsberg: Handbuch der Mineralchemie, 1875, Leipzig. Bd. II. (Specieller Theil), S. 819.

Der orientalische Türkis wurde in neuerer Zeit von Hermann und Church untersucht*). Nach den Analysen dieser Gelehrten besteht er aus:

	Hermann.	Church.
	Ein schöner himmelblauer Türkis. Sp. Gew. = 2,821	
Phosphorsäure	28,90	32,86
Thonerde	47,45	40,19
Eisenoxyd	1,10	Oxydul 2,21
Kupferoxyd	2,02	5,27
Manganoxydul	0,50	0,36
Kalk	1,85	—
Wasser	18,18	19,34
	100,00	100,23

Decrepitirt, schwärzt sich, ist v. d. L. unschmelzbar, wird aber braun und glasig. Reagirt auf Kupfer. Löst sich in Säuren auf**).

Vieles, was als Türkis in den Handel kommt ist jedoch nur blau gefärbtes fossiles Elfenbein.

Wenn der Türkis eine schöne himmelblaue Farbe besitzt, so betrachtet man ihn als Edelstein und er wird alsdann zu mancherlei Schmucksachen verarbeitet.

Der Name «Türkis» soll dadurch entstanden sein, dass man ihn früher nur aus der Türkei bekam, und ihm daher diese Benennung, auf das Land beziehend, beilegte.

Der Name «Kalait» stammt von *καλαίρ*, ein meergrüner Edelstein, bei Plinius.

*) Vergl. C. F. Rammelsberg. Handbuch der Mineralchemie, 1875, Leipzig. Bd. II, S. 320.

(Hermann: Journal für pract. Chem. 1844, Bd. XXXIII, S. 284. Church: Chem. News, Bd. X, S. 290).

***) Es scheint, dass in dieser Hinsicht der Türkis aus Karkaralinsk eine Ausnahme macht.

Was den Preis anbelangt, so ist derselbe in neuerer Zeit nicht mehr so bedeutend als früher, nur die *schönen blauen* Türkise werden geschätzt. Unter Erbsengrösse haben sie geringen Werth, allein darüber steigen sie schnell im Preise. Der Preis eines schönen orientalischen Türkises von der Grösse einer Erbse ist immer 8—10 Florin (nach jetzigen Cursus ungefähr 8 bis 10 Rubel). Die ganz kleinen Türkise verkauft man zu Tausende, etwas grössere zu Dutzende und von einer gewissen Grösse an nach dem Stücke. In der Auction des Marquis de Drée in Paris wurde ein schöner hellblauer Türkis mit einem grünlichen Auge von $5\frac{1}{2}$ Linien Länge und 5 Linien Breite um den Preis von 500 Fr. verkauft, und ein anderer ovaler, en cabochon geschnittener von 5 Linien Länge und $4\frac{1}{2}$ Linien Breite und schön himmelblauer Farbe für 241 Fr.*)

Die Entdeckung des Türkis in Russland verdanken wir G. v. Romanowsky**), der auf seiner Reise durch Turkestan den Türkis im Lande Syr-Daria gefunden hatte und in der Sitzung der Kaiserlichen Mineralogischen Gesellschaft zu St.-Petersburg den 29. October 1874 einige Exemplare dieses Minerals vorzeigte. In derselben Sitzung hatte auch G. v. Romanowsky von dem Türkis gesprochen, welcher in einer anstehenden Bergart im District Kuraminsk (in den Bergen Kara-Mazar) vorkommt.

Der Berg-Ingenieur L. v. Graumann hat mir neuerdings mehrere Stücke aus dem District Karkaralinsk (Kirgisen-Steppe, Revier Semipalatinsk ***) gesandt und folgendes geschrieben.

*) Vergl. K. E. Kluge: Handbuch der Edelsteinkunde. 1860, Leipzig, S. 365.

**) Verhandlungen der Russisch-Kaiserlichen Mineralogischen Gesellschaft zu St.-Petersburg, Zweite Serie, 1876, Bd. X, S. 221.

***) Anfangs glaubte ich, dass man diesen von L. v. Graumann angezeigten Fundort des Türkises als den ersten in Russland annehmen kann, dasselbe wurde auch von mir in einer kurzen Notiz an der Akademie der Wissenschaften erwähnt, aber damals hatte ich nicht die Mittheilung des G. v. Romanowsky in Rücksicht genommen, — ein Versehen, welches ich sehr bedaure und daher G. v. Romanowsky um Entschuldigung bitte.

»Mit diesem Briefe schicke ich Ihnen einige Stücke von Türkis, welche neuerdings in unserem Distrikte gefunden wurden. Ich bitte Sie ergebenst zu bestätigen, ob dieselben wirklich Türkis sind? Von meiner Seite, habe ich einen von diesen Stücken vor dem Löthrohre und auf nassem Wege geprüft, und glaube, dass ich mich nicht irre das Mineral als Türkis zu betrachten. Der Entdecker des Fundortes wünscht aber eine Bestätigung von einer Autorität zu erhalten, woher ich wage Sie mit meiner Bitte zu incommodiren. Vielleicht, dass dieser letzt entdeckte Fundort des Türkises der erste in Russland sein wird? In diesem Falle werde ich mich bemühen mehr ausführlichere Kenntnisse zu sammeln und sogleich dieselben Ihnen übersenden«.

»Karkaralinsk, den 11. (23) December 1883«.

Die von Hr. L. v. Graumann erhaltenen Exemplare (von welchen drei geschliffen waren) zeigten alle wesentlichen Eigenschaften des Türkis, — doch um die Bestimmung des Minerals ganz vollständig und sicher herzustellen, habe ich den Laborant des Berg-Institut P. Nicolajew gebeten, eine chemische Analyse desselben auszuführen. Es ist zu bedauern, dass die Menge des Minerals für die complete quantitative Analyse zu gering war; (dieses Umstandes wegen, war P. Nicolajew genöthigt die Menge der Thonerde nicht direct, sondern aus der Differenz zu bestimmen), aber diese Analyse hat bewiesen, dass das untersuchte Mineral die Zusammensetzung des Türkises besitzt; — es wurde nämlich gefunden:

Phosphorsäure	34,42
Thonerde	35,79 (a. d. Differenz bestimmt.)
Eisenoxyd	3,52
Kupferoxyd	7,67
Glühverlust	18,60
	<hr/>
	100,00

Spec. Gewicht = 2,887.

P. Nicolajew bemerkt unter anderem:

•In mineralogischen Werken schreibt man gewöhnlich, dass der Türkis sich in Säuren auflöst, aber der von mir untersuchte Türkis war in Chlorwasserstoffsäure und in Salpetersäure unauflöslich«.

Die Farbe des Türkis aus Karkaralinsk ist ziemlich schön (etwas grünlich), aber bald wird man wahrscheinlich bessere Exemplare finden, die dann im Handel denselben Platz einnehmen werden, wie der orientalische Türkis.

Die Stücke, welche im Museum des Berg-Instituts zu St.-Petersburg als «Türkis aus der Grube Syrjanowsk (Altai, Gouvernement Tomsk) bezeichnet sind *), sind nach den näheren neuesten Untersuchungen von A. v. Lösch nichts anders als Alunit (Alaunstein).

Erster Anhang zum Gelbbleierz.

(Vergl. Bd. VIII, S. 394.)

V. von Zepharovich **) hat neuerdings 17 kalkhaltige Gelbbleierzkrystalle (Wulfenitkrystalle) aus Kährnten (im Reviere von Bleiberg in der Max-Grube bei Kreuth) sehr ausführlich und gründlich untersucht und gemessen. Aus seinen 68 Beobachtungen leitet V. v. Zepharovich für die Grundform des kalkhaltigen Gelbbleierzes von Kreuth folgendes Axenverhältniss ab:

$$a : b : b :: 1,574366 : 1 : 1$$

aus welchem er für die Haupttetragonale Pyramide folgende Winkel berechnet:

$$\text{In den Polkanten} = 99^{\circ} 39' 49''$$

$$\text{In den Mittelkanten} = 131 \quad 37 \quad 36$$

*) В. В. Нефедьевъ: Краткій каталогъ. Минеральнаго Собранія Музеума Горнаго Института. С. П. Б. 1871, стр. 469.

**) V. von Zepharovich: Zeitschrift für Krystallographie etc. 1884, Bd. VIII, 6, Naturwissenschaftlichen Jahrbuch „Lotos“, 1888.

(Nach Messung hat er im Mittel erhalten $99^{\circ} 39' 42''$ und $131^{\circ} 37' 24''$).

Für das kalkfreie Gelbbleierz behält V. von Zepharovich die Werthe, welche Dauber erhalten hat ($a : b : c = 1,5771 : 1 : 1$ und hieraus die Winkel $99^{\circ} 38' 7''$ und $131^{\circ} 42' 4''$).

Also der Krystall des Gelberzes, welchen ich gemessen habe *) gehört wahrscheinlich zu den kalkfreien Varietäten des Minerals, denn aus den Messungen desselben habe ich damals berechnet $a : b : c = 1,57627 : 1 : 1$ und die Winkel $99^{\circ} 38' 38''$ und $131^{\circ} 40' 42''$.

Vierter Anhang zum Brookit.

(Vergl. Bd. I, S. 61; Bd. II, S. 79 und 273; Bd. VI, S. 204.)

1) A. Schrauf hat eine umfassende krystallographische Untersuchung des Brookits in den «Sitzungsberichten der Wiener Akademie der Wissenschaften» (1876, Bd. LXXIV, 1 Abth. November Heft) **) veröffentlicht. Er trachtet zu beweisen, dass das Krystall-system des Brookits nicht rhombisch, sondern monoklinoëdrisch ist und dass dieses Mineral isomorph mit dem Wolfram ist. A. Schrauf theilt alle Brookit-Krystalle in drei Typen, für welchen er verschiedene Axenverhältnisse giebt, nämlich: ***)

Krystalle des Typus I, von England (Tremadoc in Caernarvonshire).

$$a : b : c = 0,93887 : 1 : 0,844149$$
$$\gamma = 89^{\circ} 40' 0''$$

*) Vergl. „Materialien zur Mineralogie Russlands“, 1878–1882, Bd. VIII, S. 405.

**) Vergl. auch: „Zeitschrift für Krystallographie und Mineralogie“ von P. Groth, 1877, Bd. I, S. 274.

***) Um in meinen Werke die Gleichförmigkeit beizubehalten, habe ich hier für die Bezeichnung der Axen die von mir adoptirten Buchstaben gestellt, nämlich: a = Verticalaxe, b = Klinodiagonale, c = Orthodiagonale, γ = Winkel zwischen den Axen a und b.

Krystalle des Typus II, von Amerika (Ulster C-ty
New-Iork).

$$a : b : c = 0,93795 : 1 : 0,846931$$

$$\gamma = 89^\circ 20' 42''$$

Krystalle des Typus III, von England, Russland, Schweiz.

$$a : b : c = 0,943441 : 1 : 0,841419$$

$$\gamma = 89^\circ 53' 30''$$

Mit dieser Ansicht stimmen aber die Beobachtungen von G. vom Rath, Bücking, v. Zepharovich und auch die meinigen nicht überein, und erweisen das Mineral als echt rhombisch. Es ist höchst wahrscheinlich, dass die von A. Schrauf gefundenen Abweichungen von der rhombischen Symmetrie nur Folgen von unregelmässiger Ausbildung sind.

2) G. vom Rath *) sagt unter anderem in seiner werthvollen Abhandlung über den Brookit von Atliansk im Ural: »Der Krystall zeigte zwei bisher unbekannte Oktaëder und forderte ausserdem durch seine treffliche Flächenbeschaffenheit zu strenger Prüfung des rhombischen Charakters des Krystallsystems auf mit Rücksicht auf die vor Kurzem durch einen ausgezeichneten Krystallographen, Hrn. A. Schrauf, behauptete Thatsache, dass der Brookit dem monoklinen Systeme angehöre«.

Die beiden neuen rhombischen Pyramiden, welche G. vom Rath bestimmt hat, sind:

$$i = (2a : b : 4c) = 2\bar{P}4$$

$$q = (\frac{2}{3}a : b : 3c) = \frac{2}{3}\bar{P}3$$

Zur Prüfung des rhombischen Charakters des Krystalls wurden folgende *genaue* Messungen ausgeführt:

*) Poggendorff's Annalen, Bd. CLVIII, S. 405.

G. vom Rath gemessen. $a : b : c = 1 : 1,05889 : 0,89114$,
Kokscharow, aus seinen Daten
berechnet.

$$\begin{aligned} o : M \left. \vphantom{o : M} \right\} &= 145^\circ 42' \\ \text{anliegende} & \\ \text{And. Kante} &= 145 \quad 41 \\ \hline \text{Mittel} &= 145^\circ 41' 30'' \quad . \quad . \quad . \quad 145^\circ 42' 47'' \end{aligned}$$

$$\begin{aligned} o : M \left. \vphantom{o : M} \right\} &= 98^\circ 6' \\ \text{nicht anlieg.} & \\ \text{And. Kante} &= 98 \quad 6 \\ \hline \text{Mittel} &= 98^\circ 6' 0'' \quad . \quad . \quad . \quad 98 \quad 6 \quad 43 \end{aligned}$$

$$\begin{aligned} M : e \left. \vphantom{M : e} \right\} &= 134^\circ 18' \\ \text{anliegende} & \\ \text{And. Kante} &= 134 \quad 16\frac{1}{2} \\ \hline \text{Mittel} &= 134^\circ 17' 15'' \quad . \quad . \quad . \quad 134 \quad 17 \quad 38 \end{aligned}$$

$$\begin{aligned} M : t &= 124^\circ 42' \\ \text{And. Kante} &= 124 \quad 38 \\ \hline \text{Mittel} &= 124^\circ 40' 0'' \quad . \quad . \quad . \quad 124 \quad 41 \quad 6 \end{aligned}$$

$$\begin{aligned} o : t &= 137^\circ 11' \\ \text{And. Kante} &= 137 \quad 9 \\ \hline \text{Mittel} &= 137^\circ 10' 0'' \quad . \quad . \quad . \quad 137 \quad 12 \quad 11 \end{aligned}$$

Hier: $o = P$, $e = \check{P}2$, $M = \infty P$ und $t = 2\check{P}\infty$.

Seine Abhandlung beendet G. vom Rath mit folgenden Worten:

»Diese Messungen beweisen wohl, wenigstens für das Vorkommen von Atliansk, dass kein Grund vorliegt, die bisher allgemein angenommene Ansicht über das Krystallsystem des Brookit zu verlassen«.

Für die von G. vom Rath entdeckten zwei rhombischen Pyramiden, berechnen sich, aus meinen Daten, folgende Winkel:

Für $i = 2\bar{P}4$.

$$\begin{array}{ll} \frac{1}{2}X = 75^\circ 17' 24'' & X = 150^\circ 34' 48'' \\ \frac{1}{2}Y = 31 \ 15 \ 41 & Y = 62 \ 31 \ 22 \\ \frac{1}{2}Z = 63 \ 5 \ 28 & Z = 126 \ 10 \ 56 \end{array}$$

$$\alpha = 27^\circ 53' 55''$$

$$\beta = 60 \ 42 \ 15$$

$$\gamma = 73 \ 27 \ 19$$

Für $q = \frac{2}{3}\bar{P}3$

$$\begin{array}{ll} \frac{1}{2}X = 72^\circ \ 4' \ 10'' & X = 144^\circ \ 8' \ 20'' \\ \frac{1}{2}Y = 38 \ 59 \ 18 & Y = 77 \ 58 \ 36 \\ \frac{1}{2}Z = 56 \ 43 \ 20 & Z = 113 \ 26 \ 40 \end{array}$$

$$\alpha = 35^\circ 13' 9''$$

$$\beta = 60 \ 42 \ 15$$

$$\gamma = 68 \ 23 \ 33$$

3) Auf Wunsch des P. Groth, hat Bücking *) einer gründlichen Untersuchung eine sehr grosse Anzahl Brookit-Krystalle aus der Mineraliensammlung der Universität Strassburg unterworfen, und ist auch zu denselben Resultaten wie G. vom Rath gelangt. P. Groth schreibt über diesen Gegenstand folgendes:

•Auf meinen Wunsch hat Hr. Bücking sich der Messung einer Anzahl Krystalle unserer Sammlung unterzogen und hat namentlich bei einigen von *Ellenville in Nordamerika* Resultate erhalten, welche so entschieden gegen die Annahme des monosymmetrischen Systems sprechen, dass es wohl angezeigt sein dürfte für den Brookit vorläufig noch rhombische Symmetrie anzunehmen, wie dies im Folgenden geschehen ist u. s. w.

*) P. Groth: Die Mineraliensammlung der Kaiser-Wilhelms-Universität, Strassburg, 1878, S. 109.

4) Ritter V. von Zepharovich *) hat Brookit-Krystalle aus einer neuen Localität von Tirol untersucht und auch er betrachtet dieselben als echt *rhombische* Krystalle.

Bei der Vergleichung durch Messung und Rechnung erhaltenen Werthen, v. Zepharovich sagt in seiner Abhandlung, dass die letzten nach Descloizeaux's Daten erhalten wurden. Ich erlaube mir hier zu erinnern, dass die ersten genauen Daten für die Berechnung der Brookit-Krystalle von mir im Jahre 1849 geliefert wurden **). Miller hat diese Daten so trefflich gefunden, dass er dieselben in seinem berühmten Werke, im Jahre 1852, sogleich adoptirte ***). Von dieser Zeit an, wurden meine alten Messungen fast von allen Mineralogen, und auch von Descloizeaux, im Jahre 1874, für die Berechnungen angenommen.

5) Ich habe neuerdings mehrere Messungen an Brookit-Krystallen aus North-Wallis, bezüglich auf die Form $\theta = \frac{2}{3}\bar{P}\frac{1}{5}$, ausgeführt. Obgleich diese Messungen nicht als ganz scharfe, sondern nur als ziemlich gute annäherende anzusehen sind und dazu mit Hilfe des gewöhnlichen Wollaston'schen Goniometers ausgeführt wurden, so halte ich es nicht für überflüssig, wegen der Seltenheit der Form θ und wegen der Schwierigkeiten mit welchen sich ihr krystallographi-

*) Zeitschrift für Krystallographie und Mineralogie von P. Groth, 1884, Bd. VIII, S. 577.

Auch: Naturwissenschaftlichen Jahrbuch „Lotos“, 1883.

***) Verhandlungen der Mineralogischen Gesellschaft zu St.-Petersburg, Jahrgang 1848—1849, S. 2. Poggendorff's Annalen 1850, Bd. LXXIX, S. 454.

***) Ueber diese Annahme habe ich mich damals, in meinen „Materialien zur Mineralogie Russlands“ (1853, Bd. I, S. 63) folgender Maassen ausgedrückt: „Als größte Entschädigung für die meiner Seits auf diese Untersuchung verwendete Mühe muss ich ansehen, dass Brooke und Miller in der neuerlich von ihnen herausgegebenen Mineralogie von Phillips, meine Winkelbestimmungen „aufgenommen haben“.

Es ist zu bedauern, dass Miller in seinem Buche ein sehr unbequemes Princip adoptirt hat, nämlich: die Namen der Forscher, welche die Krystallmessungen ausgeführt haben nicht zu veröffentlichen. In Folge eines solchen Principes entstehen natürlich mehrere Missverständnisse.

sches Zeichen ableiten lässt, hier die Resultate derselben in ganzer Ausführlichkeit zu veröffentlichen, — nämlich es wird die Zahl gegeben, welche das Goniometer bei jeder Drehung seines Kreises gezeigt hat. Auf diese Weise habe ich erhalten:

$\theta : \theta$ (Makrodiagonale Polkante).

Kr. № 1 = $151^{\circ} 10'$ ziemlich

151 20 „

151 30 „

151 25 „

151 12 „

151 20 „

151 18 „

Mittel = $151^{\circ} 19' 17''$ (1).

Kr. № 2 = $151^{\circ} 4'$ mittelmässig

151 30 „

151 6 „

Mittel = $151^{\circ} 13' 20''$ (2).

Andere Kante = $151^{\circ} 35'$ mittelmässig (3).

Also die mittlere Zahl aus (1), (2) und (3):

$\theta : \theta$ in X = $151^{\circ} 22' 32''$

(Nach Rechnung = $151^{\circ} 47' 48''$).

$\theta : \theta$ (Brachydiagonale Polkante).

Kr. № 2 = $110^{\circ} 50'$ mittelmässig

(Nach Rechnung = $109^{\circ} 55' 12''$).

$\theta : \theta$ (über $c = oP$).

Kr. № 2 = $103^{\circ} 20'$ mittelmässig
(Nach Rechnung = $102^{\circ} 49' 30''$).

$\theta : c$.

Kr. № 1 = $141^{\circ} 45'$ ziemlich gut

141	20	»
141	50	»
141	50	»
141	50	»
141	50	»

Mittel = $141^{\circ} 44' 10''$ (1).

Andere Kante = $141^{\circ} 30'$ mittelmässig (2)

Kr. № 2 = 141 25 » (3)

Andere Kante = 141 25 » (4)

Aus $\theta : \theta$ (über c) = 141 40 » (5)

Also die mittlere Zahl aus (1), (2), (3), (4) und (5):

$\theta : c = 141^{\circ} 36' 50''$.

(Nach Rechnung = $141^{\circ} 24' 45''$).

$\theta : y$.

Kr. № 1 = $145^{\circ} 20'$ mittelmässig

145	20	»
145	10	»
145	5	»
145	12	»
145	20	»
145	15	»

Mittel = $145^{\circ} 14' 34''$ (1).

Kr. № 2 = 145° 25' mittelmässig.

Also die mittlere Zahl aus (1) und (2):

$$\theta : y = 145^\circ 19' 47''.$$

(Nach Rechnung = 144° 55' 35'').

$\theta : x$ (hintere θ zu der vordere x).

Kr. № 2 = 124° 24' mittelmässig

(Nach Rechnung = 124° 13' 34'').

$\theta : e$.

Kr. № 1 = 169° 55' mittelmässig (1)

Kr. № 2 = 169 30 »

169 40 »

169 35 »

Mittel = 169° 35' 0'' (2).

Also die mittlere Zahl aus (1) und (2):

$$\theta : e = 169^\circ 45' 0''.$$

(Nach Rechnung = 169° 29' 36'').

$\theta : v$.

Kr. № 1 = 157° 55' ziemlich gut

157 55 »

Mittel = 157° 55'

(Nach Rechnung = 157° 34' 6'').

$$\theta : M.$$

Kr. № 1 = 123° 30' unbefriedigend.

124 28

$$\text{Mittel} = 123^\circ 59' 0''$$

(Nach Rechnung = 123° 47' 15'').

Wenn wir bezeichnen in jeder rhombischen Pyramide:

die makrodiagonalen Polkanten mit X,

die brachydiagonalen Polkanten mit Y,

die Mittelkante mit Z,

Winkel der makrodiagonalen Polkante gegen die Hauptaxe mit α ,

Winkel der brachydiagonalen Polkante gegen die Hauptaxe mit β ,

Winkel der Mittelkante gegen die Makrodiagonale mit γ ,

So erhalten wir für unsere Form:

$$\theta = \frac{7}{9} \bar{P} \frac{1}{5}.$$

$$\frac{1}{3} X = 75^\circ 53' 54''$$

$$X = 151^\circ 47' 48''$$

$$\frac{1}{3} Y = 54 \quad 57 \quad 36$$

$$Y = 109 \quad 55 \quad 12$$

$$\frac{1}{3} Z = 38 \quad 35 \quad 15$$

$$Z = 77 \quad 10 \quad 30$$

$$\alpha = 53^\circ 42' 7''$$

$$\beta = 72 \quad 41 \quad 15$$

$$\gamma = 67 \quad 0 \quad 18$$

Fünfter Anhang zum Topas.

(Vergl. Bd. II, S. 198 und 344; Bd. III, S. 195 und 378; Bd. IV, S. 34.)

Neuerdings ist eine sehr ausführliche Abhandlung von Leo Grünhut ¹⁾ in Leipzig • Beiträge zur krystallographischen Kenntniß des Andalusites und des Topases • erschienen, in welcher dieser Gelehrte die wesentlichsten Resultate seiner Beobachtungen und Krystallmessungen vereinigt hat. Wir werden hier einen kurzen Auszug aus dieser Arbeit geben.

Die Zahl der bis jetzt bekannten Krystallformen des Topases ist ziemlich gross: nach Grünhut's Aufzählung beläuft sich die Gesamtzahl der bis jetzt mit Sicherheit, durch Messung und Zonen, bestimmten Formen auf 84, von welchen 22 von ihm selbst bestimmt wurden. Diese Formen sind folgende:

Pyramiden der Grundreihe.

Abgek. Bez.	Weiss.	Naumann.	Miller.	Autor.
d . . .	$(\frac{1}{13}a : b : c)^2$	$\frac{1}{13}P$	(1.1.13)	Grünhut.
e . . .	$(\frac{1}{9}a : b : c)$	$\frac{1}{9}P$	(119)	Grünhut.
ε . . .	$(\frac{1}{4}a : b : c)$	$\frac{1}{4}P$	(114)	Naumann.
D . . .	$(\frac{3}{10}a : b : c)$	$\frac{3}{10}P$	(3.3.10)	Grünhut.
i . . .	$(\frac{1}{3}a : b : c)$	$\frac{1}{3}P$	(113)	Haüy.
f . . .	$(\frac{2}{5}a : b : c)$	$\frac{2}{5}P$	(225)	Gross u. Hillebr.
u . . .	$(\frac{1}{3}a : b : c)$	$\frac{1}{3}P$	(112)	Haüy.
S . . .	$(\frac{3}{5}a : b : c)$	$\frac{3}{5}P$	(335)	Grünhut.
Z . . .	$(\frac{3}{4}a : b : c)$	$\frac{3}{4}P$	(334)	Dana.

¹⁾ Zeitschrift für Krystallographie und Mineralogie, von P. Groth, Bd. IX, zweites Heft, S. 113, Leipzig, 1884.

²⁾ Hier ist a = Verticalaxe, b = Makrodiagonale und c = Brachydiagonale.

g . . .	$(\frac{5}{6}a : b : c)$. . .	$\frac{5}{6}P$. . .	(556) Breithaupt.
h . . .	$(\frac{8}{9}a : b : c)$. . .	$\frac{8}{9}P$. . .	(889) Grünhut.
o . . .	$(a : b : c)$. . .	P	. . .	(111) Häüy.
i . . .	$(\frac{8}{7}a : b : c)$. . .	$\frac{8}{7}P$. . .	(887) Grünhut.
e . . .	$(2a : b : c)$. . .	2P	. . .	(221) Kokscharow.

Brachypyramiden.

n . . .	$(a : b : \frac{3}{2}c)$. . .	$\tilde{P}\frac{3}{2}$. . .	(323) Breithaupt.
ψ . . .	$(\frac{1}{2}a : b : 2c)$. . .	$\frac{1}{2}\tilde{P}2$. . .	(214) Breithaupt
x . . .	$(\frac{2}{3}a : b : 2c)$. . .	$\frac{2}{3}\tilde{P}2$. . .	(213) Häüy.
E . . .	$(\frac{3}{4}a : b : 2c)$. . .	$\frac{3}{4}\tilde{P}2$. . .	(638) Dana.
v . . .	$(a : b : 2c)$. . .	$\tilde{P}2$. . .	(212) Kokscharow.
σ . . .	$(\frac{7}{4}a : b : 2c)$. . .	$\frac{7}{4}\tilde{P}2$. . .	(14.7.8) Kokscharow.
r . . .	$(2a : b : 2c)$. . .	2 $\tilde{P}2$. . .	(211) Rose.
s . . .	$(\frac{1}{3}a : b : 3c)$. . .	$\frac{1}{3}\tilde{P}3$. . .	(316) Kokscharow.
t . . .	$(\frac{3}{5}a : b : 3c)$. . .	$\frac{3}{5}\tilde{P}3$. . .	(315) Rose.
9 . . .	$(\frac{3}{4}a : b : 3c)$. . .	$\frac{3}{4}\tilde{P}3$. . .	(314) Lévy.
i . . .	$(3a : b : 3c)$. . .	3 $\tilde{P}3$. . .	(311) Lévy.
W . . .	$(\frac{2}{3}a : b : 4c)$. . .	$\frac{2}{3}\tilde{P}4$. . .	(416) Breithaupt.
f . . .	$(a : b : 4c)$. . .	$\tilde{P}4$. . .	(414) Gross u Hillebr.
φ . . .	$(\frac{4}{3}a : b : 4c)$. . .	$\frac{4}{3}\tilde{P}4$. . .	(413) Déscloizeaux.
ν . . .	$(\frac{9}{10}a : b : 9c)$. . .	$\frac{9}{10}\tilde{P}9$. . .	(9.1.10) Déscloizeaux.

Makropyramiden.

ζ . . .	$(\frac{5}{9}a : \frac{5}{4}b : c)$. . .	$\frac{5}{9}\tilde{P}\frac{5}{4}$. . .	(459) Kokscharow.
z . . .	$(\frac{7}{15}a : \frac{7}{4}b : c)$. . .	$\frac{7}{15}\tilde{P}\frac{7}{4}$. . .	(4.7.15) Kokscharow.
χ . . .	$(\frac{1}{3}a : 2b : c)$. . .	$\frac{1}{3}\tilde{P}2$. . .	(126) Lévy.
α . . .	$(\frac{1}{2}a : 2b : c)$. . .	$\frac{1}{2}\tilde{P}2$. . .	(124) Kokscharow.
q . . .	$(\frac{2}{3}a : 2b : c)$. . .	$\frac{2}{3}\tilde{P}2$. . .	(123) Kokscharow.
Y . . .	$(a : 2b : c)$. . .	$\tilde{P}2$. . .	(122) Lévy.
τ . . .	$(\frac{3}{4}a : 3b : c)$. . .	$\frac{3}{4}\tilde{P}3$. . .	(134) Lévy.

Prismen.

<i>N</i>	$(\infty a : 2b : c)$	$\infty \bar{P}2$	(120) Déscloizeaux.
<i>M</i>	$(\infty a : b : c)$	∞P	(110) Häüy.
<i>m</i>	$(\infty a : b : \frac{53}{50}c)$	$\infty \bar{P}_{50}^{\frac{53}{50}}$	(53.50.0) Grünhut.
<i>n</i>	$(\infty a : b : \frac{28}{25}c)$	$\infty \bar{P}_{25}^{\frac{28}{25}}$	(28.25.0) Grünhut.
<i>O</i>	$(\infty a : b : \frac{6}{5}c)$	$\infty \bar{P}_{5}^{\frac{6}{5}}$	(650) Grünhut.
<i>Q</i>	$(\infty a : b : \frac{5}{4}c)$	$\infty \bar{P}_{4}^{\frac{5}{4}}$	(540) Grünhut.
<i>R</i>	$(\infty a : b : \frac{4}{3}c)$	$\infty \bar{P}_{3}^{\frac{4}{3}}$	(430) Grünhut.
<i>t</i>	$(\infty a : b : \frac{10}{7}c)$	$\infty \bar{P}_{7}^{\frac{10}{7}}$	(10.7.0) Grünhut.
<i>o</i>	$(\infty a : b : \frac{36}{25}c)$	$\infty \bar{P}_{25}^{\frac{36}{25}}$	(36.25.0) Grünhut.
<i>m</i>	$(\infty a : b : \frac{3}{2}c)$	$\infty \bar{P}_{2}^{\frac{3}{2}}$	(320) Häüy.
<i>T</i>	$(\infty a : b : \frac{8}{5}c)$	$\infty \bar{P}_{5}^{\frac{8}{5}}$	(850) Grünhut.
<i>p</i>	$(\infty a : b : \frac{44}{25}c)$	$\infty \bar{P}_{25}^{\frac{44}{25}}$	(44.25.0) Grünhut.
<i>q</i>	$(\infty a : b : \frac{43}{25}c)$	$\infty \bar{P}_{25}^{\frac{43}{25}}$	(43.25.0) Grünhut
<i>λ</i>	$(\infty a : b : \frac{7}{4}c)$	$\infty \bar{P}_{4}^{\frac{7}{4}}$	(740) Groth.
<i>r</i>	$(\infty a : b : \frac{13}{7}c)$	$\infty \bar{P}_{7}^{\frac{13}{7}}$	(13.7.0) Bertrand.
<i>L</i>	$(\infty a : b : \frac{15}{8}c)$	$\infty \bar{P}_{8}^{\frac{15}{8}}$	(15.8.0) Groth.
<i>l</i>	$(\infty a : b : \frac{49}{25}c)$	$\infty \bar{P}_{25}^{\frac{49}{25}}$	(49.25.0) Grünhut.
<i>l</i>	$(\infty a : b : 2c)$	$\infty \bar{P}2$	(210) Häüy.
<i>u</i>	$(\infty a : b : \frac{11}{5}c)$	$\infty \bar{P}_{5}^{\frac{11}{5}}$	(11.5.0) Bertrand.
<i>π</i>	$(\infty a : b : \frac{5}{3}c)$	$\infty \bar{P}_{3}^{\frac{5}{3}}$	(520) Kokseharow.
<i>g</i>	$(\infty a : b : 3c)$	$\infty \bar{P}3$	(310) Häüy.
<i>n</i>	$(\infty a : b : 4c)$	$\infty \bar{P}4$	(410) Rose.
<i>μ</i>	$(\infty a : b : 5c)$	$\infty \bar{P}5$	(510) Breithaupt.
<i>v</i>	$(\infty a : b : \frac{21}{4}c)$	$\infty \bar{P}_{4}^{\frac{21}{4}}$	(21.4.0) Grünhut.
<i>U</i>	$(\infty a : b : 6c)$	$\infty \bar{P}6$	(610) Grünhut.

Brachydomen.

<i>H</i>	$(\frac{1}{3}a : b : \infty c)$	$\frac{1}{3}\bar{P}\infty$	(103) Déscloizeaux.
<i>φ</i>	$(\frac{1}{2}a : b : \infty c)$	$\frac{1}{2}\bar{P}\infty$	(102) Häüy.

<i>a</i> . . .	$(\frac{2}{3}a : b : \infty c)$	$\frac{2}{3}\bar{P}\infty$	(203) Rose.
<i>J</i> . . .	$(\frac{5}{6}a : b : \infty c)$	$\frac{5}{6}\bar{P}\infty$	(506) vom Rath.
<i>F</i> . . .	$(\frac{5}{7}a : b : \infty c)$	$\frac{5}{7}\bar{P}\infty$	(607) Grünhut.
<i>f</i> . . .	$(a : b : \infty c)$	$\bar{P}\infty$	(101) Häüy.
<i>γ</i> . . .	$(\frac{6}{7}a : b : \infty c)$	$\frac{6}{7}\bar{P}\infty$	(807) Kokscharow.
<i>G</i> . . .	$(\frac{5}{4}a : b : \infty c)$	$\frac{5}{4}\bar{P}\infty$	(504) Grünhut.
<i>k</i> . . .	$(\frac{3}{2}a : b : \infty c)$	$\frac{3}{2}\bar{P}\infty$	(302) Kokscharow.
<i>†</i> . . .	$(\frac{5}{3}a : b : \infty c)$	$\frac{5}{3}\bar{P}\infty$	(503) Grünhut.
<i>y</i> . . .	$(2a : b : \infty c)$	$2\bar{P}\infty$	(201) Häüy.
<i>w</i> . . .	$(4a : b : \infty c)$	$4\bar{P}\infty$	(401) Rose.

Makrodomen.

<i>w</i> . . .	$(\frac{1}{4}a : \infty b : c)$	$\frac{1}{4}\bar{P}\infty$	(014) Groth.
<i>h</i> . . .	$(\frac{1}{3}a : \infty b : c)$	$\frac{1}{3}\bar{P}\infty$	(013) Rose.
<i>δ</i> . . .	$(\frac{2}{5}a : \infty b : c)$	$\frac{2}{5}\bar{P}\infty$	(025) Groth.
<i>p</i> . . .	$(\frac{1}{2}a : \infty b : c)$	$\frac{1}{2}\bar{P}\infty$	(012) Breithaupt.
<i>V</i> . . .	$(\frac{3}{4}a : \infty b : c)$	$\frac{3}{4}\bar{P}\infty$	(034) Dana.
<i>d</i> . . .	$(a : \infty b : c)$	$\bar{P}\infty$	(011) Rose.
<i>e</i> . . .	$(2a : \infty b : c)$	$2\bar{P}\infty$	(021) Groth.

Pinakoide:

Basisches Pinakoid.

<i>P</i> . . .	$(a : \infty b : \infty c)$	<i>oP</i>	(001) Häüy.
----------------	-----------------------------	-----------	-------------

Brachypinakoid.

<i>c</i> . . .	$(\infty a : b : \infty c)$	$\infty\bar{P}\infty$	(100) Häüy.
----------------	-----------------------------	-----------------------	-------------

Makropinakoid.

<i>b</i> . . .	$(\infty a : \infty b : c)$	$\infty\bar{P}\infty$	(010) Häüy.
----------------	-----------------------------	-----------------------	-------------

Anmerkung. In den hier nach der Miller'schen Methode gegebenen Zeichen, gehört die erste Zahl der Makrodiagonale *b*, die

zweite—der Brachydiagonale *c* und die dritte—der Verticalaxe *a*, d. h. wie Miller selbst schreibt; — während in der Grünhut'schen Abhandlung dagegen der erste Platz der Brachydiagonale, der zweite der Makrodiagonale und der dritte der Verticalaxe gegeben ist.

L. Grünhut hat Topaskrystalle aus mehreren Fundorten gemessen; sich auf seinen eigenen Messungen, so wie auf den Messungen anderer Mineralogen stützend, giebt er für die Grundform der Topaskrystalle aus verschiedenen Fundorten etwas verschiedene Axenverhältnisse, nämlich ¹⁾:

	a	b	c	
	Verticalaxe. Makrod. Brachydiag.			
Brasilien (Kryst. 24)	0,93015	: 1	0,52650	Grünhut.
Ehrenfriedersdorf	0,94071	: 1	0,52812	Grünhut
Russland	0,95395	: 1	0,52854	Kokscharow.
Altenberg	0,95330	: 1	0,52882	Groth.
Schneckenstein II	0,94559	: 1	0,52999	Laspeyres.
Schlaggenwald	0,94967	: 1	0,53000	Groth.
Schneckenstein I	0,95195	: 1	0,53158	Laspeyres.
Brasilien (Kryst. 22)	0,96599	: 1	0,53759	Grünhut.

¹⁾ Grünhut, zum besseren Vergleich der Topasformen mit denen des Andalusits, betrachtet die von mir für den Topas angenommene Grundform als $\frac{2}{3}P$ und daher erhält er für seine neue Grundform folgendes:

	a	b	c	
	Verticalaxe. Makr. Brachyd.			
Brasilien (Kryst. 24)	1,39528	: 1	0,52650	Grünhut.
Ehrenfriedersdorf	1,41106	: 1	0,52812	Grünhut.
Russland	1,43093 ¹⁾	: 1	0,52854	Kokscharow.
Altenberg	1,42995	: 1	0,52882	Groth.
Schneckenstein II	1,41838	: 1	0,52999	Laspeyres.
Schlaggewald	1,4245	: 1	0,5300	Groth.
Schneckenstein I	1,42792	: 1	0,53158	Laspeyres.
Brasilien (Kryst. 22)	1,44899	: 1	0,53759	Grünhut.

¹⁾ In der Originalabhandlung von Grünhut ist hier fehlerhaft gedruckt: 1,43049.

Die Arbeit des L. Grünhut wurde vollzogen um besonders die Schwankungen der Angulardimensionen specieller zu verfolgen. Die von ihm mitgetheilten Winkelmessungen sind mit dem Goniometer des Groth'schen krystallographisch-optischen Universalinstrumentes ausgeführt worden, wobei als Object das Bild eines Websky'schen Spaltes benutzt wurde. Die besseren Messungen sind je nach ihrer Güte in absteigender Reihe mit a, ab, b, bc und c, die Schimmerablesungen hingegen mit «approximativ» bezeichnet

Die Hauptresultate Grünhut's Messungen sind nämlich folgende:

A. Topas vom Schneckenstein.

Krystall № 1. Dieser Krystall gestattete, abgesehen vom Prismenwinkel keine sonderlich genaue Messungen. Es ergab sich:

Gemessen.	Aus Laspeyres' schen (I) Axenver- hältniss berechnet ¹⁾ .	Max.	Min. ²⁾
$M : M$ Brachyd. Kante	} = 124° 0' a	124° 0' 43''	124° 1' — 123° 59'

Krystall № 2. Die vorgenommenen Messungen erreichen hier keinen sehr hohen Grad der Genauigkeit, sie sind, wie die oberen, mit den aus dem Laspeyres'schen Axenverhältniss abgeleiteten Werthen verglichen.

Gemessen.	Aus Laspeyres' schen (I) Axenver- hältniss berechnet.	Max.	Min.
$M : M$ Brachyd. Kante	} = 124° 7',5 bc	124° 0' 43''	124° 16' — 123° 48'

¹⁾ Nämlich: a : b : c = 0,95195 : 1 : 0,53158.

²⁾ In dieser Columne, so wie weiter unten werden maximum und minimum gegeben, welche bei der Messung erhalten wurden.

	Gemessen.	Aus Laspeyres' schen (I) Axenver- hältniss berechnet.	Max.	Min.
<i>M</i> : <i>M</i> } Macrod. Kante	= 55°30' bc . . .	55°59' 17''	55°37'—	55°23'
<i>M</i> : <i>l</i> } anliegende	= 161 15 appr. . .	161 14 27	161 41—	160 49
<i>M</i> : <i>g</i> } anliegende	= 150 55 appr. . .	150 5 4	—	—
<i>M</i> : <i>u</i> } anliegende	= 135 26 b	135 24 1	135 27—	135 25
<i>l</i> : <i>u</i> } anliegende	= 132 30 b	132 23 30	—	—
<i>f</i> : <i>u</i> } anliegende	= 138 5 b	137 38 48	—	—
<i>u</i> : <i>u</i> } Brachyd. Kante	= 141 10 b	140 57 4	—	—
<i>u</i> : <i>u</i> } an der Spitze	= 88 51 b	89 11 58	—	—
<i>u</i> : <i>i</i> } anliegende	= 168 20 appr. . .	168 39 36 ¹⁾	—	—

Krystall № 3.

Messungen — nicht eben genau — ergaben:

	Gemessen.	Aus Laspeyres' schen (I) Axenver- hältniss berechnet.	Max.	Min.
<i>M</i> : <i>M</i> } Brachyd. Kante	= 124° 5' b	124° 0' 43''	124° 15'—	123° 53'
<i>M</i> : <i>l</i> } anliegende	= 160 56 b	161 14 27	160 58—	160 55
<i>M</i> : <i>μ</i> } anliegende	= 139 22 appr. . .	138 36 44	—	—

¹⁾ In Grünhut's Original-Abhandlung ist fehlerhaft 168° 43' 15'' gedruckt.

Gemessen.	Aus Laspeyres' schen (I) Axenver- hältniss berechnet.	Max.	Min.
$M : u$ anliegende } = 135°21'c	135°24' 1''	135°26'	135°12'
$M : i$ anliegende } = 124 28 appr.	124 3 35 ¹⁾	124 53	124 7

Krystall № 4.

Die genauesten Messungen lies das Brachydoma $f \equiv \bar{P}\infty$ zu, es wurde erhalten:

Brachyd. Polk. } =	92°42'a
	92 40 a
	92 40 a
	92 40 a
Mittel = 92°40 $\frac{1}{3}$ '	

Grünhut bemerkt dazu: •Wie man sieht, kommt dieser Werth »dem v. Kokscharow für die russischen Topase gefundenen (92° 42' ber., 92° 42' 23" gem.) recht nahe, und es wurden daher »auch die übrigen an diesem Krystalle vorgenommenen Messungen— »da ein zweiter hinreichend genau bestimmter Fundamentalwerth »zur Berechnung eines eigenen Axenverhältnisses nicht erhalten wer- »den konnte — mit den Kokscharow'schen Angaben verglichen«.

Gemessen.	Aus Kokscharow' schen Axenverhält- niss berechnet.	Max.	Min.
$M : M$ Brachyd. Kante } = 123°57'bc	124°17' 0''	—	—
$M : l$ anliegende } = 161 30 appr.	161 16 8	—	—
$M : \mu$ anliegende } = 138 30 appr.	138 35 6	—	—

¹⁾ In Grünhut's Original-Abhandlung ist fehlerhaft 124° 7' 16'' gedruckt.

Gemessn.	Aus Kokscharow' schen Axenverhält- niss berechnet.	Max.	Min.
$P : f$ anliegende } = 136°27' b	136°21' 0''	136°37'	136°21'
$f : f$ Brachyd. Kante } = 92 40 $\frac{1}{2}$ a	92 42 0	92 42	92 40
$f : M$ anliegende } = 109 14 b	108 49 0	—	—
$f : l$ anliegende } = 120 2 b	120 5 40	—	—
$f : u$ anliegende } = 137 33 b	137 27 22	—	—
$M : u$ anliegende } = 135 23 b	135 35 15	—	—
$P : u$ untere P } = 45 27 b	45 35 15	—	—
$u : u$ Brachyd. Polk. } = 141 13 b	141 0 6	141 20	141 9

Krystall № 5.

Grünhut bemerkt unter anderem: »Als eine weitere Merkwürdigkeit ist hervorzuheben, dass statt der Fläche $l = \infty P_2$ bei diesem Krystall die vicinale $l = \infty P_{\frac{1}{2} \frac{2}{5}}$ auftritt, wie dies insbesondere die recht genauen Messungen des Winkels, den diese Fläche mit f bildet, ergeben. Die Angulardimensionen sind auf das Axenverhältniss des russischen Topases zu beziehen«.

Gemessen.	Aus Kokscharow' schen Axenverhält- niss berechnet.	Max.	Min.
$M : M$ Prachyd. Kante } = 124°14 $\frac{1}{2}$ ' b	124°17' 0''	124°17'	124°12'
$M : m$ anliegende } = 178 41 ab	178 35 54	178 45	178 37

Gemessen.		Aus Kokscharow'schen Axenverhältniss berechnet.	Max.	Min.
$M : m$ anliegende	} = 169°42' b	169°27' 2"	169°46'	169°39'
$M : l$ anliegende	} = 161 39 bc.	161 50 49	161 49	161 7
$l : l$ Brachyd. Kante)	} = 87 27 bc.	87 58 38	87 38	87 18
$M : g$ anliegende	} = 150 18 bc.	150 5 48	150 29	150 11
$f : M$ anliegende	} = 108 46 ab.	108 49 0	108 49	108 44
$f : M$ nicht anliegende)	} = 71 7 ab	71 11 0	71 10	71 4
$f : l$ anliegende	} = 119 44 ab	119 46 36	119 48	119 37
$f : g$ anliegende	} = 125 23 bc	125 43 16	—	
$f : u$ anliegende	} = 137 31 b	137 27 22	—	
$M : u$ anliegende	} = 135 28½ b	135 35 15	135 29	135 28
$M : u$ nicht anliegende)	} = 113 37 b	113 43 35	—	
$M : i$ anliegende	} = 124 10 appr.	124 14 5	—	

Krystall № 6.

Gemessen.		Aus Laspeyres'schen (I) Axenverhältniss berechnet.	Max.	Min.
$M : M$ Brachyd. Kante)	} = 123°56½' appr.	124° 0'43"	124° 0'	123°53'
$M : l$ anliegende	} = 161 18½ c	161 14 27	161 22	161 13

Gemessen.		Aus Laspeyres' schen (I) Axenver- hältniss berechnet.		Max.	Min.
Makrod. Kante	$l : l \} = 93^\circ 14 \frac{1}{2}' b$	$93^\circ 30' 23$	$93^\circ 19' -$	$98^\circ 10'$	
anliegende	$l : \mu \} = 158 \ 0 \text{ appr.}$	$157 \ 22 \ 18$	$158 \ 0 -$	$158 \ 0$	
nicht anliegende	$t : \mu \} = 114 \ 19 \text{ appr.}$	$116 \ 8 \ 6$	$115 \ 7 -$	$114 \ 45$	
Brachyd. Polk.	$f : f \cdot \} = 92 \ 50 \frac{1}{2} a$	$92 \ 49 \ 14'$	$92 \ 51 -$	$92 \ 50$	
anliegende	$f : y \} = 161 \ 15 \frac{1}{2} \text{ appr.}$	$161 \ 18 \ 0$	$161 \ 35 -$	$160 \ 56$	
anliegende	$f : l \} = 120 \ 5 a$	$120 \ 8 \ 52$	—		
anliegende	$M : u \} = 135 \ 17 b$	$135 \ 24 \ 1$	—		
anliegende	$M : i \} = 125 \ 6 \frac{1}{2} \text{ appr.}$	$124 \ 3 \ 35 \ ^1)$	$125 \ 29 -$	$124 \ 50$	
anliegende	$M : h \} = 150 \ 54 \text{ appr.}$	$150 \ 58 \ 55$	$151 \ 12 -$	$150 \ 31$	

Krystall № 7.

Gemessen.		Aus Laspeyres' schen (I) Axenver- hältniss berechnet.		Max.	Min.
Makrod. Kante	$M : M \} = 56^\circ \ 3 \frac{1}{2}' a$	$55^\circ 59' 17''$	$56^\circ \ 4' -$	$56^\circ \ 3'$	
Brachyd. Kante	$M : M \} = 124 \ 10 \frac{1}{2} bc$	$124 \ 0 \ 43$	$124 \ 12 -$	$124 \ 9$	
anliegende	$M : l \} = 161 \ 13 \text{ appr.}$	$161 \ 14 \ 27$	$161 \ 32 -$	$160 \ 54$	
anliegende	$M : g \} = 150 \ 36 \text{ appr.}$	$150 \ 5 \ 4$	—		

¹⁾ In Grünhut's Original-Abhandlung ist fehlerhaft $124^\circ \ 7' \ 16''$ gedruckt.

	Gemessen.	Aus Laspeyres' schen (I) Axenver- hältniss berechnet.	Max.	Min.
$g : g$ Makrod. Kante } =	116°13' appr.	115°49' 9"	—	—
$f : f$ Brachyd. Polk. } =	92 42 appr.	92 49 14	—	—
$f : y$ anliegende } =	161 21 c . . .	161 18 0	—	—
$M : u$ anliegende } =	135 21 appr. . .	135 24 1	—	—
$M : u$ nicht anliegende } =	113 22 b	113 28 14	—	—
$f : u$ anliegende } =	137 28 appr. . .	137 38 48	—	—
$u : x$ anliegende } =	166 37 appr. . .	166 28 51	166°54'—	166 17'

Krystall № 8.

	Gemessen.	Aus Laspeyres' schen (I) Axenver- hältniss berechnet.	Max.	Min.
$M : M$ Brachyd. Kante } =	123°51' bc.	124° 0' 43"	123°54'—	123°44'
$l : l$ Brachyd. Kante } =	86 11 appr.	86 29 37	—	—
$M : u$ anliegende } =	135 26 b.	135 24 1	135 28 —	135 23
$l : u$ anliegende } =	132 21½ b	132 23 30 ¹)	132 22 —	132 21
$u : u$ Brachyd. Polk. } =	140 48 b	140 57 4	—	—
$M : D$ anliegende } =	122 0 c	121 19 3	122 12 —	121 49

¹) In Grünhut's Original-Abhandlung ist 132° 23' 16" gedruckt.

Krystall № 9.

		Gemessen.	Aus Laspeyres' schen (I) Axenver- hältniss berechnet.	Max.	Min.
<i>M</i> : <i>l</i>	} =	161°38' appr.	161°14'27''	—	—
anliegende					
<i>l</i> : <i>l</i>	} =	93 16 appr.	93 30 23	—	—
Makrod. Kante					
<i>M</i> : <i>u</i>	} =	135 39 c	135 24 1	—	—
anliegende					
<i>M</i> : <i>i</i>	} =	124 27½ appr.	124 3 35 ¹⁾	124°31'—124°24'	
anliegende					
<i>l</i> : <i>u</i>	} =	132 29 b	132 23 30 ²⁾	—	—
anliegende					

Krystall № 10.

		Gemessen.	Aus Laspeyres' schen (I) Axenver- hältniss berechnet.	Max.	Min.
<i>M</i> : <i>M</i>	} =	123°37' c	124° 0'43''	123°41'—123°33'	
Brachyd. Kante					
<i>M</i> : <i>l</i>	} =	161 20 c	161 14 27	161 28—161 12	
anliegende					
<i>l</i> : <i>l</i>	} =	86 31 c	86 29 37	—	—
Brachyd. Kante					
<i>M</i> : <i>μ</i>	} =	137 49 appr.	138 36 44	—	—
anliegende					
<i>M</i> : <i>f</i>	} =	109 5 b	108 52 58	109 9—109 1	
anliegende					
<i>l</i> : <i>f</i>	} =	120 18 c	120 8 51½	120 20—120 16	
anliegende					

¹⁾ In Grünhut's Abhandlung: 124° 7' 16'', fehlerhaft.

²⁾ " " " 132 23 16 " "

Gemessen.	Aus Laspeyres' schen (I) Axenver- hältniss berechnet.	Max.	Min.
$f : f$ Brachyd. Polk. } = 92°59 $\frac{1}{2}$ ' bc	92°49'14''	93° 0'	92° 59'
$f : u$ anliegende } = 137 40 b	137 38 48	137 43	137 37
$f : i$ nicht anliegende } = 114 23 b	114 45 32 ¹⁾	—	—
$u : u$ an der Spitze } = 89 14 b	89 11 58	—	—
$M : u$ anliegende } = 135 22 b	135 24 1	135 26	135 20
$M : i$ anliegende } = 124 31 b	124 3 35 ²⁾	124 42	124 20

Krystall № 11.

Gemessen.	Aus Laspeyres' schen (I) Axenver- hältniss berechnet.	Max.	Min.
$M : M$ Brachyd. Polk. } = 123°31 $\frac{1}{2}$ ' appr.	124° 0' 43''	123°49'	123°14'
$M : l$ anliegende } = 161 13 bc	161 14 27	161 31	161 3
$M : l$ nicht anliegende } = 104 49 b	105 15 10	—	—
$l : l$ Makrod. Kante } = 94 2 b	93 30 23	94 7	93 55
$M : \mu$ nicht anliegende } = 97 45 appr.	97 22 32	—	—
$l : \mu$ anliegende } = 157 13 appr.	157 22 18	—	—

¹⁾ In Grünhut's Abhandlung: 114°52' 36'' fehlerhaft.

²⁾ " " " 124 7 16 "

Gemessen.		Aus Laspeyres' schen (I) Axenver- hältniss berechnet.		Max.	Min.
$M : f$ anliegende	} = 109° 5½' b	108° 52' 58''		109° 17'	108° 54'
$f : u$ anliegende	} = 137 29 bc	137 38 48		137 38	137 11
$M : u$ anliegende	} = 135 37½ b	135 24 1		135 48	135 27
$M : i$ anliegende	} = 124 12½ c	124 3 35 ¹)		124 14	124 11

Krystall № 12.

Gemessen.		Aus Laspeyres' schen (I) Axenver- hältniss berechnet.		Max.	Min.
$M : M$ Brachyd. Kante)	} = 123° 40' b	124° 0' 43''		—	
$M : l$ anliegende	} = 160 41 appr. . . .	161 14 27		—	
$f : f$ Brachyd. Polk.)	} = 93 31 appr. . . .	92 49 14		—	
$f : y$ anliegende	} = 161 37 bc	161 18 0		—	
$M : u$ anliegende	} = 135 17 b	135 24 1		—	
$l : u$ anliegende	} = 132 9 appr. . . .	132 23 30 ²)		—	
$f : u$ anliegende	} = 137 42 b	137 38 48		—	
$u : u$ Brachyd. Polk.)	} = 141 11 appr. . . .	140 57 4		141° 37'	140° 45'
$u : i$ anliegende	} = 168 5 appr. . . .	168 39 36 ³)		169 14	168 18

¹) In Grünhut's Original-Abhandlung ist fehlerhaft 124° 7' 16'' gedruckt.

²) " " " " " 132 23 16 "

³) " " " " " 168 43 15 "

		Gemessen.	Aus Laspeyres' schen (I) Axenver- hältniss berechnet.	Max.	Min.
$f : x$	} = 150°53 appr. . .	151° 9' 56''		151° 2'—	150°48'
anliegende					
$u : x$	} = 167 12 appr. . .	166 28 51		167 40 —	166 54
anliegende					

Krystall № 13.

		Gemessen.	Aus Laspeyres' schen (I) Axenver- hältniss berechnet.	Max.	Min.
$M : M$	} = 124° 0' ab . . .	124° 0' 43''		124° 1'—	123°59'
Brachyd. Kante)					
$M : l$	} = 161 12 bc . . .	161 14 27		161 20 —	161 7
anliegende					
$M : l$	} = 74 41 ab . . .	74 44 50		—	—
nicht anliegende)					
$l : l$	} = 86 33 $\frac{1}{2}$ c . . .	86 29 37		86 37—	86 30
Brachyd. Kante)					
$l : l$	} = 93 22 bc . . .	93 30 23		—	—
Makrod. Kante)					
$M : Q$	} = 174 29 appr. . .	174 23 28		—	—
anliegende					
$l : Q$	} = 166 40 appr. . .	166 50 58		—	—
anliegende					
$l : \mu$	} = 158 0 appr. . .	157 22 18		—	—
anliegende					
$f : f$	} = 92 51 c . . .	92 49 14		92 51—	92 51
Brachyd. Polk.)					
$f : y$	} = 161 17 ab . . .	161 18 0		161 19—	161 15
anliegende					
$y : M$	} = 114 17 b . . .	114 33 13		—	—
anliegende					
$y : l$	} = 129 51 b . . .	130 9 21		—	—
anliegende					
$M : u$	} = 135 10 c . . .	135 24 1		—	—
anliegende					

Grünhut unter anderem macht folgende Bemerkung: »Die Untersuchung des Topases vom Schneckenstein bei Auerbach in Sachsen hat also ergeben, dass die Winkel desselben theils auf das von Laspeyres für einen von dort stammenden Krystall aufgestellte Axenverhältniss, theils auf das von Kokscharow für den russischen Topas berechnete zu beziehen sind, ohne dass indess etwa jedem dieser Axenverhältnisse ein bestimmter krystallographischer Habitus entspreche, vielmehr lassen sich die Winkel der Krystalle eines und desselben Typus bald auf dieses, bald auf jenes beziehen.«

B. Topas von Ehrenfriedersdorf.

Die Kanten $l : l$ und $l : y$ gestatten stellenweise zur Berechnung des Axenverhältnisses hinreichend genaue Messungen. Grünhut hat nämlich gefunden:

$l : l$	}	= 86°53' ab	$y : l$	}	= 129°54' ab
Brachyd. Kante		86 51 ab	anliegende		= 129 53 ab
					= 129 53 ab
$l : l$	}	= 93 8			= 129 52 ab
Makrod. Kante					
im Mittel = 86°52' ab			Mittel = 129°53' ab		

Hieraus berechnet Grünhut ein Axenverhältniss:

$$a' : b' : c' = 0,5281194 : 1 : 1,4110646,$$

(wo a' = Brachydiagonale, b' = Makrodiagonale und c' = Verticalaxe).

Was für unsere Grundform giebt:

$$a : b : c = 0,94071 : 1 : 0,52812$$

(wo a = Verticalaxe, b = Makrodiagonale, c = Brachydiagonale).

Weiter hat Grünhut, durch Messung und Vergleich mit den aus dem oben angegebenen Axenverhältniss berechneten Winkeln, folgendes erhalten :

Krystall № 12.

		Gemessen.	Aus Grünhut'schen Axenverhältniss berechnet.	Max.	Min.
<i>M</i> : <i>M</i>	} =	—	124° 19' 16"	—	—
Brachyd. Kante					
<i>l</i> : <i>l</i>	} =	86° 52' ab . . .	86 52 0	86° 53' —	86° 51'
Brachyd. Kante					
<i>l</i> : <i>l</i>	} =	93 3 b	93 8 0	93 8 —	93 0
Makrod. Kante					
<i>M</i> : <i>l</i> anliegende	} =	161 18 ab . . .	161 16 22	161 20 —	161 16
andere Kante					
<i>M</i> : <i>l</i> andere Kante	} =	18 41 b	18 43 38	—	—
<i>f</i> : <i>y</i> anliegende	} =	161 13 appr. . .	161 14 29	—	—
<i>y</i> : <i>F</i> anliegende	} =	156 52 appr. . .	156 52 16 ¹⁾	157 24 —	155 47
<i>l</i> : <i>y</i> anliegende	} =	129 53 ab . . .	129 53 0	129 54 —	129 53
<i>M</i> : <i>u</i> anliegende	} =	135 15 appr. . .	135 12 17	—	—
<i>u</i> : <i>i</i> anliegende	} =	167 50 appr. . .	168 40 28	—	—
<i>u</i> : <i>u</i> Brachyd. Polk.	} =	142 5 appr. . .	141 17 34	142 37 —	141 33
<i>u</i> : <i>c</i> anliegende	} =	109 58 appr. . .	109 21 13	—	—
<i>l</i> : <i>u</i> anliegende	} =	132 31 c	132 13 37	—	—
<i>l</i> : <i>u</i> nicht anliegende	} =	100 50 appr. . .	100 59 48	—	—

¹⁾ In Grünhut's Abhandlung: 156° 52' 27", fehlerhaft.

Krystall № 15.

Gemessen.	Aus Kokscharow'schen Axenverhältniss berechnet.	Max.	Min.
$M : M$ Makrod. Kante } = $55^{\circ}38\frac{1}{2}'$ ab . . .	$55^{\circ}43' 0''$	$55^{\circ}41'$	$55^{\circ}36'$
$M : M$ Brachyd. Kante } = $124 9\frac{1}{2}$ b . . .	$124 17 0$	$124 10$	$124 9$
$M : l$ anliegende } = $161 13$ ab . . .	$161 16 8$	$161 29$	$161 6$
$M : \mu$ anliegende } = $139 0$ appr. . .	$138 35 6$	$139 36$	$138 21$
$l : \mu$ anliegende } = $157 33$ appr. . .	$157 18 58$	$157 51$	$157 15$
$\mu : \mu$ Makrod. Kante } = $137 39$ appr. . .	$138 32 48$		—
$M : u$ anliegende } = $135 27$ ab—b . . .	$135 35 15^1)$	$135 34$	$135 21$
$u : u$ Brachyd. Kante } = $144 5$ ab . . .	$144 0 6$		—
$u : i$ anliegende } = $168 15$ appr. . .	$168 38 50$	$168 54$	$167 42$
$l : x$ anliegende } = $131 35\frac{1}{2}$ appr. . .	$131 12 2$	$131 58$	$131 9$

Krystall № 16.

Gemessen.	Aus Kokscharow'schen Axenverhältniss berechnet.	Max.	Min.
$M : M$ Brachyd. Kante } = $124^{\circ} 3'$ c . . .	$124^{\circ}17' 0''$	$124^{\circ} 3'$	$124^{\circ} 3'$
$M : M$ Makrod. Kante } = $55 37$ ab . . .	$55 43 0$		—

¹⁾ In Grünhut's Abhandlung: $135^{\circ} 34' 16''$ fehlerhaft.

Gemessen.	Aus Kokscharow'schen Axenverhältniss berechnet.	Max.	Min.
$M : \mu$ } anliegende	= 138°30' appr. 138°35' 6''	—	
$l : \mu$ } anliegende	= 157 47 appr. 157 18 58	157°49'—	157°45'
$l : \mu$ } nicht anliegende	= 117 0 appr. 115 51 46	—	
$\mu : \mu$ } Makrod. Kante	= 139 15 appr. 138 32 48	—	
$f : M$ } anliegende	= 108 52 ab 108 49 0	108 57—	108 49
$f : M$ } nicht anliegende	= 71 10 $\frac{1}{2}$ b 71 11 0	71 15—	71 6
$f : u$ } anliegende	= 137 23 appr. 137 27 22	—	
$u : M$ } nicht anliegende	= 113 27 appr. 113 43 33	—	
$f : x$ } anliegende	= 151 23 appr. 151 0 37	—	

Krystall № 17.

Gemessen.	Aus Kokscharow'schen Axenverhältniss berechnet.	Max.	Min.
$M : M$ } Brachyd. Kante	= 123°46' c 124°17' 0'' ¹⁾	123°49'—	123°35'
$M : l$ } anliegende	= 161 20 appr. 161 16 8	—	
$M : \mu$ } anliegende	= 138 49 appr. 138 35 6	139 11—	138 27
$\mu : \mu$ } Makrod. Kante	= 139 26 appr. 138 32 48	—	

¹⁾ In Grünhut's Abhandlung: 124° 7' 0'' fehlerhaft.

Gemessen.	Aus Kokscharow'schen Axenverhältniss berechnet	Max.	Min.
Brachyd. Polk. } = 93° 10' b	92° 42' 0''		—
f : y } = 161 11 appr	161 18 38	161° 24' —	160° 51'
anliegende } = 135 24 appr	135 35 15		—
M : u } = 134 21 appr	134 24 45		—
anliegende } = 140 39½ c	141 0 6	140 48 —	140 31
Brachyd. Polk. } = 137 40 appr	137 27 22		—
f : u } = 151 9 appr	151 0 37	151 28 —	150 56
anliegende } = 168 45½ appr	168 38 50	169 3 —	168 7
u : i } =			
anliegende } =			

C. Topas aus Russland.

Krystall № 18 (von der Urulga).

Grünhut bemerkt unter anderem: »Die Brachydomenzone ist in Folge oscillatorischer Combination stark parallel der Zonenaxe gestreift, die Prismen und ein Theil der Pyramiden lieferten recht gute Spaltbilder. Selbstverständlich lässt sich von einem Krystalle, der so deutliche Anzeichen mehrmaliger Unterbrechung seines Wachsthums an sich trägt, kein völliger Parallelismus der einander entsprechenden Flächen erwarten, zeigen doch z. B. die Prismenflächen der unteren Krystallhälfte schon dem unbewaffneten Auge recht deutliche Knickungen. Ich habe daher in der folgenden Tabelle der von mir gemessenen Winkel die in den einzelnen Quadranten erhaltenen Resultate gesondert angeführt. Beachtenswerth

• ist die Abweichung der Winkel $\infty\bar{P}\infty : oP$ und $\infty P : oP$ von 90° , die in der eben erwähnten Art, wie die Basis überhaupt auftritt, wohl ihre hinreichende Erklärung findet. Es sei übrigens darauf hingewiesen, dass auch Kokscharow an einem Krystalle eine entsprechende Anomalie auffand und für den Winkel $\infty P : oP$ den Werth $90^\circ 4' 50''$ erhielt. •

Krystall № 18.

		Gemessen.	'Aus Kokscharow' schen Axenverhält- niss berechnet.	Max.	Min.
$M : M$	} =	124° 11' a	124° 17' 0''	124° 13'	— 124° 9'
Brachyd. Kante					
$M : c$	} =	117 54 a	117 51 30	—	—
anliegende					
$M : c$	} =	117 53 a	117 51 30	117 53	— 117 53
andere Kante					
$M : c$	} =	117 51 a	117 51 30	—	—
andere Kante					
$M : l$	} =	161 18 b	161 16 8	161 22	— 161 15
anliegende					
$M : l$	} =	161 8½ b	161 16 8	161 10	— 161 7
andere Kante					
$c : l$	} =	136 23 ab	136 35 22	—	—
anliegende					
$c : R$	} =	125 8 b	125 10 24	—	—
anliegende					
$c : m$	} =	128 16 b	128 24 28	—	—
anliegende					
$M : m$	} =	169 21 ab	169 27 2	169 22	— 169 20
anliegende					
$c : g$	} =	147 31 b	147 45 42	—	—
anliegende					
$c : n$	} =	154 39 ab	154 41 9	—	—
anliegende					

Gemessen.		Aus Kokscharow'schen Axenverhältniss berechnet.		Max.	Min.
<i>c</i> : <i>U</i> anliegende	} = 162°28' b . . .	162°29' 54''		—	
<i>P</i> : <i>M</i> anliegende	} = 90 22 appr. . .	90 0 0		—	
<i>c</i> : <i>P</i> anliegende	} = 89 24 ab . . .	90 0 0	89°25'—	89°22'	
<i>c</i> : <i>w</i> anliegende	} = 165 12½ b . . .	165 18 54	165 16 —	165 9	
<i>c</i> : <i>w</i> andere Kante	} = 165 9 appr. . .	165 18 54		—	
<i>c</i> : <i>y</i> anliegende	} = 152 17 a . . .	152 20 22	152 21 —	152 15	
<i>c</i> : <i>y</i> andere Kante	} = 152 21 appr. . .	152 20 22	152 23 —	152 19	
<i>c</i> : <i>t</i> anliegende	} = 148 22 appr. . .	147 49 54	148 24 —	148 19	
<i>y</i> : <i>k</i> anliegende	} = 171 57 appr. . .	172 42 47		—	
<i>y</i> : <i>G</i> anliegende	} = 167 23 appr. . .	167 40 37		—	
<i>c</i> : <i>f</i> anliegende	} = 133 5 appr. . .	133 39 0	133 13 —	132 54	
<i>M</i> : <i>y</i> anliegende	} = 114 11 b . . .	114 26 56		—	
<i>M</i> : <i>i</i> anliegende	} = 156 41 appr. . .	156 47 58		—	
<i>M</i> : <i>i</i> andere Kante	} = 156 59 appr. . .	156 47 58		—	
<i>M</i> : <i>o</i> anliegende	} = 153 53 b	153 54 8		—	
<i>M</i> : <i>o</i> andere Kante	} = 153 46 b	153 54 8		—	
<i>M</i> : <i>o</i> andere Kante	} = 153 44½ b	153 54 8	153 51 —	153 38	

Gemessen.	Aus Kokscharow'schen Axenverhältniss berechnet.	Max.	Min.
<i>M</i> : <i>o</i> andere Kante } = 153° 39' b	153° 54' 8"	—	—
<i>M</i> : <i>o</i> andere Kante } = 153 49 ab	153 54 8	—	—
<i>l</i> : <i>o</i> anliegende } = 148 17 ab	148 15 52	—	—
<i>y</i> : <i>o</i> anliegende } = 125 0 b	125 9 46	—	—
<i>y</i> : <i>o</i> andere Kante } = 125 9 a	125 9 46	—	—
<i>M</i> : <i>S</i> anliegende } = 140 36 appr	140 46 18	—	—
<i>M</i> : <i>u</i> anliegende } = 135 27 b	135 35 15	—	—
<i>M</i> : <i>u</i> andere Kante } = 135 20 b	135 35 15	—	—
<i>M</i> : <i>e</i> anliegende } = 102 50 b	102 46 49	—	—
<i>M</i> : <i>d</i> anliegende } = 98 40 appr.	98 55 27	—	—
<i>y</i> : <i>l</i> anliegende } = 141 41 appr.	143 32 46 ¹⁾	—	—

D. Topas von Brasilien.

Wirklich genaue Messungen konnte Grünhut nur an einem einzigen Krystall № 21 anstellen. Derselbe stammte von Villa Rica, war farblos und besass bei einer Länge von 32 mm. eine Dicke von nur 6 mm. Er war leider an beiden Enden verbrochen, und wenn auch an den einen die beginnende Bildung neuer Flächen wahrzu-

¹⁾ In Grünhut's Abhandlung: 140° 33' 57", fehlerhaft.

nehmen war, so konnte von einer Messung derselben nicht die Rede sein; nur die Prismenzone konnte goniometrischen Untersuchungen unterworfen werden. Unter den zahlreichen Messungen der Kante des Prismas $l = \infty P2$ hält Grünhut eine, unter ausnahmsweise günstigen Beleuchtungsverhältnissen angestellte, für besonders genau, dieselbe ergab $l : l$ (Brachydiag. Kante) = $86^\circ 53'a$ und hieraus berechnet sich das Axenverhältniss:

$$a : b : c = ? : 1 : 0,527966$$

(wo a = Verticalaxe, b = Makrodiagonale, c = Brachydiagonale).

Die Messungen, verglichen mit den hieraus berechneten Werthen, ergaben:

Krystall № 21.

Gemessen.	Berechnet aus oben angegebenem Axen- verhältniss.	Max.	Min.
$\left. \begin{array}{l} M : M \\ \text{Brachyd. Kante} \end{array} \right\} = 124^\circ 18' b \dots$	$124^\circ 20' 6''$	$124^\circ 19'$	$124^\circ 18'$
$\left. \begin{array}{l} M : l \\ \text{anliegende} \end{array} \right\} = 161 \ 15 \text{ ab} \dots$	$161 \ 16 \ 27$	$161 \ 17$	$161 \ 13$
$\left. \begin{array}{l} M : l \\ \text{nicht anliegende} \end{array} \right\} = 105 \ 39 \text{ ab} \dots$	$105 \ 36 \ 33^1)$	$105 \ 44$	$105 \ 35$
$\left. \begin{array}{l} l : l \\ \text{Makrod. Kante} \end{array} \right\} = 93 \ 7 \text{ ab} \dots$	$93 \ 7 \ 0$	$93 \ 15$	$92 \ 59$
$\left. \begin{array}{l} l : l \\ \text{Brachyd. Kante} \end{array} \right\} = 86 \ 52 \text{ ab} \dots$	$86 \ 53 \ 0$	$86 \ 53$	$86 \ 49$
$\left. \begin{array}{l} l : R \\ \text{anliegende} \end{array} \right\} = 168 \ 18 \text{ c} \dots$	$168 \ 35 \ 8^2)$		—
$\left. \begin{array}{l} M : o \\ \text{anliegende} \end{array} \right\} = 170 \ 42 \text{ c} \dots$	$170 \ 35 \ 17^3)$		—

¹⁾ In Grünhut's Abhandlung: $105^\circ 37' 3''$, fehlerhaft.

²⁾ " " " $168 \ 34 \ 18$, "

³⁾ " " " $170 \ 30 \ 16$, "

Gemessen.	Berechnet aus oben- angegebenen Axen- verhältniss.	Max.	Min.
$M : v$ anliegende } = 166°44' b . . . 166°56'40'' ¹⁾			—
$l : q$ anliegende } = 175 35 $\frac{1}{2}$ b . . . 175 41 3 ²⁾ 175°40'—175°33'			
$l : g$ anliegende } = 168 27 appr. . . 168 49 30 ³⁾			—
$l : v$ anliegende } = 156 12 appr. . . 156 23 47 ⁴⁾ 156 34 — 155 55			
$l : v$ nicht anliegende } = 116 28 appr. . . 116 43 13 ⁵⁾			—

Die übrigen von Grünhut gemessenen Krystalle gehören, wie er sagt, »sämmlich der bekannten braunen Varietät an, und war »eine genauere Bestimmung des Axenverhältnisses derselben mit »grossen Schwierigkeiten verbunden. In der meist gerundeten Pris- »menzone kann selbst bei den bestausgebildeten Krystallen nur von »Schimmerablesungen die Rede sein, das Brachydoma $\bar{P}\infty$, so fern »es ausgebildet ist, ist gleichfalls selten eben genug, um eine hin- »reichend genaue Bestimmung des Winkelwerthes seiner Kante zu- »zulassen. So ist man einzig und allein auf die Messungen der Py- »ramidenpolkanten angewiesen, allein auch hier gelangt man zu »keinen sehr genauen Resultaten, indem die Pyramidenflächen, wel- »che meist schon dem unbewaffneten Auge geknickt erscheinen, »fast immer mehrfache Reflexe liefern«.

An einem ziemlich kleinen Krystall № 22 erwiesen sich diese Unebenheiten als verhältnissmässig unbedeutend, und gelang es auch

¹⁾ In Grünhut's Abhandlung: 166°51'40'', fehlerhaft.

²⁾ " " " 175 40 34, "

³⁾ " " " 168 49 59, "

⁴⁾ " " " 156 24 17, "

⁵⁾ " " " 116 43 43, "

durch Schwärzen der ganzen Flächen bis auf die den Kanten zu aller-
nächst liegenden Partien einfach und ziemlich scharfe Spaltbilder
zu erhalten. Die Messungen ergaben:

$$\begin{array}{r} u : u \\ \text{Brachyd. Polk.} \end{array} \left. \vphantom{\begin{array}{r} u : u \\ \text{Brachyd. Polk.} \end{array}} \right\} = 140^{\circ} 32' \text{ ab} \\ \phantom{\left. \vphantom{\begin{array}{r} u : u \\ \text{Brachyd. Polk.} \end{array}} \right\}} = 140 \ 32 \text{ ab} \\ \phantom{\left. \vphantom{\begin{array}{r} u : u \\ \text{Brachyd. Polk.} \end{array}} \right\}} = 140 \ 28 \text{ ab} \\ \phantom{\left. \vphantom{\begin{array}{r} u : u \\ \text{Brachyd. Polk.} \end{array}} \right\}} = 140 \ 27 \text{ ab} \\ \phantom{\left. \vphantom{\begin{array}{r} u : u \\ \text{Brachyd. Polk.} \end{array}} \right\}} = 140 \ 26 \text{ ab} \\ \hline \text{Mittel} = 140^{\circ} 29' \ 0'' \text{ ab}$$

$$\begin{array}{r} u : u \\ \text{Makrod. Polk.} \end{array} \left. \vphantom{\begin{array}{r} u : u \\ \text{Makrod. Polk.} \end{array}} \right\} = 102^{\circ} \ 8' \text{ ab} \\ \phantom{\left. \vphantom{\begin{array}{r} u : u \\ \text{Makrod. Polk.} \end{array}} \right\}} = 102 \ 3 \text{ ab} \\ \phantom{\left. \vphantom{\begin{array}{r} u : u \\ \text{Makrod. Polk.} \end{array}} \right\}} = 102 \ 3 \text{ ab} \\ \phantom{\left. \vphantom{\begin{array}{r} u : u \\ \text{Makrod. Polk.} \end{array}} \right\}} = 102 \ 2 \text{ ab} \\ \phantom{\left. \vphantom{\begin{array}{r} u : u \\ \text{Makrod. Polk.} \end{array}} \right\}} = 101 \ 58 \text{ ab} \\ \hline \text{Mittel} = 102^{\circ} \ 2' \ 48'' \text{ ab}$$

Aus diesen beiden Fundamentalwerthen berechnet Grünhut das
Axenverhältniss zu:

$$a : b : c = 0,96599 : 1 : 0,53759$$

(wo a = Verticalaxe, b = Makrodiagonale, c = Brachydiagonale.)

Die Messungen ergaben:

Krystall № 22.

Gemessen.	Aus Grünhut'schen Axenverhältniss (Kr. № 22) berechnet ¹⁾ .	Max.	Min.
$\begin{array}{l} M : M \\ \text{Brachyd. Kante} \end{array} \left. \vphantom{\begin{array}{l} M : M \\ \text{Brachyd. Kante} \end{array}} \right\} = 123^{\circ} 42' \text{ appr.} \dots$	$123^{\circ} 28' 34''$	—	—
$\begin{array}{l} M : l \\ \text{anliegende} \end{array} \left. \vphantom{\begin{array}{l} M : l \\ \text{anliegende} \end{array}} \right\} = 161 \ 14 \frac{1}{2}' \text{ b} \dots$	$161 \ 11 \ 14$	$161^{\circ} 28'$	$161^{\circ} \ 1'$

¹⁾ Nämlich: a : b : c = 0,96599 : 1 : 0,53759 (a = Vert.-Axe, b = Makro-
diagonale, c = Brachydiagonale).

Gemessen.	Aus Grünhut'schen Axenverhältniss (Kr. № 22) berechnet.	Max.	Min.
$M : l$ nicht anliegende } = 75°21' ab	75°20' 12"	—	—
$l : l$ Makrod. Kante } = 94 4 b	94 8 58	94° 8'—	93°58'
$M : O$ anliegende } = 175 4½ c	175 26 8	175 6—	175 3
$M : R$ anliegende } = 172 28 b	172 37 46	—	—
$l : \lambda$ anliegende } = 176 18 b	176 10 39	—	—
$u : u$ Brachyd. Polk. } = 140 29 ab	140 28 30 ¹⁾	140 32—	140 26
$u : u$ Makrod. Polk. } = 102 3 ab	102 3 10	102 8—	101 58
$u : u$ an der Spitze } = 88 54 b	88 51 46	88 59—	88 49
$M : u$ anliegende } = 135 42 b	135 34 7	135 43—	135 41

Krystall № 23.

Die Messungen zwar nicht von sonderlich hohem Genauigkeitsgrade, ergaben:

Gemessen.	Aus demselben Grünhut'schen Axenverhältniss (Kr. № 22) berechnet.	Max.	Min.
$M : M$ Brachyd. Kante } = 124° 6' c	123°28' 34"	124°18'—	123°54'
$M : l$ anliegende } = 161 1 b	161 11 14	161 3—	161 0
$M : l$ nicht anliegende } = 75 27 b	75 20 12	—	—

¹⁾ In Grünhut's Abhandlung: 140° 29' 0", fehlerhaft.

Gemessen.	Aus Grünhut'schen Axenverhältniss (Kr.- № 22) berechnet.	Max.	Min.
$M : l$ nicht anliegende } = 105°14' c	104°39'48''	—	—
$u : u$ Brachyd. Polk. } = 140 35 b	140 28 30 ')	140°38'	140°32'
$u : u$ Makrod. Polk. } = 102 30 appr.	102 3 10	—	—

Krystall № 24.

Grünhut bemerkt: »Einigermassen genaue Messungen, ebenfalls durch Schwärzen der betreffenden Flächen, lieferte auch der Krystall № 24.«

Es ergab sich für die Fundamentalwerthe:

$$\begin{array}{l}
 u : f \\
 \text{anliegende} \quad \left. \vphantom{u : f} \right\} = 137^{\circ}59' \text{ ab} \\
 \phantom{\text{anliegende}} \phantom{\left. \vphantom{u : f} \right\}} = 137 \ 56 \text{ ab} \\
 \phantom{\text{anliegende}} \phantom{\left. \vphantom{u : f} \right\}} = 137 \ 56 \text{ ab} \\
 \phantom{\text{anliegende}} \phantom{\left. \vphantom{u : f} \right\}} = 137 \ 56 \text{ ab} \\
 \phantom{\text{anliegende}} \phantom{\left. \vphantom{u : f} \right\}} = 137 \ 54 \text{ ab}
 \end{array}$$

$$\text{Mittel} = 137^{\circ}56'12'' \text{ ab}$$

$$\begin{array}{l}
 u : u \\
 \text{Brachyd. Polk.} \quad \left. \vphantom{u : u} \right\} = 141^{\circ}36' \text{ ab} \\
 \phantom{\text{Brachyd. Polk.}} \phantom{\left. \vphantom{u : u} \right\}} = 141 \ 35 \text{ ab} \\
 \phantom{\text{Brachyd. Polk.}} \phantom{\left. \vphantom{u : u} \right\}} = 141 \ 32 \text{ ab} \\
 \phantom{\text{Brachyd. Polk.}} \phantom{\left. \vphantom{u : u} \right\}} = 141 \ 32 \text{ ab}
 \end{array}$$

$$\text{Mittel} = 141^{\circ}33'45'' \text{ ab}$$

Hieraus berechnet Grünhut das Axenverhältniss zu:

$$a : b : c = 0,93015 : 1 : 0,52650$$

(wo a = Verticalaxe, b = Makrodiagonale c = Brachydiagonale).

¹⁾ In Grünhut's Abhandlung: 140° 29' 0'', fehlerhaft.

Die wichtigsten aus diesem Axenverhältniss berechneten Winkel sind:

$$\left. \begin{array}{l} M : M \\ \text{Brachyd. Kante} \end{array} \right\} = 124^{\circ}27'59''$$

$$\left. \begin{array}{l} l : l \\ \text{Brachyd. Kante} \end{array} \right\} = 87 \quad 2 \quad 34 \quad ^1)$$

$$\left. \begin{array}{l} f : f \\ \text{Brachyd. Polk.} \end{array} \right\} = 94 \quad 8 \quad 44$$

Krystall № 25.

Gemessen.	Aus Gränhut'schen Axenverhältniss (Kr. № 24) berechnet ²⁾ .	Max.	Min.
$\left. \begin{array}{l} M : M \\ \text{Brachyd. Kante} \end{array} \right\} = 124^{\circ}19' \text{ appr.}$	$124^{\circ}27'59''$	—	—
$\left. \begin{array}{l} M : l \\ \text{anliegende} \end{array} \right\} = 160 \quad 47 \text{ appr.}$	$161 \quad 17 \quad 17 \quad ^3)$	$160^{\circ}51' - 160^{\circ}43'$	—
$\left. \begin{array}{l} M : R \\ \text{anliegende} \end{array} \right\} = 171 \quad 57 \text{ appr.}$	$172 \quad 41 \quad 52$	—	—
$\left. \begin{array}{l} l : T \\ \text{anliegende} \end{array} \right\} = 174 \quad 6 \text{ appr.}$	$173 \quad 37 \quad 56 \quad ^4)$	—	—
$\left. \begin{array}{l} l : \mu \quad ^5)$ \\ \text{anliegende} \end{array} \right\} = 157 \quad 20 \text{ appr.}	$157 \quad 16 \quad 43 \quad ^6)$	—	—
$\left. \begin{array}{l} u : u \\ \text{Brachyd. Polk.} \end{array} \right\} = 144 \quad 48 \text{ c}$	$144 \quad 34 \quad 0$	$142 \quad 7 - 141 \quad 37$	—
$\left. \begin{array}{l} u : u \\ \text{Makrod. Polk.} \end{array} \right\} = 101 \quad 49 \text{ c}$	$102 \quad 36 \quad 50 \quad ^7)$	$102 \quad 4 - 101 \quad 40$	—
$\left. \begin{array}{l} u : u \\ \text{an der Spitze} \end{array} \right\} = 89 \quad 19 \frac{1}{2} \text{ c}$	$90 \quad 5 \quad 54 \quad ^8)$	$89 \quad 36 - 89 \quad 3$	—

¹⁾ In Gränhut's Abhandlung: $88^{\circ} \quad 54' \quad 38''$, fehlerhaft.

²⁾ Nämlich: $a : b : c = 0,93015 : 1 : 0,52650$ ($a = \text{Vert-Axe}$, $b = \text{Makrod.}$, $c = \text{Brachyd.}$)

³⁾ In Gränhut's Abhandlung: $161^{\circ}11' \quad 9''$, fehlerhaft.

⁴⁾ " " " " " $173 \quad 38 \quad 35$, " "

⁵⁾ " " " " " $M : \mu$, " "

⁶⁾ " " " " " $157 \quad 20 \quad 41$, " "

⁷⁾ " " " " " $102 \quad 37 \quad 0$, " "

⁸⁾ " " " " " $89 \quad 34 \quad 7$, " "

Krystall № 26.

Gemessen.		Aus Grünhut'schen dem- selben Axenverhältniss (Kr. № 24) berechnet.	
		Max.	Min.
u : u Brachyd. Polk. }	= 140°49' c	141°34' 0''	141° 1' — 140°36'
u : u Makrod. Polk. }	= 102 43 b	102 36 50 ¹⁾	102 51 — 102 35
u : u Mittelkante }	= 90 26 c	89 54 7	90 27 — 90 24
P : u nicht anliegende }	= 45 18 b	44 57 3 ²⁾	45 26 — 45 6
M : u anliegende }	= 135 18 appr.	134 57 3 ³⁾	135 20 — 135 14

Krystall № 27.

Grünhut erwähnt unter anderem: »Hier konnte indess nur die Prismenzone gemessen werden, weil die stark entwickelte Fläche *u* so drusig war, dass sie kaum Reflexe gab, die übrigen Pyramidenflächen hingegen zu schmal waren, um Messungen zu gestatten.«

Gemessen.		Aus Grünhut'schen Axenverhältniss (Kr. № 22) berechnet ⁴⁾ .	
		Max.	Min.
M : M Brachyd. Kante }	= 123°57½' appr.	123°28' 34''	123°12' — 123°35'
M : l anliegende }	= 161 3½' appr.	161 11 14	161 18 — 160 55

¹⁾ In Grünhut's Abhandlung: 102°37' 0'', fehlerhaft.
²⁾ „ „ „ 45 2 55, „
³⁾ „ „ „ 135 2 55, „
⁴⁾ Nämlich: a : b : c = 0,96599 : 1 : 9,53759 (a = Vert.-Axe, b = Makrod., c = Brachyd.)

Gemessen.	Aus Grünhut'schen Axenverhältniss (Kr. № 24) berechnet.	Max.	Min.
$l : l$ Makrod. Kante	} = 94° 8' appr. 94° 8' 58''	—	—
$M : R$ anliegende	} = 172 33 appr. 172 37 46	172° 48'	172° 23'
$M : t$ anliegende	} = 170 53 appr. 170 44 18	171 18	170 37
$M : T$ anliegende	} = 167 16 appr. 167 33 42	167 34	166 59
$l : T$ anliegende	} = 173 40 appr. 173 37 32	173 59	173 29
$M : \lambda$ anliegende	} = 165 1 appr. 165 0 35	165 22	164 50
$l : \lambda$ anliegende	} = 175 42 appr. 176 10 39	175 47	175 37

E. Topas von San Luis Potosi.

Grünhut bemerkt unter anderem: »Ich bin in der glücklichen Lage, den bisher bekannten mexicanischen Topasfundorten, Cerro del Mercado bei Durengo und La Paz, einen neuen San Luis Potosi, die Hauptstadt des gleichnamigen Departements, hinzufügen zu können. Genaue Messungen konnten nur in der Prismenzone vorgenommen werden; da der Prismenwinkel mit dem der russischen Topase recht nahe übereinstimmte, so wurden auch die übrigen Winkelwerthe mit den aus dem Kokscharow'schen Axenverhältnisse berechneten verglichen.« Die Messungen ergaben:

Gemesssn.	Aus Kokscharow' schen Axenverhält- niss berechnet.	Max. Min.
$M : M$ Brachyd. Kante } = 124°20' ab . . . 124°17' 0''		124°23' — 124° 18'
$M : O$ anliegende } = 175 32 ab . . . 175 28 24		—
$O : l$ anliegende } = 165 24 $\frac{1}{2}$ b 165 47 44		165 28 — 165 21
$f : M$ anliegende } = 108 51 b 108 49 0.		109 8 — 108 42
$M : o$ anliegende } = 154 5 b 153 54 8		154 15 — 153 49
$M : u$ anliegende } = 135 32 $\frac{1}{2}$ b 135 35 15		135 34 — 135 31
$u : i$ anliegende } = 168 55 appr. . . . 168 38 50		169 9 — 168 47

Am Schlusse seiner Abhandlung macht Grünhut, unter mehreren anderen speculativen Bemerkungen, folgende:

•Es soll nun noch zum Schlusse untersucht werden, ob die Winkelschwankungen des Topases einem bestimmten Gesetze unterworfen sind, d. h. ob die in den *verschiedenen* Zonen erfolgenden Aenderungen in irgend welcher Weise von einander abhängig sind. Es muss indess vorausgeschickt werden, dass bei Discutirung dieser Frage Breithaupt's Messungen unberücksichtigt bleiben müssen, indem dieselben nur wenig mit denen späterer Autoren übereinstimmen. Auch lässt der Umstand, dass Varietäten, die nach ihm in einer Zone übereinstimmen, ihm in anderen Verschiedenheiten ergaben, den Schluss gerechtfertigt erscheinen, er habe Messungen an mehreren Krystallen desselben Fundortes combinirt, was aber nach Laspeyres' sowohl, als auch nach meinen Beobachtungen nicht gestattet ist u. s. w.

«Indess lässt es sich schon a priori erwarten, dass auf dem eingeschlagenen Wege der directen Vergleichung der Axenverhältnisse eine Gesetzmässigkeit nicht erkannt werden wird» u. s. w. »Man wird daher, soll die Vergleichung fruchtbar sein, diejenigen Winkel zu betrachten haben, welche eine alle drei Axen schneidende Fläche mit anderen, deren gegenseitige Lage bei allen Varietäten die gleiche ist, einschliesst, d. h. die Winkel einer Pyramidenfläche mit den Pinakoiden. Im Folgenden sind zu diesem Zwecke die Winkel der Pyramide $u(\frac{1}{3}P)$ — als der am Topas am häufigsten auftretenden — mit den drei Endflächen angeführt, nach abnehmenden Werthen von $P(oP) : u(\frac{1}{3}P)$ geordnet:

	$oP : \frac{1}{3}P$	$\infty\bar{P}\infty : \frac{1}{3}P$	$\infty\bar{P}\infty : \frac{1}{3}P$
»Russland	$134^{\circ}24\frac{3}{4}'$	$129^{\circ}9\frac{3}{4}'$	$109^{\circ}30'$
»Brasilien (Kr. № 22)	$134\ 26$	$128\ 58\frac{1}{2}$	$109\ 45\frac{3}{4}$
»Altenberg	$134\ 26\frac{1}{2}$	$129\ 8$	$109\ 30$
»Schlaggenwald	$134\ 36$	$128\ 59$	$109\ 28\frac{1}{2}$
»Schneckenstein I	$134\ 36$	$128\ 57\frac{1}{2}$	$109\ 31\frac{1}{2}$
»Schneckenstein II	$134\ 44$	$128\ 52\frac{1}{2}$	$109\ 26$
»Ehrenfriedersdorf	$134\ 48$	$128\ 52$	$109\ 21$
»Brasilien (Kr. № 24)	$134\ 57$	$128\ 41\frac{1}{2}$	$109\ 13$

»Wie man sieht, ist mit der Abnahme von $oP : \frac{1}{3}P$ eine stetige Zunahme von $\infty\bar{P}\infty : \frac{1}{3}P$ verknüpft; als einzige Ausnahme erscheint der Krystall № 22. Wenn man indess erwägt, dass die Pyramidenflächen dieses Individuums gekrümmt und geknickt waren, so wird man den Messungen, die ja überhaupt nur nach dem Schwärzen der allerunregelmässigten Partien vorgenommen werden konnten, keine grosse Genauigkeit zutrauen und wird daher von dieser Ausnahme absehen. Würde man den Winkel $\frac{1}{3}P : \infty\bar{P}\infty$ nur um $10'$ grösser annehmen, so wäre übrigens Uebereinstimmung mit dem

•Verhalten der übrigen Krystalle vorhanden, ein Fehler von dieser
•Grösse war aber bei den betreffenden Messungen durchaus nicht
•ausgeschlossen. «

•Es lag ursprünglich in der Absicht des Verfassers zu unter-
•suchen, ob Beziehungen zwischen dieser Grösse und dem Fluorge-
•halte existiren, ein Vorhaben, das an verschiedenen methodologi-
•schen Schwierigkeiten, namentlich daran, dass die genau messbaren
•Krystalle meist viel zu klein sind, um ausreichendes Analysen-
•material zu liefern, scheiterte. Die Idee, zunächst nur Beziehungen
•zwischen dem specifischen Gewicht und den Angulardimensionen
•einerseits, sowie der chemischen Constitution andererseits aufzu-
•suchen und die Ergebnisse beider Beobachtungsreihen zu combi-
•niren, erwies sich ebenfalls als unfruchtbar, indem schon aus Ram-
•melberg's Untersuchungen hervorgeht, dass einem gleichen Vo-
•lumgewicht nicht immer eine gleiche chemische Zusammensetzung
•entspricht. Auch ergab sich bei vorbereitenden Versuchen, bei
•denen ich mich der Rohrbach'schen Flüssigkeit bediente, dass
•Krystalle, die verschiedene Winkelverhältnisse aufweisen, zuweilen
•ein gleiches specifisches Gewicht besitzen. «

In welchem Grade alle diese von Grünhut gezogenen Schlüsse
in Hinsicht der Schwankungen der Elemente des Topases der Wirk-
lichkeit entsprechen, kann ich nicht sagen, denn durch meine eige-
nen Beobachtungen war ich nicht im Stande gesetzt dieselben zu be-
stätigen. Es scheint indessen doch, dass die Richtigkeit mehrerer
Messungen, die zur Ableitung der Axenverhältnisse gedient haben,
nicht mit ganzer Sicherheit bewiesen worden ist. Die oft von Grün-
hut (auch von Laspeyres) bei Messungen angewandte Methode alle
Flächentheile, welche oscillatorische Streifung oder andere Unvollkom-
menheit zeigen, zu schwärzen und nur einige fehlerfreie Theile zum
Reflex zu lassen, führt nicht immer zu den richtigsten Resultaten.

Die Frage über die Schwankungen der Winkel des Topases aus

verschiedenen Fundorten wurde schon im Jahre 1870 von P. Groth *) erwähnt. Dieser Gelehrte hat die Topaskrystalle von Altenberg und von Schlaggenwalde gemessen und aus seinen Messungen zwei etwas verschiedene Axenverhältnisse für die Grundform des Minerals aus diesen beiden Fundorten abgeleitet.

Die hauptsächlichsten Resultate der von P. Groth ausgeführten Messungen sind folgende:

F. Topas von Altenberg.

»Die Topaskrystalle von Altenberg« — schreibt P. Groth —
»setzen, obgleich von so ausgezeichnetem glänzenden Ansehen, der
»genaueren Erforschung ihrer Kantenwinkel doch einige Schwierig-
»keiten entgegen. Diese liegen in der Zusammensetzung der Mehr-
»zahl aus mehreren, nicht streng parallelen Individuen, daher die
»scheinbar noch so ebenen Krystallflächen zwei, ja oft eine ganze,
»über 1° lange Reihe reflectirter Bilder des leuchtenden Objects **)
»geben. Da die Wahl des hellsten derselben nicht immer die richtige
»sein dürfte, da ferner zuweilen mehrere derselben gleich hell sind,
»so sind solche Flächen zur genauen Bestimmung von Krystallwinkeln
»völlig unzulässig. Unter diesen Unregelmässigkeiten findet sich be-
»sonders eine häufig, dass nämlich die verschiedenen nicht parallelen
»Theile eines Krystalls um die verticale Hauptaxe um einen kleinen
»Winkel gedreht sind. Diese unregelmässige Ausbildung überträgt
»sich dann auch auf die am Ende befindlichen domatischen Flächen,
»wie weiter unten aus den Messungen von $\bar{P}\infty$ zu ersehen ist. Zu
»solchen Messungen, welche der Rechnung zu Grunde gelegt werden
»sollen, können natürlich nur ganz regelmässig ausgebildete Krystalle
»gewählt werden, daher ich 24 Krystalle, 10 meiner Sammlung und

*) P. Groth: „Ueber den Topas einiger Zinnerzlagertätten, besonders von Altenberg und Schlaggenwalde, sein Vorkommen und seine Krystallformen.“ (Zeitschr. d. deutsch. geolog. Gesellschaft, XX, S. 381, Jahrgang 1870.)

**) „Wie Eingangs erwähnt, war die seine sehr kleine Gasflamme in genügender Entfernung.“

»14 der Tamnau'schen gemessen habe, um sichere und genaue Resultate zu erhalten. Zur Bestimmung des Axenverhältnisses c (Brachydiagonale) : b (Makrodiagonale) diente das verticale Prisma $M = \infty P$.
 »Um einen sicheren Werth für dasselbe zu finden, war es also nöthig, es an solchen Krystallen zu messen, an welchen alle 4 Flächen so ausgebildet waren, dass sie mit einander sehr nahe gleiche und resp. supplementäre Winkel lieferten, also völlig regelmässig gegen einander gelegen waren, und von diesen mindestens drei, wo möglich alle vier, sehr scharfe Bilder reflectirten. Diese Bedingung erfüllten von allen nur fünf Krystalle, an denen als Mittelwerthe aus mehrmaligem Messen aller brauchbaren M -Flächen gefunden wurde:

»1)	$M : M = 124^\circ 15' 54''$
»2)	» = 124 13 42
»3)	» = 124 15 0
»4)	» = 124 15 12
»5)	» = 124 17 12
	»Mittel = 124° 15' 24''

»Die genaue Uebereinstimmung dreier dieser Werthe, so wie der Umstand, dass von den beiden anderen Krystallen der erstere einen eben so viel darunter liegenden Werth liefert, als der des zweiten darüber zeigt, dass der wahre Winkelwerth zwischen $124^\circ 15'$ und $16'$ liegt. Das Mittel jener 5 Zahlen giebt, mit Rücksicht auf ihr nicht bei allen gleiches Gewicht genommen, den Werth:

$$»M : M = 124^\circ 15' 30''.$$

»Dass dieser Fundamentalwerth sich der Wahrheit ausserordentlich nähert, zeigt die Vorzüglichkeit der Uebereinstimmung der daraus berechneten Werthe mit den besten beobachteten für andere Kantenwinkel an den Krystallen. An sechs anderen Krystallen waren nur je zwei benachbarte Flächen von M gut messbar, weshalb die daraus erhaltenen Resultate, nicht durch die regelmässige Lage

»der anderen Flächen controllirt, keine genügende Sicherheit bieten
»können. Indess dienen sie in ausgezeichneter Weise zur Bestätigung
»obigen Werthes; denn das Mittel der 6 gefundenen Winkel, die
»übrigens auch nur wenige Minuten von einander abweichen, ist
» $124^{\circ} 15' 36''$ «.

»Für die Bestimmung der relativen Grösse der verticalen Haupt-
»axe, also des Verhältnisses a (vertic.-Axe) : b (Makrodiagonale), bietet
»sich als gross ausgedehnt und meist sehr eben das Doma $f = \bar{P}\infty$
»dar. Nun erscheinen aber an den Krystallen, wie sie mit dem einen
»Ende aufgewachsen sind, nur zwei Flächen desselben, die des obe-
»ren Pols (die wenigen ringsum ausgebildeten eigneten sich nicht
»für genaue Messungen); jene beiden Flächen bieten also durch ihre
»Messung keine Controlle für ihre regelmässige Lage zu einander
»und zu den übrigen Flächen. — Ferner waren gerade solche Kry-
»stalle, an denen $f : f$ sehr genau bestimmt werden konnte, wie die
»prismatischen Flächen zeigten, unregelmässig ausgebildet, und es
»war daher sehr wahrscheinlich, dass diese Unregelmässigkeit sich
»auch auf die domatischen Flächen ausgedehnt habe, und dadurch
»ihre Lage, obgleich sie selbst ganz eben und nicht zusammengesetzt
»waren, alterirt worden sei. Dies bestätigte sich vollkommen durch
»die Messung, welche an verschiedenen Krystallen für $f : f$ äusserst
»abweichende Resultate ergab: von $92^{\circ} 35' 30''$ bis $92^{\circ} 51' 0''$.
»Unter den fünf Krystallen, an welchen die prismatische Zone so
»regelmässig ausgebildet war, dass sie zur Bestimmung des Funda-
»mentalwerthes von $M : M$ dienen konnte (s. oben), zeigte nur
»einer so glänzende f -Flächen an seinem Ende, dass deren Neigungs-
»winkel ganz genau gemessen werden konnte; hier stand also zu
»erwarten, dass auch das Ende des Krystalls so regelmässig gebildet
»sei, als die am grössten ausgedehnte prismatische Zone, und somit
»der gefundene Winkel $f : f$ der Wahrheit entspreche. Um dies
»jedoch über jeden Zweifel zu erheben, wurde die regelmässige Lage
»beider Flächen $\bar{P}\infty$ dadurch untersucht, dass die Neigung *einer*

• *jeden von ihnen gegen dieselben* zwei Prismenflächen *M*, welche
 • die vorzüglichsten Reflexbilder lieferten, bestimmt wurde. Ich fand,
 • dass die eine *f*-Fläche gegen *M* $108^{\circ} 48' 45''$, die andere gegen
 • dieselbe *M*-Fläche $108^{\circ} 48' 0''$ (Mittel mehrerer Messungen) ge-
 • neigt sei. Damit ist bewiesen, dass sie völlig regelmässig liegen,
 • der Winkel, den sie mit einander bilden, und welcher gefunden
 • wurde zu

$$92^{\circ} 44' 15''$$

• als Mittel mehrerer Messungen, genügend nahe dem richtigen Werth
 • für die Neigung $f : f$ ist. — An einem anderen Krystall mit guten
 • *f*-Flächen waren zwei gegenüber liegende Flächen von *M* ebenfalls
 • gut ausgebildet, und es wurde durch eine ganz gleiche Messung
 • gefunden, dass die ersteren ziemlich ebenso regelmässig gelegen
 • waren, als in dem soeben besprochenen Krystall; ihre Neigung gegen
 • einander war $92^{\circ} 44' 30''$. Demnach ist obiger Werth als sehr
 • genau anzusehen. — Die Winkel, welche an zwölf anderen Kry-
 • stallen für $f : f$ gefunden wurden, weichen aus den oben darge-
 • legten Gründen bedeutend von einander ab; — das jedoch diese
 • Abweichungen völlig regellose Schwankungen sind, von zufälliger
 • Unregelmässigkeit und Zusammengesetztheit der Krystalle herrüh-
 • rend, und nichts Gesetzmässiges daran liegt, wird dadurch bewie-
 • sen, dass das Mittel derselben, $92^{\circ} 43',3$ nur $0,9'$ von dem
 • oben gefundenen wahren Werthe abweicht. Bei einer grösseren
 • Anzahl von Krystallen würde es sich also wohl demselben noch
 • mehr genähert haben. «

Aus den beiden in dieser Weise mit grösstmöglicher Sorgfalt
 • bestimmten Werthen von *M* : *M* = $124^{\circ} 15' 30''$ und *f* : *f* =
 • $92^{\circ} 44' 15''$ hat P. Groth für die Grundform des Topases von
 • Altenberg folgendes Axenverhältniss berechnet:

$$a : b : c = 0,95330 : 1 : 0,52882$$

(wo *a* = Vertical-Axe, *b* = Makrodiagonale, *c* = Brachydiagonale).

P. Groth bemerkt dazu: »Demnach sind die krystallographischen Constanten dieser Topasvarietät nur wenig verschieden von denen der sibirischen Topase, deren Axenverhältniss $a : b : c = 0,95395 : 1 : 0,52854$ v. Kokscharow ($M : M = 124^\circ 17'$, $\alpha : \beta = 92^\circ 42'$) und von denen Herr v. Kokscharow gezeigt hat (Mat. z. Min. Russl.), dass sie unter einander sehr genau übereinstimmen. Doch ist die Verschiedenheit beider immerhin gross genug, um die Behauptung zu rechtfertigen, dass der Altenberger Topas ein anderes Axenverhältniss habe, als jene.«

Wenn man aber die übrigen Winkel, welche P. Groth ziemlich gut gemessen hat, mit den berechneten aus seinem und meinem Axenverhältnisse vergleicht, so wird man finden, dass die Differenzen so unbedeutend erscheinen, dass unwillkürlich ein Zweifel entsteht, ob die Winkel von diesen beiden Topasen wirklich verschieden sind?— Man ersieht dies am besten aus der hier beigefügten vergleichenden Tabelle. Meiner Meinung nach könnte man die Winkel der Topaskrystalle von Altenberg und die der Topaskrystalle von Russland als identisch betrachten und die scheinbaren kleinen Differenzen Messungsfehlern zuschreiben. Es wäre vielleicht zweckmässig für das Axenverhältniss der Grundform der Topaskrystalle von beiden Fundorten den mittleren Werth anzunehmen. *)

*) Nämlich:

0,95330 : 1 : 0,52882 Groth.

0,95395 : 1 : 0,52854 Kokscharow.

Mittel $a : b : c = 0,95363 : 1 : 0,52868$,

wo $a =$ Verticalaxe, $b =$ Makrodiagonale, und $c =$ Brachydiagonale.

Groth gemessen.	Kokscharow gemessen.	Groth berechnet.	Kokscharow berechnet.
$M : M$ } = $124^{\circ}15\frac{1}{2}'$ (a) rachyd. Polk.	$124^{\circ}16\frac{3}{4}'$	* $124^{\circ}15'30''$	$124^{\circ}17' 0''$
$m : M$ } = $169 23\frac{1}{2}$ (b) anliegende	$169 27\frac{1}{2}$	$169 27 0$	$169 27 2$
$l : l$ } = $86 47\frac{1}{2}$ (a) rachyd. Kante	$86 49\frac{1}{2}$	$86 47 24$	$86 49 16$
$l : M$ } = $161 15$ (a) anliegende	$161 16\frac{1}{2}$	$161 15 54$	$161 16 8$
$g : l$ } = $168 53\frac{1}{2}$ (b) anliegende	—	$168 50 0$	$168 49 40$
$f : f$ } = $92 44\frac{1}{4}$ (a) rachyd. Polk.	$92 42\frac{1}{2}$	* $92 44 15$	$92 42 0$
$f : M$ } = $108 48\frac{1}{2}$ (a) anliegende	—	$108 49 6$	$108 49 0$
$y : f$ } = $161 21$ (b) anliegende	—	$161 18 24$	$161 18 38$
$o : o$ } = $130 29\frac{1}{2}$ (b) Brachyd. Polk.	$130 22\frac{3}{4}$	$130 21 54$	$130 22 32$
$o : M$ } = $153 56$ (b) anliegende	$153 53$	$153 52 42$	$153 54 8$
$o : d$ } = $155 11\frac{1}{2}$ (a) anliegende	$155 11\frac{1}{2}$	$155 11 0$	$155 11 16$

Die Winkel, welche genau und zuverlässig bestimmt wurden bezeichnet Groth mit (a), die weniger genau bestimmten mit (b) und die beiden Fundamentalwerthe, welche der Rechnung zu Grunde liegen, mit *.

G. Topas von Schlaggenwalde.

Die Topaskrystalle von Schlaggenwalde konnte P. Groth schon weniger genau messen als die von Altenberg. Ueber diesen Gegenstand drückt er sich folgendermaassen aus: »Der Topas von Schlag-

H. Laspeyres *) findet auch einige Winkelschwankungen der Topaskrystalle aus verschiedenen Fundorten, obgleich es mir scheint, dass diese Thatsache nicht mit ganzer Sicherheit von ihm bewiesen ist.

Von den Messungen der Topaskrystalle vom Schneckenstein in Sachsen, schreibt er unter anderem: »Fast alle Topase vom Schneckenstein gestatten gar keine genaue Messung, denn ihre terminalen Flächen sind drusig oder matt, und die verticalen zwar lebhaft glänzend aber oscillatorisch derartig gestreift, dass man, wie es Groth schon für die Altenberger anführt, eine bis über 1° lange Reihe von Reflexbildern bekommt, von denen mehrere gleich hell sein können oder von denen die hellsten nicht immer die richtigen sind. Unter mehr als 150 Schneckensteinern fand ich aber zwei, welche ganz genaue Messungen ersten Grades von zwei unabhängigen Kanten erlauben, *wenn man alle Flächentheile, welche unter der Lupe oscillatorische Streifung zeigen, schwärzt und nur fehlerfreie unmittelbar an der Kante liegende Theile zum Reflex gelangen lässt*. So bekommt man von jeder Fläche ein Reflexbild, dessen Schärfe kaum etwas zu wünschen übrig lässt und die Vergrößerung durch das Fernrohr übertragen kann. Die Messungen ergaben:

•I Krystall $a : b : c = 0,951947 : 1 : 0,531548$.

• $M:M = 124^\circ 0'43''$ —6Mess. Min. $124^\circ 0'20''$, Max. $124^\circ 1'20''$

• $f:y = 161 \ 18 \ 0$ —8Mess. Min. $161 \ 17 \ 30$, Max. $161 \ 18 \ 10$

•II Krystall $a : b : c = 0,945585 : 1 : 0,529988$

• $M:M = 124^\circ 9'15''$ —8Mess. Min. $124^\circ 9' 0''$, Max. $124^\circ 10'50''$

• $u:u = 141 \ 8 \ 0$ —8Mess. Min. $141 \ 7 \ 10$, Max. $141 \ 8 \ 50$

•Hiernach werden die Schwankungen der Elemente des Topas noch grösser als bisher bekannt. Dass sie auch für denselben Fund-

*) H. Laspeyres: „Topaskrystalle aus Sachsen und Böhmen.“ (Zeitschrift für Krystallographie und Mineralogie von P. Groth, 1877, Bd. I, S. 347.)

»ort, den Angaben von Groth und v. Kokscharow entgegengesetzt,
 »stattfinden, kann insofern nicht mit völliger Gewissheit aus meinen
 »zweifellos richtigen Messungen gefolgert werden, da der Krystall
 »№ II durch seine mehr den Sibirischen als den Schneckensteiner
 »Topasen gleichende Form und Beschaffenheit die richtige Fundorts-
 »angabe nicht zweifellos verbürgt, während der Krystall № 1 ein
 »echter Schneckensteiner ist.

»Diese Inconstanz der krystallographischen Constanten des Topas
 »zu ergründen, bleibt zukünftigen krystallographischen und chemi-
 »schen Untersuchungen vorbehalten.«

Wir werden jetzt für alle neue Formen des Topas die Berechnungen nach *unserem* Axenverhältnisse $a : b : c = 1,80487 : 1,89199 : 1 = 0,95395 : 1 : 0,52854$ (wo $a =$ Verticalaxe, $b =$ Makrodiagonale, $c =$ Brachydiagonale) geben. Bei diesen Berechnungen werden wir bezeichnen in jeder rhombischen Pyramide: die makrodiagonalen Polkanten mit X, die brachydiagonalen Polkanten mit Y, die Mittelkanten mit Z, Winkel der makrodiagonalen Polkante gegen die Verticalaxe mit α , Winkel der brachydiagonalen Polkante gegen die Verticalaxe mit β und Winkel der Mittelkante gegen die Makrodiagonale der Grundform mit γ . Auf diese Weise bekommen wir folgendes:

Pyramiden der Grundreihe.

$$d = \frac{1}{3}P.$$

$\frac{1}{2}X = 82^{\circ} 7' 0''$	$X = 164^{\circ} 14' 0''$
$\frac{1}{2}Y = 85 \quad 50 \quad 35$	$Y = 171 \quad 41 \quad 10$
$\frac{1}{2}Z = 8 \quad 55 \quad 27$	$Z = 17 \quad 50 \quad 54$

$$\alpha = 85^{\circ} 48' 12''$$

$$\beta = 82 \quad 3 \quad 45$$

$$\gamma = 27 \quad 51 \quad 30$$

$$e = \frac{1}{9}P.$$

$$\begin{array}{ll} \frac{1}{3}X = 78^\circ 43' 19'' & X = 157^\circ 26' 38'' \\ \frac{1}{3}Y = 84 \quad 4 \quad 0 & Y = 168 \quad 8 \quad 0 \\ \frac{1}{3}Z = 12 \quad 46 \quad 49 & Z = 25 \quad 33 \quad 38 \end{array}$$

$$\alpha = 83^\circ 56' 58''$$

$$\beta = 78 \quad 39 \quad 37$$

$$\gamma = 27 \quad 51 \quad 30$$

$$e = \frac{1}{4}P$$

$$\begin{array}{ll} \frac{1}{3}X = 66^\circ 18' 10'' & X = 132^\circ 36' 20'' \\ \frac{1}{3}Y = 77 \quad 44 \quad 8 & Y = 155 \quad 28 \quad 16 \\ \frac{1}{3}Z = 27 \quad 2 \quad 18 & Z = 54 \quad 4 \quad 36 \end{array}$$

$$\alpha = 76^\circ 35' 10''$$

$$\beta = 65 \quad 42 \quad 51$$

$$\gamma = 27 \quad 51 \quad 30$$

$$D = \frac{3}{10}P.$$

$$\begin{array}{ll} \frac{1}{3}X = 62^\circ 30' 0'' & X = 125^\circ 0' 0'' \\ \frac{1}{3}Y = 75 \quad 52 \quad 27 & Y = 151 \quad 44 \quad 54 \\ \frac{1}{3}Z = 31 \quad 29 \quad 6 & Z = 62 \quad 58 \quad 12 \end{array}$$

$$\alpha = 74^\circ 1' 47''$$

$$\beta = 61 \quad 33 \quad 58$$

$$\gamma = 27 \quad 51 \quad 30$$

$$f = \frac{2}{5}P.$$

$$\begin{array}{ll} \frac{1}{3}X = 55^\circ 59' 59'' & X = 111^\circ 59' 58'' \\ \frac{1}{3}Y = 72 \quad 48 \quad 33 & Y = 145 \quad 37 \quad 6 \\ \frac{1}{3}Z = 39 \quad 14 \quad 4 & Z = 78 \quad 28 \quad 8 \end{array}$$

$$\alpha = 69^\circ 6' 51''$$

$$\beta = 54 \quad 10 \quad 21$$

$$\gamma = 27 \quad 51 \quad 30$$

$$S = \frac{3}{5}P.$$

$$\begin{array}{ll} \frac{1}{2}X = 46^\circ 46' 33'' & X = 93^\circ 33' 6'' \\ \frac{1}{2}Y = 68 \ 46 \ 43 & Y = 137 \ 33 \ 26 \\ \frac{1}{2}Z = 50 \ 46 \ 18 & Z = 101 \ 32 \ 36 \end{array}$$

$$\alpha = 60^\circ 12' 52''$$

$$\beta = 42 \ 43 \ 13$$

$$\gamma = 27 \ 51 \ 30$$

$$Z = \frac{3}{4}P.$$

$$\begin{array}{ll} \frac{1}{2}X = 42^\circ 15' \ 1'' & X = 84^\circ 30' \ 2'' \\ \frac{1}{2}Y = 66 \ 58 \ 7 & Y = 133 \ 56 \ 14 \\ \frac{1}{2}Z = 56 \ 51 \ 2 & Z = 113 \ 42 \ 4 \end{array}$$

$$\alpha = 54^\circ 25' \ 3''$$

$$\beta = 36 \ 27 \ 17$$

$$\gamma = 27 \ 51 \ 30$$

$$g = \frac{5}{6}P.$$

$$\begin{array}{ll} \frac{1}{2}X = 40^\circ 20' 35'' & X = 80^\circ 41' 10'' \\ \frac{1}{2}Y = 66 \ 14 \ 38 & Y = 132 \ 29 \ 16 \\ \frac{1}{2}Z = 59 \ 33 \ 9 & Z = 119 \ 6 \ 18 \end{array}$$

$$\alpha = 51^\circ 31' \ 0''$$

$$\beta = 33 \ 37 \ 7$$

$$\gamma = 27 \ 51 \ 30$$

$$h = \frac{8}{9}P.$$

$$\begin{array}{ll} \frac{1}{2}X = 39^\circ 15' 25'' & X = 78^\circ 30' 50'' \\ \frac{1}{2}Y = 65 \ 50 \ 30 & Y = 131 \ 41 \ 0 \\ \frac{1}{2}Z = 61 \ 8 \ 32 & Z = 122 \ 17 \ 4 \end{array}$$

$$\alpha = 49^\circ 42' 12''$$

$$\beta = 31 \ 56 \ 9$$

$$\gamma = 27 \ 51 \ 30$$

$$i = \frac{3}{7}P.$$

$$\begin{array}{ll} \frac{1}{2}X = 35^\circ 38' 55'' & X = 71^\circ 17' 50'' \\ \frac{1}{2}Y = 64 \ 33 \ 51 & Y = 129 \ 7 \ 42 \\ \frac{1}{2}Z = 66 \ 47 \ 58 & Z = 133 \ 35 \ 56 \end{array}$$

$$\alpha = 42^\circ 31' 41''$$

$$\beta = 25 \ 51 \ 51$$

$$\gamma = 27 \ 51 \ 30$$

Brachypyramiden.

$$E = \frac{3}{4}P2.$$

$$\begin{array}{ll} \frac{1}{2}X = 61^\circ 10' 10'' & X = 122^\circ 20' 20'' \\ \frac{1}{2}Y = 59 \ 21 \ 10 & Y = 118 \ 42 \ 20 \\ \frac{1}{2}Z = 44 \ 33 \ 49 & Z = 89 \ 7 \ 38 \end{array}$$

$$\alpha = 54^\circ 25' 3''$$

$$\beta = 55 \ 54 \ 32$$

$$\gamma = 46 \ 35 \ 22$$

$$s = \frac{3}{4}P3.$$

$$\begin{array}{ll} \frac{1}{2}X = 69^\circ 50' 55'' & X = 139^\circ 41' 50'' \\ \frac{1}{2}Y = 56 \ 53 \ 22 & Y = 113 \ 46 \ 44 \\ \frac{1}{2}Z = 40 \ 13 \ 37 & Z = 80 \ 27 \ 14 \end{array}$$

$$\alpha = 54^\circ 25' 3''$$

$$\beta = 65 \ 42 \ 51$$

$$\gamma = 57 \ 45 \ 42$$

$$t = 3P3$$

$$\begin{array}{ll} \frac{1}{2}X = 59^\circ 13' 55'' & X = 118^\circ 27' 50'' \\ \frac{1}{2}Y = 35 \ 47 \ 29 & Y = 71 \ 34 \ 58 \\ \frac{1}{2}Z = 73 \ 32 \ 5 & Z = 147 \ 4 \ 10 \end{array}$$

$$\alpha = 19^\circ 15' 38''$$

$$\beta = 28 \ 59 \ 20$$

$$\gamma = 57 \ 45 \ 42$$

$$W = \frac{2}{3}\bar{P}4$$

$$\begin{array}{ll} \frac{1}{2}X = 75^{\circ} 45' 27'' & X = 151^{\circ} 30' 54'' \\ \frac{1}{2}Y = 58 39 29 & Y = 117 18 58 \\ \frac{1}{2}Z = 35 7 38 & Z = 70 15 16 \end{array}$$

$$\alpha = 57^{\circ} 32' 41''$$

$$\beta = 73 15 29$$

$$\gamma = 64 41 9$$

$$f = \bar{P}4.$$

$$\begin{array}{ll} \frac{1}{2}X = 71^{\circ} 55' 7'' & X = 143^{\circ} 50' 14'' \\ \frac{1}{2}Y = 48 59 31 & Y = 97 59 2 \\ \frac{1}{2}Z = 46 32 27 & Z = 93 4 54 \end{array}$$

$$\alpha = 46^{\circ} 21' 0''$$

$$\beta = 65 42 51$$

$$\gamma = 64 41 9$$

Makropyramiden.

$$x = \frac{1}{3}\bar{P}2$$

$$\begin{array}{ll} \frac{1}{2}X = 59^{\circ} 16' 58'' & X = 118^{\circ} 33' 56'' \\ \frac{1}{2}Y = 81 14 31 & Y = 164 29 2 \\ \frac{1}{2}Z = 31 53 35 & Z = 63 47 10 \end{array}$$

$$\alpha = 80^{\circ} 57' 58''$$

$$\beta = 58 58 4$$

$$\gamma = 14 48 11$$

$$q = \frac{2}{3}\bar{P}2.$$

$$\begin{array}{ll} \frac{1}{2}X = 41^{\circ} 5' 29'' & X = 82^{\circ} 10' 58'' \\ \frac{1}{2}Y = 78 30 42 & Y = 157 1 24 \\ \frac{1}{2}Z = 51 13 6 & Z = 102 26 12 \end{array}$$

$$\alpha = 72^{\circ} 21' 37''$$

$$\beta = 39 43 46$$

$$\gamma = 14 48 11$$

$$Y = \bar{P}2.$$

$$\begin{array}{ll} \frac{1}{2}X = 31^\circ 32' 38'' & X = 63^\circ 5' 16'' \\ \frac{1}{2}Y = 76 59 3 & Y = 153 58 6 \\ \frac{1}{2}Z = 61 49 26 & Z = 123 38 52 \end{array}$$

$$\alpha = 64^\circ 30' 0''$$

$$\beta = 28 59 20$$

$$\gamma = 14 48 11$$

$$\tau = \frac{3}{4}\bar{P}3.$$

$$\begin{array}{ll} \frac{1}{2}X = 37^\circ 12' 54'' & X = 74^\circ 25' 48'' \\ \frac{1}{2}Y = 81 56 4 & Y = 163 52 8 \\ \frac{1}{2}Z = 53 57 46 & Z = 107 55 32 \end{array}$$

$$\alpha = 76^\circ 35' 10''$$

$$\beta = 36 27 17$$

$$\gamma = 9 59 31$$

Makroprisma.

$$N = \infty\bar{P}2$$

$$\begin{array}{ll} \frac{1}{2}X = 14^\circ 48' 11'' & X = 29^\circ 36' 22'' \\ \frac{1}{2}Y = 75 11 49 & Y = 150 23 38 \end{array}$$

Brachyprismen.

$$m = \infty\bar{P}_{50}^{53}.$$

$$\begin{array}{ll} \frac{1}{2}X = 29^\circ 15' 36'' & X = 58^\circ 31' 12'' \\ \frac{1}{2}Y = 60 44 24 & Y = 121 28 48 \end{array}$$

$$n = \infty\bar{P}_{23}^{23}.$$

$$\begin{array}{ll} \frac{1}{2}X = 30^\circ 37' 27'' & X = 61^\circ 14' 54'' \\ \frac{1}{2}Y = 59 22 33 & Y = 118 45 6 \end{array}$$

$$O = \infty \check{P}_5^0.$$

$$\begin{array}{ll} \frac{1}{2}X = 32^\circ 23' 6'' & X = 64^\circ 46' 12'' \\ \frac{1}{2}Y = 57 36 54 & Y = 115 13 48 \end{array}$$

$$Q = \infty \check{P}_4^5.$$

$$\begin{array}{ll} \frac{1}{2}X = 33^\circ 27' 7'' & X = 66^\circ 54' 14'' \\ \frac{1}{2}Y = 56 32 53 & Y = 113 5 46 \end{array}$$

$$R = \infty \check{P}_3^4.$$

$$\begin{array}{ll} \frac{1}{2}X = 35^\circ 10' 24'' & X = 70^\circ 20' 48'' \\ \frac{1}{2}Y = 54 49 36 & Y = 109 39 12 \end{array}$$

$$t = \infty \check{P}_7^{10}.$$

$$\begin{array}{ll} \frac{1}{2}X = 37^\circ 3' 18'' & X = 74^\circ 6' 36'' \\ \frac{1}{2}Y = 52 56 42 & Y = 105 53 24 \end{array}$$

$$o = \infty \check{P}_{\frac{2}{3}}^{\frac{3}{5}}.$$

$$\begin{array}{ll} \frac{1}{2}X = 37^\circ 16' 30'' & X = 74^\circ 33' 0'' \\ \frac{1}{2}Y = 52 43 30 & Y = 105 27 0 \end{array}$$

$$T = \infty \check{P}_5^8.$$

$$\begin{array}{ll} \frac{1}{2}X = 40^\circ 13' 13'' & X = 80^\circ 26' 26'' \\ \frac{1}{2}Y = 49 46 47 & Y = 99 33 34 \end{array}$$

$$p = \infty \check{P}_{\frac{2}{5}}^{\frac{4}{3}}.$$

$$\begin{array}{ll} \frac{1}{2}X = 40^\circ 55' 9'' & X = 81^\circ 50' 18'' \\ \frac{1}{2}Y = 49 4 51 & Y = 98 9 42 \end{array}$$

$$q = \infty \check{P}_{\frac{3}{2}}^{4.3}$$

$$\begin{array}{ll} \frac{1}{2}X = 42^\circ 16' 25'' & X = 84^\circ 32' 50'' \\ \frac{1}{2}Y = 47 \ 43 \ 35 & Y = 95 \ 27 \ 10 \end{array}$$

$$\lambda = \infty \check{P}_{\frac{1}{4}}^7$$

$$\begin{array}{ll} \frac{1}{2}X = 42^\circ 46' 2'' & X = 85^\circ 32' 4'' \\ \frac{1}{2}Y = 47 \ 13 \ 58 & Y = 94 \ 27 \ 56 \end{array}$$

$$r = \infty \check{P}_{\frac{1}{7}}^{1.3}$$

$$\begin{array}{ll} \frac{1}{2}X = 44^\circ 28' 3'' & X = 88^\circ 56' 6'' \\ \frac{1}{2}Y = 45 \ 31 \ 57 & Y = 91 \ 3 \ 54 \end{array}$$

$$l = \infty \check{P}_{\frac{2}{5}}^{4.9}$$

$$\begin{array}{ll} \frac{1}{2}X = 46^\circ 0' 41'' & X = 92^\circ 1' 22'' \\ \frac{1}{2}Y = 43 \ 59 \ 19 & Y = 87 \ 58 \ 38 \end{array}$$

$$u = \infty \check{P}_{\frac{1}{8}}^{1.1}$$

$$\begin{array}{ll} \frac{1}{2}X = 49^\circ 18' 17'' & X = 98^\circ 36' 34'' \\ \frac{1}{2}Y = 40 \ 41 \ 43 & Y = 81 \ 23 \ 26 \end{array}$$

$$v = \infty \check{P}_{\frac{1}{4}}^{2.1}$$

$$\begin{array}{ll} \frac{1}{2}X = 70^\circ 10' 55'' & X = 140^\circ 21' 50'' \\ \frac{1}{2}Y = 19 \ 49 \ 5 & Y = 39 \ 38 \ 10 \end{array}$$

$$U = \infty \check{P}_6$$

$$\begin{array}{ll} \frac{1}{2}X = 72^\circ 29' 54'' & X = 144^\circ 59' 48'' \\ \frac{1}{2}Y = 17 \ 30 \ 6 & Y = 35 \ 0 \ 12 \end{array}$$

Brachydomen.

$$H = \frac{1}{3}\check{P}\infty$$

$$\begin{array}{ll} \frac{1}{2}Y = 72^\circ 21' 36'' & Y = 144^\circ 43' 12'' \\ \frac{1}{2}Z = 17 \ 38 \ 24 & Z = 35 \ 16 \ 48 \end{array}$$

$$J = \frac{5}{6}\check{P}\infty$$

$$\begin{array}{ll} \frac{1}{2}Y = 51^\circ 31' 0'' & Y = 103^\circ 2' 0'' \\ \frac{1}{2}Z = 38 \ 29 \ 0 & Z = 76 \ 58 \ 0 \end{array}$$

$$F = \frac{6}{7}\check{P}\infty$$

$$\begin{array}{ll} \frac{1}{2}Y = 50^\circ 43' 41'' & Y = 101^\circ 27' 22'' \\ \frac{1}{2}Z = 39 \ 16 \ 19 & Z = 78 \ 32 \ 38 \end{array}$$

$$G = \frac{5}{4}\check{P}\infty$$

$$\begin{array}{ll} \frac{1}{2}Y = 39^\circ 59' 1'' & Y = 79^\circ 58' 2'' \\ \frac{1}{2}Z = 50 \ 0 \ 59 & Z = 100 \ 1 \ 58 \end{array}$$

$$f = \frac{5}{3}\check{P}\infty$$

$$\begin{array}{ll} \frac{1}{2}Y = 32^\circ 10' 6'' & Y = 64^\circ 20' 12'' \\ \frac{1}{2}Z = 57 \ 49 \ 54 & Z = 115 \ 39 \ 48 \end{array}$$

Makrodomen.

$$w = \frac{1}{4}\bar{P}\infty$$

$$\begin{array}{ll} \frac{1}{2}X = 65^\circ 42' 51'' & X = 131^\circ 25' 42'' \\ \frac{1}{2}Z = 24 \ 17 \ 9 & Z = 48 \ 34 \ 18 \end{array}$$

$$\delta = \frac{2}{5}\bar{P}\infty$$

$$\begin{array}{ll} \frac{1}{2}X = 54^\circ 10' 22'' & X = 108^\circ 20' 44'' \\ \frac{1}{2}Z = 35 \ 49 \ 38 & Z = 71 \ 39 \ 16 \end{array}$$

$$V = \frac{3}{4}\bar{P}\infty.$$

$$\begin{array}{ll} \frac{1}{3}X = 36^\circ 27' 17'' & X = 72^\circ 54' 34'' \\ \frac{1}{3}Z = 53 \ 32 \ 43 & Z = 107 \ 5 \ 26 \end{array}$$

$$\rho = 2\bar{P}\infty.$$

$$\begin{array}{ll} \frac{1}{3}X = 15^\circ 29' 3'' & X = 30^\circ 58' 6'' \\ \frac{1}{3}Z = 74 \ 30 \ 57 & Z = 149 \ 1 \ 54 \end{array}$$

Was aber die Formen $i = \frac{1}{3}P$, $u = \frac{1}{3}P$, $o = P$, $e = 2P$, $\psi = \frac{1}{3}\bar{P}2$, $s = \frac{1}{3}\bar{P}3$, $l = \frac{2}{3}\bar{P}3$, $x = \frac{2}{3}\bar{P}2$, $n = \bar{P}\frac{3}{2}$, $v = \bar{P}2$, $\sigma = \frac{7}{4}\bar{P}2$, $r = 2\bar{P}2$, $z = \frac{7}{5}\bar{P}\frac{7}{4}$, $\alpha = \frac{1}{2}\bar{P}2$, $\rho = \frac{3}{5}\bar{P}\frac{5}{4}$, $M = \infty P$, $m = \infty\bar{P}\frac{3}{2}$, $l = \infty\bar{P}2$, $\pi = \infty\bar{P}\frac{3}{2}$, $g = \infty\bar{P}3$, $n = \infty\bar{P}4$, $\mu = \infty\bar{P}5$, $\beta = \frac{1}{3}\bar{P}\infty$, $a = \frac{2}{3}\bar{P}\infty$, $f = \bar{P}\infty$, $\gamma = \frac{2}{7}\bar{P}\infty$, $k = \frac{2}{3}\bar{P}\infty$, $y = 2\bar{P}\infty$, $w = 4\bar{P}\infty$, $h = \frac{1}{3}\bar{P}\infty$, $p = \frac{1}{2}\bar{P}\infty$, $d = \bar{P}\infty$, $P = oP$ und $c = \infty\bar{P}\infty$ anbelangt, so wurden ihre Elemente schon früher berechnet und auf S. 239—242 (Bd. II), S. 199—211 und 382—383 (Bd. III) dieses Werkes angegeben.

Ferner berechnen sich folgende Combinationswinkel dieser Formen:

$$\begin{array}{ll} d : P & = 171^\circ 4' 33'' \\ d : b & = 97 \ 53 \ 0 \\ d : c & = 94 \ 9 \ 25 \\ d : M & = 98 \ 55 \ 27 \\ d : o & = 125 \ 1 \ 19 \\ d : u & = 143 \ 20 \ 12 \\ e : P & = 167 \ 13 \ 11 \\ e : b & = 101 \ 16 \ 41 \\ e : c & = 95 \ 56 \ 0 \\ e : o & = 128 \ 52 \ 41 \\ e : u & = 147 \ 11 \ 34 \end{array}$$

<i>e</i> : <i>M</i>	=	102° 46' 49"
<i>e</i> : <i>P</i>	=	152 57 42
<i>e</i> : <i>b</i>	=	113 41 50
<i>e</i> : <i>c</i>	=	102 15 52
<i>e</i> : <i>o</i>	=	143 8 10
<i>e</i> : <i>u</i>	=	161 27 3
<i>e</i> : <i>M</i>	=	117 2 18
<i>D</i> : <i>P</i>	=	148 30 54
<i>D</i> : <i>b</i>	=	117 30 0
<i>D</i> : <i>c</i>	=	104 7 33
<i>D</i> : <i>o</i>	=	147 34 58
<i>D</i> : <i>u</i>	=	164 53 51
<i>D</i> : <i>M</i>	=	121 29 6
<i>f</i> : <i>P</i>	=	140 45 56
<i>f</i> : <i>b</i>	=	124 0 1
<i>f</i> : <i>c</i>	=	107 11 27
<i>f</i> : <i>o</i>	=	155 19 56
<i>f</i> : <i>u</i>	=	173 38 49
<i>f</i> : <i>M</i>	=	129 14 4
<i>S</i> : <i>P</i>	=	129 13 42
<i>S</i> : <i>b</i>	=	133 13 27
<i>S</i> : <i>c</i>	=	111 13 17
<i>S</i> : <i>o</i>	=	166 52 10
<i>S</i> : <i>u</i>	=	174 48 57
<i>S</i> : <i>M</i>	=	140 46 18
<i>Z</i> : <i>P</i>	=	123 8 58
<i>Z</i> : <i>b</i>	=	137 44 59
<i>Z</i> : <i>c</i>	=	113 1 53
<i>Z</i> : <i>o</i>	=	172 56 54
<i>Z</i> : <i>u</i>	=	168 44 13
<i>Z</i> : <i>M</i>	=	146 51 2
<i>g</i> : <i>P</i>	=	120 26 51

<i>g : b</i>	=	139°	39'	25''
<i>g : c</i>	=	113	45	22
<i>g : o</i>	=	175	39	1
<i>g : u</i>	=	166	2	6
<i>g : M</i>	=	149	33	9
<i>h : P</i>	=	118	51	28
<i>h : b</i>	=	140	44	35
<i>h : c</i>	=	114	9	30
<i>h : o</i>	=	177	14	24
<i>h : u</i>	=	164	26	43
<i>h : M</i>	=	151	8	32
<i>i : P</i>	=	113	12	2
<i>i : b</i>	=	144	21	5
<i>i : c</i>	=	115	26	9
<i>i : o</i>	=	177	6	10
<i>i : u</i>	=	158	47	17
<i>i : M</i>	=	156	47	58
<i>E : P</i>	=	135	26	11
<i>E : b</i>	=	118	49	50
<i>E : c</i>	=	120	38	50
<i>E : l</i>	=	134	33	49
<i>g : P</i>	=	139	46	23
<i>g : b</i>	=	110	9	5
<i>g : c</i>	=	123	6	38
<i>g : g</i>	=	130	13	37
<i>c : P</i>	=	106	27	55
<i>c : b</i>	=	120	46	5
<i>c : c</i>	=	144	12	31
<i>c : g</i>	=	163	32	5
<i>W : P</i>	=	144	52	22
<i>W : b</i>	=	104	14	33
<i>W : c</i>	=	121	20	31

$W : n$	$=$	125°	$7'$	$38''$
$f : P$	$=$	133	27	33
$f : b$	$=$	108	4	53
$f : c$	$=$	131	0	29
$f : n$	$=$	136	32	27
$x : P$	$=$	148	6	25
$x : b$	$=$	120	43	2
$x : c$	$=$	97	45	29
$x : N$	$=$	121	53	35
$q : P$	$=$	128	46	54
$q : b$	$=$	138	54	31
$q : c$	$=$	101	29	18
$q : N$	$=$	114	13	6
$Y : P$	$=$	118	10	34
$Y : b$	$=$	148	27	22
$Y : c$	$=$	103	0	57
$Y : N$	$=$	151	49	26
$\tau : P$	$=$	126	2	44
$\tau : b$	$=$	142	47	6
$\tau : c$	$=$	98	3	56
$N : P$	$=$	90	0	0
$N : b$	$=$	165	11	49
$N : c$	$=$	104	48	11
$N : M$ anliegende	} =	166	56	44
$N : l$ anliegende	} =	148	12	49
$m : P$	$=$	90	0	0
$m : b$	$=$	150	44	24
$m : c$	$=$	119	15	36
$m : M$ anliegende	} =	178	35	54
$n : P$	$=$	90	0	0

$n : b$	$=$	149° 22' 33"
$n : c$	$=$	120 37 27
$O : P$	$=$	90 0 0
$O : b$	$=$	147 36 54
$O : c$	$=$	122 23 6
$O : M$ anliegende	$\} =$	175 28 24
$Q : P$	$=$	90 0 0
$Q : b$	$=$	146 32 53
$Q : c$	$=$	123 27 7
$R : P$	$=$	90 0 0
$R : b$	$=$	144 49 36
$R : c$	$=$	125 10 24
$R : M$ anliegende	$\} =$	172 41 6
$R : l$ anliegende	$\} =$	168 35 2
$t : P$	$=$	90 0 0
$t : b$	$=$	142 56 42
$t : c$	$=$	127 3 18
$t : M$ anliegende	$\} =$	170 48 12
$o : P$	$=$	90 0 0
$o : b$	$=$	142 43 30
$o : c$	$=$	127 16 30
$o : M$ anliegende	$\} =$	170 35 0
$T : P$	$=$	90 0 0
$T : b$	$=$	139 46 47
$T : c$	$=$	130 13 13
$T : M$ anliegende	$\} =$	167 38 17
$T : l$ anliegende	$\} =$	173 37 51
$p : P$	$=$	90 0 0
$p : b$	$=$	139 4 51

$p : c$	$=$	130° 55' 9''
$p : M$	}	$=$ 166 56 21
anliegende		
$q : P$	$=$	90 0 0
$q : b$	$=$	137 43 35
$q : c$	$=$	132 16 25
$q : M$	}	$=$ 165 35 5
anliegende		
$\lambda : P$	$=$	90 0 0
$\lambda : b$	$=$	137 13 58
$\lambda : c$	$=$	132 16 2
$\lambda : M$	}	$=$ 165 5 28
anliegende		
$\lambda : l$	}	$=$ 176 10 40
anliegende		
$r : P$	$=$	90 0 0
$r : b$	$=$	135 31 57
$r : c$	$=$	134 28 3
$l : P$	$=$	90 0 0
$l : b$	$=$	133 59 19
$l : c$	$=$	136 0 41
$l : f$	$=$	119 46 36
$l : M$	}	$=$ 161 50 49
anliegende		
$u : P$	$=$	90 0 0
$u : b$	$=$	130 41 43
$u : c$	$=$	139 18 17
$v : P$	$=$	90 0 0
$v : b$	$=$	109 49 5
$v : c$	$=$	160 10 55
$v : l$	}	$=$ 156 24 27
anliegende		
$v : l$	}	$=$ 63 13 43
nicht anliegende		
$U : P$	$=$	90 0 0
$U : b$	$=$	107 30 6

<i>U</i> : <i>c</i>	=	162°	29'	51''
<i>H</i> : <i>P</i>	=	162	21	36
<i>H</i> : <i>b</i>	=	90	0	0
<i>H</i> : <i>c</i>	=	107	38	24
<i>J</i> : <i>P</i>	=	141	31	0
<i>J</i> : <i>b</i>	=	90	0	0
<i>J</i> : <i>c</i>	=	128	29	0
<i>F</i> : <i>P</i>	=	140	43	41
<i>F</i> : <i>b</i>	=	90	0	0
<i>F</i> : <i>c</i>	=	129	16	19
<i>F</i> : <i>y</i>	=	156	55	57
<i>G</i> : <i>P</i>	=	129	59	1
<i>G</i> : <i>b</i>	=	90	0	0
<i>G</i> : <i>c</i>	=	140	0	59
<i>t</i> : <i>P</i>	=	122	10	6
<i>t</i> : <i>b</i>	=	90	0	0
<i>t</i> : <i>c</i>	=	147	49	54
<i>w</i> : <i>P</i>	=	155	12	51
<i>w</i> : <i>b</i>	=	114	17	9
<i>w</i> : <i>c</i>	=	90	0	0
<i>δ</i> : <i>P</i>	=	141	10	22
<i>δ</i> : <i>b</i>	=	125	49	38
<i>δ</i> : <i>c</i>	=	90	0	0
<i>V</i> : <i>P</i>	=	126	27	17
<i>V</i> : <i>b</i>	=	143	32	43
<i>V</i> : <i>c</i>	=	90	0	0
<i>ρ</i> : <i>P</i>	=	105	29	3
<i>ρ</i> : <i>b</i>	=	164	30	57
<i>ρ</i> : <i>c</i>	=	90	0	0

Zweiter Anhang zum Vesuvian.

(Vergl. Bd. I, S. 92 und Bd. II, S. 192.)

§ 1.

Schon vor mehreren Jahren musste ich meine Abhandlung über den Vesuvian durch einen Auszug aus dem klassischen Werke des Ritter V. von Zepharovich »Krystallographische Studien über den Idokras«*) und aus denen einiger anderer Autoren vervollständigen, doch eine Anhäufung meiner Arbeiten verhinderten mich bis auf den heutigen Tag diese Pflicht zu erfüllen.

v. Zepharovich's erwähnte Abhandlung besteht aus zwei Abtheilungen: I. Allgemeiner Theil und II. Besonderer Theil. — Der Verfasser beginnt die erstere mit folgenden Worten:

»Für die Grundgestalt der Idokros-Krystallformen liegen in den neueren mineralogischen Handbüchern zwei ziemlich abweichende Winkelangaben vor:

$$\text{»}111(c) : \bar{1}11(c) = \begin{cases} 129^{\circ}29'^{**} \\ 129\ 21 \end{cases} \text{ daraus } a : b = \begin{cases} 0,535104 : 1 \\ 0,537199 : 1 \end{cases}$$

»Die erstere enthalten in den Werken von Mohs 1821—1839 (wohl nach Haidinger's Messung), welche in die Mineralogien von Brooke und Miller 1852, Dana 1855, Dufrénoy 1856 und Zippe 1859 überging; die letztere nach den Messungen Kupffer's 1825 und v Kokscharow's 1853, in den Handbüchern von Naumann (die neueren Auflagen) und Descloizeaux 1862.

*) Sitzungsberichte der mathem.-naturw. Classe der kais. Akademie der Wissenschaften zu Wien, Jahrgang 1864, Bd. XLIX.

**) V. v. Zepharovich giebt, nach der Miller'schen Methode, complementäre Winkel, — wir werden hier, so wie weiter unten die wahren Winkel schreiben. Ebenso bezeichnet er die Verticalaxe der Grundform mit c und die Nebenaxen mit a, — wir werden, wie überall in unserem Werke, die erste durch a und die letzten durch b bezeichnen.

• Kupffer *) erhielt den obigen Werth durch 14malige Messung eines Kantenwinkels an einem Krystalle aus Piemont mittelst eines Wollaston'schen Goniometers in seiner ursprünglichen Einrichtung.

• Kokscharow **) bestimmte mit einem Mitscherlich'schen Goniometer an zwei ausgezeichneten Krystallen aus dem Ural, (1) von Poljakowsk, (2) von Achmatowsk, die Polkante von

$$\triangleright 111 (c) = \begin{cases} 129^\circ 20' 30'' & \dots (1) \\ 129 21 0 & \dots (2) \end{cases}$$

• (1) aus drei und (2) aus zwei vollkommen übereinstimmenden Messungen an zwei verschiedenen Kanten, und

$$\triangleright 111 (c) : 001 (P) = 142^\circ 46' 35'' \dots (1)$$

• als Mittel aus 17 Messungen von drei Kanten eines Krystalls.

• Die nahe Uebereinstimmung dieser Winkel mit Kupffer's Messung veranlasste Kokscharow die letztere, oder das Parameter-Verhältniss $a : b = 0,5372 : 1$ seinen Messungen zu Grunde zu legen. Dass dieses Verhältniss für die Krystalle von Poljakowsk angenommen werden dürfe, folgt aus seiner Vergleichung der meist nur ganz unbedeutend von einander abweichenden Ergebnisse von Rechnung und Messung verschiedener Kanten an 7 Kryst. der genannten Localität.

• Kokscharow folgert noch weiter aus seinen Beobachtungen, dass auch an den Krystallen aus Achmatowsk und Piemont und wahrscheinlich auch an jenen vom Vesuv der Polkantenwinkel von $\triangleright 111 (c) = 129^\circ 21'$ oder $20\frac{1}{3}'$ betrage. Er fand nämlich an einem Krystalle aus Piemont.

$$\triangleright 111 (c) : \bar{1}11 (c) = 129^\circ 21'$$

$$\triangleright 111 (c) : 001 (P) = 142 46$$

*) Preisschrift, 1825, S. 96.

**) Mater. z. Mineralogie Russlands, 1853, Bd. I, S. 122 ff.

• und an einem Krystalle vom Vesuv

$$\text{• } 111 (c) : 110 (d) = 127^\circ 13\frac{1}{2}'$$

• durch in der Zahl von 1, 2 und 1 vorgenommene Messungen. •

Die Winkelfrage schien mir aber wie für die vesuvischen, auch bezüglich der piemontischen Krystalle noch eine offene zu sein, denn auch die sorgfältigsten Beobachtungen in so geringer Anzahl, wie sie von Kupffer und Kokscharow für die bezeichneten Fundorte vorliegen, dürften wohl nicht zur Feststellung der krystallographischen Constanten für eine bestimmte Localität genügen.

• Ich habe mir die Aufgabe gestellt, zunächst die Gestaltungsverhältnisse der Krystalle von der Mussa-Alpe in Piemont, welche in dem K. K. Mineraliencabinet zu Wien reichlich vertreten sind, einem möglichst eingehenden Studium zu unterziehen und gleichzeitig besondere Rücksicht zu nehmen auf die von Breithaupt in seinen *vorläufigen Nachrichten* vom Jahre 1829 *) und in jenen vom Jahre 1860 **), und in allen inzwischen erschienenen einschlägigen Publicationen, festgehaltene Asymmetrie der Idokraspyramiden 111 und 101, obgleich Kokscharow, 1853, dieser Angabe, gestützt auf seine anerkannt genauen Messungen, entschieden entgegengetreten war ***). •

Die Anzahl der v. Zepharovich genau gemessenen Krystalle aus verschiedenen Fundorten war sehr gross, nämlich:

Monte Somma, Neapel.	17
Mussa-Alpe, Piemont.	99
Zermatt, Schweiz	13
Pfisch und Monzoni, Tirol.	7
Eker, Norwegen	2

*) Sweigger's Jahrbuch 1829, XXVII, S. 83 ff.—Gegen Breithaupt's Ansichten über die einfachen Krystallformen hat sich schon damals Glocker (mineral. Jahreshfte 1831 u. 1832, S. 33) bestimmt ausgesprochen.

**) Berg- und Hüttenmänn. Zeitung von Bornemann und Kerl, 1860. № 10 v. Hingenau's österr. Zeitschr. für Berg- und Hüttenwesen, 1860.

***) N. v. Kokscharow: Materialien zur Mineralogie Russlands, 1853, Bd. I. S. 120—123.

Seine Messungen hat dieser Gelehrte mit einem, mit *zwei* Fernröhren versehenem Reflexions-Goniometer (Mitscherlich's Construction) ausgeführt.

In der tabellarischen Uebersicht der Vesuvian Gestalten giebt v. Zepharovich 46 verschiedene einfache Krystallformen, von welchen 24 schon früher bekannt waren die übrigen 22 aber wurden von ihm entdeckt, bestimmt und zum ersten Mal beschrieben, nämlich:

Tetragonale Pyramiden der ersten Art:

$$\alpha = \frac{1}{20} P, \beta = \frac{1}{10} P, \gamma = \frac{1}{8} P, \delta = \frac{1}{7} P, \varepsilon = \frac{1}{6} P, \zeta = \frac{1}{5} P, \\ \kappa = \frac{3}{5} P, \lambda = \frac{4}{5} P, \mu = \frac{8}{5} P.$$

Tetragonale Pyramiden der zweiten Art:

$$\nu = \frac{1}{2} P\infty, \xi = \frac{3}{2} P\infty, \pi = 3P\infty.$$

Ditetragonale Pyramiden:

$$\rho = P\frac{7}{4}, n = P2, \omega = P\frac{7}{3}, q = \frac{8}{3} P\frac{8}{3}, p = \frac{4}{3} P3, \\ \sigma = \frac{3}{5} P3, \tau = \frac{2}{3} P3, w = 7P7.$$

Ditetragonale Prismen:

$$\varphi = \infty P\frac{5}{3}, \psi = \infty P\frac{7}{4}.$$

Was Breithaupt's Ansicht anbelangt, so drückt sich v. Zepharovich folgender Maassen aus:

»Eine *Gesetzmässigkeit* in der Ungleichheit der Kanten, wie sie Breithaupt *) angiebt, derart dass die Gestalten 111 und 101 als tetragon-pyramidale Triploëder und Diploëder aufzufassen wären, muss ich nach sorgfältiger Prüfung meiner Messungen in dieser Richtung entschieden in Abrede stellen.« Also in Hinsicht dieses Gegenstandes meine Beobachtungen stehen in vollkommenen Einklang mit denen des v. Zepharovich.

*) A. Breithaupt: Vollständiges Handbuch der Mineralogie, 1836, Bd. III. S. 648.

Für die *grünen Krystalle von der Mussa Alpe* in Piemont leitet v. Zepharovich aus seinen Messungen als wahrscheinlichste, das nach seiner Art combinirte Axenverhältniss ab:

$$a : b : c = 0,5375444 : 1 : 1$$

Die aus diesen Axenverhältnisse berechneten Winkel fallen fast mit denen, welche durch zahlreiche Messung erhalten sind zusammen, wie dies am besten aus folgender vergleichender Tabelle zu ersehen ist:

Kante.	Grüne Mussa-Krystallen v. Zepharovich.		Anzahl der Messungen.
	Gemessen.	Gerechnet.	
$c : P$	142° 45' 22''	142° 45' 29''	139
$c : d$	127 14 32	127 14 31	51
$c : c$ } an der Spitze	105 30 50	105 30 57	14
$c : c$ } Polkante	129 19 56	129 19 39	33
$c : M$	115 20 0	115 20 10	43
$c : t$ } anliegende	150 55 16	150 55 7	15
$c : a$ } anliegende	163 10 30	163 9 53	8

$c = P, d = \infty P, M = \infty P \infty, t = 3P, a = \frac{3}{2}P$ und $P = oP$.

Was die *rothbraunen Mussa-Krystalle*, Krystalle von *Rympfischweng bei Zermatt* und die von mir untersuchten

russischen Krystalle von Poljakowsk und Achmatowsk anbetrifft, so drückt sich v. Zepharovich über dieselben folgender Maassen aus:

»Kokscharow war sehr glücklich in der Wahl der Krystalle
 »für seine Messungen, er fand erst in der vierten Stelle von meinem
 »aus 306 Bestimmungen folgenden Resultate, abweichend:

$$a : b = 0,537195 : 1$$

»und es differiren seine Kanten-Berechnungen von den meinen nur
 »um beiläufig eine Minute.

»Ich habe dieselben, zum Theil vervollständigt, in die Tabelle
 »(S. 24—31 *) aufgenommen. Sie beziehen sich nicht nur auf die
 »von Kokscharow untersuchten *russischen Krystalle* von Polja-
 »kowsk und Achmatowsk, sondern dürften wahrscheinlich auch für
 »die *rothbraunen Krystalle von der Mussa-Alpe* und die Kry-
 »stalle von *Rympfischweng bei Zermatt* zu gelten haben.«

Die Messungen von Zepharovich an 18 *rothbraunen Mussa-Krystallen* erwiesen die Winkel, welche von jenen der grünen Kry-
 stalle derselben Localität abweichen und sich gleichzeitig meinen Be-

Kante.	Rothbraune Mussa-Krystalle, v. Zepharovich, gemessen.	Russische Krystalle, v. Kokscharow, gerechnet.	Grüne Mussa-Krystalle, v. Zepharovich, gerechnet.	Anzahl der Messungen.
<i>c : P</i>	142° 46' 8''	142° 46' 30''	142° 45' 29''	15
<i>c : d</i>	127 13 55	127 13 30	127 14 31	5
<i>c : M</i>	115 19 25	115 19 30	115 20 10	8
<i>c : t</i>	150 54 12	150 54 15	150 55 7	6
<i>t : P</i>	113 42 25	113 41 30	113 40 36	8
<i>t : M</i>	130 21 17	130 21 15	130 21 36	3
<i>u : P</i>	139 40 0	139 39 30	139 38 16	23
<i>u : d</i> } (nichtanl.)	106 48 30	106 49 45	106 50 7	1

*) Vergl. v. Zepharovich: »Krystallographische Studien über den Idokros-
 (aus dem XLIX Bande 1864 der Sitzungsber. der mathem. naturw. Classe der K. K.
 Akademie der Wissenschaften zu Wien, besonders abgedruckt).

rechnungen mehr oder weniger anschliessen, wie es die oben angeführte Vergleichung zeigt:

Aus dieser Vergleichung ist es ersichtlich, dass die Abweichungen nicht zu gross sind.

Von *Rympfischweng bei Zermatt* hatte v. Zepharovich nur 4 Krystalle zur Verfügung, von welchen nur einer keine genauen Messungen zuließ. »Während die Mittelwerthe aus allen Beobachtungen an diesen Krystallen«, bemerkt v. Zepharovich, »den Berechnungen Kokscharow's überhaupt ziemlich nahe kommen, erwies das ausgezeichnetste Individuum eine so auffallende Uebereinstimmung mit den letzteren in fünf verschiedenen Kanten (siehe folgende Tafel), dass ebenfalls für diese Krystalle vorläufig die obige Annahme gerechtfertigt sein dürfte.«

Kante.	Rympfischweng-Krystalle, v. Zepharovich, gemessen.	Russische Krystalle, v. Kokscharow, gemessen.	Anzahl der Messungen.
<i>c : d</i>	127° 13' 33''	127° 13' 30''	2
<i>c : o</i>	154 40 40	154 40 30	1
<i>d : t</i>	156 18 30	156 18 30	1
<i>a : P</i>	139 39 30	139 39 30	1
<i>a : s</i>	160 49 30	160 49 45	1
<i>s=3P3</i>			

Aus den Messungen aus 3 Krystallen ergibt sich:

Kante.	Rympfischweng-Krystalle, v. Zepharovich, gemessen.	Russische Krystalle, v. Kokscharow, gerechnet.	Anzahl der Messungen.
<i>c : P</i>	142° 46' 48''	142° 46' 30''	4
<i>c : d</i>	127 13 14	127 13 30	8
daher			
<i>P : d</i>	90 0 2	90 0 0	—

Nach v. Zepharovich's Beobachtungen, mit etwas verschiedenen Dimensionen im Vergleiche der vorerwähnten, sind die Krystalle vom *Findelen-Gletscher bei Zermatt*, von *Pftsch* in Tirol und vom *Vesuv* ausgebildet und für dieselben dürfte ein gleiches Parameter-Verhältniss anzunehmen sein. Hinsichtlich der Grösse, findet v. Zepharovich, dass dieselben zwischen den aus $c : P = 142^\circ 46' 30''$ ($a : b = 0,537195 : 1$, Kokscharow) und $142^\circ 53' 0''$ ($a : b = 0,535104 : 1$, Haidinger) berechneten fallen, wie dies am besten aus folgender Tabelle zu ersehen ist.

Berechnet.	v. Zepharovich, gemessen.		
	Zermatt.	Pftsch.	Vesuv.
$c : P =$			
$142^\circ 46' 30''$ (Kokscharow.)	} $142^\circ 47' 19''$	} $142^\circ 47' 21''$	} $142^\circ 47' 39''$
$142^\circ 53' 0''$ (Haidinger.)			
$c : d =$			
$127^\circ 13' 30''$ (Kokscharow.)	} $127^\circ 12' 53''$	} $127^\circ 13' 5''$	} $127^\circ 12' 31''$
$127^\circ 7' 0''$ (Haidinger.)			
Daher $P : d$	$90^\circ 0' 12''$	$90^\circ 0' 26''$	$90^\circ 0' 10''$

v. Zepharovich giebt noch einige der besseren Messungen an Krystallen vom *Vesuv*, welche alle zwischen den aus $142^\circ 53'$ (Haidinger) und $142^\circ 46\frac{1}{2}'$ (Kokscharow) berechneten Werthen liegen, nämlich:

Kante.	Vesuv-Krystalle v. Zepharovich, gemessen.	Haidinger (H) und Kokscharow (K) berechnet.	Anzahl der Messungen.
$c : c$	$129^\circ 27\frac{1}{4}'$	{ $129^\circ 29'$ H. $129^\circ 21'$ K.	2
$t : d$	$156^\circ 30'$	{ $156^\circ 41'$ H. $156^\circ 18\frac{1}{2}'$ K.	8

Kante.	Vesuv-Krystalle v. Zepharovich, gemessen.	Haidinger (H) und Kok- scharow (K) berechnet.	Anzahl der Messungen.
$a : P$	$139^{\circ} 43'$	$\left\{ \begin{array}{l} 139^{\circ} 46' \text{ H.} \\ 139 39\frac{1}{2} \text{ K.} \end{array} \right.$	2
$a : M$	$127 50\frac{7}{8}$	$\left\{ \begin{array}{l} 127 47 \text{ H.} \\ 127 53 \text{ K.} \end{array} \right.$	5
$c : o$	$154 42\frac{1}{2}$	$\left\{ \begin{array}{l} 154 44\frac{1}{2} \text{ H.} \\ 154 40\frac{1}{2} \text{ K.} \end{array} \right.$	6
$s : P$	$120 30$	$\left\{ \begin{array}{l} 120 35 \text{ H.} \\ 120 29 \text{ K.} \end{array} \right.$	2
$s : M$	$144 46\frac{3}{4}$	$\left\{ \begin{array}{l} 144 45 \text{ H.} \\ 144 50\frac{1}{2} \text{ K.} \end{array} \right.$	2
$r : M$	$157 2\frac{2}{3}$	$\left\{ \begin{array}{l} 157 2 \text{ H.} \\ 157 5 \text{ K.} \end{array} \right.$	3

Hingegen, nach der Bemerkung v. Zepharovich, verhalten sich mit den obigen nicht übereinstimmend die folgenden Messungen (Vesuv):

Kante.	Vesuv-Krystalle, v. Zepharovich ge- messen, mit ihren Ge- wichten combinirt.	Russische Krystalle Kokscharow, berechnet.	Anzahl der Messungen.
$c : M$	$115^{\circ} 19\frac{1}{2}'$	$115^{\circ} 19\frac{1}{2}'$	3
$c : t$	$150 55\frac{3}{4}$	$150 54\frac{3}{4}$	3
$o : P$	$151 45\frac{1}{2}$	$151 45\frac{1}{4}$	1
$o : M$	$118 14\frac{3}{5}$	$118 14\frac{3}{4}$	10

An 3 braunen Krystallen vom *Monzoni-Berge im Fassa-Thale* vermittelt approximativer Messungen hat v. Zepharovich erhalten:

Kante.	Monzoni-Krystalle v. Zepharovich gemessen.	Combination der Messungen.
$c : P$	142° 57' 32'	142° 55' 5'
$c : d$	127 5 22	127 4 55
$c : M$	115 11 37	115 12 12
$c : c$ } Polkante }	129 33 43	129 35 36

v. Zepharovich sagt, dass »diese Werthe von den früheren »bedeutend verschieden sind, aber noch fernerer Beobachtungen zur »Bestätigung bedürfen.«

Es scheint auch, nach der Bemerkung von v. Zepharovich, dass an den Krystallen von *Eker in Norwegen* nach den bisherigen ungenügenden Bestimmungen der Kante $c : P$ ein grösserer Werth als 142° 53' eigen ist.

Für den Winkel $c : P$ des Vesuvians aus verschiedenen Fundorten giebt v. Zepharovich, nach seinen eigenen Beobachtungen, folgende Werthe:

Mussa, grüne Var.	= 142° 45' 29''
Mussa, braune Var.	} = 142 46 18
Rympfischweg bei Zermatt . . .	
Findelen-Gletscher bei Zermatt. }	} = 142 47 26
Pfitsch	
Vesuv	
Monzoni, Fassathal, braune Var.	= ?142 55 5
Eker, Norwegen	= ?142 57 0

Wir haben hier nur die wesentlichsten Standpunkte von dem *Allgemeinen Theile* des Zepharovich'schen Werkes angeführt: was die andere interessante Einzelheiten desselben anbelangt, so wenden wir den Leser zu der Original-Abhandlung des Verfassers. Wir werden auch nur die hauptsächlichsten Thatsachen aus dem II. *Besonderen Theile* entnehmen, ohne in weitere Details einzugehen. In diesem letzten Theile behandelt v. Zepharovich die Vesuvian-Krystalle nach ihren Fundorten und liefert die Beschreibung und Messungen derselben mit aller Ausführlichkeit.

Neapel (Auswürflinge der Somma).

Als Mittelwerthe aus allen Messungen an Krystallen von der Somma hat v. Zepharovich erhalten:

Kante.	Winkel.	Anzahl der Messungen.
$c : P$	$= 142^{\circ} 47\frac{2}{3}'$ 8
$c : d$	$= 127 12\frac{1}{2}$ 19
$c : c$ Polkante	} $= 129 27\frac{1}{4}$ 2
$c : M$		
$i : P$	$= 115 20$ 3
$i : c$	$= 165 44$ 3
$i : c$	$= 157 \frac{1}{2}$ 8
$b : d$	$= 146 41\frac{1}{2}$ 2
$b : t$	$= 170 26$ 2
$t : d$	$= 156 30$ 8
$t : c$	$= 150 55\frac{3}{4}$ 3
$t : f$	$= 153 57\frac{1}{2}$ 1
$\sigma : P$	$= 151 45\frac{1}{2}$ 1
$o : M$	$= 118 14\frac{1}{2}$ 10
$o : o$ an der Spitze.	} $= 123 29\frac{1}{4}$ 1
$o : c$		
$\xi : M$	$= 154 42\frac{1}{2}$ 6
$\xi : M$	$= 128 11$ 1

Kante.	Winkel.	Anzahl der Messungen.
$u : P$	$= 132' 59'$	1
$u : M$	$= 137 \quad 3\frac{1}{2}$	2
$u : o$	$= 161 \quad 25$	2
$u : c$	$= 148 \quad 50\frac{1}{2}$	1
$u : d$	$= 120 \quad 57$	1
$\pi : M$	$= 148 \quad 15\frac{2}{3}$	1
$z : d$	$= 136 \quad 51\frac{1}{4}$	1
$g : P$	$= 112 \quad 41$	1
$g : f$	$= 157 \quad 20$	1
$g : M$	$= 145 \quad 31$	1
$g : d$	$= 151 \quad 23$	1
$g : c$	$= 146 \quad 57$	1
$g : t$	$= 163 \quad 1$	1
$g : s$	$= 169 \quad 18$	1
$g : v$	$= 165 \quad 33$	1
$a : P$	$= 139 \quad 43$	2
$a : M$	$= 127 \quad 50\frac{7}{8}$	5
$a : a$ } Normale Polk.	$= 156 \quad 27\frac{1}{2}$	1
$a : a$ } Diagonale Polk.	$= 146 \quad 27\frac{1}{4}$	1
$a : c$	$= 163 \quad 14\frac{1}{4}$	4
$a : t$	$= 146 \quad 43$	1
$a : d$	$= 125 \quad 28$	2
$a : o$	$= 164 \quad 14$	1
$a : u$	$= 165 \quad 37$	2
$a : z$	$= 168 \quad 39\frac{1}{2}$	1
$s : P$	$= 120 \quad 30$	2
$s : M$	$= 144 \quad 46\frac{3}{4}$	2
$s : c$ } anliegende	$= 150 \quad 27\frac{1}{2}$	2
$s : c$ } nicht anliegende	$= 129 \quad 38$	1

Kante.	Winkel.	Anzahl der Messungen.
$s : d$	$= 140 \quad 16\frac{1}{2}$	2
$s : u$	$= 160 \quad 49$	3
$s : a$	$= 160 \quad 47$	2
$v : P$	$= 110 \quad 11\frac{1}{2}$	1
$v : M$	$= 157 \quad 2\frac{2}{3}$	3
$v : v$	$= 158 \quad 26$	1
$v : c$	$= 138 \quad 17$	3
$v : t$	$= 148 \quad 37$	1
$f : M$	$= 153 \quad 28$	9
$f : d$	$= 161 \quad 28\frac{2}{3}$	6
$M : P$	$= 89 \quad 55$	5
$M : d$	$= 135 \quad \frac{1}{12}$	14

Das spec. Gewicht wurde gefunden:

v. Zepharovich = 3,417 und 3,445 (an 2 Krystallen)

» Magnus*) = 3,420

» Rammelsberg**) = $\begin{cases} 3,382 \text{ (gelbbraun)} \\ 3,428 \text{ (dunkelbraun)} \end{cases}$

Piemont.

Der Farbe nach sind von den Vesuvian-Krystallen der Mussa-Alpe im Ala-Thale, nach der Beschreibung von v. Zepharovich, zwei auch in krystallographischer Hinsicht zu trennende Varietäten zu unterscheiden, die grüne und die braun gefärbten

Die *grünen* Krystalle bilden Drusen auf gleichartiger gelblich-grüner Vesuvian-Unterlage, welche stetig von krystallinischer Gestaltung zu grobkörnigem bis dichtem Gefüge übergeht. Die licht-

*) Poggend. Annual. 1830, XX, S. 477.

**) Mineralchemie, 1860, 734.

bis *dunkelbraunen* Krystalle hingegen, nach Sismonda's Untersuchung 7,1 Manganoxydul enthaltend *), sind auf feinkörnigem bis dichtem röthlich-grauem oder braunem Granat in Drusen- und Kluft-räumen aufgewachsen; seltener lagern sie in stengeliger, egeranar-tiger Ausbildung unmittelbar auf dem Schiefer.

Als Mittelwerthe aus allen seinen Messungen an Krystallen von der Mussa-Alpe hat Zepharovich erhalten:

A. Grüne Varietät.

Kante.	Winkel.	Anzahl der Messungen.
$c : P$	$= 142^{\circ} 45' 22''$ 139
$c : d$ anliegende	} $= 127 14 32$ 54
$c : d$ nicht anliegende		
$c : M$	$= 115 20 0$ 43
$c : c$ Polkante.	} $= 129 19 56$ 33
$c : c$ an der Spitze		
$\alpha : P$	$= 177 44 10$ 2
$\beta : P$	$= 175 37 35$ 5
$\gamma : P$	$= 174 31 24$ 13
$\gamma : c$	$= 148 17 0$ 2
$\delta : P$	$= 173 35 17$ 7
$\epsilon : P$	$= 172 38 41$ 11
$\epsilon : c$	$= 149 53 26$ 3
$\xi : P$	$= 171 34 28$ 19
$\xi : c$	$= 151 32 39$ 3
$\eta : P$	$= 169 40 26$ 18
$\eta : c$	$= 153 26 0$ 3

*) Mem. della R. Acad. d. sc. di Torino, I Serie, XXXVII, p. 93.

Kante.	Winkel.	Anzahl der Messungen.
$i : P$	$= 165^{\circ} 42' 5''$	6
$i : c$	$= 157 \quad 4 \quad 2$	3
$c : P$	$= 159 \quad 7 \quad 50$	6
$c : c$	$= 163 \quad 24 \quad 0$	1
$x : P$	$= 155 \quad 53 \quad 0$	1
$b : P$	$= 123 \quad 11 \quad 28$	3
$b : d$	$= 146 \quad 43 \quad 0$	4
$t : P$	$= 113 \quad 42 \quad 20$	2
$t : c$	$= 150 \quad 55 \quad 16$	15
$t : d$	$= 156 \quad 18 \quad 7$	18
$o : P$	$= 151 \quad 50 \quad 45$	15
$o : M$	$= 118 \quad 12 \quad 34$	4
$o : c$	$= 154 \quad 39 \quad 14$	18
$v : P$	$= 164 \quad 33 \quad 30$	4
$z : M$	$= 133 \quad 25 \quad 30$	2
$z : d$	$= 136 \quad 43 \quad 0$	1
$z : c$	$= 161 \quad 52 \quad 43$	12
$q : M$	$= 141 \quad 32 \quad 0$	1
$q : c$	$= 153 \quad 43 \quad 30$	2
$\rho : P$	$= 169 \quad 15 \quad 30$	1
$\tau : P$	$= 159 \quad 35 \quad 0$	1
$a : P$	$= 139 \quad 37 \quad 13$	6
$a : M$	$= 101 \quad 48 \quad 10$	2
$a : d$ } anliegende	$= 125 \quad 18 \quad 4$	4
$a : d$ } nicht anliegende	$= 106 \quad 47 \quad 42$	4
$a : a$ } Normale Polkan.	$= 156 \quad 16 \quad 36$	2
$a : c$	$= 163 \quad 10 \quad 30$	8
$a : z$	$= 168 \quad 43 \quad 0$	1
$s : P$	$= 120 \quad 30 \quad 0$	2

Kante.	Winkel.	Anzahl der Messungen.
$s : M$	$= 144^\circ 51' 13''$	10
$s : d$	$= 140 \ 26 \ 34$	7
$s : c$	$= 150 \ 30 \ 2$	24
$s : s$ } Diagonale Polk.)	$= 134 \ 40 \ 0$	1
$s : c$	$= 129 \ 33 \ 44$	7
$s : z$	$= 168 \ 34 \ 10$	2
$s : a$ } anliegende	$= 160 \ 51 \ 34$	3
$s : a$ } nicht anliegende)	$= 146 \ 22 \ 24$	3
$y : M$	$= 151 \ 56 \ 0$	1
$w : M$	$= 163 \ 10 \ 40$	1
$w : s$	$= 161 \ 15 \ 0$	1
$d : P$	$= 90 \ 0 \ 15$	11
$d : M$	$= 135 \ 1 \ 35$	10
$\varphi : M$	$= 149 \ 0 \ 0$	15
$f : M$	$= 153 \ 27 \ 14$	2
$f : d$	$= 161 \ 36 \ 0$	1
$M : P$	$= 89 \ 59 \ 3$	9

Die grüne Farbe dieser Krystalle zeigt sich, nach der Beschreibung von v. Zepharovich, in den verschiedensten Abstufungen, spargelgrün, grasgrün bis pistazien-, öl- und olivengrün, mit vielerlei Graden der Pellucidität. Manche sind an den beiden Enden verschieden, z. B. gras- und pistaziengrün, oder grün und roth gefärbt; zuweilen erscheint auch eine grüne Säule von einem braunen Bande quer durchzogen.

Das spec. Gewicht derselben hat v. Zepharovich mittelst 24 sorgfälligen Bestimmungen $= 3,408$ (mit dem Grenzen 3,364—4,479) erhalten.

Rammelsberg fand — 3,407 *).

*) Mineralchemie, 1860, S. 736.

B. Braune Varietät (Mangan-Idokras).

Als Mittelwerthe aus allen seinen Messungen an *braunen* Mussa-Krystallen hat v. Zepharovich erhalten:

Kante.	Winkel.	Anzahl der Messungen.
$c : P$	$= 142^{\circ} 46' 8''$	15
$c : d$	$= 127 13 55$	5
$c : M$	$= 115 19 25$	8
$c : c$ Polkante }	$= 129 19 4$	3
$\delta : P$	$= 173 45 11$	1
$\zeta : P$	$= 171 25 20$	1
$t : P$	$= 113 42 25$	8
$t : c$	$= 150 54 12$	6
$t : d$	$= 156 19 8$	4
$t : M$	$= 130 21 17$	3
$a : P$	$= 139 40 0$	23
$a : h$	$= 130 41 1$	1
$a : d$ nicht anliegende }	$= 106 48 30$	1
$a : c$	$= 163 9 31$	6
$s : P$	$= 120 27 39$	16
$s : M$ anliegende }	$= 144 55 36$	3
$s : M$ nicht anliegende }	$= 105 48 47$	3
$s : h$	$= 149 43 49$	1
$s : c$	$= 150 25 22$	4
$s : t$	$= 155 27 40$	2
$s : a$ anliegende }	$= 160 48 21$	14
$s : a$ nicht anliegende }	$= 146 20 51$	4

Kante.	Winkel.	Anzahl der Messungen.
$d : P$	$= 89^\circ 59' 15''$	8
$d : M$	$= 134 59 9$	4
$h : P$	$= 89 59 59$	1
$M : P$	$= 89 58 46$	13
$M : M$	$= 89 59 42$	4

Die Farbe des Mangan-Idokras ist ein helleres oder dunkleres braun, — haarbraun, nelkenbraun oder ein reines dunkelbraun.

Das spec. Gewicht fand v. Zepharovich im Mittel aus 14 Wägungen $= 3,479$ (mit Grenzen $3,424$ — $3,582$), also höher als jenes der grünen Krystalle dieser Localität, entsprechend den Resultaten der chemischen Untersuchung *) der beiden Varietäten.

Schweiz.

Als Mittelwerthe aus allen seinen Messungen der Krystalle von Rymfischweng bei Zermatt hat v. Zepharovich erhalten:

Kante.	Winkel.	Anzahl der Messungen.
$c : P$	$= 112^\circ 46' 48''$	4
$c : d$	$= 127 13 14$	7
$\epsilon : P$	$= 172 41 45$	2
$n : P$	$= 169 39 —$	1
$t : c$	$= 150 55 13$	4
$t : d$	$= 156 17 50$	3
$o : P$	$= 151 55 15$	2
$o : M$	$= 118 8 —$	1
$o : c$	$= 154 40 40$	1
$n : c$	$= 168 15 —$	1

*) Rammelsberg: Min. Chemie; Descloizeaux Min. I, p. 281 f.

Kante.	Winkel.	Anzahl der Messungen.
$n : s$	$= 150^\circ 20' 47''$	1
$n : \omega$	$= 177 54 \text{ —}$	1
$\omega : c$	$= 166 7 44$	3
$\omega : o$	$= 168 34 58$	2
$\omega : a$	$= 169 30 57$	5
$\omega : x$	$= 177 33 \text{ —}$	1
$x : P$	$= 151 7 \text{ —}$	1
$x : o$	$= 172 28 45$	1
$x : a$	$= 168 33 \text{ —}$	1
$a : P$	$= 139 40 50$	2
$a : a$	} $= 156 19 25$	2
Norm. Polkante $a : s$		
$s : M$	$= 144 52 \text{ —}$	1
$s : c$	$= 150 25 50$	1
$s : s$	} $= 148 17 50$	1
Norm. Polkante $s : o$		
$d : P$	$= 90 \text{ — —}$	1
$d : d$	$= 90 \text{ — —}$	1
$d : M$	$= 134 57 10$	3

Tirol.

Als Mittelwerthe aus allen seinen Messungen an Krystallen von Pfitsch (Porgumer-Alpe) hat v. Zepharovich erhalten:

Kante.	Winkel.	Anzahl der Messungen.
$c : P$	$= 142^\circ 47' 21''$	14
$c : d$	$= 127 13 5$	8
$c : c$	} $= 129 22 52$	4
Polkante.		
$c : c$	} $= 105 37 32$	3
an der Spitze.		

Kante.	Winkel.	Anzahl der Messungen.
$i : P$	$= 165^\circ 50' 48''$	10
$i : c$	$= 156 59 52$	4
$\lambda : P$	$= 148 44 0$	1
$\lambda : c$	$= 173 55 0$	1
$\mu : c$	$= 166 55 0$	1
$b : c$	$= 160 34 20$	3
$o : P$	$= 151 50 30$	2
$o : M$	$= 118 10 5$	2
$u : o$	$= 161 9 0$	1
$u : M$	$= 137 8 0$	1
$v : c$	$= 170 0 0$	1
$g : P$	$= 112 38 0$	1
$g : d$	$= 151 4 15$	1
$g : s$	$= 169 16 30$	2
$\sigma : P$	$= 161 24 0$	1
$a : P$	$= 139 41 5$	2
$a : a$	$= 156 23 24$	3
Norm. Polkante)		
$a : c$	$= 163 13 43$	4
$a : u$	$= 165 35 0$	2
$s : u$	$= 160 44 0$	1
$f : d$	$= 161 39 30$	1
$h : d$	$= 153 23 30$	1

§ 2.

Um besser zu sehen, in welchem Verhältnisse meine eigenen Messungen zu den v. Zepharovich'schen stehen halte ich es nicht für überflüssig hier *alle* *) meine guten Messungen zu geben, denn

*) Vergl. N. v. Kokscharow: Vorlesungen über Mineralogie, 1865, Bd. I, S. 230.

in dem ersten Bande dieses Werkes wurden nur die schärfsten derselben geliefert. Ich habe nämlich erhalten:

Für $c : P$.

Poljakowsk (Ural).

Kr. № 3	=	142° 45' 0''	ziemlich.
And. Kante	=	142 44 50	•
Kr. № 7	=	142 46 45	sehr gut.
And. Kante	=	142 46 20	•
And. Kante	=	142 46 15	•
Kr. № 8	=	142 46 20	•
Kr. № 9	=	142 46 20	•
And. Kante	=	142 50 30	•
Kr. № 10	=	142 46 30	gut.
And. Kante	=	142 47 30	ziemlich.
Kr. № 12	=	142 47 10	gut.
And. Kante	=	142 46 20	•
Kr. № 13	=	142 47 30	ziemlich.
Kr. № 14	=	142 47 40	gut.

Mittel = 142° 46' 47'' (folglich $c : d = 127° 13' 13''$)

Achmatowsk (Ural).

Kr. № 27	=	142° 48' 0''	ziemlich.
And. Kante	=	142 49 0	•
Kr. № 28	=	142 45 0	•
And. Kante	=	142 46 0	sehr gut.

Mittel = 142° 47' 0'' (folglich $c : d = 127° 13' 0''$)

Ala (Piemont).

Kr. № 21 = 142° 46' 0'' gut.

And. Kante = 142 44 0 ziemlich.

And. Kante = 142 46 0 »

And. Kante = 142 46 0 gut.

Kr. № 22 = 142 45 0 ziemlich.

Kr. № 23 = 142 47 0 »

Mittel = 142° 45' 40'' (folglich $c : d = 127° 44' 20''$)

Pfitsch (Porgumer Alpe am Wildkreuzjoch in Tirol).

Kr. № 16 = 142° 50' 0'' ziemlich (folglich $c : d = 127° 10' 0''$)

St. Marcel (Piemont), Mangan Idokras, dunkelbrauner, durchsichtiger Krystall.

Kr. № 26 = 142° 45' 20'' ziemlich.

And. Kante = 142 46 30 »

Mittel = 142° 45' 55'' (folglich $c : d = 127° 44' 5''$)

$c : d$

Ala (Piemont).

Kr. № 25 = 127° 16' 10'' ziemlich.

And. Kante = 127 20 50 »

Mittel = 127° 18' 30'' (folglich $c : P = 142° 41' 30''$)

Pfitsch (Porgumer Alpe am Wildkreuzjoch in Tirol).

Kr. № 16 = 127° 12' 0'' ziemlich.

Kr. № 19 = 127 12 0 »

And. Kante = 127 14 0 »

Kr. № 20 = 127 9 0 »

Mittel = 127° 11' 45'' (folglich $c : P = 142° 48' 15''$)

Vesuv.

Kr. № 29 = 127° 14' 30'' sehr gut.

Kr. № 30 = 127 13 20 „

Mittel = 127° 13' 55'' (folglich $c : P = 142° 46' 5''$)

$c : c$ (über P).

Poljakowsk (Ural).

Kr. № 7 = 105° 33' 30'' gut.

And. Kante = 105 29 0 ziemlich.

Mittel = 105° 31' 15'' (folglich $c : P = 142° 45' 38''$)

Achmatowsk (Ural).

Kr. № 28 = 105° 32' 30'' gut (folglich $c : P = 142° 46' 15''$)

Ala (Piemont).

Kr. № 23 = 105° 31' 30'' ziemlich.

Kr. № 24 = 105 26 0 „

And. Kante = 105 30 0 „

Kr. № 25 = 105 31 30 gut.

And. Kante = 105 35 40 ziemlich.

Mittel = 105° 30' 56'' (folglich $c : P = 142° 45' 28''$)

Es wurde also für $c : P$ im Mittel gefunden:

Poljakowsk (Ural) = 142° 46' 47''
Idem, aus $c : c$ (über P) = 142 45 38 } Mittel = 142° 46' 13'' (a)

Achmatowsk (Ural) = 142 47 0
Idem, aus $c : c$ (über P) = 142 46 15 } Mittel = 142 46 38 (b)

Ala (Piemont)	= 142° 45' 40''	}	Mittel = 142° 44' 13'' (c)
Idem, aus $c : d$	= 142 41 30		
Idem, aus $c : c$ (über P)	= 142 45 28		
Pfitsch (Tirol)	= 142 50 0	}	Mittel = 142 49 8 (d)
Idem, aus $c : d$	= 142 48 15		
St. Marcel (Piemont)	} = 142 45 55 (e)	
Mangan-Idokras			
Vesuv (Neapel)	} = 142 46 5 (f)	
aus $c : d$			
M. aus (a)(b)(c)(d)(e) u. (f) = 142° 46' 22''			

Wenn wir aber aus allen einzelnen oben angeführten 43 Messungen das Mittel nehmen, so erhalten wir wieder fast denselben Winkel, nämlich:

$$c : P = 142^\circ 46' 19''$$

Ferner wurde durch Messung erhalten:

$c : c$ (Polkante).

Poljakowsk (Ural).

Kr. № 5	= 129° 19' 0''	ziemlich.
Kr. № 7	= 129 20 30	sehr gut.
And. Kante	= 129 20 30	gut
Kr. № 9	= 129 17 40	sehr gut.
Mittel		= 129° 19' 25''

Achmatowsk (Ural).

Kr. № 27	= 129° 21' 0''	gut.
And. Kante	= 129 21 0	„
And. Kante	= 129 17 0	ziemlich.
And. Kante	= 129 21 0	„
Mittel		= 129° 20' 0''

Ala (Piemont).

Kr. № 22 = 129° 21' 0'' gut.

And. Kante = 129 19 0 ziemlich.

Mittel = 129° 20' 0''

St. Marcel (Piemont) Mangan-Idokras.

Kr. № 26 = 129° 25' 40'' ziemlich.

Vesuv (Neapel).

Kr. № 30 = 129° 24' 0'' ziemlich.

c : *M* (über *s*).

St. Marcel (Piemont), Mangan-Idokras.

Kr. № 26 = 115° 20' 0'' ziemlich.

c : *t* (anliegende).

Poljakowsk (Ural).

Kr. № 3 = 150° 53' 50'' ziemlich.

Kr. № 7 = 150 58 0

Mittel = 150° 55' 55''

Achmatowsk (Ural).

Kr. № 28 = 150° 58' 40'' ziemlich.

Ala (Piemont).

Kr. № 24 = 150° 52' 0'' gut.

Vesuv (Neapel).

Kr. № 30 = 150° 56' 0'' ziemlich.

$c : t$ (über P).

Poljakowsk (Ural).

Kr. № 3 = $76^{\circ} 23' 40''$ ziemlich.

Kr. № 7 = $76 30 30$ gut.

Mittel = $76^{\circ} 27' 5''$

$c : a$ (anliegende).

Poljakowsk (Ural).

Kr. № 7 = $163^{\circ} 10' 25''$ gut.

And. Kante = $163 9 30$ ziemlich.

Mittel = $163^{\circ} 9' 58''$

Ala (Piemont).

Kr. № 25 = $163^{\circ} 9' 0''$ ziemlich.

Pfitsch (Tirol).

Kr. № 18 = $163^{\circ} 4' 20''$ sehr gut.

And. Kante = $163 12 0$ ziemlich.

Mittel = $163^{\circ} 8' 10''$

$c : z$ (anliegende).

Poljakowsk (Ural).

Kr. № 7 = $161^{\circ} 54' 0'$ sehr gut.

And. Kante = $161 55 30$ ziemlich.

And. Kante = $161 57 0$

Mittel = $161^{\circ} 55' 30''$

Achmatowsk (Ural).

Kr. № 28 = $161^{\circ} 53' 0''$ ziemlich.

c : *z* (über *c'*).

Poljakowsk (Ural).

Kr. № 7 = 111° 16' 30'' ziemlich.

c : *s* (über *z*).

Poljakowsk (Ural).

Kr. № 6 = 150° 29' 0'' gut.

And. Kante = 150 30 30 »

Kr. № 7 = 150 33 0 »

And. Kante = 150 33 0 »

Kr. № 8 = 150 35 50 »

Mittel = 150° 32' 16''

St. Marcel (Piemont), Mangan-Idokras.

Kr. № 26 = 150° 28' 0'' ziemlich.

And. Kante = 150 34 30 »

Mittel = 150° 31' 15''

c : *s* (über *c*).

Poljakowsk.

Kr. № 1 = 99° 53' 30'' gut.

Kr. № 7 = 99 54 10 »

Kr. № 8 = 99 44 0 »

Mittel = 99° 50' 33''

c : *s* (über *a*).

Ala (Piemont).

Kr. № 25 = 129° 30' 0'' gut.

$a : a$ (norm. Polkante).

Poljakowsk (Ural).

Kr. № 2 = $156^{\circ} 22' 30''$ sehr gut.

Kr. № 7 = $156 \ 20 \ 0$ ziemlich.

Kr. № 9 = $156 \ 15 \ 20$ »

Mittel = $156^{\circ} 19' 17''$

Pfitsch (Tirol).

Kr. № 16 = $156^{\circ} 22' 0''$ ziemlich.

Kr. № 17 = $156 \ 22 \ 0$ sehr gut

Mittel = $156^{\circ} 22' 0''$

$a : a$ (über c).

Poljakowsk (Ural).

Kr. № 2 = $146^{\circ} 21' 30''$ gut.

Ala (Piemont).

Kr. № 25 = $146^{\circ} 18' 0''$ ziemlich.

Pfitsch (Tirol).

Kr. № 18 = $146^{\circ} 15' 0''$ ziemlich.

$a : P$ (anliegende).

Poljakowsk (Ural).

Kr. № 2 = $139^{\circ} 40' 0''$ ziemlich.

And. Kante = $139 \ 41 \ 30$ sehr gut.

And. Kante =	139° 38'	0''	ziemlich.
And. Kante =	139 39	0	sehr gut.
Kr. № 3 =	139 40	0	ziemlich.
And. Kante =	139 39	30	»
And. Kante =	139 39	30	gut.
Kr. № 6 =	139 40	0	»
Kr. № 7 =	139 39	30	»
And. Kante =	139 38	30	»
And. Kante =	139 40	0	»
<hr/>			
Mittel =	139° 39'	35''	

a : *s* (anliegende).

Poljakowsk (Ural).

Kr. № 1 =	160° 49'	30''	gut.
Kr. № 2 =	160 53	0	ziemlich.
Kr. № 3 =	160 51	0	»
Kr. № 4 =	160 50	0	gut.
<hr/>			
Mittel =	160° 50'	53''	

St. Marcel (Piemont), Mangan-Idokras.

Kr. № 26 =	160° 59'	0''	ziemlich.
------------	----------	-----	-----------

a : *s* (nicht anliegende).

Poljakowsk (Ural).

Kr. № 7 =	146° 23'	30''	gut.
-----------	----------	------	------

a : *s* (über *c* und *a*, Diagonalzone von *c*).

Ala (Piemont).

Kr. № 25 =	112° 41'	30''	gut.
------------	----------	------	------

$t : P$ (anliegende).

Poljakowsk (Ural).

Kr. № 3 = $113^{\circ} 40' 0''$ gut.

Kr. № 7 = $113 46 0$ »

Mittel = $113^{\circ} 43' 0''$

$t : d$ (anliegende).

Vesuv (Neapel).

Kr. № 29 = $156^{\circ} 17' 0''$ gut.

Kr. № 30 = $156 16 50$ »

Mittel = $156^{\circ} 16' 55''$

$t : t$ (über P).

Poljakowsk (Ural).

Kr. № 7 = $47^{\circ} 24' 0''$ gut

Ala (Piemont).

Kr. № 24 = $47^{\circ} 15' 0''$ ziemlich.

$t : s$ (anliegende).

Poljakowsk (Ural).

Kr. № 2 = $155^{\circ} 30' 30''$ ziemlich.

$z : s$ (anliegende).

Poljakowsk (Ural).

Kr. № 2 = $168^{\circ} 34' 0''$ ziemlich.

Kr. № 7 = $168 37 40$ »

And. Kante = $168 39 0$ »

Mittel = $168^{\circ} 36' 53''$

Achmatowsk (Ural).

Kr. № 28 = 168° 38' 0" ziemlich.

z : *z* (diagonale Polkante).

Poljakowsk (Ural).

Kr. № 7 = 151° 54' 0" sehr gut.

s : *P* (anliegende).

Poljakowsk (Ural).

Kr. № 1 = 120° 29' 30" sehr gut.

And. Kante = 120 28 30 gut.

And. Kante = 120 28 30 •

Kr. № 2 = 120 28 0 •

And. Kante = 120 28 30 •

And. Kante = 120 28 30 •

And. Kante = 120 25 30 •

And. Kante = 120 30 0 •

Kr. № 3 = 120 32 0 •

And. Kante = 120 31 0 •

And. Kante = 120 30 0 sehr gut.

And. Kante = 120 28 0 gut.

And. Kante = 120 28 30 sehr gut.

And. Kante = 120 29 0 gut.

Kr. № 4 = 120 29 30 •

Kr. № 5 = 120 28 30 •

And. Kante = 120 28 0 •

And. Kante = 120 27 30 •

Kr. № 6 = 120 28 0 •

And. Kante = 120 27 30 sehr gut.

And. Kante = 120 28 30 •

And. Kante	=	120° 35' 0''	gut.
And. Kante	=	120 32 30	»
And. Kante	=	120 32 0	ziemlich
And. Kante	=	120 32 50	gut.
Kr. № 7	=	120 28 30	ziemlich.
And. Kante	=	120 27 30	sehr gut.
And. Kante	=	120 27 30	gut.
And. Kante	=	120 31 0	sehr gut.
And. Kante	=	120 28 40	»
And. Kante	=	120 32 50	gut.
And. Kante	=	120 33 0	sehr gut.
And. Kante	=	120 32 40	gut.

Mittel = 120° 29' 36''

St. Marcel (Piemont), Mangan-Idokras.

Kr. № 26	=	120° 39' 30''	ziemlich.
And. Kante	=	120 20 10	»

Mittel = 120° 29' 50''

s : s (normale Polkante).

Poljakowsk (Ural).

Kr. № 1	=	148° 20' 0''	gut.
Kr. № 2	=	148 27 0	ziemlich.
Kr. № 3	=	148 22 30	gut.
And. Kante	=	148 19 0	ziemlich.
Kr. № 5	=	148 21 0	gut.
Kr. № 7	=	148 22 0	»
And. Kante	=	148 17 40	sehr gut.
And. Kante	=	148 17 0	ziemlich.

And. Kante = $148^{\circ} 18' 30''$ sehr gut.

Kr. № 15 = $148 \ 19 \ 0$ gut.

Mittel = $148^{\circ} 20' 22''$

Achmatowsk (Ural).

Kr. № 28 = $148^{\circ} 17' 30''$ ziemlich.

Pfitsch (Tirol).

Kr. № 17 = $148^{\circ} 22' \ 0''$ gut.

$s : s$ (diagonale Polkante).

Poljakowsk (Ural).

Kr. № 2 = $134^{\circ} 40' \ 0''$ gut.

Kr. № 5 = $134 \ 42 \ 30$ „

Kr. № 7 = $134 \ 45 \ 40$ sehr gut.

And. Kante = $134 \ 41 \ 30$ ziemlich.

And. Kante = $134 \ 47 \ 30$ gut.

And Kante = $134 \ 46 \ 0$ ziemlich.

Mittel = $134^{\circ} 43' 52''$

Achmatowsk (Ural).

Kr. № 28 = $134^{\circ} 46' 40''$ ziemlich.

St. Marcel (Piemont), Mangan-Idokras.

Kr. № 26 = $134^{\circ} 47' 10''$ ziemlich

$s : s$ (über P).

Poljakowsk (Ural).

Kr. № 5 = $60^{\circ} 56' \ 0'$ gut.

Kr. № 6 = $60 \ 56 \ 0$ „

Kr. № 7 = $60 \ 58 \ 0$ „

And. Kante = $60 \ 59 \ 0$ „

Mittel = $60^{\circ} 57' 15''$

$s : s$ (über c und c , in der Polkantenzone von c).

Poljakowsk (Ural).

Kr. № 7 = $70^{\circ} 21' 0''$ ziemlich.

And. Kante = $70 \ 25 \ 0$ »

Mittel = $70^{\circ} 23' 0''$

$s : M$ (anliegende).

St. Marcel (Piemont), Mangan-Idokras.

Kr. № 26 = $144^{\circ} 50' 30''$ ziemlich.

$o : M$ (anliegende).

Pfitsch (Tirol).

Kr. № 17 = $118^{\circ} 15' 30''$ gut.

$b : d$

Pfitsch (Tirol).

Kr. № 16 = $146^{\circ} 40' 30''$ gut.

Kr. № 19 = $146 \ 41 \ 0$ »

Mittel = $146^{\circ} 40' 45''$

$i : P$ (anliegende).

Pfitsch (Tirol).

Kr. № 17 = $165^{\circ} 57' 0''$

Kr. № 19 = $165 \ 36 \ 0$

Mittel = $165^{\circ} 46' 45''$

Egger (Norwegen).

Kr. № 31 = $165^{\circ} 59' 30''$

$i : d$ (über c).

Pfitsch (Tirol).

Kr. № 16 = 104° 8' 0''

Kr. № 19 = 104 5 0

And. Kante = 104 14 30

Mittel = 104° 9' 10''

Egger (Norwegen).

Kr. № 31 = 104° 5' 0''

Die Anzahl der im Vesuvian nachgewiesenen einfachen Krystall-
Formen ist jetzt schon ziemlich gross: v. Zepharovich führt in
seiner tabellarischen Uebersicht 46 an, zu diesen muss man noch
die später bestimmten hinzufügen, nämlich: 4 Formen von Groth,
4 von Korn, 2 von Jeremejew und 2 von Tarássow—im Ganzen
haben wir also 58 Vesuvian-Formen. Diese Krystallformen sind
folgende:

Auf Figuren. Weiss. Naumann. Autoren.

Basisches Pinakoid.

P . . . ($a : \infty b : \infty b$) . oP R. de l'Isle.

Tetragonale Pyramiden

a) *der ersten Art.*

α . . . ($\frac{1}{2}a : b : b$) $\frac{1}{2}P$ Zepharovich.

β . . . ($\frac{1}{4}a : b : b$) $\frac{1}{4}P$ Zepharovich.

χ . . . ($\frac{1}{9}a : b : b$) $\frac{1}{9}P$ Kobell.

γ . . . ($\frac{1}{8}a : b : b$) $\frac{1}{8}P$ Zepharovich.

δ	$\dots (\frac{1}{7}a : b : b)$	$\dots \frac{1}{7}P$	\dots	Zepharovich.
ε	$\dots (\frac{1}{6}a : b : b)$	$\dots \frac{1}{6}P$	\dots	Zepharovich.
ζ	$\dots (\frac{1}{5}a : b : b)$	$\dots \frac{1}{5}P$	\dots	Zepharovich.
η	$\dots (\frac{1}{4}a : b : b)$	$\dots \frac{1}{4}P$	\dots	Presl. (?)
i	$\dots (\frac{1}{3}a : b : b)$	$\dots \frac{1}{3}P$	\dots	R. de l'Isle, Haüy.
B	$\dots (\frac{5}{13}a : b : b)$	$\dots \frac{5}{13}P$	\dots	Tarassow.
ι	$\dots (\frac{1}{2}a : b : b)$	$\dots \frac{1}{2}P$	\dots	Haidinger.
κ	$\dots (\frac{3}{5}a : b : b)$	$\dots \frac{3}{5}P$	\dots	Zepharovich.
λ	$\dots (\frac{4}{5}a : b : b)$	$\dots \frac{4}{5}P$	\dots	Zepharovich.
N	$\dots (\frac{7}{8}a : b : b)$	$\dots \frac{7}{8}P$	\dots	Jeremejew.
c	$\dots (a : b : b)$	$\dots P$	\dots	R. de l'Isle, Haüy.
μ	$\dots (\frac{8}{5}a : b : b)$	$\dots \frac{8}{5}P$	\dots	Zepharovich.
k	$\dots (\frac{9}{5}a : b : b)$	$\dots \frac{9}{5}P$	\dots	Korn.
b	$\dots (2a : b : b)$	$\dots 2P$	\dots	Haidinger.
l	$\dots (3a : b : b)$	$\dots 3P$	\dots	R. de l'Isle, Weiss.
E	$\dots (4a : b : b)$	$\dots 4P$	\dots	Korn.
p	$\dots (5a : b : b)$	$\dots 5P$	\dots	Dana.

b) *der zweiten Art.*

v	$\dots (\frac{1}{2}a : b : \infty b)$	$\dots \frac{1}{2}P\infty$	\dots	Zepharovich.
L	$\dots (\frac{2}{3}a : b : \infty b)$	$\dots \frac{2}{3}P\infty$	\dots	Jeremejew.
o	$\dots (a : b : \infty b)$	$\dots P\infty$	\dots	R. de l'Isle.
ξ	$\dots (\frac{3}{2}a : b : \infty b)$	$\dots \frac{3}{2}P\infty$	\dots	Zepharovich.
u	$\dots (2a : b : \infty b)$	$\dots 2P\infty$	\dots	Haidinger (?).
π	$\dots (3a : b : \infty b)$	$\dots 3P\infty$	\dots	Zepharovich.

Ditetragonale Pyramiden.

s	$\dots (\frac{3}{4}a : b : \frac{5}{4}b)$	$\dots \frac{5}{4}P\frac{3}{4}$	\dots	Korn.
r	$\dots (6a : b : \frac{3}{2}b)$	$\dots 6P\frac{3}{2}$	\dots	Groth und Bücking.
e	$\dots (5a : b : \frac{3}{2}b)$	$\dots 5P\frac{3}{2}$	\dots	Groth und Bücking.
v	$\dots (a : b : \frac{7}{4}b)$	$\dots P\frac{7}{4}$	\dots	Zepharovich.
F	$\dots (13a : b : \frac{13}{7}b)$	$\dots 13P\frac{13}{7}$	\dots	Groth und Bücking.

n	$(a : b : 2b)$	$P2$	Zepharovich.
l	$(\frac{4}{3}a : b : 2b)$	$\frac{4}{3}P2$	Hessenberg.
z	$(2a : b : 2b)$	$2P2$	Haüy.
g	$(4a : b : 2b)$	$4P2$	Haidinger (?).
ω	$(a : b : \frac{7}{3}b)$	$P\frac{7}{3}$	Zepharovich.
q	$(\frac{8}{3}a : b : \frac{8}{3}b)$	$\frac{8}{3}P\frac{8}{3}$	Zepharovich.
ρ	$(\frac{4}{3}a : b : 3b)$	$\frac{4}{3}P3$	Zepharovich.
σ	$(\frac{2}{3}a : b : 3b)$	$\frac{2}{3}P3$	Zepharovich.
τ	$(\frac{2}{3}a : b : 3b)$	$\frac{2}{3}P3$	Zepharovich.
x	$(a : b : 3b)$	$P3$	Haidinger (?).
a	$(\frac{2}{3}a : b : 3b)$	$\frac{2}{3}P3$	Weiss.
s	$(3a : b : 3b)$	$3P3$	R. de l'Isle, Haüy.
m	$(\frac{64}{30}a : b : \frac{64}{30}b)$	$\frac{64}{30}P\frac{64}{30}$	Kokscharow.
y	$(4a : b : 4b)$	$4P4$	Haüy (?).
G	$(10a : b : 4b)$	$10P4$	Groth und Bücking.
R	$(\frac{17}{4}a : b : \frac{17}{4}b)$	$\frac{17}{4}P\frac{17}{4}$	Korn.
D	$(\frac{5}{2}a : b : 5b)$	$\frac{5}{2}P5$	Tarassow.
v	$(5a : b : 5b)$	$5P5$	G. Rose (?).
w	$(7a : b : 7b)$	$7P7$	Zepharovich.

Tetragonale Prismen.

a) der ersten Art.

d . . . $(\infty a : b : b)$. . . ∞P . . . R. de l'Isle, Haüy.

b) der zweiten Art.

M . . . $(\infty a : b : \infty b)$. . . $\infty P\infty$. . . R. de l'Isle, Haüy.

Ditetragonale Prismen.

φ . . . $(\infty a : b : \frac{5}{3}b)$. . . $\infty P\frac{5}{3}$. . . v. Zepharovich.

ψ . . . $(\infty a : b : \frac{7}{4}b)$. . . $\infty P\frac{7}{4}$. . . v. Zepharovich.

f . . . $(\infty a : b : 2b)$. . . $\infty P2$. . . R. de l'Isle, Haüy.

h . . . $(\infty a : b : 3b)$. . . $\infty P3$. . . Haidinger (?).

Wenn wir jetzt bezeichnen: 1) in jeder ditetragonalen Pyramide mP_n die normale Polkante = X, die diagonale Polkante = Y, die Mittelkante = Z, die Neigung der normalen Polkante gegen die Verticalaxe = α , die Neigung der diagonalen Polkante gegen die Verticalaxe = β und die Neigung der Mittelkante gegen die zu der normalen Polkante anliegenden Nebenaxe = γ , 2) in jeder tetragonalen Pyramide der ersten Art mP — die Polkante = X, die Mittelkante = Z, und in jeder tetragonalen Pyramide der zweiten Art mP_∞ — die Polkante = Y und die Mittelkante = Z, und endlich an beiden diesen letzten tetragonalen Pyramiden — die Neigung der Fläche gegen die Verticalaxe = i und die Neigung der Polkante gegen die Verticalaxe = r , so erhalten wir durch Rechnung, aus dem Axenverhältnisse

$$a : b : c = 0,537195 : 1 : 1,$$

welches ich für die russischen Krystalle abgeleitet habe *), für alle oben genannten Formen folgende Winkel:

Tetragonale Pyramiden der ersten Art.

$$\alpha = \frac{1}{20}P.$$

$$\begin{array}{ll} \frac{1}{2}X = 88^\circ 27' 43'' & X = 176^\circ 55' 26'' \\ \frac{1}{2}Z = 2 \ 10 \ 31 & Z = 4 \ 21 \ 2 \end{array}$$

$$\begin{array}{l} i = 87^\circ 49' 29'' \\ r = 88 \ 27 \ 41 \end{array}$$

$$\beta = \frac{1}{10}P.$$

$$\begin{array}{ll} \frac{1}{2}X = 86^\circ 55' 46'' & X = 173^\circ 51' 32'' \\ \frac{1}{2}Z = 4 \ 20 \ 40 & Z = 8 \ 41 \ 20 \end{array}$$

$$\begin{array}{l} i = 85^\circ 39' 20'' \\ r = 86 \ 55 \ 30 \end{array}$$

*) Materialien zur Mineralogie Russlands, 1853, Bd. I, S. 92.

$$\chi = \frac{1}{9}P.$$

$$\begin{array}{ll} \frac{1}{2}X = 86^{\circ} 35' 25'' & X = 173^{\circ} 10' 50'' \\ \frac{1}{2}Z = 4 49 30 & Z = 9 39 0 \end{array}$$

$$i = 85^{\circ} 10' 30''$$

$$r = 86 35 3$$

$$\gamma = \frac{1}{8}P.$$

$$\begin{array}{ll} \frac{1}{2}X = 86^{\circ} 10' 1'' & X = 172^{\circ} 20' 2'' \\ \frac{1}{2}Z = 5 25 30 & Z = 10 51 0 \end{array}$$

$$i = 84^{\circ} 34' 30''$$

$$r = 86 9 30$$

$$\delta = \frac{1}{7}P.$$

$$\begin{array}{ll} \frac{1}{2}X = 85^{\circ} 37' 28'' & X = 171^{\circ} 14' 56'' \\ \frac{1}{2}Z = 6 11 39 & Z = 12 23 18 \end{array}$$

$$i = 83^{\circ} 48' 21''$$

$$r = 85 36 42$$

$$\epsilon = \frac{1}{6}P.$$

$$\begin{array}{ll} \frac{1}{2}X = 84^{\circ} 54' 15'' & X = 169^{\circ} 48' 30'' \\ \frac{1}{2}Z = 7 12 59 & Z = 14 25 58 \end{array}$$

$$i = 82^{\circ} 47' 1''$$

$$r = 84 53 2$$

$$\zeta = \frac{1}{5}P.$$

$$\begin{array}{ll} \frac{1}{2}X = 83^{\circ} 54' 9'' & X = 167^{\circ} 48' 18'' \\ \frac{1}{2}Z = 8 38 22 & Z = 17 16 44 \end{array}$$

$$i = 81^{\circ} 21' 38''$$

$$r = 83 52 4$$

$$n = \frac{1}{4}P.$$

$$\begin{array}{ll} \frac{1}{2}X = 82^\circ 25' 6'' & X = 164^\circ 50' 12'' \\ \frac{1}{2}Z = 10 45 14 & Z = 21 30 28 \end{array}$$

$$i = 79^\circ 14' 46''$$

$$r = 82 21 4$$

$$i = \frac{1}{3}P.$$

$$\begin{array}{ll} \frac{1}{2}X = 80^\circ 0' 14'' & X = 160^\circ 0' 28'' \\ \frac{1}{2}Z = 14 12 38 & Z = 28 25 16 \end{array}$$

$$i = 75^\circ 47' 22''$$

$$r = 79 50 53$$

$$B = \frac{5}{13}P.$$

$$\begin{array}{ll} \frac{1}{2}X = 78^\circ 33' 40'' & X = 157^\circ 7' 20'' \\ \frac{1}{2}Z = 16 17 17 & Z = 32 34 34 \end{array}$$

$$i = 73^\circ 42' 43''$$

$$r = 78 19 34$$

$$t = \frac{1}{2}P.$$

$$\begin{array}{ll} \frac{1}{2}X = 75^\circ 27' 28'' & X = 150^\circ 54' 56'' \\ \frac{1}{2}Z = 20 47 58 & Z = 41 35 56 \end{array}$$

$$i = 69^\circ 12' 2''$$

$$r = 74 57 55$$

$$x = \frac{3}{8}P.$$

$$\begin{array}{ll} \frac{1}{2}X = 72^\circ 56' 43'' & X = 145^\circ 53' 26'' \\ \frac{1}{2}Z = 24 30 17 & Z = 49 0 34 \end{array}$$

$$i = 65^\circ 29' 43''$$

$$r = 72 8 6$$

$$\lambda = \frac{1}{5}P.$$

$$\begin{array}{ll} \frac{1}{2}X = 68^{\circ} 27' 15'' & X = 136^{\circ} 54' 30'' \\ \frac{1}{2}Z = 31 17 23 & Z = 62 34 46 \end{array}$$

$$i = 58^{\circ} 42' 37''$$

$$r = 66 44 39$$

$$N = \frac{7}{8}P.$$

$$\begin{array}{ll} \frac{1}{2}X = 66^{\circ} 57' 20'' & X = 133^{\circ} 54' 40'' \\ \frac{1}{2}Z = 33 36 50 & Z = 67 13 40 \end{array}$$

$$i = 56^{\circ} 23' 10''$$

$$r = 64 49 28$$

$$c = P.$$

$$\begin{array}{ll} \frac{1}{2}X = 64^{\circ} 40' 30'' & X = 129^{\circ} 21' 0'' \\ \frac{1}{2}Z = 37 13 27 & Z = 74 26 55 \end{array}$$

$$i = 52^{\circ} 46' 33''$$

$$r = 61 45 20$$

$$\mu = \frac{9}{5}P.$$

$$\begin{array}{ll} \frac{1}{2}X = 56^{\circ} 54' 9'' & X = 113^{\circ} 48' 18'' \\ \frac{1}{2}Z = 50 33 23 & Z = 101 6 46 \end{array}$$

$$i = 39^{\circ} 26' 37''$$

$$r = 49 19 14$$

$$k = \frac{9}{5}P.$$

$$\begin{array}{ll} \frac{1}{2}X = 55^{\circ} 11' 45'' & X = 110^{\circ} 23' 30'' \\ \frac{1}{2}Z = 53 49 23 & Z = 107 38 46 \end{array}$$

$$i = 36^{\circ} 10' 37''$$

$$r = 45 57 45$$

$b = 2P.$

$$\begin{aligned} \frac{1}{2}X &= 53^\circ 47' 46'' & X &= 107^\circ 35' 32'' \\ \frac{1}{2}Z &= 56 \ 38 \ 57 & Z &= 113 \ 17 \ 54 \\ i &= 33^\circ 21' 3'' \\ r &= 32 \ 46 \ 46 \end{aligned}$$

$l = 3P.$

$$\begin{aligned} \frac{1}{2}X &= 49^\circ 38' 43'' & X &= 99^\circ 17' 26'' \\ \frac{1}{2}Z &= 66 \ 18 \ 35 & Z &= 132 \ 37 \ 10 \\ i &= 23^\circ 41' 25'' \\ r &= 31 \ 49 \ 12 \end{aligned}$$

$E = 4P.$

$$\begin{aligned} \frac{1}{2}X &= 47^\circ 48' 13'' & X &= 95^\circ 36' 26'' \\ \frac{1}{2}Z &= 71 \ 47' \ 6 & Z &= 143 \ 34 \ 12 \\ i &= 18^\circ 12' 54'' \\ r &= 24 \ 57 \ 23 \end{aligned}$$

$p = 5P.$

$$\begin{aligned} \frac{1}{2}X &= 46^\circ 51' 29'' & X &= 93^\circ 42' 58'' \\ \frac{1}{2}Z &= 75 \ 15 \ 4 & Z &= 150 \ 30 \ 8 \\ i &= 14^\circ 44' 56'' \\ r &= 20 \ 25 \ 14 \end{aligned}$$

Tetragonale Pyramiden der zweiten Art.

$v = \frac{1}{2}P_\infty.$

$$\begin{aligned} \frac{1}{2}Y &= 79^\circ 25' 50'' & Y &= 158^\circ 51' 40'' \\ \frac{1}{2}Z &= 15 \ 2 \ 5 & Z &= 30 \ 4 \ 10 \\ i &= 74^\circ 57' 55'' \\ r &= 79 \ 14 \ 46 \end{aligned}$$

$$L = \frac{2}{3}P\infty.$$

$$\begin{array}{ll} \frac{1}{2}Y = 76^\circ 12' 27'' & Y = 152^\circ 24' 54'' \\ \frac{1}{3}Z = 19 \ 42 \ 14 & Z = 39 \ 24 \ 28 \end{array}$$

$$i = 70^\circ 17' 46''$$

$$r = 75 \ 47 \ 22$$

$$o = P\infty.$$

$$\begin{array}{ll} \frac{1}{2}Y = 70^\circ 27' \ 0'' & Y = 140^\circ 54' \ 0'' \\ \frac{1}{3}Z = 28 \ 14 \ 40 & Z = 56 \ 29 \ 20 \end{array}$$

$$i = 61^\circ 45' 20''$$

$$r = 69 \ 12 \ 2$$

$$\xi = \frac{3}{2}P\infty.$$

$$\begin{array}{ll} \frac{1}{2}Y = 63^\circ 39' 43'' & Y = 127^\circ 19' 26'' \\ \frac{1}{3}Z = 38 \ 51 \ 42 & Z = 77 \ 13 \ 24 \end{array}$$

$$i = 51^\circ 8' 18''$$

$$r = 60 \ 19 \ 35$$

$$u = 2P\infty.$$

$$\begin{array}{ll} \frac{1}{2}Y = 58^\circ 49' 43'' & Y = 117^\circ 39' 26'' \\ \frac{1}{3}Z = 47 \ 3 \ 14 & Z = 94 \ 6 \ 28 \end{array}$$

$$i = 42^\circ 56' 46''$$

$$r = 52 \ 46 \ 32$$

$$\pi = 3P\infty.$$

$$\begin{array}{ll} \frac{1}{2}Y = 53^\circ 4' 13'' & Y = 106^\circ 8' 26'' \\ \frac{1}{3}Z = 58 \ 10 \ 48 & Z = 116 \ 21 \ 36 \end{array}$$

$$i = 31^\circ 49' 12''$$

$$r = 41 \ 16 \ 5$$

Ditetragonale Pyramiden.

$$s = \frac{5}{4}P\frac{5}{4}.$$

$$\begin{array}{ll} \frac{1}{2}X = 65^\circ 57' 51'' & X = 131^\circ 55' 42'' \\ \frac{1}{2}Y = 85 \ 52 \ 15 & Y = 171 \ 44 \ 30 \\ \frac{1}{2}Z = 40 \ 41 \ 35 & Z = 81 \ 23 \ 10 \end{array}$$

$$\alpha = 56^\circ 7' 8''$$

$$\beta = 49 \ 28 \ 49$$

$$\gamma = 51 \ 20 \ 25$$

$$r = 6P\frac{3}{2}.$$

$$\begin{array}{ll} \frac{1}{2}X = 57^\circ 30' 50'' & X = 115^\circ 1' 40'' \\ \frac{1}{2}Y = 79 \ 3 \ 13 & Y = 158 \ 6 \ 26 \\ \frac{1}{2}Z = 75 \ 31 \ 31 & Z = 151 \ 3 \ 2 \end{array}$$

$$\alpha = 17^\circ 14' 12''$$

$$\beta = 14 \ 44 \ 56$$

$$\gamma = 56 \ 18 \ 36$$

$$e = 5P\frac{5}{3}.$$

$$\begin{array}{ll} \frac{1}{2}X = 60^\circ 39' 4'' & X = 121^\circ 18' 8'' \\ \frac{1}{2}Y = 76 \ 38 \ 28 & Y = 153 \ 16 \ 56 \\ \frac{1}{2}Z = 72 \ 17 \ 40 & Z = 144 \ 35 \ 20 \end{array}$$

$$\alpha = 20^\circ 25' 14''$$

$$\beta = 18 \ 12 \ 54$$

$$\gamma = 59 \ 2 \ 10$$

$$v = P\frac{7}{4}.$$

$$\begin{array}{ll} \frac{1}{2}X = 74^\circ 52' 5'' & X = 149^\circ 44' 10'' \\ \frac{1}{2}Y = 82 \ 2 \ 33 & Y = 164 \ 5 \ 6 \\ \frac{1}{2}Z = 31 \ 44 \ 46 & Z = 63 \ 29 \ 32 \end{array}$$

$$\alpha = 61^\circ 45' 20''$$

$$\beta = 59 \ 9 \ 59$$

$$\gamma = 60 \ 15 \ 18$$

$$F = 13P\frac{1}{7}.$$

$$\begin{array}{ll} \frac{1}{2}X = 61^\circ 56' 29'' & X = 123^\circ 52' 58'' \\ \frac{1}{3}Y = 73 \ 26 \ 9 & Y = 146 \ 52 \ 18 \\ \frac{1}{4}Z = 82 \ 48 \ 51 & Z = 165 \ 37 \ 42 \end{array}$$

$$\alpha = 8^\circ 8' 56''$$

$$\beta = 7 \ 29 \ 55$$

$$\gamma = 61 \ 41 \ 57$$

$$n = P2.$$

$$\begin{array}{ll} \frac{1}{2}X = 76^\circ 41' 15'' & X = 153^\circ 22' 30'' \\ \frac{1}{3}Y = 80 \ 37 \ 46 & Y = 161 \ 15 \ 32 \\ \frac{1}{4}Z = 30 \ 59 \ 19 & Z = 61 \ 58 \ 38 \end{array}$$

$$\alpha = 61^\circ 45' 20''$$

$$\beta = 60 \ 19 \ 35$$

$$\gamma = 63 \ 26 \ 6$$

$$l = \frac{4}{3}P2.$$

$$\begin{array}{ll} \frac{1}{2}X = 73^\circ 46' 2'' & X = 147^\circ 32' 4'' \\ \frac{1}{3}Y = 78 \ 35 \ 58 & Y = 175 \ 11 \ 56 \\ \frac{1}{4}Z = 38 \ 41 \ 18 & Z = 77 \ 22 \ 36 \end{array}$$

$$\alpha = 54^\circ 23' 15''$$

$$\beta = 52 \ 46 \ 33$$

$$\gamma = 63 \ 26 \ 6$$

$$z = 2P2.$$

$$\begin{array}{ll} \frac{1}{2}X = 69^\circ 53' 51'' & X = 139^\circ 47' 42'' \\ \frac{1}{3}Y = 75 \ 56 \ 4 & Y = 151 \ 52 \ 8 \\ \frac{1}{4}Z = 50 \ 13 \ 22 & Z = 100 \ 26 \ 44 \end{array}$$

$$\alpha = 42^\circ 56' 46''$$

$$\beta = 41 \ 16 \ 4$$

$$\gamma = 63 \ 26 \ 6$$

$$g = 4P2.$$

$$\begin{array}{ll} \frac{1}{2}X = 65^\circ 36' 52'' & X = 131^\circ 13' 44'' \\ \frac{1}{2}Y = 73 \quad 1 \quad 32 & Y = 146 \quad 3 \quad 4 \\ \frac{1}{2}Z = 67 \quad 24 \quad 2 & Z = 134 \quad 48 \quad 4 \end{array}$$

$$\alpha = 24^\circ 47' 23''$$

$$\beta = 23 \quad 41 \quad 25$$

$$\gamma = 63 \quad 26 \quad 6$$

$$\omega = P\frac{7}{3}.$$

$$\begin{array}{ll} \frac{1}{2}X = 78^\circ 32' 6'' & X = 157^\circ 4' 12'' \\ \frac{1}{2}Y = 79 \quad 11 \quad 56 & Y = 158 \quad 23 \quad 52 \\ \frac{1}{2}Z = 30 \quad 18 \quad 14 & Z = 60 \quad 36 \quad 28 \end{array}$$

$$\alpha = 61^\circ 45' 20''$$

$$\beta = 61 \quad 30 \quad 49$$

$$\gamma = 66 \quad 48 \quad 5$$

$$q = \frac{2}{3}P\frac{8}{3}.$$

$$\begin{array}{ll} \frac{1}{2}X = 72^\circ 54' 28'' & X = 145^\circ 48' 56'' \\ \frac{1}{2}Y = 69 \quad 44 \quad 3 & Y = 139 \quad 28 \quad 6 \\ \frac{1}{2}Z = 56 \quad 49 \quad 50 & Z = 113 \quad 39 \quad 40 \end{array}$$

$$\alpha = 34^\circ 55' 4''$$

$$\beta = 35 \quad 40 \quad 39$$

$$\gamma = 69 \quad 26 \quad 38$$

$$\rho = \frac{1}{3}P3.$$

$$\begin{array}{ll} \frac{1}{2}X = 86^\circ 38' 15'' & X = 173^\circ 16' 30'' \\ \frac{1}{2}Y = 85 \quad 14 \quad 31 & Y = 170 \quad 29 \quad 2 \\ \frac{1}{2}Z = 10 \quad 41 \quad 17 & Z = 21 \quad 22 \quad 34 \end{array}$$

$$\alpha = 79^\circ 50' 53''$$

$$\beta = 80 \quad 25 \quad 3$$

$$\gamma = 71 \quad 33 \quad 54$$

$$\sigma = \frac{2}{5}P3.$$

$$\begin{array}{ll} \frac{1}{2}X = 81^\circ 9' 41'' & X = 168^\circ 19' 22'' \\ \frac{1}{2}Y = 81 43 42 & Y = 163 27 24 \\ \frac{1}{2}Z = 18 45 55 & Z = 37 31 50 \end{array}$$

$$\alpha = 72^\circ 8' 6''$$

$$\beta = 73 5 49$$

$$\gamma = 71 33 54$$

$$\tau = \frac{2}{3}P3.$$

$$\begin{array}{ll} \frac{1}{2}X = 83^\circ 35' 16'' & X = 167^\circ 10' 32'' \\ \frac{1}{2}Y = 80 54 45 & Y = 161 49 30 \\ \frac{1}{2}Z = 20 41 1 & Z = 41 22 2 \end{array}$$

$$\alpha = 70^\circ 17' 46''$$

$$\beta = 71 20 34$$

$$\gamma = 71 33 54$$

$$x = P3.$$

$$\begin{array}{ll} \frac{1}{2}X = 81^\circ 2' 9'' & X = 162^\circ 4' 18'' \\ \frac{1}{2}Y = 77 16 12 & Y = 154 32 24 \\ \frac{1}{2}Z = 29 31 17 & Z = 59 2 34 \end{array}$$

$$\alpha = 61^\circ 45' 20''$$

$$\beta = 63 8 24$$

$$\gamma = 71 33 54$$

$$a = \frac{2}{3}P3.$$

$$\begin{array}{ll} \frac{1}{2}X = 78^\circ 11' 13'' & X = 156^\circ 22' 26'' \\ \frac{1}{2}Y = 73 10 16 & Y = 146 20 32 \\ \frac{1}{2}Z = 40 20 37 & Z = 80 41 14 \end{array}$$

$$\alpha = 51^\circ 8' 18''$$

$$\beta = 52 46 33$$

$$\gamma = 71 33 54$$

$s = 3P3.$

$$\begin{array}{ll} \frac{1}{2}X = 74^\circ 11' 10'' & X = 148^\circ 22' 20'' \\ \frac{1}{2}Y = 67 \ 19 \ 55 & Y = 134 \ 39 \ 50 \\ \frac{1}{2}Z = 59 \ 30 \ 59 & Z = 119 \ 1 \ 58 \end{array}$$

$$\alpha = 31^\circ 49' 12''$$

$$\beta = 33 \ 21 \ 3$$

$$\gamma = 71 \ 33 \ 54$$

$$m = \frac{61P61}{2020}.$$

$$\begin{array}{ll} \frac{1}{2}X = 74^\circ 21' 55'' & X = 148^\circ 43' 50'' \\ \frac{1}{2}Y = 67 \ 0 \ 15 & Y = 134 \ 0 \ 30 \\ \frac{1}{2}Z = 59 \ 53 \ 17 & Z = 119 \ 46 \ 34 \end{array}$$

$$\alpha = 31^\circ 23' 50''$$

$$\beta = 33 \ 1 \ 29$$

$$\gamma = 71 \ 50 \ 50$$

$y = 4P4.$

$$\begin{array}{ll} \frac{1}{2}X = 77^\circ 13' 45'' & X = 154^\circ 27' 30'' \\ \frac{1}{2}Y = 62 \ 2 \ 9 & Y = 124 \ 4 \ 18 \\ \frac{1}{2}Z = 65 \ 42 \ 6 & Z = 131 \ 24 \ 12 \end{array}$$

$$\alpha = 24^\circ 57' 23''$$

$$\beta = 27 \ 46 \ 3$$

$$\gamma = 75 \ 57 \ 50$$

$G = 10P4.$

$$\begin{array}{ll} \frac{1}{2}X = 76^\circ 11' 30'' & X = 152^\circ 23' \ 0'' \\ \frac{1}{2}Y = 59 \ 34 \ 55 & Y = 119 \ 9 \ 50 \\ \frac{1}{2}Z = 79 \ 45 \ 47 & Z = 159 \ 31 \ 34 \end{array}$$

$$\alpha = 10^\circ 32' 42''$$

$$\beta = 11 \ 53 \ 35$$

$$\gamma = 75 \ 57 \ 50$$

$$R = \frac{17}{4}P\frac{7}{4}.$$

$$\begin{array}{ll} \frac{1}{2}X = 77^\circ 50' 14'' & X = 155^\circ 40' 28'' \\ \frac{1}{2}Y = 61 \quad 2 \quad 27 & Y = 122 \quad 4 \quad 54 \\ \frac{1}{2}Z = 66 \quad 54 \quad 30 & Z = 133 \quad 49 \quad 0 \end{array}$$

$$\alpha = 23^\circ 39' 13''$$

$$\beta = 26 \quad 37 \quad 53$$

$$\gamma = 76 \quad 45 \quad 34$$

$$D = \frac{5}{2}P5.$$

$$\begin{array}{ll} \frac{1}{2}X = 80^\circ 53' 12'' & X = 161^\circ 46' 24'' \\ \frac{1}{2}Y = 63 \quad 23 \quad 7 & Y = 126 \quad 46 \quad 14 \\ \frac{1}{2}Z = 53 \quad 51 \quad 51 & Z = 107 \quad 43 \quad 48 \end{array}$$

$$\alpha = 36^\circ 40' 18''$$

$$\beta = 41 \quad 16 \quad 4$$

$$\gamma = 78 \quad 41 \quad 24$$

$$r = 5P5.$$

$$\begin{array}{ll} \frac{1}{2}X = 79^\circ 23' 3'' & X = 158^\circ 46' 6'' \\ \frac{1}{2}Y = 58 \quad 35 \quad 48 & Y = 117 \quad 11 \quad 36 \\ \frac{1}{2}Z = 69 \quad 56 \quad 39 & Z = 139 \quad 53 \quad 18 \end{array}$$

$$\alpha = 20^\circ 25' 14''$$

$$\beta = 23 \quad 41 \quad 25$$

$$\gamma = 78 \quad 41 \quad 24$$

$$w = 7P7.$$

$$\begin{array}{ll} \frac{1}{2}X = 82^\circ 8' 22'' & X = 164^\circ 16' 44'' \\ \frac{1}{2}Y = 54 \quad 32 \quad 0 & Y = 109 \quad 4 \quad 0 \\ \frac{1}{2}Z = 75 \quad 15 \quad 4 & Z = 150 \quad 30 \quad 8 \end{array}$$

$$\alpha = 14^\circ 53' 32''$$

$$\beta = 18 \quad 12 \quad 54$$

$$\gamma = 81 \quad 52 \quad 12$$

Ditetragonale Prismen.

$$\varphi = \infty P \frac{5}{3}.$$

$$\begin{array}{ll} \frac{1}{2}X = 59^\circ 2' 10'' & X = 118^\circ 4' 20'' \\ \frac{1}{2}Y = 75 \ 57 \ 50 & Y = 151 \ 55 \ 40 \end{array}$$

$$\psi = \infty P \frac{7}{4}.$$

$$\begin{array}{ll} \frac{1}{2}X = 60^\circ 15' 18'' & X = 120^\circ 30' 36'' \\ \frac{1}{2}Y = 74 \ 44 \ 42 & Y = 149 \ 29 \ 24 \end{array}$$

$$f = \infty P 2.$$

$$\begin{array}{ll} \frac{1}{2}X = 63^\circ 26' 6'' & X = 126^\circ 52' 12'' \\ \frac{1}{2}Y = 71 \ 33 \ 54 & Y = 143 \ 7 \ 48 \end{array}$$

$$h = \infty P 3.$$

$$\begin{array}{ll} \frac{1}{2}X = 71^\circ 33' 54'' & X = 143^\circ 7' 48'' \\ \frac{1}{2}Y = 63 \ 26 \ 6 & Y = 126 \ 52 \ 12 \end{array}$$

Die nachstehende Tabelle enthält die Winkel, welche ich für die russischen Krystalle aus meinem Axenverhältnisse berechnet habe und die, welche v. Zepharovich seinerseits für die *grünen Mussa-Krystalle* berechnet hat.

Kante.	v. Kokscharow aus a:b:b = 0,537195:1:1 berechnet. (Russische Krystalle).	v. Zepharovich aus a:b:b = 0,537541:1:1 berechnet. (Grüne Mussa-Krystalle).
$c : P$	= 142° 46' 33''	142° 45' 29''
$c : d$ anliegende }	= 127 13 27	127 14 31
$c : M$ anliegende }	= 115 19 30	115 20 10
$c : c$ Polkante }	= 129 21 0	129 19 40

Kante.	v. Kokscharow aus a:b:b = 0,537195:1:1 berechnet. (Russische Krystalle).	v. Zepharovich aus a:b:b = 0,537541:1:1 berechnet. (Grüne Musca-Krystalle).
$c : c$ an der Spitze } =	105° 33' 5"	105° 30' 58"
$\alpha : P$	= 177 49 29	177 49 23
$\alpha : c$ anliegende } =	144 57 4	144 56 6
$\alpha : d$ anliegende } =	92 10 31	92 10 37
$\alpha : \alpha$ Polkante } =	176 55 26	176 55 19
$\beta : P$	= 175 39 20	175 39 10
$\beta : c$ anliegende } =	147 7 13	147 6 19
$\beta : d$ anliegende } =	94 20 40	94 20 50
$\beta : \beta$ Polkante } =	173 51 32	173 51 18
$\chi : P$	= 175 10 30	175 10 19
$\chi : c$ anliegende } =	147 36 3	147 35 10
$\chi : d$ anliegende } =	94 49 30	94 49 41
$\chi : \chi$ Polkante } =	173 10 50	173 10 35
$\gamma : P$	= 174 34 30	174 34 18
$\gamma : c$ anliegende } =	148 12 3	148 11 11
$\gamma : d$ anliegende } =	95 25 30	95 25 42
$\gamma : \gamma$ Polkante } =	172 20 2	172 19 44
$\delta : P$	= 173 48 21	173 48 7
$\delta : c$ anliegende } =	148 58 12	148 57 22

Kante.	v. Kokscharow aus a:b:b = 0,537195:1:1 berechnet. (Russische Krystalle).	v. Zepharovich aus a:b:b = 0,537541:1:1 berechnet. (Grüne Mussa-Krystalle).
$\delta : d$ anliegende } =	96° 11' 39''	96° 11' 53''
$\delta : \delta$ Polkante } =	171 14 56	171 14 35
$\varepsilon : P$	= 172 47 1	172 46 45
$\varepsilon : c$ anliegende } =	149 59 32	149 58 44
$\varepsilon : d$ anliegende } =	97 12 59	97 13 15
$\varepsilon : \varepsilon$ Polkante } =	169 48 30	169 48 6
$\zeta : P$	= 171 21 38	171 21 18
$\zeta : c$ anliegende } =	151 24 55	151 24 11
$\zeta : d$ anliegende } =	98 38 22	98 38 42
$\zeta : \zeta$ Polkante } =	167 48 18	167 47 50
$\eta : P$	= 169 14 46	169 14 21
$\eta : c$ anliegende } =	153 31 47	153 31 8
$\eta : d$ anliegende } =	100 45 14	100 45 39
$\eta : \eta$ Polkante } =	164 50 12	164 49 37
$i : P$	= 165 47 22	165 46 50
$i : c$ anliegende } =	156 59 11	156 58 39
$i : d$ anliegende } =	104 12 38	104 13 10
$i : M$ anliegende } =	99 59 46	100 0 1
$i : i$ Polkante } =	160 0 28	159 59 42

Kante.	v. Kōkscharow aus a:b:b = 0,537195:1:1 berechnet. (Russische Krystalle).	v. Zepharovich aus a:b:b = 0,537541:1:1 berechnet. (Grüne Mussa-Krystalle).
B : B	= 163° 12' 43''	—
B : c anliegende }	= 159 3 50	—
B : d anliegende }	= 106 17 17	—
B : M anliegende }	= 101 26 20	—
B : B Polkante }	= 157 7 20	—
ι : P anliegende }	= 159 12 2	159° 11' 18''
ι : c anliegende }	= 163 34 31	163 34 11
ι : d anliegende }	= 110 47 58	110 48 42
ι : M anliegende }	= 104 32 32	104 33 2
ι : ι Polkante }	= 150 54 56	150 53 56
κ : P	= 155 29 43	155 28 53
κ : c anliegende }	= 167 16 50	167 16 36
κ : d anliegende }	= 114 30 17	114 31 7
κ : κ Polkante }	= 145 53 26	145 52 18
λ : P	= 148 42 37	148 41 38
λ : c anliegende }	= 174 3 56	174 3 51
λ : d anliegende }	= 121 17 23	121 18 22
λ : λ Polkante }	= 136 54 30	136 53 13

Kante.	v. Kokscharow aus a : b : c = 0,537195 : 1 : 1 berechnet. (Russische Krystalle.)	v. Zepharovich aus a : b : c = 0,537541 : 1 : 1 berechnet. (Grüne Mussa-Krystalle.)
<i>N</i> : <i>P</i>	= 146° 23' 10''	—
<i>N</i> : <i>c</i> anliegende }	= 176 23 23	—
<i>N</i> : <i>d</i> anliegende }	= 123 36 50	—
<i>N</i> : <i>M</i> anliegende }	= 113 2 40	—
<i>N</i> : <i>N</i> Polkante }	= 133 54 40	—
μ : <i>P</i>	= 129 26 37	129° 25' 32''
μ : <i>c</i> anliegende }	= 166 40 4	166 40 3
μ : <i>d</i> anliegende }	= 140 33 23	140 34 28
μ : <i>M</i> anliegende }	= 123 5 51	123 6 25
μ : μ Polkante }	= 113 48 18	113 47 9
<i>k</i> : <i>P</i>	= 126 10 37	—
<i>k</i> : <i>c</i> anliegende }	= 163 24 4	—
<i>k</i> : <i>d</i> anliegende }	= 143 49 23	—
<i>k</i> : <i>M</i> anliegende }	= 124 48 15	—
<i>k</i> : <i>k</i> Polkante }	= 110 23 30	—
<i>b</i> : <i>P</i>	= 123 21 3	123 20 2
<i>b</i> : <i>c</i> anliegende }	= 160 34 30	160 34 33
<i>b</i> : <i>d</i> anliegende }	= 146 38 57	146 39 58

Kante.	v. Kokscharow aus a:b:b = 0,587195:1:1 berechnet. (Russische Krystalle.)	v. Zepharovich aus a:b:b = 0,587541:1:1 berechnet. (Grüne Mussa-Krystalle.)
<i>b</i> : <i>M</i> anliegende	} = 126° 12' 14''	126° 12' 43''
<i>b</i> : <i>b</i> Polkante		
<i>t</i> : <i>P</i>	= 113 41 25	113 40 36
<i>t</i> : <i>c</i> anliegende	} = 150 54 52	150 55 7
<i>t</i> : <i>b</i> anliegende		
<i>t</i> : <i>d</i> anliegende	} = 156 18 35	156 19 24
<i>t</i> : <i>M</i> anliegende		
<i>t</i> : <i>t</i> Polkante	} = 99 17 26	99 16 49
<i>E</i> : <i>P</i>		
<i>E</i> : <i>c</i> anliegende	} = 145 26 21	—
<i>E</i> : <i>d</i> anliegende		
<i>E</i> : <i>M</i> anliegende	} = 132 11 47	—
<i>E</i> : <i>E</i> Polkante		
<i>p</i> : <i>P</i>	= 104 44 56	—
<i>p</i> : <i>c</i> anliegende	} = 141 58 23	—
<i>p</i> : <i>d</i> anliegende		
<i>p</i> : <i>M</i> anliegende	} = 133 8 31	—
<i>p</i> : <i>p</i> Polkante		

Kante.	v. Kokscharow aus a:b:b = 0,537195:1:1 berechnet. (Russische Krystalle.)	v. Zepharovich aus a:b:b = 0,537541:1:1 berechnet. (Grüne Mussa-Krystalle.)
<i>o</i> : <i>P</i>	= 151° 45' 20''	151° 44' 24''
<i>o</i> : <i>M</i> anliegende }	= 118 14 40	118 15 36
<i>o</i> : <i>d</i> anliegende }	= 109 33 0	109 33 36
<i>o</i> : <i>o</i> Polkante }	= 140 54 0	140 52 47
<i>o</i> : <i>c</i> anliegende }	= 154 40 30	154 39 50
<i>v</i> : <i>P</i>	= 164 57 55	164 57 22
<i>v</i> : <i>o</i> anliegende }	= 166 47 25	166 47 2
<i>v</i> : <i>M</i> anliegende }	= 105 2 5	105 2 38
<i>v</i> : <i>v</i> Polkante }	= 158 51 40	158 50 54
<i>v</i> : <i>c</i> anliegende }	= 165 27 28	165 26 58
<i>L</i> : <i>P</i>	= 160 17 46	—
<i>L</i> : <i>M</i> anliegende }	= 109 42 14	—
<i>L</i> : <i>o</i> anliegende }	= 171 27 34	—
<i>L</i> : <i>L</i> anliegende }	= 152 24 54	—
<i>ξ</i> : <i>P</i>	= 144 8 18	144 7 13
<i>ξ</i> : <i>o</i> anliegende }	= 169 22 58	169 22 49
<i>ξ</i> : <i>M</i> anliegende }	= 128 51 42	128 52 47
<i>ξ</i> : <i>ξ</i> Polkante }	= 127 19 26	127 18 5
<i>u</i> : <i>P</i>	= 132 56 46	132 55 40

Kante.	v. Kokscharow aus a:b:b = 0,537195:1:1 berechnet. (Russische Krystalle.)	v. Zepharovich aus a:b:b = 0,537541:1:1 berechnet. (Grüne Mussa-Krystalle.)
$u : o$ anliegende } =	161° 11' 26''	161° 11' 16''
$u : M$ anliegende } =	137 3 14	137 4 20
$u : u$ Polkante } =	117 39 26	117 38 12
$u : c$ anliegende } =	148 49 43	148 49 6
$\pi : P$	= 121 49 12	121 48 12
$\pi : o$ anliegende } =	150 3 52	150 3 48
$\pi : M$ anliegende } =	148 10 48	148 11 48
$\pi : \pi$ Polkante } =	106 8 26	106 7 30
—		
$\vartheta : P$	= 139° 18' 25''	—
$\vartheta : \vartheta$ Norm. Polk. } =	131 55 42	—
$\vartheta : \vartheta$ Diag. Polk. } =	171 44 30	—
$\vartheta : M$ nicht anliegende } =	114 2 9	—
$r : P$	= 104 28 29	—
$r : r$ Norm. Polk. } =	115 1 40	—
$r : r$ Diag. Polk. } =	158 6 26	—
$r : M$ nicht anliegende } =	122 29 10	—
$e : P$	= 107 42 20	—

Kante.	v. Kokscharow aus a:b:b = 0,537195:1:1 berechnet. (Russische Krystalle.)	v. Zepharovich aus a:b:b = 0,537541:1:1 berechnet. (Grüne Mussa-Krystalle.)
<i>e</i> : <i>e</i> } Norm. Polk.	= 121° 18' 8"	—
<i>e</i> : <i>e</i> } Diag. Polk.	= 153 16 56	—
<i>v</i> : <i>P</i>	= 148 15 14	148° 14' 16"
<i>v</i> : <i>M</i> } anliegende 747 : 100	= 117 10 56	117 11 46
<i>v</i> : <i>M</i> } nicht anliegende 747 : 010	= 105 7 55	105 8 21
<i>v</i> : <i>v</i> } Norm. Polk.	= 149 44 10	149 43 18
<i>v</i> : <i>v</i> } Diag. Polk.	= 164 5 6	164 4 40
<i>v</i> : <i>c</i> } anliegende	= 169 48 25	169 48 1
<i>F</i> : <i>P</i>	= 97 11 9	—
<i>F</i> : <i>F</i> } Norm. Polk.	= 123 52 58	—
<i>F</i> : <i>F</i> } Diag. Polk.	= 146 52 18	—
<i>n</i> : <i>P</i>	= 149 0 41	148 59 40
<i>n</i> : <i>M</i> } anliegende 212 : 100	= 117 25 14	117 26 5
<i>n</i> : <i>M</i> } nicht anliegende 212 : 010	= 103 18 45	103 19 9
<i>n</i> : <i>f</i> } anliegende	= 120 59 19	121 0 20
<i>n</i> : <i>n</i> } Norm. Polk.	= 153 22 30	153 21 42
<i>n</i> : <i>n</i> } Diag. Polk.	= 161 15 32	161 15 0

Kante.	v. Kokscharow aus a:b:b = 0,537195:1:1 berechnet. (Russische Krystalle.)	v. Zepharovich aus a:b:b = 0,537541:1:1 berechnet. (Grüne Mussa-Krystalle.)
<i>n</i> : <i>c</i> anliegende } =	167° 59' 15''	167° 58' 59''
<i>n</i> : <i>t</i> anliegende } =	167 7 18	167 6 57
<i>l</i> : <i>P</i> =	141 18 42	141 17 39
<i>l</i> : <i>M</i> anliegende } =	123 59 33	124 0 28
423 : 100		
nicht anliegende } =	106 13 58	106 14 22
423 : 010		
<i>l</i> : <i>f</i> anliegende } =	128 41 18	128 42 21
<i>l</i> : <i>l</i> Norm. Polk. } =	147 32 4	147 31 16
<i>l</i> : <i>l</i> Diag. Polk. } =	157 11 56	157 11 23
<i>l</i> : <i>c</i> anliegende } =	168 35 58	168 35 42
<i>l</i> : <i>n</i> anliegende } =	172 18 1	172 17 59
<i>z</i> : <i>P</i> =	129 46 38	129 45 33
<i>z</i> : <i>M</i> anliegende } =	133 25 29	133 26 20
211 : 100		
nicht anliegende } =	110 6 9	110 6 29
211 : 010		
<i>z</i> : <i>f</i> anliegende } =	140 13 22	140 14 27
<i>z</i> : <i>d</i> anliegende } =	136 48 40	136 49 37
<i>z</i> : <i>z</i> Norm. Polk. } =	139 47 42	139 47 3
<i>z</i> : <i>z</i> Diagon. Polk. } =	151 52 8	151 51 40

Kante.	v. Kokscharow aus a : b : c = 0,537195 : 1 : 1 berechnet. (Russische Krystalle.)	v. Zepharovich aus a : b : c = 0,537541 : 1 : 1 berechnet. (Grüne Mussa-Krystalle.)
z : c anliegende } = 161° 54' 1" 161° 53' 50"		
z : o anliegende } = 152 44 20 — 211 : 101		
z : o nicht anliegende } = 136 34 30 136 33 40 211 : 011		
z : n anliegende } = 160 45 57 160 45 53		
z : l anliegende } = 168 27 56 168 27 54		
g : P = 112 35 58 112 35 11		
g : M anliegende } = 145 39 51 145 40 20 421 : 100		
g : M nicht anliegende } = 114 23 8 114 23 16 421 : 010		
g : f anliegende } = 157 24 2 157 24 49		
g : d anliegende } = 151 8 39 151 9 15		
g : g Norm. Polk. } = 131 13 44 131 13 27		
g : g Diagon. Polk. } = 146 3 4 146 2 52		
g : b anliegende } = 160 32 23 160 32 23		
g : l anliegende } = 163 1 32 163 1 26		
g : u anliegende } = 150 1 37 — 421 : 201		
g : u nicht anliegende } = 124 20 9 124 19 40 421 : 021		

Kante.	v. Kokscharow aus a:b:b = 0,587195:1:1 berechnet. (Russische Krystalle.)	v. Zepharovich aus a:b:b = 0,537541:1:1 berechnet. (Grüne Mussa-Krystalle.)
$g : z$ anliegende 421 : 211	} = 162° 49' 20''	162° 49' 38''
$g : z$ nicht anliegende 421 : 121		
$\omega : P$	= 149 41 16	149 40 47
$\omega : M$ anliegende 737 : 100	} = 117 37 55	117 38 17
$\omega : M$ nicht anliegende 737 : 010		
$\omega : \omega$ Norm. Polk.	} = 157 4 12	157 3 32
$\omega : \omega$ Diagon. Polk.		
$\omega : c$ anliegende	} = 166 8 24	166 8 4
$\omega : i$ anliegende		
$\omega : o$ anliegende	} = 168 32 6	168 31 46
$\omega : n$ anliegende		
$q : P$	= 123 10 10	123 9 10
$q : M$ anliegende 833 : 100	} = 141 36 22	141 37 12
$q : M$ nicht anliegende 833 : 010		
$q : q$ Norm. Polk.	} = 145 48 56	145 48 32
$q : q$ Diagon. Polk.		
	= 139 28 6	139 27 38

Kante.	v. Kokscharow aus a:b:c = 0,537195:1:1 berechnet. (Russische Krystalle.)	v. Zopharovich aus a:b:c = 0,537541:1:1 berechnet. (Grüne Mussa-Krystalle.)
$q : c$ anliegende } =	153° 43' 8''	153° 42' 58''
$q : o$ anliegende } =	148 31 34	—
$q : o$ nicht anliegende } =	128 23 40	128 22 48
$q : z$ anliegende } =	171 49 8	171 49 8
$\rho : P$	= 169 18 43	169 18 16
$\rho : M$ anliegende } =	100 8 3	100 8 26
$\rho : M$ nicht anliegende } =	93 21 45	93 21 52
$\rho : h$ anliegende } =	100 41 17	100 41 44
$\rho : \rho$ Norm. Polk. } =	173 16 30	173 16 16
$\rho : \rho$ Diagon. Polk. } =	170 29 2	170 28 42
$\sigma : P$	= 161 14 5	161 13 24
$\sigma : M$ anliegende } =	107 46 9	107 46 48
$\sigma : M$ nicht anliegende } =	95 50 19	95 50 32
$\sigma : h$ anliegende } =	108 45 55	108 46 36
$\sigma : \sigma$ Norm. Polk. } =	168 19 22	168 18 56
$\sigma : \sigma$ Diagon. Polk. } =	163 27 24	163 26 50

Kante.	v. Kokscharow aus a:b:b = 0,587195:1:1 berechnet. (Russische Krystalle.)	v. Zepharovich aus a:b:b = 0,537541:1:1 berechnet. (Grüne Mussa-Krystalle.)
$\tau : P$	= 159° 18' 59''	159° 18' 22''
$\tau : M$ anliegende 629 : 100	} = 109 34 32	109 35 14
nicht anliegende $\tau : M$ 629 : 010	} = 96 24 44	96 24 58
$\tau : h$ anliegende	} = 110 41 1	110 41 38
$\tau : \tau$ Norm. Polk.	} = 167 10 32	167 10 4
$\tau : \tau$ Diagon. Polk.	} = 161 49 30	161 48 52
$x : P$	= 150 28 43	150 27 48
$x : M$ anliegende 313 : 100	} = 117 52 9	117 53 2
nicht anliegende $x : M$ 313 : 010	} = 98 57 51	98 58 7
$x : h$ anliegende	} = 119 31 17	119 32 12
$x : x$ Norm. Polk.	} = 162 4 18	162 3 46
$x : x$ Diagon. Polk.	} = 154 32 24	154 31 36
$x : c$ anliegende	} = 163 38 21	163 37 57
$x : i$ anliegende	} = 162 7 38	162 6 59
$x : o$ anliegende	} = 171 2 9	171 1 53
$x : \omega$ anliegende	} = 177 29 57	177 29 53
$x : n$ anliegende	} = 175 39 6	175 38 58

Kante.	v. Kokscharow aus a:b:b = 0,537195:1:1 berechnet. (Russische Krystalle.)	v. Zepharovich aus a:b:b = 0,537541:1:1 berechnet. (Grüne Mussa-Krystalle.)
$a : P$	= 139° 39' 23"	139° 38' 16"
$a : M$ anliegende 312 : 100	} = 127 53 26	127 54 25
$a : M$ nicht anliegende 312 : 010	} = 101 48 47	101 49 3
$a : h$ anliegende	} = 130 20 37	130 21 44
$a : d$ anliegende 312 : 110	} = 125 22 56	125 23 51
$a : d$ nicht anliegende 312 : 110	} = 106 49 44	106 50 7
$a : a$ Norm. Polk.	} = 156 22 26	156 21 54
$a : a$ Diagon. Polk.	} = 146 20 32	146 19 45
$a : c$ anliegende	} = 163 10 16	163 9 53
$a : i$ anliegende	} = 151 45 45	151 45 7
$a : t$ anliegende	} = 156 39 6	156 38 37
$a : t$ nicht anliegende 312 : 112	} = 144 37 3	144 36 9
$a : o$ anliegende	} = 164 10 3	164 9 45
$a : v$ anliegende 312 : 102	} = 153 33 33	—
$a : v$ nicht anliegende 312 : 012	} = 142 6 36	142 5 34

Kante.	v. Kokscharow aus a:b:b = 0,587195:1:1 berechnet. (Russische Krystalle.)	v. Zepharovich aus a:b:b = 0,587541:1:1 berechnet. (Grüne Mussa-Krystalle.)
$a : \xi$ } anliegende	= 168° 11' 13"	168° 10' 57"
$a : n$ } anliegende	= 169 31 50	169 31 40
$a : \omega$ } anliegende	= 169 35 46	169 35 37
$a : x$ } anliegende	= 169 10 40	169 10 28
$a : l$ } anliegende	= 174 34 18	174 34 14
$a : z$ } anliegende	= 168 34 18	168 34 14
$s : P$	= 120 29 1	120 28 4
$s : M$ } anliegende 311 : 100	= 144 50 25	144 51 13
$s : M$ } nicht anliegende 311 : 010	= 105 48 50	105 49 0
$s : h$ } anliegende	= 149 30 59	149 31 56
$s : d$ } anliegende 311 : 110	= 140 25 31	140 26 12
$s : d$ } nicht anliegende 311 : 110	= 112 40 5	112 40 20
$s : s$ } Norm. Polk.	= 148 22 20	148 21 59
$s : s$ } Diagon. Polk.	= 134 39 50	134 39 20
$s : c$ } anliegende	= 150 29 6	150 28 57
$s : c$ } nicht anliegende 311 : 111	= 129 34 30	129 33 48

Kante.	v. Kokscharow aus a:b:b = 0,537195:1:1 berechnet. (Russische Krystalle.)	v. Zepharovich aus a:b:b = 0,537541:1:1 berechnet. (Grüne Mussa-Krystalle.)
<i>s</i> : <i>b</i> anliegende } =	157° 19' 55"	157° 19' 40"
<i>s</i> : <i>l</i> anliegende } =	155 27 33	155 27 24
<i>s</i> : <i>o</i> anliegende 311 : 101 } =	146 29 24	—
<i>s</i> : <i>o</i> nicht anliegende 311 : 011 } =	125 9 35	125 8 47
<i>s</i> : <i>q</i> anliegende } =	176 45 56	176 45 59
<i>s</i> : <i>z</i> anliegende } =	168 35 2	168 35 7
<i>s</i> : <i>g</i> anliegende } =	169 16 51	169 16 57
<i>s</i> : <i>a</i> anliegende 311 : 312 } =	160 49 38	160 49 48
<i>s</i> : <i>a</i> nicht anliegende 311 : 312 } =	146 24 13	146 23 55
<i>s</i> : <i>x</i> anliegende } =	150 0 18	150 0 16
<i>m</i> : <i>P</i>	= 120 6 43	—
<i>m</i> : <i>m</i> Norm. Polk. } =	148 43 50	—
<i>m</i> : <i>m</i> Diagon. Polk. } =	134 0 30	—
<i>m</i> : <i>s</i> anliegende } =	179 33 20	—
<i>y</i> : <i>P</i>	= 114 17 54	114 17 4
<i>y</i> : <i>M</i> anliegende 411 : 100 } =	152 9 12	152 9 55

Kante.	v. Kokscharow aus a:b:b = 0,537195:1:1 berechnet. (Russische Krystalle.)	v. Zepharovich aus a:b:b = 0,537541:1:1 berechnet. (Grüne Mussa-Krystalle.)
nicht anliegende } 411 : 010	= 102° 46' 15''	102° 46' 20''
y : y } Norm. Polk.	= 154 27 30	154 27 20
y : y } Diagon. Polk.	= 124 4 18	124 3 54
y : c } anliegende	= 143 10 18	143 10 15
y : o } anliegende 411 : 101	= 141 20 45	—
nicht anliegende } 411 : 011	= 117 50 49	117 50 5
y : s } anliegende	= 172 41 12	172 41 18
y : g } anliegende	= 168 23 7	168 23 3
G : P	= 100 14 13	—
G : G } Norm. Polk.	= 152 23 0	—
G : G } Diagon. Polk.	= 119 9 50	—
R : P	= 113 5 30	—
R : R } Norm. Polk.	= 155 40 28	—
R : R } Diagon. Polk.	= 122 4 54	—
D : P	= 126 8 6	—
D : D } Norm. Polk.	= 161 46 24	—
D : D } Diagon. Polk.	= 126 46 14	—
r : P	= 110 3 21	110 2 38

Kante.	v. Kokscharow aus a:b:b = 0,537195:1:1 berechnet. (Russische Krystalle.)	v. Zepharovich aus a:b:b = 0,537541:1:1 berechnet. (Grüne Mussa-Krystalle.)
<i>v</i> : <i>M</i> anliegende 511 : 100	} = 157° 5' 24"	157° 6' 1"
<i>v</i> : <i>M</i> nicht anliegende 511 : 010	} = 100 36 57	100 37 0
<i>v</i> : <i>v</i> Norm. Polk.	} = 158 46 6	158 46 0
<i>v</i> : <i>v</i> Diagon. Polk.	} = 117 11 36	117 11 16
<i>v</i> : <i>c</i> anliegende	} = 138 14 7	138 14 9
<i>v</i> : <i>l</i> anliegende	} = 148 35 48	148 35 38
<i>v</i> : <i>o</i> anliegende 511 : 101	} = 137 33 43	—
<i>v</i> : <i>o</i> nicht anliegende 511 : 011	} = 112 54 35	112 53 59
<i>v</i> : <i>y</i> anliegende	} = 175 3 49	175 3 54
<i>v</i> : <i>s</i> anliegende	} = 167 45 1	167 45 12
<i>v</i> : <i>g</i> anliegende	} = 165 34 16	165 34 12
<i>w</i> : <i>P</i>	= 104 44 56	104 44 24
<i>w</i> : <i>M</i> anliegende 711 : 100	} = 163 12 8	163 12 37
<i>w</i> : <i>M</i> nicht anliegende 711 : 010	} = 97 51 38	97 51 39
<i>w</i> : <i>w</i> Norm. Polk.	} = 164 16 44	164 16 53
<i>w</i> : <i>w</i> Diagon. Polk.	} = 109 4 0	109 3 46

Kante.	v. Kokscharow aus a:b:b = 0,537195:1:1 berechnet. (Russische Krystalle.)	v. Zepharovich aus a:b:b = 0,537541:1:1 berechnet. (Grüne Mussa-Krystalle.)
$w : c$ anliegende } = 132° 7' 22'' 132° 7' 33''		
$w : o$ anliegende } = 132 38 3 — 711 : 101		
$w : v$ nicht anliegende } = 106 47 52 106 47 23 711 : 011		
$w : v$ anliegende } = 173 53 16 173 53 24		
$w : s$ anliegende } = 161 38 16 161 38 36		

$d : M$	= 135° 0' 0''
$d : d$	= 90 0 0
$M : M$	= 90 0 0
$\varphi : M$	= 149 2 10
$\varphi : d$	= 165 57 50
$\varphi : \varphi$ Norm. Kante }	= 118 4 20
$\varphi : \varphi$ Diagon. Kante }	= 151 55 40
$\psi : M$	= 150 15 18
$\psi : d$	= 164 44 42
$\psi : \psi$ Norm. Kante }	= 120 30 36
$\psi : \psi$ Diagon. Kante }	= 149 29 24
$f : M$	= 153 26 6
$f : d$	= 161 33 54
$f : f$ Norm. Kante }	= 126 52 12

$$\left. \begin{array}{l} f : f \\ \text{Diagon. Kante} \end{array} \right\} = 143^\circ 7' 48''$$

$$h : M = 161 \quad 33 \quad 54$$

$$h : d = 153 \quad 26 \quad 6$$

$$\left. \begin{array}{l} h : h \\ \text{Norm. Kante} \end{array} \right\} = 143 \quad 7 \quad 48$$

$$\left. \begin{array}{l} h : h \\ \text{Diagon. Kante} \end{array} \right\} = 126 \quad 52 \quad 12$$

§ 3.

1) In der Sitzung der K. Mineralogischen Gesellschaft zu St. Petersburg, den 6-ten April 1871, zeigte P. v. Jeremejew *) mehrere Vesuvian-Exemplare aus einigen russischen und finnländischen Fundorten vor und theilte zu gleicher Zeit mit, dass er in den Vesuvian-Krystallen aus der Umgegend des Dorfes *Kossulina* (Katharinenburger Bergrevier, Ural) eine neue tetragonale Pyramide der ersten Art $V = \frac{7}{8}P$ und in den finnländischen Krystallen aus Frugard (Frugardit) eine neue tetragonale Pyramide der zweiten Art $L = \frac{2}{3}P\infty$ bestimmt hat.

2) P. Groth und Bücking **) haben im Jahre 1878, an den Krystallen von *Pfischthal* (Wildkreuzjoch) in Tirol, eine neue ditetragonale Pyramide $e = 5P\frac{5}{3}$ bestimmt. Diese neue Pyramide in der Zone $4P2 : \infty P$ tritt nur sehr schmal auf und konnte daher auch nur approximativ gemessen werden: auf diese Weise haben sie gefunden:

$$e : d = 5P\frac{5}{3} : \infty P = 157^\circ 55' \text{ (berechnet} = 157^\circ 33').$$

An den Vesuvian-Krystallen vom *Vesuv* haben P. Groth und Bücking zwei neue ditetragonale Pyramiden bestimmt, nämlich:

$$G = 10P4 \text{ und } F = 13P\frac{1}{7}.$$

*) Vergl. „Verhandlungen der Russisch-Kaiserlichen Mineralogischen Gesellschaft zu St. Petersburg“, 1872, zweite Serie, Bd. VII, S. 366.

**) Vergl. „Die Mineraliensammlung der Kaiser-Wilhelms-Universität Strassburg“ von P. Groth, 1878, Strassburg, S. 199.

Sie haben gefunden:

	durch Messung.	durch Rechnung.
$G : M = 10P4 : \infty P \infty = 162^\circ 16'$	Mittel	$162^\circ 33'$
$G : d = 10P4 : \infty P = 149 41$	"	$149 34$
$F : f = 13P\frac{1}{7} : \infty P2 = 172 27$	"	$172 25$

An den Vesuvian-Krystallen von *Eker bei Drammen* haben P. Groth und Bücking eine neue ditetragonale Pyramide bestimmt, nämlich:

$$r = 6P\frac{3}{2}.$$

Diese Form tritt nur sehr selten auf; sie liegt in der Zone $3P3 : \infty P$ und ergab bei einer nur approximativen Messung: $r : d = 6P\frac{3}{2} : \infty P = 162^\circ 24'$; berechnet $161^\circ 43'$.

3) M. v. Tarassow *) hat an Vesuvian-Krystallen aus den Gruben Nikolaje-Maximilianowsk (südlicher Ural, unweit Achmatowsk), im Jahre 1879, eine neue tetragonale Pyramide der ersten Art $B = \frac{5}{13}P$ und eine neue ditetragonale Pyramide $D = \frac{5}{2}P\frac{5}{2}$ bestimmt.

Er hat gefunden:

	Durch Messung.	Durch Rechnung**).
$P : D = oP : \frac{5}{13}P = 163^\circ 36' 50''$..	$163^\circ 42' 8''$
$c : D = P : \frac{5}{13}P = 159 8 10$..	$159 3 21$
$u : D = 2P\infty : \frac{2}{5}P\frac{5}{2} = 168 57 30$..	$168 57 0$
$a : D = \frac{3}{2}P3 : \frac{5}{2}P\frac{5}{2} = 165 35 35$..	$165 31 24$
$s : D = 3P3 : \frac{5}{2}P\frac{5}{2} = 171 49 15$..	$171 47 42$
$D : D = \frac{5}{2}P\frac{5}{2} : \frac{5}{2}P\frac{5}{2} = 105 40 35$..	$105 45 50$

*) Vergl. „Verhandlungen der Russisch-Kaiserlichen Mineralogischen Gesellschaft“, 1879, zweite Serie, Bd. XIV, S. 139; auch „Zeitschrift für Kristallographie und Mineralogie“ v. P. Groth, 1879, Bd. III, S. 428.

***) Alle Berechnungen wurden aus dem Axenverhältniss $a : b : b = 0,537541 : 1 : 1$ ausgeführt, welches v. Zepharovich für die grüne Mussa-Krystalle abgeleitet hat.

Die Krystalle von diesem neben der Grube Achmatowsk liegenden Fundorte sind identisch mit denen, welche in der erwähnten Grube Achmatowsk vorkommen und welche ich ziemlich ausführlich in diesem Werke beschrieben habe (Bd. I, S. 100). Das spec. Gewicht derselben hat v. Tarassow = 3,394 gefunden:

Endlich hat v. Tarassow erhalten:

	Durch Messung.	Durch Rechnung.
$c : P$	= 142° 45' 30'' . . .	142° 45' 29''
$c : c$ } Polkante	= 129 17 40	129 19 40
$c : c$ } an der Spitze	= 105 30 0	105 30 58
$i : c$	= 157 2 25	156 58 39
$i : P$	= 165 46 30	165 46 50
$B : c$	= 159 8 10	159 3 21
$B : P$	= 163 36 50	163 42 8
$b : c$	= 160 41 0	160 34 33
$b : t$	= 170 21 0	170 20 34
$b : z$	= 163 37 30	163 53 45
$t : c$	= 150 56 25	150 55 7
$t : t$ } Mittelkante	= 132 37 55	132 38 48
$o : c$	= 154 46 0	154 39 50
$o : u$	= 161 13 15	161 11 16
$o : a$	= 164 12 50	164 9 45
$u : c$	= 148 50 10	148 49 6
$u : z$	= 159 50 10	159 43 32
$u : s$	= 160 41 0	160 44 42
$u : a$	= 165 38 0	165 39 15
$u : D$	= 168 57 30	168 57 0
$u : u$ } Mittelkante	= 94 16 35	94 8 40
$z : c$	= 162 3 20	161 53 50

	Durch Messung.	Durch Rechnung.
$z : s$ } anliegende	= 168° 33' 25"	168° 35' 7"
$z : s$ } nicht anliegende	= 98 19 10	98 17 33
$z : a$	= 168 36 5	168 34 14
$z : D$	= 167 30 35	167 27 17
$a : c$	= 163 10 5	163 9 53
$a : a$ } Norm. Polk.	= 156 15 55	156 19 45
$a : D$	= 165 35 35	165 31 24
$s : D$	= 171 50 40	171 47 42
$y : c$	= 142 50 0	143 10 15
$D : c$	= 137 21 50	137 46 6
$D : D$ } Mittelkante	= 107 40 35	107 45 50

4) J. Strüver *) hat die Vesuvian-Krystalle des alten Latium, des heutigen Albaner Gebirges**) sehr genau untersucht und gemessen.

Das hauptsächlichste Ziel seiner Beobachtungen erklärt Strüver mit folgenden Worten:

»Aus Zepharovich's zahlreichen Beobachtungen folgt nicht nur, »dass die krystallographischen Constanten des Idokrases sich nach »den Fundorten ändern, sondern dass sie selbst an einem und dem- »selben Orte innerhalb ziemlich weiter Grenzen schwanken. Zepha- »rovich wies dies namentlich an den Somma-Krystallen nach. Eswar »nicht ohne Interesse, die Albaner Krystalle ebenfalls auf diese Er-

*) J. Strüver: „Die Mineralien Latiums“ (Zeitschrift für Krystallographie und Mineralogie von P. Groth, 1877, Bd. I, S. 251); „Studi sui Minerali del Lazio“ („Reale Accademia dei Lincei“, Serie 3^a,—Memorie della Classe di Scienze fisiche, matematiche e naturali, Vol. L^o, Seduta del 3 dicembre 1876).

**) G. vom Rath beschreibt die Lage dieser Gegend folgender Maassen:
„Das schöngeformte Albaner oder Latiner-Gebirge, die Wiege der Römischen „Grösse, erhebt sich, mit zahlreichen weithin leuchtenden Dörfern und Villen be- „deckt, in einer Entfernung von 12 bis 15 Miglien am südöstlichen Horizonte „Roms“; Vergl. „Geognostisch-mineralogische Fragmente aus Italien“, von Prof. G. vom Rath, Theil, 1867, S. 510 (Abdruck a. d. Zeitschr. d. deutschen geolo- gischen Gesellschaft, Jahrg. 1866).

•scheinung hin zu untersuchen. Ogleich mir kein sehr reichhaltiges
•Material zu Gebote stand, habe ich doch eine möglichst grosse
•Anzahl von Messungen ausgeführt«.

In dieser Hinsicht wurden von Strüver untersucht: a) 2 durchsichtige, honiggelbe Krystalle, welche demselben Block entnommen waren; b) 5 schwarze, in dünnen Splintern mit olivengrüner oder brauner Farbe durchsichtig werdende Krystalle, welche von ein und demselben Blocke, wenn auch von verschiedenen Handstücken, stammen. Seine Beobachtungen gaben folgende Resultate:

Durchsichtige, honiggelbe Krystalle.

Kante.	Berechnet aus a:b:b = 0,5372:1:1	Gemessen.	Grenzen der Beob.	Zahl d. Kant.
<i>c : i</i>	156°59'15''	156°56'15''	156°57' ¹ / ₂ — 156 55'	2
<i>c : d</i>	127 13 30	127 13 15	127 14' ¹ / ₂ — 127 7	5
<i>c : o</i>	154 40 30	154 46 0	154 54' ³ / ₄ — 154 38' ¹ / ₂	3
<i>c : M</i>	115 19 30	115 20 45	115 37' ¹ / ₂ — 115 4' ¹ / ₄	10
<i>o : M</i>	118 14 45	118 15 15	118 16' ¹ / ₂ — 118 13' ³ / ₄	2
<i>c : t</i>	150 54 45	150 54 15	150 55' ¹ / ₂ — 150 53	2
<i>d : t</i>	156 18 30	156 16 30	156 21' ¹ / ₂ — 156 11' ¹ / ₂	2
<i>M : v</i>	157 5 0	157 2 15	157 7' ¹ / ₄ — 156 58' ¹ / ₂	3
<i>v : s</i>	167 45 30	167 47 0	167 47' ¹ / ₄ — 167 46' ³ / ₄	3
<i>s : c</i>	150 29 0	150 31 30	150 33' ¹ / ₂ — 150 29	4
<i>c : a</i>	163 10 15	163 12 15	—	1
<i>f : M</i>	153 26 6	153 29 25	153 43 — 153 22	6
<i>f : d</i>	161 33 54	161 36 4	161 59 — 161 11	8

Die wahrscheinlichsten Constanten, welche aus den ersten 37 Kanten oder 11 Winkeln sich ergeben, sind nach Strüver folgende:

$$a : b : b = 0,537232 : 1 : 1$$

d. h. fast dieselben, welche ich *) aus meinen eigenen Messungen

*) N. v. Kokscharow: Materialien zur Mineralogie Russlands, Bd. I, S. 92.

(die mit denen von Kupffer ausgeführten übereinstimmen) und später v. Zepharovich *) aus seinen Messungen abgeleitet haben. Wie es bekannt ist, habe ich damals für die russischen Krystalle von Poljakowsk und Achmatowsk (erste säulenförmige Varietät)

$$a : b : b = 0,537195 : 1 : 1$$

und v. Zepharovich:

$$a : b : b = 0,537199 : 1 : 1$$

für die rothbraunen Krystalle (Mangan-Idokras) von der Mussa-Alpe und für die Krystalle von Rymfischweng bei Zermatt gegeben.

Schwarze-Krystalle.

Für diese Krystalle giebt Strüver das Verhältniss:

$$a : b : b = 0,5278$$

welches aus den Messungen der 39 Kanten oder 11 Winkel (an 5 Individuen) abgeleitet wurde. Die Resultate seiner Beobachtungen waren folgende:

Kante.	Berechnet aus a:b:b = 0,5278:1:1	Gemessen.	Grenzen der Beob.	Zahl der Messe.
<i>c</i> : <i>t</i>	150° 48' 11''	150° 51' 27''	150° 56' — 150° 16'	8
<i>d</i> : <i>t</i>	155 56 8	155 55 18	156 1 — 155 45 ³ / ₄	9
<i>c</i> : <i>c</i> and. Spät.)	106 31 22	106 29 47	—	1
<i>M</i> : <i>o</i>	117 49 30	117 50 23	117 51 ¹ / ₄ — 117 48 ¹ / ₂	3
<i>i</i> : <i>c</i>	157 14 0	157 12 50	157 14 ³ / ₄ — 157 10 ³ / ₄	9
<i>P</i> : <i>o</i>	152 10 30	152 11 50	—	1
<i>o</i> : <i>c</i>	154 58 41	154 58 23	154 58 ¹ / ₄ — 154 58 ¹ / ₂	9
<i>P</i> : <i>c</i>	143 15 41	143 13 21	143 22 ³ / ₄ — 143 4 ³ / ₄	3
<i>c</i> : <i>d</i>	126 44 19	126 40 52	126 50 — 126 34 ¹ / ₂	3
<i>M</i> : <i>c</i>	115 1 19	114 59 2	115 8 ¹ / ₂ — 114 44	5
<i>i</i> : <i>P</i>	166 1 41	165 57 7	166 10 ³ / ₄ — 165 43 ¹ / ₂	9

*) V. v. Zepharovich; „Krystallographische Studien über den Idokras“ (Sitzungb. der Kais. Akad. d. Wissenschaften zu Wien, Bd. XLIX, Jahrgang 1864).

Strüver bemerkt unter anderem:

a) dass die homologen Winkel auch an ein und demselben Individuum beträchtlich schwanken,

b) dass wenn die Winkel $c(P) : t(3P)$ für die Breithaupt'sche Hypothese sprechen, nach welcher die Winkel einer einfachen Vesuvianform nach gewissen Gesetzen variiren sollen, die übrigen Winkel $t(3P) : d(\infty P)$ einer solchen Annahme entschieden widersprechen.

5) O. Korn *) hat die Vesuviankrystalle von Kedabék in Kaukasien untersucht. Nach seiner Beschreibung tritt dieser Vesuvian hier in einem fast völlig Magnesiafreien Kalkstein in hellgrünlichgelben Krystallen und derben, knolligen Massen auf, neben braungefärbten stengeligen Partien desselben Minerals. Die Krystalle des Vesuvians von Kedabék erreichen die Dimensionen von 0,6 cm. Die Formen, welche an ihnen von O. Korn beobachtet wurden, sind: $c = P$, $k = \frac{9}{3}P$, $b = 2P$, $t = 3P$, $E = 4P$, $o = P\infty$, $s = \frac{5}{4}P^{\frac{5}{4}}$, $z = 2P^2$, $s = 3P^3$, $R = \frac{17}{4}P^{\frac{7}{4}}$, $d = \infty P$ und $M = \infty P\infty$, von denen k , E , s und R für den Vesuvian neu sind und zum ersten Mal von O. Korn bestimmt worden. Der Habitus der Krystalle ist ein kurzsäulenförmiger.

Zu den Messungen wurden acht, durch den Glanz ihrer Flächen besonders ausgezeichnete Krystalle verwendet. Unter Zugrundelegung des Werthes $c : c$ (Polkante) = $129^{\circ} 29' 50''$ berechnet O. Korn für die Grnudform des Vesuvians von Kedabék folgendes Axenverhältniss:

$$a : b : b = 0,5349 : 1 : 1$$

Die Resultate seiner Berechnungen und Messungen waren folgende:

*) Otto Korn in Berlin: „Untersuchungen am Vesuvian von Kedabék in Kaukasien“ (Zeitschrift für Krystallographie etc. von P. Groth, 1883, Bd. VII, S. 371).

Winkel.	Berechnet.	Beob. Mittel.	Grenz- werthe.	Zahl der gemein- Winkel
$d(110)$	$M(100) = 135^\circ 0' 0''$	$135^\circ 2'$	$135^\circ 4' - 135^\circ 0'$	2
$d(110)$	$s(311) = 140 23 0$	$140 22$	$140 10 - 139 59$	2
$s(311)$	$c(\bar{1}\bar{1}\bar{1}) = 129 38 0$	$129 54\frac{1}{2}$	—	1
$s(311)$	$s(\bar{3}\bar{1}\bar{1}) = 148 22 40$	$148 18\frac{1}{2}$	$148 29\frac{1}{2} - 148 8$	3
$s(311)$	$t(331) = 155 35 16$	$155 32$	$155 48 - 155 18\frac{1}{2}$	8
$t(331)$	$t(\bar{3}\bar{3}\bar{1}) = 99 22 28$	$99 23$	—	1
$t(331)$	$M(010) = 130 18 46$	$130 18\frac{1}{2}$	$130 27 - 130 13$	4
$c(111)$	$c(\bar{1}\bar{1}\bar{1}) =$	$129 29\frac{3}{4}$	$130 13 - 128 54\frac{1}{2}$	14
$c(111)$	$M(100) = 115 15 5$	$115 10$	$115 15 - 115 6$	3
$o(011)$	$c(111) = 154 44 55$	$154 29$	$154 15 - 153 43$	2
$s(311)$	$c(111) = 150 31 13$	$150 31\frac{1}{2}$	$151 9 - 150 16$	14
$s(311)$	$M(100) = 144 43 30$	$144 46\frac{1}{2}$	$144 59 - 144 31\frac{1}{2}$	9
$z(211)$	$c(111) = 161 56 24$	$161 55\frac{1}{4}$	$162 34 - 161 26\frac{1}{2}$	5
$s(311)$	$z(211) = 168 34 19$	$168 43$	$168 48\frac{1}{2} - 168 29$	4
$g(514)$	$c(111) = 174 34 14$	$174 7$	—	1
$g(544)$	$z(211) = 167 22 10$	$167 19\frac{1}{2}$	—	1
$R(17.4.4)$	$c(111) = 142 13 35$	$141 25$	—	1
$R(17.4.4)$	$s(311) = 171 19 55$	$171 9$	—	1
$c(111)$	$c(\bar{1}\bar{1}\bar{1}) = 105 46 40$	$105 47$	$106 7\frac{1}{2} - 105 15$	3
$b(221)$	$c(111) = 160 32 50$	$160 35$	—	1
$t(331)$	$c(111) = 150 53 40$	$150 59\frac{1}{2}$	$151 16 - 150 35$	7
$t(331)$	$d(100) = 156 13 0$	$156 24$	$156 31 - 156 8$	4
$t(331)$	$b(221) = 170 20 50$	$170 23$	—	1
$k(995)$	$c(111) = 163 24 20$	$162 47$	—	1
$k(995)$	$t(331) = 167 29 20$	$168 0$	—	1
$E(441)$	$d(110) = 161 12 45$	$161 16$	—	1
$E(441)$	$t(331) = 174 30 15$	$174 26\frac{1}{2}$	—	1
$t(331)$	$c(111) = 108 46 36$	$108 34$	—	1
$t(331)$	$z(211) = 157 38 8$	$157 29$	—	1
$z(211)$	$c(111) = 131 8 18$	$131 5$	—	1

Das spec. Gewicht des Vesuvians von Kadebék hat O. Korn aus zwei Pyknometer-Versuchen erhalten:

3,2631 resp. 3,2435

oder im Mittel:

3,2533.

Zur chemischen Analyse benutzte O. Korn sorgfältig ausgesuchtes Material, welches Vorsichts halber einige Tage mit Verdünnter Essigsäure digerirt wurde, um von noch etwa anhängendem Kalksteinbefreit zu werden. Die Analyse ergab:

Kieselsäure	36,810
Thonerde	15,460
Eisenoxyd	5,418
Kalk	35,570
Magnesia	3,660
Eisenoxydul	0,692
Manganoxydul	Spur
Kali	Spur
Wasser	2,060
	<hr/>
	99,670

6) C. Dölter in Graz hat eine sehr wichtige Abhandlung »Krystallographisch-chemische Studien am Vesuvian« *) veröffentlicht. Das hauptsächlichste Ziel seiner Arbeit erklärt er mit folgenden Worten: »Vor Allem ergab sich die Nothwendigkeit, festzustellen, ob für dieses Mineral die zahlreichen Schwankungen der Winkel gleichwerthiger Kanten an einem Individuum nicht gesetzmässig begründet sind, und ob nicht vielleicht vom krystallographischen Standpunkte eine Systemänderung für den Vesuvian nothwendig sei«.

*) Zeitschrift für Krystallographie und Mineralogie, von P. Groth, 1881, Bd. V, S. 289.

Die Messungen wurden von C. Dölter mittelst eines Goniometers mit *zwei* Fernröhren ausgeführt; es wurden dabei Abstufungen im Werthe der Messungen unterschieden: sehr gut, gut und ziemlich gut, welche aber alle noch zuverlässige Resultate ergaben. Wo der Unterschied in den Winkelwerthen nicht mehr als 1' beträgt, hat C. Dölter die Kanten als gleich bezeichnet.

Die Resultate aller dieser Beobachtungen waren folgende:

I. Krystalle von Ala.

Alle Kanten gleich.

Krystalle № 1.

$$\begin{aligned}c_1 : P &= 142^\circ 43' 45'' \text{ sehr gut.} \\c_2 : P &= 142 \quad 43 \quad 5 \quad \cdot \quad \cdot \\c_3 : P &= 142 \quad 43 \quad 25 \quad \cdot \quad \cdot \\c_4 : P &= 142 \quad 44 \quad 0 \quad \text{gut.}\end{aligned}$$

Krystall № 9.

$$\begin{aligned}c_1 : P &= 142^\circ 48' 0'' \text{ gut.} \\c_2 : P &= 142 \quad 47 \quad 50 \quad \cdot \\c_3 : P &= 142 \quad 48 \quad 0 \quad \cdot \\c_4 : P &= 142 \quad 48 \quad 10 \quad \cdot \\c_3 : c_4 &= 129 \quad 19 \quad 20 \quad \cdot \\c_1 : c_4 &= 129 \quad 19 \quad 10 \quad \cdot \\c_1 : c_2 &= 129 \quad 17 \quad 0 \quad \text{ziemlich gut.}\end{aligned}$$

Krystall № 10.

$$\begin{aligned}c_1 : P &= 142^\circ 43' 0'' \text{ gut.} \\c_2 : P &= 142 \quad 41 \quad 0 \quad \cdot \\e_1 : t &= 150 \quad 55 \quad 30 \quad \text{ziemlich gut.} \\c_1 : c_4 &= 129 \quad 18 \quad 30 \quad \text{sehr gut.}\end{aligned}$$

$$\begin{aligned}c_3 : c_4 &= 129^\circ 17' 30'' \text{ sehr gut.} \\c_2 : c_3 &= 129 \quad 18 \quad 0 \quad \text{„} \\c_1 : c_2 &= 129 \quad 19 \quad 0 \quad \text{„}\end{aligned}$$

Krystall № 14.

$$\begin{aligned}c_1 : P &= 142^\circ 48' 0'' \text{ sehr gut.} \\c_2 : P &= 142 \quad 47 \quad 30 \quad \text{„} \\c_3 : P &= 142 \quad 48 \quad 10 \quad \text{„} \\c_4 : P &= 142 \quad 48 \quad 0 \quad \text{„} \\c_1 : c_2 &= 129 \quad 20 \quad 30 \quad \text{„} \\c_1 : c_4 &= 129 \quad 21 \quad 30 \quad \text{„} \\c_4 : c_3 &= 129 \quad 20 \quad 30 \quad \text{„} \\c_2 : c_3 &= 129 \quad 20 \quad 30 \quad \text{„}\end{aligned}$$

Krystall № 15.

$$\begin{aligned}c_1 : M &= 115^\circ 15' 30'' \text{ ziemlich gut.} \\c_3 : M &= 115 \quad 17 \quad 0 \quad \text{„} \\c_1 : c_2 &= 129 \quad 22 \quad 10 \quad \text{sehr gut.} \\c_2 : c_3 &= 129 \quad 22 \quad 35 \quad \text{„} \\c_1 : c_4 &= 129 \quad 22 \quad 10 \quad \text{„} \\c_3 : c_4 &= 129 \quad 22 \quad 10 \quad \text{„}\end{aligned}$$

Drei Kanten gleich.

Krystall № 25.

$$\begin{aligned}c_1 : P &= 142^\circ 45' 0'' \text{ gut.} \\c_2 : P &= 142 \quad 44 \quad 30 \quad \text{„} \\c_3 : P &= 142 \quad 46 \quad 0 \quad \text{ziemlich gut.} \\c_4 : P &= 142 \quad 21 \quad 0 \quad \text{„}\end{aligned}$$

Krystall № 20.

$$\begin{aligned}c_1 : P &= 142^\circ 51' 0'' \text{ sehr gut.} \\c_2 : P &= 143 \quad \text{—} \quad 0 \quad \text{mittelmässig.}\end{aligned}$$

$$\begin{aligned}c_3 : P &= 142^\circ 50' 30'' \text{ sehr gut.} \\c_4 : P &= 142 \quad 50 \quad 10 \quad \text{„} \\l : s &= 155 \quad 21 \quad 20 \text{ ziemlich gut.} \\c_1 : c_2 &= 129 \quad 27 \quad 10 \quad \text{„} \\c_1 : l_1 &= 150 \quad 51 \quad 0 \text{ mittelmässig.} \\c_1 : l_1 &= 150 \quad 55 \quad 0 \text{ ziemlich gut.}\end{aligned}$$

Krystall № 23.

$$\begin{aligned}c_1 : P &= 142^\circ 45' 30'' \text{ mittelmässig.} \\c_2 : P &= 142 \quad 54 \quad 30 \text{ gut.} \\c_3 : P &= 142 \quad 55 \quad 30 \text{ ziemlich gut.} \\c_4 : P &= 142 \quad 54 \quad 30 \text{ gut.}\end{aligned}$$

Krystall № 26.

$$\begin{aligned}c_1 : c_2 &= 129^\circ 27' 10'' \text{ sehr gut.} \\c_2 : c_3 &= 129 \quad 28 \quad 30 \quad \text{„} \\c_3 : c_4 &= 129 \quad 27 \quad 50 \quad \text{„}\end{aligned}$$

Zwei anliegende Kanten gleich.

Krystall № 2.

$$\begin{aligned}c_1 : c_4 &= 129^\circ 16' 0'' \text{ sehr gut.} \\c_1 : c_2 &= 129 \quad 16 \quad 0 \quad \text{„} \\c_1 : P &= 142 \quad 43 \quad 30 \text{ gut.} \\c_1 : o_1 &= 154 \quad 39 \quad 0 \text{ ziemlich gut.}\end{aligned}$$

Krystall № 5.

$$\begin{aligned}c_1 : P &= 142^\circ 52' 45'' \text{ sehr gut.} \\c_2 : P &= 142 \quad 50 \quad 50 \quad \text{„} \\c_4 : P &= 142 \quad 47 \quad 10 \text{ ziemlich gut.} \\c_3 : l_3 &= 150 \quad 57 \quad 35 \text{ gut.}\end{aligned}$$

Krystall № 11.

$c_1 : P$	$= 142^\circ 40' 30''$	gut.
$c_4 : P$	$= 142 42 55$	»
$c_2 : c_3$	$= 129 18 0$	ziemlich gut.
$c_1 : c_2$	$= 129 19 0$	gut.
$c_3 : P$	$= 142 50 0$	»
$c_2 : P$	$= 142 44 0$	ziemlich gut.
$c_3 : c_4$	$= 129 30 30$	sehr gut.
$c_1 : t_1$	$= 150 54 30$	mittelmässig.
$c_4 : t_4$	$= 150 53 40$	ziemlich gut.
$c_2 : t_2$	$= 150 51 0$	»

Krystall № 16.

$c_1 : P$	$= 142^\circ 44' 0''$	gut.
$c_4 : P$	$= 142 43 30$	ziemlich gut.
$c_3 : P$	$= 142 38 0$	»

Krystall № 19.

$c_1 : P$	$= 142^\circ 57' 30''$	gut.
$c_2 : P$	$= 142 56 0$	»
$c_3 : P$	$= 143 8 0$	ziemlich gut.
$c_4 : P$	$= 142 50 30$	»

Krystall № 24.

$c_2 : P$	$= 142^\circ 54' 20''$	gut.
$c_4 : P$	$= 142 53 50$	sehr gut.
$c_1 : P$	$= 142 43 0$	gut.
$c_3 : P$	$= 143 6 30$	ziemlich gut.
$c_2 : c_3$	$= 129 27 30$	»
$c_2 : t_2$	$= 150 51 0$	»

Zwei gegenüberliegende Kanten gleich.

Krystall № 6.

- $c_2 : P = 142^\circ 48' 40''$ sehr gut.
 $c_4 : P = 142 48 40$ »
 $c_1 : c_2 = 129 19 48$ gut.
 $c_2 : c_3 = 129 20 50$ sehr gut.
 $c_3 : c_4 = 129 21 20$ »
 $c_1 : c_4 = 129 24 30$ ziemlich gut.
 $c_1 : P = 142 53 0$ sehr gut.
 $c_3 : P = 142 44 0$ ziemlich gut.

Krystall № 12.

- $c_1 : P = 142^\circ 47' 50''$ sehr gut.
 $c_4 : P = 142 45 50$ gut.

Krystall № 13.

- $c_1 : P = 142^\circ 48' 15''$ sehr gut.
 $c_3 : P = 142 48 25$ gut.
 $c_4 : t = 150 53 0$ ziemlich gut.
 $c_2 : t = 150 52 0$ »
 $c_2 : P = 142 43 20$ gut.
 $c_4 : P = 142 44 10$ »
 $c_1 : c_4 = 129 22 30$ »
 $c_4 : c_2 = 129 22 30$ »
 $c_3 : c_4 = 129 21 50$ »
 $c_2 : c_3 = 129 18 30$ »

Krystall № 17.

- $c_2 : c_4 = 129^\circ 34' 30''$ gut.
 $c_3 : c_4 = 129 34 30$ »
 $c_2 : c_3 = 129 30 0$ »
 $c_1 : c_4 = 129 30 0$ »

Krystall № 27.

- $c_1 : P = 142^\circ 52' 0''$ gut.
 $c_2 : P = 142 51 0$ ziemlich gut.
 $c_3 : P = 142 49 0$ „ „

II. Krystalle vom Vesuv (dunkelbraun).

Alle Kanten ungleich.

Krystall № 1.

- $c_1 : P = 142^\circ 42' 0''$ gut.
 $c_2 : P = 143 6 0$ ziemlich gut.
 $c_3 : P = 142 35 0$ gut.
 $c_4 : P = 142 58 30$ ziemlich gut.

Drei gleiche Kanten.

Krystall № 2.

- $c_1 : P = 143^\circ 1' 0''$ ziemlich gut.
 $c_2 : P = 142 45 30$ „
 $c_3 : P = 142 44 30$ gut.
 $c_4 : P = 142 44 0$ „

III. Lichtbraune Krystalle vom Vesuv.

Ungleiche Kanten.

Krystall № 8.

- $c_1 : P = 142^\circ 52' 0''$ gut.
 $c_2 : P = 143 20 0$ mittelm. (doppeltes Bild.).
 $c_3 : P = 143 5 0$ gut.
 $c_4 : P = 143 20 0$ ziemlich gut.
 $c_5 : i_2 = 156 52 0$ gut.

$$c_3 : i_3 = 157^\circ 0' 0'' \text{ gut}$$

$$c_4 : i_4 = 156 \ 54 \ 0 \text{ »}$$

Zwei gleiche Kanten.

Krystall № 9.

$$c_1 : P = 142^\circ 51' 25'' \text{ gut.}$$

$$c_3 : P = 142 \ 51 \ 40 \text{ »}$$

$$c_2 : P = 142 \ 44 \ 0 \text{ ziemlich gut.}$$

Drei gleiche Kanten.

Krystall № 10.

$$c_1 : P = 142^\circ 44' 0'' \text{ sehr gut.}$$

$$c_3 : P = 142^\circ 46 \ 0 \text{ gut.}$$

$$c_5 : P = 142 \ 45 \ 0 \text{ »}$$

Krystall № 11.

$$c_1 : P = 142^\circ 52' 0'' \text{ gut.}$$

$$c_5 : P = 142 \ 51 \ 0 \text{ ziemlich gut.}$$

IV. Schwarzbraune Krystalle vom Vesuv.

Vier gleiche Kanten.

Krystall № 12.

$$c_1 : P = 142^\circ 53' 0'' \text{ gut.}$$

$$c_2 : P = 142 \ 53 \ 10 \text{ »}$$

$$c_3 : P = 142 \ 52 \ 0 \text{ ziemlich gut.}$$

$$c_4 : P = 142 \ 54 \ 0 \text{ gut.}$$

Drei gleiche Kanten.

Krystall № 13.

$$c_1 : P = 142^\circ 56' 0'' \text{ ziemlich gut.}$$

$$c_2 : P = 142 56 0 \quad \text{»}$$

$$c_4 : P = 142 55 0 \text{ gut.}$$

Drei ungleiche Kanten.

Krystall № 14.

$$c_1 : P = 142^\circ 52' 0'' \text{ ziemlich gut.}$$

$$c_2 : P = 143 0 0 \quad \text{»}$$

$$c_3 : P = 142 56 0 \quad \text{»}$$

V. Fundort: Banat.

Kanten ungleich.

Krystall № 1.

$$c_1 : c_2 = 129^\circ 38' 20'' \text{ gut.}$$

$$c_2 : c_3 = 129 19 0 \text{ ziemlich gut.}$$

$$c_4 : c_4 = 129 34 0 \text{ gut.}$$

$$c_5 : c_6 = 129 25 0 \text{ ziemlich gut.}$$

$$c_6 : c_7 = 129 21 0 \quad \text{»}$$

Krystall № 6.

$$c_1 : P = 142^\circ 56' 30'' \text{ gut.}$$

$$c_4 : P = 142 54 0 \quad \text{»}$$

$$c_3 : P = 142 51 0 \text{ ziemlich gut.}$$

VI. Krystalle von Maine.

Zwei Kanten gleich.

Krystall № 1.

$$c_1 : P = 142^\circ 51' 30'' \text{ sehr gut}$$

$$c_3 : P = 142 51 30 \text{ gut.}$$

$$c_2 : P = 142 49 20 \quad \text{»}$$

Krystall № 5.

- $c_1 : P = 142^\circ 51' 30''$ gut.
 $c_3 : P = 143 \quad 2 \quad 0$ ziemlich gut.
 $c_2 : P = 142 \quad 52 \quad 20$ gut.

Krystall № 7.

- $c_3 : P = 142^\circ 58' \quad 0''$ gut.
 $c_2 : P = 142 \quad 48 \quad 0$ „
 $c_1 : P = 142 \quad 56 \quad 0$ „

VII. Fundort: Pfitsch.

Drei Kanten gleich.

Krystall № 1.

- $c_1 : P = 142^\circ 51' \quad 0''$ gut.
 $c_3 : P = 142 \quad 43 \quad 0$ ziemlich gut.
 $c_1 : c_3 = 129 \quad 36 \quad 0$ gut.
 $c_1 : c_4 = 129 \quad 23 \quad 50$ „
 $c_3 : P = 142 \quad 50 \quad 20$ „
 $c_4 : P = 142 \quad 51 \quad 0$ ziemlich gut.
 $c_2 : c_3 = 129 \quad 24 \quad 30$ gut.

Zwei gegenüberliegende Kanten gleich.

Krystall № 2.

- $c_1 : P = 142^\circ 55' 30''$ gut.
 $c_2 : P = 142 \quad 34 \quad 0$ „
 $c_3 : P = 142 \quad 56 \quad 50$ „
 $c_4 : P = 143 \quad 1 \quad 0$ ziemlich gut.
 $c_5 : P = 142 \quad 57 \quad 10$ gut.
 $c_1 : c_4 = 129 \quad 30 \quad 0$ ziemlich gut.
 $c_3 : c_4 = 129 \quad 25 \quad 0$ „

$$c_1 : c_2 = 129^\circ 29' 30'' \text{ ziemlich gut.}$$

$$c_2 : c_3 = 129 \ 33 \ 40 \text{ gut.}$$

$$c_3 : c_6 = 129 \ 31 \ 30 \text{ »}$$

C. Dölter zieht aus seinen Beobachtungen folgende Schlüsse:

• Aus vorliegender Tabelle geht hervor, dass, insofern wegen der nicht immer gleich guten Beschaffenheit der Flächen eine Ansicht ausgesprochen werden kann, eine Gesetzmässigkeit in der Abweichung der Winkel nicht existirt. Einzelne Krystalle zeigen grosse Constanz der vier Kanten, andere absolute Unregelmässigkeit; während bei den einen die gegenüberliegenden Kanten gleichen Werth haben, sind bei den anderen die anliegenden Kanten gleich. Inwiefern die Unregelmässigkeit in der Ausbildung der Krystalle einen Einfluss auf die Störung der Kantengleichheit hat, lässt sich nicht mit aller Bestimmtheit sagen, doch zeigt sich, dass bei äusserlich sichtbarer Unregelmässigkeit und Störung der regelmässigen Ausbildung der Flächen, im Allgemeinen auch grössere Abweichungen der Kantenwinkel von einander zu beobachten sind, während andererseits allerdings Krystalle, die keine Spur von Missbildung zeigen, grosse Verschiedenheiten ihrer gleichwerthigen Kanten zeigen können.

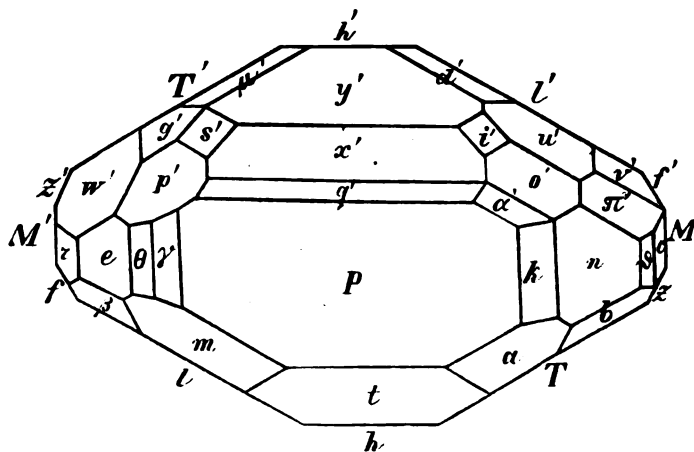
• Jedenfalls ergibt sich das Resultat, dass die Abweichungen theoretisch gleichwerthiger Kantenwinkel von einander *nicht derartige sind, dass sie die Ansicht, es gehöre der Vesuvian nicht zum tetragonalen System, unterstützen könnten*, wobei jene Frage zu bejahen sei, eine offene bleibt.

• Die Beobachtungen stimmen mit denen von Zepharovich in seiner Monographie niedergelegten überein, nur sind bei diesem Forscher diejenigen Fälle, in denen gleiche Werthe für die vier Kanten $c : P$ ($P : oP$) beobachtet wurden; verhältnissmässig weit seltener, da von 17 Krystallen nur ein einziger gleiche Kanten besass, während bei mir von 37 Krystallen fünf dies zeigten. ◀

Zweiter Anhang zum Anorthit.

(Vergl. Bd. IV, S. 200; Bd. V, S. 111).

J. Strüver *) und G. vom Rath **) haben Anorthitkrystalle sehr genau gemessen und Resultate erhalten, welche den meinigen ***) sehr nahe kommen. J. Strüver hat für seine Untersuchungen die Anorthitkrystalle aus dem alten Latium (das heutige Albener Gebirge, Rom) und G. vom Rath — die Anorthitkrystalle vom Aranyer Berge (am rechten Ufer des Mieresch, eine Meile östlich von Deva in Siebenbürgen) angewandt. Die hauptsächlichsten Resultate der Beobachtungen dieser beiden Gelehrten sind in der nachfolgenden Tabelle gegeben und mit den meinigen verglichen. Hier ist die beigelegte Figur in Rücksicht zu nehmen.



*) „Die Mineralien Latiums“ von J. Strüver in Rom (Zeitschrift für Krystallographie und Mineralogie von P. Groth, 1877, Bd. I, S. 225.

**) „Mineralogische Mittheilungen von G. vom Rath in Bonn (Zeitschrift für Mineralogie und Krystallographie von P. Groth, 1881, Bd. V, S. 23.

***) Materialien zur Mineralogie Russlands von N. v. Kokscharow, 1862, Bd. IV, S. 200.

W i n k e l. Strüver vom Rath Kokscharow
gemessen. gemessen. gemessen (Mittel), berechnet.

Krystall № 1.

$\frac{W}{n} = \frac{\infty a : b : \infty c}{a : \frac{1}{2}b : \infty c}$	= 132° 39' 40''	.. —	.. 132° 38' 5''	.. 132° 35' 48'
$\frac{n}{P} = \frac{a : \frac{1}{2}b : \infty c}{a : \infty b : \infty c}$	= 133 11 0	.. 133° 16'	.. 133 14 30	.. 133 14 12
$\frac{P}{e} = \frac{a : \infty b : \infty c}{a : -\frac{1}{2}b : \infty c}$	= 137 20 20	.. —	.. 137 20 30	.. 137 21 35
$\frac{e}{r} = \frac{a : -\frac{1}{2}b : \infty c}{a : -\frac{1}{4}b : \infty c}$	= 154 57 30	.. —	.. —	.. 154 57 43
$\frac{r}{M'} = \frac{a : -\frac{1}{4}b : \infty c}{\infty a : -b : \infty c}$	= 161 55 40	.. —	.. —	.. 161 50 42
$\frac{M'}{\xi} = \frac{\infty a : -b : \infty c}{-a : -\frac{1}{2}b : \infty c}$	= 161 2 50	.. —	.. —	.. —
$\frac{\xi}{n'} = \frac{-a : -\frac{1}{2}b : \infty c}{-a : -\frac{1}{4}b : \infty c}$	= 151 29 20	.. —	.. —	.. —
$\frac{n'}{P'} = \frac{-a : -\frac{1}{4}b : \infty c}{-a : \infty b : \infty c}$	= 133 23 30	.. —	.. —	.. 133 14 12

$\frac{M'}{f} = \frac{\infty a : -b : \infty c}{\infty a : -\frac{1}{2}b : c}$	= 150 33 15	.. —	.. —	.. 150 30 32
$\frac{f}{l} = \frac{\infty a : -\frac{1}{2}b : c}{\infty a : -b : c}$	= 151 36 45	} .. 151 25 —	.. 151 25 12
$\frac{l}{T} = \frac{\infty a : -b : c}{\infty a : b : c}$	= 120 17 50			
$\frac{T}{z} = \frac{\infty a : b : c}{\infty a : \frac{1}{2}b : c}$	= 148 30 0	.. 148 33	.. 148 31 40	.. 143 31 8
$\frac{z}{M} = \frac{\infty a : \frac{1}{2}b : c}{\infty a : b : \infty c}$	= 149 3 20	.. —	.. —	.. 149 2 18

$\frac{T}{P} = \frac{\infty a : b : c}{a : \infty b : \infty c}$	= 110 42 10	.. 110 36	.. 110 38 50	.. 110 40 6
$\frac{t}{P} = \frac{a : \infty b : \frac{1}{2}c}{a : \infty b : \infty c}$	= 138 33 40	.. —	.. —	.. 138 32 23
$\frac{T}{t} = \frac{\infty a : b : c}{a : \infty b : \frac{1}{2}c}$	= 141 45 50	.. —	.. —	.. 141 46 20
$\frac{T}{n} = \frac{\infty a : b : c}{a : \frac{1}{4}b : \infty c}$	= 126 42 50	.. —	.. 126 46 15	.. 126 45 32

$$\begin{aligned}
 r &= \left(\frac{1}{2}a : b : b : \infty b\right) = \frac{1}{2}P \\
 u &= \left(\frac{2}{3}a : b : b : \infty b\right) = \frac{2}{3}P \\
 x &= (a : b : b : \infty b) = P \\
 y &= (2a : b : b : \infty b) = 2P \\
 z &= (4a : b : b : \infty b) = 4P \\
 t &= (2a : 2b : b : -2b) = 2P2
 \end{aligned}$$

Durch Messung vermittelt des Mitscherlich'schen Goniometers mit *einem* Fernrohre wurden die Winkel erhalten, welche mit denen aus meinem Axerverhältnisse,

$$a : b : b : b = 0,838926 : 1 : 1 : 1,$$

(vergl. »Mater. z. Min. Russlands« Bd. II, S. 155) berechneten grösstentheils fast zusammenfallen, — nämlich:

$x : m$ (über y und z).

Kr. № 1	=	134°	5'	0''	sehr gut.
And. Kante	=	134	5	20	gut.
Kr. № 2	=	134	5	0	»
And. Kante	=	134	5	30	ziemlich.
And. Kante	=	134	5	0	gut.

$$\text{Mittel} = 134^\circ 5' 10''$$

$$(\text{Nach Rechnung} = 134^\circ 5' 22'')$$

$x : x$ (über c).

$$\text{Kr. № 2} = 91^\circ 48' 20'' \text{ ziemlich.}$$

$$(\text{Nach Rechnung} = 91^\circ 49' 16'')$$

$x : x$ (Polkante).

$$\text{Kr. № 1} = 139^\circ 17' 0'' \text{ sehr gut.}$$

$$(\text{Nach Rechnung} = 139^\circ 17' 0'')$$

$x : y$ (anliegende).

Kr. № 2 = $161^{\circ} 23' 0''$ sehr gut.

(Nach Rechnung = $161^{\circ} 23' 24''$)

$y : m$ (über z).

Kr. № 2 = $152^{\circ} 42' 10''$ sehr gut.

And. Kante = $152 41 0$ ziemlich.

And. Kante = $152 42 10$ gut.

And. Kante = $152 40 50$ ziemlich.

Mittel = $152^{\circ} 41' 33''$

(Nach Rechnung = $152^{\circ} 41' 58''$)

$y : y$ (über c).

Kr. № 2 = $54^{\circ} 35' 20''$ sehr gut.

(Nach Rechnung = $54^{\circ} 36' 4''$)

$y : z$ (anliegende).

Kr. № 2 = $167^{\circ} 10' 0''$ sehr gut.

(Nach Rechnung = $167^{\circ} 10' 13''$)

$y : u$ (über x).

Kr. № 2 = $150^{\circ} 10' 10''$ gut.

(Nach Rechnung = $150^{\circ} 9' 19''$)

$u : m$ (über x , y und z).

Kr. № 2 = $122^{\circ} 49' 30''$ ziemlich.

And. Kant. = $122 50 50$ „

Mittel = $122^{\circ} 50' 10''$

(Nach Rechnung = $122^{\circ} 51' 17''$)

$u : z$ (über x und y).

Kr. № 2 = $137^{\circ} 21' 0''$ gut.

(Nach Rechnung = $137^{\circ} 19' 32''$)

$z : m$ (anliegende).

Kr. № 2 = $165^{\circ} 30' 0''$ ziemlich.

And. Kante = $165 \quad 30 \quad 30$ „

And. Kante = $165 \quad 28 \quad 20$ „

Mittel = $165^{\circ} 29' 37''$

(Nach Rechnung = $165^{\circ} 31' 45''$)

$z : z$ (über c).

Kr. № 2 = $29^{\circ} 0' 0''$ ziemlich.

(Nach Rechnung = $28^{\circ} 56' 30''$)

$r : m$ (über u , x , y und z).

Kr. № 2 = $115^{\circ} 52' 30''$ gut.

And. Kante = $115 \quad 47 \quad 50$ ziemlich.

And. Kante = $115 \quad 53 \quad 40$ „

And. Kante = $115 \quad 54 \quad 0$ „

Mittel = $115^{\circ} 52' 0''$

(Nach Rechnung = $115^{\circ} 50' 37''$)

$r : r$ (über c).

Kr. № 2 = $128^{\circ} 18' 30''$ ziemlich.

(Nach Rechnung = $128^{\circ} 18' 46''$)

$m : m$ (anliegende).

Kr. № 2 = $120^{\circ} 0' 0''$ sehr gut.

And. Kante = $120 0 0$.

Mittel = $120^{\circ} 0' 0''$

(Nach Rechnung = $120^{\circ} 0' 0''$)

$m : b$ (anliegende).

Kr. № 2 = $150^{\circ} 0' 0''$ sehr gut.

(Nach Rechnung = $150^{\circ} 0' 0''$).

2) J. Strüver *) hat seinerseits, im Jahre 1877, zwei Nephelinkristalle von Latium (Albaner Gebirge) gemessen und Resultate erhalten, die sehr nahe den meinigen kommen.

J. Strüver hat in seinen Krystallen folgende Formen beobachtet:

$$c = oP, m = \infty P, b = \infty P2, s = \infty P\frac{3}{2},$$

$$r = \frac{1}{3}P, x = P, y = 2P \text{ und } t = 2P2.$$

Die nachstehende vergleichende Tabelle giebt die Resultate seiner Messungen:

Wink.	Strüver (Latium)	Scacchi (Vesuv)	Kokscharow (Vesuv)
	gemessen.	aus $x:c = 136^{\circ} 1'$ berechnet.	berechnet.
$x:c$	= $136^{\circ} 9' 20''$ (Kr. I)		
	<u>135 58 55</u> (Kr. II)		
Mittel	= $136^{\circ} 4' 8''$... $136^{\circ} 1'$... $135^{\circ} 54' 38''$
$y:c$	= 117 21 0	... 117 23	... 117 18 2
$r:c$	= 154 19 30	... 154 14	... 154 9 23
$m:c$	= .90 5 30	... 90 0	... 90 0 0
$s:m$	= 160 54 40	... 160 54	... 160 53 36
$s:b$	= 169 7 15	... 169 6	... 169 6 24

*) „Die Mineralien Latiums“, von J. Strüver in Rom („Zeitschrift für Krystallographie und Mineralogie“, von P. Groth, 1877, Bd. I, S. 240).

Es scheint mir, dass die Resultate der Strüver'schen Messungen man nicht als ganz genau ansehen kann, was schon die Messung $m : c = 90^\circ 5' 30''$ zum Theil beweist.

Zweiter Anhang zum Sanidin.

(Vergl. Bd. V, S. 146, S. 153, S. 338 und S. 366).

J. Strüver*) hat eine höchst wichtige und interessante Abhandlung über Sanidin von Latium (Albaner Gebirge) veröffentlicht. Er hat ähnliche Winkelschwankungen gefunden, welche zuerst G. Rose**) nachher ich***) und später G. vom Rath****) in den Krystallen dieses Minerals nachgewiesen haben. Durch zahlreiche und gründliche Messungen und Rechnungen gelangte J. Strüver zu dem Schluss, *»dass es sehr gewagt wäre besondere krystallographisch verschiedene Sanidinvarietäten nach den Fundorten aufzustellen, wie etwa Lauch-Sanidin und Vesuv-Sanidin«* (wie dies G. vom Rath gethan hat).

In 3 untersuchten Sanidinkrystallen von Latium hat J. Strüver die Formen:

$$M = (\infty P \infty), P = oP, (T, l) = \infty P, z = (\infty P 3),$$

$$x = +P \infty, r = +\frac{4}{3}P \infty, n = (2P \infty) \text{ und } o = +P$$

beobachtet. Die Resultate seiner sorgfältigen Messungen waren folgende:

Krystall № 1.

Winkel.	Gemessen.	Zahl der Kanten.
$M : l$	$= 120^\circ 37' 0''$	1
$l : T$	$= 118 \ 53 \ 53$	1
Klinod. Kante		

*) J. Strüver; „Die Mineralien Latiums“ („Zeitschrift für Krystallographie und Mineralogie“ von P. Groth, 1877, Bd. I, S. 243).

**) Poggendorff's Annalen, 1833, Bd. XXVIII, S. 144.

***) „Materialien zur Mineralogie Russlands“ von N. v. Kokscharow, 1866, Bd. V, S. 146 und 351.

****) Poggendorff's Annalen, 1868, Bd. CXXXV, S. 454.

Winkel.	Gemessen.	Zahl der Kanten.
$M : z$	$= 150^\circ 35' 0''$	1
$l : z$ anliegende }	$= 149 57 25$	1
$M : o$ anliegende }	$= 116 49 20$	2
$o : x$ anliegende }	$= 153 15 11$	2
$x : l$	$= 110 33 43$	4
$x : z$	$= 101 27 7$	1
$o : z$	$= 124 48 30$	1
$o : T$ anliegende }	$= 122 54 12$	3
$o : P$	$= 125 1 32$	2

Krystall № 2.

Winkel.	Gemessen.	Zahl der Kanten.
$P : x$ anliegende }	$= 129^\circ 54' 27''$	1
$P : y$ über x }	$= 99 29 43$	1
$M : l$	$= 120 37 10$	1
$M : z$	$= 150 39 58$	1
$P : l$	$= 67 42 20$	1
$y : l'$	$= 134 20 23$	1
$M : o$ anliegende }	$= 116 44 0$	1
$M : P$ $010 : 001$ }	$= 89 51 50$	1
$P : M$ $001 : 010$ }	$= 89 59 2$	1

Nach Strüver's Bemerkung, war dieser Krystall № 2 sehr unregelmässig ausgebildet, obgleich seine Flächen ausgezeichnet eben und spiegelnd waren.

Krystall № 3.

Winkel.	Gemessen.	Zahl der Kanten.
$P : r$	$= 116^\circ 40' 37''$	1
$M : l$	$= 120 \ 25 \ 0$	1
$l : T$ Klinod. Kante }	$= 119 \ 4 \ 23$	1
$M : z$	$= 150 \ 33 \ 17$	1
$l : z$ anliegende }	$= 150 \ 1 \ 35$	1
$M : o$ anliegende }	$= 116 \ 44 \ 41$	2
$o : o$ Klinod. Polkt. }	$= 126 \ 41 \ 52$	1
$o : r$	$= 150 \ 34 \ 8$	2
$y : r$	$= 162 \ 56 \ 20$	1
$T : r$	$= 121 \ 36 \ 5$	1
$o : z$	$= 125 \ 2 \ 20$	1
$o : T$	$= 123 \ 6 \ 53$	1

Nun hat J. Strüver für jeden dieser drei Krystalle ihr eigenes besonderes Axenverhältniss berechnet und folgende Werthe erhalten (Es wird hier, wie weiter unten, bezeichnet: a=Verticalaxe, b=Klinodiagonale, c = Orthodiagonale und γ =schiefer Winkel, welchen die Axen a und b bilden):

$$\text{Für Kr. № 1} \left\{ \begin{array}{l} a : b : c = 0,5522 : 0,6577 : 1 \\ \gamma = 64^\circ 2' 30'' \end{array} \right.$$

$$\text{Für Kr. № 2} \left\{ \begin{array}{l} a : b : c = 0,5541 : 0,6585 : 1 \\ \gamma = 63^\circ 47' 0'' \end{array} \right.$$

$$\text{Für Kr. № 3} \left\{ \begin{array}{l} a : b : c = 0,5521 : 0,6535 : 1 \\ \gamma = 64^\circ 12' 5'' \end{array} \right.$$

Wollte man in diesem Krystall № 3 $y : r = 162^\circ 56' 20''$ für welchen eine bedeutende Differenz zwischen Beobachtung und

Rechnung gefunden wurde, ausschliessen, so würde man für die Constanten des Krystalls № 3 erhalten:

$$a : b : c = 0,5521 : 0,6538 : 1$$

$$\gamma = 64^{\circ} 8' 45''$$

Der Winkel γ würde dann weniger von dem für den Krystall № 1 erhaltenen Werthe abweichen. »Jedenfalls«, sagt J. Strüver, »folgt aus dem Obigen, dass die krystallographischen Constanten des Sanidins von Latium von einem Individuum zum andern beträchtlich variiren, eine Thatsache, welche übrigens auch aus den zahlreichen von G. vom Rath angestellten Messungen für den Laacher und Vesuvischen Sanidin sich ergibt.«

Auf meine eigenen Beobachtungen mich stützend bin ich schon vor langer Zeit zu demselben Schluss geführt worden *).

Um die Frage, ob der Sanidin des Albaner Gebirges durch seine krystallographischen Constanten sich mehr dem vom Laacher See oder dem des Monte Somma (Vesuv) nähere? zu entscheiden, hat

*) Ueber diesen Gegenstand habe ich mich damals folgendermaassen ausgedrückt: „Bei der Messung der Rhyakolithkrystalle stösst man auf solche Fälle, welche ganz unerklärlich sind“ u. s. w. Ferner:

„Ich habe 6, von einem Stücke abgelöste Rhyakolithkrystalle vom Vesuv gemessen, und am Krystall № 5 den Winkel des Prismas an einer Kante = $118^{\circ} 26' 0''$ gefunden, während er in anderen Krystallen, nämlich in № 1 = $119^{\circ} 1' 50''$ in № 3 = $119^{\circ} 2' 50''$ und in № 6 = $118^{\circ} 53' 50''$ war. Im Allgemeinen waren alle Krystalle nicht gut genug ausgebildet, obgleich sie glänzende Flächen besaßen, so z. B. fand ich $P:M$ am Kr. № 2 = $90^{\circ} 5' 0''$, am Kr. № 3 = $90^{\circ} 4' 0''$, am Kr. № 4 = $90^{\circ} 6' 0''$, am Kr. № 5 = $90^{\circ} 8' 15''$, am Kr. № 6 = $90^{\circ} 7' 0''$; $x:M$ am Kr. № 4 = $90^{\circ} 11' 15''$, $M:M$ am Kr. № 4 = $0^{\circ} 12' 0''$, am Kr. № 5 = $0^{\circ} 18' 30''$, am Kr. № 6 = $0^{\circ} 0' 0''$. Diese Zahlen zeigen deutlich genug wie unvollkommen der grösste Theil der Rhyakolithkrystalle ausgebildet ist“ u. s. w. (Materialien zu Mineralogie Russlands, von N. v. Kokscharow, 1866, Bd. V, S. 146). Bei Betrachtungen der von G. vom Rath's vergleichenden Tabelle der Winkel des Sanidins von Laach und vom Vesuv habe ich auch damals gesagt: „Man sieht hieraus, dass die Differenzen (vorzüglichst bei der Unvollkommenheit der Krystallbildung) nicht zu gross sind, so dass unwillkürlich wiederum die Frage entsteht, ob dieselben wirklich existiren oder nicht?“ (a. d. O. S. 351).

J. Strüver sämtliche an obigen 3 Krystallen ausgeführten Messungen combinirt, um die mittleren Constanten daraus zu berechnen: und ebenso wurden aus den Messungen G. vom Rath's die mittleren Constanten für den Laacher und Vesuvischen Sanidin berechnet, wobei die an Zwillingen ausgeführten Beobachtungen ausgeschlossen, die übrigen sämtlich als gleichwerthig betrachtet wurden. Auf diese Weise hat J. Strüver erhalten für:

1) Sanidin von Laach *).

$$\begin{aligned} a : b : c &= 0,5517 : 0,64925 : 1 \\ &= 1 : 1,17682 : 1,81258 \\ \gamma &= 63^\circ 54' 0'' \end{aligned}$$

2) Sanidin von Latium.,

$$\begin{aligned} a : b : c &= 0,5522 : 0,6562 : 1 \\ &= 1 : 1,18834 : 1,81094 \\ \gamma &= 63^\circ 57' 0'' \end{aligned}$$

3) Sanidin vom Vesuv.

$$\begin{aligned} a : b : c &= 0,5526 : 0,6538 : 1 \\ &= 1 : 1,18313 : 1,80963 \\ \gamma &= 64^\circ 7' 5'' \end{aligned}$$

*) Wie bekannt, war früher abgeleitet worden:

Sanidin von Laach.	}	G. vom Rath.
a : b : c = 0,550697 : 0,648540 : 1		
= 1 : 1,17767 : 1,81588 $\gamma = 63^\circ 58' 38''$		
Sanidin vom Vesuv.	}	G. vom Rath.
a : b : c = 0,552734 : 0,651844 : 1		
= 1 : 1,17931 : 1,80919 $\gamma = 64^\circ 0' 32''$		
a : b : c = 0,551682 : 0,654007 : 1	}	Kokscharow.
= 1 : 1,18548 : 1,81264		
$\gamma = 63^\circ 55' 55''$		

(Vergl. „Materialien zur Mineralogie Russlands“, 1866, Bd. V, S. 362).

Das Endresultat für die Sanidinkristalle von Latium bietet die nachfolgende Tabelle dar. Da das Axenverhältniss, welches ich für die Sanidinkristalle vom Vesuv abgeleitet habe, ($a : b : c = 0,551682 : 0,654007 : 1, \gamma = 63^\circ 55' 55''$) dem mittleren Axenverhältniss, welches J. Strüver für die Sanidinkristalle von Latium giebt ($a : b : c = 0,5522 : 0,6562 : 1, \gamma = 63^\circ 57' 0''$), ziemlich nahe kommt, so habe ich die Resultate meiner Messungen und Rechnungen dieser Tabelle beigefügt.

Winkel.	Strüver (Kr. von Latium).		Kokscharow (Kr. vom Vesuv).	
	Gemessen.	Berechnet.	Gemessen.	Berechnet.
$M : l$	120°33' 3"	120°31'15"	120°31'23"	120°26' 0"
$l : T$	118 59 8	118 57 30	118 59 40	119 8 0
Klinod. Kante)				
$M : z$	150 36 5	150 30 56	150 33 23	150 25 46
$l : z$	149 59 30	150 0 19	149 55 17	150 0 14
anliegende)				
$M : o$	116 46 0	116 44 28	116 48 0	116 42 28
anliegende)				
$o : x$	153 15 11	153 15 32	153 22 30	153 17 32
anliegende)				
$x : l$	110 33 43	110 36 57	110 24 25	110 42 58
$x : z$	101 27 7	101 36 20	—	101 40 52
$o : z$	124 55 25	124 50 27	—	124 52 24
$o : T$	123 0 32	122 52 48	—	122 55 58
anliegende)				
$o : P$	125 1 32	124 52 35	125 5 25	124 48 8
$P : r$	116 40 37	116 42 45	—	—
$o : o$	126 41 52	126 31 4	—	126 35 4
Klinod. Polk.)				
$o : r$	150 34 8	150 24 26	—	—
$r : y$	162 56 20	163 4 37	—	—
$r : T$	121 36 5	121 25 5	—	—
$P : x$	129 54 27	129 49 29	129 59 58	129 42 38
anliegende)				
$P : y$	99 29 43	99 47 22	—	99 41 5
über x)				
$P : l$	67 42 20	67 46 16	67 44 20	67 44 6
$y : l$	134 20 23	134 17 38	—	134 24 19

J. Strüver beendigt seine Abhandlung mit folgenden Worten:

»Fassen wir die obigen Resultate der Rechnung zusammen, so würden wir als mittlere Constanten für den Sanidin der 3 betrachteten Fundorte die folgenden Werthe haben:

	γ	a	b	c
»Laach . . .	$63^{\circ} 54'$	0,5517	0,64925	1
»Latium . . .	$63 57$	0,5522	0,6562	1
»Vesuv . . .	$64 7\frac{1}{2}$	0,5526	0,6538	1

»G. vom Rath giebt:

»Vesuv . . .	$64^{\circ} 0' 32''$	0,55273	0,65184	1
»Laach . . .	$63 58 38$	0,55070	0,64854	1

»Kokscharow berechnet:

»Vesuv . . .	$63^{\circ} 55' 55''$	0,55168	0,65401	1
--------------	-----------------------	---------	---------	---

(wo a = Verticalaxe, b = Klinodiagonale, c = Orthodiagonale und γ = Winkel zwischen den Axen a und b).

»Vergleicht man diese Werthe untereinander und mit den für jeden einzelnen der 3 Albaner Krystalle berechneten, so ersieht man auf dem ersten Blick, dass nicht nur unsere berechneten Mittelwerthe, sondern auch die vom Rath und von Kokscharow aus der durchaus nöthigen Anzahl willkürlich gewählter Winkel berechneten Constanten gänzlich innerhalb der Grenzen fallen, welche die Variationen der Albaner Krystalle aufweisen. Mit anderen Worten, die Sanidinkrystalle Latiums variiren stärker untereinander, als die Mittelwerthe für verschiedene Fundorte. Und dasselbe Resultat erhält man für die vesuvischen Krystalle, wenn man aus Rath's Messungen die Constanten der einzelnen Individuen berechnet. Die Laacher Krystalle variiren weit weniger untereinander, aber das erklärt sich eben sehr einfach dadurch, dass sie, wie vom Rath

• selbst angiebt, demselben Handstück entnommen wurden, also
• wahrscheinlich dieselbe Zusammensetzung hatten und unter densel-
• ben Umständen sich bildeten. Es scheint mir demnach sehr gewagt
• zu sein, besondere, krystallographisch verschiedene Sanidin-Varie-
• täten nach den Fundorten aufzustellen, wie etwa Laach- und Vesuv-
• Sanidin.

• Aus den oben angegebenen Ziffern folgt ferner, dass die mitt-
• leren Constanten für die verschiedenen Fundorten theils sehr wenig,
• theils stark verschieden sind. Das Verhältniss $\frac{a}{c}$ ist fast überein-
• stimmend an den 3 Fundorten, aber weit stärkere Variationen zei-
• gen der Winkel γ und das Verhältniss $\frac{b}{c}$. Ob diese letzteren Un-
• terschiede nun der Wirklichkeit entsprechen, muss vorläufig unent-
• schieden gelassen werden, denn aus einer Vergleichung der gemessenen und berechneten Winkel geht für alle 3 Fundorte hervor,
• dass die Anzahl der gemachten Beobachtungen nicht entfernt ge-
• nügte, um zufriedenstellende Resultate zu erhalten. Namentlich in
• der Zone (010) stimmen Rechnung und Beobachtung sehr schlecht.
• Wir würden allerdings eine bessere Uebereinstimmung erhalten,
• wenn wir für die Flächen der Zone complicirte Symbole annehmen
• wollten. Das scheint mir aber kaum zulässig.

• Die Thatsache, dass die Zone (010), trotz der ausgezeichneten
• Beschaffenheit ihrer Flächen, so bedeutende Störungen aufweist,
• lässt uns unwillkürlich an Tschermak's Feldspaththeorie denken
• und in ihr die Erklärung der Erscheinung suchen. Um aber darü-
• ber ins Klare zu kommen müssten wir eine grössere Anzahl von
• Handstücken der verschiedenen Fundorte zur Verfügung haben,
• zahlreiche Krystalle jedes Handstückes genau messen, ihre mitt-
• leren Constanten berechnen, und sie dann einer genauen chemischen
• Analyse unterwerfen. Abgesehen von der Langwierigkeit einer
• solchen Arbeit dürfte die Beschaffung des nöthigen Materials mit
• nicht geringen Schwierigkeiten verbunden sein. «

Aus allem obenangeführten geht hervor, dass wir noch keinen passenden Grund haben den Sanidin in verschiedenen Varietäten zu zersplittern (wie z. B. Laach-Sanidin, Vesuv-Sanidin und Latium-Sanidin) und dass alle Winkelschwankungen, welche die Krystalle aus den erwähnten drei Fundorten darbieten, wir zur Zeit der Unvollkommenheit der Krystallbildung zuschreiben müssen. Es wäre daher vielleicht zweckmässig für die Sanidin Krystalle von Laach, Latium und vom Vesuv eine und dieselbe Grundform anzunehmen und für diese letztere ein mittleres Axenverhältniss zu berechnen. Zu diesem Zweck besitzen wir folgende Elemente:

γ	a (Verticalaxe).	b (Klinodiagon.).	c (Orthodiagon.).	
Sanidin von Laach.				
63°58'38"	. . 0,55070	. . 0,64854	. . 1	v. Rath.
63 54 0	. . 0,55170	. . 0,64925	. . 1	Strüver.
Mittel = 63°56'19"	0,55120	0,64890	1	(1)

Sanidin von Latium.

63°57' 0"	. . 0,55220	. . 0,65620	. . 1	Strüver. (2)
-----------	-------------	-------------	-------	--------------

Sanidin vom Vesuv.

64° 0'32"	. . 0,55273	. . 0,65184	. . 1	v. Rath.
64 7 30	. . 0,55260	. . 0,65380	. . 1	Strüver.
63 55 55	. . 0,55168	. . 0,65401	. . 1	Kokscharow.
Mittel = 64° 1'19"	0,55234	0,65322	1	(3)

Nun erhält man aus (1), (2) und (3) als mittleres allgemeines Axenverhältniss folgendes:

$$\begin{aligned}
 a : b : c &= 0,55191 : 0,65277 : 1 \\
 &= 1 : 1,18275 : 1,81189 \\
 \gamma &= 63^\circ 58' 13''
 \end{aligned}$$

Aus diesem Axenverhältnisse berechnen sich die Winkel: *)

$$o = +P.$$

$$X = 63^\circ 18' 22''$$

$$Y = 68 \quad 23 \quad 9$$

$$Z = 55 \quad 16 \quad 4$$

$$\mu = 65^\circ 39' 3''$$

$$\nu = 50 \quad 22 \quad 44$$

$$\rho = 61 \quad 6 \quad 19$$

$$\sigma = 56 \quad 51 \quad 53$$

$$n = (2P\infty).$$

$$X = 45^\circ 14' 3''$$

$$Y = 108 \quad 9 \quad 14$$

$$Z = 44 \quad 45 \quad 57$$

$$x = +P\infty.$$

$$Y = 65^\circ 39' 3''$$

$$Z = 50 \quad 22 \quad 44$$

*) Vorausgesetzt, dass eine jede monoklinoëdrische Pyramide aus zwei Hemipyramiden zusammengesetzt ist (nämlich aus einer positiven, deren Flächen über dem spitzen Winkel γ liegen und einer negativen, deren Flächen über dem stumpfen Winkel γ liegen) bezeichnen wir: in allen positiven Hemipyramiden, mit X die Neigung der Fläche zu dem klinodiagonalen Hauptschnitt, mit Y die Neigung der Fläche zu dem orthodiagonalen Hauptschnitt, mit Z die Neigung der Fläche zu dem basischen Hauptschnitt, und in der negativen Hemipyramide dieselben Neigungen mit X', Y' und Z'; ferner bezeichnen wir in den positiven Hemipyramiden den Neigungswinkel der klinodiagonalen Polkante gegen die Verticalaxe mit μ , derselben Polkante gegen die Klinodiagonale mit ν , der orthodiagonalen Polkante gegen die Verticalaxe mit ρ , der basischen Kante gegen die Klinodiagonale mit σ , und die beiden ersteren Winkel in den negativen Hemipyramiden mit μ' und ν' .

$$r = +\frac{1}{3}P_{\infty}.$$

$$Y = 52^{\circ} 32' 27''$$

$$Z = 63 \quad 29 \quad 20$$

$$y = +2P_{\infty}.$$

$$Y = 35^{\circ} 39' 52''$$

$$Z = 80 \quad 21 \quad 55$$

$$(T, l) = \infty P.$$

$$X = 59^{\circ} 36' 21''$$

$$Y = 30^{\circ} 23 \quad 39$$

$$z = (\infty P3).$$

$$X = 29^{\circ} 36' 32''$$

$$Y = 60 \quad 23 \quad 28$$

	Berechnet.	Gemessen.
$o : o$ über x }	$=126^{\circ}36'44''..$	$126^{\circ}32'20''$ v. Rath *) <u>126 41 52</u> Strüver.
		Mittel= $126^{\circ}37' 6''$
$o : M$	$=116 41 38 ..$	$116 40 30$ v. Rath. $116 46 \quad 0$ Strüver. $116 48 \quad 0$ Kokscharow.
		Mittel= $116^{\circ}44' 50''$
$o : k$	$=111 36 51 ..$	—
$o : P$	$=124 43 56 ..$	$124 41 24$ G. Rose. $124 40 51$ v. Rath. $125 \quad 1 \quad 32$ Strüver. $125 \quad 5 \quad 25$ Kokscharow.
		Mittel= $124^{\circ}52' 18''$

*) Hier, ist bei G. vom Rath's Messungen das Mittel gegeben aus den Winkeln, welche dieser Gelehrte in den Krystallen von Laach, Vesuv und Peru gefunden hat.

	Berechnet.	Gemessen.
$o : x$	$=153^{\circ}18'22'' \dots$	$153^{\circ}19'48''$ G. Rose. $153\ 21\ 30$ v. Rath. $153\ 15\ 11$ Strüver. $153\ 22\ 30$ Kokscharow.
		<hr/> Mittel $=153^{\circ}19'45''$
$o : r$	$=150\ 28\ 27 \dots$	$150\ 34\ 8$ Strüver.
$o : y$	$=140\ 41\ 57 \dots$	$140\ 38\ 12$ v. Rath.
$o : (T, l)$	$=123\ 1\ 31 \dots$	$123\ 3\ 30$ v. Rath. $123\ 0\ 32$ Strüver.
		<hr/> Mittel $=123^{\circ}\ 2'\ 1''$
$o : z$	$=124\ 55\ 41 \dots$	$125\ 4\ 24$ v. Rath. $124\ 55\ 25$ Strüver.
		<hr/> Mittel $=124^{\circ}59'55''$
$n : n$ über p }	$= 90\ 28\ 6 \dots$	—
$n : M$	$=134\ 45\ 57 \dots$	$134\ 43\ 0$ G. Rose. $134\ 46\ 0$ v. Rath. $134\ 42\ 57$ Kokscharow.
		<hr/> Mittel $=134^{\circ}43'59''$
$n : k$	$= 71\ 50\ 46 \dots$	—
$n : P$	$=135\ 14\ 3 \dots$	$135\ 13\ 20$ v. Rath. $135\ 15\ 18$ Kokscharow.
		<hr/> Mittel $=135^{\circ}14'19''$
$n : (T, l)$	$=128\ 41\ 6 \dots$	$128\ 39\ 30$ v. Rath. $128\ 54\ 30$ Kokscharow.
		<hr/> Mittel $=128^{\circ}47'\ 0''$

	Berechnet.	Gemessen.
$n : z$	$=140^{\circ} 0' 48''$..	$139^{\circ} 55' 30''$ v. Rath.
$n : x$	$=116 55 17$..	—
$T : l$ } über k	$=119 12 42$..	119 13 0 Breithaupt. 119 21 0 G. Rose. 119 18 47 v. Rath. 118 59 8 Strüver. 118 59 40 Kokscharow.
		Mittel $=119^{\circ} 10' 19''$
$T : l$ } über M	$= 60 47 18$..	—
$(T, l) : M$	$=120 23 39$..	120 23 30 Breithaupt. 120 19 18 G. Rose. 120 22 40 v. Rath. 120 33 3 Strüver. 120 31 23 Kokscharow.
		Mittel $=120^{\circ} 25' 59''$
$(T, l) : k$	$=149 36 21$..	—
$(T, l) : P$	$=112 14 33$..	112 17 30 Breithaupt. 112 19 0 G. Rose. 112 15 15 v. Rath. 112 17 40 Strüver. 112 15 40 Kokscharow.
		Mittel $=112^{\circ} 17' 1''$
$(T, l) : z$	$=150 0 11$..	150 0 24 G. Rose. 149 56 57 v. Rath. 149 59 30 Strüver. 149 55 17 Kokscharow.
		Mittel $=149^{\circ} 58' 2''$

	Berechnet.	Gemessen.
$(T, l) : x$	$= 110^{\circ} 49' 56'' ..$	$110^{\circ} 57' 15''$ v. Rath. $110\ 33\ 43$ Strüver. $110\ 24\ 25$ Kokscharow.
		Mittel $= 110^{\circ} 38' 28''$
$(T, l) : r$	$= 121\ 38\ 31 ..$	$121\ 23\ 0$ v. Rath. $121\ 36\ 5$ Strüver.
		Mittel $= 121^{\circ} 29' 33''$
$(T, l) : y$	$= 134\ 29\ 23 ..$	$134\ 34\ 0$ G. Rose. $134\ 32\ 4$ v. Rath. $134\ 20\ 23$ Strüver.
		Mittel $= 134^{\circ} 28' 49''$
$z : z$ über k }	$= 59\ 13\ 4 ..$	—
$z : z$ über M }	$= 120\ 46\ 56 ..$	—
$z : M$	$= 150\ 23\ 28 ..$	$150\ 15\ 15$ v. Rath. $150\ 36\ 5$ Strüver. $150\ 33\ 23$ Kokscharow.
		Mittel $= 150^{\circ} 28' 14''$
$z : k$	$= 119\ 36\ 32 ..$	—
$z : P$	$= 102\ 31\ 20 ..$	$102\ 37\ 0$ v. Rath.
$z : x$	$= 101\ 45\ 14 ..$	$101\ 48\ 30$ v. Rath. $101\ 27\ 7$ Strüver.
		Mittel $= 101^{\circ} 37' 49''$
$z : y$	$= 113\ 39\ 59 ..$	$113\ 47\ 15$ v. Rath.
$x : k$	$= 114\ 20\ 57 ..$	—
$x : M$	$= 90\ 0\ 0 ..$	$90\ 0\ 42$ v. Rath.
$x : P$	$= 129\ 37\ 16 ..$	$129\ 36\ 30$ G. Rose.

Berechnet.	Gemessen.
	129° 31' 36'' v. Rath.
	129 54 27 Strüver.
	129 59 58 Kokscharow.
	Mittel = 129° 45' 38''
$x : y$	= 150° 0' 49'' ..
	150 0 41 v. Rath.
	150 2 50 Kokscharow.
	Mittel = 150° 1' 46''
$x : r$	= 166 53 24 ..
	167 55 0 (?) v. Rath.
$y : M$	= 90 0 0 ..
	—
$y : k$	= 144 20 8 ..
	—
$y : P$	= 99 38 5 ..
	99 29 0 v. Rath.
	99 29 43 Strüver.
	Mittel = 99° 29' 22''
$y : r$	= 163 7 25 ..
	163 5 0 v. Rath.
	162 56 20 Strüver.
	Mittel = 163° 0' 40''
$r : P$	= 116 30 40 ..
	116 40 37 Strüver.
$r : M$	= 90 0 0 ..
	—
$P : k$	= 116 1 47 ..
	116 5 0 Breithaupt.
	116 4 30 v. Rath.
	Mittel = 116° 4' 45''
$P : M$	= 90 0 0 ..
	90 1 7 v. Rath.

Erster Anhang zum Volborthit.

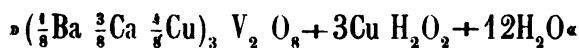
(Vergl. Bd. IV, S. 145.)

F. A. Genth *) hat eine ziemlich vollständige Analyse des Volborthits aus der Kupfergrube Woskressenskoi im Gouvernement Perm ausgeführt. Wir verdanken also F. A. Genth die erste chemische Analyse unseres Minerals, denn bis jetzt ist der russische Volborthit noch niemals analysirt worden. Er hat folgende Resultate erhalten:

	I.	II.
Kieselsäure	1,38	1,36
Thonerde	4,45	4,78
Eisenoxyd	1,77	0,45
Magnesia	3,01	1,42
Kupferoxyd	34,04	38,01
Kalkerde	4,29	4,49
Bariterde	4,29	4,30
Vanadinsäure	13,62	13,59
Wasser (aus dem Verlust)	(33,15)	(31,60)
	100,00	100,00

F. A. Genth leitet aus seinen Untersuchungen folgenden Schluss ab:

„Nimmt man SiO_2 , Al_2O_3 , Fe_2O_3 , MgO und einen Theil des Wassers als Verunreinigungen an und betrachtet man den Woskressenskoi Volborthit als eine Verbindung von Vanadaten von Kupfer, Barium und Calcium mit Kupferoxydhydrat und Krystallwasser, so erhalten wir für diesen Volborthit folgende Formel:



*) Zeitschrift für Krystallographie und Mineralogie von P. Groth, 1878, Bd. II, S. 12.

Dritter Anhang zum Linarit.

(Vergl. Bd. IV, S. 139; Bd. V, S. 106 und 206.)

P. v. Jeremejew *) hat die Linarit-Krystalle von Beresowsk (Ural) und von der Anna-Goldwäsche (Altai) ziemlich ausführlich untersucht und gemessen. Diese letztere Anna-Goldwäsche liegt im NO Theile des Altaischen Bezirks, an dem Flüsschen Fjodorowka, einem linken Nebenflusse des in die Mrassa münden den Orton.

Die Linarit-Krystalle von Beresowsk waren lange hindurch nur nach einem einzigen Stück von der Sammlung des verstorbenen Mitgliedes der Kaiserlichen Mineralogischen Gesellschaft A. v. Uschakow bekannt. Doch man war nicht ganz sicher, ob dieses Linarit-Exemplar wirklich aus Beresowsk stammte, obgleich A. v. Uschakow dasselbe als von dortaus herkommend erhalten hatte. Jetzt nun, nach den neueren Beobachtungen von P. v. Jeremejew bleibt über diesen Gegenstand kein Zweifel mehr übrig. Was die altaischen Krystalle anbelangt so sind dieselben zum ersten Mal von dem erwähnten Gelehrten beschrieben worden.

Die Krystalle von Beresowsk und von der Anna-Goldwäsche sind, wie die englischen Linarit-Krystalle, nach der Orthodiagonale gestreckt. In den Linarit-Krystallen von Beresowsk (Ural) hat P. v. Jeremejew folgende Formen beobachtet: $a = \infty P\infty$, $c = oP$, $M = \infty P$, $l = \infty P^2$, $o = +\frac{2}{3}P\infty$, $s = +P\infty$, $x = +\frac{3}{2}P\infty$, $u = +2P\infty$ und $y = -P\infty$.

In den Linarit-Krystallen von der Anna-Goldwäsche (Altai)—folgende: $a = \infty P\infty$, $b = (\infty P\infty)$, $c = oP$, $M = \infty P$, $l = \infty P^2$, $o = +\frac{2}{3}P\infty$, $s = +P\infty$, $x = +\frac{3}{2}P\infty$, $u = +2P\infty$, $y = -P\infty$, $w = (\frac{1}{2}P\infty)$, $r = (P\infty)$, $q = +\frac{1}{2}P$ u. $g = +2P^2$.

*) Verhandlungen der Russisch-Kaiserlichen Mineralogischen Gesellschaft zu St. Petersburg, 1884, zweite Serie, Bd. XIX, S. 15.

Durch seine eigenen Messungen (es wurden vier Krystalle von Beresowsk und fünf Krystalle von der Anna-Goldwäsche gemessen) hat P. v. Jeremejew sich überzeugt, das die Winkelwerthe der Krystalle von Beresowsk und von der Anna-Goldwäsche eine vollkommene Uebereinstimmung darbieten.

P. v. Jeremejew berechnet aus seinen Messungen für die *russischen* Linarit-Krystalle ein Axenverhältniss:

$$\begin{aligned} a : b : c &= 0,829926 : 1,719252 : 1 \\ &= 0,482725 : 1 : 0,581648 \\ \gamma &= 77^\circ 24' 30'', \end{aligned}$$

wo : a = Verticalaxe, b = Klinodiagonale, c = Orthodiagonale.

Dieses Axenverhältniss ist aber etwas verschieden von dem, welches ich für die *englischen* (Cumberland) Krystalle abgeleitet habe. Aus zahlreichen und ziemlich scharfen Messungen habe ich nämlich erhalten: *)

$$\begin{aligned} a : b : c &= 0,483428 : 1 : 0,582710 \\ \gamma &= 77^\circ 22' 40'' \end{aligned}$$

Es entsteht also die Frage: ob wirklich diese Verschiedenheit in den Winkelwerthen existirt oder nicht? Es scheint mir doch, dass die viel weniger zahlreichen als die meinigen und nicht in allen Details veröffentlichten Messungen von P. v. Jeremejew, noch nicht genügend sind um diese Verschiedenheit zu constatiren und daher die oben erwähnte Frage wahrscheinlich durch künftige Beobachtungen entschieden werden wird.

P. v. Jeremejew schreibt.

•Die von mir ausgeführten Messungen an vier Linarit-Krystallen •von der Grube Beresowsk und an fünf vom Altai, haben keinen Unterschied in den Winkelgrössen gezeigt und für die besonders be-

*) „Materialien zur Mineralogie Russlands von N. v. Kokscharow, 1866, Bd. V, S. 215.

»friedigenden Beobachtungen im *Mittel*, folgende Resultate gegeben:

$$\begin{aligned} a : c &= 102^\circ 35' 30'' \text{ (Complement, d. h. } \gamma = 77^\circ 24' 30'') \\ a : s &= 105 \quad 10 \quad 34 \text{ (Complement} = 74^\circ 49' 26'') \\ a : y &= 125 \quad 40 \quad 44 \text{ (Complement} = 54 \quad 19 \quad 16) \\ a : M &= 120 \quad 47 \quad 39 \text{ (Complement} = 59 \quad 12 \quad 21) \\ c : s &= 152 \quad 13 \quad 56 \text{ (Complement} = 27 \quad 46 \quad 4) \end{aligned}$$

P. v. Jeremejew discutirt nicht weiter diese Messungen. Alle anderen Messungen, welche P. v. Jeremejew in seiner vergleichenden Tabelle giebt, muss man also als weniger genau im Vergleich mit den oben angeführten ansehen.

Die Neigung $a : c$ (anliegende) wurde von mir, aus 21 an verschiedenen Kanten (in 17 Krystallen) angestellten genauen Messungen, im Mittel = $102^\circ 36' 48''$ (Complement = $77^\circ 23' 12''$) und der complementäre Winkel, d. h. $a : c$ (über s und u), aus 19 an verschiedenen Kanten (in 16 Krystallen) angestellten Messungen, im Mittel = $77^\circ 22' 20''$ (Complement = $102^\circ 37' 40''$) erhalten.

Die Neigung $a : s$ (anliegende) wurde von mir, aus 8 an verschiedenen Kanten (in 8 Krystallen) angestellten ziemlich guten und übereinstimmenden Messungen, im Mittel, = $105^\circ 10' 48''$ (Complement = $74^\circ 49' 12''$) und der complementäre Winkel, d. h. $a : s$ (über c) aus 6 an verschiedenen Kanten (in 6 Krystallen) angestellten Messungen, im Mittel = $74^\circ 49' 57''$ (Complement = $105^\circ 10' 3''$) erhalten. Ich habe also diesen Winkel ganz von derselben Grösse als P. v. Jeremejew gefunden.

Die Neigung $a : y$ (anliegende) wurde von mir, aus 3 an verschiedenen Kanten (in 3 Krystallen) angestellten ziemlich guten und übereinstimmenden Messungen, im Mittel = $125^\circ 45' 47''$ (Complement = $54^\circ 14' 13''$) erhalten.

Die Neigung $a : M$ (anliegende) wurde von mir, aus 11 an verschiedenen Kanten (in 8 Krystallen) angestellten guten und übereinstimmenden Messungen, im Mittel = $120^\circ 51' 23''$ ($59^\circ 8' 37''$) und der complementare Winkel, d. h. $a : M$ (über M), aus 8 an verschiedenen Kanten (in 7 Krystallen) ziemlich passenden Messungen, im Mittel = $59^\circ 10' 14''$ (Complement = $120^\circ 49' 46''$) erhalten.

Die Neigung $c : s$ (über o) wurde von mir, aus 2 an verschiedenen Kanten (in 2 Krystallen) angestellten ziemlich guten Messungen, im Mittel = $152^\circ 13' 35''$ (Complement = $27^\circ 46' 25''$) und der complementare Winkel, d. h. $c : s$ (über a) aus einer einzigen ziemlich guten Messung = $27^\circ 46' 0''$ (Complement = $152^\circ 14' 0''$) erhalten. Also wie P. v. Jeremejew.

Endlich haben wir:

Kante.	Jeremejew.		Kokscharow.
	Gemessen.	Berechnet.	Berechnet.
$g : c$	= $153^\circ 46' 15''$. .	$153^\circ 41' 12''$. .	$153^\circ 40' 56''$
$e : a$	= $101 50 10$. .	$101 47 23$. .	$101 48 3$
$e : c$	= $133 37 8$. .	$133 40 40$. .	$133 40 0$
$e : M$ anliegende	} = $129 58 30$. .	$129 54 51$. .	$129 54 3$
$e : r$			
$g : a$	= $120 30 45$. .	$120 30 46$. .	$120 32 57$. .
$g : l$ anliegende	} = $137 52 36$. .	$137 57 10$. .	$137 57 47$
$g : r$			
$M : a$ anliegende	} = $120 47 39$. .	$120 47 39$. .	$120 50 35$
$M : c$ anliegende			
$M : l$ anliegende	} = $160 43 10$. .	$160 47 23$. .	$160 47 0$
$l : a$			
	= $140 4 30$. .	$140 0 23$. .	$140 3 35$

Kante.	Jeremejew.		Kokscharow.
	Gemessen.	Berechnet.	Berechnet.
$o : c$	$= 161^{\circ}13'30''$	$\dots 161^{\circ}20'41''$	$161^{\circ}18'29''$
$o : u$	$= 148\ 40\ 10$	$\dots 148\ 36\ 58$	$\dots 148\ 35\ 11$
$s : a$ anliegende	} $= 105\ 10\ 36$	$\dots 105\ 10\ 34$	$\dots 105\ 11\ 16$
$s : c$ anliegende			
$s : x$	$= 167\ 40\ 15$	$\dots 167\ 45\ 59$	$\dots 167\ 45\ 3$
$x : a$ anliegende	} $= 117\ 20\ 45$	$\dots 117\ 24\ 35$	$\dots 117\ 26\ 13$
$x : c$			
$u : a$ anliegende	} $= 127\ 29\ 40$	$\dots 127\ 26\ 51$	$\dots 127\ 29\ 0$
$u : c$ anliegende			
$u : y$ anliegende	} $= 106\ 50\ 12$	$\dots 106\ 52\ 25$	$\dots 106\ 47\ 16$
$w : c$			
$w : r$	$= 162\ 58\ 15$	$\dots 163\ 2\ 27$	$\dots 163\ 2\ 42$
$r : c$	$= 141\ 5\ 10$	$\dots 140\ 59\ 37$	$\dots 141\ 0\ 27$
$y : c$	$= 156\ 57\ 18$	$\dots 156\ 54\ 46$	$\dots 156\ 53\ 36$
$a : c$ stumpfe Kante	} $= 102\ 35\ 30$	$\dots 102\ 35\ 30$	$\dots 102\ 37\ 20$

Nach der Ansicht von P. v. Jeremejew ist der Linarit von Beresowsk aus dem Nadelerz, mit welchem er zusammen auftritt, durch Zersetzung entstanden und der Linarit vom Altai scheint aus Anglesit unter Einwirkung von Kupfercarbonaten gebildet worden zu sein, worauf die Ueberzüge des Linarits auf Anglesit hinweisen.

Dritter Anhang zum Xanthophyllit.

(Vergl. Bd. IV, S. 121; Bd. VII, S. 155 und 346.)

1. Waluewit (Waluéwite, Walouewite).

Meine früheren Beobachtungen über Waluewit-Krystalle aus der Mineral-Grube Nikolaje-Maximilianowsk (unweit von Achmatowsk im südlichen Ural) konnte ich in letzter Zeit bedeutend vermehren und vervollständigen, durch die Güte der Herren M. v. Norpe und A. v. Lösch, welche mir zu meiner Arbeit eine ziemlich grosse Menge messbarer Krystalle geliefert haben. Diese Krystalle waren unvergleichbar besser als die, welche ich für meine ersten Bestimmungen verwandt hatte. Obgleich auch diese Krystalle wiederum nicht genügend waren um ganz genaue Werthe zu liefern, so konnte ich doch vermittelt derselben einige ziemlich sichere Messungen ausführen. Die Differenzen zwischen den einzelnen Beobachtungen waren jetzt bisweilen ungefähr 10 oder 15 Minuten, während bei meinen alten Messungen diese Differenzen sich bis zu 1 Grad, 2 Grad und sogar mehr steigerten. Aus diesem Grunde war ich damals genöthigt, um das Axenverhältniss der Grundform des Minerals zu bestimmen, die mittleren Zahlen aus zahlreichen, aber sehr unbefriedigenden Messungen in Rücksicht zu nehmen, nämlich: ¹⁾.

$$\left. \begin{array}{l} d : P \\ + \frac{6\tilde{P}3}{2} : oP \end{array} \right\} = 109^\circ \quad 28' \quad 0'' \quad \left. \begin{array}{l} \\ \\ \end{array} \right\} \begin{array}{l} \text{Mittel aus zahlreichen un-} \\ \text{befriedigenden Messungen.} \end{array}$$

$$\left. \begin{array}{l} d : d \\ \text{Brachyd. Polkante} \end{array} \right\} = 70^\circ \quad 26' \quad 20''$$

¹⁾ Vergl. „Materialien zur Mineralogie Russlands“, Bd. VII, S. 349 und 373.

Aus diesen Zahlen wurden die ebenen Winkel der Basis berechnet: $120^\circ 6' 16''$ und $59^\circ 53' 44''$. Da die erhaltenen ebenen Winkel sich von $120^\circ 0' 0''$ und $60^\circ 0' 0''$ nur um $0^\circ 6' 16''$ unterschieden, so habe ich damals für die Berechnung des Axenverhältnisses der Grundform $o = \pm P$ folgende Werthe angenommen: $d : P = 109^\circ 28' 0''$ und genau $120^\circ 0' 0''$ (nach der Analogy mit Glimmer) und endlich erhalten:

$$a : b : c = 0,70729 : 1,73205 : 1,$$

wo $a =$ Verticalaxe, $b =$ Makrodiagonale und $c =$ Brachydiagonale.

Bis zum heutigen Tage hielt ich diese Resultate für sehr unbefriedigend, aber meine neuesten Messungen haben mir gezeigt, dass dieselben nicht so schlecht waren, wie ich es glaubte; in der That:

Durch meine neuesten viel befriedigenderen Messungen wurde erhalten:

$$\left. \begin{array}{l} d : P \\ + \frac{6\tilde{P}3}{2} : oP \\ \text{Brachyd. Polkante } d : d \end{array} \right\} = \begin{array}{l} 109^\circ \quad 35' \quad 30'' \\ \\ 70^\circ \quad 40' \quad 0'' \end{array} \left. \vphantom{\begin{array}{l} d : P \\ + \frac{6\tilde{P}3}{2} : oP \\ \text{Brachyd. Polkante } d : d \end{array}} \right\} \begin{array}{l} \text{Mittel aus mehreren, ob-} \\ \text{gleich nicht ganz genauen,} \\ \text{doch ziemlich guten Mes-} \\ \text{surungen.} \end{array}$$

Was für die ebenen Winkel, durch Rechnung:

$$119^\circ 58' 44'' \text{ und } 60^\circ 1' 16'' \text{ giebt,}$$

also noch näher zu $120^\circ 0' 0''$ und $60^\circ 0' 0''$.

Für die Berechnung des Axenverhältnisses der Grundform wurde jetzt angenommen:

$$d : P = 109^\circ 35' 30''$$

und die ebenen Winkel $120^\circ 0' 0''$ und $60^\circ 0' 0''$ was gegeben hat:

$$a : b : c = 0,702406 : 1,732050 : 1,$$

wo $a =$ Verticalaxe, $b =$ Makrodiagonale, $c =$ Brachydiagonale.

In meiner alten Abhandlung, habe ich schon die Aufmerksamkeit der Mineralogen auf eine merkwürdige Thatsache gelenkt, nämlich, dass die Waluewit-Krystalle in einem gewissen Zusammenhange zu den Glimmer-Krystallen stehen, denn ich habe schon damals gefunden, dass die Verticalaxe der Grundform des Waluewits fast genau 4 mal kleiner ist als dieselbe Axe beim Glimmer¹⁾. Diese Thatsache wurde später durch G. Tschermaks²⁾ Untersuchungen vollkommen bestätigt. Ebenso hat G. Tschermak auch dieselbe Lage für die Ebene der optischen Axen gefunden wie ich in meiner Abhandlung gezeigt habe, d. h. dass diese Ebene parallel der Symmetrieebene geht. Was aber die Winkel der optischen Axen anbelangt, so hat G. Tschermak gefunden, dass dieselben in den verschiedenen Blättchen variiren und zwar, nach seiner Bestimmung, von 17° bis 32°. Nach demselben Gelehrten ist die Doppelbrechung des Waluewits *negativ* und die Dispersion $\rho < \nu$.

Die Resultate seiner anderen Beobachtungen an den Waluewit-Krystallen beschreibt G. Tschermak folgender Massen:

- Der Xanthophyllit (Waluewit) giebt Schlag- und Druckfiguren
- so gut wie die Glimmer. Es ist aber sehr auffallend, dass die
- Schlaglinien nicht dieselbe Lage haben, wie bei den letzteren Mineralen. Durch Eintreiben einer scharfen Spitze bildet sich ein
- System von Sprüngen, welche den Kanten cx ($oP : -4\bar{P}\infty$),
- cd ($oP : +\frac{6\bar{P}3}{2}$) und cd' parallel sind. Man kann also sagen:
- die Schlagfigur des Xanthophyllits (Waluewits) hat dieselbe Lage
- wie die Druckfigur des Glimmers. Diese Beziehung reicht aber
- noch weiter. Beim Durchbohren der Xanthophyllitblättchen (Waluwitblättchen) entsteht ausser der Schlagfigur, also ausser dem

¹⁾ Vergl. „Materialien zur Mineralogie Russlands“, Bd. VII, S. 349.

²⁾ Vergl. „Die Clintonitgruppe“ von G. Tschermak und L. Sipöcz (Sitzungsberichte der mathem.-Naturwissensch. Classe d. k. Akademie der Wissenschaften zu Wien, 1879, Bd. LXXVIII, 1 Abtheilung, Jahrg. 1878, S. 555).

»Hauptstern noch ein System von Sprüngen, deren Linien die
»Winkel der Schlaglinien halbiren. Durch Druck erhält man die
»letzteren Sprünge vorwiegend. Demnach haben die Linien der
»Druckfigur dieselbe Lage wie jene der Schlagfigur des Glimmers.

»Die an den Krystallen und an den übrigen Individuen beobachteten natürlichen Sprünge und Trennungsf lächen liegen sowohl
»jenen Gleitfl ächen parallel, welche die Schlagfigur zusammensetzen,
»als auch jenen, welche die Druckfigur bilden.

»Durch Aetzen mit Schwefelsäure entstehen auf der vollkommenen Spaltfl äche stellenweis Vertiefungen von der Form dreiseitiger Pyramiden. Die Seiten der Aetzfigur liegen parallel den
»Kanten cx , cd und cd' , sie bilden also ein gleichseitiges Dreieck,
»das mit einer Spitze gegen x gewendet ist u. s. w.

G. Tschermak macht auch folgende besondere Bemerkung:

»Es darf noch bemerkt werden, dass die Blättchen dieses Xanthophyllits (Waluewit), von den groben Zwillingsbildungen abgesehen, im parallelen polarisirten Lichte eine sehr feine Textur erkennen lassen, welche sich dadurch bemerkbar macht, dass parallel der Symmetrieebene ungemein feine Streifen sichtbar werden, welche mit der Umgebung nicht gleichzeitig Auslöschung geben, sondern hierin eine Abweichung von ungefähr 1° und auch mehr erkennen lassen. Diese würde auf eine Zusammenfü gung aus asymmetrischen Individuen hindeuten. Die genannte Textur war übrigens die Ursache, dass eine genauere Bestimmung des scheinbaren Winkels, welchen die erste Mittellinie mit der Normalen auf c einschliesst, unterbleiben musste, obgleich einige «der vorliegenden Platten vollkommen eben waren».

Krystallformen des Waluewits.

Die Reihe der Krystallformen des Waluewits ist bis jetzt schon ziemlich zahlreich, obgleich einige von diesen Formen noch nicht mit ganzer Sicherheit bestimmt worden sind. Wir haben nämlich:

Basisches Pinakoid.

$$P \dots (a : \infty b : \infty c) \dots oP$$

Brachydomen.

$$y \dots (a : b : \infty c) \dots \check{P}\infty$$

$$h \dots (\frac{2}{3}a : b : \infty c) \dots \frac{3}{2}\check{P}\infty$$

$$v \dots (\frac{1}{9}a : b : \infty c) \dots \frac{1}{9}\check{P}\infty$$

$$r \dots (2a : b : \infty c) \dots 2\check{P}\infty$$

$$t \dots (\frac{8}{3}a : b : \infty c) \dots \frac{8}{3}\check{P}\infty$$

Makrodomen (als Hemidomen erscheinen).

$$z \dots - (3a : \infty b : c) \dots - \frac{3\bar{P}\infty}{2}$$

$$x \dots - (4a : \infty b : c) \dots - \frac{4\bar{P}\infty}{2}$$

Prismen.

$$\left. \begin{array}{l} N \\ \text{als Zwillingslinie} \end{array} \right\} \dots (\infty a : b : c) \dots \infty P$$

$$L \dots (\infty a : b : 3c) \dots \infty \check{P}3$$

Rhombische Hemipyramiden.

$$\begin{aligned}
 w & \dots - \left(\frac{8}{9}a : b : c\right) \dots - \frac{\frac{8}{9}P}{2} \\
 o' & \dots + (a : b : c) \dots + \frac{P}{2} \\
 o & \dots - (a : b : c) \dots - \frac{P}{2} \\
 s' & \dots + \left(\frac{4}{3}a : b : c\right) \dots + \frac{\frac{4}{3}P}{2} \\
 s & \dots - \left(\frac{4}{3}a : b : c\right) \dots - \frac{\frac{4}{3}P}{2} \\
 n & \dots + (a : b : 3c) \dots + \frac{\check{P}3}{2} \\
 d & \dots + (6a : b : 3c) \dots + \frac{6\check{P}3}{2}
 \end{aligned}$$

Die Formen $v = \frac{1}{9}\check{P}\infty$ und $w = \frac{\frac{8}{9}P}{2}$ wurden zum ersten mal von G. Tschermak und alle die anderen von mir bestimmt und beschrieben. Es bleibt aber zu wünschen übrig, dass man die Formen

$v = \frac{1}{9}\check{P}\infty$, $l = \frac{8}{3}\check{P}\infty$, $w = \frac{\frac{8}{9}P}{2}$ und $s = \frac{\frac{4}{3}P}{2}$ etwas sicherer bestimmen könnte.

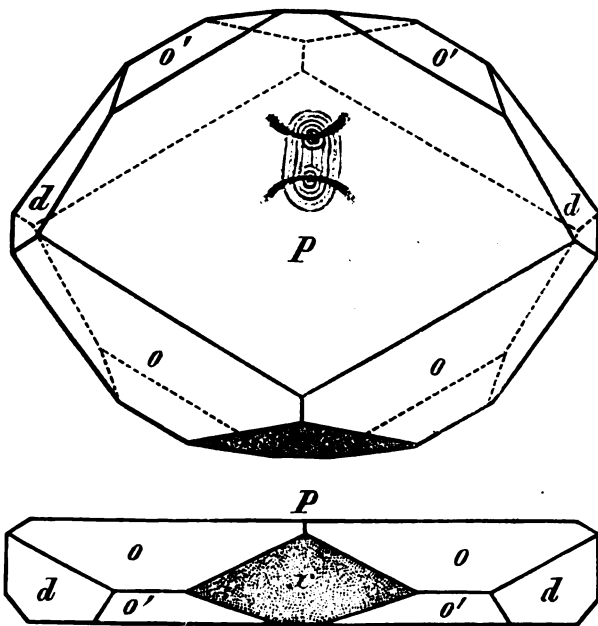
Krystallmessungen des Waluwewits.

Früher habe ich drei Waluwewit-Krystalle, № 1, № 2 und № 3, gemessen *) und in dieser letzten Zeit ist es mir gelungen noch einige Krystalle dieses Minerals zu untersuchen; diese letzteren werde ich

*) Vergl. Mater. z. Min. Russlands, Bd. VII, S. 358.

hier mit № 4, № 5 u. s. w. bezeichnen. Die Resultate meiner Messungen waren folgende:

Krystall № 4.



$d : P$ (anliegende)

Erste Einstellung; Ziemlich befriedigende Messungen.	}	= 109° 10'
		109 22
		109 27
		109 18
		109 26
		109 12
		109 22

Mittel = 109° 19' 35'' (a)

$$\begin{array}{l} \text{Zweite Einstellung;} \\ \text{Ziemlich befriedigende} \\ \text{Messungen.} \end{array} \left. \vphantom{\begin{array}{l} \text{Zweite Einstellung;} \\ \text{Ziemlich befriedigende} \\ \text{Messungen.} \end{array}} \right\} = \begin{array}{l} 109^\circ 17' \\ 109 20 \\ 109 20 \\ 109 23 \end{array}$$

$$\text{Mittel} = 109^\circ 20' 0'' \text{ (b)}$$

$d : P$ (andere d)

$$\begin{array}{l} \text{Dritte Einstellung;} \\ \text{Ziemlich befriedigende} \\ \text{Messungen.} \end{array} \left. \vphantom{\begin{array}{l} \text{Dritte Einstellung;} \\ \text{Ziemlich befriedigende} \\ \text{Messungen.} \end{array}} \right\} = \begin{array}{l} 109^\circ 38' \\ 109 50 \\ 109 25 \\ 109 40 \end{array}$$

$$\text{Mittel} = 109^\circ 38' 15'' \text{ (c)}$$

$d : P$ (Complem. zu dem vorigen Winkel)

$$\begin{array}{l} \text{Erste Einstellung;} \\ \text{Ziemlich befriedigende} \\ \text{Messungen.} \end{array} \left. \vphantom{\begin{array}{l} \text{Erste Einstellung;} \\ \text{Ziemlich befriedigende} \\ \text{Messungen.} \end{array}} \right\} = \begin{array}{l} 70^\circ 25' \\ 70 20 \\ 70 25 \end{array}$$

$$\text{Mittel} = 70^\circ 23' 20'' \text{ (Compl.} = 109^\circ 36' 40'') \text{ (d)}$$

$d : o$ (anliegende)

$$\begin{array}{l} \text{Unbefriedigende} \\ \text{Messungen.} \end{array} \left. \vphantom{\begin{array}{l} \text{Unbefriedigende} \\ \text{Messungen.} \end{array}} \right\} = 140^\circ 8' \text{ bis } 141^\circ 0'$$

Krystall № 5.

$d : P$ (anliegende)

$$\begin{array}{l} \text{Erste Einstellung;} \\ \text{Ziemlich befriedigende} \\ \text{Messungen.} \end{array} \left. \vphantom{\begin{array}{l} \text{Erste Einstellung;} \\ \text{Ziemlich befriedigende} \\ \text{Messungen.} \end{array}} \right\} = \begin{array}{l} 109^\circ 45' \\ 109 45 \\ 109 45 \\ 109 45 \end{array}$$

$$\text{Mittel} = 109^\circ 45' 0'' \text{ (e)}$$

Zweite Einstellung: }
 Ziemlich befriedigende } = 109° 27'
 Messungen. }
 109 50
 109 45

Mittel = 109° 40' 40'' (f)

Dritte Einstellung: }
 Ziemlich befriedigende } = 109° 45'
 Messungen. }
 109 51
 109 43

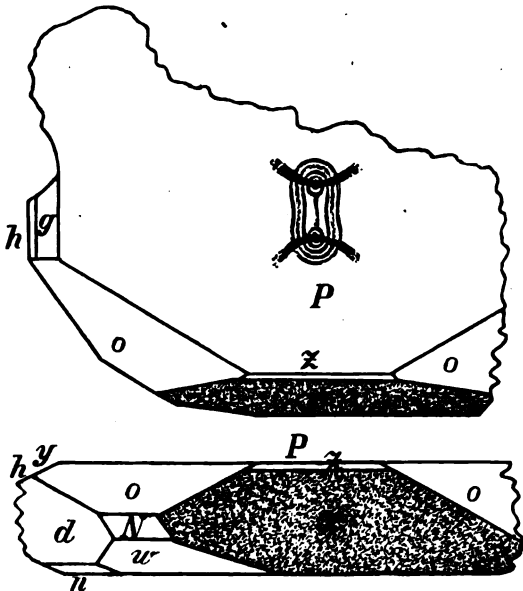
Mittel = 109° 46' 20'' (g)

d : *P* (Compl. zu dem vorigen Winkel)

Ziemlich befriedigende }
 Messungen. } = 70° 22'
 70 20
 70 31
 70 20

Mittel = 70° 23' 15'' (Compl. = 109° 36' 45'') (h)

Krystall № 6.



$n : P$ (anliegende)

Unbefriedigende Messungen. } = ungefähr $154\frac{1}{2}^\circ$

$y : P$

Unbefriedigende Messungen. } = ungefähr $157\frac{1}{2}^\circ$

$h : P$

Unbefriedigende Messungen. } = ungefähr $148\frac{1}{2}^\circ$

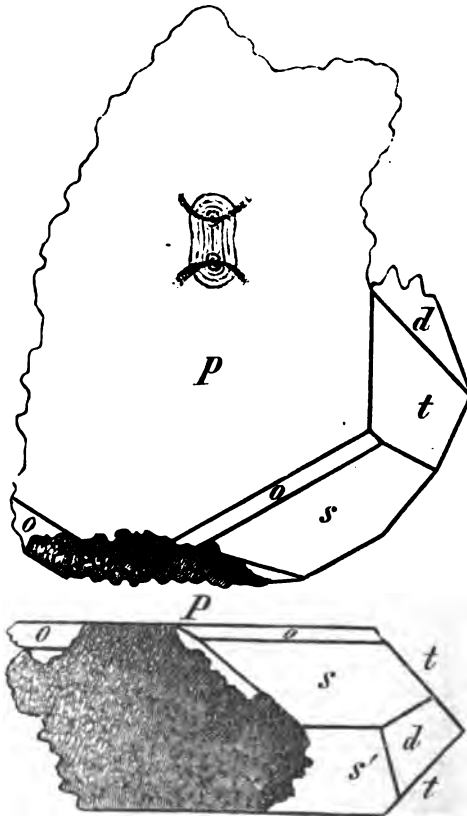
$w : P$

Unbefriedigende Messungen. } = ungefähr 144°

$d : P$ (d zu der unteren P)

Unbefriedigende Messungen. } = ungefähr 110°

Krystall № 7.



d : *d*

[(621) : (6 $\bar{2}$ 1)], d. h. (obere hintere *d* zur unteren vorderen *d*,
Complement zu *Y*)

Befriedigende Messungen.	} = 109° 20'
	109 20
	109 18
	109 22

Mittel = 109° 20' 0'' (also *Y* = 70° 40' 0'')

d : *t* (anliegende)

Ziemlich passende Messungen.	} = 145° 28'
	145 23
	145 40
	145 25
	145 25
	145 25
	145 44

Mittel = 145° 30' 0'

d : *t* (nicht anliegende)

Unbefriedigende Messungen.	} = ungefähr 111°
-------------------------------	-------------------

s : *P*

Unbefriedigende Messungen.	} = ungefähr 132°
-------------------------------	-------------------

o : *P*

Unbefriedigende Messungen.	} = ungefähr 141°
-------------------------------	-------------------

d : P

Nicht genug befriedigende, doch passende Messungen. } = 109° 50'
109 50
109 25
109 47
109 35

Mittel = 109° 41' 24''

t : P

Unbefriedigende Messungen. } = ungefähr 134°

t : s

Unbefriedigende Messungen. } = von 137° 0' bis 137' 40'

Krystall № 8.

x : P

Unbefriedigende Messungen. } = ungefähr 109½°

Krystall № 9.

z : P

Ziemlich befriedigende Messungen. } = 115° 30'
115 40
115 20
115 20

Mittel = 115° 27' 30''

Endresultate, welche aus den obenangeführten Messungen erhalten wurden.

Wenn wir nur die ziemlich befriedigenden Messungen in Rücksicht nehmen wollen, so erhalten wir für die wesentlichsten Winkel folgende mittlere Zahlen, welche man als die wahrscheinlichsten ansehen kann:

Für $d : P$ (anliegende) haben wir oben erhalten:

$$\begin{array}{l} \text{Am Krystall № 4, (a) = } 109^{\circ} 19' 35'' \\ \quad \quad \quad (b) = 109 \quad 20 \quad 0 \\ \quad \quad \quad (c) = 109 \quad 38 \quad 15 \\ \quad \quad \quad (d) = 109 \quad 36 \quad 40 \\ \hline \text{Mittel = } 109^{\circ} 28' 38'' (\alpha) \end{array}$$

$$\begin{array}{l} \text{Am Krystall № 5, (e) = } 109^{\circ} 45' 0'' \\ \quad \quad \quad (f) = 109 \quad 40 \quad 40 \\ \quad \quad \quad (g) = 109 \quad 46 \quad 20 \\ \quad \quad \quad (h) = 109 \quad 36 \quad 45 \\ \hline \text{Mittel = } 109^{\circ} 42' 11'' (\beta) \end{array}$$

Mittel aus beiden Messungen wird:

$$\begin{array}{l} (\alpha) = 109^{\circ} 28' 38'' \\ (\beta) = 109 \quad 42 \quad 11 \\ \hline \text{Mittel = } 109^{\circ} 35' 25'' \end{array}$$

Wenn wir aber die erhaltenen Werthe in beiden Krystallen (№ 4 und № 5) zusammen bringen und aus denselben den mittleren Werth berechnen, so erhalten wir:

Rhombische Pyramiden (bisweilen als Hemipyramiden
erscheinen).

$$o = \frac{\pm P}{2}$$

$$\begin{array}{ll} \frac{1}{2}X = 56^{\circ} 56' 21'' & X = 113^{\circ} 52' 42'' \\ \frac{1}{2}Y = 71 38 30 & Y = 143 17 0 \\ \frac{1}{2}Z = 39 2 40 & Z = 78 5 20 \end{array}$$

$$\alpha = 67^{\circ} 55' 33''$$

$$\beta = 54 54 56$$

$$\gamma = 30 0 0$$

$$w = \frac{-\frac{8}{3}P}{2}$$

$$\begin{array}{ll} \frac{1}{2}X = 59^{\circ} 34' 17'' & X = 119^{\circ} 8' 34'' \\ \frac{1}{2}Y = 72 59 53 & Y = 145 59 46 \\ \frac{1}{2}Z = 35 47 23 & Z = 71 34 46 \end{array}$$

$$\alpha = 70^{\circ} 10' 37''$$

$$\beta = 58 1 15$$

$$\gamma = 30 0 0$$

$$s = \frac{+\frac{4}{3}P}{2}$$

$$\begin{array}{ll} \frac{1}{2}X = 50^{\circ} 31' 3'' & X = 101^{\circ} 2' 6'' \\ \frac{1}{2}Y = 68 27 47 & Y = 136 55 34 \\ \frac{1}{2}Z = 47 14 25 & Z = 94 28 50 \end{array}$$

$$\alpha = 61^{\circ} 35' 58''$$

$$\beta = 46 52 37$$

$$\gamma = 30 0 0$$

$$n = \frac{+\check{P}3}{2}$$

$$\begin{array}{ll} \frac{1}{2}X = 77^\circ 45' 30'' & X = 155^\circ 31' 0'' \\ \frac{1}{2}Y = 68 \ 27 \ 12 & Y = 136 \ 54 \ 24 \\ \frac{1}{2}Z = 25 \ 5 \ 32 & Z = 50 \ 11 \ 4 \end{array}$$

$$\begin{array}{l} \alpha = 67^\circ 55' 33'' \\ \beta = 76 \ 49 \ 21 \\ \gamma = 60 \ 0 \ 0 \end{array}$$

$$d = \frac{+6\check{P}3}{2}$$

$$\begin{array}{ll} \frac{1}{2}X = 61^\circ 53' 50'' & X = 123^\circ 47' 40'' \\ \frac{1}{2}Y = 35 \ 19 \ 29 & Y = 70 \ 38 \ 58 \\ \frac{1}{2}Z = 70 \ 24 \ 30 & Z = 140 \ 49 \ 0 \end{array}$$

$$\begin{array}{l} \alpha = 22^\circ 20' 30'' \\ \beta = 35 \ 26 \ 41 \\ \gamma = 60 \ 0 \ 0 \end{array}$$

Brachydomen.

$$y = \check{P}\infty$$

$$\begin{array}{ll} \frac{1}{2}X = 90^\circ 0' 0'' & X = 180^\circ 0' 0'' \\ \frac{1}{2}Y = 67 \ 55 \ 33 & Y = 135 \ 51 \ 6 \\ \frac{1}{2}Z = 22 \ 4 \ 27 & Z = 44 \ 8 \ 54 \end{array}$$

$$h = \frac{3}{2}\check{P}\infty$$

$$\begin{array}{ll} \frac{1}{2}X = 90^\circ 0' 0'' & X = 180^\circ 0' 0'' \\ \frac{1}{2}Y = 58 \ 41 \ 16 & Y = 117 \ 22 \ 32 \\ \frac{1}{2}Z = 31 \ 18 \ 44 & Z = 62 \ 37 \ 28 \end{array}$$

$$v = \frac{1}{9}\bar{P}\infty$$

$\frac{1}{2}X = 90^\circ 0' 0''$	$X = 180^\circ 0' 0''$
$\frac{1}{2}Y = 54 12 37$	$Y = 108 25 14$
$\frac{1}{2}Z = 35 47 23$	$Z = 71 34 46$

$$r = 2\bar{P}\infty$$

$\frac{1}{2}X = 90^\circ 0' 0''$	$X = 180^\circ 0' 0''$
$\frac{1}{2}Y = 50 57 20$	$Y = 101 54 40$
$\frac{1}{2}Z = 39 2 40$	$Z = 78 5 20$

$$t = \frac{2}{3}\bar{P}\infty$$

$\frac{1}{2}X = 90^\circ 0' 0''$	$X = 180^\circ 0' 0''$
$\frac{1}{2}Y = 42 45 35$	$Y = 85 31 10$
$\frac{1}{2}Z = 47 14 25$	$Z = 94 28 50$

Makrodomen (als Hemidomen erscheinen).

$$z = \frac{-3\bar{P}\infty}{2}$$

$\frac{1}{2}X = 25^\circ 23' 14''$	$X = 50^\circ 46' 28''$
$\frac{1}{2}Y = 90 0 0$	$Y = 180 0 0$
$\frac{1}{2}Z = 64 36 46$	$Z = 129 13 32$

$$x = \frac{-4\bar{P}\infty}{2}$$

$\frac{1}{2}X = 19^\circ 35' 30''$	$X = 39^\circ 11' 0''$
$\frac{1}{2}Y = 90 0 0$	$Y = 180 0 0$
$\frac{1}{2}Z = 70 24 30$	$Z = 140 49 0$

Prismen.

$$N = \infty P$$

$\frac{1}{2}X = 30^\circ 0' 0''$	$X = 60^\circ 0' 0''$
$\frac{1}{2}Y = 60 0 0$	$Y = 120 0 0$

$$L = \infty\check{P}3$$

$$\begin{array}{l} \frac{1}{3}X = 60^\circ 0' 0'' \\ \frac{1}{3}Y = 30 \quad 0 \quad 0 \end{array} \qquad \begin{array}{l} X = 120^\circ 0' 0'' \\ Y = 60 \quad 0 \quad 0 \end{array}$$

Endlich erhalten wir durch Rechnung folgende Combinationswinkel.

Nach Rechnung.

$$\begin{array}{l} o : P = 140^\circ 57' 20'' \\ o : o \left. \vphantom{o : o} \right\} \text{in X} = 113 \quad 52 \quad 42 \\ o : o \left. \vphantom{o : o} \right\} \text{in Y} = 143 \quad 17 \quad 0 \\ o : o \left. \vphantom{o : o} \right\} \text{in Z} = 78 \quad 5 \quad 20 \\ o : N = 129 \quad 2 \quad 40 \\ o : x = 140 \quad 44 \quad 53 \\ o : z = 145 \quad 40 \quad 21 \\ o : s \left. \vphantom{o : s} \right\} \text{anliegende} = 171 \quad 48 \quad 15 \\ o : y \left. \vphantom{o : y} \right\} \text{anliegende} = 146 \quad 56 \quad 21 \\ o : h \left. \vphantom{o : h} \right\} \text{anliegende} = 145 \quad 48 \quad 52 \\ o : r \left. \vphantom{o : r} \right\} \text{anliegende} = 143 \quad 16 \quad 59 \\ o : t \left. \vphantom{o : t} \right\} \text{anliegende} = 139 \quad 20 \quad 8 \\ o' : d \left. \vphantom{o' : d} \right\} \text{anliegende} = 140 \quad 44 \quad 52 \quad \{(111) : (621)\} \\ o : d = 105 \quad 5 \quad 43 \quad \{(1\bar{1}1) : (621)\} \\ o : d = 104 \quad 41 \quad 10 \quad \{(1\bar{1}\bar{1}) : (\bar{6}\bar{2}1)\} \end{array}$$

$d : P$	$=$	$109^{\circ} 35' 30''$
$d : d$ in X	$\}$	$= 123 47 40$
$d : d$ in Y	$\}$	$= 70 38 58$
$d : d$ in Z	$\}$	$= 140 49 0$
$d : x$	$\left\{ \begin{array}{l} = 109 21 2 \\ = 70 38 58 \end{array} \right.$	
$d : y$ anliegende	$\}$	$= 128 7 23$
$d : h$ anliegende	$\}$	$= 135 16 30$
$d : r$ anliegende	$\}$	$= 140 44 53$
$d : t$ anliegende	$\}$	$= 145 45 35$
$d : n$ anliegende	$\}$	$= 134 41 2$
$d : L$ anliegende	$\}$	$= 160 24 30$
$x : P$	$=$	$109 35 30$
$x : z$ anliegende	$\}$	$= 174 12 16$
$z : P$	$=$	$115 23 14$
$y : P$	$=$	$157 55 33$
$y : h$ anliegende	$\}$	$= 170 45 43$
$y : r$ anliegende	$\}$	$= 163 1 47$
$y : n$ anliegende	$\}$	$= 167 45 30$
$y : y$ über P	$\}$	$= 135 51 6$

$y : t$	}	= 151° 50' 2''
anliegende		
$h : P$		= 148 41 16
$h : r$	}	= 172 16 4
anliegende		
$h : t$	}	= 164 4 19
anliegende		
$h : h$	}	= 117 22 32
über $P = oP$		
$r : P$		= 140 57 20
$r : t$	}	= 171 48 15
anliegende		
$r : r$	}	= 101 54 40
über $P = oP$		
$t : P$		= 132 45 35
$t : t$	}	= 85 31 10
über $P = oP$		
$t : s$	}	= 136 55 33
anliegende		
$w : P$		= 144 12 37
$w : w$	}	= 119 8 34
in X		
$w : w$	}	= 145 59 46
in Y		
$w : w$	}	= 71 34 46
in Z		
$s : P$		= 132 45 35
$s : s$	}	= 101 2 6
in X		
$s : s$	}	= 136 55 34
in Y		
$s : s$	}	= 94 28 50
in Z		
$n : P$		= 154 54 28

$$\begin{aligned}
 n : n \left. \vphantom{\begin{matrix} n \\ n \end{matrix}} \right\} &= 155^\circ 31' 0'' \\
 \text{in X} & \\
 n : n \left. \vphantom{\begin{matrix} n \\ n \end{matrix}} \right\} &= 136 \quad 54 \quad 24 \\
 \text{in Y} & \\
 n : n \left. \vphantom{\begin{matrix} n \\ n \end{matrix}} \right\} &= 50 \quad 11 \quad 4 \\
 \text{in Z} & \\
 n : L \left. \vphantom{\begin{matrix} n \\ L \end{matrix}} \right\} &= 115 \quad 5 \quad 32 \\
 \text{anliegende} & \\
 N : P &= 90 \quad 0 \quad 0 \\
 N : N \left. \vphantom{\begin{matrix} N \\ N \end{matrix}} \right\} &= 60 \quad 0 \quad 0 \\
 \text{in X} & \\
 N : N \left. \vphantom{\begin{matrix} N \\ N \end{matrix}} \right\} &= 120 \quad 0 \quad 0 \\
 \text{in Y} & \\
 N : L \left. \vphantom{\begin{matrix} N \\ L \end{matrix}} \right\} &= 150 \quad 0 \quad 0 \\
 \text{anliegende} & \\
 L : P &= 90 \quad 0 \quad 0 \\
 L : L \left. \vphantom{\begin{matrix} L \\ L \end{matrix}} \right\} &= 120 \quad 0 \quad 0 \\
 \text{in X} & \\
 L : L \left. \vphantom{\begin{matrix} L \\ L \end{matrix}} \right\} &= 60 \quad 0 \quad 0 \\
 \text{in Y} &
 \end{aligned}$$

Die chemische Zusammensetzung des Waluwits.

Die erste Analyse des sogenannten «Waluwits» wurde, wie bekannt, von P. v. Nikolajew ausgeführt und in den Verhandlungen der R. K. Mineralogischen Gesellschaft veröffentlicht *). Da aber die Resultate dieser Analyse P. v. Nikolajew nicht für ganz befriedi-

*) Vergl. Verhandlungen der R. K. Mineralogischen Gesellschaft zu St.-Petersburg, 1876, zweite Serie, Bd. XI, S. 341 und 355, auch meine „Materialien zur Mineralogie Russlands“, 1875, Bd. VII, S. 358.

gend hielt, so hat er in der neuesten Zeit *) eine neue ausgeführt. Das Material zu dieser letzten, mit grosser Sorgfalt angestellten Analyse wurde von A. v. Lösch geliefert, welcher jedes einzelne Stück dieses Minerals unter dem Mikroskop untersuchte. Die Resultate, welche P. v. Nikolajew erhalten hat, waren folgende *):

Kieselsäure	16,39
Thonerde	43,40
Kalkerde	13,04
Talkerde	20,38
Eisenoxydul	0,60
Eisenoxyd	1,57
Glühverlust	4,39 **)
	<hr/>
	99,77

Das spec. Gewicht des Waluewits hat P. v. Nikolajew = 3,075 gefunden.

2. Xanthophyllit.

P. v. Nikolajew hat auch eine sehr genaue Analyse an dem eigentlichen Xanthophyllit aus den Schischimsker Bergen ausgeführt. Diese Analyse wurde von P. v. Nikolajew auf der Bitte des A. v. Lösch, welcher ein sehr reines Material zu derselben lieferte, angestellt. Die Resultate welche P. v. Nikolajew für den eigentlichen Xanthophyllit aus den Schischimsker Bergen erhalten hat, sind folgende:

*) Vergl. „Verhandlungen der R. K. Mineralogischen Gesellschaft zu St. Petersburg“, 1883, Bd. XVIII, S. 226.

**) Mittel aus zwei Bestimmungen: 4,26 und 4,53.

Kieselsäure	15,55
Thonerde	43,51
Kalkerde	13,25
Talkerde	20,97
Eisenoxydul	unbedeutend
Eisenoxyd	1,72
Glühverlust	4,87
	<hr/>
	99,87

Das spec. Gewicht dieses Xanthophyllits hat P. v. Nikolajew = 3,090 gefunden.

Die drei ersten chemischen Analysen von Xanthophyllit aus den Schischimsker Bergen wurden, wie es bekannt ist, von Meitzendorf ausgeführt und von Gustav Rose in seinem Werke «Reise nach dem Ural und Altai», Bd. II, S. 527 veröffentlicht *). Da aber von diesen drei erwähnten Analysen die eine von den beiden andern etwas abwich, so hat Meitzendorf noch eine vierte angestellt, die mit den beiden letzteren sehr gut übereinstimmt. Aus dem Grunde, dass diese letztere von Meitzendorf's Untersuchungen in meinem Werke noch nicht eingeführt worden war, so gebe ich hier die Resultate aller vier Meitzendorf'schen Analysen, wie dieselben vom Verfasser selbst publicirt worden sind **). Die erste Analyse wurde vermittelst des kohlensauren Natrons auf die bekannte Weise angestellt; das Resultat derselben stimmt weniger gut mit dem andern überein (wie oben bemerkt wurde), besonders hinsichtlich des Talkerdegehalts. Die zweite Analyse geschah vermittelst starker Fluorwasserstoffsäure, besonders um die Alkalien im Minerale zu bestimmen. Die dritte und vierte—vermittelst Schwefelsäure, welche das Mineral leichter und schneller zersetzt, als Fluorwasserstoffsäure.

*) Vergl. meine „Materialien zur Mineralogie Russlands“ 1862, Bd. IV, S. 123.

***) Poggendorff's Annalen, 1843, Bd. LVIII, S. 165.

I Analyse.

(Vermittelst kohlelsauren Natrons)

Kieselsäure	17,05
Thonerde	44,00
Kalkerde	11,37
Talkerde	21,24
Eisenoxydul (oxyd?)	1,91
Natron	(0,61)
Glühverlust	4,21
	<hr/>
	100,39

II Analyse.

(Vermittelst Fluorwasserstoffsäure)

Kieselsäure	(16,55)
Thonerde	43,73
Kalkerde	13,12
Talkerde	19,04
Eisenoxydul (oxyd?)	2,62
Natron	0,67
Glühverlust	(4,33)
	<hr/>
	100,06

III Analyse.

(Vermittelst Schwefelsäure)

Kieselsäure	16,41
Thonerde	43,17
Kalkerde	14,50
Talkerde	19,47
Eisenoxydul (oxyd?)	2,23
Natron	0,62
Glühverlust	(4,45)
	<hr/>
	100,85

IV Analyse.

(Vermittelst Schwefelsäure)

Kieselsäure	16,20
Thonerde	44,96
Kalkerde	12,15
Talkerde	19,43
Eisenoxydul (oxyd?)	2,73
Natron	0,55
Glühverlust	(4,33)
	<hr/>
	100,35

Das Mittel aus den drei letzten (II, III und IV) Analysen.

Kieselsäure	16,39
Thonerde	43,95
Kalkerde	13,26
Talkerde	19,31
Eisenoxydul (oxyd?)	2,53
Natron	0,61
Glühverlust	4,37
	<hr/>
	100,42

Anmerkung. Es ist hier zu bemerken, dass in der Originalabhandlung von Meitzendorf sich mehrere Rechnungs- oder Druckfehler eingeschlichen haben, nämlich: in der I Analyse ist die Summe = 100,06 gegeben, während dieselbe = 100,39 ist; in der II Analyse ist die Summe = 100,73 gegeben, während dieselbe = 100,06 ist; in der III Analyse ist die Summe = 100,35 gegeben, während dieselbe = 100,85 ist; und in der IV Analyse ist die Summe = 100,37, während dieselbe = 100,35 ist. Auch in den mittleren Zahlen: Kieselsäure = 16,30 anstatt 16,39 und Glühverlust = 4,33 anstatt 4,37.

Sechster Anhang zum Topas.

(Vergl. Bd. II, S. 198 und 344; Bd. III, S. 195 und 378; Bd. IV, S. 34; Bd. IX, S. 97.)

Ganz neuerdings haben Déscloizeaux *) und mein Sohn **) in eine und derselben Zeit die Resultate ihrer Untersuchungen der Topaskrystalle von Durango (Mexiko) veröffentlicht. Die beiden Beobachter haben in diesen schönen Krystallen sehr viele neue Formen bestimmt, so dass die Reihe der bekannten Topasformen jetzt ungewein gross geworden ist, nämlich so gross, dass mein Sohn schon nicht mehr den grössten Theil dieser Formen mit Buchstaben des Alphabets bezeichnen konnte, sondern genöthigt war zum diesem Zwecke Ziffern anzuwenden.

Déscloizeaux theilt seine neuen Formen in zwei Kategorien, nämlich:

1) Formen mit glatt und glänzenden Flächen, welche ziemlich gute Messungen geliefert haben, so dass fast kein Zweifel über die Richtigkeit der für diese Formen abgeleiteten krystallographischen Zeichen bleibt ***).

*) Déscloizeaux „Note sur quelques formes nouvelles observées sur des cristaux de Topase de Durango, Mexique“ (Bulletin de la Société française de Minéralogie, 1886, tome IX, p. 135).

**) N. v. Kokscharow, Sohn: „Тоназь изъ Дуранго въ Мексикѣ“ (Verhandlungen der Russisch-Kaiserlichen Mineralogischen Gesellschaft zu St.-Petersburg, zweite Serie, 1886, Bd. XXIII, S. 49).

***) Um alle Missverständnisse zu vermeiden, habe ich mir die Freiheit genommen hier einige Déscloizeaux'sche Buchstaben, mit welchen in meinen „Materialien zur Mineralogie Russlands“ schon die früher entdeckten Topas-Formen bezeichnet waren, durch andere zu ersetzen.

$$A = (b^1 b^4 g^3) = (7 \cdot 5 \cdot 6) = \frac{7}{6} \bar{P}_5^7$$

$$\Phi = (b^1 b^4 g^1) = (14 \cdot 8 \cdot 11) = \frac{14}{11} \bar{P}_4^7$$

$$B = (b^1 b^4 g^2) = (4 \cdot 2 \cdot 3) = \frac{4}{3} \bar{P}_2$$

$$\Sigma = (b^1 b^4 g^1) = (8 \cdot 2 \cdot 5) = \frac{8}{5} \bar{P}_4$$

$$X = (b^1 b^4 g^1) = (6 \cdot 2 \cdot 1) = 6 \bar{P}_3$$

$$\Theta = (b^1 b^4 g^1) = (10 \cdot 4 \cdot 1) = 10 \bar{P}_5$$

$$\Delta = (b^1 b^4 g^1) = (17 \cdot 9 \cdot 1) = 17 \bar{P}_9^7$$

2) Formen mit abgerundeten Flächen, welche wenig übereinstimmende Messungen geliefert haben. Aus diesem Grunde muss man die für diese Formen abgeleiteten kristallographischen Zeichen als zweifelhafte betrachten.

$$\Gamma = (b^1 b^4 h^1) = (6 \cdot 13 \cdot 19) = \frac{13}{19} \bar{P}_6^3$$

$$K = (b^1 b^4 h^1) = (3 \cdot 4 \cdot 4) = \bar{P}_3^4$$

$$C = (b^1 b^4 h^1) = (11 \cdot 13 \cdot 12) = \frac{13}{12} \bar{P}_{11}^3$$

$$\Omega = (b^1 b^4 g^1) = (4 \cdot 3 \cdot 2) = 2 \bar{P}_3^4$$

$$\Psi = (b^1 b^4 g^1) = (14 \cdot 1 \cdot 6) = \frac{7}{3} \bar{P}_{14}$$

$$\mathcal{H} = (b^1 b^4 g^1) = (8 \cdot 1 \cdot 3) = \frac{8}{3} \bar{P}_8$$

$$II = (b^1 b^4 g^1) = (26 \cdot 4 \cdot 9) = \frac{26}{9} \bar{P}_9^3$$

Déscloizeaux hat folgende Flächen-Neigungen, in sieben verschiedenen Zonen, beobachtet und gemessen:

Flächen-Neigungen.	Nach Désclouzeaux's Messung.	Berechnet sich aus meinem Axenverhältniss : a : b : c = 1,80487 : 1,89199 : 1 ¹⁾ .
$c : o = \infty \tilde{P}_{\infty} : P$	= —	... 114° 48' 44''
$c : K = \infty \tilde{P}_{\infty} : \bar{P}_{\frac{4}{3}}$	= —	... 109 7 25
$o : K = P : \bar{P}_{\frac{4}{3}}$	= 171° bis 174°.	... 174 18 41
$K : d = \bar{P}_{\frac{4}{3}} : \bar{P}_{\infty}$	= 161 bis 163 $\frac{1}{2}$... 160 52 35
$M : \rho = \infty P$ anliegende	$: 2\bar{P}_{\infty} \} =$	— ... 148 25 54
$M : C = \infty P$ über $\rho = 2\bar{P}_{\infty}$	$: \frac{1}{4} \bar{P}_{\frac{1}{4}}^{\frac{1}{3}}$ }	= 125° 40' Mittel ... 123 56 51
$M : o = \infty P$ über $\rho = 2\bar{P}_{\infty}$	$: P \} =$	— ... 120 23 17
$M : y = \infty P$ über $o = P$	$: 2\tilde{P}_{\infty} \} =$	— ... 65 33 4
$o : y = P$ anliegende	$: 2\tilde{P}_{\infty} \} =$	125 22 Mittel ... 125 9 46
$C : o = \frac{1}{4} \bar{P}_{\frac{1}{4}}^{\frac{1}{3}}$ anliegende	$: P \} =$	175 50 Mittel ... 176 26 26
$o : A = P$ anliegende	$: \frac{7}{6} \tilde{P}_{\frac{7}{5}} \} =$	171 50 Mittel ... 172 2 53
$A : y = \frac{7}{6} \tilde{P}_{\frac{7}{5}}$ anliegende	$: 2\tilde{P}_{\infty} \} =$	132 35 Mittel ... 133 6 53
$o : \Phi = P$ anliegende	$: \frac{1}{4} \tilde{P}_{\frac{7}{4}} \} =$	166 48 Mittel ... 166 26 30
$\Phi : y = \frac{1}{4} \tilde{P}_{\frac{7}{4}}$ anliegende	$: 2\tilde{P}_{\infty} \} =$	139 45 Mittel ... 138 43 15
$o : B = P$ anliegende	$: \frac{4}{3} \bar{P}_2 \} =$	162 32 Mittel ... 163 4 29

¹⁾ Vergl. meine „Materialien zur Mineralogie Russlands“, Bd. II, S. 198
(a = Verticalaxe, b = Makrodiagonale, c = Brachydiagonale).

Flächen-Nei- gungen.	Nach Désclouzeaux's Messung.	Berechnet sich aus meinem Axenverhältniss a : b : c = 1,80487 : 1,89199 : 1.
$B : y = \frac{4}{3}\check{P}2$ anliegende	$: 2\check{P}\infty$	$\} = 142^\circ 57' \text{ Mittel} \dots 142^\circ 5' 18''$
$o : \Sigma = P$ anliegende	$: \frac{8}{5}\check{P}4$	$\} = 147 \ 10 \text{ Mittel} \dots 147 \ 25 \ 23$
$\Sigma : y = \frac{8}{5}\check{P}4$ anliegende	$: 2\check{P}\infty$	$\} = 158 \ 27 \text{ Mittel} \dots 157 \ 44 \ 24$
$y : \mathcal{M} = 2\check{P}\infty$ anliegende	$: \frac{5}{3}\check{P}5$	$\} = \text{---}^2) \dots 160 \ 10 \ 8$
$\mathcal{M} : M = \frac{5}{3}\check{P}5$ anliegende	$: \infty P$	$\} = \text{---}^2) \dots 134 \ 16 \ 48$
$y : \iota = 2\check{P}\infty$ anliegende	$: 3\check{P}3$	$\} = \text{---} \dots 148 \ 12 \ 53$
$y : M = 2\check{P}\infty$ anliegende	$: \infty P$	$\} = \text{---} \dots 114 \ 26 \ 56$
$M : d = \infty P$ anliegende	$: \bar{P}\infty$	$\} = \text{---}^4) \dots 140 \ 39 \ 17$
$M : \tau = \infty P$ über $d = \bar{P}\infty$	$: \frac{3}{4}\bar{P}3$	$\} = \text{---} \dots 129 \ 40 \ 52$
$M : \Gamma = \infty P$ über $d = \bar{P}\infty$	$: \frac{13}{9}\bar{P}\frac{13}{6}$	$\} = 125^\circ 45' \text{ bis } 126^\circ \ . \ 126 \ 0 \ 56$
$M : q = \infty P$ über $d = \bar{P}\infty$	$: \frac{2}{3}\bar{P}2$	$\} = \text{---} \dots 124 \ 58 \ 38$

²⁾ G. vom Rath hat diesen Winkel, durch approximative Messungen (weil die Flächen gerundet und zu genauen Messungen nicht geeignet waren) = 159° 30' gefunden (Neues Jahrbuch für Mineralogie, Jahrgang 1878, S. 40) und mein Sohn, auch nur durch annähernde Messungen = 159° 50' (Mittel aus 9 Messungen) erhalten (Verhandlungen d. R. K. Mineralogischen Gesellschaft zu St.-Petersburg, zweite Serie, 1886, Bd. XXIII, S. 49.)

³⁾ G. vom Rath hat diesen Winkel, durch approximative Messungen, = 135° 15' gefunden und mein Sohn, auch nur durch approximative Messungen, = 134° 30' (Mittel aus 9 Messungen) erhalten.

⁴⁾ Durch genaue Messungen habe ich diesen Winkel = 140° 39 $\frac{1}{2}$ ' gefunden.

Flächen-Neigungen.	Nach Descloizeaux's Messung.	Berechnet sich aus meinem Axenverhältniss a : b : c = 1,80487 : 1,89199 : 1.
$M: \zeta = \infty P$ über $d = \bar{P}_\infty$	$: \frac{5}{9} \bar{P} \frac{5}{4}$	$\} = \text{---}^5) \dots 117^\circ 45' 15''$
$M: u = \infty P$ über $d = \bar{P}_\infty$	$: \frac{1}{2} P$	$\} = \text{---}^6) \dots 113 \ 43 \ 33$
$d: \tau = \bar{P}_\infty$ anliegende	$: \frac{3}{4} \bar{P} 3$	$\} = 169^\circ 20' \text{ Mittel} \dots 169 \ 1 \ 35$
$d: u = \bar{P}_\infty$ anliegende	$: \frac{1}{2} P$	$\} = 153 \ 8 \text{ Mittel} \dots 153 \ 4 \ 18$
$\tau: u = \frac{3}{4} \bar{P} 3$ anliegende	$: \frac{1}{2} P$	$\} = 163 \ 45 \text{ Mittel} \dots 164 \ 2 \ 43$
$d: \Gamma = \bar{P}_\infty$ anliegende	$: \frac{1}{9} \bar{P} \frac{1}{6}$	$\} = 165^\circ 10' \text{ bis } 40' \dots 165 \ 21 \ 41$
$\Gamma: u = \frac{1}{9} \bar{P} \frac{1}{6}$ anliegende	$: \frac{1}{2} P$	$\} = 166 \ 5 \text{ bis } 168^\circ 45' \ 167 \ 42 \ 37$
$d: q = \bar{P}_\infty$ anliegende	$: \frac{2}{3} \bar{P} 2$	$\} = \text{---} \dots 164 \ 19 \ 21$
$q: u = \frac{2}{3} \bar{P} 2$ anliegende	$: \frac{1}{2} P$	$\} = \text{---} \dots 168 \ 44 \ 57$
$d: \zeta = \bar{P}_\infty$ anliegende	$: \frac{5}{9} \bar{P} \frac{5}{4}$	$\} = 157 \ 45 \ 7) \dots 157 \ 6 \ 0$
$\zeta: u = \frac{5}{9} \bar{P} \frac{5}{4}$ anliegende	$: \frac{1}{2} P$	$\} = \text{---}^8) \dots 175 \ 58 \ 20$
$l: \Delta = \infty \bar{P} 2$ anliegende	$: 17 \bar{P} \frac{1}{9}$	$\} = 177 \ 0 \dots 177 \ 1 \ 0$
$l: \Omega = \infty \bar{P} 2$ anliegehde	$: 2 \bar{P} \frac{1}{3}$	$\} = 158 \ 15 \text{ bis } 30' \ 9) \ 159 \ 46 \ 51$

5) Durch approximative Messungen habe ich = $117^\circ 34'$ gefunden.

6) Durch genaue Messungen habe ich = $113^\circ 43\frac{1}{2}'$ gefunden.

7) Durch approximative Messungen habe ich = $156^\circ 52'$ gefunden.

8) Durch approximative Messungen habe ich = $176^\circ 9'$ gefunden.

9) Mein Sohn hat diesen Winkel auf approximativer Weise = $160^\circ 0'$ (Mittel aus 7 Messungen) erhalten.

Flächen-Neigungen.	Nach Déscloizeaux's Messung.	Berechnet sich aus meinem Axenverhältniss a : b : c = 1,80487 : 1,89199 : 1.
$l : o = \infty\check{P}2 : P$ anliegende	$\} = 148^\circ 42'$	Mittel . . . $148^\circ 15' 51''$
$l : q = \infty\check{P}2 : \frac{2}{3}\bar{P}2$ über $o = P$	$\} =$	— . . . 131 30 1
$l : p = \infty\check{P}2 : \frac{1}{2}\bar{P}\infty$ über $o = P$	$\} =$	— . . . 117 24 50
$l : i = \infty\check{P}2 : \frac{1}{3}P$ über $p = \frac{1}{4}\bar{P}\infty$	$\} =$	— . . . 98 40 32
$l : t = \infty\check{P}2 : \frac{3}{5}\check{P}3$ über $p = \frac{1}{4}\bar{P}\infty$	$\} =$	— . . . 82 0 55
$f : l = \check{P}\infty : \infty\check{P}2$ anliegende	$\} =$	— . . . 120 5 40
$t : l = 3\check{P}3 : \infty\check{P}2$ anliegende	$\} =$	— . . . 160 11 22
$\Delta : o = 17\check{P}\frac{1}{9} : P$	$= 151 30$. . . 151 14 51
$\Omega : o = 2\check{P}\frac{1}{3} : P$	$= 170 58$	Mittel ¹⁰⁾ . 168 29 0
$l : \Theta = \infty\check{P}2 : 10\check{P}\frac{5}{2}$ anliegende	$\} = 172 15$. . . 172 6 17
$l : X = \infty\check{P}2 : 6\check{P}3$ anliegende	$\} = 166 0$	¹¹⁾ . . . 166 3 2
$l : \Pi = \infty\check{P}2 : \frac{2}{9}\check{P}\frac{1}{2}$ anliegende	$\} = 146^\circ$ bis $148^\circ 22'$. 147 8 38
$l : \mathcal{H} = \infty\check{P}2 : \frac{8}{3}\check{P}8$ anliegende	$\} = 142 37$	Mittel . . . 143 54 6
$l : \Psi = \infty\check{P}2 : \frac{7}{3}\check{P}14$ anliegende	$\} = 137 21$	Mittel . . . 137 52 51

¹⁰⁾ Mein Sohn hat diesen Winkel, auch approximativer Weise, durch Messung = $168^\circ 20'$ (Mittel aus 10 Messungen) erhalten.

¹¹⁾ Mein Sohn hat durch approximative Messungen = $166^\circ 20'$ (Mittel aus 8 Messungen) gefunden.

Flächen-Neigungen.	Nach Déscloizeaux's Messung.	Berechnet sich aus'meinem Axenverhältniss a : b : c = 1,80487 : 1,89199 : 1.
$l : y = \infty\check{P}2 : 2\check{P}\infty$ anliegende	$\} = 130^\circ 14'$	Mittel . . . $130^\circ 2' 52''$
$l : \varphi = \infty\check{P}2 : \frac{4}{3}\check{P}4$ über $y = 2\check{P}\infty$	$\} =$	— . . . 107 12 12
$l : v = \infty\check{P}2 : \check{P}2$ über $y = 2\check{P}\infty$	$\} =$	— . . . 92 31 41
$d : l = \bar{P}\infty : \infty\check{P}2$ anliegende	$\} =$	— . . . 126 57 1
$e : l = 2P : \infty\check{P}2$ anliegende	$\} =$	— . . . 156 54 14
$\theta : y = 10\check{P}\frac{5}{2} : 2\check{P}\infty$ anliegende	$\} = 137 41$	Mittel . . . 137 56 35
$X : y = 6\check{P}3 : 2\check{P}\infty$ anliegende	$\} =$	— ¹²⁾ . . . 143 59 49
$II : y = \frac{26}{9}\check{P}\frac{13}{2} : 2\check{P}\infty$ anliegende	$\} = 162 52$	Mittel . . . 162 54 13
$III : y = \frac{8}{3}\check{P}8 : 2\check{P}\infty$ anliegende	$\} = 166 47$	Mittel . . . 166 8 46
$\Psi : y = \frac{7}{3}\check{P}14 : 2\check{P}\infty$ anliegende	$\} = 172 44$	Mittel . . . 172 10 2
$y : \varphi = 2\check{P}\infty : \frac{4}{3}\check{P}4$ anliegende	$\} =$	— . . . 157 9 20
$y : v = 2\check{P}\infty : \check{P}2$ anliegende	$\} =$	— . . . 142 28 51
$y : d = 2\check{P}\infty : \bar{P}\infty$ anliegende	$\} =$	— . . . 103 0 7

¹²⁾ Mein Sohn hat durch approximative Messungen = $143^\circ 40'$ (Mittel aus 7 Messungen) gefunden.

Flächen-Neigungen.	Nach Descloizeaux's Messung.	Berechnet sich aus meinem Axenverhältniss a : b : c = 1,80487 : 1,89199 : 1.
$l : C = \infty \bar{P}2 : \frac{1}{4} \frac{3}{4} \bar{P} \frac{1}{4} \frac{3}{4} \left. \vphantom{\frac{1}{4} \frac{3}{4} \bar{P} \frac{1}{4} \frac{3}{4}} \right\} =$ anliegende	— 146° 50' 35"
$l : K = \infty \bar{P}2 : \bar{P} \frac{1}{3} \left. \vphantom{\bar{P} \frac{1}{3}} \right\} =$ anliegende	— 143 42 4
$l : \tau = \infty \bar{P}2 : \frac{3}{4} \bar{P}3 \left. \vphantom{\frac{3}{4} \bar{P}3} \right\} =$ anliegende	— 130 28 56
$l : \alpha = \infty \bar{P}2 : \frac{1}{2} \bar{P}2 \left. \vphantom{\frac{1}{2} \bar{P}2} \right\} =$ über $\tau = \frac{1}{4} \bar{P}3$	— 109 4 8
$l : \varrho = \infty \bar{P}2 : \frac{3}{4} \bar{P}3 \left. \vphantom{\frac{3}{4} \bar{P}3} \right\} =$ über $\tau = \frac{1}{4} \bar{P}3$	— 80 47 20

Déscloizeaux sagt unter anderem, dass der Topas von Durango auch in optischer Hinsicht bemerkenswerth ist, denn der Winkel seiner optischen Axen ist der grösste, welchen man bis jetzt kennt. Déscloizeaux hat denselben in der Luft $2E = 129^\circ 20'$ bis $40'$ (rothe Strahlen) gefunden. Nach der Meinung dieses Gelehrten sind Topas-Krystalle von Durango unter ziemlich hoher Temperatur gebildet worden, indem es schon eine bekannte Thatsache ist, dass der Winkel der optischen Axen vom Topas, bei Erwärmung der Krystalle, sich ziemlich bedeutend vergrössert.

Mein Sohn hat seinerseits in den Topas-Krystallen von Durango sehr viele neue Formen bestimmt und beschrieben. Von diesen Formen fallen nur drei mit den von Déscloizeaux bestimmten Formen zusammen, nämlich: $X = 6\bar{P}3$, $\mathcal{A} = \frac{5}{2}\bar{P}5$ und $\Omega = 2\bar{P} \frac{1}{3}$, alle anderen sind verschieden. Mein Sohn giebt folgende Reihe der von ihm beobachteten neuen Formen (welche er, Déscloizeaux's Abhandlung, noch nicht kennend, alle als neue betrachtet):

Brachypyramiden: $\Omega = 2\bar{P}\frac{4}{3}, \frac{6}{5}\bar{P}\frac{3}{2}, \frac{4}{7}\bar{P}\frac{5}{2}, \frac{5}{3}\bar{P}\frac{5}{2}, \bar{P}3, X=6\bar{P}3,$
 $\frac{2}{7}\bar{P}\frac{9}{2}, \bar{P}5, \frac{5}{4}\bar{P}5, \Pi = \frac{5}{2}\bar{P}5, \frac{4}{3}\bar{P}5, \frac{7}{4}\bar{P}7$ und $\frac{5}{2}\bar{P}10.$

Makropyramiden: $3\bar{P}\frac{3}{2}$ und $\frac{4}{3}\bar{P}4.$

Brachydomen: $\frac{4}{5}\bar{P}\infty, \frac{2}{5}\bar{P}\infty, \frac{3}{5}\bar{P}\infty$ und $\frac{4}{5}\bar{P}\infty.$

Makrodomen: $\frac{3}{5}\bar{P}\infty$ und $\frac{4}{5}\bar{P}\infty.$

Makroprismen: $\infty\bar{P}6.$

Ausser diesen neuen Formen, hat mein Sohn in den Topas-Kry-
 stallen von Durango noch folgende, schon früher bekannten Formen,
 beobachtet:

Pyramiden der Hauptreihe: $e = 2P, o = P, Z = \frac{3}{4}P,$
 $S = \frac{3}{5}P, u = \frac{4}{2}P, f = \frac{2}{5}P, i = \frac{4}{3}P, \varepsilon = \frac{4}{4}P.$

Brachypyramiden: $\iota = 3\bar{P}3, \eta = \bar{P}\frac{3}{2}, \psi = \frac{1}{3}\bar{P}2.$

Makropyramide: $q = \frac{2}{3}\bar{P}2.$

Brachydomen: $y = 2\bar{P}\infty, f = \bar{P}\infty, \beta = \frac{1}{2}\bar{P}\infty.$

Makrodomen: $d = \bar{P}\infty, p = \frac{1}{2}\bar{P}\infty.$

Hauptprisma: $M = \infty P.$

Brachyprismen: $g = \infty\bar{P}3, l = \infty\bar{P}2.$

Makroprismen: $N = \infty\bar{P}2.$

Brachypinakoid: $c = \infty\bar{P}\infty.$

Basisches Pinakoid: $P = oP.$

Es ist zu bemerken, dass die Brachypyramide $\mathcal{K} = \frac{5}{2}\bar{P}5$ schon
 von G. vom Rath beobachtet worden war (Vergl. «Neues Jahrbuch
 für Mineralogie», Jahrg. 1878, S. 40), aber damals hat er kein
 krystallographisches Zeichen für diese Form berechnet, wahrscheinlich
 weil die Messungen G. vom Rath nicht hinlänglich genau erschienen.
 Er hat nur gesagt, dass die Fläche \mathcal{K} (welche er in seiner Original-

Abhandlung durch χ bezeichnet) in die Zone $y = 2\check{P}\infty : M = \infty P$ fällt und mit M den Winkel = $135^\circ 15'$ und mit y den Winkel = $159^\circ 30'$ bildet, und dass diese Messungen man nur als approximative betrachten muss, indem die Flächen gerundet und zu genauen Messungen nicht geeignet waren. Nur jetzt, im Jahre 1886, wurde endlich das Zeichen für \mathcal{A} von Désclouzeaux und meinem Sohne berechnet.

Die approximativen von N. v. Kokscharow-Sohn an Topaskrystallen von Durango ausgeführten Messungen.

Berechnet nach meinem
Axenverhältnisse a : b : c
= 1,80487 : 1,89199 : 1.

$6\check{P}3(X) : 2\check{P}\infty(y) = 143\ 40'$ (Mit. aus 7 M.) . . .	$143^\circ 59' 49''$
$6\check{P}3(X) : \infty\check{P}2(l) = 166\ 20$ („ 8 „) . . .	$166\ 3\ 2$
$\frac{1}{3}^o\check{P}3 : 2\check{P}\infty(y) = 157\ 40$ („ 4 „) . . .	$157\ 46\ 38$
$\frac{1}{3}^o\check{P}5 : \infty\check{P}2(l) = 152\ 20$ („ 3 „) . . .	$152\ 16\ 12$
$\frac{5}{3}^o\check{P}5(\mathcal{A}) : \infty P(M) = 134\ 30$ („ 9 „) . . .	$134\ 16\ 48$
$\frac{5}{3}^o\check{P}5(\mathcal{A}) : 2\check{P}\infty(y) = 159\ 50$ („ 9 „) . . .	$160\ 10\ 8$
$\frac{5}{3}^o\check{P}10 : \infty\check{P}2(l) = 141\ 20$ („ 4 „) . . .	$141\ 5\ 10$
$\frac{5}{3}^o\check{P}10 : 2\check{P}\infty(y) = 168\ 40$ („ 3 „) . . .	$168\ 57\ 40$
$2\check{P}\frac{1}{3}(\Omega) : \infty\check{P}2(l) = 160\ 0$ („ 7 „) . . .	$159\ 46\ 51$
$2\check{P}\frac{1}{3}(\Omega) : P(o) = 168\ 20$ („ 10 „) . . .	$168\ 29\ 0$
$\frac{7}{4}^o\check{P}7 : 2\check{P}\infty(y) = 166\ 50$ („ 3 „) . . .	$166\ 33\ 4$
$\frac{7}{4}^o\check{P}7 : P(o) = 138\ 20$ („ 4 „) . . .	$138\ 36\ 42$
$\frac{5}{3}^o\check{P}\frac{5}{2} : \infty P(M) = 143\ 50$ („ 10 „) . . .	$144\ 5\ 37$

Berechnet nach meinem
 Axenverhältnisse a : b : c
 = 1,80487 : 189199 : 1.

$\frac{5}{3}\tilde{P}\frac{5}{2}$:	$\tilde{P}\infty(f) = 144^{\circ}50'$ (Mit. aus 8M.) . . .	$144^{\circ}43'23''$
$\frac{10}{7}\tilde{P}\frac{5}{2}$:	$2\tilde{P}\infty(y) = 147\ 25$ (» 2 ») . . .	$147\ 34\ 4$
$\frac{10}{7}\tilde{P}\frac{5}{2}$:	$P(o) = 157\ 45$ (» 2 ») . . .	$157\ 35\ 42$
$\frac{9}{7}\tilde{P}\frac{9}{2}$:	$\infty P(M) = 128\ 0$ (» 3 ») . . .	$128\ 11\ 22$
$\frac{9}{7}\tilde{P}\frac{9}{2}$:	$P\infty(f) = 160\ 45$ (» 2 ») . . .	$160\ 37\ 38$
$\frac{6}{5}\tilde{P}\frac{3}{2}$:	$2\tilde{P}\infty(y) = 134\ 40$ (» 7 ») . . .	$134\ 50\ 4$
$\frac{6}{5}\tilde{P}\frac{3}{2}$:	$P(o) = 170\ 30$ (» 5 ») . . .	$170\ 19\ 42$
$\frac{5}{4}\tilde{P}5$:	$2\tilde{P}\infty(y) = 160\ 10$ (» 4 ») . . .	$159\ 46\ 15$
$\frac{5}{4}\tilde{P}5$:	$\frac{1}{2}P(u) = 148\ 10$ (» 2 ») . . .	$148\ 35\ 0$
$\tilde{P}5$:	$\tilde{P}\infty(f) = 165\ 25$ (» 8 ») . . .	$165\ 21\ 43$
$\tilde{P}5$:	$P(o) = 142\ 2$ (» 8 ») . . .	$142\ 4\ 49$
$3\tilde{P}\frac{3}{2}$:	$\infty P(M) = 167\ 20$ (» 10 ») . . .	$167\ 1\ 38$
$3\tilde{P}\frac{3}{2}$:	$\bar{P}\infty(d) = 153\ 20$ (» 8 ») . . .	$153\ 37\ 39$
$\frac{4}{3}\tilde{P}4$:	$\infty P(M) = 149\ 50$ (» 6 ») . . .	$150\ 6\ 46$
$\frac{4}{3}\tilde{P}4$:	$\bar{P}\infty(d) = 170\ 40$ (» 6 ») . . .	$170\ 32\ 31$
$\frac{3}{5}\tilde{P}\infty$:	$oP(P) = 159\ 25$ (» 5 ») . . .	$159\ 6\ 51$
$\frac{3}{5}\tilde{P}\infty$:	$\infty\tilde{P}\infty(c) = 110\ 40$ (» 6 ») . . .	$110\ 53\ 9$
$\frac{3}{5}\tilde{P}\infty$:	$oP(P) = 150\ 25$ (» 3 ») . . .	$150\ 12\ 52$
$\frac{3}{5}\tilde{P}\infty$:	$\infty\tilde{P}\infty(c) = 120\ 0$ (» 3 ») . . .	$119\ 47\ 8$
$\frac{4}{5}\tilde{P}\infty$:	$oP(P) = 142\ 10$ (» 4 ») . . .	$142\ 39\ 2$
$\frac{4}{5}\tilde{P}\infty$:	$\infty\tilde{P}\infty(c) = 127\ 25$ (» 4 ») . . .	$127\ 20\ 58$
$\frac{3}{5}\tilde{P}\infty$:	$oP(P) = 132\ 30$ (» 5 ») . . .	$132\ 43\ 13$
$\frac{4}{5}\tilde{P}\infty$:	$oP(P) = 124\ 35$ (» 3 ») . . .	$124\ 42\ 19$

Die genauen von N. v. Kokscharow-Sohn an Topaskrystallen von Durango ausgeführten Messungen.

Alle diese Messungen wurden von meinem Sohne mit Hilfe der Goniometer Mitscherlich und Babinet, welche mit *zwei Fernröhren* versehen waren, ausgeführt. Es wird hier durch die Ziffern 5, 4 und 3 der Grad der Deutlichkeit des reflectirten Bildes bezeichnet, dabei bedeutet 5 die beste Reflexion.

$$o(P) : o(P)$$

(über $d = \bar{P}\infty$ d. h. in den brachydiagonalen Polkanten Y).

Kryst. № 1	=	130° 16' 0''	(5)
And. Kante	=	130 23 0	(5)
Kryst. № 3	=	130 24 0	(5)
» № 5	=	130 14 0	(5)
» № 6	=	130 20 0	(5)
» № 7	=	129 40 0	(4)

$$\text{Mittel} = 130^\circ 12' 50''$$

(Nach Rechnung = $130^\circ 22' 32''$ *)

$$o(P) : d(\bar{P}\infty)$$

(anliegende).

Kryst. № 1	=	155° 15' 30''	(5)
And. Kante	=	155 8 0	(5)
» № 6	=	155 9 0	(5)

$$\text{Mittel} = 155^\circ 10' 50''$$

(Nach Rechnung = $155^\circ 11' 16''$)

*) Die hier in Klammern gegebenen Zahlen wurden nach meinem Axenverhältnisse berechnet.

$$y (2\bar{P}\infty) : y (2\bar{P}\infty)$$

(über $P = oP$, d. h. in den brachydiagonalen Polkanten Y).

$$\text{Kryst. № 1} = 55^\circ 41' 0'' (4)$$

$$\text{„ № 3} = 55 29 0 (4)$$

$$\text{„ № 4} = 54 52 0 (5)$$

$$\text{„ № 6} = 55 31 0 (5)$$

$$\text{Mittel} = 55^\circ 23' 15''$$

(Nach Rechnung = $55^\circ 19' 16''$)

$$o (P) : o (P)$$

(an der Spitze, über $P = oP$).

$$\text{Kryst. № 1} = 52^\circ 13' 30'' (5)$$

$$\text{„ № 5} = 51 54 0 (5)$$

$$\text{„ № 6} = 52 5 0 (4)$$

$$\text{„ № 9} = 52 28 0 (3)$$

$$\text{Mittel} = 52^\circ 10' 8''$$

(Nach Rechnung = $52^\circ 11' 44''$)

$$o (P) : o (P)$$

(über $f = \bar{P}\infty$, d. h. in den makrodiagonalen Polkanten X).

$$\text{Kryst. № 1} = 74^\circ 53' 0'' (5)$$

$$\text{„ № 14} = 75 13 0 (5)$$

$$\text{Mittel} = 75^\circ 3' 0''$$

(Nach Rechnung = $74^\circ 53' 4''$)

$$M (\infty P) : M (\infty P)$$

(in den brachydiagonalen Kanten Y).

$$\text{Kryst. № 2} = 124^\circ 13' 0'' (3)$$

$$\text{And. Kante} = 124 \quad 15 \quad 0 (3)$$

$$\text{Kryst. № 3} = 124 \quad 14 \quad 0 (5)$$

$$\text{And. Kante} = 124 \quad 14 \quad 0 (5)$$

$$\text{» »} = 124 \quad 13 \quad 0 (4)$$

$$\text{Kryst. № 10} = 124 \quad 15 \quad 0 (5)$$

$$\text{And. Kante} = 124 \quad 18 \quad 0 (5)$$

$$\text{» »} = 124 \quad 18 \quad 0 (4)$$

$$\text{Mittel} = 124^\circ 15' 0''$$

(Nach Rechnung = $124^\circ 17' 0''$)

$$M (\infty P) : l (\infty \check{P}2)$$

(anliegende).

$$\text{Kryst. № 2} = 161^\circ 12' 0'' (3)$$

$$\text{And. Kante} = 161 \quad 15 \quad 0 (3)$$

$$\text{Mittel} = 161^\circ 13' 30''$$

(Nach Rechnung = $161^\circ 16' 8''$)

$$l (\infty \check{P}2) : l (\infty \check{P}2)$$

(über $c = \infty \check{P}\infty$, d. h. in den makrodiagonalen Polkanten X).

$$\text{Kryst. № 2} = 93^\circ 23' 0'' (2)$$

(Nach Rechnung = $93^\circ 10' 44''$)

$$M (\infty P) : c (\infty \check{P} \infty)$$

(anliegende).

$$\text{Kryst. № 2} = 117^\circ 54' 0'' (3)$$

$$\text{» № 3} = 117 58 0 (4)$$

$$\text{Mittel} = 117^\circ 56' 0''$$

(Nach Rechnung = $117^\circ 51' 30''$)

$$y (2\check{P} \infty) : f (\check{P} \infty)$$

(anliegende).

$$\text{Kryst. № 2} = 161^\circ 29' 0'' (4)$$

(Nach Rechnung = $161^\circ 18' 38''$)

$$o (P) : M (\infty P)$$

(anliegende).

$$\text{Kryst. № 3} = 154^\circ 7' 0'' (5)$$

$$\text{» № 5} = 154 23 0 (3)$$

$$\text{» № 6} = 153 56 0 (4)$$

$$\text{» № 8} = 154 4 0 (4)$$

$$\text{» № 9} = 153 31 0 (3)$$

$$\text{» № 10} = 154 13 0 (5)$$

$$\text{And. Kante} = 154 10 0 (5)$$

$$\text{Mittel} = 154^\circ 3' 26''$$

(Nach Rechnung = $153^\circ 54' 8''$)

$o (P) : u (\frac{1}{2}P)$

(anliegende).

Kryst. № 3 = 161° 45' 0" (4)

• № 5 = 161 26 0 (5)

And. Kante = 161 27 0 (4)

Kryst. № 6 = 161 42 0 (5)

And. Kante = 161 35 0 (5)

• • = 161 44 0 (4)

Kryst. № 8 = 161 43 0 (4)

And. Kante = 161 35 0 (5)

Kryst. № 10 = 161 14 0 (4)

Mittel = 161° 34' 33"

(Nach Rechnung = 161° 41' 7")

$u (\frac{1}{2}P) : M (\infty P)$

(anliegende).

Kryst. № 3 = 135° 32' 0" (4)

• № 5 = 135 49 0 (4)

• № 6 = 135 38 0 (4)

And. Kante = 135 34 0 (3)

Kryst. № 8 = 135 47 0 (3)

Mittel = 135° 40' 0"

(Nach Rechnung = 135° 35' 15")

$o (P) : y (2\bar{P}\infty)$

(anliegende).

Kryst. № 3 = 125° 18' 0" (4)

• № 4 = 124 55 0 (4)

Kryst. № 6	=	125° 9' 0''	(5)
• № 7	=	125 22 0	(4)
• № 14	=	125 10 0	(5)
<hr/>			
Mittel	=	125° 10' 48''	

(Nach Rechnung = 125° 9' 46'')

$y (2\bar{P}\infty) : c (\infty\bar{P}\infty)$

(anliegende).

Kryst. № 4	=	152° 19' 0''	(5)
And. Kante	=	152 49 0	(5)
And. Kante	=	153 13 0	(5)
Kryst. № 6	=	152 13 0	(5)
And. Kante	=	152 16 0	(5)
Kryst. № 13	=	152 38 0	(4)
<hr/>			
Mittel	=	152° 34' 40''	

(Nach Rechnung = 152° 20' 22'')

$M (\infty P) : d (\bar{P}\infty)$

(anliegende).

Kryst. № 6	=	140° 35' 0''	(4)
And. Kante	=	140 40 0	(4)
And. Kante	=	140 0 0	(4)
And. Kante	=	139 51 0	(4)
Kryst. № 11	=	140 56 0	(5)
And. Kante	=	140 44 0	(5)
Kryst. № 15	=	140 49 0	(4)
<hr/>			
Mittel	=	140° 30' 43''	

(Nach Rechnung = 140° 39' 17'')

$$d(\bar{P}\infty) : u\left(\frac{1}{2}P\right)$$

(anliegende).

$$\text{Kryst. № 6} = 153^\circ 6' 0'' (5)$$

$$\text{And. Kante} = 153 \quad 0 \quad 0 (5)$$

$$\text{And. Kante} = 153 \quad 5 \quad 0 (4)$$

$$\text{Kryst. № 15} = 153 \quad 11 \quad 0 (5)$$

$$\text{Mittel} = 153^\circ 5' 30''$$

(Nach Rechnung = $153^\circ 4' 18''$)

$$M(\infty P) : u\left(\frac{1}{2}P\right)$$

(nicht anliegende).

$$\text{Kryst. № 6} = 113^\circ 41' 0'' (4)$$

$$\text{And. Kante} = 113 \quad 46 \quad 0 (3)$$

$$\text{And. Kante} = 113 \quad 0 \quad 0 (4)$$

$$\text{Mittel} = 113^\circ 29' 0''$$

(Nach Rechnung = $113^\circ 43' 33''$)

$$u\left(\frac{1}{2}P\right) : u\left(\frac{1}{2}P\right)$$

(in den makrodiagonalen Polkanten).

$$\text{Kryst. № 6} = 101^\circ 44' 0'' (5)$$

$$\text{And. Kante} = 101 \quad 45 \quad 0 (5)$$

$$\text{Mittel} = 101^\circ 44' 30''$$

(Nach Rechnung = $101^\circ 40' 20''$)

$$o(P) : l(\infty\check{P}2)$$

(anliegende).

$$\text{Kryst. № 6} = 148^\circ 22' 0'' (4)$$

$$\text{And. Kante} = 148 \quad 15 \quad 0 (4)$$

$$\begin{array}{r} \text{And. Kante} = 149^\circ 5' 0'' (5) \\ \text{Kryst. № 14} = 148 \ 37 \ 0 (5) \\ \hline \end{array}$$

$$\text{Mittel} = 148^\circ 34' 45''$$

$$(\text{Nach Rechnung} = 148^\circ 15' 52'')$$

$$d (\bar{P}\infty) : d (\bar{P}\infty)$$

(über $P = oP$, d. h. in den makrodiagonalen Polkanten).

$$\text{Kryst. № 6} = 57^\circ 53' 0'' (5)$$

$$(\text{Nach Rechnung} = 57^\circ 58' 40'')$$

$$u (\frac{1}{2}P) : P (oP)$$

(anliegende).

$$\text{Kryst. № 8} = 134^\circ 35' 0'' (4)$$

$$\text{And. Kante} = 134 \ 20 \ 0 (5)$$

$$\text{Mittel} = 134^\circ 27' 30''$$

$$(\text{Nach Rechnung} = 134^\circ 24' 45'')$$

$$o (P) : P (oP)$$

(anliegende).

$$\text{Kryst. № 8} = 116^\circ 18' 0'' (4)$$

$$\text{„ № 10} = 115 \ 54 \ 0 (4)$$

$$\text{Mittel} = 116^\circ 6' 0''$$

$$(\text{Nach Rechnung} = 116^\circ 5' 52'')$$

$$d (\bar{P}\infty) : f (\bar{P}\infty)$$

(anliegende).

$$\text{Kryst. № 11} = 110^\circ 28' 0'' (5)$$

$$\text{And. Kante} = 110 \ 42 \ 0 (4)$$

$$\text{Mittel} = 110^\circ 35' 0''$$

$$(\text{Nach Rechnung} = 110^\circ 31' 42'')$$

$$M (\infty P) : f (\check{P}\infty)$$

(anliegende).

$$\text{Kryst. № 11} = 108^\circ 36' 0'' (5)$$

$$(\text{Nach Rechnung} = 108^\circ 49' 0'')$$

$$d (\bar{P}\infty) : P (oP)$$

(anliegende).

$$\text{Kryst. № 11} = 118^\circ 55' 0'' (5)$$

$$(\text{Nach Rechnung} = 118^\circ 59' 20'')$$

$$y (2\check{P}\infty) : P (oP)$$

(anliegende).

$$\text{Kryst. № 8} = 118^\circ 3' 0'' (3)$$

$$(\text{Nach Rechnung} = 117^\circ 39' 38'')$$

$$f (\check{P}\infty) : f (\check{P}\infty)$$

(über $P = oP$, d. h. in den makrodiagonalen Polkanten).

$$\text{Kryst. № 11} = 92^\circ 30' 0'' (4)$$

$$(\text{Nach Rechnung} = 92^\circ 42' 0'')$$

$$f (\check{P}\infty) : c (\infty\check{P}\infty)$$

(anliegende).

$$\text{Kryst. № 11} = 133^\circ 33' 0'' (4)$$

$$\text{And. Kante} = 133 \quad 57 \quad 0 \quad (5)$$

$$\text{Mittel} = 133^\circ 45' 0''$$

$$(\text{Nach Rechnung} = 133^\circ 39' 0'')$$

Aus seinen genauen Messungen zieht mein Sohn folgendes aus:

• Wenn man die angeführten Messungen etwas näher betrachten will, so kann man leicht sich überzeugen, dass die Topas-Krystalle von Durango eine sehr störende Krystallisation darbieten; in der That:

• Nehmen wir, zum Beispiel, die Neigung $o : o$ (über P), — dieser Winkel berechnet sich, aus dem von meinem Vater abgeleiteten Axenverhältnisse $= 52^\circ 11' 44''$, und unter denen durch Messung erhaltenen Zahlen haben wir minimum $= 51^\circ 54' 0''$, und maximum $= 52^\circ 28' 0''$, so wie auch einen Winkel $= 52^\circ 13' 30''$, welcher schon sehr nahe dem theoretischen kommt. Der Winkel $o : o$ (über f) berechnet sich $74^\circ 53' 4''$ und eine von den durch Messung erhaltenen Zahlen ($74^\circ 53' 0''$) fällt fast vollkommen mit den berechneten zusammen, dagegen eine andere ($75^\circ 13' 0''$) schon bedeutend verschieden ist. Der Winkel $o : M$ berechnet sich $= 153^\circ 54' 8''$ und unter den durch Messung gefundenen Werthen haben wir die Winkel $= 153^\circ 31' 0''$ und $154^\circ 23' 0''$, so wie auch $= 153^\circ 56' 0''$. Der Winkel $o : y$ berechnet sich $= 125^\circ 9' 46''$ und durch Messung wurden die Werthe $= 125^\circ 22' 0''$, $124^\circ 55' 0''$, so wie auch $125^\circ 9' 0''$ gefunden. Der Winkel $y : c$, variirt auf einem und demselben Krystalle, aber an verschiedenen Kanten, von $152^\circ 19' 0''$ bis $153^\circ 13' 0''$. Ganz dasselbe wurde auch am Krystall № 6 für $o : l$ gefunden, wo eine Messung $148^\circ 15' 0''$ und eine andere $149^\circ 5' 0''$ gegeben hat.

• Es wäre unnütz noch weitere Beispiele anzuführen, denn aus den angegebenen ist es schon ersichtlich, dass die Grösse eines und desselben Winkels, in einem und denselben Krystalle, bedeutend schwankend ist, ungeachtet, dass die zur Messung angewandten Flächen ganz scharfe Reflexionen gaben. Mich auf dem obengesagten stützend, scheint es mir, dass ungeachtet der Abweichungen,

• welche die mittleren Zahlen der gemessenen Winkel von den berechneten geliefert haben, *wir noch keine Möglichkeit und keinen Grund haben für die mexikanischen Topas-Krystalle ein besonderes Axenverhältniss anzustellen, denn die erwähnten Abweichungen rühren von der sehr unvollkommenen Bildung der Krystalle dieses Fundortes her.*

Berechnung der neuen von Descloizeaux und meinem Sohne bestimmten Formen.

Ich werde hier wie es schon immer in meinem Werke angenommen worden ist, eine ausführliche Berechnung (aus meinem Axenverhältnisse $a : b : c = 1,80487 : 1,89199 : 1$) aller von Descloizeaux und meinem Sohne bestimmten neuen Formen geben.

Es wird in jeder rhombischen Pyramide bezeichnet werden:

Die makrodiagonalen Polkanten = X.

Die brachydiagonalen Polkanten = Y.

Die Mittelkanten = Z

Winkel der makrodiagonalen Polkante gegen die Verticalaxe = α .

Winkel der brachydiagonalen Polkante gegen die Verticalaxe = β .

Winkel der Mittelkante gegen die Makrodiagonalaxe der Grundform = γ .

Brachypyramiden.

$\Omega = 2\tilde{P}_{\frac{1}{3}}$ (Descloizeaux und Kokscharow-Sohn).

$\frac{1}{3}X = 38^{\circ} 30' 28''$	$X = 77^{\circ} 0' 56''$
$\frac{1}{3}Y = 56 31 57$	$Y = 113 3 54$
$\frac{1}{3}Z = 73 11 58$	$Z = 146 23 26$

$\alpha = 27^{\circ} 39' 38''$

$\beta = 20 16 22$

$\gamma = 35 10 24$

$$A = \frac{7}{6}\tilde{P}_5^7 \text{ (Descloizeaux).}$$

$$\begin{array}{ll} \frac{1}{3}X = 44^\circ 51' 0'' & X = 89^\circ 42' 0'' \\ \frac{1}{3}Y = 58 \ 21 \ 31 & Y = 116 \ 43 \ 4 \\ \frac{1}{3}Z = 61 \ 52 \ 38 & Z = 123 \ 45 \ 16 \end{array}$$

$$\alpha = 41^\circ 56' 25''$$

$$\beta = 33 \ 37 \ 7$$

$$\gamma = 36 \ 30 \ 0$$

$$\frac{6}{5}\tilde{P}_3^3 \text{ (Kokscharow-Sohn).}$$

$$\begin{array}{ll} \frac{1}{3}X = 46^\circ 28' 16'' & X = 92^\circ 56' 32'' \\ \frac{1}{3}Y = 56 \ 54 \ 18 & Y = 113 \ 48 \ 36 \\ \frac{1}{3}Z = 61 \ 30 \ 40 & Z = 123 \ 1 \ 20 \end{array}$$

$$\alpha = 41^\circ 8' 21''$$

$$\beta = 34 \ 42 \ 19$$

$$\gamma = 38 \ 24 \ 28$$

$$\Phi = \frac{11}{11}\tilde{P}_4^7 \text{ (Descloizeaux).}$$

$$\begin{array}{ll} \frac{1}{3}X = 50^\circ 9' 15'' & X = 100^\circ 18' 30'' \\ \frac{1}{3}Y = 53 \ 39 \ 21 & Y = 107 \ 18 \ 42 \\ \frac{1}{3}Z = 60 \ 46 \ 59 & Z = 121 \ 33 \ 58 \end{array}$$

$$\alpha = 39^\circ 28' 35''$$

$$\beta = 37 \ 18 \ 4$$

$$\gamma = 42 \ 46 \ 2$$

$$\Delta = 17\tilde{P}_9^{17} \text{ (Descloizeaux).}$$

$$\begin{array}{ll} \frac{1}{3}X = 45^\circ 0' 25'' & X = 90^\circ 0' 50'' \\ \frac{1}{3}Y = 45 \ 6 \ 6 & Y = 90 \ 12 \ 12 \\ \frac{1}{3}Z = 87 \ 30 \ 19 & Y = 175 \ 0 \ 38 \end{array}$$

$$\alpha = 3^\circ 31' 43''$$

$$\beta = 3 \ 31 \ 22$$

$$\gamma = 44 \ 57 \ 10$$

$B = \frac{1}{3}\tilde{P}^2$ (Déscloizeaux).

$$\begin{array}{ll} \frac{1}{2}X = 53^\circ 21' 46'' & X = 106^\circ 43' 32'' \\ \frac{1}{2}Y = 50 \ 53 \ 23 & Y = 101 \ 46 \ 46 \\ \frac{1}{2}Z = 60 \ 16 \ 4 & Z = 120 \ 32 \ 8 \end{array}$$

$$\alpha = 38^\circ 10' 28''$$

$$\beta = 39 \ 43 \ 46$$

$$\gamma = 46 \ 35 \ 23$$

$\frac{1}{7}\tilde{P}^{\frac{5}{2}}$ (Kokscharow-Sohn).

$$\begin{array}{ll} \frac{1}{2}X = 58^\circ 36' 37'' & X = 117^\circ 13' 14'' \\ \frac{1}{2}Y = 46 \ 30 \ 34 & Y = 93 \ 1 \ 8 \\ \frac{1}{2}Z = 59 \ 40 \ 3 & Y = 119 \ 20 \ 6 \end{array}$$

$$\alpha = 36^\circ 16' 15''$$

$$\beta = 44 \ 6 \ 56$$

$$\gamma = 52 \ 52 \ 54$$

$\frac{5}{3}\tilde{P}^{\frac{5}{2}}$ (Kokscharow-Sohn).

$$\begin{array}{ll} \frac{1}{2}X = 57^\circ 21' 20'' & X = 114^\circ 42' 40'' \\ \frac{1}{2}Y = 44 \ 32 \ 21 & Y = 89 \ 4 \ 42 \\ \frac{1}{2}Z = 63 \ 21 \ 54 & Z = 126 \ 43 \ 48 \end{array}$$

$$\alpha = 32^\circ 10' 6''$$

$$\beta = 39 \ 43 \ 46$$

$$\gamma = 52 \ 52 \ 54$$

$\Theta = 10\tilde{P}^{\frac{5}{2}}$ (Déscloizeaux).

$$\begin{array}{ll} \frac{1}{2}X = 53^\circ 1' 58'' & X = 106^\circ 3' 56'' \\ \frac{1}{2}Y = 37 \ 22 \ 48 & Y = 74 \ 45 \ 36 \\ \frac{1}{2}Z = 85 \ 13 \ 19 & Z = 170 \ 26 \ 38 \end{array}$$

$$\alpha = 5^\circ 59' 3''$$

$$\beta = 7 \ 53 \ 10$$

$$\gamma = 52 \ 52 \ 54$$

\tilde{P}_3 (Kokscharow-Sohn).

$$\begin{array}{ll} \frac{1}{2}X = 66^\circ 28' 32'' & X = 132^\circ 57' 4'' \\ \frac{1}{2}Y = 50 \ 44 \ 12 & Y = 101 \ 28 \ 24 \\ \frac{1}{2}Z = 48 \ 26 \ 16 & Z = 96 \ 52 \ 32 \end{array}$$

$$\alpha = 46^\circ 21' 0''$$

$$\beta = 58 \ 58 \ 4$$

$$\gamma = 57 \ 45 \ 42$$

$X = 6\tilde{P}_3$ (Déscloizeaux und Kokscharow-Sohn).

$$\begin{array}{ll} \frac{1}{2}X = 58^\circ 8' 56'' & X = 116^\circ 17' 52'' \\ \frac{1}{2}Y = 33 \ 12 \ 6 & Y = 66 \ 24 \ 12 \\ \frac{1}{2}Z = 81 \ 35 \ 37 & Z = 163 \ 11 \ 14 \end{array}$$

$$\alpha = 9^\circ 54' 37''$$

$$\beta = 15 \ 29 \ 3$$

$$\gamma = 57 \ 45 \ 43$$

$\Sigma = \frac{8}{3}\tilde{P}_4$ (Déscloizeaux).

$$\begin{array}{ll} \frac{1}{2}X = 68^\circ 24' 51'' & X = 136^\circ 49' 42'' \\ \frac{1}{2}Y = 38 \ 56 \ 26 & Y = 77 \ 52 \ 52 \\ \frac{1}{2}Z = 59 \ 21 \ 48 & Z = 118 \ 43 \ 36 \end{array}$$

$$\alpha = 33^\circ 13' 54''$$

$$\beta = 54 \ 10 \ 22$$

$$\gamma = 64 \ 41 \ 9$$

$\frac{8}{7}\tilde{P}_2$ (Kokscharow-Sohn).

$$\begin{array}{ll} \frac{1}{2}X = 71^\circ 57' 4'' & X = 143^\circ 54' 8'' \\ \frac{1}{2}Y = 42 \ 31 \ 54 & Y = 85 \ 3 \ 48 \\ \frac{1}{2}Z = 53 \ 4 \ 18 & Z = 106 \ 8 \ 36 \end{array}$$

$$\alpha = 39^\circ 11' 28''$$

$$\beta = 62 \ 43 \ 15$$

$$\gamma = 67 \ 11 \ 46$$

$\check{P}5$ (Kokscharow-Sohn).

$$\begin{aligned} \frac{1}{2}X &= 75^\circ 21' 43'' & X &= 150^\circ 43' 26'' \\ \frac{1}{2}Y &= 48 \quad 5 \quad 56 & Y &= 96 \quad 11 \quad 52 \\ \frac{1}{2}Z &= 45 \quad 33 \quad 59 & Z &= 91 \quad 7 \quad 58 \\ \alpha &= 46^\circ 21' 0'' \\ \beta &= 70 \quad 9 \quad 6 \\ \gamma &= 69 \quad 16 \quad 24 \end{aligned}$$

$\frac{5}{4}\check{P}5$ (Kokscharow-Sohn).

$$\begin{aligned} \frac{1}{2}X &= 73^\circ 49' 52'' & X &= 147^\circ 39' 44'' \\ \frac{1}{2}Y &= 42 \quad 36 \quad 54 & Y &= 85 \quad 13 \quad 48 \\ \frac{1}{2}Z &= 51 \quad 53 \quad 30 & Z &= 103 \quad 47 \quad 0 \\ \alpha &= 39^\circ 59' 1'' \\ \beta &= 65 \quad 42 \quad 51 \\ \gamma &= 69 \quad 16 \quad 24 \end{aligned}$$

$\mathcal{H} = \frac{5}{2}\check{P}5$ (G. vom Rath, Déscloizeaux und Kokscharow-Sohn).

$$\begin{aligned} \frac{1}{2}X &= 70^\circ 45' 47'' & X &= 141^\circ 31' 34'' \\ \frac{1}{2}Y &= 29 \quad 27 \quad 28 & Y &= 58 \quad 54 \quad 56 \\ \frac{1}{2}Z &= 68 \quad 35 \quad 11 & Z &= 137 \quad 10 \quad 22 \\ \alpha &= 22^\circ 44' 55'' \\ \beta &= 47 \quad 56 \quad 9 \\ \gamma &= 69 \quad 16 \quad 24 \end{aligned}$$

$\frac{10}{3}\check{P}5$ (Kokscharow-Sohn).

$$\begin{aligned} \frac{1}{2}X &= 70^\circ 9' 7'' & X &= 140^\circ 18' 14'' \\ \frac{1}{2}Y &= 26 \quad 11 \quad 53 & Y &= 52 \quad 23 \quad 46 \\ \frac{1}{2}Z &= 73 \quad 36 \quad 35 & Z &= 147 \quad 13 \quad 10 \\ \alpha &= 17^\circ 27' 27'' \\ \beta &= 39 \quad 43 \quad 46 \\ \gamma &= 69 \quad 16 \quad 24 \end{aligned}$$

$\mathbb{H} = \frac{2}{3}\tilde{\text{P}}\frac{1}{2}$ (Déscloizeaux).

$$\begin{array}{ll} \frac{1}{2}\text{X} = 74^\circ 41' 51'' & \text{X} = 149^\circ 23' 42'' \\ \frac{1}{2}\text{Y} = 24 56 49 & \text{Y} = 49 53 38 \\ \frac{1}{2}\text{Z} = 70 47 30 & \text{Z} = 141 35 0 \end{array}$$

$$\alpha = 19^\circ 56' 38''$$

$$\beta = 51 15 53$$

$$\gamma = 73 46 16$$

$\frac{7}{4}\tilde{\text{P}}7$ (Kokscharow-Sohn).

$$\begin{array}{ll} \frac{1}{2}\text{X} = 76^\circ 56' 44'' & \text{X} = 153^\circ 53' 28'' \\ \frac{1}{2}\text{Y} = 33 18 41 & \text{Y} = 66 37 22 \\ \frac{1}{2}\text{Z} = 59 57 38 & \text{Z} = 119 55 16 \end{array}$$

$$\alpha = 30^\circ 55' 20''$$

$$\beta = 65 42 51$$

$$\gamma = 74 52 31$$

$\mathbb{H} = \frac{2}{3}\tilde{\text{P}}8$ (Déscloizeaux).

$$\begin{array}{ll} \frac{1}{2}\text{X} = 77^\circ 35' 13'' & \text{X} = 155^\circ 10' 26'' \\ \frac{1}{2}\text{Y} = 24 38 37 & \text{Y} = 49 17 14 \\ \frac{1}{2}\text{Z} = 69 3 57 & \text{Z} = 138 7 54 \end{array}$$

$$\alpha = 21^\circ 27' 35''$$

$$\beta = 58 58 4$$

$$\gamma = 76 41 39$$

$\frac{2}{3}\tilde{\text{P}}10$ (Kokscharow-Sohn).

$$\begin{array}{ll} \frac{1}{2}\text{X} = 80^\circ 6' 9'' & \text{X} = 160^\circ 12' 18'' \\ \frac{1}{2}\text{Y} = 24 42 10 & \text{Y} = 49 24 20 \\ \frac{1}{2}\text{Z} = 67 36 31 & \text{Z} = 135 13 2 \end{array}$$

$$\alpha = 22^\circ 44' 55''$$

$$\beta = 65 42 51$$

$$\gamma = 79 17 11$$

$\Psi = \frac{7}{3}\bar{P}14$ (Descloizeaux).

$$\begin{aligned} \frac{1}{2}X &= 82^\circ 58' 21'' & X &= 165^\circ 56' 42'' \\ \frac{1}{2}Y &= 25 \quad 8 \quad 0 & Y &= 50 \quad 16 \quad 0 \\ \frac{1}{2}Z &= 66 \quad 0 \quad 3 & Z &= 132 \quad 0 \quad 6 \\ \alpha &= 24^\circ 11' 33'' \\ \beta &= 73 \quad 15 \quad 29 \\ \gamma &= 82 \quad 18 \quad 13 \end{aligned}$$

Makropyramiden.

$C = \frac{1}{2}\bar{P}\frac{1}{3}$ (Descloizeaux).

$$\begin{aligned} \frac{1}{2}X &= 34^\circ 11' 32'' & X &= 68^\circ 23' 4'' \\ \frac{1}{2}Y &= 68 \quad 17 \quad 19 & Y &= 136 \quad 34 \quad 38 \\ \frac{1}{2}Z &= 64 \quad 58 \quad 24 & Z &= 129 \quad 56 \quad 48 \\ \alpha &= 48^\circ 49' 54'' \\ \beta &= 27 \quad 5 \quad 13 \\ \gamma &= 24 \quad 5 \quad 44 \end{aligned}$$

$K = \bar{P}\frac{1}{3}$ (Descloizeaux).

$$\begin{aligned} \frac{1}{2}X &= 34^\circ 15' 54'' & X &= 68^\circ 31' 48'' \\ \frac{1}{2}Y &= 70 \quad 52 \quad 35 & Y &= 141 \quad 45 \quad 10 \\ \frac{1}{2}Z &= 62 \quad 44 \quad 56 & Z &= 125 \quad 29 \quad 52 \\ \alpha &= 54^\circ 25' 3'' \\ \beta &= 28 \quad 59 \quad 20 \\ \gamma &= 21 \quad 37 \quad 25 \end{aligned}$$

$3\bar{P}\frac{3}{2}$ (Kokscharow-Sohn).

$$\begin{aligned} \frac{1}{2}X &= 21^\circ 41' 40'' & X &= 43^\circ 23' 20'' \\ \frac{1}{2}Y &= 70 \quad 53 \quad 18 & Y &= 141 \quad 46 \quad 36 \\ \frac{1}{2}Z &= 80 \quad 7 \quad 8 & Z &= 160 \quad 14 \quad 16 \\ \alpha &= 27^\circ 39' 38'' \\ \beta &= 10 \quad 27 \quad 50 \\ \gamma &= 19 \quad 24 \quad 38 \end{aligned}$$

$\Gamma = \frac{1}{1} \frac{3}{3} \bar{P} \frac{1}{6}^3$ (Désclouzeaux).

$$\begin{array}{ll} \frac{1}{2}X = 40^\circ 13' 19'' & X = 80^\circ 26' 38'' \\ \frac{1}{2}Y = 79 15 55 & Y = 158 31 50 \\ \frac{1}{2}Z = 51 48 27 & Z = 103 36 54 \end{array}$$

$$\alpha = 73^\circ 14' 7''$$

$$\beta = 38 59 59$$

$$\gamma = 13 42 33$$

$\frac{1}{3} \bar{P} 4$ (Kokscharow-Sohn).

$$\begin{array}{ll} \frac{1}{2}X = 23^\circ 33' 34'' & X = 47^\circ 7' 8'' \\ \frac{1}{2}Y = 83 2 35 & Y = 166 5 10 \\ \frac{1}{2}Z = 67 36 36 & Z = 135 13 12 \end{array}$$

$$\alpha = 72^\circ 21' 37''$$

$$\beta = 22 33 54$$

$$\gamma = 7 31 38$$

Brachydomen.

$\frac{1}{3} \tilde{P} \infty$ (Kokscharow-Sohn).

$$\begin{array}{ll} \frac{1}{2}Y = 79^\circ 11' 54'' & Y = 158^\circ 23' 48'' \\ \frac{1}{2}Z = 10 48 6 & Z = 21 36 12 \end{array}$$

$\frac{2}{3} \tilde{P} \infty$ (Kokscharow-Sohn).

$$\begin{array}{ll} \frac{1}{2}Y = 69^\circ 6' 51'' & Y = 138^\circ 13' 42'' \\ \frac{1}{2}Z = 20 53 9 & Z = 41 46 18 \end{array}$$

$\frac{3}{5} \tilde{P} \infty$ (Kokscharow-Sohn).

$$\begin{array}{ll} \frac{1}{3}Y = 60^\circ 12' 52'' & Y = 120^\circ 25' 44'' \\ \frac{1}{3}Z = 29 47 8 & Z = 59 34 16 \end{array}$$

$\frac{4}{3}\check{P}\infty$ (Kokscharow-Sohn).

$$\begin{array}{ll} \frac{4}{3}Y = 52^\circ 39' 2'' & Y = 105^\circ 18' 4'' \\ \frac{4}{3}Z = 37 20 58 & Z = 74 41 56 \end{array}$$

Makrodomen.

$\frac{3}{5}\bar{P}\infty$ (Kokscharow-Sohn).

$$\begin{array}{ll} \frac{4}{3}X = 42^\circ 43' 13'' & X = 85^\circ 26' 26'' \\ \frac{4}{3}Z = 47 16 47 & Z = 94 33 34 \end{array}$$

$\frac{4}{3}\bar{P}\infty$ (Kokscharow-Sohn).

$$\begin{array}{ll} \frac{4}{3}X = 34^\circ 42' 19'' & X = 69^\circ 24' 38'' \\ \frac{4}{3}Z = 55 17 41 & Z = 110 35 22 \end{array}$$

Makroprisma.

$\infty\bar{P}6$ (Kokscharow-Sohn).

$$\begin{array}{ll} \frac{4}{3}X = 5^\circ 2' 3'' & X = 10^\circ 4' 6'' \\ \frac{4}{3}Y = 84 57 57 & Y = 169 55 54 \end{array}$$

Ferner erhalten wir durch Rechnung:

$$2\check{P}\frac{4}{3}(\Omega) : oP (P) = 106^\circ 48' 2''$$

$$2\check{P}\frac{4}{3}(\Omega) : \infty\check{P}\infty (c) = 123 28 3$$

$$2\check{P}\frac{4}{3}(\Omega) : \infty\bar{P}\infty (b) = 141 29 32$$

$$2\check{P}\frac{4}{3}(\Omega) : \infty\check{P}\frac{4}{3}(R) \left. \vphantom{\begin{array}{l} 2\check{P}\frac{4}{3}(\Omega) \\ \infty\check{P}\frac{4}{3}(R) \end{array}} \right\} \text{anliegende} = 163 11 58$$

$$2\check{P}\frac{4}{3}(\Omega) : \infty\check{P}2(l) \left. \vphantom{\begin{array}{l} 2\check{P}\frac{4}{3}(\Omega) \\ \infty\check{P}2(l) \end{array}} \right\} \text{anliegende} = 159 46 51$$

$$2\check{P}\frac{4}{3}(\Omega) : P(o) \left. \vphantom{\begin{array}{l} 2\check{P}\frac{4}{3}(\Omega) \\ P(o) \end{array}} \right\} \text{anliegende} = 168 29 0$$

$$\begin{aligned}
 & \left. \begin{array}{l} 2\check{P}_{\frac{4}{3}}^4 (\Omega) : 2\check{P}_{\infty}(y) \\ \text{anliegende} \end{array} \right\} = 128^{\circ} 30' 28'' \\
 & \frac{7}{6}\check{P}_{\frac{7}{5}}^7 (A) : oP (P) = 118 \quad 7 \quad 22 \\
 & \frac{7}{6}\check{P}_{\frac{7}{5}}^7 (A) : \infty\check{P}_{\infty}(c) = 121 \quad 38 \quad 28 \\
 & \frac{7}{6}\check{P}_{\frac{7}{5}}^7 (A) : \infty\check{P}_{\infty}(b) = 135 \quad 9 \quad 0 \\
 & \left. \begin{array}{l} \frac{7}{6}\check{P}_{\frac{7}{5}}^7 (A) : P (o) \\ \text{anliegende} \end{array} \right\} = 172 \quad 2 \quad 53 \\
 & \left. \begin{array}{l} \frac{7}{6}\check{P}_{\frac{7}{5}}^7 (A) : 2\check{P}_{\infty}(y) \\ \text{anliegende} \end{array} \right\} = 133 \quad 6 \quad 53 \\
 & \frac{6}{5}\check{P}_{\frac{3}{2}}^3 : oP (P) = 118 \quad 29 \quad 20 \\
 & \frac{6}{5}\check{P}_{\frac{3}{2}}^3 : \infty\check{P}_{\infty}(c) = 123 \quad 5 \quad 42 \\
 & \frac{6}{5}\check{P}_{\frac{3}{2}}^3 : \infty\check{P}_{\infty}(b) = 133 \quad 31 \quad 44 \\
 & \left. \begin{array}{l} \frac{6}{5}\check{P}_{\frac{3}{2}}^3 : 2\check{P}_{\infty}(y) \\ \text{anliegende} \end{array} \right\} = 134 \quad 50 \quad 4 \\
 & \left. \begin{array}{l} \frac{6}{5}\check{P}_{\frac{3}{2}}^3 : P (o) \\ \text{anliegende} \end{array} \right\} = 170 \quad 19 \quad 42 \\
 & \left. \begin{array}{l} \frac{6}{5}\check{P}_{\frac{3}{2}}^3 : \infty\check{P}_{\frac{3}{2}}^3 (m) \\ \text{anliegende} \end{array} \right\} = 151 \quad 30 \quad 40 \\
 & \frac{4}{11}\check{P}_{\frac{7}{4}}^7 (\Phi) : oP (P) = 119 \quad 13 \quad 1 \\
 & \frac{4}{11}\check{P}_{\frac{7}{4}}^7 (\Phi) : \infty\check{P}_{\infty}(c) = 126 \quad 20 \quad 39 \\
 & \frac{4}{11}\check{P}_{\frac{7}{4}}^7 (\Phi) : \infty\check{P}_{\infty}(b) = 129 \quad 50 \quad 45 \\
 & \left. \begin{array}{l} \frac{4}{11}\check{P}_{\frac{7}{4}}^7 (\Phi) : P (o) \\ \text{anliegende} \end{array} \right\} = 166 \quad 26 \quad 30 \\
 & \left. \begin{array}{l} \frac{4}{11}\check{P}_{\frac{7}{4}}^7 (\Phi) : 2\check{P}_{\infty}(y) \\ \text{anliegende} \end{array} \right\} = 138 \quad 43 \quad 15 \\
 & \left. \begin{array}{l} \frac{4}{11}\check{P}_{\frac{7}{4}}^7 (\Phi) : \infty\check{P}_{\frac{7}{4}}^7 (\lambda) \\ \text{anliegende} \end{array} \right\} = 150 \quad 46 \quad 59
 \end{aligned}$$

$$17\check{P}_{\frac{1}{9}}^{17}(\Delta) : oP(P) = 92^{\circ} 29' 41''$$

$$17\check{P}_{\frac{1}{9}}^{17}(\Delta) : \infty\check{P}\infty(c) = 134 \ 53 \ 54$$

$$17\check{P}_{\frac{1}{9}}^{17}(\Delta) : \infty\bar{P}\infty(b) = 134 \ 59 \ 35$$

$$17\check{P}_{\frac{1}{9}}^{17}(\Delta) : \infty\check{P}2(l) \left. \vphantom{17\check{P}_{\frac{1}{9}}^{17}(\Delta)} \right\} = 177 \ 1 \ 0$$

anliegende

$$17\check{P}_{\frac{1}{9}}^{17}(\Delta) : P(o) \left. \vphantom{17\check{P}_{\frac{1}{9}}^{17}(\Delta)} \right\} = 151 \ 14 \ 51$$

anliegende

$$\frac{4}{3}\check{P}2(B) : oP(P) = 119 \ 43 \ 56$$

$$\frac{4}{3}\check{P}2(B) : \infty\check{P}\infty(c) = 129 \ 6 \ 37$$

$$\frac{4}{3}\check{P}2(B) : \infty\bar{P}\infty(b) = 126 \ 38 \ 14$$

$$\frac{4}{3}\check{P}2(B) : P(o) \left. \vphantom{\frac{4}{3}\check{P}2(B)} \right\} = 163 \ 4 \ 29$$

anliegende

$$\frac{4}{3}\check{P}2(B) : 2\check{P}\infty(y) \left. \vphantom{\frac{4}{3}\check{P}2(B)} \right\} = 142 \ 5 \ 18$$

anliegende

$$\frac{4}{3}\check{P}2(B) : \infty\check{P}2(l) \left. \vphantom{\frac{4}{3}\check{P}2(B)} \right\} = 150 \ 16 \ 4$$

anliegende

$$\frac{10}{7}\check{P}_{\frac{5}{2}}^{5} : oP(P) = 120 \ 19 \ 57$$

$$\frac{10}{7}\check{P}_{\frac{5}{2}}^{5} : \infty\check{P}\infty(c) = 133 \ 29 \ 26$$

$$\frac{10}{7}\check{P}_{\frac{5}{2}}^{5} : \infty\bar{P}\infty(b) = 121 \ 23 \ 23$$

$$\frac{10}{7}\check{P}_{\frac{5}{2}}^{5} : 2\check{P}\infty(y) \left. \vphantom{\frac{10}{7}\check{P}_{\frac{5}{2}}^{5}} \right\} = 147 \ 34 \ 4$$

anliegende

$$\frac{10}{7}\check{P}_{\frac{5}{2}}^{5} : P(o) \left. \vphantom{\frac{10}{7}\check{P}_{\frac{5}{2}}^{5}} \right\} = 157 \ 35 \ 42$$

anliegende

$$\frac{10}{7}\check{P}_{\frac{5}{2}}^{5} : \infty\check{P}_{\frac{5}{2}}^{5}(\pi) \left. \vphantom{\frac{10}{7}\check{P}_{\frac{5}{2}}^{5}} \right\} = 149 \ 40 \ 3$$

anliegende

$$\frac{10}{7}\check{P}_{\frac{5}{2}}^{5} : \frac{5}{3}\check{P}_{\frac{5}{2}}^{5} \left. \vphantom{\frac{10}{7}\check{P}_{\frac{5}{2}}^{5}} \right\} = 176 \ 18 \ 9$$

anliegende

$$\left. \begin{array}{l} \frac{1}{7} \check{P}^{\frac{5}{2}} \\ \text{anliegende} \end{array} : 10 \check{P}^{\frac{5}{2}} (\Theta) \right\} = 154^{\circ} 26' 44''$$

$$\frac{2}{3} \check{P}^{\frac{5}{2}} : oP (P) = 116 \quad 38 \quad 6$$

$$\frac{2}{3} \check{P}^{\frac{5}{2}} : \infty \check{P}^{\infty} (c) = 135 \quad 27 \quad 39$$

$$\frac{2}{3} \check{P}^{\frac{5}{2}} ; \infty \bar{P}^{\infty} (b) = 122 \quad 38 \quad 40$$

$$\left. \begin{array}{l} \frac{2}{3} \check{P}^{\frac{5}{2}} \\ \text{anliegende} \end{array} : \infty P (M) \right\} = 144 \quad 5 \quad 37$$

$$\left. \begin{array}{l} \frac{2}{3} \check{P}^{\frac{5}{2}} \\ \text{anliegende} \end{array} : \check{P}^{\infty} (f) \right\} = 144 \quad 43 \quad 23$$

$$\left. \begin{array}{l} \frac{2}{3} \check{P}^{\frac{5}{2}} \\ \text{anliegende} \end{array} : \infty \check{P}^{\frac{5}{2}} (\pi) \right\} = 153 \quad 21 \quad 54$$

$$10 \check{P}^{\frac{5}{2}} (\Theta) : oP (P) = 94 \quad 46 \quad 41$$

$$10 \check{P}^{\frac{5}{2}} (\Theta) : \infty \check{P}^{\infty} (c) = 142 \quad 37 \quad 12$$

$$10 \check{P}^{\frac{5}{2}} (\Theta) : \infty \bar{P}^{\infty} (b) = 126 \quad 58 \quad 2$$

$$\left. \begin{array}{l} 10 \check{P}^{\frac{5}{2}} (\Theta) \\ \text{anliegende} \end{array} : \infty \check{P}^2 (l) \right\} = 172 \quad 6 \quad 17$$

$$\left. \begin{array}{l} 10 \check{P}^{\frac{5}{2}} (\Theta) \\ \text{anliegende} \end{array} : 2 \check{P}^{\infty} (y) \right\} = 137 \quad 56 \quad 35$$

$$\left. \begin{array}{l} 10 \check{P}^{\frac{5}{2}} (\Theta) \\ \text{anliegende} \end{array} : \infty \check{P}^{\frac{5}{2}} (\pi) \right\} = 175 \quad 13 \quad 19$$

$$\check{P}^3 : oP (P) = 131 \quad 33 \quad 44$$

$$\check{P}^3 : \infty \check{P}^{\infty} (c) = 129 \quad 15 \quad 48$$

$$\check{P}^3 : \infty \bar{P}^{\infty} (b) = 113 \quad 31 \quad 28$$

$$\left. \begin{array}{l} \check{P}^3 \\ \text{anliegende} \end{array} : \infty \check{P}^3 (g) \right\} = 138 \quad 26 \quad 16$$

$$\left. \begin{array}{l} \check{P}^3 \\ \text{anliegende} \end{array} : P (o) \right\} = 150 \quad 58 \quad 0$$

$\check{P}3$ anliegende	:	$\check{P}2 (v)$	} = 170° 22' 50''
$P3$ anliegende	:	$\check{P}4 (f)$	} = 174 33 25
$\check{P}3$ anliegende	:	$\check{P}_{\frac{3}{2}} (n)$	} = 162 28 50
$\check{P}3$ anliegende	:	$\check{P}_{\infty} (l)$	} = 156 28 32
$6\check{P}3 (X)$:	$oP (P)$	= 98 24 23
$6\check{P}3 (X)$:	$\infty\check{P}_{\infty} (c)$	= 146 47 54
$6\check{P}3 (X)$:	$\infty\bar{P}_{\infty} (b)$	= 121 51 4
$6\check{P}3 (X)$ anliegende	:	$\infty\check{P}2 (l)$	} = 166 3 2
$6\check{P}3 (X)$ anliegende	:	$2\check{P}_{\infty} (y)$	} = 143 59 49
$6\check{P}3 (X)$ anliegende	:	$\infty\check{P}3 (g)$	} = 171 35 37
$6\check{P}3 (X)$ anliegende	:	$\frac{1}{2}\check{P}3 (s)$	} = 127 49 31
$6\check{P}3 (X)$ anliegende	:	$\frac{3}{5}\check{P}3 (t)$	} = 132 29 32
$6\check{P}3 (X)$ anliegende	:	$\frac{3}{4}\check{P}3 (o)$	} = 138 38 0
$6\check{P}3 (X)$ anliegende	:	$3\check{P}3 (i)$	} = 171 56 28
$\frac{3}{5}\check{P}4 (\Sigma)$:	$oP (P)$	= 120 38 12
$\frac{3}{5}\check{P}4 (\Sigma)$:	$\infty\check{P}_{\infty} (c)$	= 141 3 34
$\frac{3}{5}\check{P}4 (\Sigma)$:	$\infty\bar{P}_{\infty} (b)$	= 111 35 9

$$\left. \begin{array}{l} \frac{2}{3}\check{P}_4 (\Sigma) : \infty\check{P}_4 (n) \\ \text{anliegende} \end{array} \right\} = 149^\circ 21' 48''$$

$$\left. \begin{array}{l} \frac{2}{3}\check{P}_4 (\Sigma) : P (o) \\ \text{anliegende} \end{array} \right\} = 147 \quad 25 \quad 23$$

$$\left. \begin{array}{l} \frac{2}{3}\check{P}_4 (\Sigma) : 2\check{P}_\infty(y) \\ \text{anliegende} \end{array} \right\} = 157 \quad 44 \quad 24$$

$$\left. \begin{array}{l} \frac{2}{3}\check{P}_4 (\Sigma) : \frac{4}{3}\check{P}_4 (\varphi) \\ \text{anliegende} \end{array} \right\} = 175 \quad 14 \quad 6$$

$$\left. \begin{array}{l} \frac{2}{3}\check{P}_4 (\Sigma) : \check{P}_4 (f) \\ \text{anliegende} \end{array} \right\} = 167 \quad 10 \quad 39$$

$$\frac{2}{5}\check{P}_4 (\Sigma) : \frac{2}{3}\check{P}_4 (W) = 155 \quad 45 \quad 50$$

$$\frac{2}{7}\check{P}_\frac{2}{3} : oP (P) = 126 \quad 55 \quad 42$$

$$\frac{2}{7}\check{P}_\frac{2}{3} : \infty\check{P}_\infty (c) = 137 \quad 28 \quad 6$$

$$\frac{2}{7}\check{P}_\frac{2}{3} : \infty\check{P}_\infty (b) = 108 \quad 2 \quad 56$$

$$\left. \begin{array}{l} \frac{2}{7}\check{P}_\frac{2}{3} : \infty P (M) \\ \text{anliegende} \end{array} \right\} = 128 \quad 11 \quad 22$$

$$\left. \begin{array}{l} \frac{2}{7}\check{P}_\frac{2}{3} : \check{P}_\infty(f) \\ \text{anliegende} \end{array} \right\} = 160 \quad 37 \quad 38$$

$$\check{P}_5 : oP (P) = 131 \quad 26 \quad 1$$

$$\check{P}_5 : \infty\check{P}_\infty (c) = 131 \quad 54 \quad 4$$

$$\check{P}_5 : \infty\check{P}_\infty (b) = 104 \quad 38 \quad 17$$

$$\left. \begin{array}{l} \check{P}_5 : \infty\check{P}_5 (\mu) \\ \text{anliegende} \end{array} \right\} = 135 \quad 33 \quad 59$$

$$\left. \begin{array}{l} \check{P}_5 : \check{P}_\infty(f) \\ \text{anliegende} \end{array} \right\} = 165 \quad 21 \quad 43$$

$$\left. \begin{array}{l} \check{P}_5 : P (o) \\ \text{anliegende} \end{array} \right\} = 142 \quad 4 \quad 49$$

$$\begin{array}{l} \tilde{P}5 \\ \text{anliegende} \end{array} : \tilde{P}_{\frac{3}{2}}(\eta) \left. \vphantom{\begin{array}{l} \tilde{P}5 \\ \text{anliegende} \end{array}} \right\} = 153^{\circ} 35' 39''$$

$$\begin{array}{l} \tilde{P}5 \\ \text{anliegende} \end{array} : \tilde{P}2(v) \left. \vphantom{\begin{array}{l} \tilde{P}5 \\ \text{anliegende} \end{array}} \right\} = 161 \ 29 \ 39$$

$$\begin{array}{l} \tilde{P}5 \\ \text{anliegende} \end{array} : \tilde{P}4(f) \left. \vphantom{\begin{array}{l} \tilde{P}5 \\ \text{anliegende} \end{array}} \right\} = 176 \ 33 \ 24$$

$$\begin{array}{l} \tilde{P}5 \\ \text{anliegende} \end{array} : \tilde{P}_{\infty}(f) \left. \vphantom{\begin{array}{l} \tilde{P}5 \\ \text{anliegende} \end{array}} \right\} = 165 \ 21 \ 43$$

$$\frac{5}{4}\tilde{P}5 : oP(P) = 128 \ 6 \ 30$$

$$\frac{5}{4}\tilde{P}5 : \infty\tilde{P}_{\infty}(c) = 137 \ 23 \ 6$$

$$\frac{5}{4}\tilde{P}5 : \infty\bar{P}_{\infty}(b) = 106 \ 10 \ 8$$

$$\begin{array}{l} \frac{5}{4}\tilde{P}5 \\ \text{anliegende} \end{array} : \infty\tilde{P}5(\mu) \left. \vphantom{\begin{array}{l} \frac{5}{4}\tilde{P}5 \\ \text{anliegende} \end{array}} \right\} = 141 \ 53 \ 30$$

$$\begin{array}{l} \frac{5}{4}\tilde{P}5 \\ \text{anliegende} \end{array} : \frac{5}{4}\tilde{P}_{\infty}(G) \left. \vphantom{\begin{array}{l} \frac{5}{4}\tilde{P}5 \\ \text{anliegende} \end{array}} \right\} = 163 \ 49 \ 52$$

$$\begin{array}{l} \frac{5}{4}\tilde{P}5 \\ \text{anliegende} \end{array} : 2\tilde{P}_{\infty}(y) \left. \vphantom{\begin{array}{l} \frac{5}{4}\tilde{P}5 \\ \text{anliegende} \end{array}} \right\} = 159 \ 46 \ 15$$

$$\begin{array}{l} \frac{5}{4}\tilde{P}5 \\ \text{anliegende} \end{array} : \frac{1}{2}P(u) \left. \vphantom{\begin{array}{l} \frac{5}{4}\tilde{P}5 \\ \text{anliegende} \end{array}} \right\} = 148 \ 35 \ 0$$

$$\frac{5}{2}\tilde{P}5(\mathcal{A}) : oP(P) = 111 \ 24 \ 49$$

$$\frac{5}{2}\tilde{P}5(\mathcal{A}) : \infty\tilde{P}_{\infty}(c) = 150 \ 32 \ 32$$

$$\frac{5}{2}\tilde{P}5(\mathcal{A}) : \infty\bar{P}_{\infty}(b) = 109 \ 14 \ 13$$

$$\begin{array}{l} \frac{5}{2}\tilde{P}5(\mathcal{A}) \\ \text{anliegende} \end{array} : \infty\tilde{P}5(\mu) \left. \vphantom{\begin{array}{l} \frac{5}{2}\tilde{P}5(\mathcal{A}) \\ \text{anliegende} \end{array}} \right\} = 158 \ 35 \ 11$$

$$\begin{array}{l} \frac{5}{2}\tilde{P}5(\mathcal{A}) \\ \text{anliegende} \end{array} : 2\tilde{P}_{\infty}(y) \left. \vphantom{\begin{array}{l} \frac{5}{2}\tilde{P}5(\mathcal{A}) \\ \text{anliegende} \end{array}} \right\} = 160 \ 10 \ 8$$

$$\begin{array}{l} \frac{5}{2}\tilde{P}5(\mathcal{A}) \\ \text{anliegende} \end{array} : \infty P(M) \left. \vphantom{\begin{array}{l} \frac{5}{2}\tilde{P}5(\mathcal{A}) \\ \text{anliegende} \end{array}} \right\} = 134 \ 16 \ 48$$

$$\frac{1}{3}^0\check{P}5 : oP (P) = 106^\circ 23' 25''$$

$$\frac{1}{3}^0\check{P}5 : \infty\check{P}\infty (c) = 153 \ 48 \ 7$$

$$\frac{1}{3}^0\check{P}5 : \infty\bar{P}\infty (b) = 109 \ 50 \ 53$$

$$\frac{1}{3}^0\check{P}5 : \infty\check{P}5 (\mu) \left. \vphantom{\frac{1}{3}^0\check{P}5} \right\} = 163 \ 36 \ 35$$

anliegende

$$\frac{1}{3}^0\check{P}5 : 2\check{P}\infty(y) \left. \vphantom{\frac{1}{3}^0\check{P}5} \right\} = 157 \ 46 \ 38$$

anliegende

$$\frac{1}{3}^0\check{P}5 : \infty\check{P}2 (l) \left. \vphantom{\frac{1}{3}^0\check{P}5} \right\} = 152 \ 16 \ 12$$

anliegende

$$\frac{2}{9}^0\check{P}\frac{1}{2}^3 (II) : oP (P) \left. \vphantom{\frac{2}{9}^0\check{P}\frac{1}{2}^3} \right\} = 109 \ 12 \ 30$$

anliegende

$$\frac{2}{9}^0\check{P}\frac{1}{2}^3 (II) : \infty\check{P}\infty (c) = 155 \ 3 \ 11$$

$$\frac{2}{9}^0\check{P}\frac{1}{2}^3 (II) : \infty\bar{P}\infty (b) = 105 \ 18 \ 9$$

$$\frac{2}{9}^0\check{P}\frac{1}{2}^3 (II) : \infty\check{P}2 (l) \left. \vphantom{\frac{2}{9}^0\check{P}\frac{1}{2}^3} \right\} = 147 \ 8 \ 38$$

anliegende

$$\frac{2}{9}^0\check{P}\frac{1}{2}^3 (II) : 2\check{P}\infty(y) \left. \vphantom{\frac{2}{9}^0\check{P}\frac{1}{2}^3} \right\} = 162 \ 54 \ 13$$

anliegende

$$\frac{7}{4}\check{P}7 : oP (P) = 120 \ 2 \ 22$$

$$\frac{7}{4}\check{P}7 : \infty\check{P}\infty (c) = 146 \ 41 \ 19$$

$$\frac{7}{4}\check{P}7 : \infty\bar{P}\infty (b) = 103 \ 3 \ 16$$

$$\frac{7}{4}\check{P}7 : \frac{7}{4}\check{P}2 (\tau) \left. \vphantom{\frac{7}{4}\check{P}7} \right\} = 153 \ 59 \ 37$$

anliegende

$$\frac{7}{4}\check{P}7 : 2\check{P}\infty(y) \left. \vphantom{\frac{7}{4}\check{P}7} \right\} = 166 \ 33 \ 4$$

anliegende

$$\frac{7}{4}\check{P}7 : P (o) \left. \vphantom{\frac{7}{4}\check{P}7} \right\} = 138 \ 36 \ 42$$

anliegende

$$\frac{5}{3}\tilde{P}8(\mathcal{H}) : oP(P) = 110^\circ 56' 3''$$

$$\frac{5}{3}\tilde{P}8(\mathcal{H}) : \infty\tilde{P}\infty(c) = 155 \ 21 \ 23$$

$$\frac{5}{3}\tilde{P}8(\mathcal{H}) : \infty\bar{P}\infty(b) = 102 \ 24 \ 47$$

$$\frac{5}{3}\tilde{P}8(\mathcal{H}) : \infty\tilde{P}2(l) \left. \vphantom{\frac{5}{3}\tilde{P}8(\mathcal{H})} \right\} = 143 \ 54 \ 6$$

anliegende

$$\frac{5}{3}\tilde{P}8(\mathcal{H}) : 2\tilde{P}\infty(y) \left. \vphantom{\frac{5}{3}\tilde{P}8(\mathcal{H})} \right\} = 166 \ 8 \ 46$$

anliegende

$$\frac{5}{3}\tilde{P}10 : oP(P) = 112 \ 23 \ 29$$

$$\frac{5}{3}\tilde{P}10 : \infty\tilde{P}\infty(c) = 155 \ 17 \ 50$$

$$\frac{5}{3}\tilde{P}10 : \infty\bar{P}\infty(b) = 99 \ 53 \ 51$$

$$\frac{5}{3}\tilde{P}10 : \infty\tilde{P}2(l) \left. \vphantom{\frac{5}{3}\tilde{P}10} \right\} = 141 \ 5 \ 10$$

anliegende

$$\frac{5}{3}\tilde{P}10 : 2\tilde{P}\infty(y) \left. \vphantom{\frac{5}{3}\tilde{P}10} \right\} = 168 \ 57 \ 40$$

anliegende

$$\frac{7}{3}\tilde{P}14(\Psi) : oP(P) = 113 \ 59 \ 57$$

$$\frac{7}{3}\tilde{P}14(\Psi) : \infty\tilde{P}\infty(c) = 154 \ 52 \ 0$$

$$\frac{7}{3}\tilde{P}14(\Psi) : \infty\bar{P}\infty(b) = 97 \ 1 \ 39$$

$$\frac{7}{3}\tilde{P}14(\Psi) : \infty\tilde{P}2(l) \left. \vphantom{\frac{7}{3}\tilde{P}14(\Psi)} \right\} = 137 \ 52 \ 51$$

anliegende

$$\frac{7}{3}\tilde{P}14(\Psi) : 2\tilde{P}\infty(y) \left. \vphantom{\frac{7}{3}\tilde{P}14(\Psi)} \right\} = 172 \ 10 \ 2$$

anliegende

$$\frac{1}{2}\frac{3}{3}\tilde{P}\frac{1}{1}\frac{3}{1}(C) : oP(P) = 115 \ 1 \ 36$$

$$\frac{1}{2}\frac{3}{3}\tilde{P}\frac{1}{1}\frac{3}{1}(C) : \infty\tilde{P}\infty(c) = 111 \ 42 \ 41$$

$$\frac{1}{2}\frac{3}{3}\tilde{P}\frac{1}{1}\frac{3}{1}(C) : \infty\bar{P}\infty(b) = 145 \ 48 \ 28$$

$$\frac{1}{2}\frac{3}{3}\tilde{P}\frac{1}{1}\frac{3}{1}(C) : P(o) \left. \vphantom{\frac{1}{2}\frac{3}{3}\tilde{P}\frac{1}{1}\frac{3}{1}(C)} \right\} = 176 \ 26 \ 26$$

anliegende

$$\frac{1}{2}\bar{P}\frac{1}{1}\frac{3}{1}(C) : \infty\bar{P}2(l) \left. \vphantom{\frac{1}{2}\bar{P}\frac{1}{1}\frac{3}{1}(C)} \right\} = 146^\circ 50' 35''$$

anliegende

$$\frac{1}{2}\bar{P}\frac{1}{1}\frac{3}{1}(C) : \infty P(M) \left. \vphantom{\frac{1}{2}\bar{P}\frac{1}{1}\frac{3}{1}(C)} \right\} = 123 \ 56 \ 51$$

über $\rho = 2\bar{P}\infty$

$$\bar{P}\frac{1}{3}(K) : oP(P) = 117 \ 15 \ 4$$

$$\bar{P}\frac{1}{3}(K) : \infty\bar{P}\infty(c) = 109 \ 7 \ 25$$

$$\bar{P}\frac{1}{3}(K) : \infty\bar{P}\infty(b) = 145 \ 44 \ 6$$

$$\bar{P}\frac{1}{3}(K) : P(o) \left. \vphantom{\bar{P}\frac{1}{3}(K)} \right\} = 174 \ 18 \ 41$$

anliegende

$$\bar{P}\frac{1}{3}(K) : \bar{P}\infty(d) \left. \vphantom{\bar{P}\frac{1}{3}(K)} \right\} = 160 \ 52 \ 35$$

anliegende

$$\bar{P}\frac{1}{3}(K) : \infty\bar{P}2(l) \left. \vphantom{\bar{P}\frac{1}{3}(K)} \right\} = 143 \ 42 \ 4$$

anliegende

$$3\bar{P}\frac{3}{2} : o\bar{P}(P) = 99 \ 52 \ 52$$

$$3\bar{P}\frac{3}{2} : \infty\bar{P}\infty(c) = 109 \ 6 \ 42$$

$$3\bar{P}\frac{3}{2} : \infty\bar{P}\infty(b) = 158 \ 18 \ 20$$

$$3\bar{P}\frac{3}{2} : \infty P(M) \left. \vphantom{3\bar{P}\frac{3}{2}} \right\} = 167 \ 1 \ 38$$

anliegende

$$3\bar{P}\frac{3}{2} : \bar{P}\infty(d) \left. \vphantom{3\bar{P}\frac{3}{2}} \right\} = 153 \ 37 \ 39$$

anliegende

$$\frac{1}{9}\bar{P}\frac{1}{6}\frac{3}{6}(\Gamma) : oP(P) = 128 \ 11 \ 33$$

$$\frac{1}{9}\bar{P}\frac{1}{6}\frac{3}{6}(\Gamma) : \infty\bar{P}\infty(c) = 100 \ 44 \ 5$$

$$\frac{1}{9}\bar{P}\frac{1}{6}\frac{3}{6}(\Gamma) : \infty\bar{P}\infty(b) = 139 \ 46 \ 41$$

$$\frac{1}{9}\bar{P}\frac{1}{6}\frac{3}{6}(\Gamma) : \infty P(M) \left. \vphantom{\frac{1}{9}\bar{P}\frac{1}{6}\frac{3}{6}(\Gamma)} \right\} = 126 \ 0 \ 56$$

über $d = \bar{P}\infty$

$$\frac{1}{9}\bar{P}\frac{1}{6}\frac{3}{6}(\Gamma) : \frac{1}{2}P(u) \left. \vphantom{\frac{1}{9}\bar{P}\frac{1}{6}\frac{3}{6}(\Gamma)} \right\} = 167 \ 42 \ 37$$

anliegende

$$\frac{1}{9}\bar{P}\frac{1}{6}\frac{3}{6}(\Gamma) : \bar{P}\infty(d) \left. \vphantom{\frac{1}{9}\bar{P}\frac{1}{6}\frac{3}{6}(\Gamma)} \right\} = 165 \ 21 \ 41$$

anliegende

$\frac{4}{3}\bar{P}4$:	$oP(P)$	=	112° 23' 24"
$\frac{4}{3}\bar{P}4$:	$\infty\check{P}\infty(c)$	=	96 57 25
$\frac{4}{3}\bar{P}4$:	$\infty\bar{P}\infty(b)$	=	156 26 26
$\frac{4}{3}\bar{P}4$:	$\infty P(M)$	}	= 150 6 46
		anliegende		
$\frac{4}{3}\bar{P}4$:	$\bar{P}\infty(d)$	}	= 170 32 31
		anliegende		
$\frac{4}{5}\check{P}\infty$:	$oP(P)$	=	169 11 54
$\frac{4}{5}\check{P}\infty$:	$\infty\check{P}\infty(c)$	=	100 48 6
$\frac{4}{5}\check{P}\infty$:	$\infty\bar{P}\infty(b)$	=	90 0 0
$\frac{3}{5}\check{P}\infty$:	$oP(P)$	=	159 6 51
$\frac{3}{5}\check{P}\infty$:	$\infty\check{P}\infty(c)$	=	110 53 9
$\frac{3}{5}\check{P}\infty$:	$\infty\bar{P}\infty(b)$	=	90 0 0
$\frac{3}{5}\check{P}\infty$:	$oP(P)$	=	150 12 52
$\frac{3}{5}\check{P}\infty$:	$\infty\check{P}\infty(c)$	=	119 47 8
$\frac{3}{5}\check{P}\infty$:	$\infty\bar{P}\infty(b)$	=	90 0 0
$\frac{4}{5}\check{P}\infty$:	$oP(P)$	=	142 39 2
$\frac{4}{5}\check{P}\infty$:	$\infty\check{P}\infty(c)$	=	127 20 58
$\frac{4}{5}\check{P}\infty$:	$\infty\bar{P}\infty(b)$	=	90 0 0
$\frac{3}{5}\bar{P}\infty$:	$oP(P)$	=	132 43 13
$\frac{3}{5}\bar{P}\infty$:	$\infty\check{P}\infty(c)$	=	90 0 0
$\frac{3}{5}\bar{P}\infty$:	$\infty\bar{P}\infty(b)$	=	137 16 47
$\frac{4}{5}\bar{P}\infty$:	$oP(P)$	=	124 42 19
$\frac{4}{5}\bar{P}\infty$:	$\infty\check{P}\infty(c)$	=	90 0 0

$$\begin{array}{l}
 \frac{4}{5}\bar{P}\infty \quad : \infty\bar{P}\infty (b) = 145^\circ 17' 41'' \\
 \infty\bar{P}6 \quad : oP (P) = 90 \quad 0 \quad 0 \\
 \infty\bar{P}6 \quad : \infty\check{P}\infty (c) = 95 \quad 2 \quad 3 \\
 \infty\bar{P}6 \quad : \infty\bar{P}\infty (b) = 174 \quad 57 \quad 57 \\
 \infty\bar{P}6 \quad : \infty\bar{P}2(N) \left. \vphantom{\infty\bar{P}6} \right\} = 166 \quad 56 \quad 44 \\
 \text{anliegende}
 \end{array}$$

In unserem Werke sind bis jetzt schon die Berechnungen aller bekannten Topas-Formen, mit Ausnahme der drei von Descloizeaux bestimmten, nämlich $\frac{4}{3}\check{P}2$, $\varphi = \frac{4}{3}\check{P}4$ und $\nu = \frac{9}{10}\check{P}9$, geliefert worden. Um diese Lücke zu füllen fügen wir hier auch die Berechnungen dieser letzten drei Formen bei.

$\frac{4}{3}\check{P}2$, Descloizeaux.

$$\begin{array}{ll}
 \frac{4}{2}X = 53^\circ 21' 46'' & X = 106^\circ 43' 32'' \\
 \frac{4}{2}Y = 50 \quad 53 \quad 24 & Y = 101 \quad 46 \quad 48 \\
 \frac{4}{2}Z = 60 \quad 16 \quad 4 & Z = 120 \quad 32 \quad 8 \\
 \\
 \alpha = 38^\circ 10' 28'' \\
 \beta = 39 \quad 43 \quad 46 \\
 \gamma = 46 \quad 35 \quad 22
 \end{array}$$

$\varphi = \frac{4}{3}\check{P}4$, Descloizeaux.

$$\begin{array}{ll}
 \frac{4}{2}X = 69^\circ 36' 10'' & X = 139^\circ 12' 20'' \\
 \frac{4}{2}Y = 42 \quad 32 \quad 13 & Y = 85 \quad 4 \quad 26 \\
 \frac{4}{2}Z = 54 \quad 35 \quad 54 & Z = 109 \quad 11 \quad 48 \\
 \\
 \alpha = 38^\circ 10' 28'' \\
 \beta = 58 \quad 58 \quad 4 \\
 \gamma = 64 \quad 41 \quad 9
 \end{array}$$

$$\nu = \frac{9}{10}\check{P}9, \text{ Déscloizeaux.}$$

$$\begin{array}{ll} \frac{4}{3}X = 82^\circ 12' 8'' & X = 164^\circ 24' 16'' \\ \frac{4}{3}Y = 49 \ 48 \ 19 & Y = 99 \ 36 \ 38 \\ \frac{4}{3}Z = 41 \ 15 \ 41 & Z = 82 \ 31 \ 22 \end{array}$$

$$\alpha = 49^\circ 21' 7''$$

$$\beta = 79 \ 46 \ 8$$

$$\gamma = 78 \ 7 \ 41$$

Und endlich berechnen sich folgende Winkel:

$$\frac{4}{3}\check{P}2 : oP (P) = 119^\circ 43' 56''$$

$$\frac{4}{3}\check{P}2 : \infty\check{P}\infty (c) = 129 \ 6 \ 36$$

$$\frac{4}{3}\check{P}2 : \infty\bar{P}\infty (b) = 126 \ 38 \ 14$$

$$\left. \begin{array}{l} \frac{4}{3}\check{P}2 : \infty\check{P}2 (l) \\ \text{anliegende} \end{array} \right\} = 150 \ 16 \ 4$$

$$\left. \begin{array}{l} \frac{4}{3}\check{P}2 : \check{P}2 (v) \\ \text{anliegende} \end{array} \right\} = 172 \ 26 \ 33$$

$$\left. \begin{array}{l} \frac{4}{3}\check{P}2 : \frac{7}{4}\check{P}2 (\sigma) \\ \text{anliegende} \end{array} \right\} = 173 \ 47 \ 3$$

$$\left. \begin{array}{l} \frac{4}{3}\check{P}2 : 2\check{P}2 (r) \\ \text{anliegende} \end{array} \right\} = 171 \ 6 \ 45$$

$$\frac{4}{3}\check{P}4 (\varphi) : oP (P) = 125 \ 24 \ 6$$

$$\frac{4}{3}\check{P}4 (\varphi) : \infty\check{P}\infty (c) = 137 \ 27 \ 47$$

$$\frac{4}{3}\check{P}4 (\varphi) : \infty\bar{P}\infty (b) = 110 \ 23 \ 50$$

$$\left. \begin{array}{l} \frac{4}{3}\check{P}4 (\varphi) : \infty\check{P}4 (n) \\ \text{anliegende} \end{array} \right\} = 144 \ 35 \ 54$$

$$\left. \begin{array}{l} \frac{4}{3}\check{P}4 (\varphi) : \frac{2}{3}\check{P}4 (W) \\ \text{anliegende} \end{array} \right\} = 160 \ 31 \ 44$$

$$\left. \begin{array}{l} \frac{4}{3}\check{P}4 (\varphi) : \check{P}4 (f) \\ \text{anliegende} \end{array} \right\} = 171 \ 56 \ 33$$

$$\frac{9}{10}\bar{P}9 (\nu) : oP (P) = 138^\circ 44' 19''.$$

$$\frac{9}{10}\bar{P}9 (\nu) : \infty\bar{P}\infty (c) = 130 \ 11 \ 41$$

$$\frac{9}{10}\bar{P}9 (\nu) : \infty\bar{P}\infty (b) = 97 \ 47 \ 52$$

CXLI.

MURSINSKIT

(Ein neues Mineral.)

Allgemeine Charakteristik.

Kr. Syst.: tetragonal.

Grundform: tetragonale Pyramide, deren Flächen, nach meinen approximativen Messungen, in den Polkanten unter einem Winkel = $127^\circ 31' 40''$ und in den Mittelkanten = $77^\circ 23' 28''$ geneigt sind.

$$a : b : b = 0,56641 : 1 : 1$$

Der Mursinskit kommt in kleinen, sehr schönen Krystallen vor, als Einschluss in Topas-Krystallen. Seine Farbe ist wein- bis honiggelb. Durchsichtig bis halbdurchsichtig. Härte 5 . . . 6. Spec. Gewicht ist noch nicht mit Sicherheit bestimmt worden. Chemische Zusammensetzung auch unbekannt.

In Russland trifft man dieses neue Mineral am Ural, in der Umgegend des Dorfes Alabaschka (unweit Mursinsk, Ekaterinburger Bergrevier), wo es Einschlüsse in den so bekannten grossen, durchsichtigen Topas-Krystallen bildet. Ich schlage vor dasselbe «*Mursinskit*» zu nennen, nach dem Namen der Localität, welche so viele schöne Mineralien geliefert hat und dadurch weltbekannt ist. Ich hoffe, dass dieser Name von den Mineralogen gern angenommen werden wird.

Der Mursinskit ist ein höchst seltenes Mineral. Ich kenne bis jetzt nur zwei Exemplare von demselben, nämlich: einen kleinen Krystall, welchen ich aus einem Topas-Krystalle, für meine Untersuchungen, ausgenommen habe und einen anderen, welchen ich auf seiner primitiven Stelle in dem Topas-Bruchstücke gelassen habe. Der erste von diesen Krystallen hat ungefähr 2 Millimeter im Durchmesser und wiegt 0,039 Gramm.*) P. v. Nikolajew, Laborant am Berg-Institut zu St. Petersburg, hat das spec. Gewicht desselben zu bestimmen versucht. Mir scheint es aber, dass wegen der ungemein geringen Dimensionen des Krystalls man das von ihm erhaltene Resultat nicht als richtig betrachten kann; — er hat nämlich das spec. Gewicht = 4,149 gefunden.

Es ist höchst merkwürdig, dass der Mursinskit so selten ist. Meine ersten Messungen an demselben waren schon im Jahre 1854 angestellt worden; da aber der erwähnte Krystall, nach der Art seiner Bildung, mir nicht genug befriedigende Resultate lieferte, so hielt ich es für besser dieselben nicht gleich zu veröffentlichen, sondern das Erscheinen anderer Exemplare des Minerals abzuwarten, welche im Stande wären mir mehr genauere Resultate zu geben. Leider war es mir nicht möglich, *im Laufe von 32 Jahren*, auch nur ein einziges Stück des Mursinskits zu erhalten. Aus diesem Grunde habe ich mich entschieden in dieser Abhandlung meine alten, so wie meine in neuester Zeit, an demselben Krystalle erhaltenen Resultate, ungeachtet ihrer Unvollkommenheiten, zu veröffentlichen. Vielleicht werden die künftigen Beobachter glücklicher seien als ich.

Der Krystall, welcher zur Untersuchung angewandt wurde, ist hier in zwei horizontalen Projectionen abgebildet: auf Fig. 1 in seinem natürlichen Zustande und auf Fig. 2 symmetrisch.

*) Diese beiden Krystalle befinden sich in der Mineraliensammlung meines Sohnes.

Fig. 1.

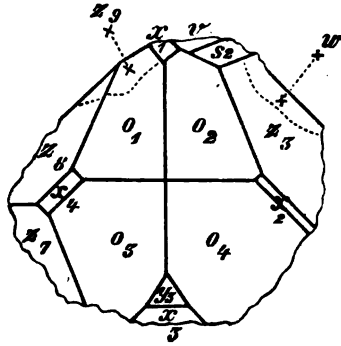
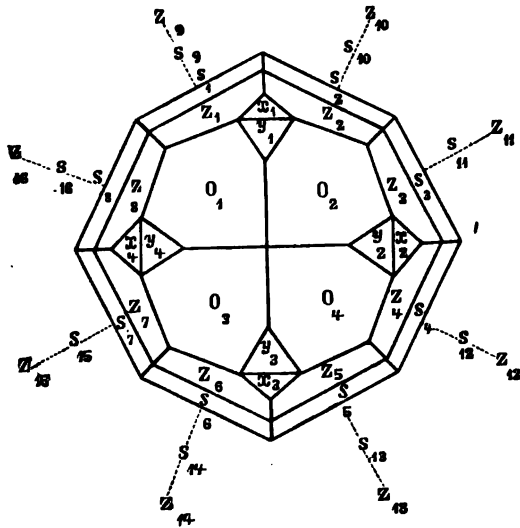


Fig. 2.



Dieser Krystall enthält folgende Formen:

Tetragonale Pyramiden der ersten Art.

$$o = P = (a : b : b)$$

Tetragonale Pyramiden der zweiten Art.

$$x = 2P\infty = (a : \frac{1}{2}b : \infty b)$$

$$y = \frac{2}{3}P\infty = (a : \frac{2}{3}b : \infty b)$$

Ditetragonale Pyramiden.

$$z = 5P2 = (a : \frac{1}{5}b : \frac{2}{5}b)$$

$$s = 8P2 = (a : \frac{1}{8}b : \frac{1}{4}b)$$

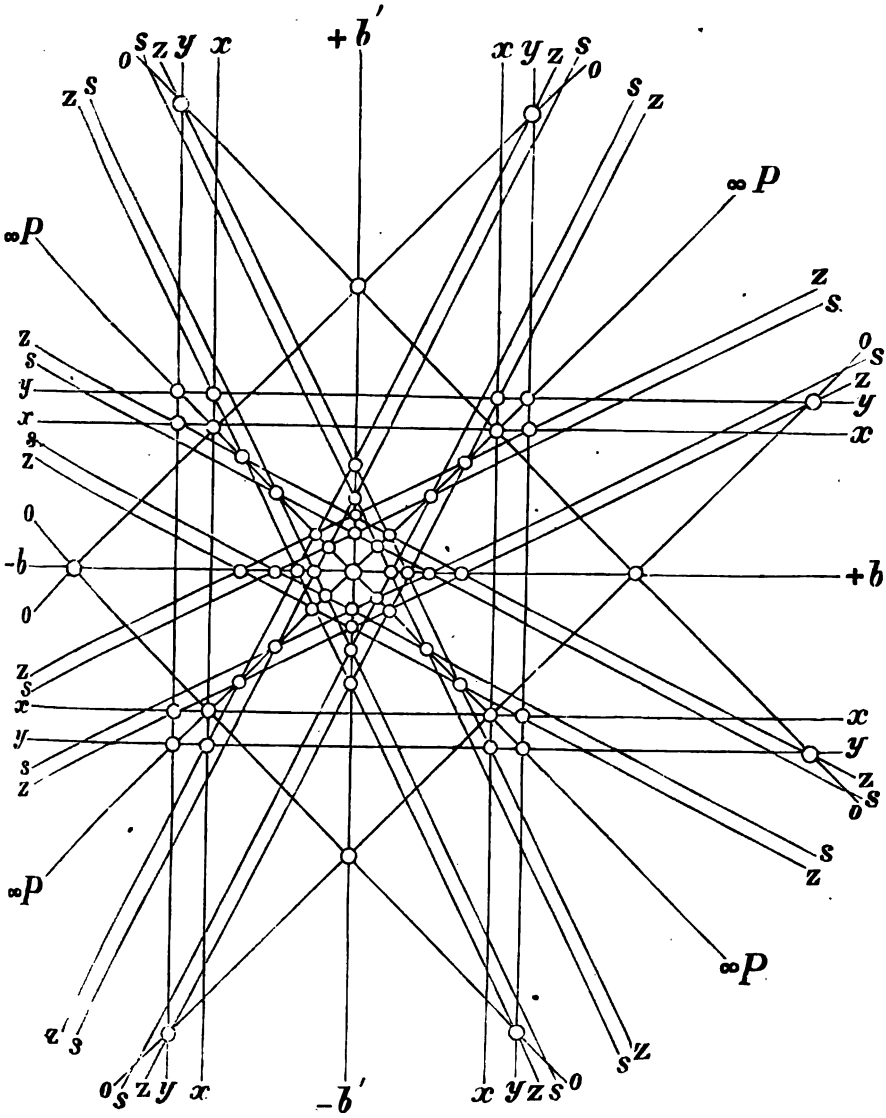
$$w = mPn = (a : \frac{1}{m} : \frac{n}{m} b)$$

$$v = m'Pn' = (a : \frac{1}{m'} : \frac{n'}{m'} b)$$

Diese Formen sind hier, nach der Quenstedt'schen Methode, graphisch auf Fig. 3 dargestellt. Die erwähnte Methode, wie bekannt, besteht darin, dass man alle Flächen durch *einen Punkt* (durch den Endpunkt der Verticalaxe, welche = 1 angenommen wird) legt und dann die Ebene, welche die Nebenaxen enthält (Projectionsebene), durch dieselben schneiden lässt.

Die Flächen x_3 und y_3 sind glatt und sehr glänzend, die Flächen z_7 , v und w sind auch ziemlich glänzend, aber weniger glatt, alle anderen, obgleich glänzend, sind aber uneben und zum Theil gebogen.

Fig. 3.



Die mit dem gewöhnlichen Wollaston'schen Reflexions-Goniometer ausgeführten approximativen Messungen.

Da der abgemessene Krystall, ungeachtet seiner glänzenden Flächen, ziemlich unvollkommen ausgebildet war, so kann man nicht den grössten Theil meiner Messungen als befriedigend betrachten. — Um besser zu zeigen in welchem Grade bisweilen die Differenzen zwischen den einzelnen Beobachtungen bedeutend waren, werde ich hier meine Messungen in ganzer Ausführlichkeit anführen d. h. wie dieselben in meinem Notizbuche eingeschrieben waren.

$$o_1 : o_2$$

Erste Einstellung = 127° 30' unbefriedigend.

$$\begin{array}{r} 127 \ 30 \\ \hline \end{array}$$

$$\text{Mittel} = 127^\circ 30' 0'' \text{ (a)}$$

Zweite Einstellung = 127° 32' 0'' (b)

$$\text{Mittel aus (a) und (b)} = 127^\circ 31' 0'' \text{ (1)}$$

$$o_3 : o_4$$

Erste Einstellung = 127° 10' unbefriedigend.

$$\begin{array}{r} 127 \ 30 \\ \hline \end{array}$$

$$\text{Mittel} = 127^\circ 20' 0'' \text{ (c)}$$

Zweite Einstellung = 127° 15' unbefriedigend.

$$\begin{array}{r} 127 \ 20 \\ \hline \end{array}$$

$$\begin{array}{r} 127 \ 14 \\ \hline \end{array}$$

$$\text{Mittel} = 127^\circ 16' 20'' \text{ (d)}$$

Dritte Einstellung = 127° 20' unbefriedigend

$$\begin{array}{r} 127 \ 0 \\ \hline \end{array}$$

$$\begin{array}{r} 127 \ 40 \\ \hline \end{array}$$

$$\text{Mittel} = 127^\circ 20' 0'' \text{ (e)}$$

$$\text{Mittel aus (c), (d) und (e)} = 127^\circ 18' 47'' \text{ (2)}$$

$$o_2 : o_4$$

$$\begin{array}{r} \text{Erste Einstellung} = 127^\circ 30' \text{ passend} \\ \quad \quad \quad \quad \quad 127 \quad 45 \quad \text{„} \end{array}$$

$$\text{Mittel} = 127^\circ 37' 30'' \text{ (f)}$$

$$\begin{array}{r} \text{Zweite Einstellung} = 128^\circ 0' \text{ passend} \\ \quad \quad \quad \quad \quad 127 \quad 50 \quad \text{„} \\ \quad \quad \quad \quad \quad 128 \quad 0 \quad \text{„} \end{array}$$

$$\text{Mittel} = 127^\circ 56' 40'' \text{ (g)}$$

$$\begin{array}{r} \text{Dritte Einstellung} = 127^\circ 25' \text{ mittelmässig} \\ \quad \quad \quad \quad \quad 127 \quad 45 \quad \text{„} \\ \quad \quad \quad \quad \quad 127 \quad 25 \quad \text{„} \\ \quad \quad \quad \quad \quad 127 \quad 50 \quad \text{„} \\ \quad \quad \quad \quad \quad 128 \quad 0 \quad \text{„} \end{array}$$

$$\text{Mittel} = 127^\circ 41' 0'' \text{ (h)}$$

$$\text{Mittel aus (f), (g) und (h)} = 127^\circ 45' 3'' \text{ (3)}$$

Also für die Neigung der Flächen der Grundpyramide $o = P$ in den Polkanten haben wir erhalten:

$$(1) = 127^\circ 31' 0''$$

$$(2) = 127 \quad 18 \quad 47$$

$$(3) = 127 \quad 45 \quad 3$$

$$\text{Im Mittel} = 127^\circ 31' 37''$$

Und daher wurde von mir der Winkel = $127^\circ 31' 40''$ für die Berechnung des Axenverhältnisses der Grundform angenommen.

$$o_2 : o_3$$

$$\text{Erste Einstellung} = 102^\circ 25' \text{ (a) unbefriedigend}$$

$$\text{Zweite Einstellung} = 102^\circ 0' \text{ (b) „}$$

$$\text{Mittel aus (a) und (b)} = 102^\circ 12' 30''$$

$$y_3 : o_3$$

Erste Einstellung = $150^\circ 0' 0''$ (a) mittelmässig

Zweite Einstellung = $150^\circ 20'$ „

$150 20$ „

Mittel = $150^\circ 20' 0''$ (b)

Dritte Einstellung = $150^\circ 3'$ mittelmässig

$150 17$ „

Mittel = $150^\circ 10' 0''$ (c)

Vierte Einstellung = $150^\circ 20' 0''$ (d) mittelmässig

Mittel aus (a), (b), (c) und (d) = $150^\circ 12' 30''$ (1)

$$y_3 : o_4$$

Erste Einstellung = $151^\circ 10'$ ziemlich

$151 20$ „

$151 20$ „

$151 10$ „

$151 5$ „

$151 10$ „

Mittel = $151^\circ 12' 30''$ (e)

Zweite Einstellung = $151^\circ 27'$ ziemlich

$150 50$ „

$151 0$ „

Mittel = $151^\circ 5' 40''$ (f)

Mittel aus (e) und (f) = $151^\circ 9' 5''$ (2)

Also für die Neigung der Flächen y_3 zu den anliegenden Flächen o_3 und o_4 haben wir erhalten:

$$(1) = 150^\circ 12' 30''$$

$$(2) = 151 9 5$$

$$\text{Im Mittel} = 150^\circ 40' 48''$$

$y_3 : x_3$

Erste Einstellung = $173^\circ 10'$ unbefriedigend

173 30 „

175 35 „

173 30 „

175 10 „

174 50 „

173 30 „

173 0 „

174 0 „

Mittel = $174^\circ 1' 40''$

$y_3 : x_4$

Erste Einstellung = $117^\circ 50'$ unbefriedigend

118 35 „

117 50 „

118 5 „

118 30 „

117 50 „

Mittel = $118^\circ 6' 40''$ (a)

Zweite Einstellung = $117^\circ 25'$ unbefriedigend

117 20 „

118 10 „

118 10 „

117 40 „

117 55 „

118 5 „

118 0 „

Mittel = $117^\circ 50' 38''$ (b)

Mittel aus (a) und (b) = $117^\circ 58' 39''$

$y_3 : o_3$

Erste Einstellung	=	107° 15'	unbefriedigend
		104 40	»
		106 10	»
		106 45	»
Mittel	=	106° 42' 30''	

$y_3 : z_3$

Erste Einstellung	=	88° 0'	unbefriedigend
		88 0	»
		88 0	»
Mittel	=	88° 0' 0''	(a)
Zweite Einstellung	=	86° 55'	unbefriedigend
		87 40	»
Mittel	=	87° 17' 30''	(b)
Dritte Einstellung	=	86° 30'	unbefriedigend
		84 40	»
		85 25	»
Mittel	=	85° 31' 40''	(c)
Vierte Einstellung	=	86° 20'	unbefriedigend
		86 50	»
		83 0	»
		86 0	»
Mittel	=	85° 32' 30''	(d)
Mittel aus (a), (b) (c) und (d)	=	86° 35' 25''	(1)

$y_3 : z_3$

Erste Einstellung	=	88° 40'	unbefriedigend
		87 15	»
		87 40	»
Mittel	=	87° 51' 40''	(2)

Also für die Neigung der Fläche y_3 zu den Flächen z_3 und z_8 haben wir erhalten:

$$\begin{array}{r} (1) = 86^\circ 35' 25'' \\ (2) = 87 \quad 51 \quad 40 \\ \hline \text{Mittel} = 87^\circ 13' 33'' \end{array}$$

$$\begin{array}{r} y_3 : z_7 \\ \text{Erste Einstellung} = 120^\circ 0' \text{ ziemlich gut} \\ 120 \quad 2 \quad \text{»} \quad \text{»} \\ 120 \quad 0 \quad \text{»} \quad \text{»} \\ 120 \quad 30 \quad \text{»} \quad \text{»} \\ 120 \quad 10 \quad \text{»} \quad \text{»} \\ 120 \quad 10 \quad \text{»} \quad \text{»} \\ 120 \quad 20 \quad \text{»} \quad \text{»} \\ 120 \quad 20 \quad \text{»} \quad \text{»} \\ 120 \quad 35 \quad \text{»} \quad \text{»} \\ 120 \quad 35 \quad \text{»} \quad \text{»} \\ \hline \text{Mittel} = 120^\circ 16' 12'' \end{array}$$

$$\begin{array}{r} y_3 : s_2 \\ \text{Erste Einstellung} = 62^\circ 40' \text{ ziemlich gut} \\ 62 \quad 45 \quad \text{»} \quad \text{»} \\ 62 \quad 20 \quad \text{»} \quad \text{»} \\ 62 \quad 20 \quad \text{»} \quad \text{»} \\ 62 \quad 20 \quad \text{»} \quad \text{»} \\ 62 \quad 50 \quad \text{»} \quad \text{»} \\ 62 \quad 20 \quad \text{»} \quad \text{»} \\ \hline \text{Mittel} = 62^\circ 30' 43'' \end{array}$$

$$\begin{array}{r} z_3 : z_9 \\ \text{Erste Einstellung} = 85^\circ 30' \text{ ziemlich} \\ 85 \quad 30 \quad \text{»} \\ \hline \text{Mittel} = 85^\circ 30' 0'' \end{array}$$

$z_7 : z_8$

Erste Einstellung = $128^\circ 40'$ unbefriedigend

128 5 „

128 50 „

128 0 „

128 15 „

128 50 „

128 50 „

128 50 „

128 5 „

127 0 „

129 5 „

127 30 „

Mittel = $128^\circ 20' 0''$

$z_8 : o_1$

Erste Einstellung = $142^\circ 40'$ schlecht

142 50 „

143 10 „

143 40 „

142 0 „

Mittel = $142^\circ 52' 0''$ (a)

Zweite Einstellung = $142^\circ 50'$ schlecht

140 30 „

143 20 „

Mittel = $142^\circ 13' 20''$ (b)

Mittel aus (a) und (b) = $142^\circ 32' 40''$ (1)

$z_7 : o_3$

Erste Einstellung = $142^\circ 8'$ (c) schlecht

Zweite Einstellung = $145^\circ 10'$ (d) „

Dritte Einstellung = $142^\circ 40'$ (e) „

Mittel = $143^\circ 19' 20''$ (2)

$$z_3 : o_2$$

$$\begin{array}{l} \text{Erste Einstellung} = 144^\circ 0' \text{ schlecht} \\ \phantom{\text{Erste Einstellung}} 144 \quad 40 \quad \cdot \end{array}$$

$$\text{Mittel} = 144^\circ 20' 0'' \text{ (f)}$$

$$\begin{array}{l} \text{Zweite Einstellung} = 145 \quad 50' \text{ schlecht} \\ \phantom{\text{Zweite Einstellung}} 146 \quad 10 \quad \cdot \end{array}$$

$$\text{Mittel} = 146^\circ 0' 0'' \text{ (g)}$$

$$\begin{array}{l} \text{Dritte Einstellung} = 142^\circ 40' \\ \phantom{\text{Dritte Einstellung}} 142 \quad 30 \end{array}$$

$$\text{Mittel} = 142^\circ 35' 0'' \text{ (h)}$$

$$\text{Mittel aus (f), (g) und (h)} = 144^\circ 18' 20'' \text{ (3)}$$

Also für die Neigung der Flächen z_3 , z_7 und z_8 zu den Flächen o_2 , o_3 und o_4 haben wir erhalten:

$$(1) = 142^\circ 32' 40''$$

$$(2) = 143 \quad 19 \quad 20$$

$$(3) = 144 \quad 18 \quad 20$$

$$\text{Im Mittel} = 143^\circ 23' 27''$$

$$z_3 : o_4$$

$$\begin{array}{l} \text{Erste Einstellung} = 116^\circ 50' \text{ mittelmässig} \\ \phantom{\text{Erste Einstellung}} 117 \quad 0 \quad \cdot \end{array}$$

$$117 \quad 0 \quad \cdot \cdot$$

$$\text{Mittel} = 116^\circ 56' 40'' \text{ (a)}$$

$$\begin{array}{l} \text{Zweite Einstellung} = 116^\circ 5' \text{ mittelmässig} \\ \phantom{\text{Zweite Einstellung}} 115 \quad 40 \quad \cdot \end{array}$$

$$116 \quad 10 \quad \cdot$$

$$\text{Mittel} = 115^\circ 58' 20'' \text{ (b)}$$

Dritte Einstellung = $116^{\circ} 10'$ mittelmässig

116 5 »

116 40 »

Mittel = $116^{\circ} 18' 20''$ (c)

Vierte Einstellung = $116^{\circ} 5'$ mittelmässig

115 25 »

116 20 »

115 40 »

Mittel = $115^{\circ} 52' 30''$ (d)

Mittel aus (a), (b), (c) und (d) = $116^{\circ} 16' 28''$

$z_7 : o_4$

Erste Einstellung = $92^{\circ} 50'$ (im Mittel), ziemlich gut.

$s_2 : o_2$

Erste Einstellung = $137^{\circ} 50'$ mittelmässig

137 20 »

137 37 »

Mittel = $137^{\circ} 35' 40''$ (a)

Zweite Einstellung = $137^{\circ} 30'$ mittelmässig

137 30 »

Mittel = $137^{\circ} 30' 0''$ (b)

Mittel aus (a) und (b) = $137^{\circ} 32' 50''$

$s_2 : z_3$

Erste Einstellung = $145^{\circ} 50'$ mittelmässig

145 50 »

145 50 »

Mittel = $145^{\circ} 50' 0''$ (a)

— 355 —

Zweite Einstellung = $145^{\circ} 20'$ mittelmässig

145 40 „

Mittel = $145^{\circ} 30' 0''$ (b)

Mittel aus (a) und (b) = $145^{\circ} 40' 0''$

$s_2 : z_9$

Erste Einstellung } = $119^{\circ} 20' 0''$ mittelmässig
im Mittel

$v : s_2$

Erste Einstellung = $175^{\circ} 20'$ ziemlich

175 20 „

175 15 „

175 45 „

Mittel = $175^{\circ} 25' 0''$

$v : z_3$

Erste Einstellung = $141^{\circ} 15'$ mittelmässig

140 55 „

141 25 „

141 15 „

Mittel = $141^{\circ} 12' 30''$

$v : z_9$

Im Mittel = $123^{\circ} 15' 0''$ ziemlich

$w : z_3$

Erste Einstellung = $119^{\circ} 25'$ schlecht

117 40 „

119 3 „

Mittel = $118^{\circ} 42' 40''$ (a)

Zweite Einstellung = $119^{\circ} 0'$ schlecht

118 0 »

119 0 »

Mittel = $118^{\circ} 40' 0''$ (b)

Mittel aus (a) und (b) = $118^{\circ} 41' 20''$

Berechnung der Krystallformen.

Wir bezeichnen :

1) In jeder *ditetragonalen Pyramide* mP_n :

die normale Polkante = X,
 die diagonale Polkante = Y,
 die Mittelkante = Z,
 die Neigung der normalen Polkante X gegen die Verticalaxe a = α ,
 die Neigung der diagonalen Polkante Y gegen die Verticalaxe a = φ ,
 die Neigung der Mittelkante Z gegen die Nebenaxe b . . = ψ ,
 die Neigung der Mittelkante Z gegen die Zwischenaxe R . = τ .

2) In jeder *tetragonalen Pyramide der Hauptreihe* oder der *ersten Art* mP :

die Polkante = X,
 die Mittelkante = Z,
 die Neigung der Fläche gegen die Verticalaxe a . . . = i,
 die Neigung der Polkante gegen die Verticalaxe a . . . = r,

3) In jeder *tetragonalen Pyramide der Nebenreihe* oder der *zweiten Art* mP_{∞} :

die Polkante = Y,
 die Mittelkante = Z,
 die Neigung der Fläche gegen die Verticalaxe a . . . = i,
 die Neigung der Polkante gegen die Verticalaxe a . . . = r,

Diese Bezeichnung beibehaltend, erhalten wir durch Rechnung, aus

$$a : b : b = 0,56644 : 1 : 1$$

(wo a = Verticalaxe, b = Nebenaxen), folgende Werthe:

$$\text{Für } o = P = (a : b : b)$$

$$\begin{aligned} \frac{1}{3}X &= 63^\circ 45' 50'' & X &= 127^\circ 31' 40'' \\ \frac{1}{2}Z &= 38 \quad 41 \quad 44 & Z &= 77 \quad 23 \quad 28 \\ i &= 51^\circ 18' 16'' \\ r &= 60 \quad 28 \quad 20 \end{aligned}$$

$$\text{Für } y = \frac{5}{3}P\infty = (a : \frac{2}{3}b : \infty b)$$

$$\begin{aligned} \frac{1}{3}Y &= 60^\circ 57' 41'' & Y &= 121^\circ 55' 22'' \\ \frac{1}{2}Z &= 43 \quad 21 \quad 2 & Z &= 86 \quad 42 \quad 4 \\ i &= 46^\circ 38' 58'' \\ r &= 56 \quad 16 \quad 34 \end{aligned}$$

$$\text{Für } x = 2P\infty = (a : \frac{1}{2}b : \infty b)$$

$$\begin{aligned} \frac{1}{2}Y &= 57^\circ 59' 14'' & Y &= 115^\circ 58' 28'' \\ \frac{1}{2}Z &= 48 \quad 33 \quad 48 & Z &= 97 \quad 7 \quad 36 \\ i &= 41^\circ 26' 12'' \\ r &= 51 \quad 18 \quad 16 \end{aligned}$$

$$\text{Für } z = 5P2 = (a : \frac{1}{5}b : \frac{2}{5}b)$$

$$\begin{aligned} \frac{1}{2}X &= 64^\circ 45' 27'' & X &= 129^\circ 30' 54'' \\ \frac{1}{2}Y &= 72 \quad 26 \quad 58 & Y &= 144 \quad 53 \quad 56 \\ \frac{1}{2}Z &= 72 \quad 28 \quad 21 & Z &= 144 \quad 56 \quad 42 \\ \zeta &= 19^\circ 26' 53'' \\ \varphi &= 18 \quad 24 \quad 47 \\ \psi &= 63 \quad 26 \quad 6 \\ \tau &= 71 \quad 33 \quad 54 \end{aligned}$$

Für $s = 8P2 = (a : \frac{1}{8}b : \frac{1}{4}b)$

$$\begin{array}{ll} \frac{1}{2}X = 63^\circ 58' 33\frac{1}{2}'' & X = 127^\circ 57' 7'' \\ \frac{1}{2}Y = 71 55 34\frac{1}{2} & Y = 143 51' 9 \\ \frac{1}{2}Z = 78 50 2 & Z = 157 40 4 \end{array}$$

$$\zeta = 12^\circ 26' 42''$$

$$\varphi = 11 45 13$$

$$\psi = 63 26 6$$

$$\tau = 71 33 54$$

Um besser zu zeigen in welchem Grade die durch Messung erhaltenen Resultate unbefriedigend sind und wie wenig sie mit den berechneten übereinstimmen, geben wir hier die nachfolgende vergleichende Tabelle. In dieser Tabelle sind die unbefriedigenden Messungen in Klammern gestellt.

Neigungen:	Berechnet:	Gemessen:
$z_7 : z_8$	$= 129^\circ 30' 54''$	$(128^\circ 20')$
$z_3 : z_9$	$= 84 47 47$	$85 30$ ziemlich
$z_3 : o_2$	$\left. \vphantom{\begin{array}{l} z_3 : o_2 \\ z_8 : o_1 \\ z_7 : o_3 \end{array}} \right\} = 143 11 20$	$(144 18)$
$z_8 : o_1$		$(142 33)$
$z_7 : o_3$		$(143 19)$
		Mittel $= (143^\circ 23')$
$z_3 : o_4$	$= 115 3 39$	$(116^\circ 16')$
$z_7 : o_4$	$= 92 40 0$	$92 50$ ziemlich gut
$z_3 : y_3$	$\left. \vphantom{\begin{array}{l} z_3 : y_3 \\ z_8 : y_3 \end{array}} \right\} = 85 46 14$	$(86 35)$
$z_8 : y_3$		$(87 52)$
		Mittel $= (87^\circ 14')$
$z_7 : y_3$	$= 120 46 46$	$120^\circ 16'$ ziemlich gut
$s_2 : o_2$	$= 137 8 20$	$137 33$ mittelmässig
$s_2 : y_3$	$= 62 30 50$	$62 31$ ziemlich gut

die eine, F , die von den beiden anderen, F' und F'' , gebildete Kante abstumpft. In dieser Gleichung sind durch a, b, c die Parameter der Fläche F , durch a', b', c' die Parameter der Fläche F' , und durch a'', b'', c'' die Parameter der Fläche F'' bezeichnet *).

Um diese Zonengleichung für die Flächen des tetragonalen Systems des Minerals anwendbar zu machen, werden wir unsere Nebenaxe, welche auf der graphischen Darstellung (vergl. Fig. 3) durch b' bezeichnet ist, gleichgültig mit c der Zonengleichung betrachten.

A. Ditetragonale Pyramide

$$z = 5P2 = (a : \frac{1}{5}b : \frac{2}{5}b).$$

Nehmen wir zum Beispiel die Fläche $z_3 = (a : \frac{1}{5}b : \frac{2}{5}b)$ in Rücksicht (vergl. die graphische Darstellung, Fig. 3). Diese Fläche fällt in folgenden Zonen:

1) In eine Zone, welche durch die Flächen $y_3 = (a : \infty b : -\frac{3}{5}b)$ und $x_2 = (a : \frac{1}{2}b : \infty b)$ gegeben ist, denn wenn wir z_3 mit F , y_3 mit F' und x_2 mit F'' vergleichen, so erhalten wir als Werthe für die Zonengleichung:

$$\begin{aligned} a' &= 1, b' = \infty, c' = -\frac{3}{5} \\ a'' &= 1, b'' = \frac{1}{2}, c'' = \infty \end{aligned}$$

und folglich wird die Zonengleichung für unseren Fall:

$$\frac{1}{a} + \frac{3}{5c} = \frac{1}{2b}$$

Die Parameter $a = 1, b = \frac{1}{5}, c = \frac{2}{5}$ unserer Fläche z_3 erfüllen diese Gleichung und daher fällt die Fläche z_3 wirklich in die oben genannte Zone.

*) Vergl. „Anfangsgründe der Krystallographie“ von C. F. Naumann, 1841, Dresden und Leipzig, S. 25.

2) In eine Zone, welche durch die Flächen $\infty P = (\infty a : b : b')$ und $z_6 = (a : -\frac{2}{3}b : -\frac{1}{3}b')$ oder durch die Flächen $= (a : \infty b : -\frac{2}{3}b')$ und $(a : \frac{2}{3}b : \infty b')$, d. h. die *Polkantenzone* der möglichen, aber noch nicht beobachteten Pyramide $\frac{5}{3}P\infty$ gegeben ist.

Wenn wir z_3 mit F , ∞P mit F' und z_6 mit F'' vergleichen, so erhalten wir für unsere Zonengleichung:

$$\begin{aligned} a' &= \infty, & b' &= 1, & c' &= 1 \\ a'' &= 1, & b'' &= -\frac{2}{3}, & c'' &= -\frac{1}{3} \end{aligned}$$

und folglich wird die Zonengleichung selbst für unseren Fall:

$$\frac{5}{2a} = \frac{1}{b} - \frac{1}{c}$$

Die Parameter $a = 1$, $b = \frac{1}{3}$, $c = \frac{2}{3}$ unserer Fläche z_3 erfüllen diese Gleichung und daher gehört die Fläche z_3 wirklich zu dieser Zone.

3) In eine Zone, welche durch die Flächen $z_8 = (a : -\frac{1}{3}b : \frac{2}{3}b')$ und $\infty P\infty = (\infty a : b : \infty b')$ (oder durch die Flächen $(a : \infty b : \frac{2}{3}b')$ und $(\infty a : b : \infty b')$), d. h. die *Diagonalzone* der möglichen, aber noch nicht beobachteten Pyramide $(\frac{5}{3}P\infty)$ gegeben ist, denn wenn wir z_3 mit F , z_8 mit F' und $\infty P\infty$ mit F'' vergleichen, so erhalten wir als Werthe für die Zonengleichung:

$$\begin{aligned} a' &= 1, & b' &= -\frac{1}{3}, & c' &= \frac{2}{3} \\ a'' &= \infty, & b'' &= 1, & c'' &= \infty \end{aligned}$$

und folglich erhalten wir für unseren Fall:

$$\frac{5}{2a} = \frac{1}{c}$$

Die Parameter $a = 1$, $b = \frac{1}{3}$, $c = \frac{2}{3}$ unserer Fläche z_3 erfüllen diese Gleichung und daher fällt die Fläche z_3 wirklich in diese Zone.

4) In eine Zone, welche durch die Flächen $o_3 = (a : b : b')$ und $y_4 = (a : -\frac{3}{5}b : \infty b')$ gegeben ist, denn wenn wir z_3 mit F ,

o_2 mit F' und y_4 mit F'' vergleichen, so erhalten wir als Werthe für die Zonengleichung:

$$\begin{aligned} a' &= 1, & b' &= 1, & c' &= 1 \\ a'' &= 1, & b'' &= -\frac{3}{5}, & c'' &= \infty \end{aligned}$$

Die Zonengleichung wird für unseren Fall:

$$\frac{5}{a} + \frac{3}{b} = \frac{8}{c}$$

Die Parameter $a = 1$, $b = \frac{1}{5}$, $c = \frac{3}{5}$ unserer Fläche z_3 erfüllen diese Gleichung und daher fällt die Fläche z_3 in diese Zone.

B. Ditetragonale Pyramide

$$s = 8P2 = (a : \frac{1}{8}b : \frac{1}{4}b)$$

Nehmen wir in Rücksicht, zum Beispiel, die Fläche $s_3 = (a : \frac{1}{8}b : \frac{1}{4}b')$ (vergl. die graphische Darstellung, Fig. 3). Diese Fläche fällt in folgenden Zonen:

1) In eine Zone, welche durch die Flächen $(a : \infty b : -\frac{3}{4}b')$ und $x_3 = (a : \frac{1}{2}b : \infty b')$ gegeben ist, denn wenn wir s_3 mit F_3 $(a : \infty b : -\frac{3}{4}b')$ mit F' und x_3 mit F'' vergleichen, so erhalten wir:

$$\begin{aligned} a' &= 1, & b' &= \infty, & c' &= -\frac{3}{4} \\ a'' &= 1, & b'' &= \frac{1}{2}, & c'' &= \infty \end{aligned}$$

und folglich wird die Zonengleichung für unseren Fall:

$$\frac{2}{a} + \frac{3}{2c} = \frac{1}{b}$$

Die Parameter $a = 1$, $b = \frac{1}{8}$, $c = \frac{1}{4}$ unserer Fläche s_3 erfüllen diese Gleichung und daher fällt die Fläche s_3 in diese Zone.

2) In eine Zone, welche durch die Flächen $(a : \frac{1}{2}b : -\frac{1}{2}b')$ und $\infty P = (\infty a : b : b')$ gegeben ist, denn wenn wir s_3 mit F_3 $(a : \frac{1}{2}b : -\frac{1}{2}b')$ mit F' und $\infty P = (\infty a : b : b')$ mit F'' vergleichen, so erhalten wir als Werthe für die Zonengleichung:

$$\begin{aligned} a' &= 1, & b' &= \frac{1}{2}, & c' &= -\frac{1}{2} \\ a'' &= \infty, & b'' &= 1, & c'' &= 1 \end{aligned}$$

und folglich wird die Zonengleichung für unseren Fall:

$$\frac{4}{a} = \frac{1}{b} - \frac{1}{c}$$

Die Parameter $a = 1$, $b = \frac{1}{2}$, $c = \frac{1}{4}$ unserer Fläche s_3 erfüllen diese Gleichung und daher fällt die Fläche s_3 wirklich in die genannte Zone.

3) In eine Zone, welche durch die Flächen $(a : \infty b : \frac{1}{4}b')$ und $(\infty a : b : \infty b')$ gegeben ist, denn wenn wir s_3 mit F , $(a : \infty b : \frac{1}{4}b')$, mit F' und $(\infty a : b : \infty b')$ mit F'' vergleichen, so erhalten wir als Werthe für die Zonengleichung:

$$\begin{aligned} a' &= 1, & b' &= \infty : c' = \frac{1}{4} \\ a'' &= \infty, & b'' &= 1, & c'' &= \infty \end{aligned}$$

und folglich wird die Zonengleichung für unseren Fall:

$$\frac{1}{c} = \frac{4}{a}$$

Die Parameter $a = 1$, $b = \frac{1}{8}$, $c = \frac{1}{4}$ unserer Fläche s_3 erfüllen diese Gleichung und daher fällt die Fläche s_3 wirklich in diese Zone.

4) In eine Zone, welche durch die Flächen $(a : \infty b : \frac{3}{4}b')$ und $o_1 = (a : -b : b')$ gegeben ist, denn wenn wir s_3 mit F , $(a : \infty b : \frac{3}{4}b')$ mit F' und o_1 mit F'' vergleichen, so erhalten wir als Werthe für die Zonengleichung:

$$\begin{aligned} a' &= 1, & b' &= \infty, & c' &= \frac{3}{4} \\ a'' &= 1, & b'' &= -1, & c'' &= 1 \end{aligned}$$

und folglich wird die Zonengleichung für unseren Fall:

$$\frac{4}{a} + \frac{1}{b} = \frac{3}{c}$$

Die Parameter $a = 1$, $b = \frac{1}{8}$, $c = \frac{1}{4}$ unserer Fläche s_3 erfüllen diese Gleichung und daher fällt die Fläche s_3 wirklich in diese Zone.

C. Tetragonale Grundpyramide

$$o = P = (a : b : b).$$

Nehmen wir zum Beispiel die Fläche $o_2 = (a : b : b')$ in Rück-
sicht (vergl. die graphische Darstellung, Fig. 3). Diese Fläche fällt
in folgenden Zonen:

1) In eine Zone, welche durch die Flächen $x_1 = (a : \infty b : \frac{1}{2}b')$
und $x_2 = (a : \frac{1}{2}b : \infty b')$, gegeben wird, d. h. in der *Polkanten-*
zone der tetragonalen Pyramide der zweiten Art $x = 2P\infty$.

Wenn man o_1 mit F, x_1 mit F' und x_2 mit F'' vergleicht, so
erhält man:

$$\begin{aligned} a' &= 1, b' = \infty, c' = \frac{1}{2} \\ a'' &= 1, b'' = \frac{1}{2}, c'' = \infty \end{aligned}$$

und folglich wird die Zonengleichung für unseren Fall:

$$\frac{2}{a} = \frac{1}{b} + \frac{1}{c}$$

Die Parameter $a = 1, b = 1, c = 1$ unserer Fläche o_2 erfüllen
diese Gleichung. In dieser Zone liegt auch die Fläche $\infty P =$
 $(\infty a : -b : b')$; ihre Parameter $a = \infty, b = -1, c = 1$ erfüllen
auch diese Gleichung.

D. Tetragonale Pyramide der zweiten Art:

$$y = \frac{2}{3}P\infty = (a : \frac{2}{3}b : \infty b)$$

Die *Polkantenzone* dieser Pyramide, welche z. B. durch die
Flächen $y_1 = (a : \infty b : \frac{2}{3}b')$ und $y_2 = (a : \frac{2}{3}b : \infty b')$ gegeben
wird, hat als Werthe für ihre Zonengleichung:

$$\begin{aligned} a' &= 1, b' = \infty, c' = \frac{2}{3}c \\ a'' &= 1, b'' = \frac{2}{3}b, c'' = \infty \end{aligned}$$

und folglich die Zonengleichung selbst:

$$\frac{5}{a} = \frac{1}{b} + \frac{1}{c}$$

In dieser Zone liegt die Fläche des tetragonalen Prismas der ersten Art ($\infty a : -b : b'$); seine Parameter $a = \infty$, $b = -1$, $c = 1$ erfüllen diese Gleichung.

II. Bemerkung.

Es ist zu bemerken, dass die Winkel der Grundpyramide $o = P$ (Polkantenwinkel = $127^\circ 31' 40''$) des Mursinskits ziemlich nahe den Winkeln der von V. v. Zepharovich bestimmten Pyramide der zweiten Art $\xi = \frac{3}{2}P\infty$ (Polkanten-Winkel = $127^\circ 19' 26''$) des Vesuvians kommen, aber alle anderen Formen des Mursinskits begegnet man dagegen nicht im Vesuvian und im Allgemeinen hat der ganze Habitus der Mursinskit-Krystalle nichts gemeinschaftliches mit dem des Vesuvians.

ENDE DES NEUNTEN BANDES.



1

2

Register zum neunten Bande.

	Seite.		Seite.
A.		R.	
Anorthit (Zweiter Anhang) . . .	244	Rutil (Sechster Anhang) . . .	29
B.		S.	
Brookit (Vierter Anhang) . . .	88	Sanidin (Zweiter Anhang) . . .	252
C.		T.	
Caledonit	40	Topas (Fünfter Anhang) . . .	97
G.		Topas (Sechster Anhang) . . .	299
Gelbbleierz (Erster Anhang) . . .	87	Türkis	83
L.		V.	
Linarit (Dritter Anhang) . . .	268	Vesuvian (Zweiter Anhang) . . .	156
M.		Volborthit (Erster Anhang) . . .	267
Monazit (Dritter Anhang) . . .	10	W.	
Mursinskit	341	Walnewit	273
N.		Wollastonit	19
Nephelin (Zweiter Anhang) . . .	247	X.	
P.		Xanthophyllit (Dritter Anhang) . . .	10
Pachnolit (Beitrag zu einer Notiz über Krystallmessungen des Pachnolits)	5	Xanthophyllit (Vierter Anhang) . . .	273



Druckfehler des neunten Bandes.

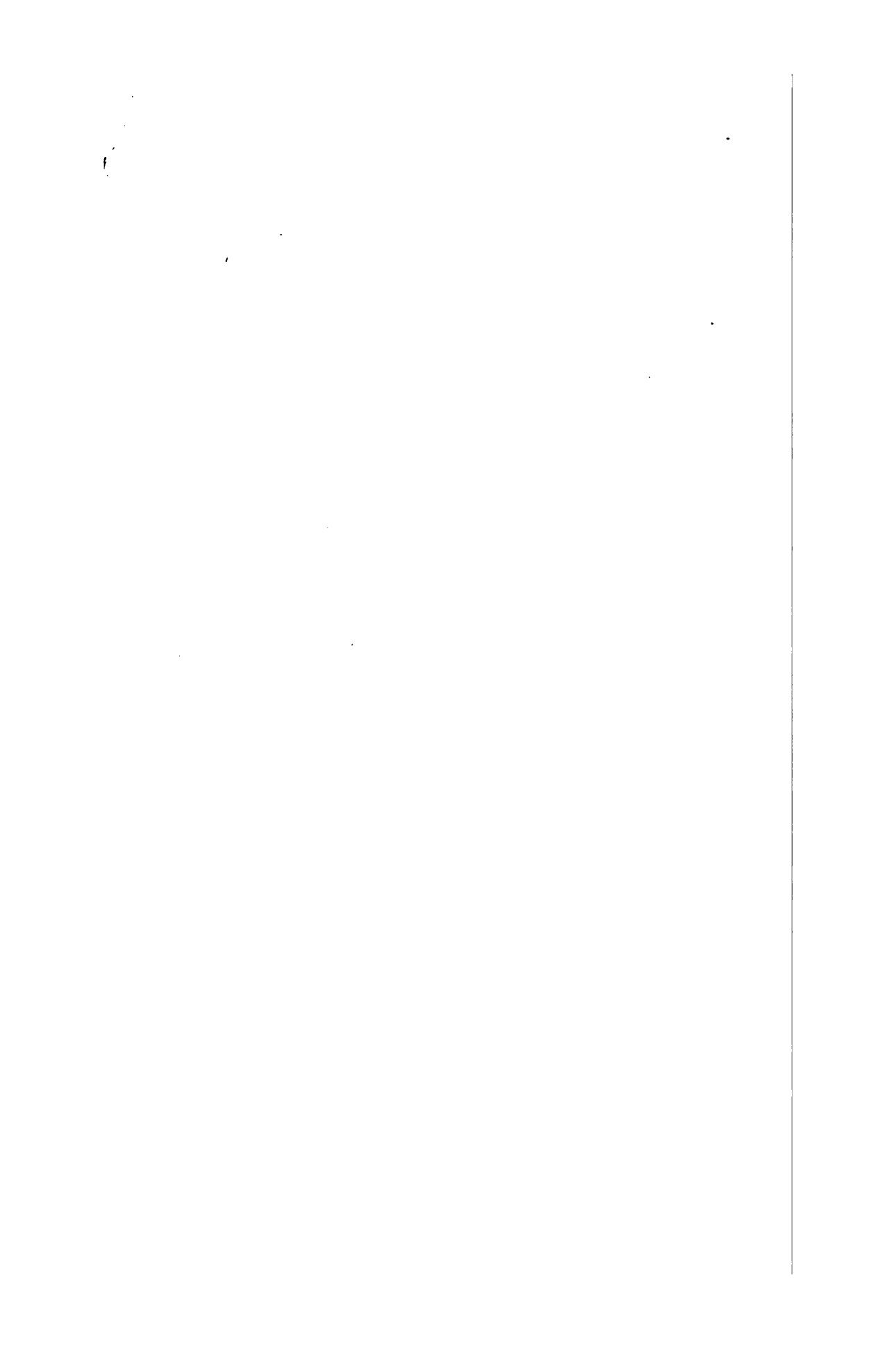
	Seite 273, Zeile 1 und 2 v. o. <i>statt</i> :	Dritter Anhang zum Xanthophyllit (Vergl. Bd. IV, S. 121; Bd. VII, S. 155 und 346)	<i>lies</i> :	Vierter Anhang zum Xanthophyllit (Vergl. Bd. IV, S. 121; Bd. VII, S. 155 und 346; Bd. IX, S. 10).
" 301 "	3 v. u. "	$\frac{4}{3}\bar{P}2$	"	$\frac{4}{3}\bar{P}2$
" 322 "	10 v. o. "	$Y = 119^\circ 20' 6''$	"	$Z = 119^\circ 20' 6''$

MATERIALIEN

ZUR

MINERALOGIE RUSSLANDS.

ZEHNTER BAND.



MATERIALIEN

ZUR

MINERALOGIE RUSSLANDS

VON

NIKOLAI v. KOKSCHAROW,

Berg-Ingenieur, wirklichem Mitgliede der Kaiserl. Akademie der Wissenschaften zu St.-Petersburg, Director und Ehren-Mitgliede der Kaiserl. Mineralogischen Gesellschaft zu St.-Petersburg, Ehren Mitglieder der Kaiserl. Universitäten zu St.-Petersburg, Moskau, St. Wladimir zu Kiew (auch Doctor der Mineralogie), Kazan und Charkow, Kaiserl. Medicinischen Akademie zu St.-Petersburg, Correspondirendem Mitgliede der Akademie der Wissenschaften zu Paris, Berlin, München (auch auswärtigem Mitgliede), Rom (auch auswärtigem Mitgliede), Turin, Kopenhagen, New-York, Philadelphia und Deutsche Leopoldo-Carolinische Akademie der Wissenschaften, der Königl. Gesellschaft der Wissenschaften zu Göttingen, (auch Ehren-Mitgliede), der Kaiserl. Königl. Geologischen Reichsanstalt zu Wien, der Geologischen Gesellschaft zu London (auch auswärtigem Mitgliede), der Naturforschenden Gesellschaft in Freiburg, wirklichem Mitgliede der Kaiserl. Geographischen und Freien Oekonomischen Gesellschaft zu St.-Petersburg, Ehren-Mitgliede der Mineralogischen Gesellschaft zu Paris, des Natur-Wissenschaften Vereins für Steiermark, der Oberhessischen Gesellschaft für Natur- und Heilkunde zu Giessen, des Naturhistorischen Vereins »Lotos« in Prag, des Freien Deutschen Hochstiftes für Wissenschaften, Künste und allgemeine Bildung in Goethe's Vaterhause zu Frankfurt am Main, der Pharmaceutischen Gesellschaft zu St.-Petersburg, der Naturforschenden Vereine zu St.-Petersburg, Moskau, Charkow, Kasan, Odessa, Riga, auswärtigem Mitgliede der Königl. Böhmisches Gesellschaft der Wissenschaften.

ZEHNTER BAND.

St.-Petersburg.

Gedruckt bei ALEXANDER JACOBSON.
(Was. Ostr., 7 Lin., № 4).

1888.

Дозволено цесвурю. С.-Петербургъ, 19-го Марта 1888 года.

Anhänge zum Klinochlor und zum Kotschubeit.

(Vergl. Bd. II, S. 7; Bd. III, S. 286; Bd. V, S. 45.)

1) Klinochlor.

a) Die Klinochlorkrystalle aus dem Zillerthal (Tyrol) hat F. Hessenberg*), wie bekannt, ausführlich untersucht und genau gemessen. Seine Resultate stimmen mit den meinigen vollkommen überein. F. Hessenberg spricht sich darüber folgender Maassen aus:

•Kürzlich kam hier eine Zillerthaler-Stufe zu Markte mit vor-
•trefflich krystallisirtem Klinochlor, mit ganz glatten Flächen ausge-
•stattet, von neuem fremdartigen Habitus, dessen nähere Untersuchung
•aber in erfreulicher Weise die Richtigkeit und Genauigkeit der
•Kokscharow'schen Ermittlungen (Mat. z. Min. Russl. Bd. II,
•S. 7), sowohl in Bezug auf das Krystallsystem als die Kantenwerthe
•des Mineralen bestätigte.

•Die sehr charakteristisch monokline, äusserst einfache Com-
•bination, blos aus den Flächen

$$oP_p \cdot + \frac{4}{3}P_f \infty \cdot (\infty P_3) \cdot (\infty P_h \infty)$$

*) Friedrich Hessenberg: Mineralogische Notizen, 1866, № 7, Seite 28, Frankfurt a. M. (Aus den Abhandlungen Senkenbergischen Naturforschenden Gesellschaft in Frankfurt a. M. Bd. VI, S. 1).

»bestehend, von welchen $f = + \frac{4}{3}P\infty$ neu ist. Es ist bekannt,
 »wie selten Klinochlorkrystalle mit glatten, gut spiegelnden Flächen
 »sind; auch v. Kokscharow hatte bei seinen schönen Untersuchun-
 »gen Schwierigkeiten in dieser Beziehung begegnet. Er erwähnt ins-
 »besondere der horizontalen Streifigkeit der Hemipyramidenflächen
 »aus der Hauptreihe, während dagegen die Hemidomen und Hemi-
 »pyramiden (ich füge hinzu auch das Prisma v) der Zwischenreihe
 »(MP3) zu den glattesten und glänzendsten gehören. Deshalb bie-
 »ten die Krystalle, die wir hier betrachten, eine besondere Begün-
 »stigung für die Messung ihrer Kanten, da an ihrer sehr einfachen
 »Form, überhaupt gar keine Pyramide, also auch keine streifige
 »der Hauptreihe vorkommt, sondern ausser der basischen Fläche
 »und der sehr schmalen $h = (\infty P\infty)$ nur das neue sehr glatte He-
 »midoma $f = + \frac{4}{3}P\infty$ und die ebenso schönen Flächen von $v =$
 »($\infty P3$). Dieses Prisma v ist bisher nur untergeordnet beobachtet
 »gewesen, an unseren Krystallen sind seine Flächen aber gleich
 »gross und breit als $P = oP$ und $f = + \frac{4}{3}P\infty$.

»Diese Klinochlorkrystalle bedecken in grosser Anzahl die eine
 »Hauptseite der Stufe, einst Klufffläche eines dichten, syenitischen
 »Gneisgesteines. In Grösse unbedeutend, selten über $1 \frac{1}{2}$ Millim.,
 »bieten sie sich doch sehr nett und glänzend, meist mit ihren der
 »Gesteinsfläche gleich gerichteten basischen Flächen dem Beschauer
 »gemeinschaftlich zugekehrt, mehr abgesondert als drusig verbun-
 »den, die meisten fast durchsichtig und in bekannter Weise schön
 »dichroitisch grün und roth. Bei ihrem einfachen Habitus gleichen
 »die Krystallchen dadurch, wenn sie losgelöst sind, manchmal recht
 »täuschend gewissem vesuvischen Glimmer u. s. w. «

F. Hessenberg hat durch ziemlich genaue Messungen im Mittel folgendes erhalten:

$f: P = 93^{\circ}19'$ (nach Rech. aus mein. alt. Axenverh. = $93^{\circ}17'40''$)
 $f: v = 118 \quad 0$ (» » » » » » = $117 \quad 59 \quad 4$)

$$v : P = 104^{\circ}26' \text{ (nach Rech. aus mein. alt. Axenverh.} = 104^{\circ}22'58'') \\ h : P = 90 \quad 4 \quad (\quad \cdot \quad \cdot \quad \cdot \quad \cdot \quad \cdot \quad \cdot \quad = 90 \quad 0 \quad 0)$$

b) Als ich zum ersten Mal den Klinochlor beschrieben (Vergl. Bd. II, S. 7) und sein Krystallsystem als monoklinoëdrisches bestimmt habe, ist damals, aus meinen Messungen, für die Grundform des Minerals folgendes Axenverhältniss von mir berechnet worden:

$$a : b : c = 1,47756 : 1 : 1,73195 \\ \gamma = 62^{\circ} 50' 48''$$

wo: a = Vertikalaxe, b = Klinodiagonale, c = Orthodiagonale und γ = schiefer Winkel, welchen die Verticalaxe a mit der Klinodiagonalen b bildet.

Dagegen hat C. F. Naumann*), um die Aehnlichkeit mit den hexagonalen Formen besser hervortreten zu lassen, in der Deutung und Bezeichnung der Formen eine kleine Aenderung angenommen.— Die Buchstaben-Signatur der Flächen hat er jedoch dieselbe gelassen wie in meiner Abhandlung; nur statt des grossen *M* schreibt er ein kleines *m*. C. F. Naumann nimmt nämlich für die positive monoklinoëdrische Grund-Hemipyramide $\rightarrow P$ die Flächen *M* (welche in meiner Abhandlung für das Haupt-Prisma ∞P gewählt wurden) und für das Haupt-Prisma ∞P die Flächen *o* (welche in meiner Abhandlung für die positive Hemipyramide $\rightarrow P$ gewählt wurden) an. Bei dieser Voraussetzung giebt C. F. Naumann für das Axenverhältniss der Grundform folgende Zahlen:

$$a : b : c = \sqrt{11} : \sqrt{6} : \sqrt{18} \\ \gamma = 76^{\circ} 4' 0''$$

*) C. F. Naumann: Elemente der Mineralogie, Fünfte Auflage, Leipzig, 1859, S. 842.

wo, wie bei mir, $a =$ Verticalaxe, $b =$ Klinodiagonale, $c =$ Orthodiagonale und $\gamma =$ schiefer Winkel, welchen die Klinodiagonale b mit der Verticalaxe a bildet.

Versuchen wir jetzt alle bekannten Klinochlor-Formen, nach diesem letzten, von C. F. Naumann berechneten Axenverhältnisse zu berechnen und die erhaltenen Resultate mit unseren alten Resultaten zu vergleichen. Auf diese Weise erhalten wir folgendes:

Die bisjetzt bekannten Klinochlorformen.

	Nach der <i>neuen</i> , von Naumann vorgeschlagenen Bezeichnung.	Nach der <i>alten</i> , von Kokscharow vorgeschlagenen Bezeichnung.
M $+ P$ ∞P
u $+ \frac{2}{3}P$ $- 2P$
d $+ \frac{6}{7}P$ $- 6P$
n $- 2P$ $+ \frac{2}{3}P$
r $- \frac{1}{7}P$ $+ \frac{1}{25}P$
m $- 3P$ $+ \frac{3}{4}P$
w $+ (2P3)$ $- (6P3)$
v $+ (3P3)$ $(\infty P3)$
s $- (3P3)$ $+ (\frac{3}{2}P3)$
c $- (6P3)$ $+ (2P3)$
<hr/>		
x $+ \frac{4}{5}P\infty$ $- 4P\infty$
z $+ \frac{4}{3}P\infty$ $+ 4P\infty$
$f^*)$ $+ 4P\infty$ $+ \frac{4}{3}P\infty$
y $- 2P\infty$ $+ \frac{2}{3}P\infty$
<hr/>		
k $(3P\infty)$ $(3P\infty)$
t $(4P\infty)$ $(4P\infty)$

*) Diese Form wurde von F. Hessenberg in den Klinochlorkrystallen aus dem Zillerthal bestimmt.

	Nach der <i>neuen</i> , von Naumann vorgeschlagenen Bezeichnung.	Nach der <i>alten</i> , von Kokscharow vorgeschlagenen Bezeichnung.
<i>o</i>	∞P $+P$
<hr style="width: 20%; margin: 0 auto;"/>		
<i>P</i>	oP oP
<i>i</i>	$\infty P \infty$ $+P \infty$
<i>h</i>	$(\infty P \infty)$ $(\infty P \infty)$
<hr style="width: 20%; margin: 0 auto;"/>		

Die Hemipyramide *r* ($-\frac{1}{7}P$ nach Naumann's neuer Bezeichnung und $+\frac{1}{4}P$ nach meiner alten Bezeichnung) ist bis jetzt noch nicht beschrieben worden. Bei der Veröffentlichung meiner ersten Abhandlung über den Klinochlor habe ich dieselbe nicht in der Reihe der von mir bestimmten Formen eingeführt, wegen der Schwierigkeiten ein passendes einfaches krystallographisches Zeichen zu finden, doch ihre Existenz wurde von mir schon damals durch ziemlich gute, obgleich nur annähernde Messungen mit dem Reflexionsgoniometer bestätigt. Die Flächen dieser neuen Hemipyramide *r* liegen am Krystall № 3 zwischen den Flächen *o* und *n*.

Durch Messung habe ich nämlich gefunden:

$$\begin{array}{r}
 r : P = 117^\circ 36' \\
 117 \quad 32 \\
 117 \quad 46 \\
 \hline
 \text{Mittel} = 117^\circ 38' 0''
 \end{array}$$

Nach Rechnung aus Naumann's *neuem* Axenverhältnisse ist dieser Winkel = $117^\circ 34' 55''$ und aus meinem *alten* Axenverhältnisse = $117^\circ 40' 39''$.

$r : o = 164^{\circ} 30'$
164 25
164 37
164 26
164 34
164 35

Mittel = $164^{\circ} 31' 10''$

Nach Rechnung aus Naumann's *neuem* Axenverhältnisse ist dieser Winkel = $164^{\circ} 32' 38''$ und aus meinem *alten* Axenverhältnisse = $164^{\circ} 25' 51''$.

Das Hemidoma f ($+ 4P\infty$ nach Naumann's *neuer* Bezeichnung und $+ \frac{4}{3}P\infty$ nach meiner *alten* Bezeichnung) ist bis jetzt noch nicht in den russischen Klinochlorkrystallen beobachtet; wie schon oben erwähnt, ist es zum ersten Mal von F. Hessenberg in den Klinochlorkrystallen aus dem Zillerthal (Tyrol) entdeckt und bestimmt worden.

Bezeichnen wir jetzt:

In den *positiven* Hemipyramiden (deren Flächen über den *spitzen* Winkel γ liegen).

Mit μ den Neigungswinkel der klinodiagonalen Polkante zur Verticalaxe a.

- ν den Neigungswinkel derselben Kante zur Klinodiagonalaxe b.
- ρ den Neigungswinkel der orthodiagonalen Polkante zur Verticalaxe a.
- σ den Neigungswinkel der Mittelkante zur Klinodiagonalaxe b.
- X den Neigungswinkel, welcher die Fläche mit der Ebene bildet, welche die Axen a und b enthält (Winkel zum klinodiagonalen Hauptschnitt).
- Y den Neigungswinkel, welcher die Fläche mit der Ebene bildet, welche die Axen a und c enthält (Winkel zum orthodiagonalen Hauptschnitt).

Mit Z den Neigungswinkel, welcher die Fläche mit der Ebene bildet, welche die Axen b und c enthält (Winkel zum basischen Hauptschnitt).

Endlich, werden wir die Winkel der *negativen* Hemipyramiden (deren Flächen über den *stumpfen* Winkel γ liegen) mit denselben Buchstaben bezeichnen, nur zu denjenigen, die einer Aenderung in ihrer Grösse unterworfen sind, werden wir ein Accent hinzufügen, nämlich X', Y', Z', μ' , ν' .

Aus dem obenangeführten *neuen*, von C. F. Naumann vorgeschlagenen Axenverhältnisse,

$$a : b : c = \sqrt{11} : \sqrt{6} : \sqrt{18}$$

$$\gamma = 76^\circ 4' 0''$$

(wo a = Verticalaxe, b = Klinodiagonale, c = Orthodiagonale und γ = schiefer Winkel zwischen den Axen a und b), berechnen sich für die Klinochlorformen folgende Winkel:

Hemipyramiden der Grundreihe.

$$M = + P$$

$$X = 62^\circ 48' 32''$$

$$Y = 47 \quad 53 \quad 54$$

$$Z = 66 \quad 3 \quad 8$$

$$\mu = 41^\circ 5' 3''$$

$$\nu = 62 \quad 50 \quad 57$$

$$\rho = 51 \quad 59 \quad 2$$

$$\sigma = 60 \quad 0 \quad 0$$

$$- P^*)$$

$$X' = 67^\circ 52' 58''$$

$$Y' = 37 \quad 41 \quad 7$$

$$Z' = 48 \quad 51 \quad 6$$

*) Diese negative Hemipyramide —P ist in den Klinochlorkrystallen noch nicht beobachtet worden, doch die Winkel derselben habe ich berechnet, um die Grundform in ganzer Vollständigkeit darzustellen.

— 12 —

$$\begin{aligned}\mu' &= 31^\circ 19' 27'' \\ \nu' &= 44 \quad 44 \quad 33 \\ \rho &= 51 \quad 59 \quad 2 \\ \sigma &= 60 \quad 0 \quad 0\end{aligned}$$

$$u = + \frac{2}{3}P$$

$$\begin{aligned}X &= 66^\circ 42' 17'' \\ Y &= 58 \quad 50 \quad 13 \\ Z &= 52 \quad 16 \quad 23\end{aligned}$$

$$\begin{aligned}\mu &= 55^\circ 42' 30'' \\ \nu &= 48 \quad 13 \quad 30 \\ \rho &= 62 \quad 28 \quad 24 \\ \sigma &= 60 \quad 0 \quad 0\end{aligned}$$

$$d = + \frac{6}{7}P$$

$$\begin{aligned}X &= 64^\circ 3' 49'' \\ Y &= 51 \quad 47 \quad 15 \\ Z &= 61 \quad 0 \quad 54\end{aligned}$$

$$\begin{aligned}\mu' &= 46^\circ 32' 20'' \\ \nu' &= 57 \quad 23 \quad 40 \\ \rho &= 56 \quad 10 \quad 32 \\ \sigma &= 60 \quad 0 \quad 0\end{aligned}$$

$$n = - 2P$$

$$\begin{aligned}X' &= 63^\circ 57' 1'' \\ Y' &= 31 \quad 25 \quad 9 \\ Z' &= 61 \quad 26 \quad 18\end{aligned}$$

$$\begin{aligned}\mu' &= 18^\circ 13' 7'' \\ \nu' &= 57 \quad 50 \quad 53 \\ \rho &= 32 \quad 36 \quad 11 \\ \sigma &= 60 \quad 0 \quad 0\end{aligned}$$

$$r = - \frac{15}{7}P$$

$$\begin{aligned}X' &= 63^\circ 41' 35'' \\ Y' &= 31 \quad 4 \quad 25 \\ Z' &= 62 \quad 25 \quad 5\end{aligned}$$

— 13 —

$$\begin{aligned}\mu' &= 17^\circ 9' 54'' \\ \nu' &= 58 \ 54 \ 6 \\ \rho &= 30 \ 50 \ 8 \\ \sigma &= 60 \ 0 \ 0\end{aligned}$$

$$m = - 3P$$

$$\begin{aligned}X' &= 62^\circ 42' 16'' \\ Y' &= 29 \ 54 \ 8 \\ Z' &= 66 \ 30 \ 52\end{aligned}$$

$$\begin{aligned}u' &= 12^\circ 42' 40'' \\ v' &= 63 \ 21 \ 20 \\ \rho &= 23 \ 5 \ 36 \\ \sigma &= 60 \ 0 \ 0\end{aligned}$$

Hemipyramiden der Zwischenreihe.

$$w = + (2P3)$$

$$\begin{aligned}X &= 37^\circ 44' 45'' \\ Y &= 69 \ 49 \ 29 \\ Z &= 65 \ 55 \ 54\end{aligned}$$

$$\begin{aligned}\mu &= 55^\circ 42' 30'' \\ \nu &= 48 \ 13 \ 30 \\ \rho &= 32 \ 36 \ 11 \\ \sigma &= 30 \ 0 \ 0\end{aligned}$$

$$v = + (3P3)$$

$$\begin{aligned}X &= 32^\circ 58' 39'' \\ Y &= 65 \ 46 \ 42'' \\ Z &= 75 \ 37 \ 5\end{aligned}$$

$$\begin{aligned}\mu &= 41^\circ 5' 3'' \\ \nu &= 62 \ 50 \ 57 \\ \rho &= 23 \ 5 \ 36 \\ \sigma &= 30 \ 0 \ 0\end{aligned}$$

— 14 —

$$s = - (3P3)$$

$$X' = 39^\circ 21' 30''$$

$$Y' = 57 \ 11 \ 55$$

$$Z' = 63 \ 18 \ 42$$

$$\mu' = 31^\circ 19' 27''$$

$$\nu' = 44 \ 44 \ 33$$

$$\rho = 23 \ 5 \ 36$$

$$\sigma = 30 \ 0 \ 0$$

$$c = - (6P3)$$

$$X' = 34^\circ 17' 29''$$

$$Y' = 57 \ 38 \ 44$$

$$Z' = 72 \ 33 \ 11$$

$$\mu' = 18^\circ 13' 7''$$

$$\nu' = 57 \ 50 \ 53$$

$$\rho = 12 \ 2 \ 7$$

$$\sigma = 30 \ 0 \ 0$$

Hemidomen.

$$x = + \frac{4}{3}P\infty$$

$$X = 90^\circ 0' 0''$$

$$Y = 49 \ 2 \ 37$$

$$Z = 54 \ 53 \ 23$$

$$z = + \frac{4}{3}P\infty$$

$$X = 90^\circ 0' 0''$$

$$Y = 31 \ 48 \ 49$$

$$Z = 72 \ 7 \ 11$$

$$f = + 4P_{\infty}$$

$$X = 90^{\circ} 0' 0''$$

$$Y = 10 37 19$$

$$Z = 93 18 41$$

$$y = - 2P_{\infty}$$

$$X' = 90^{\circ} 0' 0''$$

$$Y' = 18 13 7$$

$$Z' = 57 50 53$$

Klinodomen.

$$k = (3P_{\infty})$$

$$X = 23^{\circ} 43' 2''$$

$$Y = 95 33 29$$

$$Z = 66 16 58$$

$$t = (4P_{\infty})$$

$$X = 18^{\circ} 14' 13''$$

$$Y = 94 19 18''$$

$$Z = 71 45 47$$

Prismen.

$$o = \infty P$$

$$X = 60^{\circ} 44' 7''$$

$$Y = 29 15 53$$

$$Z = 102 7 33$$

Pinakoide.

$$P = oP$$

$$X = 90^{\circ} 0' 0''$$

$$Y = 103 56 0$$

$$Z = 0 0 0$$

$$i = \infty P \infty$$

$$X = 90^\circ 0' 0''$$

$$Y = 0 0 0$$

$$Z = 103 56 0$$

$$h = (\infty P \infty)$$

$$X = 0^\circ 0' 0''$$

$$Y = 90 0 0$$

$$Z = 90 0 0$$

Wenden wir uns jetzt noch ein Mal zu unseren alten Berechnungen und Messungen und betrachten wir hier dieselben etwas ausführlicher.

Damals wurden von mir für die Berechnung des Axenverhältnisses der Grundform des Klinochlors folgende, durch Messung erhaltene Werthe angenommen: *)

$$M : M = 125^\circ 37' 0''$$

$$M : P = 113 57 0$$

$$o : P = 102 6 30$$

aus $M : M$ und $M : P$ berechnet sich

$$\gamma = 62^\circ 50' 48''$$

und die ebenen Winkel der Basis $119^\circ 59' 50''$ und $60^\circ 0' 10''$ (d. h. fast gerade $120^\circ 0' 0''$ und $60^\circ 0' 0''$),

Auf diese Weise wurde von mir für die Grundform des Minerals, folgendes Axenverhältniss erhalten:

$$a : b : c = 1,47756 : 1 : 1,73195$$

$$\gamma = 62^\circ 50' 48''$$

(wo $a =$ Verticalaxe, $b =$ Klinodiagonale, $c =$ Orthodiagonale und $\gamma =$ schiefer Winkel zwischen den Axen a und b).

Endlich wurden aus diesem Axenverhältnisse alle Winkel des Klinochlors berechnet, nämlich:

*) Vergl. „Materialien zur Mineralogie Russlands“, 1854, Bd. II, S. 17.

Hemipyramiden der Grundreihe.

$$o = +P$$

$$X = 60^\circ 43' 55''$$

$$Y = 48 \ 52 \ 32$$

$$Z = 77 \ 53 \ 30$$

$$\mu = 41^\circ 4' 0''$$

$$\nu = 76 \ 5 \ 12$$

$$\rho = 49 \ 31 \ 55$$

$$\sigma = 59 \ 59 \ 55$$

$$- P$$

$$X' = 70^\circ 22' 29''$$

$$Y' = 31 \ 9 \ 52$$

$$Z' = 42 \ 11 \ 56$$

$$\mu' = 24^\circ 42' 25''$$

$$\nu' = 38 \ 8 \ 23$$

$$\rho = 49 \ 31 \ 55$$

$$\sigma = 59 \ 59 \ 55$$

$$n = +\frac{2}{3}P$$

$$X = 63^\circ 56' 37''$$

$$Y = 62 \ 41 \ 7$$

$$Z = 61 \ 27 \ 33$$

$$\mu = 59^\circ 17' 0''$$

$$\nu = 57 \ 52 \ 12$$

$$\rho = 60 \ 22 \ 16$$

$$\sigma = 59 \ 59 \ 55$$

$$r = +\frac{17}{25}P$$

$$X = 63^\circ 43' 1''$$

$$Y = 61 \ 56 \ 20$$

$$Z = 62 \ 19 \ 21$$

— 18 —

$$\begin{aligned}\mu &= 58^{\circ} 21' 18'' \\ \nu &= 58 \quad 47 \quad 54 \\ \rho &= 59 \quad 52 \quad 52 \\ \sigma &= 59 \quad 59 \quad 55\end{aligned}$$

$$m = + \frac{3}{4}P$$

$$\begin{aligned}X &= 62^{\circ} 41' 55'' \\ Y &= 58 \quad 19 \quad 26 \\ Z &= 66 \quad 32 \quad 4\end{aligned}$$

$$\begin{aligned}\mu &= 53^{\circ} 46' 34'' \\ \nu &= 63 \quad 22 \quad 38 \\ \rho &= 57 \quad 23 \quad 14 \\ \sigma &= 59 \quad 59 \quad 55\end{aligned}$$

$$u = - 2P$$

$$\begin{aligned}X' &= 66^{\circ} 42' 9'' \\ Y' &= 27 \quad 17 \quad 9 \\ Z' &= 52 \quad 16 \quad 36\end{aligned}$$

$$\begin{aligned}\mu' &= 14^{\circ} 37' 6'' \\ \nu' &= 48 \quad 13 \quad 42 \\ \rho &= 30 \quad 22 \quad 26 \\ \sigma &= 59 \quad 59 \quad 55\end{aligned}$$

$$d = - 6P.$$

$$\begin{aligned}X' &= 64^{\circ} 3' 45'' \\ Y' &= 26 \quad 27 \quad 56 \\ Z' &= 61 \quad 0 \quad 55\end{aligned}$$

$$\begin{aligned}\mu' &= 5^{\circ} 27' 9'' \\ \nu' &= 57 \quad 23 \quad 39 \\ \rho &= 11 \quad 3 \quad 15 \\ \sigma &= 59 \quad 59 \quad 55\end{aligned}$$

Hemipyramiden der Zwischenreihe.

$$s = + \left(\frac{3}{2}P3\right)$$

$$X = 39^\circ 20' 49''$$

$$Y = 78 \ 56 \ 32$$

$$Z = 63 \ 14 \ 43$$

$$\mu = 72^\circ 23' 28''$$

$$\nu = 44 \ 45 \ 44$$

$$\rho = 38 \ 0 \ 20$$

$$\rho = 29 \ 59 \ 55$$

$$c = + (2P3)$$

$$X = 34^\circ 17' 0''$$

$$Y = 73 \ 16 \ 42$$

$$Z = 72 \ 34 \ 4$$

$$\mu = 59^\circ 17' 0''$$

$$\nu = 57 \ 52 \ 12$$

$$\rho = 30 \ 22 \ 26$$

$$\sigma = 29 \ 59 \ 55$$

$$w = - (6P3)$$

$$X' = 37^\circ 44' 35''$$

$$Y' = 53 \ 40 \ 45$$

$$Z' = 65 \ 56 \ 6$$

$$\mu' = 14^\circ 37' 6''$$

$$\nu' = 48 \ 13 \ 42$$

$$\rho = 11 \ 3 \ 15$$

$$\sigma = 29 \ 59 \ 55$$

Hemidomen.

$$y = + \frac{3}{2}P\infty$$

$$X = 90^\circ 0' 0''$$

$$Y = 59 \ 17 \ 0$$

$$Z = 57 \ 52 \ 12$$

— 18 —

$$\begin{aligned}\mu &= 58^{\circ} 21' 18'' \\ \nu &= 58 \quad 47 \quad 54 \\ \rho &= 59 \quad 52 \quad 52 \\ \sigma &= 59 \quad 59 \quad 55\end{aligned}$$

$$m = + \frac{3}{4}P$$

$$\begin{aligned}X &= 62^{\circ} 41' 55'' \\ Y &= 58 \quad 19 \quad 26 \\ Z &= 66 \quad 32 \quad 4\end{aligned}$$

$$\begin{aligned}\mu &= 53^{\circ} 46' 34'' \\ \nu &= 63 \quad 22 \quad 38 \\ \rho &= 57 \quad 23 \quad 14 \\ \sigma &= 59 \quad 59 \quad 55\end{aligned}$$

$$u = - 2P$$

$$\begin{aligned}X' &= 66^{\circ} 42' 9'' \\ Y' &= 27 \quad 17 \quad 9 \\ Z' &= 52 \quad 16 \quad 36\end{aligned}$$

$$\begin{aligned}\mu' &= 14^{\circ} 37' 6'' \\ \nu' &= 48 \quad 13 \quad 42 \\ \rho &= 30 \quad 22 \quad 26 \\ \sigma &= 59 \quad 59 \quad 55\end{aligned}$$

$$d = - 6P.$$

$$\begin{aligned}X' &= 64^{\circ} 3' 45'' \\ Y' &= 26 \quad 27 \quad 56 \\ Z' &= 61 \quad 0 \quad 55\end{aligned}$$

$$\begin{aligned}\mu' &= 5^{\circ} 27' 9'' \\ \nu' &= 57 \quad 23 \quad 39 \\ \rho &= 11 \quad 3 \quad 15 \\ \sigma &= 59 \quad 59 \quad 55\end{aligned}$$

Hemipyramiden der Zwischenreihe.

$$s = + \left(\frac{2}{3}P3\right)$$

$$X = 39^\circ 20' 49''$$

$$Y = 78 \ 56 \ 32$$

$$Z = 63 \ 14 \ 43$$

$$\mu = 72^\circ 23' 28''$$

$$\nu = 44 \ 45 \ 44$$

$$\rho = 38 \ 0 \ 20$$

$$\sigma = 29 \ 59 \ 55$$

$$c = + (2P3)$$

$$X = 34^\circ 17' 0''$$

$$Y = 73 \ 16 \ 42$$

$$Z = 72 \ 34 \ 4$$

$$\mu = 59^\circ 17' 0''$$

$$\nu = 57 \ 52 \ 12$$

$$\rho = 30 \ 22 \ 26$$

$$\sigma = 29 \ 59 \ 55$$

$$w = - (6P3)$$

$$X' = 37^\circ 44' 35''$$

$$Y' = 53 \ 40 \ 45$$

$$Z' = 65 \ 56 \ 6$$

$$\mu' = 14^\circ 37' 6''$$

$$\nu' = 48 \ 13 \ 42$$

$$\rho = 11 \ 3 \ 15$$

$$\sigma = 29 \ 59 \ 55$$

Hemidomen.

$$y = + \frac{2}{3}P\infty$$

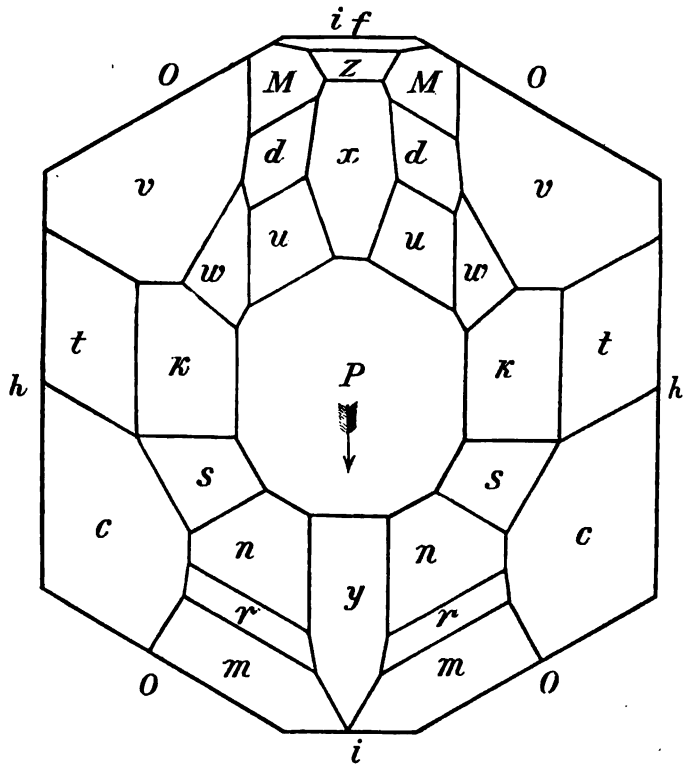
$$X = 90^\circ 0' 0''$$

$$Y = 59 \ 17 \ 0$$

$$Z = 57 \ 52 \ 12$$

Die nachstehende vergleichende Tabelle enthält die wesentlichsten Winkel der Klinochlorkrystalle, welche nach Naumann's neuem und meinem alten Axenverhältnisse berechnet sind. Um diese Tabelle deutlicher zu erklären, füge ich hier unten eine Figur (Fig. 1 horizontale Projection) mit allen bis jetzt bekannten Klinochlorformen bei, die nach Naumann's neuerer Ansicht gezeichnet sind. Bei Betrachtung der ersten Kolumne dieser Tabelle muss man unbedingt diese Figur vor Augen haben, um alle Missverständnisse zu vermeiden.

Fig. 1.



Winkel.	Berechnet, aus Naumann's Axenverhältniss	Berechnet, aus Kokscharow's Axenverhältniss.	Gemessen *).
$u : P$	127° 43' 37''	127° 43' 24''	
$u : i$	121 9 47	121 11 0	
$u : h$	113 17 43	113 17 51	
$u : u$ Klinod. Polkante }	133 24 34	133 24 18	
$u : d$ anliegende }	171 15 29	171 15 41	
$u : M$ über d }	166 13 15	166 13 35	
$u : o$ über M }	130 8 50	130 10 6	
$u : m$ über o }	118 47 15	118 48 40	
$u : m$ über P }	61 12 45	61 11 20	
$u : n$ über o }	113 42 41	113 44 9	
$u : n$ über P }	66 17 19	66 15 51	
$u : k$ nächstliegende }	127 27 31	127 27 16	
$u : t$ nächstliegende }	124 32 53	124 32 41	
$u : v$ nächstliegende }	144 38 10	144 38 20	
$u : x$ anliegende }	155 49 17	155 49 11	
$u : z$	147 6 52	147 7 12	
$u : f$	130 25 38	130 26 38	
$u : w$ anliegende }	151 2 28	151 2 26	
$d : P$	118 59 6	118 59 5	119° 5'
$d : i$	128 12 45	128 13 43	

*) Vergl. meine „Materialien zur Mineralogie Russlands“ 1854, Bd. II, S. 29; auch meine „Vorlesungen über Mineralogie“ 1865, Bd. I, S. 273.

Winkel.	Berechnet, aus Naumann's Axenverhältniss.	Berechnet, aus Kokscharow's Axenverhältniss	Gemessen.
$d : h$	115° 56' 11"	115° 56' 15"	
Klinod. Polkante } $d : d$	128 7 38	128 7 30	
anliegende } $d : M$	174 57 46	174 57 54	
über M } $d : o$	138 53 21	138 54 25	
über o } $d : m$	127 31 46	127 32 59	
über P } $d : m$	52 28 14	52 27 1	
über o } $d : n$	122 27 12	122 28 28	
über P } $d : n$	57 32 48	57 31 32	
nächstliegende } $d : k$	126 32 12	126 32 5	
nächstliegende } $d : t$	124 32 43	124 32 34	
anliegende } $d : x$	153 57 5	153 57 1	
$d : z$	150 25 44	150 25 52	
$d : f$	136 44 38	136 45 24	
anliegende } $d : v$	148 40 7	148 40 8	
anliegende } $d : w$	152 47 14	152 47 11	
$M : P^*)$	113 56 52	113 56 59	113°56 $\frac{3}{4}$ '
$M : i$	132 6 6	132 6 54	
$M : h$	117 11 28	117 11 30	
Klinod. Polkante } $M : M$	125 37 4	125 37 0	125 37 $\frac{1}{3}$

*) Diesen Winkel $M : P$ berechnet Naumann = 113° 59'. Ebenso rechnet er $M : o = 143° 53'$ und $M : n = 127° 27'$; — wahrscheinlich hat sich bei seinen Berechnungen ein Fehler eingeschlichen.

Winkel.	Berechnet, aus Naumann's Axenverhältniss.	Berechnet, aus Kokscharow's Axenverhältniss.	Gemessen.
<i>M</i> : <i>o</i> anliegende	143° 55' 35''	143° 56' 31''	
<i>M</i> : <i>m</i> über <i>o</i>	132 34 0	132 35 5	
<i>M</i> : <i>m</i> über <i>P</i>	47 26 0	47 24 55	
<i>M</i> : <i>n</i> über <i>o</i>	127 29 26	127 30 34	
<i>M</i> : <i>n</i> über <i>P</i>	52 30 34	52 29 26	
<i>M</i> : <i>k</i> nächstliegende	125 33 55	125 33 51	
<i>M</i> : <i>k</i> andere <i>M</i>	75 13 12	75 12 54	
<i>M</i> : <i>t</i> nächstliegende	124 7 37	124 7 35	124° 3 $\frac{1}{2}$ '
<i>M</i> : <i>t</i> andere <i>M</i>	72 7 22	72 7 8	
<i>M</i> : <i>x</i> anliegende	151 45 12	151 45 13	
<i>M</i> : <i>z</i> anliegende	151 23 11	151 23 14	
<i>M</i> : <i>f</i> anliegende	140 3 32	140 4 8	
<i>M</i> : <i>y</i>	62 59 41	62 58 39	
<i>M</i> : <i>w</i> nächstliegende	152 38 51	152 38 53	
<i>M</i> : <i>v</i> anliegende	150 10 7	150 10 5	
<i>n</i> : <i>P</i>	118 33 42	118 32 27	118 28
<i>n</i> : <i>i</i>	148 34 51	148 34 36	
<i>n</i> : <i>h</i>	116 2 59	116 3 23	
<i>n</i> : <i>n</i> Klinod. Polkante	127 54 2	127 53 14	
<i>n</i> : <i>m</i> über <i>r</i>	174 55 26	174 55 29	
<i>n</i> : <i>o</i> über <i>m</i>	163 33 51	163 34 3	163 32

Winkel.	Berechnet, aus Naumann's Axenverhältniss	Berechnet, aus Kokscharow's Axenverhältniss	Gemessen.
$n : k$ nächstliegende	126° 28' 2''	126° 27' 43''	
$n : t$ nächstliegende	124 31 17	124 31 6	124° 31' $\frac{1}{3}$
$n : y$ anliegende	153 57 1	153 56 37	
$n : s$ anliegende	153 26 20	153 26 2	
$n : c$ anliegende	150 20 28	150 20 23	
$m : P$	113 29 8	113 27 56	
$m : i$	150 5 52	150 5 34	150 0
$m : h$	117 17 44	117 18 5	
$m : m$ Klinod. Polkante	125 24 32	125 23 50	
$m : o$ anliegende	168 38 25	168 38 34	
$m : k$ nächstliegende	125 27 37	125 27 19	
$m : t$ nächstliegende	124 4 26	124 4 14	
$m : y$ anliegende	152 11 46	152 11 26	
$m : c$ anliegende	151 18 34	151 18 28	
$w : P$	114 4 6	114 3 54	
$w : i$	110 10 31	110 11 11	
$w : h$	142 15 15	142 15 25	
$w : w$ Klinod. Polkante über u	75 29 30	75 29 10	
$w : s$ über P	50 50 24	50 49 11	
$w : s$ über v	129 9 36	129 10 49	
$w : c$ über P	41 30 55	41 29 50	

Winkel.	Berechnet, aus Naumann's Axenverhältniss.	Berechnet, aus Kokscharow's Axenverhältniss.	Gemessen.
$w : c$ über v	138° 29' 5"	138° 30' 10"	
$w : k$ anliegende	152 37 17	152 37 16	
$w : t$ nächstliegende	151 28 46	151 28 42	
$w : v$ anliegende	170 18 49	170 19 4	
$w : x$	127 26 49	127 26 39	
$w : z$	124 2 5	124 2 7	
$w : f$	115 36 29	115 36 56	
$w : o$ nächstliegende	133 25 36	133 26 33	
$v : P$	104 22 55	104 22 58	
$v : i$	114 13 18	114 13 41	
$v : h$	147 1 21	147 1 25	
$v : v$ Klinod. Polkante	65 57 18	65 57 10	
$v : k$ anliegende	150 13 13	150 13 28	
$v : t$ anliegende	150 59 0	150 59 8	
$v : x$	122 37 13	122 37 9	
$v : z$	122 29 36	122 29 33	
$v : f$	117 58 51	117 59 4	
$v : o$ anliegende	140 10 26	140 11 6	
$v : o$ über t und c	92 59 25	92 59 24	
$v : s$ über P	41 9 13	41 8 15	
$v : s$ über k	122 58 36	122 58 48	
$v : c$ über P	31 49 44	31 48 54	

Winkel.	Berechnet, aus Naumann's Axenverhältniss.	Berechnet, aus Kokscharow's Axenverhältniss.	Gemessen.
$v : c$ obere v , untere c }	148° 10' 16''	148° 11' 6''	
$v : c$ über t }	122 26 49	122 26 56	
$s : P$	116 46 18	116 45 17	
$s : i$	122 48 5	122 47 33	
$s : h$	140 38 30	140 39 11	
$s : m$ nächstliegende }	152 42 13	152 41 59	
$s : s$ Klinod. Polkante }	78 43 0	78 41 38	
$s : c$ anliegende }	170 40 31	170 40 39	
$s : o$ nächstliegende }	148 16 22	148 16 11	
$s : k$ anliegende }	152 45 22	152 45 20	
$s : t$ nächstliegende }	151 5 0	151 5 4	
$s : y$	128 8 41	128 8 0	
$c : P$	107 26 49	107 25 56	
$c : i$	122 21 16	122 20 51	
$c : h$	145 42 31	145 43 0	
$c : c$ Klinod. Polkante über n }	68 34 58	68 34 0	
$c : y$	124 17 29	124 17 0	
$c : o$ anliegende }	150 32 38	150 32 28	
$c : k$ anliegende }	151 16 59	151 16 51	
$c : t$ anliegende }	151 27 49	151 27 48	
$x : P$	125 6 37	125 6 34	125° 4'
$x : i$	130 57 23	130 58 38	
$x : h$	90 0 0	90 0 0	

Winkel.	Berechnet, aus Naumann's Axenverhältniss.	Berechnet, aus Kokscharow's Axenverhältniss.	Gemessen.
$x : f$ über z	141° 34' 42"	141° 35' 46"	
$x : o$ nachstliegende	124 52 40	124 53 35	
$x : y$ über p	67 15 44	67 14 22	
$x : y$ über i	112 44 16	112 45 38	
$x : k$	103 22 33	103 22 13	
$x : t$	100 22 10	100 21 52	
$z : P$	107 52 49	107 53 14	
$z : i$	148 11 11	148 11 58	
$z : h$	90 0 0	90 0 0	
$z : x$ anliegende	162 46 12	162 46 40	
$z : f$ anliegende	158 48 30	158 49 6	
$z : o$ nachstliegende	137 50 36	137 51 1	
$z : k$	97 5 38	97 5 37	
$z : t$	95 30 50	95 30 48	
$z : y$ über p	50 1 56	50 1 2	
$z : y$ über i	129 58 4	129 58 58	
$f : P$	86 41 19	86 42 20	
$f : i$	169 22 41	169 22 52	
$f : h$	90 0 0	90 0 0	
$f : o$ anliegende	149 1 42	149 1 34	
$f : k$	88 40 7	88 40 34	
$f : t$	88 57 51	88 58 11	
$f : y$ über p	28 50 26	28 50 8	

Winkel.	Berechnet, aus Naumann's Axenverhältniss.	Berechnet, aus Kokscharow's Axenverhältniss.	Gemessen.
$f : y$ über i }	151° 9' 34''	151° 9' 52''	
$y : P$	122 9 7	122 7 48	
$y : i$	161 46 53	161 47 0	
$y : h$	90 0 0	90 0 0	
$y : o$ nächstliegende }	145 57 33	145 57 27	
$y : k$	102 21 35	102 20 50	
$y : t$	99 35 12	99 34 37	
$k : P$	113 43 2	113 42 26	
$k : i$	84 26 31	84 27 7	
$k : h$	156 16 58	156 17 34	
$k : t$ anliegende }	174 31 11	174 31 17	
$k : t$ über P }	41 57 15	41 56 9	
$k : t$ über h }	138 2 45	138 3 51	
$k : o$	111 17 20	111 18 14	
$k : o'$	122 8 39	122 8 22	
$k : k$ über P }	47 26 4	47 24 52	
$k : k$ über h }	132 33 56	132 35 8	
$t : P$	108 14 13	108 13 43	108° 11'
$t : i$	85 40 42	85 41 11	
$t : h$	161 45 47	161 46 17	
$t : o$	113 29 17	113 30 0	
$t : o'$	122 0 25	122 0 14	
$t : t$ über P }	36 28 26	36 27 26	
$t : t$ über h }	143 31 34	143 32 34	

Winkel.	Berechnet, aus Naumann's Axenverhältniss.	Berechnet, aus Kokscharow's Axenverhältniss.	Gemessen.
$o : P$	$\left\{ \begin{array}{l} 77^\circ 52' 27'' \\ 102 \quad 7 \quad 33 \end{array} \right.$	$\left\{ \begin{array}{l} 77^\circ 53' 30'' \\ 102 \quad 6 \quad 30 \end{array} \right.$	$102^\circ 6\frac{1}{4}'$
$o : i$	150 44 7	150 43 55	
$o : h$	119 15 53	119 16 5	
$o : o$ über i	$\left. \right\} 121 \quad 28 \quad 14$	$\left. \right\} 121 \quad 27 \quad 50$	
$o : o$ über h	$\left. \right\} 58 \quad 31 \quad 46$	$\left. \right\} 58 \quad 32 \quad 10$	
$P : i$	$\left\{ \begin{array}{l} 76 \quad 4 \quad 0 \\ 103 \quad 56 \quad 0 \end{array} \right.$	$\left\{ \begin{array}{l} 76 \quad 5 \quad 12 \\ 103 \quad 54 \quad 48 \end{array} \right.$	
$P : h$	90 0 0	90 0 0	
$i : h$	90 0 0	90 0 0	

Wenn man die Combinationswinkel der Hemipyramide r , mit Hilfe der Zeichen $-\frac{1}{7}P$ (nach Naumann's Bezeichnung) und $+\frac{1}{25}P$ (nach meiner Bezeichnung) berechnet, so erhält man die Resultate, welche nicht mehr so gut mit einander übereinstimmen, wie alle oben gegebenen. In diesem Falle erhalten wir nämlich folgendes:

Winkel.	Berechnet, aus Naumann's Axenverhältniss.	Berechnet, aus Kokscharow's Axenverhältniss.	Gemessen.
$u : r$ über o	$\left. \right\} 114^\circ 41' 28''$	$\left. \right\} 114^\circ 35' 57''$	
$u : r$ über P	$\left. \right\} 65 \quad 18 \quad 32$	$\left. \right\} 65 \quad 24 \quad 3$	
$d : r$ über o	$\left. \right\} 123 \quad 25 \quad 59$	$\left. \right\} 123 \quad 20 \quad 16$	
$d : r$ über P	$\left. \right\} 56 \quad 34 \quad 1$	$\left. \right\} 56 \quad 39 \quad 44$	
$M : r$ über o	$\left. \right\} 128 \quad 28 \quad 13$	$\left. \right\} 128 \quad 22 \quad 22$	
$M : r$ über P	$\left. \right\} 51 \quad 31 \quad 47$	$\left. \right\} 51 \quad 37 \quad 38$	

Winkel.	Berechnet, aus Naumann's Axenverhältniss.	Berechnet, aus Kokscharow's Axenverhältniss.	Gemessen.
$n : r$ anliegende } 179° 1' 13''		179° 8' 12''	
$r : P$	117 34 55	117 40 39	117° 38'
$r : i$	148 55 35	148 52 57	
$r : h$	116 18 25	116 16 59	
$r : r$ Klinod. Polkante } 127 23 10		127 26 2	
$r : m$ anliegende } 175 54 13		175 47 17	
$r : o$ über m } 164 32 38		164 25 51	164 31
$r : y$ anliegende } 153 40 25		153 42 6	
$r : k$ nächstliegende } 126 17 53		126 18 48	
$r : t$ nächstliegende } 124 27 33		124 27 49	

Aus dem oben gegebenen lässt sich leicht ersehen, dass durch die Veränderungen, welche C. F. Naumann einzuführen strebte, man nicht viel gewinnt.

Weisser Klinochlor vom See Itkul am Ural.

Schon vor langer Zeit hatte mir mein alter Freund, der verstorbene Berg-Ingenieur C. v. Romanowsky einen Krystall eines glimmerartigen Minerals unter dem Namen «Weisser Klinochlor» vom See Itkul (unweit der Hütte Kischtimsk) zur Untersuchung gegeben. Da die Messungen, welche ich damals an demselben mit Hilfe des gewöhnlichen Wollaston'schen Goniometers, angestellt habe, untauglich waren, um aus denselben einen befriedigenden Schluss ziehen zu können, so veröffentlichte ich über diesen Krystall gar nichts weiter,

in der Hoffnung mit der Zeit ein besseres Material zu erhalten,—was aber, leider, bis jetzt nicht erschienen ist. Aus diesem Grunde werde ich hier die Zahlen anführen, welche mir meine alten Messungen geliefert haben; — vielleicht werden dieselben für die künftigen Beobachter von einigem Nutzen sein.

Der Krystall war farblos, durchscheinend, in dünnen Lamellen durchsichtig, seine Flächen waren nicht glänzend genug für die ganz genauen Messungen, während sie für die annäherenden Messungen mit dem gewöhnlichen Wollaston'schen Reflexionsgoniometer ziemlich passend waren. Zwei von den Flächen des Krystalls konnte man, nach ihrem Winkel, vorläufig als Hauptprisma $o = \infty P$, die eine zwischen denselben liegende Fläche, als ein neues Klinodoma $q = (8P\infty)$ und endlich die Fläche der vollkommensten Spaltbarkeit, als Basopinakoid $P = oP$ annehmen.

Durch Messung habe ich erhalten: *)

$$o : P = 102^\circ 20' \text{ ziemlich}$$

$$102 \quad 35 \quad \text{„}$$

$$\text{Mittel} = 102^\circ 27' 30'' (1)$$

$$o : P \left. \begin{array}{l} \\ \text{Coplem.} \end{array} \right\} = 77^\circ 33' \text{ ziemlich}$$

$$77 \quad 42 \quad \text{„}$$

$$77 \quad 23 \quad \text{„}$$

$$\text{Mittel} = 77^\circ 32' 40'' (\text{Compl.} = 102^\circ 27' 20'') (2)$$

$$o : P \left. \begin{array}{l} \\ \text{andere } o \end{array} \right\} = \text{ungefähr } 77^\circ, \text{ unbefriedigend.}$$

Also Mittel aus (1) und (2) wird:

$$o : P = 102^\circ 27' 25''$$

*) Hier sind alle Zahlen gegeben, welche mir der Goniometer-Kreis bei jeder Drehung zeigte.

Dieser Winkel $o : P$ berechnet sich = $102^\circ 7'$ (Naumann's Axenverhältniss) und = $102^\circ 6' 30''$ (Axenverhältniss).

Ferner wurde erhalten:

$$\begin{array}{r} q : P = 99^\circ \quad 5' \text{ ziemlich} \\ \quad \quad \quad 99 \quad 5 \quad \text{„} \\ \hline \text{Mittel} = 99^\circ \quad 5' \quad 0'' \quad (1) \end{array}$$

$$\begin{array}{r} q : P \left. \vphantom{q : P} \right\} = 80^\circ \quad 50' \text{ ziemlich,} \\ \text{Coplem.} \quad \quad \quad 81 \quad 5 \quad \text{„} \\ \quad \quad \quad \quad \quad 81 \quad 15 \quad \text{„} \\ \quad \quad \quad \quad \quad 81 \quad 15 \quad \text{„} \\ \quad \quad \quad \quad \quad 81 \quad 0 \quad \text{„} \\ \hline \end{array}$$

$$\text{Mittel} = 81^\circ \quad 5' \quad 0'' \quad (\text{Compl.} = 9)$$

Also Mittel aus (1) und (2) wird:

$$q : P = 99^\circ \quad 0' \quad 0''$$

Dieser Winkel $q : P$ berechnet sich = $99^\circ 21'$ (Naumann's Axenverhältniss) und $99^\circ 21' 3''$ (nach Axenverhältniss).

Die Differenzen zwischen den gemessenen und berechneten sind also ziemlich gross, daher kann man noch nicht mit Sicherheit sagen, ob die Winkel des weissen Klinkochors identisch mit denen vom Klinkochlor von Achmatowsk sind. Diese Frage können nur ganz genaue Messungen an vielen Exemplaren entscheiden.

Für das neue Klinodoma q berechnen sich folgende Winkel:

Nach Naumann's Axenver-
hältniss.

$$q = (8P\infty)$$

$$X = 9^\circ 21' 19'$$

$$Y = 92 \ 14 \ 36$$

$$Z = 80 \ 38 \ 41$$

$$q : P = 99^\circ 21' 19''$$

$$q : i = \left\{ \begin{array}{l} 87 \ 45 \ 24 \\ 92 \ 14 \ 36 \end{array} \right.$$

$$q : h = 170 \ 38 \ 41$$

$$\left. \begin{array}{l} q : t \\ \text{anliegende} \end{array} \right\} = 171 \ 7 \ 6$$

$$\left. \begin{array}{l} q : k \\ \text{über } t \end{array} \right\} = 165 \ 38 \ 17$$

Nach Kokscharow's Axenver-
hältniss.

$$q = (8P\infty)$$

$$X = 9^\circ 21' \ 3$$

$$Y = 94 \ 15 \ 9$$

$$Z = 80 \ 38 \ 57$$

$$q : P = 99^\circ 21' \ 3$$

$$q : i = \left\{ \begin{array}{l} 87 \ 45 \ 39 \\ 92 \ 14 \ 21 \end{array} \right.$$

$$q : h = 170 \ 38 \ 57$$

$$q (8P\infty) : \infty P\infty = \left\{ \begin{array}{l} 85 \ 44 \ 51 \\ 94 \ 15 \ 9 \end{array} \right.$$

$$\left. \begin{array}{l} q : t \\ \text{anliegende} \end{array} \right\} = 171 \ 7 \ 20$$

$$\left. \begin{array}{l} q : k \\ \text{über } t \end{array} \right\} = 165 \ 38 \ 37$$

3) Kotschubett.

(Vergl. Bd. IV, S. 132; Bd. V, S. 369 und Bd. VI, S. 92).

Seit der Zeit, in welcher meine erste Notiz über den Kotschubett erschien *), bin ich bis jetzt nicht im Stande gewesen die Krystalle dieses Minerals etwas näher zu untersuchen, aus dem Grunde, weil Exemplare brauchbar zu krystallographischen Untersuchungen und Messungen schwer zu erhalten waren. Damals konnte ich nur die Neigung von zwei Fflächen zur vollkommensten Spaltungsfläche oP , vermittelt des gewöhnlichen Wollaston'schen Reflexionsgonio-

*) Vergl. meine „Materialien zur Mineralogie Russlands“, Bd. IV, S. 132.

meter, annäherend messen. Auf dieser Weise wurden Winkel bestimmt: $113^{\circ} 40'$ bis $113^{\circ} 56'$ und $111^{\circ} 5'$. Da der Winkel $113^{\circ} 56'$ der gewöhnlichste Winkel ($M : P = 113^{\circ} 57'$) ist, so gelangte ich zu dem der Kotschubeit, in krystallographischer wie in chemischer Hinsicht, sich vom Klinochlor nicht unterscheidet und das anders als eine schöne rothe Varietät desselben ist. In den Jahren sind einige Kotschubeitkrystalle in meinem Besitz gewesen, die, obgleich nicht ganz genügend waren um die Krystallform der Kotschubeit vollständig zu entwickeln, mir jedoch mehrere Winkel, mit Hilfe des Reflexionsgoniometers, lieferten, die die krystallographischen Eigenschaften des Minerals zu klären. Ich muss hier meinem hochgeehrten Collegen Herrn Dr. A. Kenngott meinen innigsten Dank aussprechen für mehrere amerikanische Kotschubeitkrystalle, die er auf seiner Reise in Amerika zu meiner Disposition gestellt hatte.

Hier zu erwähnen, dass die Untersuchung der Kotschubeitkrystalle, wegen ihrer unvollkommenen Ausbildung, wegen der Schwierigkeit genaue Messungen an denselben anzustellen, wegen der vielfältigen Zwillings-Verwachsungen u. s. w. viele

*) Seine Kaiserliche Hoheit der Herzog Nicolas von Leuchtenberg und der Akademiker N. v. Zinin beschreiben die chemische Natur der Kotschubeit folgender Maassen:

„Der Kotschubeit hat dieselbe chemische Formel wie der Pennin, unterscheidet sich aber von denselben durch seine optischen Eigenschaften. Die Kotschubeit, nämlich Pennin und Kämmererit sind, wie benannt, optisch einaxig, während der Kotschubeit ein optisch-zweiachsiges Mineral ist.“ (Min. Russlands, 1866, B. V, S. 374).

A. Kenngott seinerseits, in einem an mich adressirten Briefe, hat Ihnen schon in meinem letzten Briefe mittheilte, haben mich über die Kotschubeit (von S. K. H. N. v. Leuchtenberg und N. v. Zinin) befragt. Dieselben bestätigen vollständig meine Ansicht für die chemische Zusammensetzung des Klinochlors u. s. f. benannten Minerale und zeigen, wie der Kotschubeit aus dem Klinochlor sich ergibt.“ („Mat. z. Min. Russlands“, 1866, B. V, S. 374).

darbieten, woher über die Krystallformen und Winkel dieses schönen Minerals bis jetzt noch fast gar nichts bekannt war.

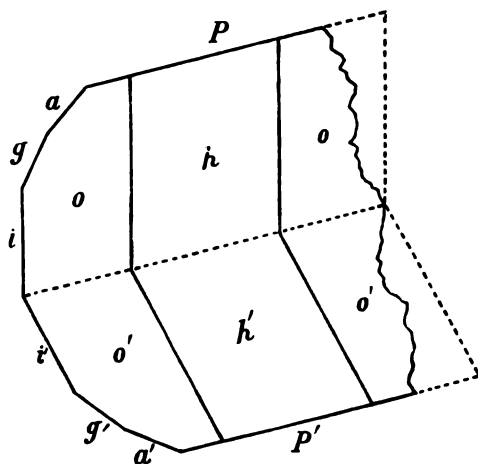
Die wichtigsten Resultate meiner Beobachtungen und Messungen sind unten ziemlich ausführlich gegeben.

Amerikanische Kotschubelitkrystalle.

Krystall № 1 aus Texas in Pensylvanien.

Dieser Krystall war ein Zwilling, nach dem Gesetze: Zwillingsfläche eine Fläche des basischen Pinakoids $P = oP$, wie dies aus der beigefügten Figur 2 zu ersehen ist. Das erwähnte Gesetz war noch nicht in den Klinochlor- und Kotschubelitkrystallen beobachtet worden.

Fig. 2.



Am Krystall № 1 konnte ich, durch Messung, nur folgende Formen bestimmen:

P	oP ,	nach Naumann's	Axenverhältniss.
h	$(\infty P \infty)$	»	»
i	$\infty P \infty$	»	»
g	$-\frac{4}{3}P \infty$	»	»
a	$-mP \infty$	(wahrscheinlich: $-\frac{2}{3}P \infty$)	

Die beiden letzten Formen sind neue Formen.

Die Fläche des neuen Hemidomas $g = (a : -\frac{3}{4}b : \infty c)$ liegt in folgenden wichtigsten Zonen.

1) In einer Zone, welche durch die Flächen $o = (\infty a : b : c)$ und $w = (a : \frac{2}{3}b : \frac{1}{3}c)$ gegeben ist.

Die Gleichung für diese Zone ist:

$$\frac{4}{3 \cdot a} + \frac{1}{b} = \frac{1}{c}$$

Die Parameter $a = 1$, $b = -\frac{3}{4}$ und $c = \infty$ unserer Fläche g erfüllen diese Gleichung.

2) In einer Zone, welche durch die Flächen $n = (a : -\frac{1}{2}b : -\frac{1}{2}c)$ und $t = (a : \infty b : \frac{1}{4}c)$ gegeben ist.

Die Gleichung für diese Zone ist:

$$\frac{4}{a} + \frac{3}{b} = \frac{1}{c}$$

Die Parameter $a = 1$, $b = -\frac{3}{4}$ und $c = \infty$ unserer Fläche g erfüllen diese Gleichung.

3) In einer Zone, welche durch die Flächen $s = (a : -b : \frac{1}{3}c)$ und $c = (a : -\frac{1}{2}b : -\frac{1}{6}c)$ gegeben ist.

Die Gleichung für diese Zone ist:

$$\frac{4}{a} + \frac{3}{b} = \frac{1}{3 \cdot c}$$

Die Parameter $a = 1$, $b = -\frac{3}{4}$ und $c = \infty$ unserer Fläche g erfüllen diese Gleichung.

Was aber das Hemidoma $\alpha = -mP\infty$ anbelangt, so konnte ich dasselbe nur auf ganz unbefriedigender Weise messen; daher war

ich nicht im Stande sein krystallographisches Zeichen mit Sicherheit zu bestimmen. Wenn $\alpha = (a : -\frac{2}{3}b : \infty c)$, so liegt diese Fläche:

1) In einer Zone, welche durch $s = (a : -b : -\frac{1}{3}c)$ und $b = (a : \infty b : \frac{1}{6}c)$ gegeben ist.

Wir haben für diese Zone folgende Gleichung:

$$\frac{2}{a} + \frac{3}{b} = \frac{1}{3 \cdot c}$$

Die Parameter $a = 1$, $b = -\frac{3}{2}$ und $c = \infty$ erfüllen diese Gleichung.

2) In einer Zone, welche durch die Flächen $c = (a : -\frac{1}{2}b : -\frac{1}{6}c)$ und $k = (a : \infty b : \frac{1}{3}c)$ gegeben ist.

Wir haben für diese Zone folgende Gleichung:

$$\frac{1}{a} + \frac{3}{2 \cdot b} = \frac{1}{3 \cdot c}$$

Die Parameter $a = 1$, $b = -\frac{3}{2}$ und $c = \infty$ erfüllen diese Gleichung.

3) In einer Zone, welche durch die Flächen $w = (a : \frac{2}{3}b : \frac{1}{3}c)$ und $n = (a : -\frac{1}{3}b : -\frac{1}{3}c)$ gegeben ist.

Die Gleichung für diese Zone ist:

$$\frac{1}{a} + \frac{3}{2 \cdot b} = \frac{1}{c}$$

Die Parameter $a = 1$, $b = -\frac{3}{2}$ und $c = \infty$ erfüllen diese Gleichung.

Mit Hilfe des gewöhnlichen Wollaston'schen Reflexionsgoniometer habe ich folgende Winkel erhalten *):

*) Hier, so wie weiter unten, werden alle Zahlen gegeben, welche mir der Goniometer-Kreis bei jeder Drehung desselben lieferte.

$$\begin{array}{r}
 i : P' \\
 \text{Erste Aufstellung}
 \end{array}
 \left. \vphantom{\begin{array}{r} i : P' \\ \text{Erste Aufstellung} \end{array}} \right\} = 76^\circ 10' \text{ ziemlich gut} \\
 \begin{array}{r}
 76 \ 10 \quad \text{»} \quad \text{»} \\
 75 \ 55 \quad \text{»} \quad \text{»} \\
 75 \ 55 \quad \text{»} \quad \text{»} \\
 \hline
 \text{Mittel} = 76^\circ 2' 30'' (1)
 \end{array}$$

$$\begin{array}{r}
 \text{Derselbe Winkel} \\
 \text{zweite Aufstellung}
 \end{array}
 \left. \vphantom{\begin{array}{r} \text{Derselbe Winkel} \\ \text{zweite Aufstellung} \end{array}} \right\} = 76^\circ 10' \text{ ziemlich gut} \\
 \begin{array}{r}
 75 \ 50 \quad \text{»} \quad \text{»} \\
 76 \ 10 \quad \text{»} \quad \text{»} \\
 \hline
 \text{Mittel} = 76^\circ 3' 20'' (2)
 \end{array}$$

$$\begin{array}{r}
 i' : P' = 103^\circ 47' \text{ ziemlich gut} \\
 103 \ 43 \quad \text{»} \quad \text{»} \\
 \hline
 \text{Mittel} = 103^\circ 45' \text{ (Compl.} = 76^\circ 15' 0'') (3)
 \end{array}$$

Also durch Messung, Mittel aus (1), (2) und (3):

$$i : P \left\{ \begin{array}{l} 76^\circ 6' 57'' \\ = 103 \ 53 \ 3 \end{array} \right.$$

(Nach Rechnung ist dieser Winkel = $76^\circ 4' 0''$ und $103^\circ 56' 0''$)

$$\begin{array}{r}
 g : P' \\
 \text{über } i'
 \end{array}
 \left. \vphantom{\begin{array}{r} g : P' \\ \text{über } i' \end{array}} \right\} = 50^\circ 47' \text{ ziemlich} \\
 \begin{array}{r}
 50 \ 45 \quad \text{»} \\
 50 \ 56 \quad \text{»} \\
 \hline
 \text{Mittel} = 50^\circ 49' 20''
 \end{array}$$

(Nach Rechnung ist dieser Winkel = $50^\circ 41' 22''$)

$$\begin{array}{r}
 g : i \\
 \text{anliegende}
 \end{array}
 \left. \vphantom{\begin{array}{r} g : i \\ \text{anliegende} \end{array}} \right\} = 154^\circ 47' \text{ mittelmässig} \\
 \begin{array}{r}
 154 \ 50 \quad \text{»} \\
 154 \ 58 \quad \text{»} \\
 \hline
 \text{Mittel} = 154^\circ 51' 40''
 \end{array}$$

(Nach Rechnung ist dieser Winkel = $154^\circ 37' 22''$)

$$\begin{array}{r}
 g : i' \\
 \text{über } i
 \end{array}
 \left. \vphantom{\begin{array}{r} g : i' \\ \text{über } i \end{array}} \right\} = 127^\circ \cdot 0' \text{ mittelmässig} \\
 \begin{array}{r}
 126 \quad 52 \quad \text{»} \\
 127 \quad 2 \quad \text{»}
 \end{array} \\
 \hline
 \text{Mittel} = 126^\circ 58' 0''$$

(Nach Rechnung ist dieser Winkel = $126^\circ 45' 22''$)

$\alpha : P =$ ungefähr 143° , ganz unbefriedigend.

(Wenn der Fläche α das Zeichen $-\frac{2}{3}P\infty$ zukommt, so berechnet sich dieser Winkel = $144^\circ 15' 29''$)

$$\begin{array}{r}
 i : i' \\
 \text{Erste Aufstellung}
 \end{array}
 \left. \vphantom{\begin{array}{r} i : i' \\ \text{Erste Aufstellung} \end{array}} \right\} = 152^\circ 5' \text{ ziemlich gut,} \\
 \begin{array}{r}
 151 \quad 57 \quad \text{»} \quad \text{»}
 \end{array} \\
 \hline
 \text{Mittel} = 152^\circ 1' 0'' (1)$$

$$\begin{array}{r}
 \text{Derselbe Winkel,} \\
 \text{zweite Aufstellung}
 \end{array}
 \left. \vphantom{\begin{array}{r} \text{Derselbe Winkel,} \\ \text{zweite Aufstellung} \end{array}} \right\} = 152^\circ 10' \text{ ziemlich gut,} \\
 \begin{array}{r}
 152 \quad 0 \quad \text{»} \quad \text{»}
 \end{array} \\
 \hline
 \text{Mittel} = 152^\circ 5' 0'' (2)$$

Also durch Messung, Mittel aus (1) und (2):

$$i : i' = 152^\circ 3' 0''$$

(Nach Rechnung ist dieser Winkel = $152^\circ 8' 0''$)

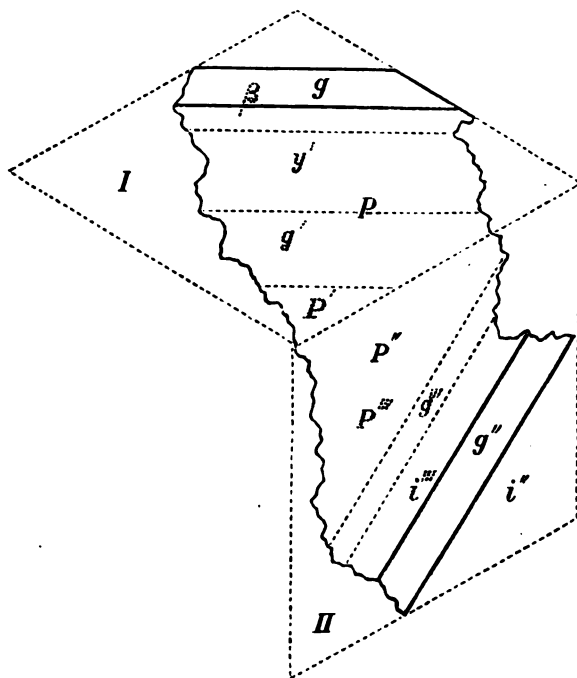
Dieser Kotschubekkrystall № 1 war der beste von allen von mir gemessenen Krystallen des Minerals. Durch seine glänzenden Flächen eignete er sich zu guten Messungen viel mehr als alle übrigen.

Krystall № 2, aus Texas in Pensylvanien.

Der Krystall № 2 war auch ein Zwillingkrystall, oder, richtiger, ein Vierlings-Krystall, denn ein jeder der zwei zusammengewachse-

nen Krystalle (nach dem von mir schon früher ziemlich ausführlich beschriebenen Gesetz *) war seinerseits wieder ein Zwilling (nach dem Gesetz des vorhergehenden Krystalls № 1), was am besten aus den beigefügten Figuren 3, 4 und 5 zu ersehen ist. Dieser Krystall № 2 eignet sich schon nicht mehr so gut für die Messungen wie der Krystall № 1 und daher waren die von ihm gelieferten Resultate nur zur Ableitung der krystallographischen Zeichen brauchbar.

Fig. 3.



*) Vergl. „Materialien zur Mineralogie Russlands“, Bd. II, S. 26.

Fig. 4.

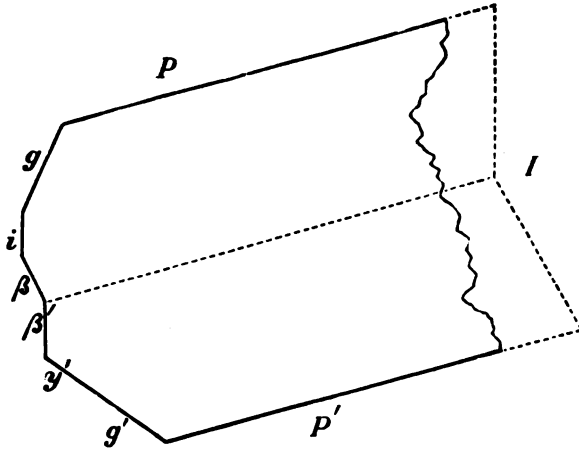
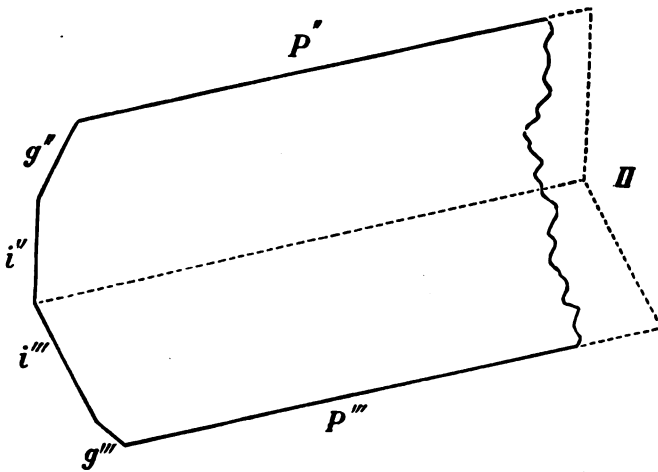


Fig. 5.



In diesem Krystalle konnte ich durch Messung folgende Krystall-
formen bestimmen:

P	...	oP ,	nach Naumann's	Axenverhältniss.
i	...	$\infty P\infty$	»	»
β	...	$+\frac{2}{5}P\infty$	»	»
g	...	$-\frac{4}{3}P\infty$	»	»
y	...	$-2P\infty$	»	»

Vermittelt des gewöhnlichen Wollaston'schen Reflexionsgoniometers habe ich erhalten.:

$$\begin{array}{r}
 g : P \\
 \text{Erste Aufstellung}
 \end{array}
 \left. \vphantom{\begin{array}{r} g : P \\ \text{Erste Aufstellung} \end{array}} \right\} = 129^\circ 3' \text{ mittelmässig} \\
 \begin{array}{r}
 128 \ 40 \quad \text{„} \\
 128 \ 45 \quad \text{„} \\
 128 \ 40 \quad \text{„}
 \end{array} \\
 \hline
 \text{Mittel} = 128^\circ 47' 0'' \text{ (1)}$$

$$\begin{array}{r}
 \text{Derselbe Winkel,} \\
 \text{zweite Aufstellung}
 \end{array}
 \left. \vphantom{\begin{array}{r} \text{Derselbe Winkel,} \\ \text{zweite Aufstellung} \end{array}} \right\} = 128^\circ 20' \text{ mittelmässig} \\
 \begin{array}{r}
 128 \ 30 \quad \text{„} \\
 128 \ 20 \quad \text{„} \\
 129 \ 0 \quad \text{„} \\
 128 \ 30 \quad \text{„}
 \end{array} \\
 \hline
 \text{Mittel} = 128^\circ 32' 0'' \text{ (2)}$$

$$g : P' = 51^\circ 12' \text{ mittelmässig (Compl. } 128^\circ 48') \text{ (3)}$$

$$\begin{array}{r}
 g'' : P'' = 128^\circ 45' \text{ mittelmässig} \\
 128 \ 43 \quad \text{„} \\
 \hline
 \text{Mittel} = 128^\circ 44' 0'' \text{ (4)}
 \end{array}$$

$$g' : P' = 128^\circ 48' \text{ mittelmässig (5)}$$

$$\begin{array}{r}
 g' : P = 50^\circ 30' \text{ mittelmässig} \\
 50 \ 50 \quad \text{„} \\
 51 \ 10 \quad \text{„} \\
 51 \ 0 \quad \text{„} \\
 51 \ 10 \quad \text{„} \\
 \hline
 \text{Mittel} = 50^\circ 56' 0'' \text{ (Compl.} = 129^\circ 4' 0'') \text{ (6)}
 \end{array}$$

Auf diese Weise erhalten wir also für $g : P$:

$$\begin{aligned}
 (1) &= 128^\circ 47' 0'' \\
 (2) &= 128 \quad 32 \quad 0 \\
 (3) &= 128 \quad 48 \quad 0 \\
 (4) &= 128 \quad 44 \quad 0 \\
 (5) &= 128 \quad 48 \quad 0 \\
 (6) &= 129 \quad 4 \quad 0 \\
 \hline
 \text{Mittel} &= 128^\circ 47' 10''
 \end{aligned}$$

(Nach Rechnung ist dieser Winkel $g : P = 129^\circ 18' 38''$).

Die Differenz zwischen der Messung und Rechnung ist ziemlich gross, aber von einer solcher Art von Messungen war nichts besseres zu erwarten.

$$\begin{array}{l}
 \beta' : P \\
 \text{über } g \\
 \text{Erste Aufstellung}
 \end{array}
 \left. \vphantom{\begin{array}{l} \beta' : P \\ \text{über } g \\ \text{Erste Aufstellung} \end{array}} \right\} = 102^\circ 58' \text{ mittelmässig} \\
 \left. \vphantom{\begin{array}{l} \beta' : P \\ \text{über } g \\ \text{Erste Aufstellung} \end{array}} \right\} \begin{array}{l} 102 \quad 42 \quad \text{„} \\ 102 \quad 45 \quad \text{„} \end{array} \\
 \hline
 \text{Mittel} = 102^\circ 48' 20'' (1)
 \end{array}$$

$$\begin{array}{l}
 \text{Derselbe Winkel,} \\
 \text{zweite Aufstellung}
 \end{array}
 \left. \vphantom{\begin{array}{l} \text{Derselbe Winkel,} \\ \text{zweite Aufstellung} \end{array}} \right\} = 102^\circ 10' \text{ mittelmässig} \\
 \left. \vphantom{\begin{array}{l} \text{Derselbe Winkel,} \\ \text{zweite Aufstellung} \end{array}} \right\} \begin{array}{l} 102 \quad 25 \quad \text{„} \\ 102 \quad 40 \quad \text{„} \\ 102 \quad 30 \quad \text{„} \end{array} \\
 \hline
 \text{Mittel} = 102^\circ 26' 15'' (2)
 \end{array}$$

$$\beta' : P' = 77^\circ 15' \text{ (Compl.} = 102^\circ 45') (3)$$

Also, durch Messung, im Mittel aus (1), (2) und (3):

$$\beta : P = 102^\circ 39' 52''$$

(Nach Rechnung ist dieser Winkel = $102^\circ 48' 59''$)

$$\begin{array}{l} y' : P \\ \text{Erste Aufstellung} \end{array} \left. \vphantom{\begin{array}{l} y' : P \\ \text{Erste Aufstellung} \end{array}} \right\} = \begin{array}{l} 57^\circ 20' \text{ mittelmässig} \\ 57 \ 45 \quad \text{„} \\ 58 \ 0 \quad \text{„} \\ 58 \ 30 \quad \text{„} \end{array}$$

$$\text{Mittel} = 57^\circ 53' 45'' \text{ (Compl.} = 122^\circ 6' 15'') \text{ (1)}$$

$$\begin{array}{l} \text{Derselbe Winkel,} \\ \text{zweite Aufstellung} \end{array} \left. \vphantom{\begin{array}{l} \text{Derselbe Winkel,} \\ \text{zweite Aufstellung} \end{array}} \right\} = \begin{array}{l} 58^\circ 5' \text{ mittelmässig} \\ 57 \ 58 \quad \text{„} \\ 57 \ 50 \quad \text{„} \\ 57 \ 55 \quad \text{„} \end{array}$$

$$\text{Mittel} = 57^\circ 57' 0'' \text{ (Compl.} = 122^\circ 3' 0'') \text{ (2)}$$

$$\begin{array}{l} y' : P' = 122^\circ 8' \text{ mittelmässig} \\ 122 \ 6 \quad \text{„} \end{array}$$

$$\text{Mittel} = 122^\circ 7' 0'' \text{ (Compl.} 57^\circ 53' 0'') \text{ (3)}$$

Also durch Messung, im Mittel aus (1), (2) und (3):

$$y : P = 57^\circ 54' 35'' \text{ (Compl.} = 122^\circ 5' 25'')$$

(Nach Rechnung = $57^\circ 50' 53''$ und $122^\circ 9' 7''$)

$$\begin{array}{l} g : \beta' \\ \text{anliegende} \end{array} \left. \vphantom{\begin{array}{l} g : \beta' \\ \text{anliegende} \end{array}} \right\} = 153^\circ 50' \text{ ziemlich}$$

(Nach Rechnung = $153^\circ 30' 21''$)

$$\begin{array}{l} g : y' \\ \text{über } \beta \end{array} \left. \vphantom{\begin{array}{l} g : y' \\ \text{über } \beta \end{array}} \right\} = 109^\circ 2' \text{ mittelmässig}$$

(Nach Rechnung = $108^\circ 32' 15''$)

$$\beta' : y' = 135^\circ 10' \text{ mittelmässig}$$

(Nach Rechnung = $135^\circ 1' 54''$)

$$\beta' : g' = 128^\circ 32' \text{ mittelmässig}$$

(Nach Rechnung = $127^\circ 52' 23''$)

$$y' : g' = 173^\circ 10' \text{ mittelmässig}$$

(Nach Rechnung = $172^\circ 50' 29''$)

$$\begin{array}{l} i'' : P'' \\ \text{Erste Aufstellung} \end{array} \left. \vphantom{\begin{array}{l} i'' : P'' \\ \text{Erste Aufstellung} \end{array}} \right\} = \begin{array}{r} 104^\circ 0' \text{ mittelmässig} \\ 103 \ 50 \quad \text{,} \\ 104 \ 3 \quad \text{,} \\ 104 \ 0 \quad \text{,} \end{array}$$

$$\text{Mittel} = 103^\circ 58' 15'' (1)$$

$$\begin{array}{l} \text{Derselbe Winkel,} \\ \text{zweite Aufstellung} \end{array} \left. \vphantom{\begin{array}{l} \text{Derselbe Winkel,} \\ \text{zweite Aufstellung} \end{array}} \right\} = \begin{array}{r} 103^\circ 38' \text{ mittelmässig} \\ 104 \ 0 \quad \text{,} \end{array}$$

$$\text{Mittel} = 103^\circ 49' 0'' (2)$$

$$\begin{array}{l} i''' : P'' \\ \text{Erste Aufstellung} \end{array} \left. \vphantom{\begin{array}{l} i''' : P'' \\ \text{Erste Aufstellung} \end{array}} \right\} = \begin{array}{r} 75^\circ 32' \text{ mittelmässig} \\ 76 \ 0 \quad \text{,} \end{array}$$

$$\text{Mittel} = 75^\circ 46' 0'' (\text{Compl.} = 104^\circ 14' 0'') (3)$$

$$\begin{array}{l} \text{Derselbe Winkel,} \\ \text{zweite Aufstellung} \end{array} \left. \vphantom{\begin{array}{l} \text{Derselbe Winkel,} \\ \text{zweite Aufstellung} \end{array}} \right\} = \begin{array}{r} 75^\circ 55' \text{ mittelmässig} \\ 76 \ 10 \quad \text{,} \\ 75 \ 50 \quad \text{,} \\ 76 \ 0 \quad \text{,} \end{array}$$

$$\text{Mittel} = 75^\circ 58' 45'' (\text{Compl.} = 104^\circ 1' 15'') (4)$$

Mittel aus (1), (2), (3) und (4) wird:

$$i : P = 104^\circ 0' 38'' (\text{Compl.} = 75^\circ 59' 22'')$$

(Nach Rechnung = $103^\circ 56' 0''$ und $76^\circ 4' 0''$)

Krystall № 3 von Texas in Pensylvanien.

Dieser Krystall № 3 war auch ein Zwilling ganz in der Art wie der vorhergehende № 2. Er eignete sich wenig zu guten Messungen, woher die erhaltenen Resultate nur als annähernde anzusehen sind. Ich habe am Krystall № 3 folgende Formen bestimmt:

$$\begin{array}{lll}
 P = & oP & \text{nach Naumann's Axenverhältniss.} \\
 i = & \infty P \infty & \text{„ „ „} \\
 g = & -\frac{4}{3} P \infty & \text{„ „ „} \\
 y = & -2P \infty & \text{„ „ „} \\
 M = & +P & \text{„ „ „}
 \end{array}$$

Mit Hilfe des gewöhnlichen Wollaston'schen Reflexionsgoniometer habe ich folgendes erhalten:

$$\begin{array}{ll}
 i : y = 162^{\circ} 0' \text{ ziemlich (Nach Rechnung = } 161^{\circ} 46' 53'') \\
 i : g = 154 \ 40 \text{ „ („ „ = } 154 \ 37 \ 22 \text{)} \\
 i : P = \text{ungef. } 103\frac{3}{4}^{\circ} \text{ unbefried. (Nach Rech. = } 103 \ 56 \ 0 \text{)} \\
 y : P = \text{„ } 122 \text{ „ („ „ = } 122 \ 9 \ 7 \text{)} \\
 g : P = \text{„ } 129 \text{ „ („ „ = } 129 \ 18 \ 38 \text{)} \\
 M : P = \text{„ } 114 \text{ „ („ „ = } 113 \ 56 \ 52 \text{)}
 \end{array}$$

Russische Kotschubeitkrystalle.

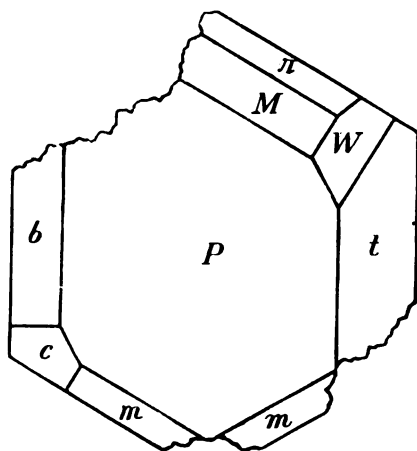
In allen durch meine Hände gegangenen russischen Kotschubeitkrystallen fand sich nur ein einziger, an welchem ich mehrere Winkel annäherungsweise messen und die Formen mit Sicherheit bestimmen konnte; die anderen Krystallen gaben nur einige wenige Winkel.

Krystall № 4, vom südlichen Ural, im District Ufaleisk, in der Nähe der Goldseife Karkaralinsk.

Dieser Krystall ist hier auf beigefügter Fig. 6, (obgleich nicht ganz vollständig) abgebildet. Ausser den Formen, welche in der er-

wähnten Figur gezeichnet sind, befinden sich auf diesem Krystalle noch mehrere andere, welche ich nicht im Stande war auf genügende Weise zu messen und zu bestimmen.

Fig. 6.



Am Krystall № 4 habe ich folgende Formen bestimmt:

$$\begin{aligned}
 P &= \text{oP} \\
 M &= \text{+P} \\
 \pi &= \text{+}\frac{3}{2}P \\
 w &= \text{+}(2P3) \\
 c &= \text{--}(6P3) \\
 t &= (4P\infty) \\
 b &= (6P\infty)
 \end{aligned}$$

Die Hemipyramide π und das Klinodoma b sind neue Formen.

Die Fläche der Hemipyramide $\pi = (a : \frac{2}{3}b : \frac{2}{3}c)$ liegt in folgenden Zonen:

1) In der Zone, welche durch die Flächen $w = (a : \frac{3}{2}b : \frac{1}{2}c)$ und $f = (a : \frac{1}{4}b : \infty c)$ gegeben ist. Die Gleichung für diese Zone:

$$\frac{4}{a} - \frac{1}{b} = \frac{5}{3 \cdot c}$$

Die Parameter unserer Fläche $\pi : a = 1, b = \frac{2}{3}, c = \frac{2}{3}$ erfüllen diese Gleichung.

2) In der Zone, welche durch die Flächen $o = (\infty a : -b : c)$ und $k = (a : \infty b : \frac{1}{3}c)$ gegeben ist. Die Gleichung für diese Zone:

$$\frac{3}{a} - \frac{1}{b} = \frac{1}{c}$$

Die Parameter unserer Fläche $\pi : a = 1, b = \frac{2}{3}, c = \frac{2}{3}$ erfüllen diese Gleichung.

3) In der Zone, welche durch die Flächen $v = (a : b : \frac{1}{3}c)$ und $b = (a : \infty b : \frac{1}{6}c)$ gegeben ist.

Die Gleichung für diese Zone:

$$\frac{2}{a} - \frac{1}{b} = \frac{1}{3 \cdot c}$$

Die Parameter unserer Fläche $\pi : a = 1, b = \frac{2}{3}, c = \frac{2}{3}$ erfüllen diese Gleichung.

4) In der Zone, welche durch die Flächen $v = (a : b : -\frac{1}{3}c)$ und $z = (a : \frac{3}{4}b : \infty c)$ gegeben ist.

Die Gleichung für diese Zone:

$$\frac{4}{a} = \frac{3}{b} - \frac{1}{3 \cdot c}$$

Die Parameter unserer Fläche $\pi : a = 1, b = \frac{2}{3}, c = \frac{2}{3}$ erfüllen diese Gleichung.

5) In der Zone, welche durch die Flächen $M = (a : b : -c)$ und $b = (a : \infty b : -\frac{1}{6}c)$ gegeben ist.

Die Gleichung für diese Zone:

$$\frac{6}{a} = \frac{5}{b} - \frac{1}{c}$$

Die Parameter unserer Fläche $\pi : a = 1, b = \frac{2}{3}, c = \frac{2}{3}$ erfüllen diese Gleichung.

6) In der Zone, welche durch die Flächen $d = (a : \frac{7}{6}b : -\frac{7}{6}c)$ und $t = (a : \infty b : -\frac{1}{4}c)$ gegeben ist.

Die Gleichung für diese Zone:

$$\frac{4}{a} = \frac{11}{3 \cdot b} - \frac{1}{c}$$

Die Parameter unserer Fläche $\pi : a = 1, b = \frac{2}{3}, c = \frac{2}{3}$ erfüllen diese Gleichung.

7) In der Zone, welche durch die Flächen $c = (a : -\frac{1}{2}b : -\frac{1}{6}c)$ und $x = (a : \frac{5}{4}b : \infty c)$ gegeben ist.

Die Gleichung für diese Zone:

$$\frac{4}{a} = \frac{5}{b} - \frac{7}{3 \cdot c}$$

Die Parameter unserer Fläche $\pi : a = 1, b = \frac{2}{3}, c = \frac{2}{3}$ erfüllen diese Gleichung.

Die Fläche des Klinodomas $b = (a : \infty b : \frac{1}{6}c)$ liegt in folgenden Zonen:

1) In der Zone, welche durch die Flächen $u = (a : \frac{3}{2}b : \frac{3}{2}c)$ und $d = (a : \frac{7}{6}b : -\frac{7}{6}c)$ gegeben ist.

Die Gleichung für diese Zone:

$$\frac{6}{a} = \frac{8}{b} + \frac{1}{c}$$

Die Parameter unserer Fläche $b : a = 1, b = \infty, c = \frac{1}{6}$ erfüllen diese Gleichung.

2) In der Zone, welche durch die Flächen $d = (a : \frac{7}{6}b : \frac{7}{6}c)$ und $w = (a : \frac{2}{3}b : \frac{1}{3}c)$ gegeben ist.

Die Gleichung für diese Zone:

$$\frac{1}{a} = \frac{1}{b} + \frac{1}{6 \cdot c}$$

Die Parameter unserer Fläche $b : a = 1$, $b = \infty$, $c =$
füllen diese Gleichung.

3) In der Zone, welche durch die Flächen $M = (a : b$
 $\pi = (a : \frac{2}{3}b : -\frac{2}{3}c)$ gegeben ist.

Die Gleichung für diese Zone:

$$\frac{6}{a} = \frac{5}{b} + \frac{1}{c}$$

Die Parameter unserer Fläche $b : a = 1$, $b = \infty$, $c =$
len diese Gleichung.

4) In der Zone, welche durch die Flächen $v = (a : b$
 $\pi = (a : \frac{2}{3}b : \frac{2}{3}c)$ gegeben ist.

Die Gleichung für diese Zone:

$$\frac{2}{a} - \frac{1}{b} = \frac{1}{3 \cdot c}$$

Die Parameter unserer Fläche $b : a = 1$, $b = \infty$, $c =$
len diese Gleichung.

5) In der Zone, welche durch die Flächen $c = (a : -$
und $i = (\infty a : b : \infty c)$ gegeben ist.

Die Gleichung für diese Zone:

$$\frac{6}{a} = \frac{1}{c}$$

Die Parameter unserer Fläche $b : a = 1$, $b = \infty$, $c =$
len diese Gleichung.

6) In der Zone, welche durch die Flächen $o = (\infty a : b : c)$ und $m = (a : -\frac{1}{3}b : \frac{1}{3}c)$ gegeben ist.

Die Gleichung für diese Zone:

$$\frac{6}{a} + \frac{1}{b} = \frac{1}{c}$$

Die Parameter unserer Fläche $b : a = 1, b = \infty, c = \frac{1}{6}$ erfüllen diese Gleichung.

7) In der Zone, welche durch die Flächen $m = (a : -\frac{1}{3}b : -\frac{1}{3}c)$ und $y = (a : -\frac{1}{2}b : \infty c)$ gegeben ist.

Die Gleichung für diese Zone:

$$\frac{6}{a} + \frac{3}{b} = \frac{1}{c}$$

Die Parameter unserer Fläche $b : a = 1, b = \infty, c = \frac{1}{6}$ erfüllen diese Gleichung.

8) In der Zone, welche durch die Flächen $s = (a : -b : -\frac{1}{3}c)$ und $\alpha = (a : -\frac{2}{3}b : \infty c)$ gegeben ist.

Die Gleichung für diese Zone:

$$\frac{2}{a} + \frac{3}{b} = \frac{1}{3 \cdot c}$$

Die Parameter unserer Fläche $b : a = 1, b = \infty, c = \frac{1}{6}$ erfüllen diese Gleichung.

Durch Messung, mit Hilfe des gewöhnlichen Wollaston'schen Reflexionsgoniometers, aber nur aufsehr unvollkommne Weise, habe ich erhalten.

$$M : P = \text{ungefähr } 113^\circ 45'$$

$$(\text{Nach Rechnung} = 113^\circ 56' 52'')$$

$$\pi : P = \text{ungefähr } 102^\circ 40'$$

$$(\text{Nach Rechnung} = 102^\circ 39' 6'')$$

$c : w$
(Nach Rechnung = ungefähr $41^\circ 20'$
über P) = ungefähr $41^\circ 30' 55''$)

$t : P$ = ungefähr $108^\circ 35'$
(Nach Rechnung = $108^\circ 14' 13''$)

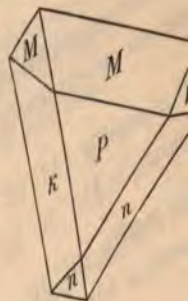
$b : P$ = ungefähr $102^\circ 20'$
(Nach Rechnung = $102^\circ 23' 20''$)

$b : t$
(über P) = ungefähr $31^\circ 0'$
(Nach Rechnung = $30^\circ 37' 35''$)

Krystall № 5, vom Ural

Dieser Krystall hat ein vollkommen hexagonales
basisches Pinakoid $P = oP$ erscheint als ein I
am besten aus der Fig. 7 zu ersehen ist.

Fig. 7.



Im Krystall № 5 wurden folgende Formen bestimmt:

$$\begin{aligned} M &= +P \\ n &= -2P \\ k &= (3P\infty) \\ P &= oP \end{aligned}$$

Durch Messung, aber auf sehr unvollkommene Weise, mit Hilfe des gewöhnlichen Wollaston'schen Reflexionsgoniometers, habe ich folgendes erhalten:

$$M : P = \text{ungefähr } 114^\circ 0'$$

$$(\text{Nach Rechnung} = 113^\circ 56' 52'')$$

$$n : P = \text{ungefähr } 118^\circ 25'$$

$$(\text{Nach Rechnung} = 118^\circ 33' 42'')$$

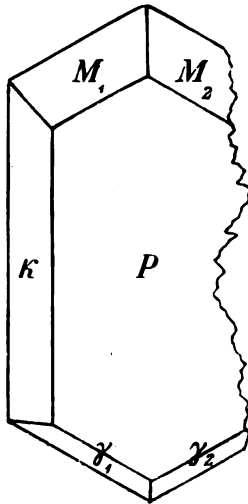
$$k : P = \text{ungefähr } 115^\circ 0' \text{ sehr unbefriedigend.}$$

$$(\text{Nach Rechnung} = 113^\circ 43' 2'')$$

Krystall № 6, vom südlichen Ural im District Ufaleisk, in der Nähe der Goldsüfse Karkaralinsk.

Dieser Krystall ist hier auf beigefügter Fig. 8 dargestellt.

Fig. 8.



Ich habe an demselben folgende Formen bestimmt.

$$\begin{aligned} P &= \text{oP} \\ k &= (3P\infty) \\ M &= + P \\ \gamma &= -\frac{7}{2}P \end{aligned}$$

Ich konnte nur die Winkel $\gamma, : P$ und $\gamma, : M$, ziemlich gut messen, alle anderen Messungen waren sehr unvollkommen. Die Form γ ist eine neue Form.

Mit Hilfe des gewöhnlichen Wollaston'schen Goniometers, habe ich folgende Resultate erhalten:

$$\begin{array}{l} \gamma, : P \\ \text{Erste Aufstellung} \end{array} \} = 111^\circ 48' \text{ gut (1)}$$

$$\begin{array}{l} \text{Derselbe Winkel,} \\ \text{Zweite Aufstellung} \end{array} \} = 111^\circ 50' \text{ gut}$$

$$\begin{array}{r} 111 \quad 52 \quad \text{„} \\ \hline \text{Mittel} = 111^\circ 51' 0'' \text{ (2)} \end{array}$$

$$\begin{array}{l} \text{Derselbe Winkel,} \\ \text{Dritte Aufstellung} \end{array} \} = 112^\circ 2' \text{ gut (3)}$$

$$\begin{array}{l} \text{Derselbe Winkel,} \\ \text{Vierte Aufstellung} \end{array} \} = 112^\circ 2' \text{ gut}$$

$$\begin{array}{r} 111 \quad 57 \quad \text{„} \\ 111 \quad 56 \quad \text{„} \\ 111 \quad 50 \quad \text{„} \\ \hline \text{Mittel} = 111^\circ 56' 15'' \text{ (4)} \end{array}$$

Also Mittel aus (1), (2), (3) und (4) wird:

$$\begin{aligned} \gamma : P &= 111^\circ 54' 19'' \\ (\text{Nach Rechnung} &= 111^\circ 57' 23'') \end{aligned}$$

$$\begin{aligned} \gamma, : M &= 73^\circ 30' \text{ passend.} \\ (\text{Nach Rechnung} &= 74^\circ 12' 40'') \end{aligned}$$

$M_1 : P =$ ungefähr 113° unbefriedigend.

(Nach Rechnung = $113^\circ 56' 52''$)

$k : P =$ ungefähr 114° unbefriedigend.

(Nach Rechnung = $113^\circ 43' 2''$)

Es ist zu bemerken, dass die Flächen der neuen Hemipyramide $\gamma = -\frac{2}{3}P$ in keine von den bis jetzt bekannten Zonen des Klinochlors fallen. Aus diesem Grunde habe ich versucht die Form γ mit den anderen Formen zu vergleichen. Durch diese Versuche bin ich zu dem Schlusse gelangt, dass dieselbe einfach als negative Hemipyramide $-\frac{2}{3}P$ angesehen werden muss.

Ausser den oben beschriebenen, habe ich noch mehrere andere Kotschubekrystalle gemessen, welche sich wenig zu guten Messungen eigneten und sehr einfache Combinationen darboten. In diesen letzteren Krystallen bin ich grösstentheils den Winkeln ungefähr 114° und 111° bis 112° begegnet; daher waren die Formen, welche in die Combinationen der Krystalle eintraten, wahrscheinlich: $M = +P$, $\gamma = -\frac{2}{3}P$ und $k = (3P\infty)$.

Wenn man alles, was oben gesagt wurde, in Rücksicht nimmt, so kommt man zu folgendem hauptsächlichsten Schlusse:

a) Die Kotschubekrystalle haben ganz dieselbe Krystallisation und dieselben Winkel der Klinochlorkrystalle. Also der wesentlichste Unterschied zwischen dem Klinochlor und Kotschubek besteht nur in der schönen rothen Farbe des letzteren.

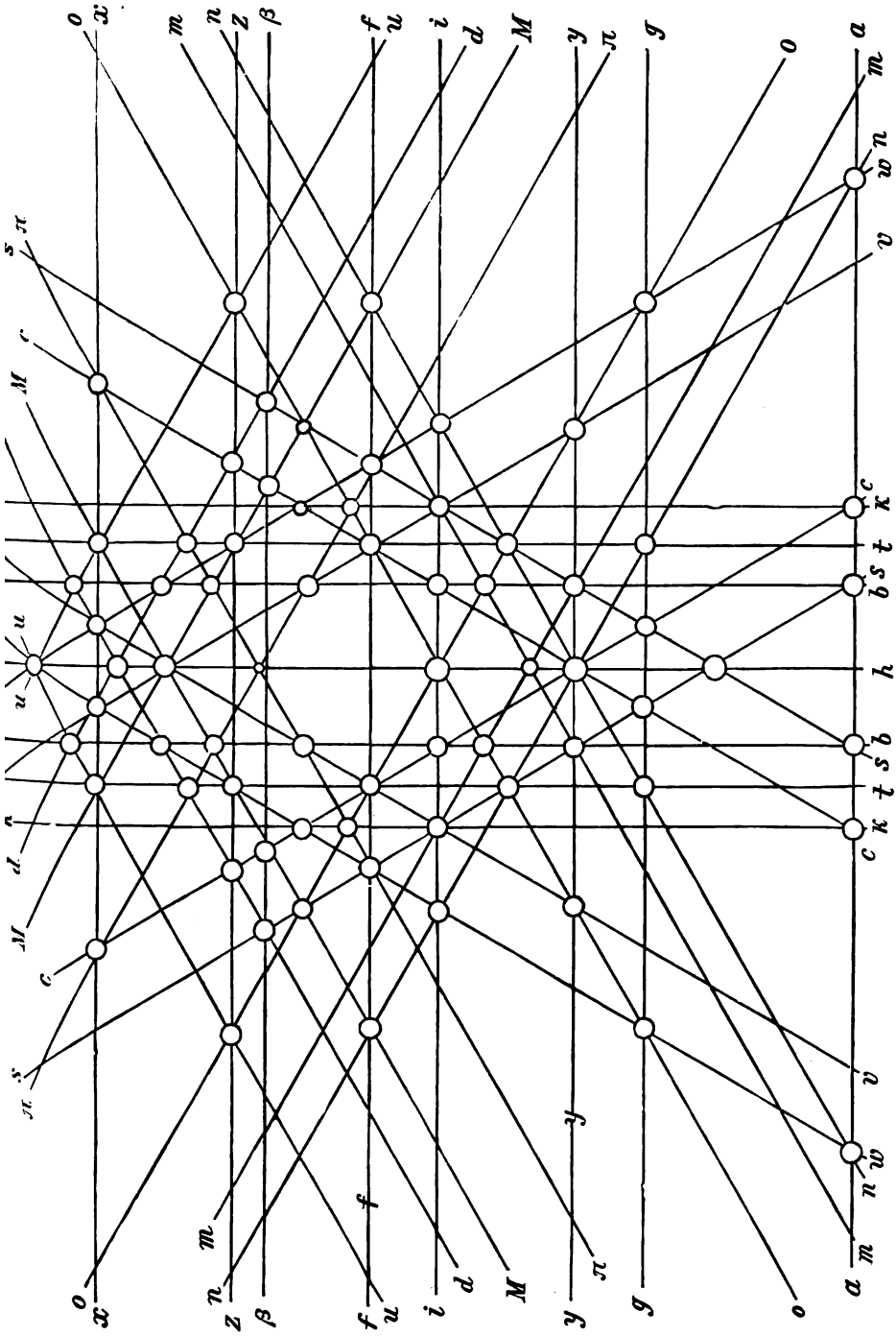
b) In den Kotschubekrystallen begegnet man einige Formen, welche bis jetzt in den Klinochlorkrystallen noch nicht beobachtet worden waren.

c) Die neuen Formen der Kotschubeitkrystalle

Nach Naumann's neuem
Axenverhältniss.

$$\begin{aligned} \pi &= + \frac{3}{2}P & . & . & . & . & . & . \\ \gamma &= - \frac{7}{2}P & . & . & . & . & . & . \\ \beta &= + \frac{8}{5}P\infty & . & . & . & . & . & . \\ a &= - \frac{12}{3}P\infty & . & . & . & . & . & . \\ g &= - \frac{4}{3}P\infty & . & . & . & . & . & . \\ b &= (6P\infty) & . & . & . & . & . & . \end{aligned}$$

Zur besseren Uebersicht in welchem Verhältniss die neuen Krystallformen des Kotschubeits zu den alten Krystallformen des Kotschubeits stehen, füge ich hier eine graphische Darstellung der neuen Kotschubeit- und Kotschubeitformen, nach Naumann'scher Methode bei.



d) Für die neuen Formen der Kotschubeitkrystalle berechnen sich folgende Winkel, aus Naumann's Axenverhältniss:

$$\pi = + \frac{3}{2}P$$

$$X = 60^{\circ} 48' 0''$$

$$Y = 39 52 45$$

$$Z = 77 20 54$$

$$\mu = 28^{\circ} 27' 52''$$

$$\nu = 75 28 8$$

$$\rho = 40 27 27$$

$$\sigma = 60 0 0$$

$$\gamma = - \frac{7}{3}P$$

$$X' = 62^{\circ} 22' 18''$$

$$Y' = 29 35 2$$

$$Z' = 68 2 37$$

$$\mu' = 11^{\circ} 1' 44''$$

$$\nu' = 65 2 16$$

$$\rho = 20 4 36$$

$$\sigma = 60 0 0$$

$$\beta = + \frac{2}{3}P_{\infty}$$

$$X = 90^{\circ} 0' 0''$$

$$Y = 26 44 59$$

$$Z = 77 11 1$$

$$a = - \frac{2}{3}P_{\infty}$$

$$X' = 90^{\circ} 0' 0''$$

$$Y' = 40 19 29$$

$$Z' = 35 44 31$$

— 61 —

$$g = -\frac{4}{3}P\infty$$

$$X' = 90^\circ 0' 0''$$

$$Y' = 25 22 38$$

$$Z' = 50 41 22$$

$$b = (6P\infty)$$

$$X = 12^\circ 23' 20''$$

$$Y = 92 57 41$$

$$Z = 77 36 40$$

Nach Rechnung, aus *meinem alten* Axenverhältnisse, für die neuen in den Kotschubetitkrystallen bestimmten Formen, berechnen sich folgende Winkel:

$$\pi = + 3P$$

$$X = 60^\circ 47' 59''$$

$$Y = 31 35 10$$

$$Z = 102 39 33$$

$$\mu' = 12^\circ 36' 48''$$

$$\nu' = 104 32 24$$

$$\rho = 21 20 30$$

$$\sigma = 59 59 55$$

$$\gamma = + \frac{7}{9}P$$

$$X = 62^\circ 21' 58''$$

$$Y = 57 1 26$$

$$Z = 68 3 50$$

$$\mu = 52^\circ 5' 37''$$

$$\nu = 65 3 35$$

$$\rho = 56 26 3$$

$$\sigma = 59 59 55$$

$$a = + \frac{2}{5} P \infty$$

$$X = 90^\circ 0' 0''$$

$$Y = 81 23 41$$

$$Z = 35 45 31$$

$$g = + \frac{4}{7} P \infty$$

$$X = 90^\circ 0' 0''$$

$$Y = 66 26 34$$

$$Z = 50 42 38$$

$$\beta = + \frac{2}{3} P \infty$$

$$X = 90^\circ 0' 0''$$

$$Y = 14 19 39$$

$$Z = 102 49 33$$

$$b = (6P \infty)$$

$$X = 12^\circ 23' 0''$$

$$Y = 95 37 0$$

$$Z = 77 37 0$$

Ferner erhält man durch Rechnung:

	Nach Naumann's neuem Axenverhältniss	Nach Axe
$\pi : P$	102° 39' 6''	10
$\pi : i$	140 7 15	14
$\pi : h$	119 12 0	11
$\pi : \pi$ } Klinod. Polkante	121 36 0	12
$\pi : M$ } anliegende	168 42 14	16
$\pi : d$ } über M	163 40 0	16

	Nach Naumann's neuem Axenverhältniss.	Nach meinem alten Axenverhältniss.
$\pi : u$ über M und d } 154° 55' 29''	154° 55' 29''	154° 56' 9''
$\pi : o$ anliegende } 155 13 21	155 13 21	155 13 57
$\pi : n$ über P } 41 12 48	41 12 48	41 12 0
$\pi : m$ über P } 36 8 14	36 8 14	36 7 29
$\pi : \gamma$ über P } 34 36 29	34 36 29	34 35 43
$\pi : \vartheta$ anliegende } 150 48 0	150 48 0	150 48 0
$\pi : a$	71 35 22	71 34 58
$\pi : g$	59 0 1	58 59 24
$\pi : \beta$ anliegende } 150 45 15	150 45 15	150 45 13
$\pi : f$	146 11 42	146 11 55
$\pi : z$	150 37 31	150 37 31
$\pi : x$	144 48 26	144 48 44
$\pi : y$	53 12 44	53 12 7
$\gamma : P$	111 57 23	111 56 10
$\gamma : i$	150 24 58	150 24 33
$\gamma : h$	117 37 42	117 38 2
$\gamma : \gamma$ Klinod. Polkante } 124 44 36	124 44 36	124 43 56
$\gamma : o$ anliegende } 170 10 10	170 10 10	170 10 20
$\gamma : m$ anliegende } 178 28 15	178 28 15	178 28 14
$\gamma : n$ über m } 173 23 41	173 23 41	173 23 43
$\gamma : u$ über P } 59 41 0	59 41 0	59 39 34
$\gamma : d$ über P } 50 56 29	50 56 29	50 55 15
$\gamma : M$ über P } 45 54 15	45 54 15	45 53 9

Nach Naumann's neuem
Axenverhältniss.

Nach
A3

$\gamma : \beta$	45° 33' 8"	
$\gamma : y$	151 31 23	1
$\gamma : g$	149 7 50	1
$\gamma : a$	140 35 37	1
$\gamma : x$	63 46 3	
$\gamma : z$	49 29 14	
$\gamma : f$	34 34 0	
$\beta : P$	102 48 59	1
$\beta : i$	153 15 1	1
$\beta : h$	90 0 0	
$\beta : f$ anliegende	} 163 52 20	1
$\beta : z$ anliegende	} 174 56 10	1
$\beta : x$ über z	} 157 42 22	1
$\beta : y$ über P	} 44 58 6	
$\beta : g$ über P	} 52 7 37	
$\beta : a$ über P	} 67 4 28	
$\beta : M$ anliegende	} 149 31 7	1
$\beta : d$ anliegende	} 147 47 53	1
$\beta : u$ anliegende	} 143 28 45	1
$\beta : n$	50 32 10	
$\beta : m$	46 40 40	
$\beta : k$	95 7 8	
$\beta : t$	93 58 50	
$\beta : o$	141 10 11	1
$a : P$	144 15 29	1

	Nach Naumann's neuem Axenverhältniss.	Nach meinem alten Axenverhältniss.
$a : i$	139° 40' 31''	139° 40' 19''
$a : h$	90 0 0	90 0 0
$a : o$	131 41 20	131 41 5
$a : k$	109 3 16	109 2 33
$a : t$	104 42 53	104 42 18
$a : b$	100 1 43	100 1 19
$a : n$	146 20 34	146 20 5
$a : m$	141 56 45	141 56 20
$a : u$	95 32 24	95 31 16
$a : d$	87 10 48	87 9 54
$a : M$	82 21 52	82 21 6
$a : y$ über g	} 157 53 38	157 53 19
$a : g$ anliegende	} 165 3 9	165 2 53
$a : x$ über P	} 89 22 6	89 21 3
$a : z$ über P	} 72 8 18	72 7 43
$a : f$ über P	} 50 56 48	50 56 49
$a : c$	121 27 56	121 27 25
$a : s$	128 46 55	128 46 14
$a : w$	93 41 20	93 40 35
$a : v$	85 20 10	85 19 43
$g : P$	129 18 38	129 17 22
$g : i$	154 37 22	154 37 26
$g : h$	90 0 0	90 0 0
$g : o$	142 1 0	142 0 54
$g : k$	104 45 46	104 45 0
$g : t$	101 26 6	101 25 30
$g : b$	97 48 43	97 48 17

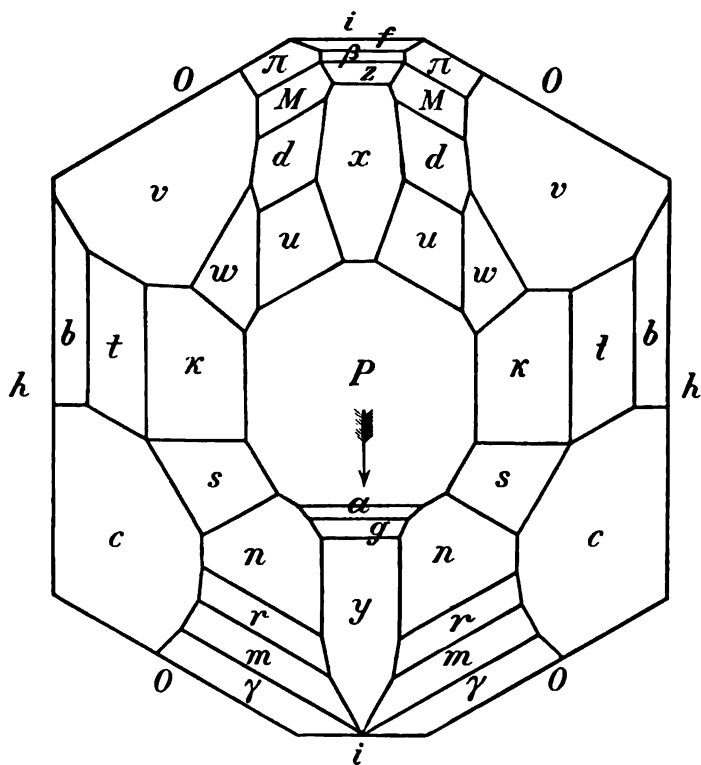
Nach Naumann's neuem
Axenverhältniss.

Na
A

$g : y$ anliegende	}	172° 50' 29''	1
$g : x$ über P	}	74 25 15	
$g : z$ über P	}	57 11 27	
$g : f$ über P	}	35 59 57	
$g : n$		153 3 3	1
$g : m$		150 6 54	1
$g : u$		81 49 3	
$g : d$		73 47 30	
$g : M$		69 11 35	
$g : c$		123 59 15	1
$g : s$		129 6 21	1
$g : w$		84 33 25	
$g : v$		77 26 40	
$b : P$		102 23 20	1
$b : i$	}	87 2 19	
	}	92 57 41	
$b : h$		167 36 40	1
$b : t$ anliegende	}	174 9 7	1
$b : k$ über t	}	168 40 18	1
$b : k$ über P	}	36 6 22	
$b : t$ über P	}	30 37 33	
$b : b$ über P	}	24 46 40	
$b : b$ über h	}	155 13 20	1

Auf der nachstehenden Figur sind alle Formen des Kotschubeits zusammen mit denen des Klinochlors gezeichnet.

Fig. 10.



e) Hauptsächlichste Zonen der Klinochlor- und Kotschubeit-Krystalle.

1) Zone, welche z. B. durch die Flächen $u = (a : \frac{2}{3}b : \frac{2}{3}c)$ und $z = (a : \frac{3}{4}b : \infty c)$ gegeben ist; ihre Gleichung:

$$\frac{4}{3 \cdot a} = \frac{1}{b} + \frac{1}{c}$$

In dieser Zone liegen folgende Flächen:

$$o = (\infty a : -b : c)$$

$$u = (a : \frac{3}{2}b : \frac{3}{2}c)$$

$$z = (a : \frac{3}{4}b : \infty c)$$

2) Zone, welche z. B. durch die Flächen $d = (a : \frac{7}{6}b : \frac{7}{6}c)$ und $s = (a : -b : \frac{1}{3}c)$ gegeben ist; ihre Gleichung:

$$\frac{8}{a} - \frac{5}{b} = \frac{13}{3 \cdot c}$$

In dieser Zone liegen folgende Flächen:

$$\beta = (a : \frac{5}{8}b : \infty c)$$

$$d = (a : \frac{7}{6}b : \frac{7}{6}c)$$

$$s = (a : -b : \frac{1}{3}c)$$

3) Zone, welche z. B. durch die Flächen $x = (a : \frac{3}{4}b : \infty c)$ und $c = (a : -\frac{1}{3}b : \frac{1}{6}c)$ gegeben ist; ihre Gleichung:

$$\frac{4}{a} - \frac{5}{b} = \frac{7}{3 \cdot c}$$

In dieser Zone liegen folgende Flächen:

$$\pi = (a : \frac{3}{3}b : -\frac{2}{3}c)$$

$$x = (a : \frac{3}{4}b : \infty c)$$

$$c = (a : -\frac{1}{3}b : \frac{1}{6}c)$$

4) Zone, welche z. B. durch die Flächen $w = (a : \frac{3}{2}b : \frac{1}{2}c)$ und $f = (a : \frac{1}{4}b : \infty c)$ gegeben ist; ihre Gleichung:

$$\frac{4}{a} - \frac{4}{b} = \frac{5}{3 \cdot c}$$

In dieser Zone liegen folgende Flächen:

$$\pi = (a : \frac{2}{3}b : \frac{2}{3}c)$$

$$w = (a : \frac{3}{2}b : \frac{1}{2}c)$$

$$s = (a : -b : \frac{1}{3}c)$$

$$f = (a : \frac{1}{4}b : \infty c)$$

5) Zone, welche z. B. durch die Flächen $w = (a : \frac{3}{2}b : \frac{1}{2}c)$ und $n = (a : -\frac{1}{2}b : \frac{1}{3}c)$ gegeben ist; ihre Gleichung:

$$\frac{2}{a} = \frac{1}{c}$$

In dieser Zone liegen folgende Flächen:

$$i = (\infty a : b : \infty c)$$

$$w = (a : \frac{3}{2}b : \frac{1}{2}c)$$

$$n = (a : -\frac{1}{2}b : \frac{1}{3}c)$$

6) Zone, welche z. B. durch die Flächen $f = (a : \frac{1}{4}b : \infty c)$ und $M = (a : b : c)$ gegeben ist; ihre Gleichung:

$$\frac{4}{a} = \frac{1}{b} + \frac{3}{c}$$

In dieser Zone liegen folgende Flächen:

$$M = (a : b : c)$$

$$n = (a : -\frac{1}{2}b : \frac{1}{3}c)$$

$$f = (a : \frac{1}{4}b : \infty c)$$

7) Zone, welche z. B. durch die Flächen $M = (a : b : c)$ und $c = (a : -\frac{1}{2}b : \frac{1}{3}c)$ gegeben ist; ihre Gleichung:

$$\frac{8}{a} - \frac{5}{b} = \frac{3}{c}$$

In dieser Zone liegen folgende Flächen:

$$\begin{aligned}\beta &= (a : \frac{5}{8}b : \infty c) \\ M &= (a : b : c) \\ c &= (a : -\frac{1}{2}b : \frac{1}{6}c)\end{aligned}$$

8) Zone, welche z. B. durch die Flächen $k = (a : \infty b : \frac{1}{3}c)$ und $w = (a : \frac{2}{3}b : \frac{1}{3}c)$ gegeben ist; ihre Gleichung:

$$\frac{1}{a} - \frac{1}{2 \cdot b} = \frac{1}{3 \cdot c}$$

In dieser Zone liegen folgende Flächen:

$$\begin{aligned}k &= (a : \infty b : \frac{1}{3}c) \\ c &= (a : -\frac{1}{2}b : \frac{1}{6}c) \\ w &= (a : \frac{2}{3}b : \frac{1}{3}c)\end{aligned}$$

9) Zone, welche z. B. durch die Flächen $k = (a : \infty b : \frac{1}{3}c)$ und $\pi = (a : \frac{2}{3}b : \frac{2}{3}c)$ gegeben ist; ihre Gleichung:

$$\frac{3}{a} - \frac{1}{b} = \frac{1}{c}$$

In dieser Zone liegen folgende Flächen:

$$\begin{aligned}\pi &= (a : \frac{2}{3}b : \frac{2}{3}c) \\ o &= (\infty a : -b : c) \\ k &= (a : \infty b : \frac{1}{3}c)\end{aligned}$$

10) Zone, welche z. B. durch die Flächen $k = (a : \infty b : \frac{1}{3}c)$ und $v = (a : b : \frac{1}{3}c)$ gegeben ist; ihre Gleichung:

$$\frac{3}{a} = \frac{1}{c}$$

In dieser Zone liegen folgende Flächen:

$$\begin{aligned}k &= (a : \infty b : \frac{1}{3}c) \\i &= (\infty a : b : \infty c) \\v &= (a : b : \frac{1}{3}c) \\m &= (a : -\frac{1}{3}b : \frac{1}{3}c) \\s &= (a : -b : \frac{1}{3}c)\end{aligned}$$

11) Zone, die z. B. durch die Flächen $t = (a : \infty b : \frac{1}{4}c)$ und $x = (a : \frac{5}{4}b : \infty c)$ gegeben ist; ihre Gleichung:

$$\frac{4}{a} = \frac{5}{b} + \frac{1}{c}$$

In dieser Zone liegen folgende Flächen:

$$\begin{aligned}M &= (a : b : -c) \\u &= (a : \frac{3}{2}b : \frac{3}{2}c) \\t &= (a : \infty b : \frac{1}{4}c) \\x &= (a : \frac{5}{4}b : \infty c)\end{aligned}$$

12) Zone, welche z. B. durch die Flächen $t = (a : \infty b : \frac{1}{4}c)$ und $d = (a : \frac{7}{6}b : \frac{7}{6}c)$ gegeben ist; ihre Gleichung:

$$\frac{4}{a} = \frac{11}{3 \cdot b} + \frac{1}{c}$$

In dieser Zone liegen folgende Flächen:

$$\begin{aligned}\pi &= (a : \frac{2}{3}b : -\frac{2}{3}c) \\d &= (a : \frac{7}{6}b : \frac{7}{6}c) \\t &= (a : \infty b : \frac{1}{4}c)\end{aligned}$$

13) Zone, welche z. B. durch die Flächen $z = (a : \frac{3}{4}b : \infty c)$ und $t = (a : \infty b : \frac{1}{4}c)$ gegeben ist; ihre Gleichung:

$$\frac{4}{a} = \frac{3}{b} + \frac{1}{c}$$

In dieser Zone liegen folgende Flächen:

$$\begin{aligned} z &= (a : \frac{3}{4}b : \infty c) \\ t &= (a : \infty b : \frac{1}{4}c) \\ M &= (a : b : c) \\ w &= (a : \frac{3}{4}b : \frac{1}{2}c) \end{aligned}$$

14) Zone, welche z. B. durch die Flächen $z = (a : \frac{3}{4}b : \infty c)$ und $c = (a : -\frac{1}{2}b : \frac{1}{6}c)$ gegeben ist; ihre Gleichung:

$$\frac{4}{a} = \frac{3}{b} + \frac{5}{3 \cdot c}$$

In dieser Zone liegen folgende Flächen:

$$\begin{aligned} c &= (a : -\frac{1}{2}b : \frac{1}{6}c) \\ d &= (a : \frac{7}{6}b : \frac{7}{6}c) \\ z &= (a : \frac{3}{4}b : \infty c) \end{aligned}$$

15) Zone, welche z. B. durch die Flächen $M = (a : b : c)$ und $s = (a : -b : \frac{1}{3}c)$ gegeben ist; ihre Gleichung:

$$\frac{2}{a} = \frac{1}{b} + \frac{1}{c}$$

In dieser Zone liegen folgende Flächen:

$$\begin{aligned} o &= (\infty a : -b : c) \\ M &= (a : b : c) \\ s &= (a : -b : \frac{1}{3}c) \end{aligned}$$

16) Zone, welche z. B. durch die Flächen $f = (a : \frac{1}{4}b : \infty c)$
und $v = (a : b : \frac{1}{3}c)$ gegeben ist; ihre Gleichung:

$$\frac{4}{a} = \frac{1}{b} + \frac{1}{c}$$

In dieser Zone liegen folgende Flächen:

$$\begin{aligned} t &= (a : \infty b : \frac{1}{4}c) \\ f &= (a : \frac{1}{4}b : \infty c) \\ o &= (\infty a : -b : c) \\ v &= (a : b : \frac{1}{3}c) \\ c &= (a : -\frac{1}{4}b : \frac{1}{6}c) \end{aligned}$$

17) Zone, welche z. B. durch die Flächen $b = (a : \infty b : \frac{1}{6}c)$
und $u = (a : \frac{3}{2}b : \frac{3}{2}c)$ gegeben ist; ihre Gleichung:

$$\frac{6}{a} = \frac{8}{b} + \frac{1}{c}$$

In dieser Zone liegen folgende Flächen:

$$\begin{aligned} b &= (a : \infty b : \frac{1}{6}c) \\ u &= (a : \frac{3}{2}b : \frac{3}{2}c) \\ d &= (a : \frac{7}{6}b : -\frac{7}{6}c) \end{aligned}$$

18) Zone, welche z. B. durch die Flächen $b = (a : \infty b : \frac{1}{6}c)$
und $w = (a : \frac{3}{2}b : \frac{1}{2}c)$ gegeben ist; ihre Gleichung:

$$\frac{1}{a} = \frac{1}{b} + \frac{1}{6 \cdot c}$$

In dieser Zone liegen folgende Flächen:

$$\begin{aligned} b &= (a : \infty b : \frac{1}{6}c) \\ d &= (a : \frac{7}{6}b : \frac{7}{6}c) \\ w &= (a : \frac{3}{2}b : \frac{1}{2}c) \end{aligned}$$

19) Zone, welche z. B. durch die Flächen $b = (a : \infty b : \frac{1}{6}c)$ und $M = (a : b : c)$ gegeben ist; ihre Gleichung:

$$\frac{6}{a} = \frac{5}{b} + \frac{1}{c}$$

In dieser Zone liegen folgende Flächen:

$$\begin{aligned} b &= (a : \infty b : \frac{1}{6}c) \\ M &= (a : b : c) \\ \pi &= (a : \frac{2}{3}b : -\frac{2}{3}c) \end{aligned}$$

20) Zone, welche z. B. durch die Flächen $b = (a : \infty b : \frac{1}{6}c)$ und $v = (a : b : \frac{1}{3}c)$ gegeben ist; ihre Gleichung:

$$\frac{2}{a} - \frac{1}{b} = \frac{1}{3 \cdot c}$$

In dieser Zone liegen folgende Flächen:

$$\begin{aligned} \pi &= (a : \frac{2}{3}b : \frac{2}{3}c) \\ v &= (a : b : \frac{1}{3}c) \\ b &= (a : \infty b : \frac{1}{6}c) \end{aligned}$$

21) Zone, welche z. B. durch die Flächen $b = (a : \infty b : \frac{1}{6}c)$ und $c = (a : -\frac{1}{3}b : \frac{1}{6}c)$ gegeben ist; ihre Gleichung:

$$\frac{1}{a} = \frac{1}{6 \cdot c}$$

In dieser Zone liegen folgende Flächen:

$$\begin{aligned} b &= (a : \infty b : \frac{1}{6}c) \\ i &= (\infty a : b : \infty c) \\ c &= (a : -\frac{1}{3}b : \frac{1}{6}c) \end{aligned}$$

22) Zone, welche z. B. durch die Flächen $x = (a : \frac{5}{4}b : \infty c)$ und $w = (a : \frac{2}{3}b : \frac{1}{2}c)$ gegeben ist; ihre Gleichung:

$$\frac{4}{a} = \frac{5}{b} + \frac{1}{3 \cdot c}$$

In dieser Zone liegen folgende Flächen:

$$\begin{aligned} x &= (a : \frac{5}{4}b : \infty c) \\ w &= (a : \frac{2}{3}b : \frac{1}{2}c) \\ v &= (a : b : -\frac{1}{3}c) \\ d &= (a : \frac{7}{6}b : -\frac{7}{6}c) \end{aligned}$$

23) Zone, welche z. B. durch die Flächen $z = (a : \frac{3}{4}b : \infty c)$ und $v = (a : b : \frac{1}{3}c)$ gegeben ist; ihre Gleichung:

$$\frac{4}{a} = \frac{3}{b} + \frac{1}{3 \cdot c}$$

In dieser Zone liegen folgende Flächen:

$$\begin{aligned} \pi &= (a : \frac{2}{3}b : -\frac{2}{3}c) \\ v &= (a : b : \frac{1}{3}c) \\ z &= (a : \frac{3}{4}b : \infty c) \end{aligned}$$

24) Zone, welche z. B. durch die Flächen $u = (a : \frac{3}{2}b : \frac{2}{3}c)$ und $w = (a : \frac{3}{2}b : \frac{1}{2}c)$ gegeben ist (Klinod. Polkantenzone der Hemipyramiden u und w) gegeben ist; ihre Gleichung:

$$\frac{2}{a} = \frac{3}{b}$$

In dieser Zone liegen folgende Flächen:

$$h = (\infty a : \infty b : c)$$

$$u = (a : \frac{3}{2}b : \frac{3}{2}c)$$

$$u = (a : \frac{3}{2}b : -\frac{3}{2}c)$$

$$w = (a : \frac{3}{2}b : \frac{1}{2}c)$$

$$w = (a : \frac{3}{2}b : -\frac{1}{2}c)$$

25) Zone, welche z. B. durch die Flächen $h = (\infty a : \infty b : c)$ und $d = (a : \frac{7}{6}b : \frac{7}{6}c)$ gegeben ist (Klinod. Polkantenzone der Hemipyramide d) gegeben ist; ihre Gleichung:

$$\frac{6}{a} = \frac{7}{b}$$

In dieser Zone liegen folgende Flächen:

$$h = (\infty a : \infty b : c)$$

$$d = (a : \frac{7}{6}b : \frac{7}{6}c)$$

$$d = (a : \frac{7}{6}b : -\frac{7}{6}c)$$

26) Zone, welche z. B. durch die Flächen $h = (\infty a : \infty b : c)$ und $M = (a : b : c)$ (Klinod. Polkantenzone der Hemipyramiden M und v) gegeben ist; ihre Gleichung:

$$\frac{1}{a} = \frac{1}{b}$$

In dieser Zone liegen folgende Flächen:

$$M = (a : b : c)$$

$$M = (a : b : -c)$$

$$v = (a : b : \frac{1}{3}c)$$

$$v = (a : b : -\frac{1}{3}c)$$

$$h = (\infty a : \infty b : c)$$

27) Zone, welche z. B. durch die Flächen $h = (\infty a : \infty b : c)$ und $\pi = (a : \frac{2}{3}b : \frac{2}{3}c)$ gegeben ist; ihre Gleichung:

$$\frac{3}{a} = \frac{2}{b}$$

In dieser Zone liegen folgende Flächen:

$$h = (\infty a : \infty b : c)$$

$$\pi = (a : \frac{2}{3}b : \frac{2}{3}c)$$

$$\pi = (a : \frac{2}{3}b : -\frac{2}{3}c)$$

28) Zone, welche z. B. durch die Flächen $h = (\infty a : \infty b : c)$ und $i = (\infty a : b : \infty c)$ gegeben ist; ihre Gleichung:

$$\frac{1}{a} = 0$$

In dieser Zone liegen folgende Flächen:

$$h = (\infty a : \infty b : c)$$

$$i = (\infty a : b : \infty c)$$

$$o = (\infty a : b : c)$$

29) Zone, welche z. B. durch die Flächen $g = (a : -\frac{3}{4}b : \infty c)$ und $w = (a : \frac{3}{2}b : \frac{4}{3}c)$ gegeben ist; ihre Gleichung:

$$\frac{4}{3 \cdot a} + \frac{1}{b} = \frac{1}{c}$$

In dieser Zone liegen folgende Flächen:

$$o = (\infty a : b : c)$$

$$g = (a : -\frac{3}{4}b : \infty c)$$

$$w = (a : \frac{3}{2}b : \frac{4}{3}c)$$

30) Zone, welche z. B. durch die Flächen $y = (a : -\frac{1}{3}b : \infty c)$ und $v = (a : b : \frac{1}{3}c)$ gegeben ist; ihre Gleichung:

$$\frac{2}{a} + \frac{1}{b} = \frac{1}{c}$$

In dieser Zone liegen folgende Flächen:

$$\begin{aligned} y &= (a : -\frac{1}{3}b : \infty c) \\ o &= (\infty a : b : c) \\ v &= (a : b : \frac{1}{3}c) \end{aligned}$$

31) Zone, welche z. B. durch die Flächen $t = (a : \infty b : \frac{1}{3}c)$ und $s = (a : -b : \frac{1}{3}c)$ gegeben ist; ihre Gleichung:

$$\frac{4}{a} + \frac{1}{b} = \frac{1}{c}$$

In dieser Zone liegen folgende Flächen:

$$\begin{aligned} n &= (a : -\frac{1}{3}b : \frac{1}{3}c) \\ s &= (a : -b : \frac{1}{3}c) \\ o &= (\infty a : b : c) \\ t &= (a : \infty b : \frac{1}{3}c) \end{aligned}$$

32) Zone, welche z. B. durch die Flächen $b = (a : \infty b : \frac{1}{3}c)$ und $m = (a : -\frac{1}{3}b : \frac{1}{3}c)$ gegeben ist; ihre Gleichung:

$$\frac{6}{a} + \frac{1}{b} = \frac{1}{c}$$

In dieser Zone liegen folgende Flächen:

$$\begin{aligned} b &= (a : \infty b : \frac{1}{3}c) \\ o &= (\infty a : b : c) \\ m &= (a : -\frac{1}{3}b : \frac{1}{3}c) \end{aligned}$$

33) Zone, welche z. B. durch die Flächen $h = (\infty a : \infty b : c)$ und $m = (a : -\frac{1}{3}b : \frac{1}{3}c)$ gegeben ist; (Klinod. Polkanten-Zone der Hemipyramide m); ihre Gleichung:

$$\frac{3}{a} + \frac{1}{b} = 0$$

In dieser Zone liegen folgende Flächen:

$$\begin{aligned} h & (\infty a : \infty b : c) \\ m & (a : -\frac{1}{3}b : \frac{1}{3}c) \\ m & (a : -\frac{1}{3}b : -\frac{1}{3}c) \end{aligned}$$

34) Zone, welche z. B. durch die Flächen $n = (a : -\frac{1}{3}b : \frac{1}{3}c)$ und $c = (a : -\frac{1}{3}b : \frac{1}{6}c)$ gegeben ist (Klinod. Polkanten-Zone der Hemipyramiden c und n); ihre Gleichung:

$$\frac{2}{a} + \frac{1}{b} = 0$$

In dieser Zone liegen folgende Flächen:

$$\begin{aligned} h & = (\infty a : \infty b : c) \\ c & = (a : -\frac{1}{2}b : \frac{1}{6}c) \\ c & = (a : -\frac{1}{2}b : -\frac{1}{6}c) \\ n & = (a : -\frac{1}{2}b : \frac{1}{3}c) \\ n & = (a : -\frac{1}{2}b : -\frac{1}{3}c) \end{aligned}$$

35) Zone, welche z. B. durch die Flächen $l = (a : \infty b : \frac{1}{6}c)$ und $s = (a : -b : \frac{1}{3}c)$ gegeben ist; ihre Gleichung:

$$\frac{6}{a} + \frac{3}{b} = \frac{1}{c}$$

In dieser Zone liegen folgende Flächen:

$$\begin{aligned} b &= (a : \infty b : \frac{1}{3}c) \\ y &= (a : -\frac{1}{3}b : \infty c) \\ m &= (a : -\frac{1}{3}b : -\frac{1}{3}c) \\ s &= (a : -b : \frac{1}{3}c) \end{aligned}$$

36) Zone, welche z. B. durch die Flächen $t = (a : \infty b : \frac{1}{4}c)$ und $n = (a : -\frac{1}{2}b : -\frac{1}{2}c)$ gegeben ist; ihre Gleichung:

$$\frac{4}{a} + \frac{3}{b} = \frac{1}{c}$$

In dieser Zone liegen folgende Flächen:

$$\begin{aligned} t &= (a : \infty b : \frac{1}{4}c) \\ g &= (a : -\frac{3}{4}b : \infty c) \\ n &= (a : -\frac{1}{2}b : -\frac{1}{2}c) \end{aligned}$$

37) Zone, welche z. B. durch die Flächen $g = (a : -\frac{3}{4}b : \infty c)$ und $s = (a : -b : \frac{1}{3}c)$ gegeben ist; ihre Gleichung:

$$\frac{4}{a} + \frac{3}{b} = \frac{1}{3 \cdot c}$$

In dieser Zone liegen folgende Flächen:

$$\begin{aligned} s &= (a : -b : \frac{1}{3}c) \\ c &= (a : -\frac{1}{2}b : -\frac{1}{6}c) \\ g &= (a : -\frac{3}{4}b : \infty c) \end{aligned}$$

38) Zone, welche z. B. durch die Flächen $h = (\infty a : \infty b : c)$ und $s = (a : -b : \frac{1}{3}c)$ gegeben ist; ihre Gleichung:

$$\frac{1}{a} + \frac{1}{b} = 0$$

In dieser Zone liegen folgende Flächen:

$$h = (\infty a : \infty b : c)$$

$$s = (a : -b : \frac{1}{3}c)$$

$$s = (a : -b : -\frac{1}{3}c)$$

39) Zone, welche z. B. durch die Flächen $a = (a : -\frac{3}{2}b : \infty c)$ und $w = (a : \frac{2}{3}b : \frac{1}{3}c)$ gegeben ist; ihre Gleichung:

$$\frac{2}{a} + \frac{3}{b} = \frac{2}{c}$$

In dieser Zone liegen folgende Flächen:

$$a = (a : -\frac{3}{2}b : \infty c)$$

$$n = (a : -\frac{1}{2}b : -\frac{1}{2}c)$$

$$w = (a : \frac{2}{3}b : \frac{1}{3}c)$$

40) Zone, welche z. B. durch die Flächen $k = (a : \infty b : \frac{1}{3}c)$ und $c = (a : -\frac{1}{2}b : -\frac{1}{6}c)$ gegeben ist; ihre Gleichung:

$$\frac{1}{a} + \frac{3}{2 \cdot b} = \frac{1}{3 \cdot c}$$

In dieser Zone liegen folgende Flächen:

$$k = (a : \infty b : \frac{1}{3}c)$$

$$a = (a : -\frac{3}{2}b : \infty c)$$

$$c = (a : -\frac{1}{2}b : -\frac{1}{6}c)$$

41) Zone, welche z. B. durch die Flächen $b = (a : \infty b : \frac{1}{6}c)$ und $s = (a : -b : -\frac{1}{3}c)$ gegeben ist; ihre Gleichung:

$$\frac{2}{a} + \frac{3}{b} = \frac{1}{3 \cdot c}$$

In dieser Zone liegen folgende Flächen:

$$b = (a : \infty b : \frac{1}{6}c)$$

$$a = (a : -\frac{3}{2}b : \infty c)$$

$$s = (a : -b : -\frac{1}{3}c)$$

Vierter Anhang zum Diamant.

(Vergl. Bd. V, S. 373; Bd. VI, S. 188 und 249; Bd. VII, S. 152.)

Ganz neuerdings haben M. v. Jerofeieff und P. v. Latschinoff eine höchst wichtige Abhandlung «Der Meteorit von Nowo-Urei» publicirt*), welche in der ganzen gelehrten Welt ein ausserordentliches Aufsehen erregt hat. Die oben erwähnten Gelehrten haben nämlich die Anwesenheit der mikroskopischen Carbonate und Diamanten im Meteoritstein von Nowo-Urei entdeckt und dieselben zum ersten Mal in ihrer Abhandlung mit Ausführlichkeit beschrieben. Wegen der Wichtigkeit dieser Thatsache werden wir hier einen ausführlichen Auszug aus dieser Arbeit geben.

a) Die Umstände, unter welchen der Meteorit gefunden worden.

Zu Anfang des Jahres 1888 gelangte an das mineralogische Kabinet des kaiserlichen Forstinstituts zu St. Petersburg ein Meteorstein, welcher am $\frac{1}{2}$ September 1886 um 7 Uhr 18 Min. Morgens auf einem Felde, 3 Werst (Kilm.) vom Dorfe Nowo-Urei, auf dem rechten Ufer des Flusses Alatyr im Krasnoslobodschen Kreise des Gouvernment Pensa niedergefallen war. Die Umstände, unter welchen dieses stattfand sind in einem Briefe des Herrn Barischnikoff an dem Director des Forstinstituts Herrn v. Sobitschewsky folgender Maassen beschrieben.

»In der nordöstlichen Ecke des Krasnoslobodschen Kreises des Gouv. Pensa, auf dem rechten Ufer des Flusses Alatyr, liegt das kleine Dorf Nowo-Ureiski Wiselok oder Nowo-Urei, ihm gegenüber auf dem linken, dem Gouv. Nischni-Nowgorod zugehörigen Ufer, das

*) „Verhandlungen der k. K. Mineralogischen Gesellschaft zu St.-Petersburg“, 1888, Zweite Serie, Bd. XXIV, S. 263.

Dorf Nikolajewka (s. die Karte des Generalstabes oder die grosse Karte des Pensaer Gouv., herausgegeben von Iljin oder die Karte Russlands in E. Réclu «das europäische Russland».)

»Am 10 Sept. 1886 früh Morgens waren einige der Bauern aus Nowo-Urei auf ihrem Felde, 3 Werst vom Dorfe, beschäftigt. Der Tag war trüb, doch regnete es nicht, obgleich nach NO zu der ganze Himmel bewölkt erschien und die Bauern stündlich Regen erwarteten. Plötzlich erleuchtete ein glänzender Lichtschein die ganze Umgegend und einige Sekunden darnach erfolgte eine schreckliche Detonation, ähnlich einem Kanonenschuss oder einer Explosion und dann eine zweite, noch stärkere. In demselben Augenblick fiel einige Meter von den Bauern entfernt eine feurige Kugel zur Erde und eine 2-te bedeutend grössere wurde über dem Wald sichtbar. Alles zusammen dauerte nicht länger, als eine Minute. Die Bauern fielen in jähem Schreck zu Boden und wagten längere Zeit nicht sich zu rühren; sie meinten es wäre ein schreckliches Gewitter ausgebrochen und feurige Donnerkeile fielen vom Himmel. Endlich ermannte sich einer von ihnen und ging zu der Stelle, wo der Donnerkeil niedergefallen war. Zu seiner Verwunderung fand er hier, inmitten einer kleinen Vertiefung, einen zur Hälfte in die Erde eingedrungenen noch sehr heiss anzufühlenden Stein von schwarzer Farbe. Der Stein kam den Bauern ausserordentlich schwer vor. Die Bauern begaben sich hierauf nach dem Walde, um den 2-ten grösseren Stein aufzusuchen; aber alle ihre Mühe blieb erfolglos; sie vermuthen, dass derselbe an einer der vielen Sumpfstellen des Waldes niedergefallen ist.

»Am drauffolgenden Tage ging einer der Bauern des nämlichen Dorfes Urei auf sein Feld um nach seinem Buchweizen zu sehen und fand hier ganz zufällig einen ebensolchen Stein, wie der von seinen Nachbarn Tags zuvor heimgebrachte. Der Stein lag gleichfalls in einer kleinen Vertiefung zum Theil in die Erde eingedrungen. Das Feld lag ziemlich weit abseits vom Hauptwege und nicht allzuweit von der Fundstätte des ersten Steins; daraufhin meinen die Bauern mit Be-

stimmtheit, das beide Steine gleichen Ursprungs sind. Die ferneren Nachforschungen in der Umgegend von Nowo-Urei sind erfolglos geblieben. Es wären also im ganzen 3 Steine niedergegangen; davon ist der grösste im Walde in einen Sumpfgerathen, der zweitgrösste welcher in Gegenwart der Bauern auf dem Felde niederfiel, ist von mir erworben und Ihnen für das mineralogische Cabinet des Instituts zugesandt worden und der 3-te, welchen der Bauer auf seinem Buchweizenfelde fand, ist von den abergläubigen Mordwinen als wunderthätiger Himmelstein verspeist worden.

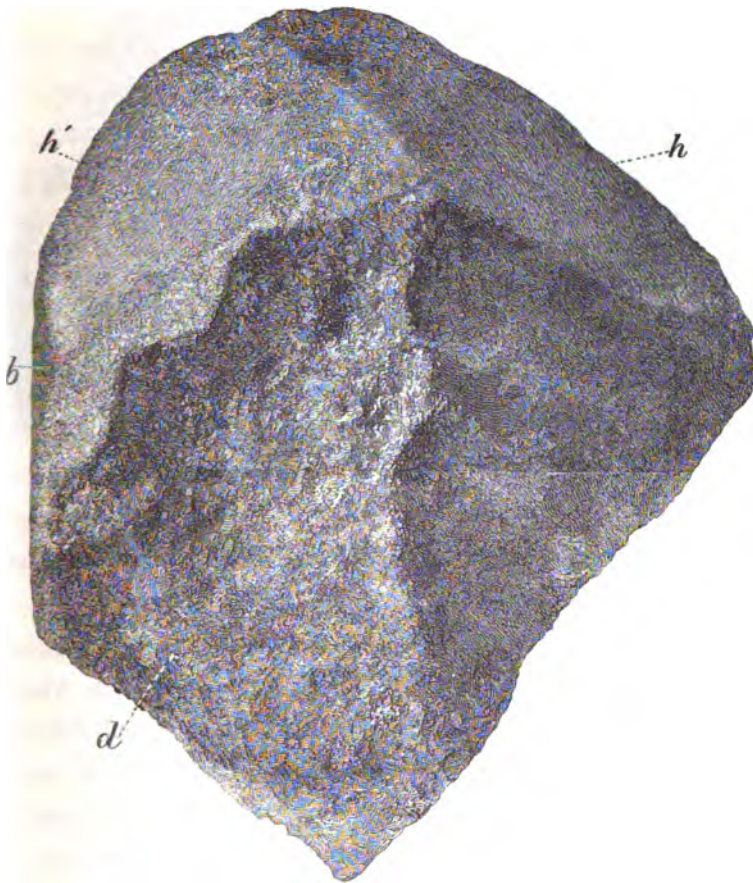
»Etwa 2 Werst (Kilm.) von der Fundstätte des Meteoriten entfernt liegt der Kordon (das Wohnhaus des Aufsehers) des Gross-Urkatschen Waldreviers. Dieser Aufseher sammelt im Auftrag des centralen meteorologischen Observatoriums zu St. Petersburg Beobachtungen über Gewitter. Auch dieser hielt die Detonation für einen Donnerschlag, so eigenthümlich ihm ein solcher zu dieser Jahreszeit auch vorkam, und notirte nach einem Blick auf die Uhr, 7 Uhr 18 Min. als Beginn eines Gewitters. Als er hierauf ins Freie trat, um Stärke und Richtung des Windes festzustellen, sah er, dass es überhaupt kein Gewitter gab und kam zu dem Schluss, das wohl auf einer der nächsten Fabriken (es befinden deren 2 in etwa 7 Kil. Entfernung von seinem Wohnhause, die eine nach Norden, die andere nach Süden davon) eine Kesselexplosion stattgefunden habe. Zum gleichen Schlusse waren auch die zu Hause zurückgebliebenen Bauern der Dörfer Nowo-Urei und Nikolajewka gelangt; erst am Abend erfuhren sie die wahre Veranlassung des von ihnen vernommenen Donners. Die Bauern in den genannten Dörfern behaupten, mehr als 3 Schläge vernommen zu haben.

»Ueber die Richtung, in welcher der Meteorit sich fortbewegte und über die Grösse und Form der durch den Fall am Boden entstandenen Vertiefungen, bin ich leider nicht im Stande etwas zu berichten.

b) Gewicht und äusseres Aussehen des Meteoriten.

Der Meteorit wurde sofort nach seinem Empfang gewogen und ergab ein Gewicht von 1762,3 Grm.; es war jedoch deutlich zu erkennen, dass von dem Stein bereits 2 Ecken abgeschlagen waren.

Fig. 1.



Zwei Stückchen, im Gew. von 83,5 und 21,95, also zusammen 105,45 Grm., welche zusammengelegt, die eine Ecke des Meteoriten ergänzen, fanden sich in der Sammlung des Herrn v. Simaschko.

Fig. 2.



Die Gestalt des Meteoriten beschreibt M. v. Jerofeiff, unter anderem, mit folgenden Worten:

»Wie man sieht besitzt der Meteorit unregelmässige Gestalt und wird von 6 Flächen begrenzt: von der grossen, convexen, glatten, jeglicher Eindrücke oder Erhabenheiten entbehrenden Fläche *a* (Fig. 2), den 3 ihr benachbarten ebenen Flächen *h*, *h'* und *b* (Fig. 1), die sich in 2, wenn auch gerundeten, so doch deutlich geraden und einander parallel verlaufenden Kanten schneiden; der gleichfalls *a* anliegenden höchst unebenen mit mehreren grossen Fingerabdrücken (darunter einer besonders gross und tief) versehenen

Fläche *c* (Fig. 2) und endlich der Fläche *d* (Fig. 1). Letztere ist gleichmässig von dichtgedrängten Vertiefungen bedeckt, welche aber viel kleiner sind als die auf der Fläche *c*. Es ist unzweifelhaft Fläche *d* die jüngste angeschmolzene Bruchfläche des Meteoriten. Es ist hier noch zu bemerken, dass auf der Kante *c*, ein kleiner Riss wahrzunehmen ist, der zweifellos nicht von Menschenhänden herrührt, sondern wahrscheinlich zugleich mit der Bruchfläche *d* entstand.

»Dem unbewaffneten Auge erscheint die Oberfläche des Meteoriten überall so ziemlich gleich: matt-schwarz mit vielen glänzenden schwarzen Fleckchen, es ist jedoch insofern ein Unterschied zu bemerken, als auf der Fläche *h'* (Fig. 1) diese Flecken sehr zahlreich sind und stark glänzen, Fläche *h* deren nur sehr wenige, schwach glänzende, aufweist und die übrigen Flächen darin mittlere Verhältnisse zeigen. Unter der Lupe erscheinen die matten Stellen von kleinen runden Vertiefungen, wie von aufgesprungen Bläschen herrührend, bedeckt—die glänzenden bieten glatte und etwas convexe Oberfläche. Es erweist sich, dass die glänzenden Flecken dem angeschmolzenen Olivin entsprechen. Zwischen durch erscheinen auf der schwarzen Oberfläche des Meteoriten grünlich-gelbe Stellen, welche dem frisch durchbrochenen Olivin entsprechen, auch Flitter von Nickel-Eisen.

»Auf der Oberfläche des Meteoriten gewahrt man ferner, und zwar am meisten auf den Kanten *a/h*, *a/c*, auf der Fläche *c* und in der einzigen Vertiefung, welche auf der Kante *a/h'* wahrzunehmen ist, eine bräunliche thonige Substanz, die sehr fest anhaftet und nur schwer abzutrennen ist. Auf den Flächen *h* u. *h'* ist nur wenig davon vorhanden und Fläche *d* ist ganz frei davon. Es ist kaum zweifelhaft, dass dies Rückstände des Erdreichs sind, in welches der Meteorit beim Fallen eindrang und es ergibt sich alsdann, dass er hierbei mit der Fläche *a* oder der Ecke *a/h/h'* (die ein wenig verletzt ist) nach vorne gerichtet war, während *d*—rückwärts lag. Nirgends

ist übrigens ein Eingeschmolzensein dieser thonigen Substanz in die Rinde des Meteoriten wahrzunehmen «.

»Im Bruch erscheint der Meteorit dunkelgrau matt, uneben durch zahlreiche unregelmässig polyedrische Vertiefungen und Erhabenheiten; die Rinde als sehr dünne schwarze Schicht, die sich leicht ablösen lässt. Die einzelnen, etwa 1 Mm. grossen Körner, erscheinen durchaus unregelmässig eckig, nirgends nimmt man gerundete Formen-Chondren—war. Die Körner erscheinen zumeist dunkelgrau, matt, wie von einem dunkelgrauen Staube bedeckt: nur zuweilen trifft man mitten durchgesprungene, schwach gelblich-grün durchschimmernde Körnchen mit muscheliger Bruchfläche. Stellweise beobachtet man in den Vertiefungen der Bruchfläche dünne schmutziggelbliche Ueberzüge, die beim Schaben mit dem Messer metallische weisse Farbe annehmen und, losgelöst, vom Magnet angezogen werden, also zweifellos dem Nickeleisen angehören. Auf einer geschliffenen Fläche erscheinen sie als gerade oder gebrochene weisse Linien zwischen den Mineralkörnern, doch sind sie stets nur ganz kurz und hängen nie miteinander zusammen. Man nimmt ferner deutlich 2-erlei Minerale war, von denen eines leicht Politur annimmt, das andere matt bleibt. Letzteres ist beim weitem überwiegend. In Capitel III wird nachgewiesen werden, dass diese beiden Minerale, zwischen deren Körnern eine dunkel graue Substanz und Nickeleisen sich findet — Olivin und Augit sind «.

c) Chemische Untersuchung.

Das chemische Verhalten des Meteorits, nach den Untersuchungen von M. v. Jerofeieff und P. v. Latschinoff ist folgendes:

Beim Zerreiben des Meteoriten im Achatmörser wurde die Anwesenheit sehr harter Partikeln constatirt, welche deutliche Schrammen auf demselben hervorbrachten. Das spec. Gewicht des zu Pulver zerriebenen Meteorits ergab sich zu 3,463 bei 16° C. Beim Ueber-

giessen des Pulvers mit Wasser steigt ein kleiner Theil desselben, etwa 0,2 Proc., an die Oberfläche und bleibt hartnäckig oben, ohne von ihm benetzt zu werden.

Beim Glühen im einseitig geschlossenen Rohr lassen sich keinerlei flüchtige Producte beobachten; neutrale Lösungsmittel, wie Wasser, Weingeist und Aether nehmen nichts aus dem Pulver in sich auf.

In Salzsäure geht ein Theil unter Entwicklung von Wasserstoffbläschen in Lösung, auch Schwefelwasserstoffgeruch ist zu spüren und die Säure nimmt sofort grünliche, von Chrom herrührende Färbung an. Der Meteorit enthält also metallisches und einfach Schwefel-Eisen (Magnetkies). Ein Gramm Meteoritsubstanz liefert mit Salzsäure behandelt ziemlich rasch ca. 22 Cub. Centm. Wasserstoffgas (auf 0° u. 760 Mm. reducirt), was 5,19 % metall. Eisen entspricht. Königswasser wirkt beim Kochen energischer als Salzsäure und bietet gleichzeitig den Vortheil, das Schwefel u. Phosphor, die sonst verloren gehen könnten, oxydirt werden; allein auch darin zerlegt sich das Pulver nicht vollständig, sondern nur zu etwa 70 — 75%. Der Rest wurde mit Soda geschmolzen — als es galt die Kieselsäure zu bestimmen, oder musste mit Flussäure aufgeschlossen. Nach einer solchen successiven Bearbeitung—zuerst mit Königswasser, dann mit Flussäure und (verdünnter) Schwefelsäure, bleibt jedoch stets ein unlöslicher Rest von schwarzer Farbe, dessen Menge zwischen 2 u. 2,5% des ursprünglichen Gewichtes beträgt. Bei aufmerksamer Untersuchung dieses Rückstandes lässt sich darin unschwer nach dem Gefühl zweierlei Substanz unterscheiden: die eine ist schwarz und weich und hinterlässt, mit dem Finger auf Papier gerieben, genau ebensolche schwarzgraue Striche, wie Graphit; die andere ist von hellerer Farbe und sehr hart. Bei vorsichtigem Glühen findet beinahe keine Einbusse am Gewicht statt, bei starkem und anhaltendem Glühen dagegen — eine merkliche. Letztere tritt auch beim Schmelzen desselben mit saurem schwefelsaurem Kali ein, welches unternommen wurde, um etwa vorhandenes Chrom- oder Titaneisen zu zerlegen.

Nach 2-maligem andauerndem Schmelzen verringert sich der Rückstand um etwa 60 $\frac{0}{0}$.

1) 0,0402 Grm. des Rückstandes verloren dabei 0,0250 Grm.

2) 0,0413 Grm. vom einer anderen Portion — 0,0221 Grm., d. h. nach besagtem Schmelzen und Lösen im Wasser, hinterblieb im 1-ten Fall ein Rückstand von 0,0152 Grm, im 2-ten von 0,0192 Grm.

In der Lösung der Schmelze war weder Titan noch Chrom nachzuweisen: es fand sich darin nur etwas Eisen und Spuren von Mangan und Magnesia. Die Menge des mittelst Ammoniak gefällten Eisenoxydes betrug jedoch nur 5 $\frac{0}{0}$ von der zum Zusammenschmelzen genommenen Menge des Rückstandes. Offendar war also der verschwundene Theil der Hauptsache nach organischer Natur oder kohlige Substanz und verbrannte beim Schmelzen mit saurem schwefelsaurem Kali auf Kosten des Sauerstoffs der Schwefelsäure. Der nicht verbrannte und nicht in Lösung gegangene Antheil, welcher etwa 40 $\frac{0}{0}$ betrug, erschien in der Form hellgrauer Körnchen, die in auffallendstem Grade Glas und Platingefäße ritzten. Da dies möglicherweise Korund sein konnte, so wurde der Rückstand nochmals mit saurem schwefelsaurem Kali geschmolzen — änderte sich hiebei aber weder im Aussehen, noch im Gewicht merklich. Es konnte hiernach nur Diamant oder Carbonat sein, und als solcher hat er sich auch thatsächlich herausgestellt, wie folgende Untersuchungen beweisen.

Der schwarze, nach obigem, aus Diamant und einer weichen kohligen Substanz bestehende Rückstand wurde im Platintiegel in einem Sauerstoffstrom bis auf Weissgluth erhitzt und verbrannte hiebei — es war dies deutlich zu sehen — mit Hinterlassung eines röthlichen, eisenhaltigen Rückstandes von gegen 9,7 $\frac{0}{0}$.

3) 0,03 Grm. des schwarzen Rückstandes ergaben 0,0029 Grm. Asche.

Eine andere Portion des auf gleichem Wege ernaltenen schwarzen Rückstandes wurde im Platinschiffchen innerhalb eines Porcellan-

rohres bei sehr hoher Temperatur im einem Sauerstoffstrom verbrannt, welcher zuvor durch eine im Rohr befindliche dünne Schicht oxydierter Kupferspäne streichen musste. Kohlensäure und Wasser wurden in der bei organischen Elementaranalysen gebräuchlichen Weise aufgefangen.

4) 0,023 Grm. des schwarzen Rückstandes ergaben:

0,0756 Grm. Kohlensäure
und 0,0036 » Wasser

im Schiffchen hinterblieben 0,0024 Grm. röthlich-brauner Asche. Lässt man, in Anbetracht der möglicher weise nicht absoluten Trockenheit der Apparate, den Wasserstoff ausser Betracht, so ergibt sich danach

Kohlenstoff.	89,56%
Asche	10,44
	<hr/>
	100,00

Darauf wurden in demselben Porcellanrohr unter genau denselben Verhältnissen die nach dem Schmelzen des schwarzen Rückstandes mit saurem schwefelsaurem Kali erhaltenen für Diamant oder Carbonat angesprochenen Körnchen verbrannt:

5) 0,0124 Grm. derselben ergaben: 0,0434 Grm. Kohlensäure
0,0036 » Wasser
0,0004 » Asche

was, unter Vernachlässigung des Wasserstoffs ergibt:

Kohlenstoff.	95,40%
Asche	3,23
	<hr/>
Summa.	98,63

Nach dem so der schwarze Rückstand als wesentlich aus Kohlenstoff bestehend sich ergeben hatte, galt es festzustellen, welcher Modification desselben er angehöre. Es wurde die Methode Brody's angewandt, welche Berthelot zur Trennung der allotropischen Modificationen des Kohlenstoffs von einander benutzte:

6) 0,04 Grm. des schwarzen Rückstandes, mit Bertholletsalz und rauchender Salpetersäure zusammengebracht und längere Zeit an einem warmen Ort stehen gelassen, liessen keinerlei Flocken von Graphitsäure wahrnehmen, so dass das Vorhandensein von Graphit, wie es scheint, ausgeschlossen ist. Der Rückstand war jedoch heller geworden und betrug nach dem Auswaschen und Glühen nur noch 0,0286 Grm. Letztere ergaben nach nochmaliger gleicher Bearbeitung 0,0253 und nach einer 3-ten — 0,0243 Grm., hatten also bei dieser letzten nur noch 0,001 Grm. eingebüsst. Der Rückstand nach der 3-ten Bearbeitung betrug mithin $60,75\%$ der ursprünglichen Menge. Es war offenbar noch kein reiner Diamant oder Carbonat: eine weitere Bearbeitung nach Brody unterblieb jedoch und es wurden folgende Untersuchungen damit angestellt:

Bestimmung des spec. Gew.

7) Gewicht der Substanz	0,0231 Grm.
Gew. des den ganzen Flacon ausfüllenden Wassers	3,0960 „
Gew. des den Flacon nach eingebrachter Substanz ausfüllenden Wassers	3,0880 „
	0,0080 Grm.

$$\text{Spec. Gew.} = \frac{0,0231}{0,008} = 2,89$$

Bei Wiederholung des Versuches mit derselben Menge der Substanz.

Gew. des den ganzen Flacon ausfüllenden Wassers	3,0978 Grm.
Gew. des den Flacon nach eingebrachter Substanz ausfüllenden Wassers .	3,0908 „
	<hr/>
	0,0070 Grm.

$$\text{Spec. Gew.} = \frac{0,0231}{0,007} = 3,3$$

Das Mittel 3,1 stimmt, in Anbetracht der Unreinheit der Substanz recht gut mit dem spec. Gew. des Diamanten (3,5).

Eine geringe Menge derselben wurde auf ein Platinblech gebracht, etwas befeuchtet und hierauf ein an einer Stelle eben geschliffenes Rollstück Korund von der Insel Ceylon aus der Sammlung des Forstinstituts kurze Zeit leicht damit gerieben. Die sonst hochpolirte Fläche des Korunds erschien an der betreffenden Stelle matt und von deutlichen Schrammen bedeckt. Auf einer nicht angeschliffenen Stelle des glatten Rollstückes wurde mit einem Diamant ein deutlicher Strich gezogen—es gelang mit Leichtigkeit in ein paar Augenblicken mittels des Pulvers die Stelle so weit abzureiben, dass der Strich nicht mehr zu sehen war.

Es erscheint mithin als unzweifelhaft festgestellt, dass der Meteorit neben amorphem Kohlenstoff auch Diamant oder Carbonat enthält, dessen Menge etwa $1\frac{0}{6}$ der Meteoritmasse beträgt. Da der Meteorit 1762 Grm. wiegt, so beträgt die Menge des darin enthaltenen Diamants 17,62 Grm. = 85,43 Karat.

Unter den übrigen chemischen Bestandtheilen des Meteoriten wurde nichts absonderliches bemerkt: spektroskopische Untersuchungen wurden freilich nicht vorgenommen, eine qualitative Prüfung ergab jedoch nur Nickeleisen, Eisenoxydul, Manganoxydul, Chromoxyd, Thonerde, Kalk, Magnesia, Kieselsäure, Schwefel und Phosphor.

Die auf gewöhnlichem Wege angestellte quantitative Analyse ergab, als Mittel aus mehrfachen Bestimmungen:

	in ‰
Nickeleisen { Fe — 5,25 }	5,45
{ Ni — 0,20 }	
Eisenoxydul	13,35
Manganoxydul	0,43
Thonerde	0,60
Chromoxyd	0,95
Magnesia	35,80
Kalk	1,40
Schwefel	0,15
Phosphor	0,02
Kieselsäure	35,51
Kohle { amorph — 1,26‰ }	2,26
{ als Diamant — 1,0‰ }	
Summe	99,92

Nimmt man den Schwefel als Magnetkies Fe_3S_4 und den Phosphor im Nickeleisen enthalten, so erhält man:

	in ‰
Nickeleisen	5,47
Chromoxyd	0,95
Magnetkies	0,43
Kohlenstoff	2,26
Silicate	90,76
Summe	99,87

d) Mikroskopische Untersuchung des Meteoriten.

Nach v. Jerofeieff auf den ersten Blick erscheint der Meteorit im Dünnschliff unter dem Mikroskop aus Bruchstücken vom Olivin und Augit und einer dazwischen liegenden schwarzen, undurchsichtigen

Substanz zu bestehen, welche auch Risse und Höhlungen der beiden genannten Minerale ausfüllt.

Der Olivin erscheint farblos, nur hie und da bemerkt man in ihm ein gelbliches Fleckchen von längs einem Riss infiltrirter gelblicher Substanz herrührend. Nur selten beobachtet man an seinen Umrissen 2 oder 3 gerade verlaufende Linien; kreisrunde oder angenähert so verlaufende Linien, die auf Kügelchen hinweisen würden, sind nirgends vorhanden. Die Olivinkörner sind übrigens fast nirgends scharf begrenzt, vielmehr werden sie zum Rande zu allmählig immer undurchsichtiger in Folge zunehmender Imprägnation mit schwarzer staubförmiger Substanz, die schliesslich so überhand nimmt, dass gar kein Licht mehr hindurch geht. Die Olivinkörner zeigen hie und da Risse nach 2 Jahren auf einander senkrechten Richtungen, welche der Spaltbarkeit nach dem Brachi- und Makropinakoid entsprechen dürften. Im polarisirten Licht erkennt man, dass diese Risse mit den Auslöschungsrichtungen zusammenfallen, und dass die Körner in der That die grellen Interferenzfarben aufweisen, welche dem Olivin seinen starken Lichtbrechungsvermögen zufolge zukommen.

Interessant sind am Olivin auch die in ihm vorkommenden Einlagerungen. In jedem Olivinkorn beobachtet man eine schwarze (undurchsichtige) Substanz, die entweder als zusammenhängende Masse Risse desselben ausfüllt oder in einzelnen grösseren oder, häufiger, kleineren Körnchen unmittelbar eingelagert ist. Die feineren staubartigen Körnchen sind entweder in Streifen angeordnet die mit der Auslöschungsrichtung zusammenfallen oder in Radien, welche von einem schwarzen Fleck ausgehen, der entweder frei im Olivin auftritt oder mit der schwarzen Zwischensubstanz zusammenhängt. Die grösseren schwarzen Körner finden sich Gruppenweise und erinnern an Magnetit oder Chromit, lassen aber nirgends Krystallform erkennen. Da die chemische Untersuchung nur Spuren von Eisenoxyd im Meteorit ergeben hat, so dürften wohl auch die Körner zum grössten

Theil kohlige Substanz sein. Viel spärlicher, als die eben beschriebenen finden sich im Olivin farblose Einschlüsse zweierlei Art: die einen sehr klein, von unregelmässiger Form und ohne jegliche Beeinflussung auf polarisirtes Licht; die anderen in Form von Anhäufungen kleiner Krystallkörner. Im gewöhnlichen Licht sind letztere kaum wahrzunehmen, ebenso wie bei gekreuzten Nicols, solange das Olivinkorn auf das Maximum seiner Helligkeit eingestellt ist; sobald man jedoch die Stellung verändert, fangen sie an sichtbar zu werden und leuchten am grellsten bei Dunkelstellung des Olivin hervor. Einzelne Körner zeigen eine schwache gelbe Interferenzfarbe, andere zeigen diese nur am Rande und erscheinen in der Mitte bläulich oder rüthlich. Bei einer vollen Drehung des Präparats um 360° , werden diese Einschlüsse niemals dunkel, es wechselt blos die Intensität der Färbung. Die Körnchen zeigen rundliche 3,4 und 6eckige Umrisse. Der Schliff, in welchem sie am besten zu sehen waren, war etwas dick ausgefallen, man konnte daher durch Heben und Senken des Tubus ihre körperliche Form mehr oder weniger verfolgen. Bei einem der Einschlüsse schien diese ein Octaëder zu sein. Das Verhalten, welches diese Körner zwischen gekreuzten Nicols zeigen, ist durchaus analog demjenigen, welches wir an Krystallen des regulären Systems beobachten, welche anomale Doppelbrechung, oder, mit anderen Worten, Lamellarpolarisation besitzen. Ein, vergleichshalber, unter das Mikroskop gebrachter Diamant von octaedrischer Form mit einspringenden 3seitigen Pyramiden und deutlich lamellarem Aufbau, erschien gleichfalls bei gekreuzten Nicols hell und zeigte an verschiedenen Stellen verschiedene Interferenzfarben (gelb und blau). Es ist darnach kaum zweifelhaft, dass diese Körner ebenfalls Diamant sind. Aus der mikroskopischen Untersuchung des aus dem Meteoritpulver auf chemischen Wege isolirten schwarzen Rückstandes, liess sich leider kein weiterer Beleg dafür ableiten. Dieser Rückstand, zwar nach Brody behandelt, zeigt unter dem Mikroskop weiter nichts, als unregelmässig geformte schwarze Kör-

chen, von denen einige bei starker Vergrößerung stellenweise durchscheiden und isotrope Natur offenbaren; nirgends war ein Krystall oder auch nur ein gut spaltbares Stückchen zu sehen. Dieselben erinnern sehr an die farblosen Einschlüsse ersterer Art. Der Rückstand vor der Bearbeitung nach Brody erscheint nur insofern etwas abweichend, als in demselben die Menge der schwarzen undurchsichtigen Partikeln eine grössere ist.

Der Augit erscheint im Präparat in unregelmässigen Körnern von bräunlicher Färbung; nur hier und da findet sich ein Krystalldurchschnitt. Kugelchenform ist ebensowenig, wie bei dem Olivin zu bemerken. Die Augite erscheinen im Allgemeinen schärfer umgrenzt als der Olivin, doch findet sich auch bei ihnen, gleichsam von aussen hereingedrungen, die schwarze körnige Substanz. Zuweilen ist die prismatische Spaltbarkeit ziemlich deutlich durch parallele Risse angedeutet, zuweilen kaum wahrnehmbar. Letztere Körner sind dann schwer von Olivin unterscheidbar; doch kommt hier oft die Verzwillingung derselben nach ∞P_{∞}^1 (100) zu Hilfe. Der Dichroismus ist sehr schwach, als Auslöschungswinkel wurde im Maximum 36° erhalten.

In einem grossen Augitkorn die beiden schräg von links nach rechts verlaufenden Streifen repräsentiren eingeschaltete Zwillinglamellen. Der Winkel zwischen Auslöschungsrichtung und Zwillingnaht betrug für das Hauptindividuum 39° , für die Zwillinglamellen 38° ; es bleibt also kein Zweifel bezüglich der Augitnatur. Es ist

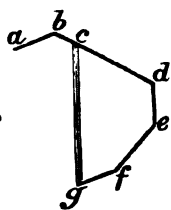


Fig. 3.

übrigens auch an diesen Individuum bei aufmerksamer Betrachtung ein feiner der Zwillingnaht paralleler Riss an dem einen (nicht zur Abbildung gelangten Ende) wahrnehmbar. Ein anderer Augit-zwilling Fig. 3 zeigt Krystallform. Der Auslöschungswinkel bezüglich der Zwillingnaht cg ergab sich für die linke Hälfte zu 37° , für die rechte zu 40° .

Es wurden gemessen:

$$ab \text{ zu } bd = 134^\circ$$

$$bd \text{ » } de = 119$$

es betragen in Wirklichkeit:

$$de \text{ » } ef = 131 \quad \infty P_{\infty}^{\perp} (100) : -P_{\infty}^{\perp} (10\bar{1}) = 130^\circ 2'$$

$$ef \text{ » } fg = 155 \quad -P_{\infty}^{\perp} (10\bar{1}) : OP (00\bar{1}) = 155 \quad 40$$

$$fg \text{ » } cg = 71 \quad OP (00\bar{1}) : \infty P_{\infty}^{\perp} (\bar{1}00) = 73 \quad 59$$

$$ab \text{ » } cg = 72 \quad +P_{\infty}^{\perp} (101) : \infty P_{\infty}^{\perp} (\bar{1}00) = 74 \quad 38$$

$$bd \text{ » } cg = 62$$

Wie man sieht, stehen die gemessenen Winkel den erforderlichen recht nahe und es muss der Schliff nahezu nach dem Klinapi-nakoid erfolgt sein. Nur für die Linie *bd* findet sich keine Deutung unter den gewöhnlichsten Formen des Augit; sie dürfte einer Pyra-mide entsprechen. Bei gekreuzten Nikols sind auch an diesem Indi-viduum sehr feine Risse parallel der Zwillingsnaht zu bemerken. Dieser Krystall liefert eine fernere Bestätigung für die Augitnatur des zuvor beschriebenen polysynthetischen Zwillings.

Die bereits beim Olivin erwähnten schwarzen Körner finden sich im Augit in unregelmässigen Gruppen oder in Reihen angeordnet. Das dem verzwilligten Augit anliegende Individuum zeigt letztere An-ordnung, wobei die Reihen mit der Auslöschungsrichtung zusammen- fallen, während die Risse einen Winkel von 69° mit derselben bilden. Von den durchscheinenden Körnchen finden sich im Augit nur die- jenigen erster Art. Zuweilen bemerkt man, aber nur bei sehr starker Vergrösserung (650), von denselben ausgedehnte dendritische Ge- bilde. Dieselben wurden nachträglich auch im Olivin entdeckt; hier aber seltener. Ihrem Aussehen nach erinnern diese Gebilde an Mar- garite, doch bestehen sie nicht aus kugelförmigen Elementen.

In dem einem Schliff wurde ein Bruchstück beobachtet, welches an dem von Tschermak ¹⁾ abgebildeten Bronzit erinnert. Es zeigt

¹⁾ Die mikroskop. Beschaff. d. Meteoriten, Taf. XII, Fig. 1.

2 Systeme von Rissen: die einen sind fein und fallen mit der Auslöschungsrichtung zusammen, die anderen erscheinen grob und gehen schräg dazu.

Die als Grundmasse erscheinende Substanz ist schwarz und undurchsichtig, unzweifelhaft in Folge der darin enthaltenen Kohle; ihre scheinbare Menge wird wesentlich beeinflusst durch die Dicke des Schliffes. Es wurde schon oben gesagt, dass die Olivine und Augite nicht scharf gegen dieselbe abgegrenzt sind, vielmehr gleichsam verschwimmen; es repräsentirt also die als Grundmasse erscheinende undurchsichtige Substanz zum grössten Theil nichts anderes, als die von kohligter Substanz durchdrungenen Aussen-Parteien der Olivin und Augit Körner. Man erkennt dieses am deutlichsten im reflectirten Lichte, gewahrt aber in der Regel zwischen den grau erscheinenden Körnern eine dünne schwarze Linie (kohlige Substanz) und hie und da einen grauen metallischglänzenden Strich — Nickeleisen. Im reflectirten Licht erscheinen die nicht von schwarzer Substanz imprägnirten Parteien der Olivin und Augitkörner gleichmässig gefärbt; die Theile, welche dieselben führen, zeigen bunte Färbung. So erscheinen bei dem obenbeschriebenen unteren Augitkrystall im reflectirten Licht schwarze Streifen auf grauem Grunde, entsprechend den reihenweise angeordneten Einlagerungen. Die schwarze Substanz dringt oft in die Olivinkörner in Form rundlicher Einbuchtungen ein, die jedoch, in Folge angelagerter kleiner Körnchen, nicht scharf begrenzt erscheinen. Die rundliche Form derselben könnte dazu verleiten sie für runde Chondren anzusprechen; es ist jedoch nicht ausser Acht zu lassen, dass unter letzteren rundliche Individuen oder Aggregationen eines Minerals verstanden werden, welche einer Grundmasse eingelagert sind, während wir es hier nur mit Einbuchtungen der Zwischensubstanz in die Individuen des Olivins zu thun haben.

e) **Zusammenfassung.**

M. v. Jerofejeff und P. v. Latschinoff kamen endlich zu folgendem Schlusse:

Der Stein von Nowo-Urei beansprucht wegen seines Diamantgehaltes ein ganz ausserordentliches Interesse und nimmt auch in seiner sonstigen mineralogischen Zusammensetzung eine Ausnahmestellung unter den Meteoriten ein.

Dem Kohlenstoffgehalte ($2,26\%$) nach gebührt ihm der 2-te Platz unter allen bisher untersuchten Meteoriten, indem er hierin nur von dem Stein von Orgueil übertroffen wird, welcher nach Cloez ¹⁾ $4,1\%$ Kohlenstoff in Form von Huminsubstanz enthält, während die bisher nächst folgenden, die von Cold Bokkeveldt und Kaba, noch nicht $2,26\%$ enthalten. Ein Theil des in ihm enthaltenen Kohlenstoffs ist, wie auf Grund der angeführten Bestimmung des spec. Gewichts, der Härteprüfung und auch aus dem Verhalten unter dem Mikroskop, wohl unzweifelhaft hervorgeht, in der Modification des Diamants (oder Carbonats) vorhanden, ohne dass es jedoch gelang unzweifelhafte Krystalle davon zu beobachten. Die Entdeckung des Diamanten in einem Meteorit bietet übrigens keineswegs etwas so ganz Unerwartetes. Es ist bekannt, das Partsch und Haidinger ²⁾ im Jahre 1846 beim Auflösen des Meteoreisens von Arva kleine Würfel erhielten, die aus einer graphitischen Substanz bestanden. Sie meinten Flächen des Pentagondodekaeders ($\frac{20\infty}{2}$) π (210) an denselben wahrzunehmen und deuteten sie infolge dessen als Pseudomorphosen von Graphit nach Schwefelkies. Die wunderbar feine Beobachtungsgabe des unsterblichen G. v. Rose ³⁾ liess diesen jedoch an den im übersandten

¹⁾ Comptes rendus, t. LIX, 1864, p. 37.

²⁾ Pogg. Ann. 67, 437.

³⁾ Beschreibung und Eintheilung d. Meteoriten 1864. S. 40. Separatabdruck aus den Abhandl. d. Berl. Academic.

Exemplaren die vermeintlichen Pentagondodekaederflächen als solche eines Pyramidenwürfels erkennen und veranlasste ihn zu der Bemerkung, dass es Pseudomorphosen von Graphit nach Diamant sein könnten, obgleich letzterer in Meteoriten noch nicht beobachtet sei. G. Rose kommt später, gelegentlich seiner Arbeit »Ueber das Verhalten des Diamants und Graphits bei der Erhitzung« noch einmal auf diesen Gegenstand zurück und findet eine Bestätigung seiner früheren Vermuthung in der Beobachtung, dass der bei Luftabschluss geglühte Diamant sich in Graphit umwandelt. Durch das Auffinden des Diamanten in Meteorit von Nowo-Urei geht jene Vorahnung Rose's in Erfüllung, mit dem Unterschiede jedoch, dass der Diamant hiermit zuerst in einem Meteorstein und nicht in einem Meteorisen, in welchem man ihn bisher suchte, nachgewiesen wird.

Ganz kürzlich hat Herr L. Fletcher eine Abhandlung über »Cliftonit, eine reguläre Form des Graphit-Kohlenstoffs«¹⁾ veröffentlicht, welchen er beim Auflösen des Meteorisens von Joundegin in West-Australien erhielt. An den würfelförmigen Krystallen des Cliftonit treten ausserdem noch Granatoeder und Pyramidenwürfel Flächen auf; sein spec. Gew. = 2,12, Härte 2,5. Auf den Würfel Flächen sind konische und sphärische Erhöhungen warzunehmen; auf den Granatoederflächen sind in Reihen riffartige Erhöhungen parallel den Kanten angeordnet. Der Autor spricht das Mineral als selbständige Species an; als Hauptunterscheidungsmerkmal vom Graphit stellt sich seine Härte (2,5) heraus. Unser Kohlenstoffmineral, dessen Härte über 9 geht, dürfte um so weniger als etwas »Cliftonitartiges« anzusehen sein.

Betrachtet man die Resultate der Bauschanalyse des Nowo-Ureisteines, so fällt vor allem der hohe Gehalt an Magnesia ($35,80\frac{0}{0}$) auf, welcher selbst den bisher höchstbeobachteten von $31,76\frac{0}{0}$ ²⁾ bei

¹⁾ Zeitschr. f. Krystallographie, Bd. XII, 383.

²⁾ Damour, Comptes rendus, t. LV, 591.

dem Stein von Chassigny, noch bedeutend übersteigt, obgleich letzterer doch wesentlich nur aus Olivin besteht. Noch grössere Differenzen ergeben sich für andere ähnliche Meteorite. Dagegen stimmt seine Zusammensetzung recht gut mit einigen terrestrischen Olivinen überein, z. B. mit dem von Ch. Deville analysirten geschmolzenen Olivin aus der Augit-Lava von der Insel Fogo ¹⁾.

	Olivin von Fogo.	Meteorit von Urei.
SiO ₂ . . .	40,19 ^o _o	39,51 ^o _o
MgO . . .	35,70	35,80
FeO . . .	15,27 ^o _o	13,35 ^o _o
		6,75 (aus dem metall. Eisen)
MnO . . .	2,27	0,43
NiO . . .	5,12	0,25
Al ₂ O ₃ . .	0,80	0,60
	99,35	96,69

Es ergibt sich auch, dass der Meteorit einem isomorphen Gemenge der Silicate Mg₂SiO₄ und Fe₂SiO₄ näher steht, als selbst der Olivin von Fogo. Man gelangt hiernach unwillkürlich zur Voraussetzung, dass der Meteorit ursprünglich ein Olivinmagma darstellte, welches später unter Einwirkung reducirender Körper, wie Wasserstoff oder Kohlenoxyd (im Meteoreisen von Lenarto, Augusta und Dickson von Thomas Graham, Mallet und A. Wright nachgewiesen) oder Kohlenwasserstoffen (in den Meteorsteinen von Kaba, Orgueil u. a., von Wöhler, Cloez, Lawrence Smith und Tschermak nachgewiesen) unter Abscheidung von metallischem Eisen aus dem Magma und gleichzeitiger Abscheidung von Kohlenstoff aus der reducirenden Verbindung, sich differenzirte. Die freigewordene Kieselsäure ging auf Bildung von Augit. Diese Differenzirung wird zugleich mit der Erhärtung der Hauptmasse des Olivin stattgefunden haben und haben

¹⁾ Descloizeaux, Manuel de Minéralogie, t. I, 32.

sich daher kohlige Substanz und Nickeleisen hauptsächlich an den Umrandungen der Körner abgesetzt. Es dürfte so auch das Vorhandensein der Eingangs erwähnten ebenen Aussenflächen des Steines erklärlich werden.

Auch in petrographischer Beziehung bietet der Meteorit von Nowo-Urei Eigenthümlichkeiten. Er besteht aus Bruchstücken von Olivin u. Augit und zwischengelagerter kohligter Substanz und Nickeleisen; —Kügelchen sind nicht vorhanden. Es ist schwer ihn in eines der Systeme einzureihen. Nach G. v. Rose, Tschermak und Brezina müsste er seines Olivin und Nickeleisen-Gehalts wegen unter die Chondrite rangiren — dem widerspricht aber die Abwesenheit von Kügelchen und das Auftreten von Augit. In die Gruppe 20 (Cs) oder 21 (K) Brezina's lässt er sich aus den soeben angeführten Gründen und auch wegen des Vorhandenseins von Diamant nicht einreihen, da diese Gruppen durch einen Gehalt an Kohlenwasserstoffen characterisirt sind. Seinem Eisengehalte nach müsste er zu den »oligosidères« von Daubrée und Stanislaus Meunier und zwar zu den »roches monogéniques, partie pierreuse formée de deux minéraux, qui sont le pyroxene et le péridot« gerechnet werden, also zur 21. Gruppe — Exlebenite. Mit den dort beschriebenen Meteoriten hat aber trotzdem der von Nowo-Urei sehr wenig gemeinsames.

Am meisten Uebereinstimmung zeigt noch unser Meteorit mit dem kürzlich von Tschermak beschriebenen von Angra das Reis in Brasilien, doch besteht letzterer vorwaltend aus Augit und enthält kein Nickeleisen.

Der Meteorit von Nowo-Urei repräsentirt also seiner ganzen mineralogischen Zusammensetzung nach, hauptsächlich aber wegen seines Gehalts an Diamant oder Carbonat einen ganz neuen Typus von Meteoriten; einen Typus, der vielleicht durch den Namen »Ureilit« unterschieden werden sollte.

Dritter Anhang zum Euklas.

(Vergl. Bd. III, S. 97; Bd. IV, S. 51 und S. 100.)

Nach dem Erscheinen meiner ersten Abhandlung über den russischen Euklas, wurden die am Ural von neuem gefundenen Krystalle von S. v. Kulibin (Sohn) ¹⁾ und P. v. Jeremejew ²⁾ untersucht und beschrieben. Auch im Jahre 1886 hat R. Köchlin ³⁾ eine ausführliche Beschreibung der neuerdings in den österreichischen Alpen entdeckten Euklaskrystalle geliefert, in welchen wir eine ungeheure grosse Anzahl von neuen Euklasformen finden.

1) S. v. Kulibin (Sohn) hat einen sehr schönen Euklaskrystall beschrieben, aus demselben Fundort aus welchem die von mir zuerst beschriebenen Krystalle stammten. Dieser Krystall war fast farblos und aus folgenden Formen gebildet:

$$\begin{aligned}
 f &= + (3P3) \\
 r &= - P \\
 i &= - (4P4) \\
 n &= (P\infty) \\
 o &= (2P\infty) \\
 N &= \infty P \\
 l &= (\infty P\frac{4}{3}) \\
 s &= (\infty P2) \\
 T &= (\infty P\infty), \text{ vollkommenste Spaltungsfläche.}
 \end{aligned}$$

Das Prisma $l = (\infty P\frac{4}{3})$, welches S. v. Kulibin (Sohn) nur auf approximativer Weise bestimmt hat, weil seine Flächen sehr gestreift

¹⁾ Verhandlungen der russisch-kaiserlichen Mineralogischen Gesellschaft zu St. Petersburg. Zweite Serie, 1879, Bd. XIV, S. 147.

²⁾ Idem. 1888, Bd. XXIV, S. 244.

³⁾ R. Köchlin: Ueber ein neues Euklas-Vorkommen aus den österreichischen Tauern. (Annalen des K. K. Naturhistorischen Hofmuseums, Wien, 1886, Bd. I, S. 237).

erschienen, war bis jetzt nur in den ausländischen Euklaskrystallen bekannt, in den russischen aber noch nicht beobachtet worden. Der von S. v. Kulibin (Sohn) untersuchte Euklaskrystall wog 1,4546 Gram.; sein specifisches Gewicht, nach der Bestimmung von M. v. Dolgopolow, = 3,111.

2) Der Euklaskrystall, welchen P. v. Jeremejew beschrieben hat, bot schon mehr complicirtere Combinationen, als der vorhergehende dar, und an demselben hat der oben erwähnte Gelehrte zwei neue, in dem Euklas bis jetzt noch nicht bekannte Formen bestimmt, nämlich: die positive Hemipyramide $D = + (3P6)$ und das Klindoma $F = (\frac{1}{4}P\infty)$. Der Krystall ist theilweise durchsichtig, theilweise durchscheinend; seine Farbe ist bläulich-grün in's lauchgrüne ziehend; er wiegt 3,0228 Gram.; sein specifisches Gewicht, nach der Bestimmung von P. v. Jeremejew, = 3,051.

Die Formen, welche an demselben P. v. Jeremejew beobachtet hat sind folgende:

$$\begin{aligned}
 d &= + P \\
 r &= - P \\
 f &= + (3P3) \\
 D &= + (3P6) \\
 n &= (P\infty) \\
 o &= (2P\infty) \\
 F &= (\frac{1}{4}P\infty) \\
 q &= (3P\infty) \\
 N &= \infty P \\
 \delta &= \infty P\frac{3}{2} \\
 T &= (\infty P\infty) \text{ vollkommenste Spaltungsfläche.}
 \end{aligned}$$

Was das Prisma $\delta = \infty P\frac{3}{2}$ anbelangt, so ist dasselbe bis jetzt nur in den ausländischen Euklaskrystallen vorgekommen, in den russischen aber noch nicht beobachtet worden.

P. v. Jeremejew giebt für die Grundform des Euklas ein neues Axenverhältniss, welches er aus seinen Messungen an einem einzigen und dabei nicht vollkommen gut ausgebildeten Krystalle berechnet hat. »Wegen der Unvollkommenheiten der Oberfläche einiger Flächen«, sagt unter anderem P. v. Jeremejew, »wegen der Durchwachsung »der in dem Bau des Krystalls kommenden Individuen, so wie wegen der Aufwachsung der Subindividuen, welche nicht immer in »paralleler Lage liegen, war der erwähnte Euklas nur theilweise zu »genauen Messungen tauglich« u. s. w.

Es scheint mir daher, dass noch kein hinreichender Grund vorhanden ist das alte Axenverhältniss, welches von Schabus und von mir aus zahlreichen, an mehreren Krystallen ausgeführten Messungen abgeleitet wurde, durch ein neues zu ersetzen.

Das alte Axenverhältniss war, wie bekannt, folgendes ¹⁾:

$$\left. \begin{aligned} a : b : c &= 1 : 0,97135 : 3,00086 \\ &= 0,3332378 : 0,3236905 : 1 \\ \gamma &= 79^\circ 44' 4'' \end{aligned} \right\} \begin{array}{l} \text{Schabus} \\ \text{und} \\ \text{Kokscharow.} \end{array}$$

Das neue:

$$\left. \begin{aligned} a : b : c &= 1 : 0,9744155 : 3,0051382 \\ &= 0,3327634 : 0,3242498 : 1 \\ \gamma &= 79^\circ 44' 10'' \end{aligned} \right\} \text{Jeremejew.}$$

wo a = Verticalaxe, b = Klinodiagonale, c = Orthodiagonale und γ = Winkel zwischen a und b .

Hieraus ersieht man, dass zwischen diesen beiden Axenverhältnissen fast kein Unterschied stattfindet.

¹⁾ Vergl. Jakob Schabus: „Monographie des Euklases“. Denkschriften der math.-naturwissensch. Classe der K. K. Akademie der Wissenschaften zu Wien. 1854, Bd. VI.

N. v. Kokscharow: „Materialien zur Mineralogie Russlands“, 1858, Bd. III, S. 97.

3) R. Köchlin hat, wie schon oben erwähnt wurde, die Euklaskrystalle aus den österreichischen Tauern sehr ausführlich beschrieben.

Schon im Jahre 1881 wurde das so seltene Mineral Euklas zum ersten Male in den österreichischen Alpen aufgefunden und dieses Vorkommen von Becke ¹⁾ beschrieben; aber erst im Jahre 1884 gelang es dem Mineralienhändler Herr Anton Otto, abermals mehrere Euklas-Stufen in den Alpen aufzufinden. Brezina ²⁾ hat die erste Notiz über eine dieser Stufen gegeben und endlich im Jahre 1886 hat R. Köchlin eine umfassende Arbeit geliefert.

In den Alpinischen Euklaskrystallen hat R. Köchlin eine ziemlich grosse Anzahl von neuen Formen entdeckt, nämlich:

Genügend sicher bestimmte Formen.

$$\lambda = - (5P5), \mu = + 2P2, \kappa = + 2P$$

Weniger sicher bestimmte Formen.

$$\omega = + 2P\frac{2}{3}, A = - (\frac{4}{3}P41).$$

Ganz unsicher bestimmte Formen.

$$B = (\infty P12), C = (\infty P10), E = (\infty P9), G = (\infty P\frac{2}{3}), \\ K = \infty P12, Q = \infty P23, V = - (\frac{2}{4}P\frac{2}{4}), W = - (3P3), \\ Z = + 2P\frac{2}{3}.$$

4) Wenn man nun alle bisjetzt beschriebenen Euklasformen zusammenstellt, so erhält man eine sehr zahlreiche Reihe von Krystallformen:

¹⁾ F. Becke: „Euklas aus den Alpen“. Min. petr. Mitth. Wien, 1881, Bd. IV, § 147.

²⁾ A. Brezina: „Verhandlungen der K. K. geolog. Reichsanstalt“. Wien 1884, № 18, S. 389

Hemipyramiden der Grundreihe.

$$\begin{aligned} a &= + \frac{1}{2}P = + \left(\frac{1}{2}a : b : c\right) \\ d &= + P = + (a : b : c) \\ x &= + 2P = + (2a : b : c) \\ r &= - P = - (a : b : c) \end{aligned}$$

Orthodiagonale Hemipyramiden.

$$\begin{aligned} Z &= + 2P\frac{2}{3} = + (2a : b : \frac{2}{3}c) \\ \omega &= + 2P\frac{5}{3} = + (2a : b : \frac{5}{3}c) \\ \mu &= + 2P2 = + (2a : b : 2c) \\ \nu &= - P\frac{3}{2} = - (a : b : \frac{3}{2}c) \end{aligned}$$

Klinodiagonale Hemipyramiden.

$$\begin{aligned} \Theta &= + (2P2) = + (2a : 2b : c) \\ b &= + (2P4) = + (2a : 4b : c) \\ k &= + \left(\frac{1}{4}P\frac{1}{2}\right) = + \left(\frac{1}{4}a : \frac{1}{2}b : c\right) \\ x &= + (4P8) = + (4a : 8b : c) \\ f &= + (3P3) = + (3a : 3b : c) \\ e &= + (3P\frac{3}{2}) = + (3a : \frac{3}{2}b : c) \\ m &= + (3P\frac{6}{5}) = + (3a : \frac{6}{5}b : c) \\ D &= + (3P6) = + (3a : 6b : c) \\ p &= + \left(\frac{1}{5}P7\right) = + \left(\frac{1}{5}a : 7b : c\right) \\ w &= + \left(\frac{7}{3}P7\right) = + \left(\frac{7}{3}a : 7b : c\right) \\ y &= + \left(\frac{2}{3}P\frac{2}{18}\right) = + \left(\frac{2}{3}a : \frac{2}{18}b : c\right) \\ u &= - (2P2) = - (2a : 2b : c) \\ V &= - \left(\frac{9}{4}P\frac{9}{4}\right) = - \left(\frac{9}{4}a : \frac{9}{4}b : c\right) \\ W &= - (3P3) = - (3a : 3b : c) \\ i &= - (4P4) = - (4a : 4b : c) \\ \lambda &= - (5P5) = - (5a : 5b : c) \\ A &= - \left(\frac{4}{3}P41\right) = - \left(\frac{4}{3}a : 41b : c\right) \end{aligned}$$

Hemidomen.

$$\begin{aligned} z &= + \frac{1}{4}P\infty = + (\frac{1}{4}a : b : \infty c) \\ g &= + \frac{1}{2}P\infty = + (\frac{1}{2}a : b : \infty c) \\ P &= + P\infty = + (a : b : \infty c) \\ S &= + 2P\infty = + (2a : b : \infty c) \end{aligned}$$

Klinodomen.

$$\begin{aligned} n &= (P\infty) = (a : \infty b : c) \\ o &= (2P\infty) = (2a : \infty b : c) \\ F &= (\frac{1}{4}P\infty) = (\frac{1}{4}a : \infty b : c) \\ q &= (3P\infty) = (3a : \infty b : c) \\ R &= (4P\infty) = (4a : \infty b : c) \\ H &= (6P\infty) = (6a : \infty b : c) \end{aligned}$$

Orthodiagonale Prismen.

$$\begin{aligned} N &= \infty P = (\infty a : b : c) \\ h &= \infty P\frac{6}{5} = (\infty a : b : \frac{6}{5}c) \\ \delta &= \infty P\frac{3}{2} = (\infty a : b : \frac{3}{2}c) \\ X &= \infty P2 = (\infty a : b : 2c) \\ Y &= \infty P3 = (\infty a : b : 3c) \\ \epsilon &= \infty P4 = (\infty a : b : 4c) \\ \zeta &= \infty P9 = (\infty a : b : 9c) \\ K &= \infty P12 = (\infty a : b : 12c) \\ \eta &= \infty P16 = (\infty a : b : 16c) \\ Q &= \infty P23 = (\infty a : b : 23c) \end{aligned}$$

Klinodiagonale Prismen.

$$\begin{aligned} \gamma &= (\infty P\frac{7}{6}) = (\infty a : \frac{7}{6}b : c) \\ l &= (\infty P\frac{4}{3}) = (\infty a : \frac{4}{3}b : c) \\ \beta &= (\infty P\frac{3}{2}) = (\infty a : \frac{3}{2}b : c) \end{aligned}$$

$$\begin{aligned} \alpha &= (\infty P \frac{9}{8}) = (\infty a : \frac{9}{8} b : c) \\ s &= (\infty P 2) = (\infty a : 2b : c) \\ L &= (\infty P 3) = (\infty a : 3b : c) \\ G &= (\infty P \frac{7}{2}) = (\infty a : \frac{7}{2} b : c) \\ E &= (\infty P 9) = (\infty a : 9b : c) \\ C &= (\infty P 10) = (\infty a : 10b : c) \\ B &= (\infty P 12) = (\infty a : 12b : c) \end{aligned}$$

Pinakoide.

$$\begin{aligned} t &= oP = (a : \infty b : \infty c) \\ M &= \infty P \infty = (\infty a : b : \infty c) \\ T &= (\infty P \infty) = (\infty a : \infty b : c) \end{aligned}$$

5) Um endlich unsere Berechnungen der Euklasformen zu vervollständigen, geben wir hier die Berechnungen derjenigen Euklasformen, welche in meinem Werke noch nicht erwähnt wurden. Diese Berechnungen sind aus dem alten von Schabus und von mir abgeleiteten Axenverhältnisse:

$$a : b : c = 1 : 0,97135 : 3,00086 \quad \gamma = 79^\circ 44' 4''$$

ausgeführt, bei Beibehaltung unserer Bezeichnung.

Auf diese Weise erhält man durch Rechnung nachstehende Winkel.

Für die Hemipyramiden der Grundreihe.

$$\begin{aligned} a &= + \frac{1}{2} P \\ X &= 81^\circ \quad 2' \quad 27'' \\ Y &= 71 \quad 21 \quad 27 \\ Z &= 30 \quad 22 \quad 37 \\ \mu &= 71^\circ \quad 7' \quad 7'' \\ \nu &= 29 \quad 8 \quad 49 \\ \rho &= 80 \quad 32 \quad 25 \\ \sigma &= 72 \quad 3 \quad 50 \end{aligned}$$

Also:

$$a : t = 149^{\circ} 37' 23''$$

$$a : M = 108 \ 38 \ 33$$

$$a : T = 98 \ 57 \ 33$$

$$x = + 2P$$

$$X = 72^{\circ} 49' 52''$$

$$Y = 32 \ 9 \ 32$$

$$Z = 73 \ 26 \ 38$$

$$\mu = 27^{\circ} 37' 4''$$

$$\nu = 72 \ 38 \ 52$$

$$\rho = 56 \ 19 \ 3$$

$$\sigma = 72 \ 3 \ 50$$

Also:

$$x : t = 106^{\circ} 33' 22''$$

$$x : M = 147 \ 50 \ 28$$

$$x : T = 107 \ 10 \ 8$$

Für die orthodiagonalen Hemipyramiden.

$$Z = + 2P^2$$

$$X = 78^{\circ} 21' 41''$$

$$Y = 29 \ 47 \ 28$$

$$Z = 73 \ 0 \ 56$$

$$\mu = 27^{\circ} 37' 4''$$

$$\nu = 72 \ 38 \ 52$$

$$\rho = 66 \ 2 \ 37$$

$$\sigma = 77 \ 49 \ 22$$

Also:

$$Z : t = 106^{\circ} 59' 4''$$

$$Z : M = 150 \ 12 \ 32$$

$$Z : T = 101 \ 38 \ 19$$

— 112 —

$$\omega = + 2P\frac{5}{3}$$

$$X = 79^{\circ} 29' 53''$$

$$Y = 29 \ 23 \ 59$$

$$Z = 72 \ 56 \ 51$$

$$\mu = 27^{\circ} 37' 4''$$

$$\nu = 72 \ 38 \ 52$$

$$\rho = 68 \ 12 \ 15$$

$$\sigma = 79 \ 0 \ 33$$

Also:

$$\omega : t = 107^{\circ} 3' 9''$$

$$\omega : M = 150 \ 36 \ 1$$

$$\omega : T = 100 \ 30 \ 7$$

$$\mu = + 2P2$$

$$X = 81^{\circ} 13' 6''$$

$$Y = 28 \ 52 \ 31$$

$$Z = 72 \ 51 \ 27$$

$$\mu = 27^{\circ} 37' 4''$$

$$\nu = 72 \ 38 \ 52$$

$$\rho = 71 \ 34 \ 12$$

$$\sigma = 80 \ 48 \ 24$$

Also:

$$\mu : t = 107^{\circ} 8' 33''$$

$$\mu : M = 151 \ 7 \ 29$$

$$\mu : T = 98 \ 46 \ 54$$

$$v = - P\frac{3}{2}$$

$$X' = 82^{\circ} 0' 44''$$

$$Y' = 39 \ 50 \ 58$$

$$Z' = 41 \ 12 \ 28$$

$$\mu' = 39^\circ 10' 19''$$

$$\nu' = 40 \quad 33 \quad 45$$

$$\rho = 77 \quad 28 \quad 29$$

$$\sigma = 77 \quad 49 \quad 22$$

Also:

$$v : t = 138^\circ 47' 32''$$

$$v : M = 140 \quad 9 \quad 2$$

$$v : T = 97 \quad 59 \quad 16$$

Für die klinodiagonalen Hemipyramiden.

$$b = + (2P_4)$$

$$X = 57^\circ 45' 50''$$

$$Y = 74 \quad 6 \quad 50$$

$$Z = 42 \quad 22 \quad 30$$

$$\mu = 71^\circ 7' 7''$$

$$\nu = 29 \quad 8 \quad 49$$

$$\rho = 56 \quad 19 \quad 3$$

$$\sigma = 37 \quad 40 \quad 50$$

Also:

$$b : t = 137^\circ 37' 30''$$

$$b : M = 105 \quad 53 \quad 10$$

$$b : T = 122 \quad 14 \quad 10$$

$$k = + \left(\frac{1}{4}P\frac{1}{2}\right)$$

$$X = 44^\circ 17' 59''$$

$$Y = 76 \quad 56 \quad 15$$

$$Z = 52 \quad 24 \quad 45$$

$$\mu = 71^\circ 7' 7''$$

$$\nu = 29 \quad 8 \quad 49$$

$$\rho = 42 \quad 43 \quad 3$$

$$\sigma = 25 \quad 25 \quad 16$$

Also:

$$k : t = 127^{\circ} 35' 15''$$

$$k : M = 103 \quad 3 \quad 45$$

$$k : T = 135 \quad 42 \quad 1$$

$$x = + (4P8)$$

$$X = 38^{\circ} 24' 36''$$

$$Y = 78 \quad 24 \quad 5$$

$$Z = 57 \quad 8 \quad 18$$

$$\mu = 71^{\circ} 7' 7''$$

$$\nu = 29 \quad 8 \quad 49$$

$$\rho = 36 \quad 52 \quad 40$$

$$\sigma = 21 \quad 6 \quad 54$$

Also:

$$x : t = 122^{\circ} 51' 42''$$

$$x : M = 101 \quad 35 \quad 55$$

$$x : T = 141 \quad 35 \quad 24$$

$$m = + (3P\frac{2}{3})$$

$$X = 61^{\circ} 40' 52''$$

$$Y = 42 \quad 8 \quad 30$$

$$Z = 70 \quad 26 \quad 28$$

$$\mu = 32^{\circ} 37' 2''$$

$$\nu = 67 \quad 38 \quad 54$$

$$\rho = 45 \quad 0 \quad 30$$

$$\sigma = 59 \quad 46 \quad 23$$

Also:

$$m : t = 109^{\circ} 33' 32''$$

$$m : M = 137 \quad 51 \quad 30$$

$$m : T = 118 \quad 19 \quad 8$$

$$\begin{aligned}D &= + (3P6) \\X &= 46^\circ 35' 30'' \\Y &= 76 \ 24 \ 10 \\Z &= 50 \ 37 \ 6 \\ \mu &= 71^\circ 7' 7'' \\ \nu &= 29 \ 8 \ 49 \\ \rho &= 45 \ 0 \ 30 \\ \sigma &= 27 \ 14 \ 37\end{aligned}$$

Also:

$$\begin{aligned}D : t &= 129^\circ 22' 54'' \\D : M &= 103 \ 35 \ 50 \\D : T &= 133 \ 24 \ 30\end{aligned}$$

$$\begin{aligned}p &= + (\frac{1}{5}P7) \\X &= 47^\circ 45' 56'' \\Y &= 80 \ 9 \ 12 \\Z &= 47 \ 17 \ 0 \\ \mu &= 76^\circ 38' 45'' \\ \nu &= 23 \ 37 \ 11 \\ \rho &= 46 \ 58 \ 59 \\ \sigma &= 23 \ 48 \ 49\end{aligned}$$

Also:

$$\begin{aligned}p : t &= 132^\circ 43' 0'' \\p : M &= 99 \ 50 \ 48 \\p : T &= 132 \ 14 \ 4\end{aligned}$$

$$\begin{aligned}w &= + (\frac{7}{5}P7) \\X &= 52^\circ 31' 1'' \\Y &= 82 \ 27 \ 41 \\Z &= 41 \ 41 \ 39 \\ \mu &= 80^\circ 29' 1'' \\ \nu &= 19 \ 46 \ 55 \\ \rho &= 52 \ 7 \ 59 \\ \sigma &= 23 \ 48 \ 49\end{aligned}$$

Also:

$$w : t = 138^{\circ} 18' 21''$$

$$w : M = 97 \ 32 \ 19$$

$$w : T = 127 \ 28 \ 59$$

$$y = + \left(\begin{smallmatrix} 2^{\circ} & P & 2^{\circ} \\ 3 & & 8 \end{smallmatrix} \right)$$

$$X = 62^{\circ} 27' 40''$$

$$Y = 28 \ 57 \ 18$$

$$Z = 89 \ 9 \ 28$$

$$\mu = 9^{\circ} 18' 56''$$

$$\nu = 90 \ 57 \ 0$$

$$\rho = 17 \ 14 \ 46$$

$$\sigma = 62 \ 27 \ 28$$

Also:

$$y : t = 90^{\circ} 50' 32''$$

$$y : M = 151 \ 2 \ 42$$

$$y : T = 117 \ 32 \ 20$$

$$V = - \left(\begin{smallmatrix} 2^{\circ} & P & 2^{\circ} \\ 4 & & 1 \end{smallmatrix} \right)$$

$$X' = 64^{\circ} 39' 28''$$

$$Y' = 45 \ 31 \ 15$$

$$Z' = 46 \ 38 \ 21$$

$$\mu' = 39^{\circ} 40' 19''$$

$$\nu' = 40 \ 33 \ 45$$

$$\rho = 53 \ 8 \ 17$$

$$\sigma = 53 \ 56 \ 2$$

Also:

$$V : t = 133^{\circ} 21' 39''$$

$$V : M = 134 \ 28 \ 45$$

$$V : T = 115 \ 20 \ 32$$

$$W = - (3P3)$$

$$X' = 57^\circ 43' 44''$$

$$Y' = 49 \quad 2 \quad 32$$

$$Z' = 50 \quad 1 \quad 58$$

$$\mu' = 39^\circ 10' 19''$$

$$\nu' = 40 \quad 33 \quad 45$$

$$\rho = 45 \quad 0 \quad 30$$

$$\sigma = 45 \quad 50 \quad 27$$

Also:

$$W : t = 129^\circ 58' 2''$$

$$W : M = 130 \quad 57 \quad 28$$

$$W : T = 122 \quad 16 \quad 16$$

$$\lambda = - (5P5)$$

$$X' = 43^\circ 32' 11''$$

$$Y' = 57 \quad 43 \quad 25$$

$$Z' = 58 \quad 26 \quad 48$$

$$\mu' = 39^\circ 10' 19''$$

$$\nu' = 40 \quad 33 \quad 45$$

$$\rho = 30 \quad 58 \quad 16$$

$$\sigma = 34 \quad 42 \quad 39$$

Also:

$$\lambda : t = 121^\circ 33' 12''$$

$$\lambda : M = 122^\circ 16 \quad 35$$

$$\lambda : T = 136 \quad 27 \quad 49$$

$$A = - (\frac{1}{3}P 41)$$

$$X' = 66^\circ 41' 20''$$

$$Y' = 78 \quad 52 \quad 37$$

$$Z' = 23 \quad 22 \quad 52$$

$$u' = 77^\circ 52' 26''$$

$$\nu' = 1 \quad 51 \quad 38$$

$$\rho = 66 \quad 12 \quad 55$$

$$\sigma = 4 \quad 18 \quad 33$$

Also:

$$A : t = 156^{\circ} 37' 8''$$

$$A : M = 101 \quad 7 \quad 23$$

$$A : T = 113 \quad 18 \quad 40$$

Für die Hemidomen.

$$z = + \frac{1}{4}P_{\infty}$$

$$X = 90^{\circ} 0' 0''$$

$$Y = 85 \quad 24 \quad 1$$

$$Z = 14 \quad 51 \quad 55$$

Also:

$$z : t = 165^{\circ} 8' 5''$$

$$z : M = 94 \quad 35 \quad 59$$

$$z : T = 90 \quad 0 \quad 0$$

$$P = + P_{\infty}$$

$$X = 90^{\circ} 0' 0''$$

$$Y = 49 \quad 8 \quad 9$$

$$Z = 51 \quad 7 \quad 47$$

Also:

$$P : t = 128^{\circ} 52' 13''$$

$$P : M = 130 \quad 51 \quad 51$$

$$P : T = 90 \quad 0 \quad 0$$

$$S = + 2P_{\infty}$$

$$X = 90^{\circ} 0' 0''$$

$$Y = 27 \quad 37 \quad 4$$

$$Z = 72 \quad 38 \quad 52$$

Also:

$$S : t = 107^{\circ} 21' 8''$$

$$S : M = 152 \quad 22 \quad 56$$

$$S : T = 90 \quad 0 \quad 0$$

Für die Klinodomen.

$$F = \left(\frac{1}{4}P\infty\right)$$

$$X = 47^\circ 57' 29''$$

$$Y = 97 \ 36 \ 19$$

$$Z = 42 \ 2 \ 31$$

Also:

$$F : t = 137^\circ 57' 29''$$

$$F : M = 82 \ 23 \ 41$$

$$F : T = 132 \ 2 \ 31$$

Für die orthodiagonalen Prismen.

$$h = \infty P \frac{2}{3}$$

$$X = 75^\circ 8' 6''$$

$$Y = 14 \ 51 \ 54$$

$$Z = 99 \ 55 \ 6$$

Also:

$$h : t = 80^\circ 4' 54''$$

$$h : M = 165 \ 8 \ 6$$

$$h : T = 104 \ 51 \ 54$$

$$\delta = \infty P \frac{2}{3}$$

$$X = 78^\circ 0' 43''$$

$$Y = 11 \ 59 \ 17$$

$$Z = 100 \ 2 \ 22$$

Also:

$$\delta : t = 79^\circ 57' 38''$$

$$\delta : M = 168 \ 0 \ 43$$

$$\delta : T = 101 \ 59 \ 17$$

— 120 —

$X = \infty P2$

$X = 80^{\circ} 57' 5''$

$Y = 9 \ 2 \ 55$

$Z = 100 \ 8 \ 11$

Also:

$X : t = 79^{\circ} 51' 49''$

$X : M = 170 \ 57 \ 5$

$X : T = 99 \ 2 \ 55$

$Y = \infty P3$

$X = 83^{\circ} 56' 23''$

$Y = 6 \ 3 \ 37$

$Z = 100 \ 12 \ 27$

Also:

$Y : t = 79^{\circ} 47' 33''$

$Y : M = 173 \ 56 \ 23$

$Y : T = 96 \ 3 \ 37$

$\epsilon = \infty P4$

$X = 85^{\circ} 26' 50''$

$Y = 4 \ 33 \ 10$

$Z = 100 \ 13 \ 58$

Also:

$\epsilon : t = 79^{\circ} 46' 2''$

$\epsilon : M = 175 \ 26 \ 50$

$\epsilon : T = 94 \ 33 \ 10$

$K = \infty P12$

$X = 88^{\circ} 28' 47''$

$Y = 1 \ 31 \ 13$

$Z = 100 \ 15 \ 43$

Also:

$$K : t = 79^\circ 44' 17''$$

$$K : M = 178 \ 28 \ 47$$

$$K : T = 91 \ 31 \ 13$$

$$n = \infty P16$$

$$X = 88^\circ 51' 34$$

$$Y = 1 \ 8 \ 26$$

$$Z = 100 \ 15 \ 49$$

Also:

$$n : t = 79^\circ 44' 11''$$

$$n : M = 178 \ 51 \ 34$$

$$n : T = 91 \ 8 \ 26$$

$$Q = \infty P23$$

$$X = 89^\circ 12' 24''$$

$$Y = 0 \ 47 \ 36$$

$$Z = 100 \ 15 \ 52$$

Also:

$$Q : t = 79^\circ 44' 8''$$

$$Q : M = 179 \ 12 \ 24$$

$$Q : T = 90 \ 47 \ 36$$

Für die klinodiagonalen Prismen.

$$\gamma = (\infty P\frac{7}{6})$$

$$X = 69^\circ 36' 55''$$

$$Y = 20 \ 23 \ 5$$

$$Z = 99 \ 36 \ 59$$

Also:

$$\gamma : t = 80^\circ 23' 1''$$

$$\gamma : M = 159 \ 36 \ 55$$

$$\gamma : T = 110 \ 23 \ 5$$

$$l = (\infty P \frac{1}{2})$$

$$X = 66^{\circ} 59' 24''$$

$$Y = 23 \quad 0 \quad 36$$

$$Z = 99 \quad 26 \quad 28$$

Also:

$$l : t = 80^{\circ} 33' 32''$$

$$l : M = 156 \quad 59 \quad 24$$

$$l : T = 113 \quad 0 \quad 36$$

$$\beta = (\infty P \frac{3}{2})$$

$$X = 64^{\circ} 27' 48''$$

$$Y = 25 \quad 32 \quad 12$$

$$Z = 99 \quad 15 \quad 12$$

Also:

$$\beta : t = 80^{\circ} 44' 48''$$

$$\beta : M = 154 \quad 27 \quad 48$$

$$\beta : T = 115 \quad 32 \quad 12$$

$$\alpha = (\infty P \frac{2}{5})$$

$$X = 60^{\circ} 10' 25''$$

$$Y = 29 \quad 49 \quad 35$$

$$Z = 98 \quad 53 \quad 38$$

Also:

$$\alpha : t = 81^{\circ} 6' 22''$$

$$\alpha : M = 150 \quad 10 \quad 25$$

$$\alpha : T = 119 \quad 49 \quad 35$$

$$L = (\infty P 3)$$

$$X = 46^{\circ} 18' 10''$$

$$Y = 43 \quad 41 \quad 50$$

$$Z = 97 \quad 24 \quad 11$$

Also:

$$L : t = 82^{\circ} 35' 49''$$

$$L : M = 136 \ 18 \ 10$$

$$L : T = 133 \ 41 \ 50$$

$$G = (\infty P \frac{7}{3})$$

$$X = 41^{\circ} 53' 36''$$

$$Y = 48 \ 6 \ 24$$

$$Z = 96 \ 50 \ 4$$

Also:

$$G : t = 83^{\circ} 9' 56''$$

$$G : M = 131 \ 53 \ 36$$

$$G : T = 138 \ 6 \ 24$$

$$E = (\infty P9)$$

$$X = 19^{\circ} 13' 52''$$

$$Y = 70 \ 46 \ 8$$

$$Z = 93 \ 21 \ 55$$

Also:

$$E : t = 86^{\circ} 38' 5''$$

$$E : M = 109 \ 13 \ 52$$

$$E : T = 160 \ 46 \ 8$$

$$C = (\infty P10)$$

$$X = 17^{\circ} 25' 49''$$

$$Y = 72 \ 34 \ 11$$

$$Z = 93 \ 3 \ 35$$

Also:

$$C : t = 86^{\circ} 56' 25''$$

$$C : M = 107 \ 25 \ 49$$

$$C : T = 162 \ 34 \ 11$$

$$B = (\infty P12)$$

$$X = 14^\circ 39' 43''$$

$$Y = 75 \ 20 \ 17$$

$$Z = 92 \ 35 \ 7$$

Also:

$$B : t = 87^\circ 24' 53''$$

$$B : M = 104 \ 39 \ 43$$

$$B : T = 165 \ 20 \ 17$$

Hier unten folgen einige Combinationswinkel der Euklaskry-
stalle, welche noch nicht in unserem Werke gegeben waren:

$r : d$	}	= 91° 16' 43''
Im orthodiagon. Hauptschnitte		
$r : \mu$	}	= 69 31 54
Im orthodiagon. Hauptschnitte		
$a : a$	}	= 162 4 54
Klinod. Polkante		
$a : d$	}	= 157 51 37
anliegende		
$a : x$	}	= 136 55 59
anliegende		
$a : N$	}	= 110 36 3
anliegende		
$x : x$	}	= 145 39 44
Klinod. Polkante		
$x : d$	}	= 159 4 22
anliegende		
$x : N$	}	= 153 40 4
anliegende		
$x : \omega$	}	= 173 19 59
anliegende		
$x : X$	}	= 151 56 28
anliegende		

$\alpha : \mu$ anliegende	} = 171° 36' 46''
$\omega : \omega$ Klinod. Polkante	} = 158 59 46
$\omega : Z$ anliegende	} = 178 51 48
$\omega : \mu$ anliegende	} = 178 16 47
$Z : Z$ Klinod. Polkante	} = 156 43 22
$Z : \mu$ anliegende	} = 177 8 35
$\mu : \mu$ Klinod. Polkante	} = 162 26 12
$\mu : d$ anliegende	} = 158 15 11
$\mu : r$ Im orthodiagon. Hauptschnitte	} = 69 31 54
$\mu : X$ anliegende	} = 153 4 53
$v : v$ Klinod. Polkante	} = 164 1 28
$v : r$ anliegende	} = 176 6 5
$b : b$ Klinod. Polkante	} = 115 31 40
$b : k$ anliegende	} = 166 32 9
$b : x$ anliegende	} = 160 38 46
$k : k$ Klinod. Polkante	} = 88 35 58
$k : x$ anliegende	} = 174 6 37
$k : D$ anliegende	} = 177 42 29
$x : x$ Klinod. Polkante	} = 76 49 12
$m : m$ Klinod. Polkante	} = 123 21 44

$m : D$ anliegende	} = 145° 44' 20"
$D : D$ Klinod. Polkante	} = 93 11 0
$p : p$ Klinod. Polkante	} = 95 31 52
$p : w$ anliegende	} = 174 24 39
$w : w$ Klinod. Polkante	} = 105 2 2
$y : y$ Klinod. Polkante	} = 124 55 20
$V : V$ Klinod. Polkante	} = 129 18 56
$V : W$ anliegende	} = 173 4 16
$V : \lambda$ anliegende	} = 158 52 43
$W : W$ Klinod. Polkante	} = 115 27 28
$W : \lambda$ anliegende	} = 165 48 27
$A : A$ Klinod. Polkante	} = 133 22 40
$\lambda : \lambda$ Klinod. Polkante	} = 87 4 22
$\lambda : s$ anliegende	} = 147 7 36
$\lambda : q$ anliegende	} = 151 48 54
$\lambda : i$ anliegende	} = 173 37 56
$z : P$ anliegende	} = 143 44 8
$z : S$ anliegende	} = 122 13 3
$P : S$ anliegende	} = 158 28 55
$S : o$ anliegende	} = 104 26 31
$S : d$ anliegende	} = 154 26 6

$S : n$ anliegende	}	=	106°	27'	47''
$h : h$ Klinod. Polkante	}	=	150	16	12
$h : t =$	{		80	4	54
			99	55	6
$h : \delta$ anliegende	}	=	177	7	23
$h : X$ anliegende	}	=	174	11	1
$h : Y$ anliegende	}	=	171	11	43
$h : \epsilon$ anliegende	}	=	169	41	16
$h : K$ anliegende	}	=	166	39	19
$h : \eta$ anliegende	}	=	166	16	32
$h : Q$ anliegende	}	=	165	55	42
$h : \gamma$ anliegende	}	=	174	28	49
$h : l$ anliegende	}	=	171	51	18
$h : \beta$ anliegende	}	=	169	19	42
$h : \alpha$ anliegende	}	=	165	2	19
$h : L$ anliegende	}	=	151	10	4
$h : G$ anliegende	}	=	146	45	30
$h : E$ anliegende	}	=	124	5	46
$h : C$ anliegende	}	=	122	17	43
$h : B$ anliegende	}	=	119	31	37
$N : t =$	{		80	13	26
			99	46	34

<i>N</i> : <i>S</i> anliegende	} = 147° 35' 37"
<i>N</i> : <i>h</i> anliegende	} = 177 11 52
<i>N</i> : <i>δ</i> anliegende	} = 174 19 15
<i>N</i> : <i>X</i> anliegende	} = 171 22 53
<i>N</i> : <i>Y</i> anliegende	} = 168 23 35
<i>N</i> : <i>ε</i> anliegende	} = 166 53 8
<i>N</i> : <i>ζ</i> anliegende	} = 164 21 35
<i>N</i> : <i>K</i> anliegende	} = 163 51 11
<i>N</i> : <i>η</i> anliegende	} = 163 28 24
<i>N</i> : <i>Q</i> anliegende	} = 163 7 34
<i>N</i> : <i>γ</i> anliegende	} = 177 16 57
<i>N</i> : <i>l</i> anliegende	} = 174 39 26
<i>N</i> : <i>β</i> anliegende	} = 172 7 50
<i>N</i> : <i>α</i> anliegende	} = 167 50 27
<i>N</i> : <i>s</i> anliegende	} = 165 10 10
<i>N</i> : <i>L</i> anliegende	} = 153 58 12
<i>N</i> : <i>G</i> anliegende	} = 149 33 38
<i>N</i> : <i>E</i> anliegende	} = 126 53 54
<i>N</i> : <i>C</i> anliegende	} = 125 5 51
<i>N</i> : <i>B</i> anliegende	} = 122 19 45
<i>X</i> : <i>X</i> Klinod. Kute	} = 161 54 10

$X : t$	=	{	79° 51' 49''	
			100 8 11	
$X : \delta$		}	= 177 3 38	
anliegende				
$X : Y$		}	= 177 0 42	
anliegende				
$X : \varepsilon$		}	= 175 30 15	
anliegende				
$X : K$		}	= 172 28 18	
anliegende				
$X : \eta$		}	= 172 5 31	
anliegende				
$X : Q$		}	= 171 44 41	
anliegende				
$X : \gamma$		}	= 168 39 50	
anliegende				
$X : l$		}	= 166 2 19	
anliegende				
$X : \beta$		}	= 163 30 43	
anliegende				
$X : \alpha$		}	= 159 13 20	
anliegende				
$X : L$		}	= 145 21 5	
anliegende				
$X : G$		}	= 140 56 31	
anliegende				
$X : E$		}	= 118 16 47	
anliegende				
$X : C$		}	= 116 28 44	
anliegende				
$X : B$		}	= 113 42 38	
anliegende				
$\delta : \delta$		}	= 156 1 26	
Klinod. Kante				
$\delta : t$	=	{	79 57 38	
			100 2 22	
$\delta : Y$		}	= 174 4 20	
anliegende				
$\delta : \varepsilon$		}	= 172 33 53	
anliegende				

$\delta : K$ anliegende	} = 169° 31' 56''
$\delta : \eta$ anliegende	} = 169 9 9
$\delta : Q$ anliegende	} = 168 48 19
$\delta : \gamma$ anliegende	} = 171 36 12
$\delta : l$ anliegende	} = 168 58 41
$\delta : \beta$ anliegende	} = 166 27 5
$\delta : \alpha$ anliegende	} = 162 9 42
$\delta : L$ anliegende	} = 148 17 27
$\delta : G$ anliegende	} = 143 52 53
$\delta : E$ anliegende	} = 121 13 9
$\delta : C$ anliegende	} = 119 25 6
$\delta : B$ anliegende	} = 116 39 0
$Y : Y$ Klinod. Kante	} = 167 52 46
$Y : t =$	{ 79 47 33 100 12 27
$Y : \varepsilon$ anliegende	} = 178 29 33
$Y : K$ anliegende	} = 175 27 36
$Y : \eta$ anliegende	} = 175 4 49
$Y : Q$ anliegende	} = 174 43 59
$Y : \gamma$ anliegende	} = 165 40 32
$Y : l$ anliegende	} = 163 3 1
$Y : \beta$ anliegende	} = 160 31 25

<i>Y</i> : α anliegende	} = 156° 14' 2''
<i>Y</i> : <i>L</i> anliegende	} = 142 21 47
<i>Y</i> : <i>G</i> anliegende	} = 137 57 13
<i>Y</i> : <i>E</i> anliegende	} = 115 17 29
<i>Y</i> : <i>C</i> anliegende	} = 113 29 26
<i>Y</i> : <i>B</i> anliegende	} = 110 43 20
ε : ε Klinod. Kante	} = 170 53 40
ε : <i>t</i> =	{ 79 46 2 100 13 58
ε : <i>K</i> anliegende	} = 176 58 3
ε : η anliegende	} = 176 35 16
ε : <i>Q</i> anliegende	} = 176 14 26
ε : γ anliegende	} = 164 10 5
ε : <i>l</i> anliegende	} = 161 32 34
ε : β anliegende	} = 159 0 58
ε : α anliegende	} = 154 43 35
ε : <i>L</i> anliegende	} = 140 51 20
ε : <i>G</i> anliegende	} = 136 26 46
ε : <i>E</i> anliegende	} = 113 47 2
ε : <i>C</i> anliegende	} = 111 58 59
ε : <i>B</i> anliegende	} = 109 12 53
<i>K</i> : <i>K</i> Klinod. Kante	} = 176 57 34

$K : t =$	$\left\{ \begin{array}{l} 79^{\circ} 44' 17'' \\ 100 \ 15 \ 43 \end{array} \right.$
$K : \eta$ anliegende	$\} = 179 \ 37 \ 13$
$K : Q$ anliegende	$\} = 179 \ 16 \ 23$
$K : \gamma$ anliegende	$\} = 161 \ 8 \ 8$
$K : l$ anliegende	$\} = 158 \ 30 \ 37$
$K : \beta$ anliegende	$\} = 155 \ 59 \ 1$
$K : \alpha$ anliegende	$\} = 151 \ 41 \ 38$
$K : L$ anliegende	$\} = 137 \ 49 \ 23$
$K : G$ anliegende	$\} = 133 \ 24 \ 49$
$K : E$ anliegende	$\} = 110 \ 45 \ 5$
$K : C$ anliegende	$\} = 108 \ 57 \ 2$
$K : B$ anliegende	$\} = 106 \ 10 \ 56$
$\eta : \eta$ Klinod. Kante	$\} = 177 \ 43 \ 8$
$\eta : t =$	$\left\{ \begin{array}{l} 79 \ 44 \ 11 \\ 100 \ 15 \ 49 \end{array} \right.$
$\eta : Q$ anliegende	$\} = 179 \ 39 \ 10$
$\eta : \gamma$ anliegende	$\} = 160 \ 45 \ 21$
$\eta : l$ anliegende	$\} = 158 \ 7 \ 50$
$\eta : \beta$ anliegende	$\} = 155 \ 36 \ 14$
$\eta : \alpha$ anliegende	$\} = 151 \ 18 \ 51$
$\eta : L$ anliegende	$\} = 137 \ 26 \ 36$
$\eta : G$ anliegende	$\} = 133 \ 2 \ 2$

$\eta : E$ anliegende	} = 110° 22' 18''
$\eta : C$ anliegende	} = 108 34 15
$\eta : B$ anliegende	} = 105 48 9
$Q : Q$ Klinod Kante	} = 178 24 48
$Q : t =$	{ 79 44 8 100 15 52
$Q : \gamma$ anliegende	} = 160 24 31
$Q : l$ anliegende	} = 157 47 0
$Q : \beta$ anliegende	} = 155 15 24
$Q : \alpha$ anliegende	} = 150 58 1
$Q : L$ anliegende	} = 137 5 46
$Q : G$ anliegende	} = 132 41 12
$Q : E$ anliegende	} = 110 1 28
$Q : C$ anliegende	} = 108 13 25
$Q : B$ anliegende	} = 105 27 19
$\gamma : \gamma$ Klinod. Kante	} = 139 13 50
$\gamma : t =$	{ 80 23 1 99 36 59
$\gamma : l$ anliegende	} = 177 22 29
$\gamma : \beta$ anliegende	} = 174 50 53
$\gamma : \alpha$ anliegende	} = 170 33 30
$\gamma : L$ anliegende	} = 156 41 15
$\gamma : G$ anliegende	} = 152 16 41

$\gamma : E$ anliegende	} = 129° 36' 57"
$\gamma : C$ anliegende	} = 127 48 54
$\gamma : B$ anliegende	} = 125 2 48
$l : l$ Klinod. Kante	} = 133 58 48
$l : t =$	{ 80 33 32 99 26 28
$l : \beta$ anliegende	} = 177 28 24
$l : \alpha$ anliegende	} = 173 11 1
$l : L$ anliegende	} = 159 18 46
$l : G$ anliegende	} = 154 54 12
$l : E$ anliegende	} = 132 14 28
$l : C$ anliegende	} = 130 26 25
$l : B$ anliegende	} = 127 40 19
$\beta : \beta$ Klinod. Kante	} = 128 55 36
$\beta : t =$	{ 80 44 48 99 15 12
$\beta : \alpha$ anliegende	} = 175 42 37
$\beta : L$ anliegende	} = 161 50 22
$\beta : G$ anliegende	} = 157 25 48
$\beta : E$ anliegende	} = 134 46 4
$\beta : C$ anliegende	} = 132 58 1
$\beta : B$ anliegende	} = 130 11 55
$\alpha : \alpha$ Klinod. Kante	} = 120 20 50

$\alpha : t =$	$\left\{ \begin{array}{l} 81^\circ 6' 22'' \\ 98 \ 53 \ 38 \end{array} \right.$
$\alpha : L$ anliegende	$\} = 166 \ 7 \ 45$
$\alpha : G$ anliegende	$\} = 161 \ 43 \ 11$
$\alpha : E$ anliegende	$\} = 139 \ 3 \ 27$
$\alpha : C$ anliegende	$\} = 137 \ 15 \ 24$
$\alpha : B$ anliegende	$\} = 134 \ 29 \ 18$
$L : L$ Klinod. Kante	$\} = 92 \ 36 \ 20$
$L : t =$	$\left\{ \begin{array}{l} 82 \ 35 \ 50 \\ 97 \ 24 \ 10 \end{array} \right.$
$L : G$ anliegende	$\} = 175 \ 35 \ 26$
$L : E$ anliegende	$\} = 152 \ 55 \ 42$
$L : C$ anliegende	$\} = 151 \ 7 \ 39$
$L : B$ anliegende	$\} = 148 \ 21 \ 33$
$G : G$ Klinod. Kante	$\} = 83 \ 47 \ 12$
$G : t =$	$\left\{ \begin{array}{l} 83 \ 9 \ 57 \\ 96 \ 50 \ 3 \end{array} \right.$
$G : E$ anliegende	$\} = 157 \ 20 \ 16$
$G : C$ anliegende	$\} = 155 \ 32 \ 13$
$G : B$ anliegende	$\} = 152 \ 46 \ 7$
$E : E$ Klinod. Kante	$\} = 38 \ 27 \ 44$
$E : t =$	$\left\{ \begin{array}{l} 86 \ 38 \ 6 \\ 93 \ 21 \ 54 \end{array} \right.$
$E : C$ anliegende	$\} = 178 \ 11 \ 57$

<i>E</i> : <i>B</i> anliegende	}	=	175°	25'	51''
<i>C</i> : <i>C</i> Klinod. Kante	}	=	34	51	38
<i>C</i> : <i>t</i> =	{		86	56	24
			93	3	36
<i>C</i> : <i>B</i> anliegende	}	=	177	13	54
<i>B</i> : <i>B</i> Klinod. Kante	}	=	29	19	26
<i>B</i> : <i>t</i> =	{		87	24	53
			92	35	7

CXLII.

HERDERIT

(Herderit, Prismatisches Fluss-Haloid, Haidinger; Allogonit, Breithaupt.)

Allgemeine Charakteristik.

Kr. Syst.: rhombisch.

Grundform: rhombische Pyramide, deren Flächen, nach den neuesten Messungen von Edw. S. Dana (Krystall von Stoneham in Oxford County, Maine, N. Amerika), in den makrodiagonalen Polkanten unter einem Winkel = 115° 43' 4'' in den brachydiagonalen Polkanten unter einem Winkel = 141° 26' 38'' und in den Mittelkanten unter einem Winkel = 77° 31' 46'' geneigt sind ¹⁾).

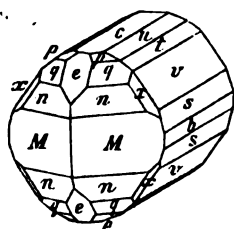
¹⁾ Vergl. Zeitschrift für Krystallographie und Mineralogie von P. Groth, 1884, Bd. IX, S. 278.

Wir nehmen hier für die Krystalle die Stellung an, welche von Brooke, Miller und Dana (Vater und Sohn) adoptirt wurde, und nicht die, welche von W. v. Haidinger ursprünglich gegeben war.

$$a : b : c = 0,6823 : 1,6114 : 1, \text{ Ed. Dana } ^1)$$

wo a = Verticalaxe, b = Makrodiagonale und c = Brachydiagonale.

Der Herderit findet sich nie derb, sondern nur in Krystallen, die meist an beiden Enden ausgebildet sind und die oft ziemlich reichhaltige Combinationen darbieten, wie dies am besten aus der beigefügten Figur (welche wir E. Dana's Abhandlung entnehmen) zu ersehen ist.



Das Mineral ist farblos oder schwach gelblich; Härte = 5; spec. Gewicht = 3; spröd; Bruch kleinmuschlig; glasglänzend; durchsichtig, bisweilen aber, im Falle wo es in etwas verwittertem Zustande erscheint (russische Varietäten) verliert es seine Durchsichtigkeit.

Nach Descloizeaux, ist die optische Axenebene das Brachypinakoid $\infty\bar{P}\infty$, die spitze negative Bisectrix ist die Brachydiagonale, $\rho > \nu$. Nach den neuesten Beobachtungen von M. Cornu ist der mittlere Brechungsexponent $\beta = 1,609$ und nach Em. Bertrand ²⁾ = 1,612, welchen er mittelst seines neuen Refractometers

¹⁾ Das Axenverhältniss, welches zuerst W. v. Haidinger, nach seinen Messungen an Herderitkrystallen von Ehrenfriedersdorf in Sachsen, abgeleitet hat ist folgendes:

$$a : b : c = \sqrt{0,46} : \sqrt{2,55} : 1 = 0,678233 : 1,596870 : 1$$

wo a = Verticalaxe, b = Makrodiagonale und c = Brachydiagonale, bei der Annehmung der Grundform von Miller und Dana (Vergl. Poggendorff's Annalen, 1828, Bd. XIII, S. 502).

²⁾ Bulletin de la Société française de Minéralogie, 1886, Tome IX, N° 4, p. 141.

bestimmt hat. Ein. Bertrand hat aus seinen Bestimmungen, welche er für ziemlich genau hält, nämlich folgende Werthe gefunden:

$$\alpha \text{ (maximum) } = 1,621$$

$$\beta \text{ (mittlere) } = 1,612$$

$$\gamma \text{ (minimum) } = 1,592$$

aus welchen er für die optischen Axen des Minerals folgende Winkel berechnet:

$$\text{Wirklicher Winkel } 2V = 66^\circ 59' 34''$$

$$\text{Scheinbarer Winkel } 2E = 125^\circ 39' 0''$$

Die chemische Zusammensetzung des Herderits, von Stoneham in Oxford County, Maine (N. Amerika), ist nach den Analysen von J. B. Mackintosh, W. E. Hidden ¹⁾, und F. A. Genth (in Philadelphia) ²⁾ folgende:

	Mackintosh und Hidden.	Hidden.
		(Mittel aus 4 Analysen).
Phosphorsäure	44,31	42,90
Beryllerde	15,76	14,96
Thonerde	—	0,17
Eisenoxyd	—	0,36
Manganoxydul	—	0,10
Kalk	33,21	33,85
Wasser	—	0,61 ?
Fluor	11,32	7,49
	104,60	100,44

¹⁾ Zeitschrift für Krystallographie und Mineralogie von P. Groth, 1884, Bd. IX, S. 278.

Americ. Journ. of Sc. 1884, Bd. XXVII, S. 135—138.

²⁾ Zeitschrift für Krystallographie und Mineralogie von P. Groth, 1886, Bd. XI, S. 291.

Americ. Phil. Soc. Oct. 17, 1884.

Vor dem Löthrohr, nach Mackintosh und Hidden, phosphorescirt das Mineral und wird weiss und opak; mit Kobaltsolution geglüht wird es äusserlich schwarz, zeigt aber im Bruch stellenweise Amethystfarbe.

Bemerkungen.

1) Der Name «Herderit», zu Ehren des Baron v. Herder, im Jahre 1828 von W. v. Haidinger gegeben, welcher über diesen Gegenstand, so wie über die Umstände, unter welchen dieses höchst seltene Mineral entdeckt wurde folgendes schreibt ¹⁾:

»Ich untersuchte die Charactere dieser Species im Sommer 1823, machte aber die Beschreibung nicht bekannt, weil ich hoffte fernere Beobachtungen an andern Varietäten derselben Species anstellen zu können, was sich aber nicht verwirklicht hat. Das einzige bis jetzt bekannte Exemplar vom Herderit befindet sich im Wernerschen Museum zu Freiberg. Es wurde mir von Herrn. von Weissenbach, damaligen Aufseher des Museums, gezeigt, als Krystalle enthaltend, deren Form nicht genau auf die des Apatits, unter welchem sie sich gefunden hatten bezogen werden konnte. Die Verschiedenheit im Ansehen der Flächen p und t , von denen die erste glatt oder parallel ihren Intersectionen mit P ²⁾ nur schwach gestreift waren, während die letztere sich körnig ergab, zeigte, dass die Gestalten nicht zum rhomboëdrischen, sondern zum prismatischen System gehörten; ich nahm keinen Anstand, das Mineral für ein neues zu erklären, und ersuchte, es mich näher untersuchen zu lassen, was mir auch bereitwillig gestattet wurde. Hr. Breithaupt, der damals gegenwärtig war und früher selbst das Exemplar im Wernerschen Cabinet aufgestellt hatte, erklärte gleichfalls die Species für neu«.

¹⁾ Poggendorff's Annalen, 1828, Bd. XIII, S. 502.

²⁾ In der oben angegebenen Figur ist diese Fläche mit c bezeichnet.

»Durch gütige Vermittlung des Hrn. Reich, jetzigen Aufsehers
»des Museums, wurde ich, während meines Aufenthalts in Berlin im
»Winter 1825, von Hrn. Oberberghauptmann Baron von Herder,
»mit einigen Fragmenten des Exemplars Behufs einer Untersuchung
»versehen. Diesem zu Ehren habe ich den Namen Herderit für diese
»Species vorgeschlagen«.

»Der Herderit kommt in Flussspath vor, in den Zinngruben von
»Ehrenfriedersdorf in Sachsen. Er sieht dem Apatit, mit dem er
»früher verwechselt worden ist, in einem hohen Grade ähnlich, be-
»sonders dem unter dem Namen Spargelstein bekannten, wie z. B.
»dem vom Zillerthal in Salzburg, so wie dem von Hof in Gastein
»eben daselbst, welcher in Begleitung von Eisenglanz vorkommt, und
»noch mehr gewissen bloss grünlichweissen Massen derselben Species,
»welche, obgleich in geringer Quantität, zusammen mit dem Zoisit
»von der Saualpe in Kärnthen vorkommt. Die Aehnlichkeit mit dieser
»Species ist hinreichend, um den Herderit in das Mohs'sche Genus
»Fluss-Haloïd zu stellen, worin er künftig unter dem Namen: pris-
»matisches Fluss-Haloïd aufgeführt werden mag«.

2) Der Name »Allogonit« wurde dem Minerale von A. Breithaupt gegeben, der in Hinsicht der Entdeckung des Minerals sich, seinerseits folgender Maassen ausdrückt:

»Dies Mineral war von mir, unter Apatiten aufgefunden, sogleich
»für eine besondere Specie erkannt worden. Hr. Haidinger
»hatte später einen Krystall gemessen. Ich hatte es seit mindestens
»15 Jahren unter dem ersten Namen (Allogonit) in meinen Vorträgen
»erwähnt, wollte aber mit der Bekanntmachung bis zur chemischen
»Kentniss davon Anstand nehmen«¹⁾).

3) Die erste chemische Untersuchung des Herderits von Ehrenfriedersdorf wurde von Plattner ausgeführt, aber, wegen Mangel am

¹⁾ A. Breithaupt. Vollständiges Handbuch der Mineralogie, 1841, Bd. II, S. 276.

Material, ziemlich unvollständig. Die qualitative annäherende Prüfung gab Phosphorsäure, Thonerde und Kalk, nebst etwas Fluor.

4) In neuester Zeit, nämlich im Jahre 1884, wurde der Herderit bei Stoneham (in Oxford County, Maine, N. Amerika) und im Jahre 1887 auch bei Mursinsk am Ural entdeckt. Durch die chemischen Analysen von Hidden, Mackintosh und Genth wurde es bewiesen, dass die erwähnten Mineralien aus Ehrenfriedersdorf und Stoneham, nach ihrer chemischen Zusammensetzung, identisch sind.

Es ist zu bemerken, dass die Analysen des Herderits von Winkler (von Ehrenfriedersdorf: Kalk 34,06, Beryllerde 8,61, Thonerde 6,58, Phosphorsäure 42,44, Eisenoxyd 1,77, Verlust 6,54, welches er als Wasser betrachtet, indem die Fluorreaction nur zweifelhaft hält; — von Stoneham: neben Beryllerde hat er 2,26 Thonerde, so wie 6,59 Wasser und keinen sicheren Fluorgehalt) ¹⁾ nicht vollständig mit der Analyse von Mackintosh übereinstimmen. Genth, der ebenfalls den amerikanischen Herderit mehrfach untersucht hat, hat den Fluorgehalt, wie überhaupt die Resultate der Mackintosh'schen Analysen bestätigt, und auf die Incorectheiten der Winkler'schen Methoden hingewiesen.

Die krystallographischen Untersuchungen von Edw. S. Dana und Fritz Berwerth, und Studien der physikalischen Charaktere des Minerals von W. E. Hidden haben auch gezeigt, dass die amerikanischen und uralischen Krystalle des Minerals ganz dieselben Krystallformen und Winkel wie die von W. v. Haidinger beschriebenen Krystalle von Ehrenfriedersdorf besitzen.

Endlich geht es ebenfalls hervor aus Désclouzeaux's ²⁾ ausführlichen Untersuchungen, dass die Minerale von Stoneham und Ehrenfriedersdorf in optischer Hinsicht auch zweifellos identisch sind.

¹⁾ Vergl. Zeitschrift für Krystallographie und Mineralogie von P. Groth, 1886, Bd. XI, S. 334.

²⁾ Bulletin de la Société Minéralogique de France, 1884, T. VII, p. 130.

5) Edw. S. Dana hat in den Herderitkrystallen von Stoneham in Oxford County, Maine (N. Amerika) 15 Formen bestimmt, von welchen 8 als neue erschienen. Im Allgemeinen sind bis jetzt in den Herderitkrystallen folgende Formen bekannt:

Rhombische Pyramiden.

$$p = P = (a : b : c), \text{ Haidinger.}$$

$$q = \frac{3}{2}P = (\frac{3}{2}a : b : c), \text{ E. Dana.}$$

$$n = 3P = (3a : b : c), \text{ Haidinger.}$$

$$o = 4P = (4a : b : c), \text{ Haidinger.}$$

$$x = 3\check{P}2 = (3a : b : 2c), \text{ E. Dana.}$$

$$y = 3\check{P}3 = (3a : b : 3c), \text{ E. Dana.}$$

Brachydomen.

$$u = \check{P}\infty = (a : b : \infty c), \text{ E. Dana.}$$

$$t = \frac{3}{2}\check{P}\infty = (\frac{3}{2}a : b : \infty c), \text{ Haidinger.}$$

$$v = 3\check{P}\infty = (3a : b : \infty c), \text{ E. Dana.}$$

$$s = 6\check{P}\infty = (6a : b : \infty c), \text{ Haidinger.}$$

Makrodomen.

$$e = \frac{3}{2}\bar{P}\infty = (\frac{3}{2}a : \infty b : c), \text{ E. Dana.}$$

Rhombische Prismen.

$$M = \infty P = (\infty a : b : c), \text{ Haidinger.}$$

$$l = \infty\check{P}2 = (\infty a : b : 2c), \text{ E. Dana.}$$

$$m = \infty\check{P}3 = (\infty a : b : 3c), \text{ E. Dana.}$$

Pinakoide.

$$c = \infty P = (a : \infty b : \infty c), \text{ Haidinger.}$$

$$b = \infty \bar{P} \infty = (\infty a : b : \infty c), \text{ Haidinger.}$$

$$a = \infty \bar{P} \infty = (\infty a : \infty b : c), \text{ Haidinger.}$$

6) Die ersten Messungen an Herderitkrystallen wurden von W. v. Haidinger ausgeführt, aber die Resultate derselben hat er nicht veröffentlicht. Dieser Gelehrte hat nur die Winkel gegeben, die er aus seinem Axenverhältnisse (welches vermittelt seiner Messungen abgeleitet wurde) berechnet hat. In letzter Zeit wurden die amerikanischen Krystalle ziemlich genau von Edw. S. Dana und die russischen annäherungsweise von Fritz Berwerth gemessen. Hier unten ist eine vergleichende Tabelle gegeben, aus welcher am Besten die Differenzen zwischen den Resultaten von E. Dana und W. v. Haidinger zu ersehen sind. Zu den durch Messungen erhaltenen Winkel $u : u$ und $u : n$ beigefügten Sternchen * zeigen die von E. Dana als Ausgangspunkt der Berechnung gewählten Winkel.

E. Dana	Aus E. Dana's Axenverhältniss	Aus W. v. Haidinger's Axenverhältniss
Gemessen.	(a : b : c = 0,6823 : : 1,6114 : 1) berechnet.	(a : b : c = $\sqrt{0,46}$: : $\sqrt{2,55}$: 1) berechnet.
$M : M = 116^\circ 22'$		
116 23		
116 20		
Mittel = $116^\circ 22'$. . . 116° 21' 115° 53'
$e : e = 91^\circ 15'$		
91 22		
91 37		
91 33		
Mittel = $91^\circ 27'$. . . 91° 20' 90° 59'

E. Dana Gemessen.	Aus E. Dana's Axenverhältniss (a : b : c = 0,6823 : : 1,6114 : 1) berechnet.	Aus W. v. Haidin- ger's Axenverhältniss (a : b : c = $\sqrt{0,46}$: : $\sqrt{2,55}$: 1) berechnet.
$u : u = 134^\circ 6' *$ <u>134 10</u>		
Mittel = $134^\circ 8'$	$134^\circ 6'$	$133^\circ 59'$
$u : n = 122^\circ 53' *$	$122^\circ 53'$	$123^\circ 3'$
$v : v = 76^\circ 21'$	$76^\circ 25'$	$76^\circ 15'$
$s : s = 42^\circ 58\frac{1}{2}'$	$42^\circ 58'$	$42^\circ 51'$
$n : n = 121^\circ 47'$ <u>121 48</u>		
Mittel = $121^\circ 47\frac{1}{2}'$	$121^\circ 43'$	$121^\circ 20'$
$n : n' = 135^\circ 8'$ <u>135 18</u>		
Mittel = $135^\circ 13'$	$134^\circ 55'$	$134^\circ 46'$
$e : u = 130^\circ 21'$ <u>130 23'</u>		
Mittel = $130^\circ 22'$	$130^\circ 3'$	$130^\circ 11'$
$e : n = 146^\circ 7'$	$146^\circ 1'$	$145^\circ 51'$
$e : n' = 106^\circ 53'$	$107^\circ 4'$	$106^\circ 46'$

In welchem Grade die Krystalle, welche für die Messungen erwählt waren sich zur Beobachtung eigneten, beschreibt Edw. S. Dana folgender Maassen:

»Um gute Fundamentalwerthe der Winkel zu erhalten, mussten »zahlreiche Messungen ausgeführt werden, weil die Flächen, obgleich »meistens glänzend, doch selten scharf begrenzte Reflexe gaben. Es »rührt dies her in einigen Fällen von einer unregelmässigen Strei-

»fung, in anderen von einer Knickung der Flächen, noch häufiger
»aber daher, dass die letzteren mit kleinen pyramidalen Erhöhungen
»bedeckt sind. Im letzteren Falle resultirten gewöhnlich zwei oder
»mehr gleich helle Reflexe«. u. s. w. Ferner sagt er:

»Die schliesslich als Ausgangspunkt der Berechnung gewählten
»Winkel, gewonnen an Flächen, welche von den erwähnten Unregel-
»mässigkeiten ziemlich frei, helle und leidlich scharfe Reflexe geben,
»waren die folgenden:

$$»u : u = 134^{\circ} 6'$$

$$»u : n = 122^{\circ} 53' \alpha$$

Aus diesen beiden Winkeln wurden die oben angegebenen (vergl.
allgem. Charakteristick) Axenverhältnisse für die Grundform des
Herderits berechnet.

In Russland findet sich der Herderit in der Umgegend des Dorfes
Mursinsk (Katherinburger Berg-Revier, Ural). Wir verdanken die
Entdeckung dieses höchst seltenen Minerals Dr. Fritz Berwerth,
welcher eine vorläufige Anzeige über dasselbe ganz neuerdings in
den »Annalen des K. K. naturhistorischen Hofmuseums zu Wien«
(Band. II, Heft 3) gegeben hat.

Wie der russische Herderit entdeckt wurde, schreibt F. Ber-
werth folgendes:

»Von Herrn Mineralienhändler A. Otto in Wien wurde vor kur-
»zer Zeit für die Mineraliensammlung des Museums neben mehreren
»anderen russischen Vorkommnissen auch eine Prachtstufe mit der
»Fundortsangabe Miask, Ural erworben, die sich vornehmlich durch
»eine reiche Mineralgesellschaft auszeichnet, worunter besonders drei
»zwischen 1 und 2 Centimeter grosse klare Topase die Aufmerksamkeit
»des Beschauers erregen. Gelegentlich eines längeren Besuches, den
»Herr Dr. A. A. Lösch, Custos an dem Museum des Berginstitutes

»in St. Petersburg, zu eingehender Besichtigung unserer Sammlung
»verwendete, konnte derselbe auf Grundlage seiner ausgezeichneten
»Kenntnisse der russischen Mineralvorkommnisse viele allgemeine,
»meist alte Fundortsbezeichnungen wie Ural, Sibirien u. a. durch
»Einsetzung der Orte genauer feststellen und manche unrichtige Orts-
»angabe verbessern. Dieser freundlichst vorgenommenen und der
»Sammlung zum Vortheile durchgeführten Revision der russischen
»Fundorte muss unser Museum Herrn Dr. Lösch's dankbarst geden-
»ken und gerade in einem Falle, wo sich die vorgenommene Rich-
»tigstellung eines Fundortes äusserst nützlich erweist. Die Verlegung
»des Fundortes der hier besprochenen Mineralstufe, welche nach der
»Ansicht des Herrn Dr. Lösch unzweifelhaft von Mursinsk her-
»stammt und nicht von Miask, gewinnt nämlich dadurch an Bedeutung,
»als in der reichen Mineralfolge dieses Handstückes sich viele kleine,
»bis 2 Millimeter grosse Kryställchen befinden, welche in ihrem
»ganzen Habitus und Aussehen besonders in losem Zustande Topas
»täuschend ähnlich sehen, oder in aufgewachsenem Zustande ebenso
»recht passend als barytähnlich bezeichnet werden konnten, deren
»Untersuchung aber die Auffindung eines äusserst selten beobachteten
»Minerals ergab. Die vor wenigen Tagen vorgenommene Bestimmung
»der zweifelhaften Kryställchen, deren Auftreten in vorliegender
»Mineralgesellschaft auch Herrn Dr. Lösch fremd war, ergab näm-
»lich insoweit ein überraschendes Resultat als sich in den unschein-
»baren Kryställchen ein neues und schönes Vorkommen von Herderit
»verberg«.

Nach der Beschreibung von F. Berwerth ist die Mineralstufe, auf der die Herderitkryställchen als jüngste Bildung aufgewachsen waren, ein grobkrySTALLINISCHES Gemenge von gelbem Feldspath. Rauchtopas, Albit, schwarzem Turmalin, Glimmer (Muskovit) und schönen Topaskrystallen. Die zwischen 1 und 2 Millimeter grossen Herderitkryställchen sitzen vereinzelt und in nahem Abstände von einander. Ihre Zahl ist sehr gross und es lassen sich auf der ganzen

Stufe über hundert Individuen zählen. Die Kryställchen sind meist wohl an beiden Enden ausgebildet, kurz prismatisch, durchsichtig, farblos, mit glänzenden Flächen. Ihr Bruch ist kleinschligig von glasigem Aussehen. F. Berwerth hat an denselben folgende Formen bestimmt: $M = \infty P$, $v = 3\bar{P}\infty$, $s = 6\bar{P}\infty$ und $q = \frac{3}{2}P$. Bei einer vorläufigen näherungsweise vorgenommenen Messung hat er folgende Winkel erhalten: $M : M = 116^\circ 14'$, $v : v = 76^\circ 28'$ und $s : s = 42^\circ 42'$. F. Berwerth bemerkt dazu: »In ihrem Habitus nähern sich die Kryställchen der von Haidinger (Phil. Mag. IV, 1, 1828) und der von Dana in Fig. 1 abgebildeten Form und unterscheiden sich von den Krystallen von Stoneham hauptsächlich durch das Fehlen des Makrodoma und der Basis und von den Krystallen von Ehrenfriedersdorf gleichfalls durch den Mangel der Basis«¹⁾.

Schliesslich schreibt F. Berwerth:

»Da das optische Verhalten der Kryställchen ebenfalls dem rhombischen Charakter entspricht und mittelst eines mikrochemischen Versuches Phosphorsäure als phosphormolybdänsaurer Ammonieberschlag in der Verbindung nachgewiesen wurde, so ist die Uebereinstimmung dieser Kryställchen mit Herderit zweifellos«.

¹⁾ Ich habe bis jetzt nur ein einziges Exemplar des Herderits von Mursinsk gesehen, welches sich im Besitz unseres wohl bekannten Mineralogen M. v. Jerofeiew befindet. Die ziemlich grossen Herderitkryställchen hatten ein verwittertes Aussehen und ihre Krystallform war sehr ähnlich der Form, welche von W. v. Haidinger und Edw. S. Dana beschrieben haben. Auf diesen Kryställchen war das basische Pinakoid $c = oP$ sehr entwickelt.

Winkel der Herderitkrystalle.

Aus dem von Edw. S. Dana abgeleiteten Axenver-

$$a : b : c = 0,6823 : 1,6114 : 1$$

(wo a = Verticalaxe, b = Makrodiagonale und c = Brachydiagonale), berechnen sich für die Herderitkrystalle die Winkel. Wie immer, wird bezeichnet in jeder rhombischen Form.

Die makrodiagonalen Polkanten mit X , die brachydiagonalen Polkanten mit Y , die Mittelkanten mit Z .

Winkel der makrodiagonalen Polkante gegen die Makrodiagonale mit α , Winkel der brachydiagonalen Polkante gegen die Brachydiagonale mit β , Winkel der Mittelkante gegen die Makrodiagonale mit γ .

$$p = P.$$

$$\begin{array}{ll} \frac{1}{2}X = 57^\circ 51' 32'' & X = 115^\circ 43' 04'' \\ \frac{1}{2}Y = 70 43 19 & Y = 141 26 38 \\ \frac{1}{2}Z = 38 45 53 & Z = 77 31 46 \end{array}$$

$$\alpha = 67^\circ 3' 4''$$

$$\beta = 55 41 39$$

$$\gamma = 31 49 22$$

$$q = \frac{3}{2}P.$$

$$\begin{array}{ll} \frac{1}{2}X = 49^\circ 10' 32'' & X = 98^\circ 21' 04'' \\ \frac{1}{2}Y = 66 3 54 & Y = 132 07 48 \\ \frac{1}{2}Z = 50 18 0 & Z = 100 36 00 \end{array}$$

$$\alpha = 57^\circ 34' 45''$$

$$\beta = 44 20 10$$

$$\gamma = 31 49 22$$

$n = 3P.$

$$\begin{array}{ll} \frac{1}{2}X = 38^\circ 18' 7'' & X = 76^\circ 36' 14'' \\ \frac{1}{2}Y = 60 51 22 & Y = 121 42 44 \\ \frac{1}{2}Z = 67 27 23 & Z = 134 54 46 \end{array}$$

$$\alpha = 38^\circ 12' 40''$$

$$\beta = 26 2 15$$

$$\gamma = 31 49 22$$

$o = 4P.$

$$\begin{array}{ll} \frac{1}{2}X = 35^\circ 46' 46'' & X = 71^\circ 33' 32'' \\ \frac{1}{2}Y = 59 46 15 & Y = 119 32 30 \\ \frac{1}{2}Z = 72 42 25 & Z = 145 24 50 \end{array}$$

$$\alpha = 30^\circ 33' 32''$$

$$\beta = 20 7 24$$

$$\gamma = 31 49 22$$

$x = 3\check{P}2.$

$$\begin{array}{ll} \frac{1}{2}X = 57^\circ 39' 49'' & X = 115^\circ 19' 38'' \\ \frac{1}{2}Y = 48 24 11 & Y = 96 48 22 \\ \frac{1}{2}Z = 58 29 27 & Z = 116 58 54 \end{array}$$

$$\alpha = 38^\circ 12' 40''$$

$$\beta = 44 20 10$$

$$\gamma = 51 8 30$$

$y = 3\check{P}3.$

$$\begin{array}{ll} \frac{1}{2}X = 67^\circ 7' 5'' & X = 134^\circ 14' 10'' \\ \frac{1}{2}Y = 43 37 20 & Y = 87 14 40 \\ \frac{1}{2}Z = 55 15 28 & Z = 110 30 56 \end{array}$$

$$\alpha = 38^\circ 12' 40''$$

$$\beta = 55 41 39$$

$$\gamma = 61 45 30$$

$$u = \check{P}\infty.$$

$\frac{1}{2}X = 90^\circ 0' 0''$	$X = 180^\circ 0' 0''$
$\frac{1}{2}Y = 67 3 4$	$Y = 134 6 8$
$\frac{1}{2}Z = 22 56 56$	$Z = 45 53 52$

$$t = \frac{3}{2}\check{P}\infty.$$

$\frac{1}{2}X = 90^\circ 0' 0''$	$X = 180^\circ 0' 0''$
$\frac{1}{2}Y = 57 34 45$	$Y = 115 9 30$
$\frac{1}{2}Z = 32 25 15$	$Z = 64 50 30$

$$v = 3\check{P}\infty.$$

$\frac{1}{2}X = 90^\circ 0' 0''$	$X = 180^\circ 0' 0''$
$\frac{1}{2}Y = 38 12 40$	$Y = 76 25 20$
$\frac{1}{2}Z = 51 47 20$	$Z = 103 34 40$

$$s = 6\check{P}\infty.$$

$\frac{1}{2}X = 90^\circ 0' 0''$	$X = 180^\circ 0' 0''$
$\frac{1}{2}Y = 21 29 8$	$Y = 42 58 16$
$\frac{1}{2}Z = 68 30 52$	$Z = 137 1 44$

$$e = \frac{3}{2}\check{P}\infty.$$

$\frac{1}{2}X = 44^\circ 20' 10''$	$X = 88^\circ 40' 20''$
$\frac{1}{2}Y = 90 0 0$	$Y = 180 0 0$
$\frac{1}{2}Z = 45 39 50$	$Z = 91 19 40$

$$M = \infty P.$$

$\frac{1}{2}X = 31^\circ 49' 22''$	$X = 63^\circ 38' 44''$
$\frac{1}{2}Y = 58 10 38$	$Y = 116 21 16$
$\frac{1}{2}Z = 90 0 0$	$Z = 180 0 0$

$$l = \infty\check{P}2.$$

$$\begin{array}{rcl} \frac{1}{2}X = 51^\circ 8' 30'' & X = 102^\circ 17' 0'' \\ \frac{1}{2}Y = 38 51 30 & Y = 77 43 0 \\ \frac{1}{2}Z = 90 0 0 & Z = 180 0 0 \end{array}$$

$$m = \infty\check{P}3.$$

$$\begin{array}{rcl} \frac{1}{2}X = 61^\circ 45' 30'' & X = 123^\circ 31' 0'' \\ \frac{1}{2}Y = 28 14 30 & Y = 56 29 0 \\ \frac{1}{2}Z = 90 0 0 & Z = 180 0 0 \end{array}$$

$$\begin{array}{rcl} p : a & = & 122^\circ 8' 28'' \\ p : b & = & 109 16 41 \\ p : c & = & 141 14 7 \\ p : q & \} & = 168 27 53 \\ \text{anliegende} & & \\ p : n & \} & = 151 18 30 \\ \text{über } q & & \\ p : o & \} & = 146 3 28 \\ \text{über } q \text{ und } n & & \\ p : M & \} & = 128 45 53 \\ \text{über } q, n \text{ und } o & & \\ p : u & \} & = 147 51 32 \\ \text{anliegende} & & \\ p : t & \} & = 146 38 10 \\ \text{nächstliegende} & & \\ p : v & \} & = 137 52 41 \\ \text{nächstliegende} & & \\ p : s & \} & = 126 21 20 \\ \text{nächstliegende} & & \\ p : e & \} & = 157 44 6 \\ \text{anliegende} & & \\ p : y & \} & = 152 54 1 \\ \text{anliegende} & & \\ q : a & = & 130 49 28 \\ q : b & = & 113 56 6 \\ q : c & = & 129 42 0 \end{array}$$

$q : n$ anliegende	}	= 162° 50' 37''
$q : o$ über n	}	= 157 35 35
$q : M$ über n und o	}	= 140 18 0
$q : x$ anliegende	}	= 162 20 17
$q : e$ anliegende	}	= 156 3 54
$q : t$ nächstliegende	}	= 139 10 32
$n : a$	=	141 41 53
$n : b$	=	119 8 38
$n : c$	=	112 32 37
$n : u$	=	122 53 0
$n : o$ anliegende	}	= 174 44 58
$n : M$ über o	}	= 157 27 23
$n : v$ über x	}	= 128 18 7
$n : x$ anliegende	}	= 160 38 18
$n : y$ nächstliegende	}	= 151 11 2
$o : a$	=	144 13 14
$o : b$	=	120 13 45
$o : c$	=	107 17 35
$o : M$ anliegende	}	= 162 42 25
$x : a$	=	122 20 11
$x : b$	=	131 35 49
$x : c$	=	121 30 33
$x : l$ anliegende	}	= 148 29 27
$x : e$	=	138 24 11
$y : a$	=	112 52 55

$y : b$	$= 136^\circ 22' 40''$
$y : c$	$= 124 \ 44 \ 32$
$y : m$ anliegende	} $= 145 \ 15 \ 28$
$u : a$	$= 90 \ 0 \ 0$
$u : b$	$= 112 \ 56 \ 56$
$u : c$	$= 157 \ 3 \ 4$
$u : u$ über c	} $= 134 \ 6 \ 8$
$u : t$ anliegende	} $= 170 \ 31 \ 41$
$u : v$ über t	} $= 151 \ 9 \ 36$
$u : s$ über t und v	} $= 134 \ 26 \ 4$
$t : a$	$= 90 \ 0 \ 0$
$t : b$	$= 122 \ 25 \ 15$
$t : c$	$= 147 \ 34 \ 45$
$t : t$ über c	$= 115 \ 9 \ 30$
$t : v$ anliegende	} $= 160 \ 37 \ 55$
$t : s$ über v	} $= 143 \ 54 \ 23$
$v : a$	$= 90 \ 0 \ 0$
$v : b$	$= 141 \ 47 \ 20$
$v : c$	$= 128 \ 12 \ 40$
$v : v$ über c	} $= 76 \ 25 \ 20$
$v : s$ anliegende	} $= 163 \ 16 \ 28$
$s : a$	$= 90 \ 0 \ 0$
$s : b$	$= 158 \ 30 \ 52$
$s : c$	$= 111 \ 29 \ 8$
$s : s$ über c	} $= 42 \ 58 \ 16$
$e : a$	$= 135 \ 39 \ 50$

$e : b$	$=$	90°	$0'$	$0''$
$e : c$	$=$	134	20	10
$e : e$ über c	$\}$	$=$	88	40 20
$e : u$	$=$	130	3	26
$e : n$	$=$	146	1	13
$M : a$	$=$	148	10	38
$M : b$	$=$	121	49	22
$M : c$	$=$	90	0	0
$M : l$ anliegende	$\}$	$=$	160	40 52
$M : m$ über t	$\}$	$=$	150	3 52
$M : M$ über a	$\}$	$=$	116	21 16
$M : M$ über b	$\}$	$=$	63	38 44
$l : a$	$=$	128	51	30
$l : b$	$=$	141	8	30
$l : c$	$=$	90	0	0
$l : m$ anliegende	$\}$	$=$	169	23 0
$l : l$ über a	$\}$	$=$	77	43 0
$l : l$ über b	$\}$	$=$	102	17 0
$m : a$	$=$	118	14	30
$m : b$	$=$	151	45	30
$m : c$	$=$	90	0	0
$m : m$ über a	$\}$	$=$	56	29 0
$m : m$ über b	$\}$	$=$	123	31 0

Vierter Anhang zum Monazit.

(Vergl. Bd. IV, S. 5; Bd. VI, S. 200 und 387; Bd. IX, S. 10.)

R. Scharizer, in Wien hat neuerdings den Monazit auch in Oestreich, nämlich im Böhmerwalde, auf dem Gute Schüttenhofen, entdeckt und ausführlich beschrieben ¹⁾).

Ueber die Umstände, unter welchen R. Scharizer seine Entdeckung gemacht hat, schreibt er folgendes:

»Durch die Freundlichkeit des Herrn Franz Firbas, Gutsbesitzer zu Schüttenhofen im Böhmerwald, gelangte Herr Prof. A. Schrauf in dem Besitz einer reichen Suite von Handstücken der dortigen pegmatitischen Granitvarietät. Diese Stücke hat der genannte Vorstand der Sammlung des mineralogischen Universitätsmuseums einverleibt, und ich übernahm die Bearbeitung des gesamten Materials. Ueber das Vorkommen, sowie über die paragenetischen Beziehungen der in diesem Granite vorhandenen Mineralien habe ich in einem Vortrag an der K. K. geologischen Reichsanstalt und in meiner Arbeit über die Verwachsung verschiedener Glimmer bereits Erwähnung gethan. Hier sei nur mehr wiederholt, dass der Monazit-haltige Granit sich vornehmlich aus Mikroklin, Lepidomelan, Muscovit und Quarz zusammensetzt. Apatit tritt in kleinen gelblichgrünen Krystallen im Gesteine ziemlich häufig auf. In zweien von diesen Handstücken (Min. Mus. № 7835, 7836) entdeckte ich je einen Monazitkrystall. Letztere waren im grobkörnigen Granit eingebettet und von einer dünnen, gelblichbraunen, schuppigen Hülle umgeben, ähnlich wie dies Kokscharow von den russischen Monaziten angiebt. Beim Versuche, einen dieser Krystalle

¹⁾ Zeitschrift für Krystallographie und Mineralogie, von P. Groth, 1887, Bd. XII S. 255.

- »zum Zwecke der Untersuchung aus dem Gesteine herauszulösen,
- »zerbrach derselbe nach der ausgezeichneten Spaltfläche. Auf dieses
- »etwa 3 mm. grosse Krystallfragment beziehen sich alle nachstehenden
- »morphologischen wie physikalischen Angaben, weil der Rest dieses
- »Krystalles sowie das zweite Exemplar in den Handstücken belassen
- »wurden«.

Nach der Beschreibung von R. Scharizer ist das erwähnte Krystallfragment des Schüttenhofen'schen Monazit von dunkelhonig-gelber Farbe, als solches vollkommen undurchsichtig, dünne Spalt-lamellen sind jedoch gelb-durchsichtig. Es besitzt die für den Mona-zit charakteristische ausgezeichnete Spaltharkeit nach dem Basopina-koid und ausserdem eine weniger vollkommene Spaltung nach dem Orthopinokoid. Der Habitus des Krystals ist ein kurzsäulenförmiger und durch das Vorherrschen von $a = \infty P \infty$ etwas tafelförmig nach dieser Fläche. Der Granit, in welchem der Monazit von Schüttenhofen eingebettet liegt, ist zwar kein Albitgranit im wahren Sinne des Wortes, obwohl sein Mikroklin ziemlich viel Natron enthält, er steht aber in einem innigen genetischen Connex mit einem Albitgranit, welcher neben Manganganrat noch schwarzen Turmalin enthält.

In den Monazitkrystallen von Schüttenhofen hat R. Scharizer folgende Formen bestimmt:

$$\begin{array}{l}
 a = \quad \infty P \infty = \quad (\infty a : b : \infty c) \\
 b = \quad (\infty P \infty) = \quad (\infty a : \infty b : c) \\
 c^1) = \quad oP = \quad (a : \infty b : \infty c) \\
 M = \quad \infty P = \quad (\infty a : b : c) \\
 n = \quad (\infty P^2) = \quad (\infty a : 2b : c) \\
 x = \quad + P \infty = + (a : b : \infty c) \\
 w = \quad - P \infty = - (a : b : \infty c) \\
 e = \quad (P \infty) = \quad (a : \infty b : c)
 \end{array}$$

¹⁾ Die Fläche $c = oP$ wurde nur als Spaltungsfläche beobachtet.

$$\begin{aligned}
 u &= (2P\infty) = (2a : \infty b : c) \\
 v &= +P = + (a : b : c) \\
 r &= -P = - (a : b : c) \\
 s &= -(2P2) = - (2a : 2b : c)
 \end{aligned}$$

Aus seinen Messungen für die Grundform des Monazits von Schüttenhofen berechnet R. Scharizer folgendes Axenverhältniss:

$$\begin{aligned}
 a : b : c &= 0,9254 : 0,9735 : 1 \\
 &= 0,950591 : 1 : 1,027221 \\
 \gamma &= 76^\circ 23' 0'',
 \end{aligned}$$

wo a = Verticalaxe, b = Klinodiagonale, c = Orthodiagonale und γ = Winkel zwischen den Axen a und b .

Ferner giebt er:

	Gemessen.	Mittl. Fehler d. Messungen.	Berechnet.
$a : c$	$= 103^\circ 37' 10''$	$\dots 3' 45''$	$\dots 103^\circ 37'$
$a' : c$	$= 76 34 15$	$\dots 1 22$	$\dots 76 23$
$a : M$	$= 137 4 56$	$\dots 2 38$	} $\dots 136 35$
$a : 'M$	$= 136 34 47$	$\dots 2 36$	
$w : a$	$= 140 48 56$	$\dots 5 1$	$\dots 140 40$
$w : c$	$= 142 49 14$	$\dots — —$	$\dots 142 57$
$c : x$	$= 130 17 5$	$\dots 3 25$	$\dots 130 2$
$a' : x$	$= 126 21 17$	$\dots 3 25$	$\dots 126 21$
$v : a'$	$= 119 3 5$	$\dots 41 55$	} $\dots 118 22$
$v' : a'$	$= 117 38 54$	$\dots 4 56$	
$\frac{a' : v + a' : v'}{2}$	$= 118 21 0$	$\dots — —$	$\dots — —$
$v : a$	$= 62 3 50$	$\dots 8 40$	} $\dots 61 38$
$v' : a$	$= 61 42 22$	$\dots 4 38$	
$v' : x$	$= 143 28 0$	$\dots 2 26$	} $\dots 143 18$
$v : x$	$= 143 10 47$	$\dots 5 32$	

	Gemessen.	Mittl. Fehler d. Messungen.	Berechnet.
$v : c = 121^\circ 13' 17''$...	3' 7''	} .. 121° 3'
$v' : c = 121 \quad 2 \quad 26$...	3 13	
$v' : e' = 141 \quad 39 \quad 33$...	3 15	.. 141 33
$v : M' = 139 \quad 13 \quad 57$...	1 55	} .. 139 6
$v' : M' = 138 \quad 11 \quad 38$...	26 3	
$e' : a = 100 \quad 5 \quad 45$...	3 34	.. 100 5
$e' : w = 126 \quad 15 \quad 21$...	7 38	} .. 126 21
$e : w = 126 \quad 34 \quad 47$...	24 1	
$e' : c = 137 \quad 29 \quad 30$...	3 0	.. 138 2
$e : x = 118 \quad 42 \quad 34$...	20 34	} .. 118 34
$e' : x = 118 \quad 48 \quad 0$...	6 0	
$e : u = 161 \quad 15 \quad 0$		1° 22 0	.. 161 2
$e' : s' = 152 \quad 39 \quad 10$...	20 23	.. 153 22 ¹⁾
$e : M = 126 \quad 59 \quad 49$...	17 56	} .. 125 56
$e' : M = 126 \quad 7 \quad 20$...	3 0	
$M : w = 124 \quad 20 \quad 49$...	4 56	} .. 124 11
$M' : w = 124 \quad 14 \quad 43$...	4 28	
$M : c = 99 \quad 49 \quad 11$...	3 56	} .. 99 51
$M' : c = 99 \quad 46 \quad 35$...	1 12	
$M' : c = 80 \quad 26 \quad 22$...	3 51	} .. 80 9
$M' : c = 80 \quad 10 \quad 49$...	— —	
$M : x = 64 \quad 13 \quad 4$...	7 56	} .. 64 30
$M' : x = 64 \quad 44 \quad 9$...	4 16	
$M' : x = 115 \quad 40 \quad 0$...	8 15	.. 115 30
$M : M' = 86 \quad 30 \quad 54$...	11 55	} .. 86 50
$M' : M' = 86 \quad 16 \quad 41$...	13 56	
$M : b = 132 \quad 48 \quad 30$...	24 36	} .. 133 25
$M' : b = 134 \quad 17 \quad 24$...	49 17	
$M' : b' = 133 \quad 22 \quad 18$...	— —	

¹⁾ Bei R. Scharizer ist fehlerhaft = 153° 48' gegeben.

	Gemessen.	Mittl. Fehler d. Messungen.	Berechnet.
$M : n$	$= 161^{\circ} 39' 45''$	$1^{\circ} 16' 9''$	} . . . $161^{\circ} 16'$
$M' : n'$	$= 163 \ 13 \ 30$. . . $39 \ 48$	
$'M : 'n$	$= 161 \ 22 \ 11$. . . $22 \ 51$	
$M : s$	$= 152 \ 46 \ 26$. . . $29 \ 40$	} . . . $152 \ 34'$
$'M : s'$	$= 153 \ 28 \ 0$. . . $21 \ 20$	

Aus dem von R. Scharizer abgeleiteten Axenverhältnisse,
 $a : b : c = 0,9254 : 0,9735 : 1$
 $= 0,950591 : 1 : 1,027221$
 $\gamma = 76^{\circ} 23' 0''$

für die bisjetzt bekannten Monazitformen berechnen sich die unten stehenden Winkel. Wie immer wird hier bezeichnet:

In den *positiven* Hemipyramiden (deren Flächen über dem *spitzen* Winkel γ liegen).

Mit μ den Neigungswinkel der klinodiagonalen Polkante zur Verticalaxe a.

Mit ν den Neigungswinkel derselben Kante zur Klinodiagonalaxe b.

Mit ρ den Neigungswinkel der orthodiagonalen Polkante zur Verticalaxe a.

Mit σ den Neigungswinkel der Mittelkante zur Klinodiagonalaxe b.

Mit X den Neigungswinkel, welcher die Fläche mit der Ebene bildet, welche die Axen a und b enthält (Winkel zum klinodiagonalen Hauptschnitt).

Mit Y den Neigungswinkel, welcher die Fläche mit der Ebene bildet welche die Axen a und c enthält (Winkel zum orthodiagonalen Hauptschnitt).

Mit Z den Neigungswinkel, welcher die Fläche mit der Ebene bildet, welche die Axen b und c enthält (Winkel zum basischen Hauptschnitt).

Endlich werden wir die Winkel der *negativen* Hemipyramiden (deren Flächen über dem *stumpfen* Winkel γ liegen) mit denselben

¹⁾ Bei R. Scharizer ist fehlerhaft = $152^{\circ} 7'$ gegeben.

Buchstaben bezeichnen, nur zu denjenigen, die einer Aenderung in ihrer Grösse unterworfen sind, werden wir ein Accent hinzufügen, nämlich X' , Y' , Z' , μ' , ν' .

Auf diese Weise erhalten wir durch Rechnung.

$$d = + \frac{1}{2}P$$

$$X = 65^\circ 48' 34''$$

$$Y = 77 \quad 22 \quad 28$$

$$Z = 35 \quad 58 \quad 33$$

$$\mu = 76^\circ 8' 10''$$

$$\nu = 27 \quad 28 \quad 50$$

$$\rho = 65 \quad 10 \quad 12$$

$$\sigma = 45 \quad 46 \quad 10$$

Also:

$$d : a = 102^\circ 37' 32''$$

$$d : b = 114 \quad 11 \quad 26$$

$$d : c = 144 \quad 1 \quad 27$$

$$v = + P$$

$$X = 53^\circ 18' 4''$$

$$Y = 61 \quad 37 \quad 39$$

$$Z = 58 \quad 57 \quad 6$$

$$\mu = 53^\circ 39' 9''$$

$$\nu = 49 \quad 57 \quad 51$$

$$\rho = 47 \quad 13 \quad 8$$

$$\sigma = 45 \quad 46 \quad 10$$

Also:

$$v : a = 118^\circ 22' 21''$$

$$v : b = 126 \quad 41 \quad 56$$

$$v : c = 121 \quad 2 \quad 54$$

— 161 —

$t = + P2$

$X = 69^{\circ} 33' 39''$

$Y = 56 15 50$

$Z = 52 55 54$

$\mu = 53^{\circ} 39' 9''$

$\nu = 49 57 51$

$\rho = 65 10 12$

$\sigma = 64 2 44$

Also:

$t : a = 123^{\circ} 44' 10''$

$t : b = 110 26 21$

$t : c = 127 4 6$

$i = + 2P2$

$X = 64^{\circ} 59' 52''$

$Y = 38 28 58$

$Z = 74 57 13$

$\mu = 30^{\circ} 15' 42''$

$\nu = 73 21 18$

$\rho = 47 13 8$

$\sigma = 64 2 44$

Also:

$i : a = 141^{\circ} 31' 2''$

$i : b = 115 0 8$

$i : c = 105 2 47$

$z = + 3P3$

$X = 72^{\circ} 8' 19''$

$Y = 26 50 41$

$Z = 83 33 56$

$$\begin{aligned}\mu &= 20^\circ 22' 42'' \\ \nu &= 83 14 18 \\ \rho &= 47 13 8 \\ \sigma &= 72 1 18\end{aligned}$$

Also:

$$\begin{aligned}z : a &= 153^\circ 9' 19'' \\ z : b &= 107 51 41 \\ z : c &= 96 26 4\end{aligned}$$

$$o = + (2P2)$$

$$\begin{aligned}X &= 33^\circ 51' 17'' \\ Y &= 70 43 14 \\ Z &= 69 0 3\end{aligned}$$

$$\begin{aligned}\mu &= 53^\circ 39' 9'' \\ \nu &= 49 57 51 \\ \rho &= 28 22 58 \\ \sigma &= 27 11 8\end{aligned}$$

Also:

$$\begin{aligned}o : a &= 109^\circ 16' 46'' \\ o : b &= 146 8 43 \\ o : c &= 110 59 57\end{aligned}$$

$$r = - P$$

$$\begin{aligned}X' &= 59^\circ 36' 24'' \\ Y' &= 48 9 3 \\ Z' &= 46 29 39\end{aligned}$$

$$\begin{aligned}\mu' &= 39^\circ 20' 0'' \\ \nu' &= 37 3 0 \\ \rho &= 47 13 8 \\ \sigma &= 45 46 10\end{aligned}$$

Also:

$$\begin{aligned}r : a &= 131^\circ 50' 57'' \\ r : b &= 120 23 36 \\ r : c &= 133 30 21\end{aligned}$$

— 163 —

$$s = - (2P2)$$

$$X' = 40^\circ 26' 45''$$

$$Y' = 59 52 57$$

$$Z' = 58 49 5$$

$$\mu' = 39^\circ 20' 0''$$

$$\nu' = 37 3 0$$

$$\rho = 28 22 58$$

$$\sigma = 27 11 8$$

Also:

$$s : a = 120^\circ 7' 3''$$

$$s : b = 139 33 15$$

$$s : c = 121 10 55$$

$$x = + P\infty$$

$$X = 90^\circ 0' 0''_1$$

$$Y = 53 39 9$$

$$Z = 49 57 51$$

Also:

$$x : a = 126^\circ 20' 51''$$

$$x : b = 90 0 0$$

$$x : c = 130 2 9$$

$$w = - P\infty$$

$$X' = 90^\circ 0' 0''$$

$$Y' = 39 20 0$$

$$Z' = 37 3 1$$

Also:

$$w : a = 140^\circ 40' 0''$$

$$w : b = 90 0 0$$

$$w : c = 142 56 59$$

— 164 —

$$k = (\frac{1}{2}P\infty)$$

$$X = 65^{\circ} 47' 12''$$

$$Y = 102 \ 23 \ 55$$

$$Z = 24 \ 12 \ 48$$

Also:

$$k : a = 77^{\circ} 36' 5''$$

$$k : b = 114 \ 12 \ 48$$

$$k : c = 155 \ 47 \ 12$$

$$e = (P\infty)$$

$$X = 48^{\circ} 1' 56''$$

$$Y = 100 \ 4 \ 52$$

$$Z = 41 \ 58 \ 4$$

Also:

$$e : a = 79^{\circ} 55' 8''$$

$$e : b = 131 \ 58 \ 4$$

$$e : c = 138 \ 1 \ 56$$

$$u = (2P\infty)$$

$$X = 29^{\circ} 4' 16''$$

$$Y = 96 \ 34 \ 7$$

$$Z = 60 \ 55 \ 44$$

Also:

$$u : a = 83^{\circ} 25' 53''$$

$$u : b = 150 \ 55 \ 44$$

$$u : c = 119 \ 4 \ 16$$

$$M = \infty P.$$

$$X = 46^{\circ} 35' 7''$$

$$Y = 43 \ 24 \ 53$$

$$Z = 99 \ 50 \ 48$$

Also:

$$M : a = 136^\circ 35' 7''$$

$$M : b = 133 \ 24 \ 53$$

$$M : c = 80 \ 9 \ 12$$

$$l = \infty P2$$

$$X = 64^\circ 40' 57''$$

$$Y = 25 \ 19 \ 3$$

$$Z = 102 \ 17 \ 14$$

Also:

$$l : a = 154^\circ 40' 57''$$

$$l : b = 115 \ 19 \ 3$$

$$l : c = 77 \ 42 \ 46$$

$$n = (\infty P2)$$

$$X = 27^\circ 51' 17''$$

$$Y = 62 \ 8 \ 43$$

$$Z = 96 \ 18 \ 55$$

Also:

$$n : a = 117^\circ 51' 17''$$

$$n : b = 152 \ 8 \ 43$$

$$n : c = 83 \ 41 \ 5$$

Beiträge zur Kenntniss der Krystallisation des Sylanits (Schrifterz).

In meiner Abhandlung »Ueber das Krystallsystem und die Winkel des Sylanits«, welche ich im Bulletin de l'Academie Impériale des Sciences de St. Pétersbourg (tome VI) im Jahre 1865 veröffentlicht habe, wurde gezeigt, dass das Krystallsystem dieses Mineralen nicht rhombisch (wie man dasselbe vorher gewöhnlich betrachtete),

sondern monoklinoëdrisch ist und zu gleicher Zeit wurde auch der Charakter und das Gesetz der sich begegnenden Zwillingen auf bestmöglicher Weise aufgeklärt; schliesslich habe ich in der erwähnten Abhandlung die Resultate einiger meiner ziemlich zahlreichen und ziemlich genauen Messungen, so wie die Figuren von drei von mir untersuchten Krystallen gegeben. Vier (die wichtigsten) von diesen Figuren waren nämlich folgende (Vergl. Fig. 1 und 2, Fig. 3 und 4):

Fig. 1 und 2.

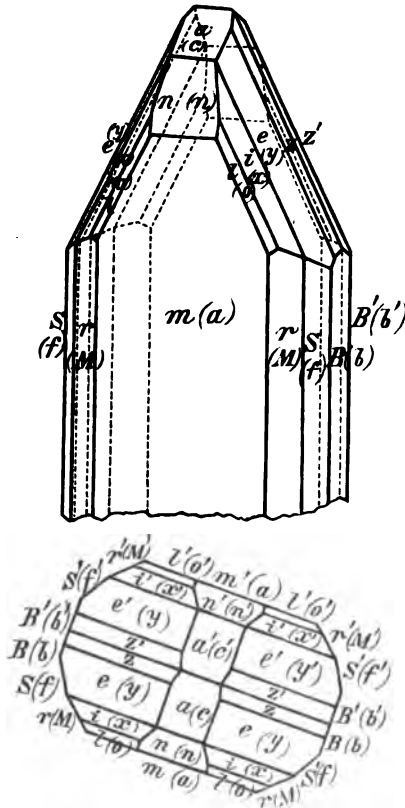
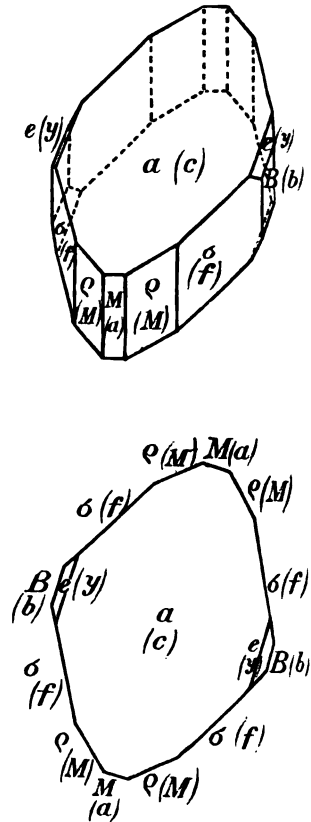


Fig. 3 und 4.



Um diese Figuren in Uebereinstimmung mit den Figuren und Ansichten von A. Schrauf zu bringen, habe ich die Flächen derselben mit den Buchstaben dieses Gelehrten bezeichnet und meine alten

Buchstaben neben denselben in Klammern gestellt; auch habe ich auf dem unteren Ende des Zwillingskrystalls № 1 (Fig. 1 und 2) seinen einspringenden Winkel weggelassen, denn derselbe wurde damals theoretisch gezeichnet und auf dem untersuchten Exemplare (dessen unteres Ende abgebrochen war) existirte er nicht.

Bei Betrachtung der durch Messung von mir erhaltenen Winkel des Krystalls № 1 und der Krystalle № 2 und № 3, habe ich gleich bemerkt, das die Winkel des Krystalls № 1 von den gleichnamigen Winkeln der beiden anderen Krystalle ungefähr um 15 und sogar noch mehr (bisweilen 26') differiren, aber damals konnte ich diese Thatsache auf keine befriedigende Weise erklären und ich behandelte diese Frage weiter nicht. Was aber die Annahme der Formen des Krystalls № 1 für die *negativen* und der Formen der Krystalle № 2 und № 3 für die *positiven* Formen (wie dies jetzt durch A. Schrauf's Untersuchungen schon bewiesen ist) anbelangt, so wäre eine solche zu gewagt, besonders wenn man nur drei kleine Krystallchen zu Disposition hatte. Daher gab ich damals nur das, was ich gefunden hatte, in der Hoffnung, dass mit der Zeit jemand im Stande gesetzt sein wird diese dunkle Stelle zu erklären. In der That im Jahre 1878 hat A. Schrauf in Wien eine höchst interessante und höchst wichtige Arbeit über den Sylvanit veröffentlicht ¹⁾, durch welche er alles erklärt, so dass jetzt keine Missverständnisse mehr vorhanden sind. A. Schrauf hat 25 sehr gute Krystalle vom Offenbanya untersucht und gemessen! Gewiss nur ein Gelehrter, welcher ein so reiches Material zu seiner Disposition hatte, konnte zu den Schlusse gelangen zu dem A. Schrauf gelangt ist. In seiner Abhandlung behandelt er mich ziemlich streng, aber dennoch musste er mir die Gerechtigkeit lassen, dass ich mit meinen drei kleinen Krystallchen nicht mehr machen konnte, als ich gemacht hatte. Jetzt können schon meine damaligen

¹⁾ Zeitschrift für Krystallographie und Mineralogie von P. Groth, 1878, Bd. II, S. 211.

Beobachtungen und Messungen viel beitragen zur Bestätigung der Richtigkeit der von A. Schrauf gezogenen Schlüsse, besonders wenn sie in ganzer Ausführlichkeit gegeben werden. In meiner alten Abhandlung wurden nur die mittleren Zahlen der besten meiner Messungen veröffentlicht, die übrigen wurden aber nicht gegeben, und gerade diese letzteren bestätigen am besten die Richtigkeit der A. Schrauf'schen Ansicht. Aus diesem Grunde werde ich hier meine Messungen in aller Ausführlichkeit veröffentlichen um dieselben mit den A. Schrauf'schen Messungen zu vergleichen.

A. Schrauf berechnet, aus einer grossen Anzahl von Beobachtungen, mittelst der Methode der kleinsten Quadratsummen, für die Grundform des Sylvanits folgendes Axenverhältniss:

$$a : b : c = 1,12653 : 1,63394 : 1$$

$$\gamma = 89^\circ 35' 0'',$$

wo a = Verticalaxe, b = Klinodiagonale, c = Orthodiagonale und γ = Winkel zwischen den Axen a und b.

A. Schrauf hat viele neue Formen bestimmt, so dass jetzt die Krystallreihe des Sylvanits sehr gross geworden ist, nämlich:

Hemipyramiden.

Positive Hemipyramiden.

$$\rho = + P = + (a : b : c)$$

$$\sigma = + (2P2) = + (2a : 2b : c)$$

$$\omega = + (3P3) = + (3a : 3b : c)$$

$$Q = + (4P4) = + (4a : 4b : c)$$

$$\tau = + P\frac{3}{2} = + (a : b : \frac{3}{2}c)$$

$$\tau^2 = + P2 = + (a : b : 2c)$$

$$\Delta = + 2P = + (2a : b : c)$$

$$\Phi = + \frac{5}{2}P\frac{5}{4} = + (\frac{5}{2}a : b : \frac{5}{4}c)$$

$$I = + 3P\frac{3}{2} = + (3a : b : \frac{3}{2}c)$$

$$I^2 = + 4P2 = + (4a : b : 2c)$$

$$\begin{aligned}
 \Gamma^5 &= + 5P_{\frac{5}{2}}^5 = + (5a : b : \frac{5}{2}c) \\
 \chi &= + 6P_3 = + (6a : b : 3c) \\
 \Gamma &= + 7P_{\frac{7}{2}} = + (7a : b : \frac{7}{2}c) \\
 \Upsilon &= + (\frac{2}{3}P_2) = + (\frac{2}{3}a : 2b : c) \\
 \xi &= + \frac{2}{3}P = + (\frac{2}{3}a : b : c) \\
 \Upsilon^2 &= + \frac{1}{2}P = + (\frac{1}{2}a : b : c) \\
 \Upsilon^3 &= + \frac{2}{3}P_2 = + (\frac{2}{3}a : b : 2c) \\
 \Pi &= + (P_2) = + (a : 2b : c) \\
 \lambda &= + 2P_2 = + (2a : b : 2c) \\
 \lambda^2 &= + \frac{5}{2}P_{\frac{5}{2}} = + (\frac{5}{2}a : b : \frac{5}{2}c) \\
 \lambda^3 &= + 3P_3 = + (3a : b : 3c) \\
 \bar{u} &= + (3P_{\frac{3}{2}}) = + (3a : \frac{3}{2}b : c) \\
 \pi &= + (4P_{\frac{4}{3}}) = + (4a : \frac{4}{3}b : c) \\
 \Omega &= + (8P_{\frac{8}{3}}) = + (8a : \frac{8}{3}b : c)
 \end{aligned}$$

Negative Hemipyramiden.

$$\begin{aligned}
 r &= - P = - (a : b : c) \\
 s &= - (2P_2) = - (2a : 2b : c) \\
 o &= - (3P_3) = - (3a : 3b : c) \\
 q &= - (4P_4) = - (4a : 4b : c) \\
 t &= - P_{\frac{3}{2}} = - (a : b : \frac{3}{2}c) \\
 t^2 &= - P_2 = - (a : b : 2c) \\
 t^3 &= - P_3 = - (a : b : 3c) \\
 t^4 &= - P_4 = - (a : b : 4c) \\
 D &= - 2P = - (2a : b : c) \\
 i &= - 3P_{\frac{3}{2}} = - (3a : b : \frac{3}{2}c) \\
 i^2 &= - 4P_2 = - (4a : b : 2c) \\
 h &= - 6P_3 = - (6a : b : 3c) \\
 F &= - \frac{5}{2}P_{\frac{5}{2}} = - (\frac{5}{2}a : b : \frac{5}{2}c) \\
 y &= - (\frac{2}{3}P_2) = - (\frac{2}{3}a : 2b : c)
 \end{aligned}$$

$$\begin{aligned}
 y^2 &= - \frac{1}{2}P &= - \left(\frac{1}{2}a : b : c \right) \\
 y^3 &= - \frac{2}{3}P^2 &= - \left(\frac{2}{3}a : b : 2c \right) \\
 y^4 &= - \frac{3}{4}P^3 &= - \left(\frac{3}{4}a : b : 3c \right) \\
 P &= - (P^2) &= - (a : 2b : c) \\
 l &= - 2P^2 &= - (2a : b : 2c) \\
 l^3 &= - 3P^3 &= - (3a : b : 3c) \\
 u &= - (3P^{\frac{3}{2}}) &= - (3a : \frac{3}{2}b : c) \\
 p &= - (4P^{\frac{4}{3}}) &= - (4a : \frac{4}{3}b : c) \\
 w &= - (8P^{\frac{8}{3}}) &= - (8a : \frac{8}{3}b : c)
 \end{aligned}$$

Hemidomen.

Positive Hemidomen.

$$\begin{aligned}
 M &= + P\infty &= + (a : b : \infty c) \\
 N &= + 2P\infty &= + (2a : b : \infty c) \\
 V &= + 3P\infty &= + (3a : b : \infty c)
 \end{aligned}$$

Negative Hemidomen.

$$\begin{aligned}
 m &= - P\infty &= - (a : b : \infty c) \\
 n &= - 2P\infty &= - (2a : b : \infty c) \\
 v &= - 3P\infty &= - (3a : b : \infty c)
 \end{aligned}$$

Klinodomen.

$$\begin{aligned}
 K &= (2P\infty) &= (2a : \infty b : c) \\
 d &= (P\infty) &= (a : \infty b : c) \\
 x &= (\frac{1}{2}P\infty) &= (\frac{1}{2}a : \infty b : c)
 \end{aligned}$$

Prismen.

$$\begin{aligned}
 R &= (\infty P^2) &= (\infty a : 2b : c) \\
 e &= \infty P &= (\infty a : b : c) \\
 f &= \infty P^2 &= (\infty a : b : 2c) \\
 S &= \infty P^5 &= (\infty a : b : 5c)
 \end{aligned}$$

Pinakoide.

$$C = oP = (a : \infty b : \infty c)$$

$$a = \infty P \infty = (\infty a : b : \infty c)$$

$$B = (\infty P \infty) = (\infty a : \infty b : c)$$

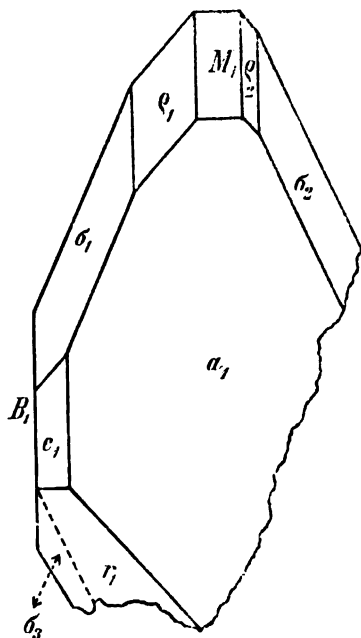
Messungen der Sylvanitkrystalle.

Ich habe zwei einfache Krystalle (№ 2 und № 3) und einen Zwillingskrystall (№ 1) gemessen. Die Resultate meiner Messungen waren folgende:

Krystall № 2 (Einfacher Krystall).

Dieser Krystall ist hier auf Fig. 5 abgebildet.

Fig. 5.



$$\rho_1 : a_1$$

Erste Aufstellung = $114^\circ 14' 30''$ gut

114 15 30 „

114 15 0 „

Mittel = $114^\circ 15' 0''$

$$\rho_1 : a_2$$

Erste Aufstellung = $65^\circ 47' 0''$ ziemlich gut

65 46 30 „

65 47 0 „

Mittel = $65^\circ 46' 50''$ (Compl. = $114^\circ 13' 10''$)

$$\rho_1 : B_1$$

Erste Aufstellung = $133^\circ 7' 0''$ ziemlich

$$\rho_1 : \sigma_1$$

Erste Aufstellung = $161^\circ 22' 0''$ ziemlich gut (1)

Zweite Aufstellung = $161^\circ 22' 0''$ „ (2)

Dritte Aufstellung = $161^\circ 22' 30''$ „ (3)

Mittel aus (1), (2) und (3) = $161^\circ 22' 10''$

$$\rho_1 : \sigma_2$$

Erste Aufstellung = $75^\circ 12' 0''$ ziemlich (Compl. = $104^\circ 48' 0''$)

$$\rho_1 : \sigma_3$$

Erste Aufstellung = $104^\circ 49' 0''$ ziemlich (Compl. = $75^\circ 11' 0''$)

$$\rho_1 : M_1$$

Erste Aufstellung = $136^\circ 56' 0''$ mittelmässig

137 0 0 „

Mittel = $136^\circ 58' 0''$

$$\sigma_1 : a_1$$

Erste Aufstellung = $105^\circ 27' 30''$ gut

$$\sigma_1 : a_2$$

Erste Aufstellung = $74^\circ 33' 0''$ sehr gut

74	32	30	»
74	33	0	»
74	32	30	»

Mittel = $74^\circ 32' 45''$ (Compl. = $105^\circ 27' 15''$)

$$\sigma_2 : a_2$$

Erste Aufstellung = $74^\circ 31' 30''$ ziemlich

74	32	30	»
----	----	----	---

Mittel = $74^\circ 32' 0''$ (Compl. = $105^\circ 28' 0''$)

$$\sigma_3 : a_2$$

Erste Aufstellung = $105^\circ 26' 0''$ ziemlich gut

$$\sigma_3 : a_1$$

Erste Aufstellung = $74^\circ 34' 0''$ ziemlich gut

74	31	0	»
----	----	---	---

Mittel = $74^\circ 32' 30''$ (Compl. $105^\circ 27' 30''$)

$$\sigma_1 : B_1$$

Erste Aufstellung = $151^\circ 44' 40''$ gut (1)

Zweite Aufstellung = $151^\circ 43' 20''$ gut

151	43	20	»
-----	----	----	---

Mittel = $151^\circ 43' 20''$ (2)

Mittel aus (1) und (2) = $151^\circ 44' 0''$

$$\sigma_2 : B_1$$

Erste Aufstellung = $28^\circ 17' 10''$ zieml. gut (Compl. = $151^\circ 42' 50''$)

$$\sigma_3 : B_1$$

Erste Aufstellung = $151^\circ 45' 30''$ ziemlich gut

151 44 40 „

151 45 40 „

Mittel = $151^\circ 45' 17''$ (1)

Zweite Aufstellung = $151^\circ 45' 0''$ ziemlich gut

151 44 30

151 45 0

Mittel = $151^\circ 44' 50''$ (2)

Dritte Aufstellung = $151^\circ 44' 0''$ ziemlich gut (3)

Mittel aus (1), (2) und (3) = $151^\circ 44' 42''$

$$\sigma_1 : \sigma_2$$

Erste Aufstellung = $56^\circ 33' 30''$ gut (1)

Zweite Aufstellung = 56 34 0 „

56 34 0 „

Mittel = $56^\circ 34' 0''$ (2)

Dritte Aufstellung = $56^\circ 32' 30''$ gut (3)

Mittel aus (1), (2) und (3) = $56^\circ 33' 20''$

$$\sigma_1 : \sigma_3$$

Erste Aufstellung = $123^\circ 28' 30''$ ziemlich gut

123 28 0 „

123 29 0 „

Mittel = $123^\circ 28' 30''$

(Compl. = $56^\circ 31' 30''$) (1)

Zweite Aufstellung = $123^{\circ} 29' 0''$ ziemlich gut

123 29 0 »

123 30 30 »

Mittel = $123^{\circ} 29' 30''$

(Compl. = $56^{\circ} 30' 30''$) (2)

Dritte Aufstellung = $123^{\circ} 28' 0''$ ziemlich gut

123 29 0 »

123 28 0 »

123 29 0 »

Mittel = $123^{\circ} 28' 30''$

(Compl. = $56^{\circ} 31' 30''$) (3)

Mittel aus (1), (2) und (3) = $123^{\circ} 28' 50''$ (Compl. $56^{\circ} 31' 10''$)

$\sigma_2 : M_1$

Erste Aufstellung = $118^{\circ} 10' 30''$ mittelmässig

$\sigma_3 : r_1$

Erste Aufstellung = $136^{\circ} 18' 0''$ ziemlich gut

136 14 30 »

136 13 0 »

136 14 0 »

136 15 0 »

Mittel = $136^{\circ} 14' 54''$

$r_1 : a_1$

Erste Aufstellung = $114^{\circ} 45' 0''$ ziemlich gut

114 46 30 »

114 46 0 »

114 47 0 »

Mittel = $114^{\circ} 46' 8''$

$$r_1 : a_2$$

Erste Aufstellung = $65^\circ 13' 30''$ (Compl. $114^\circ 46' 30''$) ziemlich gut

$$a_1 : a_2 = 0^\circ 0' 0'' \text{ sehr gut}$$

$$\sigma_2 : \tau_3 = 0 \ 0 \ 0 \quad \text{„}$$

$$a_1 : B_1 = 90 \ 0 \ 0 \quad \text{„}$$

$$a_2 : B_1 = 90 \ 0 \ 0 \quad \text{„}$$

Anmerkung zum Krystall № 2.

Die Messungen $\rho_1 : M_1$, $\sigma_2 : M_1$, $\sigma_3 : r_1$, $r_1 : a_1$ und $r_1 : a_2$ sind in meiner alten Abhandlung über den Sylvanit nicht gegeben, sie erscheinen hier zum ersten Male; indessen sind die drei letzten jetzt von grosser Bedeutung, weil sie den besten Beweis für die Richtigkeit der von A. Schrauf gezogenen Schlüsse geben.

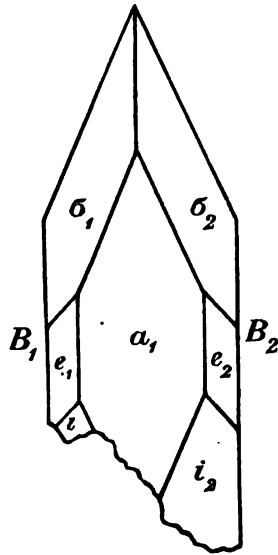
Die Messungen $\rho_1 : M_1$ und $\sigma_2 : M_1$ wurden nicht veröffentlicht, weil es mir schien, dass dieselben nicht genug befriedigend waren. Was aber die Messungen $\sigma_3 : r_1$, $r_1 : a_1$ und $r_1 : a_2$ anbelangt, so waren sie ausgeschlossen, indem ich für dieselben Grössen erhalten hatte, die gar nicht mit den Grössen, welche am oberen Theil des Krystalls gefunden waren, so wie auch mit den berechneten Werthen übereinstimmten. Für einen solchen Missklang konnte ich damals keine genügende Erklärung finden (sogar war ich geneigt voranzusetzen dass an dem unteren Ende meines Krystalles ein anderes Individuum nicht in ganz paralleler Lage aufgewachsen sei); jetzt aber bei der Annahme, dass $\rho = +P$, $r = -P$, $\sigma = +(2P^2)$ und $s = -(2P^2)$ erklärt sich alles auf das Beste und dient zur Bestätigung der Richtigkeit der A. Schrauf'schen Ansichten (denn wir begegnen hier die Formen ρ , r und σ auf einem und demselben Krystalle). Jetzt stimmen die Messungen vollkommen mit den Rechnungen überein. in der That:

	Durch Messung.	Durch Rechnung.
$r_1 : a_1 =$	$114^\circ 46' 19''$	$114^\circ 49' 21''$
$\sigma_3 : r_1 =$	$136^\circ 14' 54''$	$136^\circ 10' 52''$

Krystall № 3 (Einfacher Krystall).

Dieser Krystall ist hier auf Fig. 6 abgebildet.

Fig. 6.



$$\sigma_1 : \alpha_1$$

Erste Aufstellung = $105^\circ 29' 0''$ ziemlich

$105 \ 32 \ 30$ »

Mittel = $105^\circ 30' 45''$

$$\sigma_2 : \alpha_1$$

Erste Aufstellung = $105^\circ 24' 0''$ ziemlich gut

$105 \ 23 \ 30$ »

Mittel = $105^\circ 23' 45''$

$$\sigma_2 : \alpha_2$$

Erste Aufstellung = $74^\circ 35' 0''$ ziemlich gut

(Complement = $105^\circ 25' 0''$) (1)

Zweite Aufstellung = $74^{\circ} 34' 0''$ ziemlich gut

74 32 0 „

74 34 30 „

74 33 30 „

Mittel = $74^{\circ} 33' 30''$ (Compl. = $105^{\circ} 26' 30''$) (2)

Mittel aus (1) und (2) = $74^{\circ} 34' 15''$ (Compl. = $105^{\circ} 25' 45''$)

$\sigma_2 : B_2$

Erste Aufstellung = $151^{\circ} 50' 30''$ unbefriedigend.

$\sigma_2 : B_1$

Erste Aufstellung = $28^{\circ} 16' 0''$ ziemlich gut

28 15 30 „

Mittel = $28^{\circ} 15' 45''$ (Compl. = $151^{\circ} 44' 15''$)

$\sigma_1 : \sigma_2$

Erste Aufstellung = $56^{\circ} 24' 0''$ mittelmässig

$i_2 : a_1$

Erste Aufstellung = $130^{\circ} 9' 30''$ mittelmässig

130 6 0 „

Mittel = $130^{\circ} 7' 45''$

$i_2 : a_2$

Erste Aufstellung = $49^{\circ} 53' 0''$

50 0 0

Mittel = $49^{\circ} 56' 30''$

$e_1 : a_1$

Erste Aufstellung = $121^{\circ} 24' 0''$ mittelmässig

121 21 0'' „

Mittel = $121^{\circ} 22' 30''$

Krystall № 1 (Zwillingskrystall).

Dieser Krystall ist hier auf den beigefügten Figuren dargestellt, nämlich: Fig. 7 (vordere Hälfte des Zwillings) und Fig. 8 (Zwilling von der Seite).

Fig. 8.

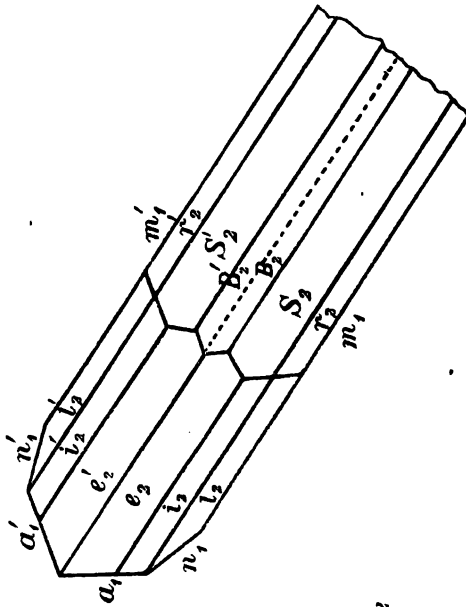
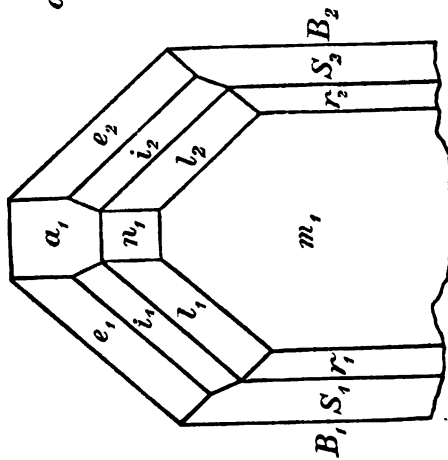


Fig. 7.



$$r_1 : m_1$$

$$\begin{array}{l} \text{Erste Aufstellung} = 137^\circ 18' 0'' \text{ ziemlich} \\ \phantom{\text{Erste Aufstellung}} 137 \ 14 \ 30 \quad \text{„} \end{array}$$

$$\text{Mittel} = 137^\circ 16' 15''$$

$$r'_1 : m_1$$

$$\begin{array}{l} \text{Erste Aufstellung} = 42^\circ 48' 30'' \text{ ziemlich} \\ \phantom{\text{Erste Aufstellung}} 42 \ 49 \ 30 \quad \text{„} \end{array}$$

$$\text{Mittel} = 42^\circ 49' 0'' \text{ (Compl.} = 137^\circ 11' 0'')$$

$$r'_2 : m_1$$

$$\begin{array}{l} \text{Erste Aufstellung} = 42^\circ 49' 0'' \text{ ziemlich} \\ \phantom{\text{Erste Aufstellung}} 42 \ 47 \ 30 \quad \text{„} \end{array}$$

$$\text{Mittel} = 42^\circ 48' 15'' \text{ (Compl.} = 137^\circ 11' 45'')$$

$$r'_2 : m'_1$$

$$\begin{array}{l} \text{Erste Aufstellung} = 137^\circ 17' 30'' \text{ ziemlich gut} \\ \phantom{\text{Erste Aufstellung}} 137 \ 16 \ 30 \quad \text{„} \\ \phantom{\text{Erste Aufstellung}} 137 \ 16 \ 30 \quad \text{„} \end{array}$$

$$\text{Mittel} = 137^\circ 16' 50''$$

$$s_1 : m_1$$

$$\begin{array}{l} \text{Erste Aufstellung} = 118^\circ 25' 30'' \text{ ziemlich} \\ \phantom{\text{Erste Aufstellung}} 118 \ 32 \ 30 \quad \text{„} \end{array}$$

$$\text{Mittel} = 118^\circ 29' 0''$$

$$s'_2 : m_1$$

$$\begin{array}{l} \text{Erste Aufstellung} = 61^\circ 35' 30'' \text{ ziemlich} \\ \phantom{\text{Erste Aufstellung}} 61 \ 40 \ 0 \quad \text{„} \end{array}$$

$$\text{Mittel} = 61^\circ 37' 45'' \text{ (Compl.} = 118^\circ 22' 15')$$

$$\begin{array}{l}
 n'_1 : m'_1 \\
 \text{Erste Aufstellung} = 160^\circ 40' 0'' \text{ gut} \\
 160 \ 40 \ 30 \ \text{„} \\
 160 \ 39 \ 30 \ \text{„} \\
 160 \ 39 \ 0 \ \text{„} \\
 160 \ 40 \ 0 \ \text{„} \\
 160 \ 40 \ 30 \ \text{„}
 \end{array}$$

$$\text{Mittel} = 160^\circ 39' 55'' (1)$$

$$\text{Zweite Aufstellung} = 160^\circ 40' 0'' \text{ ziemlich gut (2)}$$

$$\begin{array}{l}
 \text{Dritte Aufstellung} = 160^\circ 41' 30'' \text{ ziemlich gut} \\
 160 \ 42 \ 30 \ \text{„}
 \end{array}$$

$$\text{Mittel} = 160^\circ 42' 0'' (3)$$

$$\begin{array}{l}
 \text{Vierte Aufstellung} = 160^\circ 41' 30'' \text{ ziemlich gut} \\
 160 \ 39 \ 0 \ \text{„} \\
 160 \ 40 \ 30 \ \text{„} \\
 160 \ 42 \ 30 \ \text{„}
 \end{array}$$

$$\text{Mittel} = 160^\circ 40' 53'' (4)$$

$$\text{Mittel aus (1), (2), (3) und (4)} = 160^\circ 40' 42''$$

$$\begin{array}{l}
 n'_1 : m_1 \\
 \text{Erste Aufstellung} = 19^\circ 23' 0'' \text{ ziemlich (Compl.} = 160^\circ 37' 0'')
 \end{array}$$

$$\begin{array}{l}
 n'_1 : i'_2 \\
 \text{Erste Aufstellung} = 134^\circ 40' 0'' \text{ ziemlich} \\
 134 \ 41 \ 0 \ \text{„} \\
 134 \ 40 \ 50 \ \text{„}
 \end{array}$$

$$\text{Mittel} = 134^\circ 40' 37''$$

$$\begin{array}{l}
 n_1 : a_1 \\
 \text{Erste Aufstellung} = 74^\circ 47' 0'' \text{ mittelmässig} \\
 74 \ 41 \ 0 \ \text{„} \\
 74 \ 46 \ 0 \ \text{„}
 \end{array}$$

$$\text{Mittel} = 74^\circ 44' 40'' (1)$$

Zweite Aufstellung = $74^{\circ} 43' 0''$ mittelmässig (2)

Mittel aus (1) und (2) = $74^{\circ} 43' 50''$ (Compl. = $105^{\circ} 16' 10''$)

$m_1 : \alpha_1$

Erste Aufstellung = $124^{\circ} 41' 30''$ ziemlich

124 42 30 „

124 41 30 „

Mittel = $124^{\circ} 41' 50''$ (1)

Zweite Aufstellung = $124^{\circ} 40' 30''$ ziemlich (2)

Mittel aus (1) und (2) = $124^{\circ} 41' 10''$

$m'_1 : \alpha_1$

Erste Aufstellung = $55^{\circ} 27' 0''$ unbefriedigend

55 20 0 „

55 28 30 „

Mittel = $55^{\circ} 25' 10''$

(Compl. = $124^{\circ} 34' 50''$) (1)

Zweite Aufstellung = $55^{\circ} 23' 0''$ unbefriedigend

(Compl. = $124^{\circ} 37' 0''$) (2)

Mittel aus (1) und (2) = $55^{\circ} 24' 5''$ (Compl. = $124^{\circ} 35' 55''$)

$i_2 : m_1$

Erste Aufstellung = $128^{\circ} 35' 0''$ ziemlich

128 30 0

Mittel = $128^{\circ} 32' 30''$

$i'_2 : m'_1$

Erste Aufstellung = $128^{\circ} 31' 0''$ gut

128 31 30 „

128 30 0 „

128 33 30 „

Mittel = $128^{\circ} 31' 30''$ (1)

Zweite Aufstellung = $128^{\circ} 31' 10''$ gut (2)

Dritte Aufstellung = $128^{\circ} 31' 30''$ gut

128 30 0 „

128 32 30 „

128 34 30 „

128 30 0 „

128 33 0 „

Mittel = $128^{\circ} 31' 55''$ (3)

Mittel aus (1), (2) und (3) = $128^{\circ} 31' 32''$

$i'_2 : m_1$

Erste Aufstellung = $51^{\circ} 31' 30''$ ziemlich gut

51 32 0 „

Mittel = $51^{\circ} 31' 45''$ (1)

Zweite Aufstellung = $51^{\circ} 31' 0''$ ziemlich gut (2)

Mittel aus (1) und (2) = $51^{\circ} 31' 23''$ (Compl. = $128^{\circ} 28' 37''$)

$i'_2 : r'_2$

Erste Aufstellung = $158^{\circ} 45' 0''$ gut

158 46 30 „

158 47 30 „

158 47 0 „

158 46 0 „

Mittel = $158^{\circ} 46' 24''$

$i'_2 : r_1$

Erste Aufstellung = $21^{\circ} 18' 30''$ gut

21 19 0 „

21 19 0 „

21 17 30 „

21 18 0 „

Mittel = $21^{\circ} 18' 24''$ (Compl. = $158^{\circ} 41' 36''$)

i', B'_2

Erste Aufstellung = $134^\circ 20' 0''$ mittelmässig
134 17 0 „
134 18 30 „

Mittel = $134^\circ 18' 30''$

i', B'_1

Erste Aufstellung = $45^\circ 40' 0''$ ziemlich
45 40 30 „

Mittel = $45^\circ 40' 15''$ (Compl. = $134^\circ 19' 45''$)

e, m_1

Erste Aufstellung = $107^\circ 18' 30''$ ziemlich
107 18 0 „

Mittel = $107^\circ 18' 15''$

e, m'

Erste Aufstellung = $72^\circ 44' 30''$ ziemlich
72 40 0 „
72 41 30 „
72 42 0 „

Mittel = $72^\circ 42' 0''$ (1)

Zweite Aufstellung = $72^\circ 46' 0''$ ziemlich
72 45 0 „
72 44 0 „

Mittel = $72^\circ 45' 0''$ (2)

Dritte Aufstellung = $72^\circ 41' 30''$ ziemlich (3)

Mittel aus (1), (2) und (3) = $72^\circ 42' 50''$ (Compl. = $107^\circ 17' 10''$)

$$e_1 : B_1$$

Erste Aufstellung =	148° 38' 0''	ziemlich gut
	148 40 0	»
	148 39 30	»

$$\text{Mittel} = 148^\circ 39' 10'' \text{ (1)}$$

$$\text{Zweite Aufstellung} = 148^\circ 38' 30'' \text{ ziemlich gut (2)}$$

$$\text{Mittel aus (1) und (2)} = 148^\circ 38' 50''$$

Anmerkung zum Krystall № 1.

Die Form, welche in meiner alten Abhandlung als z (ζ nach Schrauf) gegeben war, habe ich hier jetzt ganz ausgeschlossen, weil A. Schrauf in einer grossen Anzahl der von ihm untersuchten Krystalle dieselbe nicht gefunden hat; daher ist es wahrscheinlich, dass ich, wie A. Schrauf glaubt, in dem von mir untersuchten Zwillinge dieselbe mit σ verwechselt habe.

Durch Messung habe ich damals erhalten:

$$z (\xi) : m = 99^\circ 45' 50''$$

99 46 40
96 44 0

$$\text{Mittel} = 99^\circ 45' 30'' \text{ (Nach Rechnung } \sigma : m = 99^\circ 42')$$

Die aus den oben angeführten Messungen abgeleiteten Endresultate und der Vergleich derselben mit den Resultaten der A. Schrauf'schen Messungen und berechneten Werthe.

Die unten folgende Tabelle bietet den Vergleich meiner Messungen mit denen von A. Schrauf's und mit den berechneten Werthen aus dem Axenverhältniss dieses Gelehrten dar, nämlich:

$$a : b : c = 1,12653 : 1,63394 : 1$$

$$\gamma = 89^\circ 35' 0''$$

Kokscharow's Messungen.	Schrauf's Messungen.	Berechnet.
$\sigma : a$		
Krystall № 2	Krystalle	
$\sigma_1 : a_1 = 105^\circ 27' 30''$ gut	№ 4 = $105^\circ 31'$	} $105^\circ 28' 11''$
aus $\sigma_1 : a_2 = 105 27 15$ sehr gut	№ 8 = $105 27$	
aus $\sigma_2 : a_2 = 105 28 0$ zieml.	№ 13 = $105 28$	
$\sigma_3 : a_2 = 105 26 0$ zieml. gut	№ 16 = $105 25$	
aus $\sigma_3 : a_1 = 105 27 30$ zieml. gut	№ 9 = $105 30$	
	№ 9 = $105 28$	
Krystall № 3	№ 15 = $105 31$	
$\sigma_1 : a_1 = 105^\circ 30' 45''$ zieml.	Mittel = $105^\circ 28\frac{1}{2}'$	
$\sigma_2 : a_1 = 105 23 45$ zieml. gut		
aus $\sigma_2 : a_2 = 105 25 45$ zieml. gut		
Mittel = $105^\circ 27' 4''$		
$\sigma : B$		
Krystall № 2		
$\sigma_1 : B_1 = 151^\circ 44' 0''$ gut	№ 4 = $151^\circ 43'$	} $151^\circ 45' 6''$
aus $\sigma_2 : B_1 = 151 42 50$ zieml. gut	№ 9 = $151 41$	
$\sigma_3 : B_1 = 151 44 42$ zieml. gut	№ 11 = $151 46$	
	Mittel = $151^\circ 43\frac{1}{2}'$	
Krystall № 3		
$\sigma_2 : B_2 = 151^\circ 50' 30''$ mittelm.		
aus $\sigma_2 : B_1 = 151 44 15$ zieml.		
Mittel = $151^\circ 45' 15''$		

Kokscharow's Messungen	Schrauf's Messungen.	Berechnet.
$\sigma : \sigma$	•	
Krystall № 2		
$\sigma_1 : \sigma_2 = 56^\circ 33' 20''$ gut	№ 9 = $56^\circ 34'$	} $56^\circ 29' 48''$
us $\sigma_1 : \sigma_3 = 56 31 10$ zieml. gut	$56 33$	
Krystall № 3	Mittel = $56^\circ 33\frac{1}{2}'$	
$\sigma_1 : \sigma_2 = 56^\circ 24' 0''$ mittelmäs.		
Mittel = $56^\circ 29' 30''$		

$\sigma : M$	
Krystall № 2	Krystalle
$\sigma_2 : M_1 = 118^\circ 10' 30''$ mittelmäs.	№ 11 = $118^\circ 17' . . 118^\circ 14' 54''$

$\sigma : r$	
Krystall № 2	
$\sigma_3 : r_1 = 136^\circ 14' 54''$ zieml. gut	№ 16 = $136^\circ 10' . . 136^\circ 10' 52''$

$\sigma : \rho$	
Krystall № 2	
$\sigma_1 : \rho_1 = 161^\circ 22' 10''$ zieml. gut	— . . $161^\circ 11' 22''$

$\sigma : \rho$		
Krystall № 2		
$\sigma_2 : \rho_1 = 75^\circ 12' 0''$ zieml.	№ 18 = $75^\circ 16'$	} $75^\circ 18' 26''$
us $\sigma_3 : \rho_1 = 75 11 0$		
Mittel = $75^\circ 11' 30''$		

Kokscharow's Messungen.	Schrauf's Messungen.	Berechnet
$\rho : a$		
Krystall № 2		
$\rho_1 : a_1 = 114^\circ 15' 0''$ gut	№ 13 = $114^\circ 26'$	} $114^\circ 21' 55''$
aus $\rho_1 : a_2 = 114 13 10$ zieml. gut	№ 15 = $114 23$	
Mittel = $114^\circ 14' 5''$	Mittel = $114^\circ 24\frac{1}{2}'$	
$\rho : B$		
Krystall № 2		
$\rho_1 : B_1 = 133^\circ 7' 0''$ zieml.	—	. . $132^\circ 56' 28''$
$\rho : M$		
Krystall № 2		
$\rho_1 : M_1 = 136^\circ 58' 0''$ mittelmäs.	№ 11 = $137^\circ 6'$. . $137^\circ 3' 32''$	
$r : m$		
Krystall № 1	Krystalle	
$r_1 : m_1 = 137^\circ 16' 15''$ zieml.	№ 16 = $137^\circ 15'$	} $137^\circ 15' 10''$
aus $r'_1 : m_1 = 137 11 0$ »		
aus $r'_2 : m_1 = 137 11 45$ »		
$r'_2 : m'_2 = 137 16 50$ zieml. gut		
Mittel = $137^\circ 13' 58''$		
$r : a$		
Krystall № 2		
$r_1 : a_1 = 114^\circ 46' 8''$ zieml. gut	№ 5 = $114^\circ 45'$	} $114^\circ 49' 21''$
aus $r_1 : a_2 = 114 46 30$ »		
Mittel = $114^\circ 46' 19''$		

Kokscharow's Messungen.	Schrauf's Messungen.	Berechnet.	
<i>s</i> : <i>m</i>			
Krystall № 1			
$s_1 : m_1 = 118^\circ 29' 0''$ zieml.	№ 16 = 118° 23' } } 118° 24' 40''		
$s'_2 : m_1 = 118 22 15$ »			
Mittel = 118° 25' 38''			
<i>n</i> : <i>m</i>			
Krystall № 1			
$n'_1 : m'_1 = 160^\circ 40' 42''$ gut	№ 16 = 160° 35' } } 160° 40' 22''		
$sn'_1 : m_1 = 160 37 0$ zieml.			
Mittel = 160° 38' 51''			
<i>n</i> : <i>i</i>			
Krystall № 1			
$n'_1 : i'_2 = 134^\circ 40' 37''$ zieml.	—	134° 44' 35''	
<i>n</i> : <i>a</i>			
Krystall № 1			
$n'_1 : a_1 = 74^\circ 43' 50''$ mittelmäs.	—	74° 27' 38''	
<i>m</i> : <i>a</i>			
Krystall № 1	Krystalle		
$m_1 : a_1 = 124^\circ 41' 10''$ zieml.	№ 8 = 124° 53' } } 124° 52' 0''		
$sm'_1 : a_1 = 124 35 55$ unbef.			
Mittel = 124° 38' 33''			
			№ 11 = 124 50
			№ 16 = 124 55
	№ 20 = 124 51		
	Mittel = 124° 52 $\frac{1}{4}$ '		

Kokscharow's Messungen.	Schrauf's Messungen.	Berechnet.
<i>i</i> : <i>m</i>		
Krystall № 1		
<i>i</i> ' ₂ : <i>m</i> ₁ = 128° 32' 30'' zieml.	№ 6 = 128° 34'	} 128° 31' 24''
<i>i</i> ' ₂ : <i>m</i> ' ₁ = 128 31 32 gut	№ 16 = 128 30	
aus <i>i</i> ' ₂ : <i>m</i> ₁ = 128 28 37 zieml.	Mittel = 128° 32'	
Mittel = 128° 30' 53''		

<i>i</i> : <i>r</i>		
Krystall № 1		
<i>i</i> ' ₂ : <i>r</i> ' ₂ = 158° 46' 24'' gut		} 158° 41' 22''
aus <i>i</i> ' ₂ : <i>r</i> ₁ = 158 41 36 gut	—	
Mittel = 158° 44' 0''		

<i>i</i> : <i>a</i>		
Krystall № 3		
<i>i</i> ' ₂ : <i>a</i> ₁ = 130° 7' 45'' mittelmäs. № 10 = 130° 7'		} 130° 5' 55''
aus <i>i</i> ' ₂ : <i>a</i> ₂ = 130 3 30 unbef.		
Mittel = 130° 5' 38''		

<i>i</i> : <i>B</i>		
Krystall № 1		
<i>i</i> ' ₂ : <i>B</i> ' ₂ = 134° 18' 30'' mittelmäs. № 17 = 134° 22' $\frac{1}{2}$ '		} 134° 21' 33''
aus <i>i</i> ' ₂ : <i>B</i> ' ₁ = 134 19 45 zieml.		
Mittel = 134° 19' 8''		

<i>e</i> : <i>a</i>		
Krystall № 3		
<i>e</i> ₁ : <i>a</i> ₁ = 121° 22' 30'' mittelmäs.	—	. . 121° 28' 5''

Kokscharow's
Messungen.

Schrauf's
Messungen.

Berechnet.

$e : B$

Krystall № 1

$c_1 : B_1 = 148^\circ 38' 50''$ zieml. gut № 14 = $148^\circ 35' . . 148^\circ 31' 55''$

$e : m$

Krystall № 1

$c_1 : m_1 = 107^\circ 18' 15''$ ziemlich	№ 14 = $107^\circ 23'$	}	$107^\circ 21' 47''$
$s c_1 : m_1' = 107 17 10$ ziemlich	№ 17 = $107 19$		
Mittel = $107^\circ 17' 43''$	Mittel = $107^\circ 21'$		

Berechnungen der Sylvanitformen.

Aus dem von A. Schrauf gegebenen Axenverhältniss,

$$a : b : c = 1,12653 : 1,63394 : 1$$

$$\gamma = 89^\circ 35' 0'',$$

habe ich die Winkel für alle bis jetzt bekannten Sylvanitformen berechnet und die nachfolgenden Resultate erhalten. In diesen letzteren ist bezeichnet:

In den *positiven* Hemipyramiden (deren Flächen über dem *spitzen* Winkel γ liegen), mit μ den Neigungswinkel der klinodiagonalen Polkante zur Verticalaxe a, mit ν den Neigungswinkel derselben Kante zur Klinodiagonalaxe b, mit ρ den Neigungswinkel der orthodiagonalen Polkante zur Verticalaxe a, mit σ den Neigungswinkel der Mittelkante zur Klinodiagonalaxe b, mit χ den Neigungs-

winkel, welchen die Fläche mit der Ebene bildet, welche die Axen a und b enthält (Winkel zum klinodiagonalen Hauptschnitt), mit Y den Neigungswinkel welchen die Fläche mit der Ebene bildet, welche die Axen a und c enthält (Winkel zum orthodiagonalen Hauptschnitt), mit Z den Neigungswinkel welchen die Fläche mit der Ebene bildet, welche die Axen b und c enthält (Winkel zum basischen Hauptschnitt).

Endlich werden wir die Winkel der *negativen* Hemipyramiden (deren Flächen über dem *stumpfen* Winkel γ liegen) mit denselben Buchstaben bezeichnen, nur zu denjenigen, die einer Aenderung in ihrer Grösse unterworfen sind, werden wir einen Accent hinzufügen, nämlich X', Y', Z', μ' , ν' .

Positive Hemipyramiden.

$$\rho = +P.$$

$$X = 47^\circ 3' 32''$$

$$Y = 65 38 5$$

$$Z = 53 0 25$$

$$\mu = 55^\circ 41' 53''$$

$$\nu = 34 43 7$$

$$\rho = 41 35 42$$

$$\sigma = 31 28 3$$

$$\rho : \alpha = 114^\circ 21' 55''$$

$$\rho : B = 132 56 28$$

$$\rho : C = 126 59 35$$

$$\sigma = + (2P2)$$

$$X = 28^\circ 14' 54''$$

$$Y = 74 31 49$$

$$Z = 67 6 22$$

$$\mu = 55^\circ 41' 53''$$

$$\nu = 34 43 7$$

$$\rho = 23 56 1$$

$$\sigma = 17 0 52$$

$$\sigma : a = 105^{\circ} 28' 11''$$

$$\sigma : B = 151 \ 45 \ 6$$

$$\sigma : C = 112 \ 53 \ 38$$

$$\omega = + (3P3)$$

$$X = 19^{\circ} 42' 25''$$

$$Y = 79 \ 2 \ 42$$

$$Z = 73 \ 54 \ 31$$

$$\mu = 55^{\circ} 41' 53''$$

$$\nu = 34 \ 43 \ 7$$

$$\rho = 16 \ 28 \ 59$$

$$\sigma = 11 \ 31 \ 50$$

$$\omega : a = 100^{\circ} 57' 18''$$

$$\omega : B = 160 \ 17 \ 35$$

$$\omega : C = 106 \ 5 \ 29$$

$$Q = + (4P4)$$

$$X = 15^{\circ} 2' 13''$$

$$Y = 81 \ 35 \ 34$$

$$Z = 77 \ 41 \ 14$$

$$\mu = 55^{\circ} 41' 53''$$

$$\nu = 34 \ 43 \ 7$$

$$\rho = 12 \ 30 \ 44$$

$$\sigma = 8 \ 41 \ 57$$

$$Q : a = 98^{\circ} 24' 26''$$

$$Q : B = 164 \ 57 \ 47$$

$$Q : C = 102 \ 18 \ 46$$

— 194 —

$$\tau = + P\frac{2}{3}.$$

$$X = 58^{\circ} 11' 4''$$

$$Y = 61 \ 23 \ 16$$

$$Z = 45 \ 41 \ 47$$

$$\mu = 55^{\circ} 41' 53''$$

$$\nu = 34 \ 43 \ 7$$

$$\rho = 53 \ 5 \ 34$$

$$\sigma = 42 \ 33 \ 10$$

$$\tau : a = 118^{\circ} 36' 44''$$

$$\tau : B = 121 \ 48 \ 56$$

$$\tau : C = 134 \ 18 \ 13$$

$$\tau^2 = + P2.$$

$$X = 65^{\circ} 2' 50''$$

$$Y = 59 \ 16 \ 22$$

$$Z = 41 \ 49 \ 15$$

$$\mu = 55^{\circ} 41' 53''$$

$$\nu = 34 \ 43 \ 7$$

$$\rho = 60 \ 36 \ 32$$

$$\sigma = 50 \ 45 \ 8$$

$$\tau^2 : a = 120^{\circ} 43' 38''$$

$$\tau^2 : B = 114 \ 57 \ 10$$

$$\tau^2 : C = 138 \ 10 \ 45$$

$$\Delta = + 2P.$$

$$X = 36^{\circ} 59' 42''$$

$$Y = 60 \ 54 \ 21$$

$$Z = 69 \ 27 \ 18$$

$$\mu = 36^{\circ} 5' 36''$$

$$\nu = 54 \ 19 \ 24$$

$$\rho = 23 \ 56 \ 1$$

$$\sigma = 31 \ 28 \ 3$$

$$\Delta : a = 119^\circ 5' 39''$$

$$\Delta : B = 143 \quad 0 \quad 18$$

$$\Delta : C = 110 \quad 32 \quad 42$$

$$\Phi = + \frac{5}{2}P\frac{5}{4}.$$

$$X = 41^\circ 24' 6''$$

$$Y = 55 \quad 9 \quad 0$$

$$Z = 70 \quad 48 \quad 24$$

$$\mu = 30^\circ 13' 32''$$

$$\nu = 60 \quad 11 \quad 28$$

$$\rho = 23 \quad 56 \quad 1$$

$$\sigma = 37 \quad 25 \quad 0$$

$$\Phi : a = 124^\circ 51' 0''$$

$$\Phi : B = 138 \quad 35 \quad 54$$

$$\Phi : C = 109 \quad 11 \quad 36$$

$$I = + 3P\frac{3}{2}.$$

$$X = 45^\circ 28' 39''$$

$$Y = 50 \quad 5 \quad 56$$

$$Z = 72 \quad 8 \quad 56$$

$$\mu = 25^\circ 52' 52''$$

$$\nu = 64 \quad 32 \quad 8$$

$$\rho = 23 \quad 56 \quad 1$$

$$\sigma = 42 \quad 33 \quad 10$$

$$I : a = 129^\circ 54' 4''$$

$$I : B = 134 \quad 31 \quad 21$$

$$I : C = 107 \quad 51 \quad 4$$

$$\Gamma^2 = + 4P2$$

$$X = 52^\circ 24' 38''$$

$$Y = 41 \quad 51 \quad 56$$

$$Z = 74 \quad 36 \quad 51$$

$$\mu = 19^{\circ} 58' 44''$$

$$\nu = 70 \ 26 \ 16$$

$$\rho = 23 \ 56 \ 1$$

$$\sigma = 50 \ 45 \ 8$$

$$I^3 : a = 138^{\circ} 8' 4''$$

$$I^3 : B = 127 \ 35 \ 22$$

$$I^3 : C = 105 \ 23 \ 9$$

$$I^3 = + 5P\frac{2}{3}.$$

$$X = 57^{\circ} 50' 2''$$

$$Y = 35 \ 37 \ 25$$

$$Z = 76 \ 40 \ 52$$

$$\mu = 16^{\circ} 12' 31''$$

$$\nu = 74 \ 12 \ 29$$

$$\rho = 23 \ 56 \ 1$$

$$\sigma = 56 \ 49 \ 56$$

$$I^5 : a = 144^{\circ} 22' 35''$$

$$I^5 : B = 122 \ 9 \ 58$$

$$I^5 : C = 103 \ 19 \ 8$$

$$\chi = + 6P3.$$

$$X = 62^{\circ} 3' 52''$$

$$Y = 30 \ 50 \ 1$$

$$Z = 78 \ 21 \ 53$$

$$\mu = 13^{\circ} 36' 45''$$

$$\nu = 76 \ 48 \ 15$$

$$\rho = 23 \ 56 \ 1$$

$$\sigma = 61 \ 25 \ 31$$

$$\chi : a = 149^{\circ} 9' 59''$$

$$\chi : B = 117 \ 56 \ 8$$

$$\chi : C = 101 \ 38 \ 7$$

$$\Gamma = + 7P\frac{7}{5}$$

$$X = 65^{\circ} 24' 10''$$

$$Y = 27 \quad 5 \quad 25$$

$$Z = 79 \quad 43 \quad 53$$

$$\mu = 11^{\circ} 43' 23''$$

$$\nu = 78 \quad 41 \quad 37$$

$$\rho = 23 \quad 56 \quad 1$$

$$\sigma = 64 \quad 58 \quad 30$$

$$\Gamma : a = 152^{\circ} 54' 35''$$

$$\Gamma : B = 114 \quad 35 \quad 50$$

$$\Gamma : C = 100 \quad 16 \quad 7$$

$$\Upsilon = + (\frac{2}{3}P2).$$

$$X = 53^{\circ} 45' 19''$$

$$Y = 79 \quad 54 \quad 34$$

$$Z = 38 \quad 11 \quad 31$$

$$\mu = 77^{\circ} 27' 11''$$

$$\nu = 12 \quad 57 \quad 49$$

$$\rho = 53 \quad 5 \quad 34$$

$$\sigma = 17 \quad 0 \quad 52$$

$$\Upsilon : a = 100^{\circ} 5' 26''$$

$$\Upsilon : B = 126 \quad 14 \quad 41$$

$$\Upsilon : C = 141 \quad 48 \quad 29$$

$$\xi = + \frac{2}{3}P.$$

$$X = 55^{\circ} 37' 4''$$

$$Y = 70 \quad 6 \quad 49$$

$$Z = 41 \quad 27 \quad 30$$

$$\mu = 65^{\circ} 39' 33''$$

$$\nu = 24 \quad 45 \quad 27$$

$$\rho = 53 \quad 5 \quad 34$$

$$\sigma = 31 \quad 28 \quad 3$$

$$\xi : a = 109^\circ 53' 11''$$

$$\xi : B = 124 \ 22 \ 56$$

$$\xi : C = 138 \ 32 \ 30$$

$$r^3 = + \frac{1}{5}P.$$

$$X = 61^\circ 54' 41''$$

$$Y = 73 \ 36 \ 54$$

$$Z = 33 \ 30 \ 20$$

$$\mu = 71^\circ 21' 8''$$

$$\nu = 19 \ 3 \ 52$$

$$\rho = 60 \ 36 \ 32$$

$$\sigma = 31 \ 28 \ 3$$

$$r^3 : a = 106^\circ 23' 6''$$

$$r^3 : B = 118 \ 5 \ 19$$

$$r^3 : C = 146 \ 29 \ 40$$

$$r^3 = + \frac{2}{3}P2.$$

$$X = 71^\circ 6' 46''$$

$$Y = 67 \ 2 \ 50$$

$$Z = 30 \ 46 \ 26$$

$$\mu = 65^\circ 39' 33''$$

$$\nu = 24 \ 45 \ 27$$

$$\rho = 69 \ 25 \ 6$$

$$\sigma = 50 \ 45 \ 8$$

$$r^3 : a = 112^\circ 57' 10''$$

$$r^3 : B = 108 \ 53 \ 14$$

$$r^3 : C = 149 \ 13 \ 34$$

$$\Pi = + (P2).$$

$$X = 43^\circ 7' 57''$$

$$Y = 77 \ 22 \ 20$$

$$Z = 49 \ 44 \ 43$$

$$\mu = 71^{\circ} 21' 7''$$

$$\nu = 19 \quad 3 \quad 53$$

$$\rho = 41 \quad 35 \quad 42$$

$$\sigma = 17 \quad 0 \quad 52$$

$$\Pi : a = 102^{\circ} 37' 40''$$

$$\Pi : B = 136 \quad 52 \quad 3$$

$$\Pi : C = 130 \quad 15 \quad 17$$

$$\lambda = + 2P2$$

$$X = 56^{\circ} 25' 48''$$

$$Y = 47 \quad 40 \quad 44$$

$$Z = 60 \quad 55 \quad 35$$

$$\mu = 36^{\circ} 5' 36''$$

$$\rho = 54 \quad 19 \quad 24$$

$$\nu = 41 \quad 35 \quad 42$$

$$\sigma = 50 \quad 45 \quad 8$$

$$\lambda : a = 132^{\circ} 19' 16''$$

$$\lambda : B = 123 \quad 34 \quad 12$$

$$\lambda : C = 119 \quad 4 \quad 25$$

$$\lambda^2 = + \frac{5}{2}P\frac{5}{2}$$

$$X = 60^{\circ} 26' 32''$$

$$Y = 41 \quad 16 \quad 14$$

$$Z = 64 \quad 22 \quad 45$$

$$\mu = 30^{\circ} 13' 32''$$

$$\nu = 60 \quad 11 \quad 28$$

$$\rho = 41 \quad 35 \quad 42$$

$$\sigma = 56 \quad 49 \quad 56$$

$$\lambda^2 : a = 138^{\circ} 43' 46''$$

$$\lambda^2 : B = 119 \quad 33 \quad 28$$

$$\lambda^2 : C = 115 \quad 37 \quad 15$$

$$\lambda^3 = + 3P_3$$

$$X = 63^\circ 48' 54''$$

$$Y = 36 \quad 9 \quad 37$$

$$Z = 67 \quad 18 \quad 18$$

$$\mu = 25 \quad 52 \quad 52$$

$$\nu = 64 \quad 32 \quad 8$$

$$\rho = 41 \quad 35 \quad 42$$

$$\sigma = 61 \quad 25 \quad 31$$

$$\lambda^3 : a = 143^\circ 50' 23''$$

$$\lambda^3 : B = 116 \quad 11 \quad 6$$

$$\lambda^3 : C = 112 \quad 41 \quad 42$$

$$\tilde{\delta} = + (3P_{\frac{3}{2}})$$

$$X = 26^\circ 40' 10''$$

$$Y = 68 \quad 44 \quad 5$$

$$Z = 74 \quad 49 \quad 30$$

$$\mu = 36^\circ 5' 36''$$

$$\nu = 54 \quad 19 \quad 24$$

$$\rho = 16 \quad 28 \quad 59$$

$$\sigma = 22 \quad 11 \quad 46$$

$$\tilde{\delta} : a = 111^\circ 15' 55''$$

$$\tilde{\delta} : B = 153 \quad 19 \quad 50$$

$$\tilde{\delta} : C = 105 \quad 10 \quad 30$$

$$\pi = + (4P_{\frac{4}{3}})$$

$$X = 26^\circ 56' 55''$$

$$Y = 65 \quad 56 \quad 15$$

$$Z = 78 \quad 45 \quad 50$$

$$\mu = 25^\circ 52' 52''$$

$$\nu = 64 \quad 32 \quad 8$$

$$\rho = 12 \quad 30 \quad 44$$

$$\sigma = 24 \quad 39 \quad 20$$

$$\pi : a = 114^\circ 3' 45''$$

$$\pi : B = 153 \quad 3 \quad 5$$

$$\pi : C = 101 \quad 14 \quad 10$$

$$\Omega = + (8P\frac{2}{3})$$

$$X = 14^\circ 15' 45''$$

$$Y = 77 \quad 11 \quad 37$$

$$Z = 83 \quad 55 \quad 10$$

$$\mu = 25^\circ 52' 52''$$

$$\nu = 64 \quad 32 \quad 8$$

$$\rho = 6 \quad 19 \quad 54$$

$$\sigma = 12 \quad 55 \quad 33$$

$$\Omega : a = 102^\circ 48' 23''$$

$$\Omega : B = 165 \quad 44 \quad 15$$

$$\Omega : C = 96 \quad 4 \quad 50$$

Negative Hemipyramiden

$$r = -P$$

$$X' = 47^\circ 15' 10''$$

$$Y' = 65 \quad 10 \quad 39$$

$$Z' = 52 \quad 43 \quad 49$$

$$\mu' = 55^\circ 8' 0''$$

$$\nu' = 34 \quad 27 \quad 0$$

$$\rho = 41 \quad 35 \quad 42$$

$$\sigma = 31 \quad 28 \quad 3$$

$$r : a = 114^\circ 49' 21''$$

$$r : B = 132 \quad 44 \quad 50$$

$$r : C = 127 \quad 16 \quad 11$$

$$s = - (2P2)$$

$$X' = 28^{\circ} 24' 40''$$

$$Y' = 74 \ 13 \ 1$$

$$Z' = 66 \ 53 \ 57$$

$$\mu' = 55^{\circ} \ 8' \ 0''$$

$$\nu' = 34 \ 27 \ 0$$

$$\rho = 23 \ 56 \ 1$$

$$\sigma = 17 \ 0 \ 52$$

$$s : a = 105^{\circ} 46' 59''$$

$$s : B = 151 \ 35 \ 20$$

$$s : C = 113 \ 6 \ 3$$

$$o = - (3P3)$$

$$X' = 19^{\circ} 49' 51''$$

$$Y' = 78 \ 49 \ 3$$

$$Z' = 73 \ 45 \ 17$$

$$\mu' = 55^{\circ} \ 8' \ 0''$$

$$\nu' = 34 \ 27 \ 0$$

$$\rho = 16 \ 28 \ 59$$

$$\sigma = 11 \ 31 \ 50$$

$$o : a = 101^{\circ} 10' 57''$$

$$o : B = 106 \ 10 \ 9$$

$$o : C = 106 \ 14 \ 43$$

$$q = - (4P4)$$

$$X' = 15^{\circ} \ 8' \ 5''$$

$$Y' = 81 \ 24 \ 58$$

$$Z' = 77 \ 34 \ 1$$

$$\mu' = 55^{\circ} \ 8' \ 0''$$

$$\nu' = 34 \ 27 \ 0$$

$$\rho = 12 \ 30 \ 44$$

$$\sigma = 8 \ 41 \ 57$$

$$q : a = 98^{\circ} 35' 2''$$

$$q : B = 164 51 55$$

$$q : C = 102 25 59$$

$$t = - P\frac{2}{3}$$

$$X' = 58^{\circ} 21' 31''$$

$$Y' = 60 52 37$$

$$Z' = 45 24 33$$

$$\mu' = 55^{\circ} 8' 0''$$

$$\nu' = 34 27 0$$

$$\rho = 53 5 34$$

$$\sigma = 42 33 10$$

$$t : a = 119^{\circ} 7' 23''$$

$$t : B = 121 38 29$$

$$t : C = 134 35 27$$

$$t^2 = - P2$$

$$X' = 65^{\circ} 11' 45''$$

$$Y' = 58 44 22$$

$$Z' = 41 32 7$$

$$\mu' = 55^{\circ} 8' 0''$$

$$\nu' = 34 27 0$$

$$\rho = 60 36 32$$

$$\sigma = 50 45 8$$

$$t^2 : a = 121^{\circ} 15' 38''$$

$$t^2 : B = 114 48 15$$

$$t^2 : C = 138 27 53$$

$$t^3 = - P3$$

$$X' = 72^{\circ} 52' 33''$$

$$Y' = 56 53 5$$

$$Z' = 37 59 42$$

— 204 —

$$\mu' = 55^\circ 8' 0''$$

$$\nu' = 34 27 0$$

$$\rho = 69 25 6$$

$$\sigma = 61 25 31$$

$$t^3 : a = 123^\circ 6' 55''$$

$$t^3 : B = 107 7 27$$

$$t^3 : C = 142 0 18$$

$$t^4 = - P4$$

$$X' = 76^\circ 59' 20''$$

$$Y' = 56 9 7$$

$$Z' = 36 32 22$$

$$\mu' = 55^\circ 8' 0''$$

$$\nu' = 34 27 0$$

$$\rho = 74 16 16$$

$$\sigma = 67 46 50$$

$$t^4 : a = 123^\circ 50' 53''$$

$$t^4 : B = 103 0 40$$

$$t^4 : C = 143 27 38$$

$$D = - 2P$$

$$X' = 37^\circ 11' 9''$$

$$Y' = 60 38 54$$

$$Z' = 69 4 28$$

$$\mu' = 35^\circ 48' 22''$$

$$\nu' = 53 46 38$$

$$\rho = 23 56 1$$

$$\sigma = 31 28 3$$

$$D : a = 119^\circ 21' 6''$$

$$D : B = 142 48 51$$

$$D : C = 110 55 32$$

$$i = - 3P\frac{2}{3}.$$

$$X' = 45^{\circ} 38' 27''$$

$$Y' = 49 54 2$$

$$Z' = 71 38 23$$

$$\mu' = 25^{\circ} 43' 24''$$

$$\nu' = 63 51 36$$

$$\rho = 23 56 1$$

$$\sigma = 42 33 10$$

$$i : a = 130^{\circ} 5' 58''$$

$$i : B = 134 21 33$$

$$i : C = 108 24 37$$

$$i^2 = - 4P2.$$

$$X' = 52^{\circ} 32' 22''$$

$$Y' = 41 42 56$$

$$Z' = 74 0 57$$

$$\mu' = 19^{\circ} 52' 56''$$

$$\nu' = 69 42 4$$

$$\rho = 23 56 1$$

$$\sigma = 50 45 8$$

$$i^2 : a = 138^{\circ} 17' 4''$$

$$i^2 : B = 127 27 38$$

$$i^2 : C = 105 59 3$$

$$h = - 6P3.$$

$$X' = 62^{\circ} 8' 36''$$

$$Y' = 30 44 42$$

$$Z' = 77 39 53$$

$$\mu' = 13^{\circ} 33' 59''$$

$$\nu' = 76 1 1$$

$$\rho = 23 56 1$$

$$\sigma = 61 25 31$$

$$h : a = 149^\circ 15' 18''$$

$$h : B = 117 \quad 51 \quad 24$$

$$h : C = 102 \quad 20 \quad 7$$

$$F = -\frac{5}{3}P\frac{5}{4}$$

$$X' = 41^\circ 34' 53''$$

$$Y' = 54 \quad 55 \quad 22$$

$$Z' = 70 \quad 21 \quad 23$$

$$\mu' = 30^\circ 0' 56''$$

$$\nu' = 59 \quad 34 \quad 4$$

$$\rho = 23 \quad 56 \quad 1$$

$$\sigma = 37 \quad 25 \quad 0$$

$$F : a = 125^\circ 4' 38''$$

$$F : B = 138 \quad 25 \quad 7$$

$$F : C = 109 \quad 38 \quad 37$$

$$y = -\left(\frac{1}{3}P^2\right)$$

$$X' = 53^\circ 50' 31''$$

$$Y' = 79 \quad 15 \quad 54$$

$$Z' = 38 \quad 5 \quad 56$$

$$\mu' = 76^\circ 39' 42''$$

$$\nu' = 12 \quad 55 \quad 18$$

$$\rho = 53 \quad 5 \quad 34$$

$$\sigma = 17 \quad 0 \quad 52$$

$$y : a = 100^\circ 44' 6''$$

$$y : B = 126 \quad 9 \quad 29$$

$$y : C = 141 \quad 54 \quad 4$$

$$y^3 = -\frac{1}{3}P$$

$$X' = 62^\circ 1' 5''$$

$$Y' = 72 \quad 56 \quad 57$$

$$Z' = 33 \quad 22 \quad 24$$

$$\mu' = 70^\circ 36' 27''$$

$$\nu' = 18 \ 58 \ 33$$

$$\rho = 60 \ 36 \ 32$$

$$\sigma = 31 \ 28 \ 3$$

$$y^2 : a = 107^\circ 3' 3''$$

$$y^2 : B = 117 \ 58 \ 55$$

$$y^2 : C = 146 \ 37 \ 36$$

$$y^3 = - \frac{2}{3}P2$$

$$X' = 71^\circ 12' 33''$$

$$Y' = 66 \ 23 \ 20$$

$$Z' = 30 \ 36 \ 21$$

$$\mu' = 64^\circ 58' 16''$$

$$\nu' = 24 \ 36 \ 44$$

$$\rho = 69 \ 25 \ 6$$

$$\sigma = 50 \ 45 \ 8$$

$$y^3 : a = 113^\circ 36' 40''$$

$$y^3 : B = 108 \ 47 \ 27$$

$$y^3 : C = 149 \ 23 \ 39$$

$$y^4 = - \frac{2}{3}P3$$

$$X' = 75^\circ 59' 42''$$

$$Y' = 63 \ 13 \ 5$$

$$Z' = 30 \ 23 \ 43$$

$$\mu' = 62^\circ 19' 43''$$

$$\nu' = 27 \ 15 \ 17$$

$$\rho = 74 \ 16 \ 16$$

$$\sigma = 61 \ 25 \ 31$$

$$y^4 : a = 116^\circ 46' 55''$$

$$y^4 : B = 104 \ 0 \ 18$$

$$y^4 : C = 149 \ 36 \ 17$$

$$P = - (P2)$$

$$X' = 43^\circ 15' 40''$$

$$Y' = 76 \ 50 \ 49$$

$$Z' = 49 \ 36 \ 11$$

$$\mu' = 70^\circ 36' 27''$$

$$\nu' = 18 \ 58 \ 33$$

$$\rho = 41 \ 35 \ 42$$

$$\sigma = 17 \ 0 \ 52$$

$$P : a = 103^\circ 9' 11''$$

$$P : B = 136 \ 44 \ 20$$

$$P : C = 130 \ 23 \ 49$$

$$l = - 2P2$$

$$X' = 56^\circ 36' 44''$$

$$Y' = 47 \ 22 \ 40$$

$$Z' = 60 \ 26 \ 8$$

$$\mu' = 35^\circ 48' 22''$$

$$\nu' = 53 \ 46 \ 38$$

$$\rho = 41 \ 35 \ 42$$

$$\sigma = 50 \ 45 \ 8$$

$$l : a = 132^\circ 37' 20''$$

$$l : B = 123 \ 23 \ 16$$

$$l : C = 119 \ 33 \ 52$$

$$l^3 = - 3P3$$

$$X' = 63^\circ 56' 39''$$

$$Y' = 35 \ 58 \ 7$$

$$Z' = 66 \ 41 \ 5$$

$$\mu' = 25^\circ 43' 24''$$

$$\nu' = 63 \ 51 \ 36$$

$$\rho = 41 \ 35 \ 42$$

$$\sigma = 61 \ 25 \ 34$$

$$l^3 : a = 144^\circ 1' 53''$$

$$l^3 : B = 116 \quad 3 \quad 21$$

$$l^3 : C = 113 \quad 18 \quad 55$$

$$u = - (3P_3^3)$$

$$X' = 26^\circ 49' 43''$$

$$Y' = 68 \quad 31 \quad 46$$

$$Z' = 74 \quad 31 \quad 55$$

$$\mu' = 35^\circ 48' 22''$$

$$\nu' = 53 \quad 46 \quad 38$$

$$\rho = 16 \quad 28 \quad 59$$

$$\sigma = 22 \quad 11 \quad 46$$

$$u : a = 111^\circ 28' 14''$$

$$u : B = 153 \quad 10 \quad 17$$

$$u : C = 105 \quad 28 \quad 5$$

$$p = - (4P_3^4)$$

$$X' = 27^\circ 4' 51''$$

$$Y' = 65 \quad 47 \quad 13$$

$$Z' = 78 \quad 25 \quad 48$$

$$\mu' = 25^\circ 43' 24''$$

$$\nu' = 63 \quad 51 \quad 36$$

$$\rho = 12 \quad 30 \quad 44$$

$$\sigma = 24 \quad 39 \quad 20$$

$$p : a = 114^\circ 12' 47''$$

$$p : B = 152 \quad 55 \quad 9$$

$$p : C = 101 \quad 34 \quad 12$$

$$w = - (8P\frac{2}{3})$$

$$X' = 14^{\circ} 20' 27''$$

$$Y' = 77 \quad 6 \quad 23$$

$$Z' = 83 \quad 44 \quad 7$$

$$\mu' = 25^{\circ} 43' 24''$$

$$\nu' = 63 \quad 51 \quad 36$$

$$\rho = 6 \quad 19 \quad 54$$

$$\sigma = 12 \quad 55 \quad 33$$

$$w : a = 102^{\circ} 53' 37''$$

$$w : B = 165 \quad 39 \quad 33$$

$$w : C = 96 \quad 15 \quad 53$$

Positive Hemidomen.

$$M = + P\infty$$

$$X = 90^{\circ} 0' 0''$$

$$Y = 55 \quad 41 \quad 53$$

$$Z = 34 \quad 43 \quad 7$$

$$M : a = 124^{\circ} 18' 7''$$

$$M : B = 90 \quad 0 \quad 0$$

$$M : C = 145 \quad 16 \quad 53$$

$$N = + 2P\infty$$

$$X = 90^{\circ} 0' 0''$$

$$Y = 36 \quad 5 \quad 36$$

$$Z = 54 \quad 19 \quad 24$$

$$N : a = 143^{\circ} 54' 24''$$

$$N : B = 90 \quad 0 \quad 0$$

$$N : C = 125 \quad 40 \quad 36$$

$$V = + 3P\infty$$

$$X = 90^\circ 0' 0''$$

$$Y = 25 52 52$$

$$Z = 64 32 8$$

$$V : a = 154^\circ 7' 8''$$

$$V : B = 90 0 0$$

$$V : C = 115 27 52$$

Negative Hemidomen.

$$m = - P\infty$$

$$X' = 90^\circ 0' 0''$$

$$Y' = 55 8 0$$

$$Z' = 34 27 0$$

$$m : a = 124^\circ 52' 0''$$

$$m : B = 90 0 0$$

$$m : C = 145 33 0$$

$$n = - 2P\infty$$

$$X' = 90^\circ 0' 0''$$

$$Y' = 35 48 22$$

$$Z' = 53 46 38$$

$$n : a = 144^\circ 11' 38''$$

$$n : B = 90 0 0$$

$$n : C = 126 13 22$$

$$v = - 3P\infty$$

$$X' = 90^\circ 0' 0''$$

$$Y' = 25 43 24$$

$$Z' = 63 51 36$$

$$\begin{aligned}v : a &= 154^\circ 16' 36'' \\v : B &= 90 \quad 0 \quad 0 \\v : C &= 116 \quad 8 \quad 24\end{aligned}$$

Klinodomen.

$$x = (\frac{1}{3}P\infty)$$

$$\begin{aligned}X &= 60^\circ 36' 35'' \\Y &= 90 \quad 21 \quad 47 \\Z &= 29 \quad 23 \quad 25 \\x : a &= 89^\circ 38' 13'' \\x : B &= 119 \quad 23 \quad 25 \\x : C &= 150 \quad 36 \quad 35\end{aligned}$$

$$d = (P\infty)$$

$$\begin{aligned}X &= 41^\circ 35' 44'' \\Y &= 90 \quad 16 \quad 36 \\Z &= 48 \quad 24 \quad 16 \\d : a &= 89^\circ 43' 24'' \\d : B &= 138 \quad 24 \quad 16 \\d : C &= 131 \quad 35 \quad 44\end{aligned}$$

$$K = (2P\infty)$$

$$\begin{aligned}X &= 23^\circ 56' 3'' \\Y &= 90 \quad 10 \quad 9 \\Z &= 66 \quad 3 \quad 57 \\K : a &= 89^\circ 49' 51'' \\K : B &= 156 \quad 3 \quad 57 \\K : C &= 113 \quad 56 \quad 3\end{aligned}$$

Prismen.

$$e = \infty P$$

$$X = 31^\circ 28' 5''$$

$$Y = 58 \ 31 \ 55$$

$$Z = 90 \ 13 \ 3$$

$$e : a = 121^\circ 28' 5''$$

$$e : B = 148 \ 31 \ 55$$

$$e : C = 89 \ 46 \ 57$$

$$f = \infty P2$$

$$X = 50^\circ 45' 10''$$

$$Y = 39 \ 14 \ 50$$

$$Z = 90 \ 19 \ 22$$

$$f : a = 140^\circ 45' 10''$$

$$f : B = 129 \ 14 \ 50$$

$$f : C = 89 \ 40 \ 38$$

$$S = \infty P5$$

$$X = 71^\circ 54' 13''$$

$$Y = 18 \ 5 \ 47$$

$$Z = 90 \ 23 \ 46$$

$$S : a = 161^\circ 54' 13''$$

$$S : B = 108 \ 5 \ 47$$

$$S : C = 89 \ 36 \ 14$$

$$R = (\infty P2)$$

$$X = 17^\circ 0' 54''$$

$$Y = 72 \ 59 \ 6$$

$$Z = 90 \ 7 \ 19$$

$$R : a = 107^{\circ} 0' 54''$$

$$R : B = 162 \ 59 \ 6$$

$$R : C = 89 \ 52 \ 41$$

Pinakoide.

$$a = \infty P \infty$$

$$X = 90^{\circ} 0' 0''$$

$$Y = 0 \ 0 \ 0$$

$$Z = 90 \ 25 \ 0$$

$$B = (\infty P \infty)$$

$$X = 0^{\circ} 0' 0''$$

$$Y = 90 \ 0 \ 0$$

$$Z = 90 \ 0 \ 0$$

$$C = oP$$

$$X = 90^{\circ} 0' 0''$$

$$Y = 90 \ 25 \ 0$$

$$Z = 0 \ 0 \ 0$$

Ferner berechnen sich folgende Winkel.

$$\left. \begin{array}{l} \rho : \rho \\ \text{Klinod. Polkante} \end{array} \right\} = 94^{\circ} 7' 4''$$

$$\left. \begin{array}{l} \rho : \sigma \\ \text{anliegende} \end{array} \right\} = 161 \ 11 \ 22$$

$$\left. \begin{array}{l} \rho : M \\ \text{anliegende} \end{array} \right\} = 137 \ 3 \ 32$$

$\sigma : \sigma$	} =	56° 29' 48"
Klinod. Polkante		
$\sigma : M$	} =	118 14 54
über ρ		
$\omega : \omega$	} =	39 24 50
Klinod. Polkante		
$Q : Q$	} =	30 4 26
Klinod. Polkante		
$\tau : \tau$	} =	116 22 8
Klinod. Polkante		
$\tau^2 : \tau^2$	} =	130 5 40
Klinod. Polkante		
$\Delta : \Delta$	} =	73 59 24
Klinod. Polkante		
$\Delta : \chi$	} =	149 55 40
anliegende		
$\Phi : \Phi$	} =	82 48 12
Klinod. Polkante		
$I : I$	} =	90 57 18
Klinod. Polkante		
$I^2 : I^2$	} =	104 49 16
Klinod. Polkante		
$I^5 : I^5$	} =	115 40 4
Klinod. Polkante		
$\Gamma : \Gamma$	} =	130 48 20
Klinod. Polkante		
$\Gamma : I^5$	} =	171 28 0
anliegende		
$\Upsilon : \Upsilon$	} =	107 30 38
Klinod. Polkante		
$\xi : \xi$	} =	111 14 8
Klinod. Polkante		
$\xi : \Upsilon^2$	} =	172 2 50
anliegende		
$\Upsilon^2 : \Upsilon^2$	} =	123 49 22
Klinod. Polkante		
$\Upsilon^3 : \Upsilon^3$	} =	142 13 32
Klinod. Polkante		
$\Pi : \Pi$	} =	86 15 54
Klinod. Polkante		
$\lambda : \lambda$	} =	112 51 36
Klinod. Polkante		

$\lambda^2 : \lambda^2$	} = 120° 53' 4''
Klinod. Polkante	
$\bar{\sigma} : \bar{\sigma}$	} = 53 20 20
Klinod. Polkante	
$\pi : \pi$	} = 53 53 50
Klinod. Polkante	
$\Omega : \Omega$	} = 28 31 30
Klinod. Polkante	
$r : r$	} = 94 30 20
Klinod. Polkante	
$r : m$ anliegende	} = 137 15 10
$s : s$	} = 56 49 20
Klinod. Polkante	
$s : m$ über r	} = 118 24 40
$o : o$	} = 39 39 42
Klinod. Polkante	
$o : m$ anliegende	} = 109 49 51
$q : q$	} = 30 16 10
Klinod. Polkante	
$q : m$ anliegende	} = 105 8 5
$t : t$	} = 116 43 2
Klinod. Polkante	
$t : m$ anliegende	} = 148 21 31
$t^2 : t^2$	} = 130 23 30
Klinod. Polkante	
$t^2 : m$ anliegende	} = 155 11 45
$t^3 : t^3$	} = 145 45 6
Klinod. Polkante	
$t^3 : m$ anliegende	} = 162 52 33
$t^4 : t^4$	} = 153 58 40
Klinod. Polkante	
$t^4 : m$ anliegende	} = 166 59 20
$D : D$	} = 74 22 18
Klinod. Polkante	

$i : i$	} = 91° 16' 54''
Klinod. Polkante	
$i^2 : i^2$	} = 105 4 44
Klinod. Polkante	
$h : h$	} = 124 17 12
Klinod. Polkante	
$F : F$	} = 83 9 46
Klinod. Polkante	
$y : y$	} = 107 41 2
Klinod. Polkante	
$y^2 : y^2$	} = 124 2 10
Klinod. Polkante	
$y^3 : y^3$	} = 142 25 6
Klinod. Polkante	
$y^4 : y^4$	} = 151 59 24
Klinod. Polkante	
$P : P$	} = 86 31 20
Klinod. Polkante	
$l : l$	} = 113 13 28
Klinod. Polkante	
$l^3 : l^3$	} = 127 53 18
Klinod. Polkante	
$u : u$	} = 53 39 26
Klinod. Polkante	
$p : p$	} = 54 9 42
Klinod. Polkante	
$w : w$	} = 28 40 54
Klinod. Polkante	
$M : N$	= 160 23 43
$M : V$	= 150 10 59
$m : n$	= 160 40 22
$m : v$	= 150 35 24
$x : d$	= 160 59 9
$x : K$	= 143 19 28
$e : m$	} = 107 21 47
anliegende	
$e : f$	= 160 42 55
$e : S$	= 139 33 52
$e : R$	= 165 32 49

$$\left. \begin{array}{l} e : e \\ \text{Klinod. Kante,} \\ \text{über } a \end{array} \right\} = 62^\circ 56' 10''$$

$$e : n = \begin{cases} 115 & 2 & 49 \\ 64 & 57 & 11 \end{cases}$$

$$e : M = \begin{cases} 72 & 53 & 28 \\ 107 & 6 & 32 \end{cases}$$

$$e : N = \begin{cases} 65 & 3 & 0 \\ 114 & 57 & 0 \end{cases}$$

$$\left. \begin{array}{l} e : d \\ \text{nächstliegende} \end{array} \right\} = 129 \quad 49 \quad 12$$

$$\left. \begin{array}{l} f : f \\ \text{Klinod. Kante,} \\ \text{über } a \end{array} \right\} = 101 \quad 30 \quad 20$$

$$\left. \begin{array}{l} f : R \\ \text{über } e \end{array} \right\} = 146 \quad 15 \quad 44$$

$$f : m = \begin{cases} 116 & 16 & 38 \\ 63 & 43 & 22 \end{cases}$$

$$f : M = \begin{cases} 115 & 52 & 35 \\ 64 & 7 & 25 \end{cases}$$

$$f : n = \begin{cases} 128 & 54 & 25 \\ 51 & 5 & 35 \end{cases}$$

$$f : N = \begin{cases} 51 & 15 & 38 \\ 128 & 44 & 22 \end{cases}$$

$$\left. \begin{array}{l} S : S \\ \text{Klinod. Kante} \end{array} \right\} = 143 \quad 48 \quad 26$$

$$\left. \begin{array}{l} S : R \\ \text{anliegende} \end{array} \right\} = 125 \quad 6 \quad 41$$

$$S : m = \begin{cases} 57 & 5 & 7 \\ 122 & 54 & 53 \end{cases}$$

$$S : M = \begin{cases} 122 & 23 & 24 \\ 57 & 36 & 36 \end{cases}$$

$$S : n = \begin{cases} 39 & 34 & 0 \\ 140 & 26 & 0 \end{cases}$$

$$S : N = \begin{cases} 140 & 10 & 57 \\ 39 & 49 & 3 \end{cases}$$

$m : y$ anliegende	} = 138° 40' 58''
$m : y^2$ anliegende	} = 148 19 47
$m : y^3$ anliegende	} = 158 52 21
$m : y^4$ anliegende	} = 164 17 16
$m : i$ anliegende	} = 128 31 23
$m : l$ anliegende	} = 141 59 26
$m : v$	= 150 35 24
$M : \omega$	= 109 42 25
$M : Q$	= 105 2 13
$M : \tau$	= 148 11 4
$M : \tau^2$	= 155 2 50
$M : I$	= 128 12 48
$M : Y$	= 138 30 32
$M : Y^2$	= 148 9 25
$M : Y^3$	= 158 43 55
$M : \lambda$	= 141 42 44
$\chi : \chi$ Klinod. Polkante	} = 124 7 44
$\lambda^3 : \lambda^3$ Klinod. Polkante	} = 127 37 48
$R : R$ Klinod. Kante, über a	} = 34 1 48
$R : m$	= { 80 22 12 99 37 48
$R : M$	= { 99 29 31 80 30 29
$R : n$	= { 76 16 18 103 43 42
$R : N$	= { 103 40 39 76 19 21

Zwischen den oben erwähnten und berechneten Sylvanitformen hat A. Schrauf als neue folgende bestimmt:

$$\begin{aligned}
 R &= (\infty P^2) \\
 S &= \infty P^5 \\
 x &= \left(\frac{1}{2} P \infty\right) \\
 D &= - 2P \\
 P &= - (P^2) \\
 t^2 &= - P^2 \\
 t^3 &= - P^3 \\
 t^4 &= - P^4 \\
 y^2 &= - \frac{1}{3} P \\
 y^3 &= - \frac{2}{3} P^2 \\
 y^4 &= - \frac{3}{4} P^3 \\
 l^3 &= - 3P^3 \\
 \xi &= + \frac{2}{3} P \\
 \Delta &= + 2P \\
 \Phi &= + \frac{5}{3} P \frac{5}{4} \\
 \Gamma^2 &= + 4P^2 \\
 \Gamma^5 &= + 5P \frac{5}{2} \\
 \chi &= + 6P^3 \\
 \Gamma &= + 7P \frac{7}{3} \\
 \lambda^3 &= + \frac{5}{3} P \frac{5}{3}
 \end{aligned}$$

Man muss auch die nachfolgenden, von A. Schrauf in seiner Abhandlung eingeführten, Bemerkungen in Rücksicht nehmen:

1) In Hinsicht der positiven und negativen Sylvanitformen, drückt sich A. Schrauf folgender Maassen aus:

- Obgleich einige der von mir beobachteten Flächen nur als +
- mPn oder — mPn vorkommen, so wurden doch in der Winkeltabelle
- die Werthe für die analogen Formen beider Quadranten aufgeführt.
- Der Grund hierfür ist die Rücksicht auf den Zonenverband und auf

• die nahe prismatische Symmetrie des Minerals. Letztere veranlasst, • dass Flächen mit identen Indices für + und — Quadranten gleich- • wahrscheinlich sind. Deshalb ist auch auf die Frage: welche Flächen • nur in einem positiven oder in einem negativen Quadranten vor- • kommen? eine präzise Antwort zu geben kaum möglich •.

• Die dominirenden Flächen kommen sowol + als — vor; und • die kleineren Flächen sind weniger vom Vorzeichen, als vom mög- • lichen Zonenverbände abhängig •.

2) • Wahrscheinlicher Fehler des Parametersystems. Der • mittlere Fehler, mit welchem Beobachtung und Rechnung behafter • sein können, lässt sich durch eine summarische Gegenüberstellung der • beiderseits erhaltenen Resultate ermitteln •.

• Die untersuchten Krystalle sind 2—10 mm. gross und zeigen • grossen Formenreichtum. Selbst bei Verwendung eines lichten Fa- • denkreuzes liefern die kleinen Flächen nur schwache Reflexe, die • höchstens zur Indexbestimmung tauglich sind. Jene Formen hingegen, • deren Winkel den wichtigsten Einfluss auf die Correctionen des Pa- • rametersystems ausüben, sind meist gross entwickelt. Sie reflectiren • ein lichtiges Fadenkreuz vollkommen scharf, ohne Nebenbild; aber selten • deutlich die beiden Arme des dunklen Spinnfadenskreuzes. Diese • Schärfe der Reflexe genügt, um im Mittel die Einstellung auf • $0',5—2',5$ sicher zu machen. Der Fehler der Beobachtungen schwankt • daher nothwendig zwischen $1'—5'$ und kann im Mittel zu $2',5$ an- • genommen werden. Diesen, aus dem Charakter der Flächenreflexe • erschlossenen wahrscheinlichen Fehler darf die mittlere Differenz • zwischen Beobachtung und Rechnung nicht überschreiten, wenn • letztere richtig sein soll •.

3) • Sylanit zeigt eine grosse Mannigfaltigkeit in der Ausbildung • seiner Krystalle. Oft variirt an reichen Stufen des Habitus benach- • barter Individuen. Ein Blick auf die beigegebenen Figuren lässt den • Formenreichtum unseres Minerals ahnen und gleichzeitig erkennen, • dass derselbe im Allgemeinen durch die Existenz zweier Wachstums-

»richtungen, eine parallel m , die zweite parallel $\sigma\sigma'$ hervorgerufen wird. Die beobachteten Gestalten lassen sich nach ihrem wesentlich verschiedenen Habitus gruppenweise besprechen«. A. Schrauf theilt dieselben auf folgender Weise ein:

A. Formen mit nahe trimetrischer Symmetrie.

a) Vorherrschend $B = (\infty P \infty)$. Die Abweichung einer solchen Gestalt von der rhombischen Symmetrie ist kaum grösser, als wie wir sie manchmal an einem verzerrt entwickelten, wahrhaft prismatischen Krystalle finden.

b) Vorherrschend $a = \infty P \infty$ und $B = (\infty P \infty)$.

c) Vorherrschend $m = -P \infty$.

B. Formen mit monosymmetrischen Charakter.

d) Vorherrschend $m = -P \infty$. Gestalten dieses Habitus werden am häufigsten beobachtet.

e) Vorherrschend $a = \infty P \infty$.

f) Vorherrschend $\sigma = +(2P2)$. Zahlreiche Krystalle zeigen diesen Habitus.

4) Skelettartige Bildung.

»Weit häufiger als andere Mineralien zeigen die Krystalle des »Sylvanits unterbrochene Raumauffüllung. Unwillkürlich erinnert man sich an die aus dem Schmelzflusse entstandenen Schlackenkrystalle mit ihren abgerundeten Kanten und mit Hohlräumen, aus deren Tiefe wieder Facetten hervorglänzen«.

5) Zwillingsbildung.

Als Zwillingsfläche der gewöhnlichen Sylvanitzwillinge betrachtet A. Schrauf, wie ich, die Fläche $m = -P \infty$, mit $m : a = 124^\circ 58' 0''$. Für diese Zwillinge sind, nach diesem Gelehrten, namentlich die Winkel dreier Zonen wichtig, nämlich: $(a \ m \ C \ \bar{m})$, $(m \ r \ B \ \bar{m})$, $(m \ e \ \sigma' \ \bar{\sigma}' \ \bar{e} \ \bar{m})$.

»Alle bisherigen Beobachtungen gestatten deshalb«, sagt A. Schrauf, die Krystalle als wahre Juxtapositionszwillinge nach

• $m = -P\infty$ zu erklären. Formen, welche etwa auf eine Zwillingbildung nach $M = +P\infty$ ($a : M = 124^\circ 18'$) hinwiesen, wurden bisher nicht aufgefunden. Hingegen sind an scheinbar einfachen Krystallen eingeschaltete Lamellen nach m nicht selten.

• *Aurum graphicum*. Die morphologischen Verhältnisse jener Varietät, welche als Schriffterz, *aurum graphicum* der Alten, bekannt ist, fanden bisher keine Erklärung. Offenbanya und Nagyag liefern Handstücke mit solchen Zwillingbildungen, als deren Typus meist die Kreuzung der lamellaren Individuen unter 60° angegeben wird. Naumann (Mineralogie, 9 Aufl. pag. 577) vermuthet mehrfache Zwillingbildungen, denn er sagt: *die einzelnen Individuen schneiden sich unter Winkeln von 60° und verbinden sich bisweilen zu Dreiecken, was noch auf andere Gesetze der Zwillingbildung zu verweisen scheint*. Die relativ genaueste Beschreibung gab aber der alte Autor Stütz ¹⁾ 1803, pag. 147, welcher schrieb: *dass die Individuen sich theils unter spitzigem, theils unter rechtem Winkel durchkreuzen*. In der That kommen diese zwei Abarten des Schrifterzes vor. Beiden liegt aber nur das eine bekannte Zwillingsgesetz nach m zu Grunde.

• Schriftformen mit einem Kreuzungswinkel von $69^\circ 44'$. Diese Formen unseres Minerals sind die häufigsten und bekanntesten, Sie entstehen, wie alle Beobachter angeben, vorzugsweise in den engsten Gangspalten. Es breiten sich auf dem krystallisirten Gangquarze überaus dünne Individuen aus, die sich durchkreuzen und nur in seltenen Fällen deutliche Krystallflächen erkennen lassen. Die Lamellen liegen in einer Ebene; ihre Oberfläche (es ist dies das Spaltungspinakoid $B = (\infty P\infty)$) spiegelt gleichzeitig ein. Mit letzterem haben sich auch die Individuen an das Muttergestein angeheftet und sie überbrücken gelegentlich in dieser Stellung kleine Vertiefungen. Hiedurch entstehen Hohlräume, die oben von dem platten —

¹⁾ And. Stütz. Physik.-mineral. Beschreibung des Gold- und Silberbergwerkes Szekerembe bei Nagyag. Wien 1803, 8°, S. 164.

»förmigen Sylvanit, unten von Quarz begrenzt sind. In diesen Höhlungen findet man die deutlichsten Krystalle des Sylvanits, partiell »angewachsen, oder auch in Zwillingsstellung gegen die obere flache »Sylvanitdecke. In besonders günstigen Fällen erlauben die Unebenheiten des Muttergesteins, dass auch die Enden der schriftartigen »Lamellen selbst auskrystallisiert sind. An den Längskanten sind »schmale Faunen meist sichtbar«.

Ferner beschreibt A. Schrauf: Schriffterz, mit einem Kreuzungswinkel von $55^{\circ} 8'$ und Schrifterz mit einem Kreuzungswinkel von 90° .

Anmerkung. Im Laufe dieses Artikels ist schon erwähnt worden, dass A. Schrauf meine alte Arbeit ziemlich streng behandelte, so dass man glauben konnte, dass dieselbe, ausser den ziemlich gut gemessenen Winkeln, weiter gar nichts mehr enthielt. Will man aber ihr Gerechtigkeit wiederfahren lassen, so muss man gestehen, dass durch diese Arbeit mit Evidenz gezeigt wurde, dass das Krystallsystem des Sylvanits wirklich *monoklinoëdrisch* und nicht rhombisch ist, wie man es gewohnt war zu betrachten. A. Schrauf selbst, sogar nach der Veröffentlichung meiner Abhandlung, behauptete noch immer, dass meine Bestimmung nicht richtig wäre und dass das Krystallsystem des Minerals *rhombisch* und nicht monoklinoëdrisch sei. Nur in neuester Zeit, als er nicht weniger als 25 gute Sylvanitkrystalle untersucht hatte, gelangt er zu demselben Schlusse wie ich. Ebenso wurden die Zwillinge und ihr Gesetz zum ersten Mal von mir beschrieben; A. Schrauf wählte zur Zwillingsfläche die Fläche *m*, d. h. dieselbe Fläche die auch ich gewählt hatte. Was aber die kleinen Differenzen in der Grösse der Winkel der analogen Formen der verschiedenen Individuen anbelangt, so war es für mich schwer, wegen Mangel an Material (nur drei kleine Krystalle), auf diese Differenzen hin die erwähnten Formen als *positive* und *negative* Hemipyramiden zu betrachten. A. Schrauf gebührt jetzt die Ehre diese dunkle Stelle auf der glänzendsten Weise erklärt zu haben.

Vierter Anhang zum Euklas.

(Vergl. Bd. III, S. 97; Bd. IV, S. 51 und 100; Bd. X, S. 104.)

Im Laufe des Sommers 1889 brachte H. Pribilew (Besitzer einiger Goldseifen im Ural) einen schönen nicht längst gefundenen Euklaskrystall nach St. Petersburg und hatte die Güte mir denselben für einige Tage zur Untersuchung zu überlassen. Dieser Krystall wurde in derselben Gegend gefunden wie alle anderen, d. h. im südlichen Ural, im Lande der Orenburgischen Kosaken, in der Nähe des Flusses Sanarka. Er war nicht gross (ungefähr $1\frac{1}{2}$ Centimeter in der Länge), aber sehr gut ausgebildet, von sehr intensiver schöner lebhafter blauer Farbe und fast durchsichtig. Die in seiner Combination eintretenden Formen waren folgende:

Hemipyramiden.

$$\begin{aligned}r &= \text{—P} \\ u &= \text{— (2P2)} \\ f &= \text{+ (3P3)}\end{aligned}$$

Klinodomen.

$$\begin{aligned}n &= (\text{P}\infty) \\ o &= (\text{2P}\infty)\end{aligned}$$

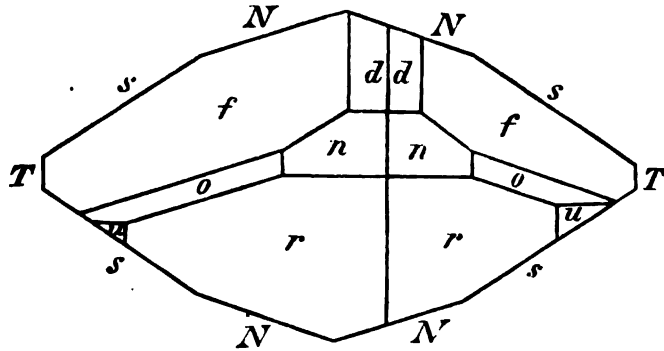
Prismen.

$$\begin{aligned}N &= \infty\text{P} \\ s &= (\infty\text{P}2)\end{aligned}$$

Klinopinakoid (als Spaltungsfläche)

$$T = (\infty\text{P}\infty)$$

Die gegenseitigen Verhältnisse dieser Formen sind in dem zu beschreibenden Krystalle (welchen ich mit № 7 bezeichne) am Besten aus der beigefügten Figur (horizontale Projection) zu ersehen.



Durch Messung mittelst des Mitscherlich'schen Goniometers mit *zwei* Fernröhren wurde im Mittel gefunden:

Ziemlich genaue Messungen.

$r : r$	}	= 156° 20'	(Nach Rechnung = 156° 13' 38'')
Klinod. Polkante			
$r : u$	}	= 169 0	(„ „ = 169 3 23)
anliegende			
$r : u$	}	= 145 21	(„ „ = 145 17 1)
über r			
$r : T$	}	= 101 58	(„ „ = 101 53 11)
die nächst lieg.			
$r : T$	}	= 78 18	Complement = 101° 42'
zur anderen T			
			(Nach Rechnung = 101 53 11)
$r : f$	}	= 95 45	(„ „ = 95 48 22)
über o			
$r : f$	}	= 95 44	(„ „ = 95 48 22)
andere Kante			
$u : f$	}	= 102 12	(„ „ = 102 15 24)
anliegende			
$u : T$	}	= 112 57	(„ „ = 112 49 48)

Die anderen Messungen wurden nur auf annähernde Weise ausgeführt und dienten eigentlich nur zur Bestimmung der krystallographischen Zeichen für die übrigen in der Combination des Krystals eintretenden Formen; auf diese Weise wurde erhalten:

$n : n$	}	=	ungefähr 143° 40'
Klinod. Kante			
$n : T$	=	•	72 2 (Compl. 107° 58')
$n : T$	}	=	• 108 22
andere Kante			
$n : o$	}	=	• 165 12
anliegende			
$n : o$	}	=	• 128 52
über n			
$o : T$	=	•	123 10

Wenn wir jetzt von diesen Messungen die ersteren, *genauen* zu meinen früheren hinzufügen, so erhalten wir folgende Zahlen:

Für $r : r$ (Klinodiagonale Polkante).

$$\begin{array}{l} \text{Krystall № 1} \\ \text{russischer} \end{array} \left. \vphantom{\begin{array}{l} \text{Krystall № 1} \\ \text{russischer} \end{array}} \right\} = \begin{array}{l} 156^\circ 16' 0'' \\ 156 \ 16 \ 0 \end{array}$$

$$\text{Mittel} = 156^\circ 16' 0'' \text{ (a)}$$

$$\begin{array}{l} \text{Krystall № 2} \\ \text{russischer} \end{array} \left. \vphantom{\begin{array}{l} \text{Krystall № 2} \\ \text{russischer} \end{array}} \right\} = \begin{array}{l} 156^\circ 15' 10'' \\ 156 \ 15 \ 30 \end{array}$$

$$\text{Mittel} = 156^\circ 15' 20'' \text{ (b)}$$

$$\begin{array}{l} \text{Krystall № 3} \\ \text{russischer} \end{array} \left. \vphantom{\begin{array}{l} \text{Krystall № 3} \\ \text{russischer} \end{array}} \right\} = 156^\circ 11' 50'' \text{ (c)}$$

$$\begin{array}{l} \text{Krystall № 7} \\ \text{neuer russischer} \end{array} \left. \vphantom{\begin{array}{l} \text{Krystall № 7} \\ \text{neuer russischer} \end{array}} \right\} = 156^\circ 20' 0'' \text{ (d)}$$

Der mittlere Werth aus den Messungen (a), (b), (c) und (d) beträgt also:

$$r : r = 156^\circ 15' 48''$$

$$\text{(Nach Rechnung} = 156^\circ 13' 38'')$$

$r : T$ (Neigung zur Spaltungsfläche)

$$\text{Krystall № 1} \left\{ \begin{array}{l} \text{Erste Kante} = 101^{\circ} 52' 0'' \text{ (a)} \\ \text{Zweite Kante} = 101 52 22 \text{ (b)} \\ \text{Dritte Kante} = 78 8 27 \text{ Compl.} = 101^{\circ} 51' 33'' \text{ (c)} \end{array} \right.$$

russischer

$$\text{Krystall № 2} \left\{ \begin{array}{l} \text{Erste Kante} = 101^{\circ} 51' 30'' \text{ (d)} \\ \text{Zweite Kante} = 78 8 0 \text{ Compl.} = 101^{\circ} 52' 0'' \text{ (e)} \end{array} \right.$$

russischer

$$\text{Krystall № 3} \left\{ \begin{array}{l} \text{Erste Kante} = 101^{\circ} 48' 30'' \\ \text{Zweite Kante} = 78 0 25 \text{ Compl.} = 101^{\circ} 59' 35'' \end{array} \right.$$

russischer

Mittel = 101^{\circ} 54' 2'' (f)

$$\text{Krystall № 7} \left\{ \begin{array}{l} \text{Erste Kante} = 101^{\circ} 58' 0'' \\ \text{Zweite Kante} = 78 18 0 \text{ Compl.} = 101 42' 0'' \end{array} \right.$$

russischer

Mittel = 101^{\circ} 50' 0'' (g)

Also der mittelste Werth aus (a), (b), (c), (d), (e), (f) und (g) ist:

$$r : T = 101^{\circ} 51' 55''$$

(Nach Rechnung = 101^{\circ} 53' 11'')

$r : f$ (über o)

$$\text{Krystall № 1} \left\{ \begin{array}{l} \text{Erste Kante} = 95^{\circ} 45' 0'' \text{ (a)} \\ \text{Zweite Kante} = 95 40 0 \text{ (b)} \end{array} \right.$$

russischer

$$\text{Krystall № 2} \left\{ \begin{array}{l} \text{Erste Kante} = 95^{\circ} 42' 40'' \text{ (c)} \end{array} \right.$$

russischer

$$\text{Krystall № 3} \left\{ \begin{array}{l} \text{Erste Kante} = 95^{\circ} 40' 10'' \text{ (d)} \end{array} \right.$$

russischer

$$\text{Krystall № 7} \left\{ \begin{array}{l} \text{Erste Kante} = 95^{\circ} 45' 0'' \text{ (e)} \\ \text{Zweite Kante} = 95 44 0 \text{ (f)} \end{array} \right.$$

russischer

Also aus (a), (b), (c), (d), (e) und (f) im Mittel:

$$r : f \left. \begin{array}{l} \text{über} \\ \text{ } \end{array} \right\} = 95^\circ 42' 48''$$

(Nach Rechnung = $95^\circ 48' 22''$)

$u : f$ (anliegende).

$$\text{Krystall N}^\circ 1 \left. \begin{array}{l} \text{russischer} \\ \text{ } \end{array} \right\} = 102^\circ 12' 45'' \text{ (a)}$$

$$\text{Krystall N}^\circ 7 \left. \begin{array}{l} \text{russischer} \\ \text{ } \end{array} \right\} = 102^\circ 12' 0'' \text{ (b)}$$

$$\text{Mittel} = 102^\circ 12' 22''$$

(Nach Rechnung = $102^\circ 15' 24''$)

Siebenter Anhang zum Topas.

(Vergl. Bd. II, S. 198 und S. 344; Bd. III, S. 195 und 378; Bd. IV, S. 34; Bd. IX, S. 97 und S. 299).

1) Hintze in Breslau ¹⁾ hat neuerdings Topaskrystalle aus Südwest-Afrika ausführlich untersucht und gemessen. Die Resultate, welche C. Hintze erhalten hat stimmen, wie unten gezeigt werden wird, vollkommen mit meinen krystallographischen Messungen überein. Die afrikanischen Krystalle stammen aus zwei Fundorten: aus Hanneib und vom Keins Berge.

a) Topas aus Hanneib.

Die Krystalle aus diesem Fundorte erinnern beim ersten Anblick, nach C. Hintze's Beschreibung, an die sächsischen Topaskrystalle vom Schneckenstein. Die Grösse der Topaskrystalle ist sehr verschie-

¹⁾ „Zeitschrift für Krystallographie und Mineralogie“, von P. Groth, 1889, Leipzig, Bd. XV, S. 505.

den, meist nur wenige Millimeter betragend. Die Farbe ist zuweilen wasserhell, meist aber weingelb oder gelbbraun, durch eine auf Rissen eingedrungene ockerige Substanz. An den Krystallen wurden folgende Formen beobachtet:

Pinakoide.

$$P = oP = (a : \infty b : \infty c)$$

$$c = \infty \check{P} \infty = (\infty a : b : \infty c)$$

Prismen.

$$M = \infty P = (\infty a : b : c)$$

$$m = \infty \check{P} \frac{2}{3} = (\infty a : b : \frac{2}{3}c)$$

$$l = \infty \check{P} 2 = (\infty a : b : 2c)$$

$$g = \infty \check{P} 3 = (\infty a : b : 3c)$$

Brachydomen.

$$f = \check{P} \infty = (a : b : \infty c)$$

$$y = 2 \check{P} \infty = (2a : b : \infty c)$$

Makrodomen.

$$d = \bar{P} \infty = (a : \infty b : c)$$

$$h = \frac{1}{3} \bar{P} \infty = (\frac{1}{3} a : \infty b : c)$$

Rhombische Pyramiden.

$$o = P = (a : b : c)$$

$$u = \frac{1}{2} P = (\frac{1}{2} a : b : c)$$

$$i = \frac{1}{3} P = (\frac{1}{3} a : b : c)$$

$$v = \check{P} 2 = (a : b : 2c)$$

$$x = \frac{2}{3} \check{P} 2 = (\frac{2}{3} a : b : 2c)$$

$$\psi = \frac{1}{3} \check{P} 2 = (\frac{1}{3} a : b : 2c)$$

In Hinsicht der Krystallmessungen schreibt C. Hintze folgendes:

»Wenn sich nun auch auf den mir vorliegenden Stufen nur wenige messbare Krystalle vorfanden, so zeigten diese dafür einen ziemlich gleichmässigen Bau, indem die gefundenen Winkelwerthe sowohl unter einander am selben Krystalle gut harmonirten, als auch die entsprechenden an vier verschiedenen gemessenen Krystallen ziemlich übereinstimmten. Ueberdies ergab sich eine nahezu vollkommene Uebereinstimmung der am besten messbaren Winkel mit den von Herrn von Kokscharow an den russischen Topasen beobachteten, wie nachfolgende Tabelle zeigt.«

Die Winkel für die russischen Topase wurden aus dem von mir bestimmten Axenverhältnisse berechnet, nämlich ¹⁾.

$$\begin{aligned} a : b : c &= 1,80487 : 1,89199 : 1 \\ &= 0,95395 : 1 : 0,52854 \end{aligned}$$

wo a = Verticalaxe, b = Makrodiagonalaxe und c = Brahydiagonalaxe.

Am Hanneib-Topas C. Hintze gemessen		Am russ. Topas Kokscharow berechnet.	
Mittel.	Grenz Werthe.		
$M : M = 124^{\circ}17'$. . .	$124^{\circ}20' - 124^{\circ}15'$. .	$124^{\circ}17'$	$0''$
$M : m = 169\ 27$. . .	—	$169\ 27$	2
$M : l = 161\ 18$ (zwei Mal)	—	$161\ 16$	8
$l : g = 168\ 51\frac{1}{2}$. . .	$168\ 52 - 168\ 51$. .	$168\ 49\ 40$	
$g : c = 147\ 45$. . .	—	$147\ 45\ 42$	
$M : o = 153\ 53$. . .	$153\ 55\frac{1}{2} - 153\ 51$. .	$153\ 54\ 8$	
$o : u = 161\ 42\frac{1}{2}$ (zw. Mal)	—	$161\ 41\ 7$	
$u : i = 168\ 38\frac{1}{2}$. . .	$168\ 40 - 168\ 37$. .	$168\ 38\ 50$	
$i : P = 145\ 48$. . .	—	$145\ 45\ 55$	
$u : M = 135\ 35$. . .	—	$135\ 35\ 15$	

¹⁾ Vergl. „Materialien zur Mineralogie Russlands“, 1854—57, Bd. II, S. 198.

Am Hannelb-Topas C. Hinze gemessen.		Am russ. Topas Kok-scharow berechnet	
Mittel.	Glanz Werthe.		
$y : f = 161^{\circ}20'$ (zw. Mal)	—	..	$161^{\circ}18'38''$
$y : l = 130 \ 2\frac{1}{2}$	$130^{\circ} \ 3' - 130^{\circ} \ 2'$..	$130 \ 2 \ 50$
$P : f = 136 \ 22$	—	..	$136 \ 21 \ 0$
$P : d = 119 \ 0$	$119 \ 2 - 118 \ 58$..	$118 \ 59 \ 20$
$o : c = 114 \ 48\frac{1}{2}$	—	..	$114 \ 48 \ 14$
$M : d = 140 \ 41$	—	..	$140 \ 39 \ 17$
$d : u = 153 \ 5$	—	..	$153 \ 4 \ 18$
$u : x = 166 \ 29$	—	..	$166 \ 26 \ 44$
$x : f = 150 \ 59$	—	..	$151 \ 0 \ 37$
$l : d = 126 \ 55$	—	..	$126 \ 57 \ 1$
$d : v = 140 \ 34$	—	..	$140 \ 31 \ 16$
$v : y = 142 \ 29$	—	..	$142 \ 28 \ 55$
$v : x = 168 \ 30\frac{1}{2}$	—	..	$168 \ 29 \ 26$

} Diese Zonen waren nur an einem Krystalle messbar.

Die Krystalle sind stets vertical säulenförmig ausgebildet, die Prismenflächen wenig oder gar nicht gestreift, die Basis meist matt.

b) Topas vom Keins-Berge.

Die losen Krystalle aus diesem Fundorte, welche von C. Hintze untersucht wurden, erinnern an die russischen Krystalle, sie sind meist vollkommen wasserhell, nur zwei derselben waren etwas gelbgrünlich und stellenweise wolkig getrübt, es wurden folgende Formen beobachtet.

Pinakoid.

$$P = oP = (a : \infty b : \infty c)$$

Prismen.

$$M = \infty P = (\infty a : b : c)$$

$$l = \infty \bar{P}2 = (\infty a : b : 2c)$$

Brachydomen.

$$\begin{aligned} f &= \bar{P}\infty = (a : b : \infty c) \\ a &= \frac{2}{3}\bar{P}\infty = (\frac{2}{3}a : b : \infty c) \\ y &= 2\bar{P}\infty = (2a : b : \infty c) \end{aligned}$$

Makrodomen.

$$\begin{aligned} d &= \bar{P}\infty = (a : \infty b : c) \\ p &= \frac{1}{2}\bar{P}\infty = (\frac{1}{2}a : \infty b : c) \\ h &= \frac{1}{3}\bar{P}\infty = (\frac{1}{3}a : \infty b : c) \end{aligned}$$

Rhombische Pyramiden.

$$\begin{aligned} o &= P = (a : b : c) \\ u &= \frac{1}{2}P = (\frac{1}{2}a : b : c) \\ i &= \frac{1}{3}P = (\frac{1}{3}a : b : c) \end{aligned}$$

Ueber diese Krystalle drückt sich C. Hintze folgender Maassen aus:

- Einige Zonen konnten ziemlich genau gemessen werden, doch
- entsprach die durch Rechnung controlirte Uebereinstimmung der
- Winkel an je ein und demselben Krystalle nicht sehr der scheinbaren
- Güte der Reflexe, und noch mehr wichen die entsprechenden
- Winkelwerthe bei verschiedenen Krystallen von einander ab, theils
- in ziemlicher Annäherung an die Winkel der russischen Topase,
- theils wieder in Abweichung von denselben.

• Der am häufigsten und besten messbare Winkel $P : f = oP : \bar{P}\infty$ wurde innerhalb der Grenzen $136^\circ 32' - 136^\circ 22\frac{1}{2}'$, am zuverlässigsten an zwei Krystallen übereinstimmend zu $136^\circ 27'$ gemessen (entsprechend $136^\circ 21'$ am russischen Topas), und an einem derselben Krystalle (№ 1) $P : d = oP : \bar{P}\infty = 119^\circ 2'$ (entsprechend $118^\circ 59'$ am russischen Topas), woraus

$$a : b : c = 0,95063 : 1 : 0,52761$$

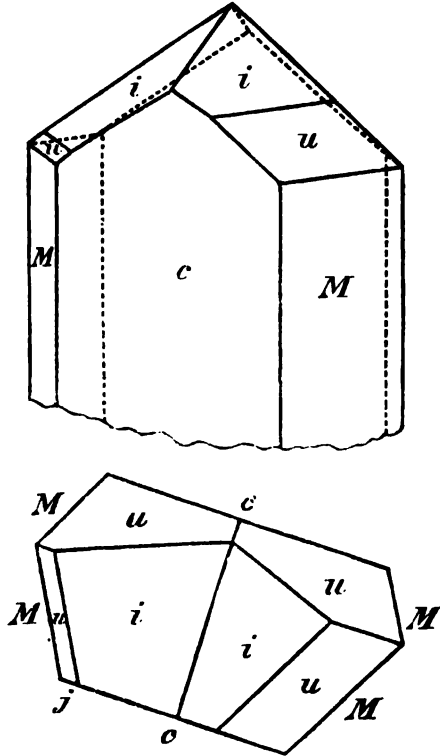
•folgt; diesem Axenverhältnisse entsprechen die berechneten Werthe
•der folgenden Vergleichstabelle gemessener Winkel. •

C. Hintze giebt nämlich folgende Vergleichung:

Berechnet.	Kryst. I.	Kryst. II.	Kryst. III.	Kryst. V.	Russ. Topas.	
$M : M = 124^{\circ}22'$	$124^{\circ}12'$	$124^{\circ}17'$	$124^{\circ}21'$	—	$124^{\circ}17'$	
$M : l = 161\ 17$	$161\ 30$	—	—	—	$161\ 16$	
$M : o = 153\ 51$	$153\ 56$	$154\ 5$	$153\ 58$	$153^{\circ}53'$	$153\ 54$	
$o : u = 161\ 41$	$161\ 43$	—	—	$161\ 22$	$161\ 41$	
$u : i = 168\ 39$	$168\ 36$	—	—	$168\ 48$	$168\ 39$	
$i : P = 145\ 49$	$145\ 45$	—	—	$145\ 57$	$145\ 46$	
$P : h = 149\ 1$	$148\ 59$	—	—	—	$148\ 58$	
$h : p = 168\ 58\frac{1}{2}$	$168\frac{1}{2}$	appr. —	—	—	$168\ 58$	
$p : d = 161\ 2\frac{1}{2}$	$161\frac{1}{2}$	appr. —	Kryst. IV	—	$161\ 3$	
$P : a = 147\ 38$	$147\ 29$	} 136 27	{	$147\ 21$	$147\ 9$	$147\ 33$
$a : f = 168\ 49$	$168\ 58$			$169\ 1\frac{1}{2}$	$169\ 23$	$168\ 48$

2) Hr. Pribilew hatte mit dem Euklas-Krystall welchen wir oben, Seite 225, beschrieben haben, mehrere Gerölle anderer Mineralien nach Petersburg gebracht und mir zur Untersuchung gegeben. Zwischen den Geröllen des Cymophans (Chrysoberyll), die in der Goldseife des Flusses Sanarka die Euklaskrystalle begleiten, begegnen sich bisweilen Topas-Gerölle von ganz ungewöhnlichem Aussehen. Ein solches Topasgerölle habe ich eine lange Zeit für einen Krystall des Cymophan gehalten und nur nach ziemlich ausführlichen Messungen, endlich die wahre Natur des Exemplars ermittelt. Da das Exemplar rundum abgerollt war, so war seine Spaltbarkeit fast nicht bemerkbar und daher konnte man nur durch Erhaltung derselben auf künstliche Weise zum Schlusse gelangen. Mir scheint es, dass die Abbildung dieses Krystalles mit allen seinen natürlichen Details

und annähernden (sehr unbefriedigende und nur zur Bestimmung der Flächen dienende) Messungen, hier nicht überflüssig sein wird.



Der Krystall war ungefähr 13 Millimeter lang und 10 Millimeter dick, ganz durchsichtig und fast farblos (etwas gelblich). Sein spezifisches Gewicht wurde von P. Nikolajew = 3,521, gefunden.

An diesem Krystalle wurden folgende Formen beobachtet:

$$\begin{aligned}
 i &= \frac{1}{3}P &= (\frac{1}{3}a : b : c) \\
 u &= \frac{1}{2}P &= (\frac{1}{2}a : b : c) \\
 M &= \infty P &= (\infty a : b : c) \\
 c &= \infty \bar{P} \infty &= (\infty a : b : \infty c) \\
 P &= oP &= (a : \infty b : \infty c), \text{ als Spaltungsfläche.}
 \end{aligned}$$

Gewöhnlich sind die Topaskrystalle nach der Makrodiagonale ausgebreitet, bei diesem aber ist der umgekehrte Fall: er ist nach der Brachydiagonale ausgedehnt und bietet ziemlich breite Flächen $c = \infty \bar{P} \infty$, was ihm einen monoklinoëdrischen Charakter giebt.

Dass der abgerollte Krystall wirklich ein Topaskrystall ist, dazu dienten folgende mit dem gewöhnlichen Wollaston'schen Goniometer ausgeführten Messungen, die obgleich nur annähernde und unbefriedigende, doch für eine solche Art von Bestimmung ganz genügend waren.

Ich habe nämlich erhalten:

$i : i$ (Makrodiagonale Polkante).

Erste Aufstellung = Ungefähr $120^{\circ} 18'$

Zweite Aufstellung = „ $120^{\circ} 21'$

Mittel = $120^{\circ} 19\frac{1}{2}'$

Nach Rechnung = $120^{\circ} 20' 44''$

$i : u$ (anliegende).

Ungefähr = $168^{\circ} 10'$

Nach Rechnung = $168^{\circ} 38' 50''$

$i : u$ (über P).

Ungefähr = $100^{\circ} 30'$

Nach Rechnung = $100^{\circ} 10' 40''$

$i : M$ (anliegende).

Ungefähr = $124^{\circ} 3'$

Nach Rechnung = $124^{\circ} 14' 5''$

i : P

Erste Aufstellung = Ungefähr 34° 18'

Zweite Aufstellung = „ 34 12

Mittel = 34° 15'

Nach Rechnung = 34° 14' 5''

i : c

Ungefähr = 105° 10'

Nach Rechnung = 105° 14' 30''

u : M (anliegende).

Ungefähr = 135° 38'

Andere Kante = 44 27 (Compl. = 135° 33')

Mittel = 135° 35 $\frac{1}{2}$ '

Nach Rechnung = 135° 35' 15''

u : u (Makrodiagonale Polkante).

Ungefähr = 101° 33'

Nach Rechnung = 101° 40' 20''

u : u (über P).

Ungefähr = 88° 40'

Nach Rechnung = 88° 49' 30''

u : P (Spaltungsfläche).

Erste Aufstellung = Ungefähr 45° 37'

Zweite Aufstellung = „ 45 30

Mittel = 45° 33 $\frac{1}{2}$ '

Nach Rechnung = 45° 35' 15''

u : c

Ungefähr = 70° 0'

Nach Rechnung = 70° 30' 3''

$M : c$

Ungefähr = $62^{\circ} 0'$

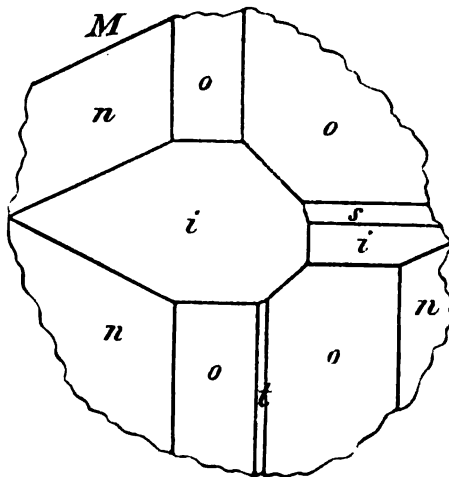
Nach Rechnung = $62^{\circ} 8' 30''$

Dritter Anhang zum Chrysoberyll.

(Vergl. Bd. IV, S. 54; Bd. V, S. 113; Bd. VI, S. 225.)

Zusammen mit dem oben beschriebenen Euklaskrystall erhielt ich auch von Hr. Pribilew einige andere Gerölle und Krystalle, welche den Euklas in den Goldseifen des südlichen Urals begleiten. Zwischen denselben befanden sich auch zwei ziemlich schöne aber etwas abgebrochene kleine Krystalle, welche ich als Cymophankrystalle (gewöhnlicher Chrysoberyll) bestimmt habe. Die von mir früher beschriebenen Cymophankrystalle aus diesem Fundorte waren von ausgezeichnet schöner schwefelgelber Farbe, diese letzteren sind aber von ganz anderer Farbe, nämlich: einer von denselben war bläulichweiss, der andere dagegen fast ungefärbt. Diese beiden Bruchstücke sind hier unten in horizontaler Projection gezeichnet.

Erster Krystall.



Die Formen welche in diesen Krystallen vereinigt sind, sind folgende:

$$\begin{aligned} o &= (a : b : c) = P \\ n &= (2a : b : 2c) = 2\bar{P}2 \\ i &= (a : b : \infty c) = \bar{P}\infty \\ t &= (a : \infty b : c) = \bar{P}\infty \\ M &= (\infty a : b : c) = \infty P \end{aligned}$$

Ausser diesen Formen, welche durch Messung bestimmt wurden, zeigte der Krystall noch eine schmale Fläche s einer rhombischen Pyramide, welche ich nicht vermittelst Messung bestimmen konnte.

Durch ganz *approximative* Messungen (welche nur zur Orientierung dienen können), mit dem gewöhnlichen Wollaston'schen Goniometer, habe ich erhalten:

$o : o$ (Brachydiagonale Polkante).

$$\begin{aligned} \text{Eine Kante} &= \text{ungefähr } 139^\circ 45' \\ \text{Zweite Kante} &= \quad \quad \quad 139 \quad 40 \\ \hline \text{Mittel} &= 139^\circ 42\frac{1}{2}' \\ \text{Nach Rechnung} &= 139^\circ 52' 54'' \end{aligned}$$

$o : o$ (Makrodiagonale Polkante).

$$\begin{aligned} \text{Eine Kante} &= \text{ungefähr } 86^\circ 12' \\ \text{Zweite Kante} &= \quad \quad \quad 86 \quad 10 \\ \hline \text{Mittel} &= 86^\circ 11' \\ \text{Nach Rechnung} &= 86^\circ 15' 42'' \end{aligned}$$

$o : M$ (anliegende).

$$\begin{aligned} \text{Eine Kante} &= \text{ungefähr } 143^\circ 50' \\ \text{Nach Rechnung} &= 143^\circ 44' 36'' \end{aligned}$$

$o : i$ (anliegende).

Eine Kante = ungefähr $133^\circ 10'$

Nach Rechnung = $133^\circ 7' 51''$

$o : n$ (anliegende).

Eine Kante = ungefähr $163^\circ 48'$

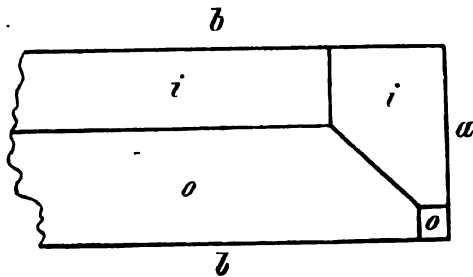
Nach Rechnung = $163^\circ 55' 10''$

$o : n$ (über o)

Eine Kante = ungefähr $123^\circ 40'$

Nach Rechnung = $123^\circ 48' 4''$

Zweiter Krystall.



$o : b$ (anliegende).

Eine Kante = ungefähr $137^\circ 0'$

Nach Rechnung = $136^\circ 52' 9''$

$i : a$ (anliegende).

Eine Kante = ungefähr $120^\circ 5'$

Nach Rechnung = $120^\circ 6' 43''$

$i : a$ (über i).

Eine Kante = ungefähr $60^{\circ} 0'$

Nach Rechnung = $59^{\circ} 53' 17''$

$i : b$

Eine Kante = ungefähr $90^{\circ} 0'$

Nach Rechnung = $90^{\circ} 0' 0''$

CXLIII.

JEREMEJEWIT.

Allgemeine Charakteristik.

Kr. Syst.: Nach Websky, bilden die Krystalle äusserlich hexagonale Prismen ∞P_2 mit pyramidal gestalteter oder flach gewölbter Endigung; wobei die Prismenflächen und die pyramidal gestalteten Endigungen der pyramidalen Hemiëdrie des hexagonalen Systems entsprechen; an den gewölbten Endigungen erscheinen neben den zum erstgenannten System gehörenden Reflexen anderweitige, welche im Anschluss an die optischen Erscheinungen auf einem rhombischen Drilling zurückgeführt werden können. Websky findet zweckmässig, den von A. Damour zuerst gewählten Namen «*Jeremejewit*» ausschliesslich auf den hexagonalen, den Mantel bildenden Körper zu beziehen, während der eingeschlossene, nur sparsam an die Oberfläche tretende Kern des rhombischen Drillings, in dankbarer Erinnerung an den Finder des Minerals als «*Fischwaldit*» zu bezeichnen.

Für den *Jeremejewit* giebt Websky folgendes Axenverhältniss:

$$\begin{aligned} a : b &= 0,683581 : 1 \\ &= 1 : 1,462884 \end{aligned}$$

wo a = Verticalaxe, b = Horizontalaxe.

Für den *Eichwaldit*:

$$\begin{aligned} a : b : c &= 1 : 1,84020 : 1,01635 \\ &= 0,54342 : 1 : 0,55230 \end{aligned}$$

wo a = Verticalaxe, b = Makrodiagonale, c = Brachydiagonale. Härte = 6,5. Specifisches Gewicht = 3,28. Nach der Analyse von A. Damour besteht das Mineral aus: 55,03 Thonerde, 40,19 Borsäure (aus der Differenz bestimmt), 4,08 Eisenoxyd, 0,70 Kali; die Substanz ist also neutrale borsäure Thonerde, $B^* Al^2 O^6$. Angesichts der chemischen Zusammensetzung müsste es sich dann hier um eine Dimorphie jenes Aluminiumborats handeln. Farbe schön gelb, in verschiedenen Nüancen. Das Mineral, nach seinen äusseren Eigenschaften, gleicht sehr dem Beryll, mit welchem es ziemlich lange Zeit verwechselt wurde. Unlöslich in Salzsäure und Salpetersäure ¹⁾.

In Russland findet sich der Jeremejewit, nach der Angabe von J. v. Eichwald, in Daurien, im Berge Soktuj, ein unbedeutender nördlicher Ausläufer der Adun-Tschilon-Kette, 20 Werst von dem Fort Tschindansk am Onon und 40 Werst nordwestlich vom Berge Tutchaltuj; er schliesst sich an die Vorläufer des Borschtschowot-schnoj-Gebirges; bei den Quellen eines Baches Soktuj, in der Nähe

¹⁾ Mir scheint es, dass mit der Zeit man vielleicht zu dem Schluss gelangen wird, dass dies merkwürdige Mineral zu derselben Kategorie der Mineralien gehört, wie Boracit, Perowskit u. a.

der Ansiedlungen Turgi und Gattbulat an. Die Localität ist nicht zu verwechseln mit dem weiter südöstlich gelegenen Kosakenposten Sektuj in der Nähe des Flusses Argunj.

Die Geschichte der Entdeckung des Jeremejewit's und die ersten Beobachtungen an demselben beschreibt Websky mit folgenden Worten ¹⁾:

»Hr. A. Damour machte am 13. März 1883 in der Akademie der Wissenschaften in Paris eine Mittheilung über die chemische Zusammensetzung eines neuen, von ihm *Jeremejewit* genannten Minerals, welches bei einem Volumengewicht = 3,28 und einer zwischen Quarz und Feldspath liegenden Härte aus normaler borsaurer Thonerde besteht.

»Das Material zu dieser Untersuchung wurde Hr. Damour durch den inzwischen nach Breslau berufenen Prof. Arzruni zugestellt, welcher drei Krystalle, einige Fragmente und eine geschliffene Platte dieser Substanz unter der vorläufigen Bezeichnung: Beryll von Sektuj, als Geschenk des Hr. Staatsrathes Prof. Jeremejew in St.-Petersburg, an das hiesige mineralogische Museum unlängst von dorther mitbrachte.

»Ein besonderes, an diese Krystalle sich knüpfendes Interesse beruht auf einer Beobachtung des Hr. Jeremejew, welcher dieselben, der ursprünglichen Auffassung als Beryll-Krystalle, denen sie gleichen, folgend, optisch untersuchte, unter Bezugnahme auf die Arbeit von Pfaff ²⁾ über die optischen Anomalien des Berylls; als Resultat dieser Untersuchung wurde der Kaiserlichen mineralo-

¹⁾ „M. Websky: Ueber Jeremejewit und Eichwaldit vom Berge Sektuj in Daurien“ (Sitzungsberichte der K. K. Preussischen Akademie der Wissenschaften zu Berlin, 1883, Bd. XXVIII, Sitzung der physikalisch-mathematischen Classe vom 14. Juni).

²⁾ Poggendorff's Annalen, 1865. Bd. CXXIV, S. 448.

»gischen Gesellschaft in St. Petersburg ¹⁾ mitgetheilt, dass die quer
»durch die hexagonalen Säulen der Krystalle von Sektuj geschnitte-
»nen Platten erkennen lassen, dass nur ein schmaler äusserer Rand
»derselben sich als optisch einaxig erweise, während der von diesem
»Rande eingeschlossene Kern aus sechs optisch zweiaxigen Secto-
»ren bestehe, jedoch unter Modalitäten, welche kaum diese optische
»Zweiaxigkeit als Resultat einer durch Spannung hervorgerufenen
»Anomalie zu erkennen gestatten.

»Ich habe nun versucht, an dem von Hrn. Jeremejew dem
»Museum verehrten Material festzustellen, ob auch die äusseren mor-
»phologischen Erscheinungen Motive dafür darbieten, dass in diesen
»merkwürdigen Krystallgebilden zwei morphologisch verschiedene
»Körper orientirt verwachsen sind, und hat sich diese Vermuthung
»trotz der Schwierigkeiten, welche die unvollkommene Oberflächen-
»Ausbildung hervorrief, bestätigt. Die Krystalle bilden sechsseitige
»Prismen mit pyramidal gestalteter oder flach gewölbter Endigung;
»die Prismenflächen und die pyramidal gestalteten Endigungen ent-
»sprechen der pyramidal-hemiëdrischen Abtheilung des hexagonalen
»Krystallisations-Systemes; an den gewölbten Endigungen erscheinen
»neben den zum erstgenannten System gehörenden Reflexen ander-
»weitige, welche im Anschluss an die optischen Erscheinungen auf
»einen rhombischen Drilling zurückgeführt werden können.

«Man hat es also in der That mit zwei morphologisch verschiede-
nen Körpern zu thun, von denen ein jeder wohl auch selbstständig

¹⁾ Записки Императорскаго С.П.Б. Минералогическаго Общества, вторая серия 1870, часть V, стр. 415. „Verhandlungen der Russisch-Kaiserlichen Mineralogischen Gesellschaft zu St. Petersburg, zweite Serie, 1870, Bd. V, S. 415 (Протоколъ обыкновеннаго засѣданія 25-го Февраля 1869 года). Man findet in dem Protocolle der Sitzung vom 25. Februar 1869 nämlich folgendes:

„Das wirkliche Mitglied der Gesellschaft P. W. v. Jeremejew hat einige „Beryll-Krystalle aus Nertschinsk dargestellt. Er hat auch einige geschliffene „Platten gezeigt, deren Inneres die Erscheinungen eines zweiaxigen Minerals „darbieten, während der äussere Rand derselben einaxig blieb.“

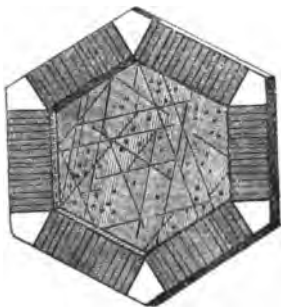
»gefunden werden kann; es würde daher zweckmässig sein, den »von Herrn Damour gewählten Namen *Jeremejewit* ausschliesslich »auf den hexagonalen, den Mantel bildenden Körper zu beziehen, »während der eingeschlossene, nur sparsam an die Oberfläche tretende Kern des rhombischen Drillings wohl in dankbarer Erinnerung an den Finder als *Eichwaldit* zu bezeichnen sein möchte.»

Die ersten Beobachtungen über den merkwürdigen Bau des Inneren des Jeremejewits wurden von P. v. Jeremejew selbst ausgeführt, obgleich er damals das Mineral noch immer als Beryll betrachtete.

P. v. Jeremejew hat an Websky zwei Zeichnungen gegeben, welche ziemlich anschaulich den erwähnten Bau darstellen.

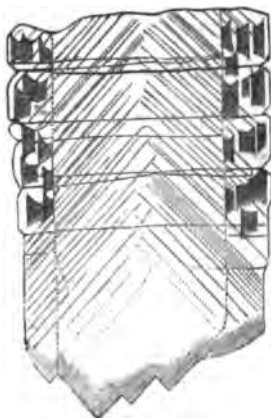
Die erste von diesen Zeichnungen (Fig. 1) ist ein Querschliff, ungefähr fünf Mal vergrössert.

Fig. 1.



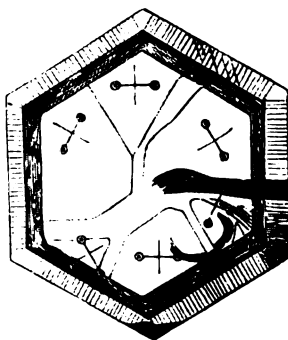
Die zweite ein Längsschliff (Fig. 2).

Fig. 2.



Da auf dem auf Fig. 1 von P. v. Jeremejew gezeichneten Bilde die Grenzen der im polarisirten Licht sich absondernden Felder nicht eingetragen sind, so hat M. Websky eine dritte Zeichnung (Fig. 3) geliefert, auf welcher diese Theilung angegeben ist.

Fig. 3.



Nach der Beschreibung von M. Websky ist der innere Kern (Eichwaldit) von dem optisch einaxigen Rande (Jeremejewit) durch einen fast opaken sechsseitigen Ring getrennt; die grössere Ausbreitung des Ringes tritt in gewissen Horizonten der sonst klaren Kry-

stalle auf, wie dies die horizontalen Querlinien in Fig. 2 andeuten, die mit äusserlichen Einkerbungen verbunden sind; bei auffallendem Licht erscheint die opake Einlagerung isabellgelb und löst sich bei stärkerer Vergrösserung in ein System feiner Schlingen auf, welche klare Partien einschliessen. — Von diesem opaken Ringe gehen sehr zahlreiche, selbst bei sehr starker Vergrösserung keine messbare Breite zeigende Linien oder Schnitte genau rechtwinklig auf die Säulenfläche bis zum Rande der Platte oder bis nahe an derselben, so dass in den sechs Ecken der Platte kleine rhomboidische Felder von ihnen frei bleiben. Die in Fig. 2 markirten dunklen Flecke sind andere grössere Spaltflächen, welche einer den inneren Prismenwinkel halbirenden, partiall zum Vorschein kommenden Theilbarkeit entsprechen.

M. Websky hat gefunden, dass im convergenten polarisirten Licht die von den Schnitten freien rhomboidischen Felder in den Ecken des aus Jeremjewit bestehenden Randes ein vollkommen regelmässiges, optisch einaxiges Interferenzbild negativen Charakters geben, welches im Bereich der feinen, unter einander parallelen Schnitte allerhand unbedeutende Deformationen erfährt, je nachdem diese mehr oder minder zahlreich zur Wirkung kommen.

M. Websky erklärt weiter, dass der von dem Mantel eingeschlossene, aus Eichwaldit bestehende Kern im parallelen polarisirten Lichte in sechs Segmente zerfällt; die Grenzen derselben stehen senkrecht auf den Säulenflächen und projectiren sich als scharfe gerade Linie, wenn die Grenze parallel der Verticalaxe folgt, als breite Säume, wenn die Begrenzung schräg niedergeht, was in Fig. 3 durch Doppellinien angedeutet ist. Jedes Segment zeigt im convergenten polarisirten Licht ein vollkommenes, in allen Segmenten gleichartiges optisch zweiaxiges Interferenzbild negativen Charakters. Die Ebene der optischen Axen macht mit jeder der beiden Seiten in einer Ecke der Platte den Winkel von 30° , die Bissectrice steht senkrecht auf der Platte, parallel der Säulenrichtung. Die Apertur

der optischen Axen in Luft ist $2E = 52^\circ$, für rothes Licht etwas grösser als für blaues; der Brechungsindex für Licht in der Axenebene schwingend $\alpha = 1,65$, für rechtwinklig darauf schwingendes Licht $\beta = 1,64$. M. Websky bemerkt dabei, dass man diese Zahlen nur als approximativ betrachten muss.

In morphologischer Hinsicht bietet der Jeremejewit, nach M. Websky, einen hexagonalen Charakter dar. Ein von ihm untersuchter Krystall hatte auf seinem oberen Ende eine flache fast ganz mit kleinen Zapfen bedeckte Wölbung, einer flachen, auf die Kanten aufgesetzte hexagonale Pyramide der ersten Art gleichend. Die sechs ziemlich glänzenden Säulenflächen hatten keine einheitliche Oberfläche, sondern sie waren vicinal gegliedert; jede einzelne gab eine in zwei sich kreuzenden Zonen belegene Reflex-Gruppe, von denen die eine die allen Säulenflächen gemeinsame Horizontalzone ist, während die andere auf Theile der hexagonalen Pyramide der dritten Art führt; die etwas gebogen verlaufende Streifung der zu dieser Zonegehörenden Oberflächen-Partieen geht von Oben — links nach Unten — rechts mit $67 - 77^\circ$ Neigung gegen die Vertical-Kante; die hierher gehörenden Flächen convergiren sämmtlich nach Oben.

Die Kreuzstelle der beiden Zonen, sagt M. Websky, ist zuweilen nicht, meist nur von einem schwachen Reflex angedeutet, doch aber goniometrisch einstellbar; er hat gefunden die Normalenbögen zwischen den Kreuzstellen:

$$60^\circ 0' 38'' + 59^\circ 59' 6'' + 59^\circ 59' 42'' + 60^\circ 1' 12'' \\ + 59^\circ 59' 44'' + 59^\circ 59' 14'' = 359^\circ 59' 46''.$$

M. Websky nimmt an, dass diese Werthe den hexagonalen Charakter der Form constatiren.

Die von den Kreuzstellen markirte Position betrachtet M. Websky als hexagonales Prisma der zweiten Art $a = (\infty a : 2b : b : 2b) = \infty P2$, weil alsdann die übrigen Flächen der Horizontal-Zone einfachere Symbole erhalten. Zu beiden Seiten der Kreuzstelle und zwar theils auf der linken, theils

auf beiden Seiten gleichzeitig treten andere nahe gelegene Prismen auf, und zwar bilden die auf der linken Seite belegenen Prismen eine andere Reihe, wie die auf der rechten Seite, wodurch die pyramidal-hemiëdrische Ausbildungsweise angedeutet wird.

Nach den Untersuchungen von M. Websky ist der Jeremejewit hexagonal und zwar pyramidal-hemiëdrisch. M. Websky glaubt sogar, dass man eine Zwillingsbildung annehmen muss nach dem Gesetz, Zwillingsaxe senkrecht auf einer Fläche des Prismas $a = \infty P2$, verbunden mit hemimorpher Ausbildung.

In den Jeremejewitkrystallen hat M. Websky folgende Formen beschrieben:

Das hexagonale Prisma der zweiten Art.

$$a = (\infty a : 2b : b : 2b) = \infty P2$$

Die hexagonalen Prismen der dritten Art.

Auf der linken Seite der Kreuzstelle ($a = \infty P2$) belegene Prismen:

$$e = \frac{1}{2} (\infty a : \frac{3}{2}b : b : 3b) = \frac{\infty P\frac{3}{2}}{2}$$

Die Neigung $a : e = 169^\circ 6' 24''$
 Gem. = $169^\circ 11' 2'' - 169^\circ 6' 2''$

$$e_1 = \frac{1}{2} (\infty a : \frac{7}{4}b : \frac{7}{3}b : b) = \frac{\infty P\frac{7}{4}}{2},$$

mit $175^\circ 17' 6''$ Abstand von a
 Gemessen $174^\circ 31' 49'' - 175^\circ 42' 14''$

$$e_2 = \frac{1}{2} (\infty a : \frac{4}{6}b : \frac{4}{5}b : b) = \frac{\infty P\frac{4}{6}}{2},$$

mit $176^\circ 59' 44''$ Abstand von a
 Gemessen $176^\circ 30' 58'' - 177^\circ 21' 6''$

$$\epsilon_3 = \frac{1}{2} (\infty a : \frac{45}{8}b : \frac{49}{7}b : b) = \frac{\infty P_{\frac{45}{8}}^{15}}{2},$$

mit 177° 47' 45'' Abstand von α
Gemessen 177° 47' 36'' — 178° 1' 20''

$$\epsilon_4 = \frac{1}{2} (\infty a : \frac{49}{10}b : \frac{49}{9}b : b) = \frac{\infty P_{\frac{49}{10}}^{19}}{2},$$

mit 178° 15' 34'' Abstand von α
Gemessen 178° 20' 44''

$$\epsilon_5 = \frac{1}{2} (\infty a : \frac{37}{14}b : \frac{37}{13}b : b) = \frac{\infty P_{\frac{37}{14}}^{27}}{2},$$

mit 178° 46' 30'' Abstand von α
Gemessen 178° 37' 38'' — 178° 44' 2''

$$\epsilon_6 = \frac{1}{2} (\infty a : \frac{39}{10}b : \frac{39}{11}b : b) = \frac{\infty P_{\frac{39}{10}}^{29}}{2},$$

mit 179° 9' 7'' Abstand von α ,
Gemessen 179° 7' 42'' — 179° 8' 2''

$$\epsilon_7 = \frac{1}{2} (\infty a : \frac{43}{12}b : \frac{43}{11}b : b) = \frac{\infty P_{\frac{43}{12}}^{33}}{2},$$

mit 179° 13' 51'' Abstand von α
Gemessen 179° 14' 18''

$$\epsilon_8 = \frac{1}{2} (\infty a : \frac{55}{18}b : \frac{55}{17}b : b) = \frac{\infty P_{\frac{55}{18}}^{55}}{2},$$

mit 179° 23' 55'' Abstand von α ,
Gemessen 179° 22' 31'' — 179° 22' 40''

$$\epsilon_9 = \frac{1}{2} (\infty a : \frac{37}{14}b : \frac{37}{13}b : b) = \frac{\infty P_{\frac{37}{14}}^{27}}{2},$$

mit 179° 37' 11'' Abstand von α ,
Gemessen 179° 36' 52'' — 179° 37' 38''.

Auf der rechten Seite der Kreuzstelle ($\alpha = \infty P2$) belegene
Prismen:

$$\epsilon_{10} = \frac{1}{2} (\infty a : \frac{65}{2}b : \frac{65}{3}b : b) = \frac{\infty P_{\frac{65}{2}}}{2}$$

mit $179^\circ 29' 28''$ Abstand von α ,
Gemessen $179^\circ 26' 2''$ — $179^\circ 30' 16''$

$$\epsilon_{11} = \frac{1}{2} (\infty a : \frac{49}{2}b : \frac{49}{3}b : b) = \frac{\infty P_{\frac{49}{2}}}{2}$$

mit $179^\circ 19' 30''$ Abstand von α ,
Gemessen $179^\circ 20' 40''$

$$\epsilon_{12} = \frac{1}{2} (\infty a : \frac{41}{2}b : \frac{41}{3}b : b) = \frac{\infty P_{\frac{41}{2}}}{2}$$

mit $179^\circ 11' 36''$ Abstand von α ,
Gemessen $179^\circ 10' 50''$

$$\epsilon_{13} = \frac{1}{2} (\infty a : \frac{33}{2}b : \frac{33}{3}b : b) = \frac{\infty P_{\frac{33}{2}}}{2}$$

mit $178^\circ 59' 52''$ Abstand von α ,
Gemessen $178^\circ 59' 55''$ — $179^\circ 4' 26''$

$$\epsilon_{14} = \frac{1}{2} (\infty a : \frac{25}{2}b : \frac{25}{3}b : b) = \frac{\infty P_{\frac{25}{2}}}{2},$$

mit $178^\circ 40' 37''$ Abstand von α ,
Gemessen $178^\circ 45' 44''$ — $178^\circ 47' 4''$

$$\epsilon_{15} = \frac{1}{2} (\infty a : \frac{17}{2}b : \frac{17}{3}b : b) = \frac{\infty P_{\frac{17}{2}}}{2},$$

mit $178^\circ 3' 18''$ Abstand von α ,
Gemessen $177^\circ 47' 18''$

$$\epsilon_{1,6} = \frac{1}{2} (\infty a : \frac{9}{4}b : \frac{9}{5}b : b) = \frac{\infty P \frac{9}{5}}{2},$$

mit $176^\circ 19' 46''$ Abstand von a ,
Gemessen $176^\circ 16' 44''$

Hexagonale Pyramiden der ersten Art.

$$\begin{aligned} d &= (a : b : b : \infty b) = P \\ \frac{1}{4}d &= (\frac{1}{4}a : b : b : \infty b) = \frac{1}{4}P \\ \frac{1}{3}d &= (\frac{1}{3}a : b : b : \infty b) = \frac{1}{3}P \\ \frac{7}{5}d &= (\frac{7}{5}a : b : b : \infty b) = \frac{7}{5}P \end{aligned}$$

Hexagonale Pyramide der dritten Art.

$$g = \frac{1}{2} (\frac{5}{3}a : 5b : \frac{5}{4}b : b) = \frac{5P \frac{5}{4}}{2}$$

Ausser diesen Formen hat M. Websky noch einige andere hexagonale Pyramiden der dritten Art, nämlich μ , μ_1 , u. s. w. beobachtet, welchen aber sehr complicirte krystallographische Zeichen zukommen. M. Websky bemerkt, dass die Formen g a μ , μ_1 tautozonal sind.

Wenn wir jetzt im Allgemeinen in einer jeden dihexagonalen Pyramide mPn bezeichnen:

die normale Polkante = X
die diagonale Polkante = Y
die Mittelkante . . = Z,

so erhalten wir durch Rechnung, aus

$$\left. \begin{aligned} a : b &= 0,683581 : 1 \\ &= 1 : 1,462884 \end{aligned} \right\} \text{nach M. Websky,}$$

wo a = Verticalaxe, b = Nebenaxe, für die Formen der Jeremejewitkrystalle (in ihrer homoëdrischen Ausbildung) folgende Winkel:

Für die hexagonalen Pyramiden der ersten Art: (1)

$$d = (a : b : b : \infty b) = P$$

$$\begin{array}{ll} \frac{1}{3}X = 71^\circ 57' 13'' & X = 143^\circ 54' 26'' \\ \frac{1}{3}Z = 38 \quad 17 \quad 6 & Z = 76 \quad 34 \quad 13 \end{array}$$

$$i = 51^\circ 42' 54''$$

$$r = 55 \quad 38 \quad 39$$

$$\frac{1}{4}d = (\frac{1}{4}a : b : b : \infty b) = \frac{1}{4}P$$

$$\begin{array}{ll} \frac{1}{3}X = 84^\circ 26' 43'' & X = 168^\circ 53' 26'' \\ \frac{1}{3}Z = 11 \quad 9 \quad 46 & Z = 22 \quad 19 \quad 32 \end{array}$$

$$i = 78^\circ 50' 14''$$

$$r = 80 \quad 18 \quad 8$$

$$\frac{1}{5}d = (\frac{1}{5}a : b : b : \infty b) = \frac{1}{5}P$$

$$\begin{array}{ll} \frac{1}{3}X = 82^\circ 41' 27'' & X = 165^\circ 22' 54'' \\ \frac{1}{3}Z = 14 \quad 44 \quad 27 & Z = 29 \quad 28 \quad 54 \end{array}$$

$$i = 75^\circ 15' 33''$$

$$r = 77 \quad 9 \quad 50$$

$$\frac{7}{8}d = (\frac{7}{8}a : b : b : \infty b) = \frac{7}{8}P$$

$$\begin{array}{ll} \frac{1}{3}X = 68^\circ 14' 20'' & X = 136^\circ 28' 40'' \\ \frac{1}{3}Z = 47 \quad 51 \quad 26 & Z = 95 \quad 42 \quad 52 \end{array}$$

$$i = 42^\circ 8' 34''$$

$$r = 46 \quad 15 \quad 30$$

1) In den hexagonalen Pyramiden wird bezeichnet durch:
i = Neigung der Fläche zur Verticalaxe.
r = Neigung der Polkante zur Verticalaxe.

Für die dihexagonale Pyramide.

$$g = (\frac{5}{3}a : 5b : \frac{5}{4}b : b) = \frac{5}{3}P\frac{5}{4}$$

$\frac{1}{3}X = 75^\circ 24' 26''$	$X = 150^\circ 48' 52''$
$\frac{1}{3}Y = 81 \ 38 \ 8$	$Y = 163 \ 16 \ 16$
$\frac{1}{3}Z = 50 \ 19 \ 41$	$Z = 100 \ 39 \ 22$

Für die dihexagonalen Prismen.

$$e = (\infty a : \frac{2}{3}b : 3b : b) = \infty P\frac{2}{3}$$

$\frac{1}{3}X = 79^\circ 6' 24''$	$X = 158^\circ 12' 48''$
$\frac{1}{3}Y = 70 \ 53 \ 36$	$Y = 141 \ 47 \ 12$

$$\epsilon_1 = (\infty a : \frac{7}{4}b : \frac{7}{3}b : b) = \infty P\frac{7}{4}$$

$\frac{1}{3}X = 85^\circ 17' 6''$	$X = 170^\circ 34' 12''$
$\frac{1}{3}Y = 64 \ 42 \ 54$	$Y = 129 \ 25 \ 48$

$$\epsilon_2 = (\infty a : \frac{11}{6}b : \frac{11}{5}b : b) = \infty P\frac{11}{6}$$

$\frac{1}{3}X = 86^\circ 59' 44''$	$X = 173^\circ 59' 28''$
$\frac{1}{3}Y = 63 \ 0 \ 16$	$Y = 126 \ 0 \ 32$

$$\epsilon_3 = (\infty a : \frac{15}{8}b : \frac{15}{7}b : b) = \infty P\frac{15}{8}$$

$\frac{1}{3}X = 87^\circ 47' 45''$	$X = 175^\circ 35' 30''$
$\frac{1}{3}Y = 62 \ 12 \ 15$	$Y = 124 \ 24 \ 30$

$$\epsilon_4 = (\infty a : \frac{19}{10}b : \frac{19}{9}b : b) = \infty P\frac{19}{10}$$

$\frac{1}{3}X = 88^\circ 15' 34''$	$X = 176^\circ 31' 8''$
$\frac{1}{3}Y = 61 \ 44 \ 26$	$Y = 123 \ 28 \ 52$

$$\epsilon_5 = (\infty a : \frac{27}{14}b : \frac{27}{13}b : b) = \infty P_{14}^{27}$$

$$\begin{array}{ll} \frac{1}{2}X = 88^\circ 46' 30'' & X = 177^\circ 33' 0'' \\ \frac{1}{2}Y = 61 \ 13 \ 30 & Y = 122 \ 27 \ 0 \end{array}$$

$$\epsilon_6 = (\infty a : \frac{29}{10}b : \frac{29}{9}b : b) = \infty P_{10}^{29}$$

$$\begin{array}{ll} \frac{1}{2}X = 89^\circ 9' 7'' & X = 178^\circ 18' 14'' \\ \frac{1}{2}Y = 60 \ 50 \ 53 & Y = 121 \ 41 \ 46 \end{array}$$

$$\epsilon_7 = (\infty a : \frac{43}{22}b : \frac{43}{21}b : b) = \infty P_{22}^{43}$$

$$\begin{array}{ll} \frac{1}{2}X = 89^\circ 13' 51'' & X = 178^\circ 27' 42'' \\ \frac{1}{2}Y = 60 \ 46 \ 9 & Y = 121 \ 32 \ 18 \end{array}$$

$$\epsilon_8 = (\infty a : \frac{55}{28}b : \frac{55}{27}b : b) = \infty P_{28}^{55}$$

$$\begin{array}{ll} \frac{1}{2}X = 89^\circ 23' 55'' & X = 178^\circ 47' 50'' \\ \frac{1}{2}Y = 60 \ 36 \ 5 & Y = 121 \ 12 \ 10 \end{array}$$

$$\epsilon_9 = (\infty a : \frac{87}{14}b : \frac{87}{13}b : b) = \infty P_{14}^{87}$$

$$\begin{array}{ll} \frac{1}{2}X = 89^\circ 37' 11'' & X = 179^\circ 14' 22'' \\ \frac{1}{2}Y = 60 \ 22 \ 49 & Y = 120 \ 45 \ 38 \end{array}$$

$$\epsilon_{10} = (\infty a : \frac{65}{32}b : \frac{65}{31}b : b) = \infty P_{32}^{65}$$

$$\begin{array}{ll} \frac{1}{2}X = 89^\circ 29' 28'' & X = 178^\circ 58' 56'' \\ \frac{1}{2}Y = 60 \ 30 \ 32 & Y = 121 \ 1 \ 4 \end{array}$$

$$\epsilon_{11} = (\infty a : \frac{49}{24}b : \frac{49}{23}b : b) = \infty P_{24}^{49}$$

$$\begin{array}{ll} \frac{1}{2}X = 89^\circ 19' 30'' & X = 178^\circ 39' 0'' \\ \frac{1}{2}Y = 60 \ 40 \ 30 & Y = 121 \ 21 \ 0 \end{array}$$

$$\epsilon_{13} = (\infty a : \frac{41}{20}b : \frac{41}{21}b : b) = \infty P_{21}^{\frac{41}{21}}$$

$$\begin{array}{ll} \frac{1}{2}X = 89^\circ 11' 36'' & X = 178^\circ 23' 12'' \\ \frac{1}{2}Y = 60 \ 48 \ 24 & Y = 121 \ 36 \ 48 \end{array}$$

$$\epsilon_{13} = (\infty a : \frac{33}{16}b : \frac{33}{17}b : b) = \infty P_{17}^{\frac{33}{17}}$$

$$\begin{array}{ll} \frac{1}{2}X = 88^\circ 59' 52'' & X = 177^\circ 59' 44'' \\ \frac{1}{2}Y = 61 \ 0 \ 8 & Y = 122 \ 0 \ 16 \end{array}$$

$$\epsilon_{14} = (\infty a : \frac{25}{12}b : \frac{25}{13}b : b) = \infty P_{13}^{\frac{25}{13}}$$

$$\begin{array}{ll} \frac{1}{2}X = 88^\circ 40' 37'' & X = 177^\circ 21' 14'' \\ \frac{1}{2}Y = 61 \ 19 \ 23 & Y = 122 \ 38 \ 46 \end{array}$$

$$\epsilon_{15} = (\infty a : \frac{17}{8}b : \frac{17}{9}b : b) = \infty P_{9}^{\frac{17}{9}}$$

$$\begin{array}{ll} \frac{1}{2}X = 88^\circ 3' 18'' & X = 176^\circ 6' 36'' \\ \frac{1}{2}Y = 61 \ 56 \ 42 & Y = 123 \ 53 \ 24 \end{array}$$

$$\epsilon_{16} = (\infty a : \frac{9}{4}b : \frac{9}{5}b : b) = \infty P_{5}^{\frac{9}{5}}$$

$$\begin{array}{ll} \frac{1}{2}X = 86^\circ 19' 46'' & X = 172^\circ 39' 32'' \\ \frac{1}{2}Y = 63 \ 40 \ 14 & Y = 127 \ 20 \ 28 \end{array}$$

Endlich berechnen sich folgende Combinationswinkel:

$$\begin{array}{l} d : a = 122^\circ 27' 0'' \\ d : c = 141 \ 42 \ 54 \\ d : \frac{1}{4}d = 152 \ 52 \ 40 \\ d : \frac{1}{3}d = 156 \ 27 \ 21 \\ d : \frac{7}{5}d = 170 \ 25 \ 40 \\ \frac{1}{4}d : c = 168 \ 50 \ 14 \\ \frac{1}{4}d : \frac{1}{3}d = 176 \ 25 \ 19 \\ \frac{1}{4}d : \frac{7}{5}d = 143 \ 18 \ 20 \\ \frac{1}{4}d : a = 99 \ 39 \ 7 \end{array}$$

$$\begin{aligned}\frac{1}{3}d : c &= 165 \ 15 \ 33 \\ \frac{1}{3}d : \frac{7}{5}d &= 146 \ 53 \ 1 \\ \frac{1}{3}d : a &= 102 \ 43 \ 48 \\ \frac{7}{5}d : c &= 132 \ 8 \ 34 \\ \frac{7}{5}d : a &= 129 \ 57 \ 5 \\ g : a &= 136 \ 39 \ 42 \\ g : c &= 129 \ 40 \ 19\end{aligned}$$

CXLIV.

EICHWALDIT

(Eichwaldit, Websky).

Allgemeine Charakteristik.

Kr. Syst: rhombisch.

Grundform: rhombische Pyramide, deren Flächen, nach den Messungen von M. Websky, in den makrodiagonalen Polkanten unter einem Winkel = $98^{\circ} 18' 48''$ in den brachydiagonalen Polkanten unter einem Winkel = $137^{\circ} 39' 4''$ und in den Mittelkanten unter einem Winkel = $96^{\circ} 40' 58''$ geneigt sind.

$$\begin{aligned}a : b : c &= 1 : 1,84020 : 1,01635 \\ &= 0,54342 : 1 : 0,55230\end{aligned}$$

wo a = Verticalaxe, b = Makrodiagonale und c = Brachydiagonale.

Der Eichwaldit tritt, wie schon oben bei der Beschreibung des Jeremejewit ausführlich erklärt wurde, als ein Kern im Inneren der Jeremejewitkrystalle auf. Es ist also zu vermuthen, dass die normale borsaure Thonerde = $B_2 Al_2 O_6$ dimorph sei. Nach M. Websky's

Beobachtungen bildet der Eichwaldit im Inneren der Jeremejewitkry-
stalle einen Drillingskrystall des rhombischen Systems, nach dem Ge-
setze: Zwillingsene eine Prismenfläche $(\infty a : b : 3c) = \infty \bar{P}3$,
Zwillingsaxe senkrecht auf einer Prismenfläche.

In den Eichwalditkrystallen hat M. Websky folgende Formen
bestimmt:

Basisches Pinakoid.

$$c = (a : \infty b : \infty c) = oP.$$

Rhombische Prismen.

$$m = (\infty a : b : c) = \infty P$$

$$(\infty a : b : 3c) = \infty \bar{P}3, \text{ Zwillingsfläche.}$$

Makrodomen.

$$p = (a : \infty b : c) = \bar{P}\infty$$

$$x = (\frac{1}{2}a : \infty b : c) = \frac{1}{2}\bar{P}\infty$$

Rhombische Pyramide.

$$y = (\frac{1}{2}a : b : 3c) = \frac{1}{2}\bar{P}3.$$

Bezeichnen wir jetzt in jeder rhombischen Pyramide die makro-
diagonalen Polkanten mit X, die brachydiagonalen Polkanten mit Y,
die Mittelkanten mit Z.

Nennen wir ferner:

α den Winkel der makrodiagonalen Polkante gegen die Verti-
calaxe,

β den Winkel der brachydiagonalen Polkante gegen die Verti-
calaxe, und

γ den Winkel der Mittelkante gegen die Makrodiagonale der
Grundform,

so berechnen sich, aus $a : b : c = 1 : 1,84020 : 1,01635$,
für die Eichwalditformen folgende Winkel:

Für $o = P$

$$\begin{array}{ll} \frac{1}{2}X = 49^\circ 9' 24'' & X = 98^\circ 18' 48'' \\ \frac{1}{2}Y = 68 49 32 & Y = 137 39 4 \\ \frac{1}{2}Z = 48 20 29 & Z = 96 40 58 \\ \\ \alpha = 61^\circ 28' 46'' \\ \beta = 45 27 53 \\ \gamma = 28 54 43 \end{array}$$

Für $y = \frac{1}{2}\bar{P}3$

$$\begin{array}{ll} \frac{1}{2}X = 81^\circ 0' 27'' & X = 162^\circ 0' 54'' \\ \frac{1}{2}Y = 74 59 26 & Y = 149 58 52 \\ \frac{1}{2}Z = 17 36 26 & Z = 35 12 52 \\ \\ \alpha = 74^\circ 47' 57'' \\ \beta = 80 41 14 \\ \gamma = 58 53 16 \end{array}$$

Für $p = \bar{P}\infty$

$$\begin{array}{ll} \frac{1}{2}X = 45^\circ 27' 53'' & X = 90^\circ 55' 46'' \\ \frac{1}{2}Z = 44 32 7 & Z = 89 4 14 \end{array}$$

Für $x = \frac{1}{2}\bar{P}\infty$

$$\begin{array}{ll} \frac{1}{2}X = 76^\circ 10' 51'' & X = 152^\circ 21' 42'' \\ \frac{1}{2}Z = 13 49 9 & Z = 27 38 18 \end{array}$$

Für $m = \infty P$

$$\begin{array}{ll} \frac{1}{2}X = 28^\circ 54' 43'' & X = 57^\circ 49' 26'' \\ \frac{1}{2}Y = 61 5 17 & Y = 122 10 34 \end{array}$$

$$s = \infty\bar{P}3$$

$$\begin{array}{ll} \frac{1}{3}X = 58^\circ 53' 16'' & X = 117^\circ 46' 32'' \\ \frac{1}{3}Y = 31 \quad 6 \quad 44 & Y = 62 \quad 13 \quad 28 \end{array}$$

Endlich berechnen sich folgende Combinationswinkel:

$$\begin{array}{ll} o : a^1) & = 111^\circ 10' 28'' \\ o : b & = 130 \quad 50 \quad 36 \\ o : c & = 131 \quad 39 \quad 31 \\ o : m & \left. \vphantom{o : m} \right\} = 138 \quad 20 \quad 29 \\ \text{anliegende} & \\ y : a & = 105 \quad 0 \quad 34 \\ y : b & = 98 \quad 59 \quad 33 \\ y : c & = 162 \quad 23 \quad 34 \\ y : s & \left. \vphantom{y : s} \right\} = 107 \quad 36 \quad 26 \\ \text{anliegende} & \\ p : a & = 90 \quad 0 \quad 0 \\ p : b & = 134 \quad 32 \quad 7 \\ p : c & = 135 \quad 27 \quad 53 \\ p : o & \left. \vphantom{p : o} \right\} = 158 \quad 49 \quad 32 \\ \text{anliegende} & \\ x : a & = 90 \quad 0 \quad 0 \\ x : b & = 103 \quad 49 \quad 9 \\ x : c & = 166 \quad 10 \quad 51 \\ m : a & = 118 \quad 54 \quad 43 \\ m : b & = 151 \quad 5 \quad 17 \\ m : c & = 90 \quad 0 \quad 0 \\ s : a & = 148 \quad 53 \quad 16 \\ s : b & = 121 \quad 6 \quad 44 \\ s : c & = 90 \quad 0 \quad 0 \end{array}$$

¹⁾ Wie bezeichnen hier: $a = \infty\bar{P}\infty$, $b = \infty\bar{P}\infty$ und $c = oP$.

CXLV.

COLUMBIT.

(Columbit, Jameson; Baierin, Beudant; Torrelit, Thomson; Niobit, Haidinger; Grönlandit, Breithaupt; Dianit, v. Kobell; Mengit.)

Allgemeine Charakteristik.

Kr. Syst.: rhombisch.

Grundform: Nach den neuesten genauen Messungen, welche E. Dana (Sohn) an Columbit-Krystallen von Standisch in Maine (Nord-Amerika) angestellt hat, ist diese Grundform eine rhombische Pyramide, deren Flächen in den makrodiagonalen Polkanten unter einem Winkel = $102^{\circ} 31' 4''$, in den brachydiagonalen Polkanten = $117^{\circ} 32' 24''$ und in den Mittelkanten = $108^{\circ} 43' 0''$ geneigt sind.

$$a : b : c = 0,88976 : 1 : 0,82850 ^1),$$

wo a = Verticalaxe, b = Makrodiagonale, c = Brachydiagonale.

Gustav Rose hat gezeigt, dass der Columbit sehr homöomorph mit Wolframit ist.

Die Krystalle kommen stets eingewachsen vor. Bei tafelförmigen Krystallen findet sich bisweilen eine Zwillingsbildung nach dem Ge-

¹⁾ Dabei muss man aber bemerken, dass dieses Axenverhältniss wahrscheinlich nicht für Columbit-Krystalle aus allen bekannten verschiedenen Fundorten gültig ist, denn die Messungen von Schrauf und Des-Cloizeaux der grönländischen Krystalle und meine eigenen Messungen der russischen Krystalle (Ulmengebirge am Ural) bieten einige Differenzen, welche vielleicht von der chemischen Zusammensetzung des Minerals abhängig sind.

setz: Zwillings-Ebene eine Fläche von $2\sqrt{\infty}$, so dass die Vertical-axen beider Individuen einen Winkel von $58^{\circ} 40' 4''$ bilden. Spaltbarkeit makrodiagonal deutlich, brachydiagonal ziemlich deutlich, basisch undeutlich. Bruch muschlich bis uneben. Härte = 6; sp. Gewicht = 5,37 . . 6,39; nach Marignac steigt das spezifische Gewicht mit dem Gehalt an Tantalsäure. Farbe bräunlichschwarz bis eisenschwarz. Strich kirschroth, röthlichbraun bis schwarz. Metallartiger Diamantglanz. Das Mineral ist undurchsichtig, in dünnen Splittern durchscheinend. Chemische Zusammensetzung, nach den Untersuchungen von Heinrich Rose, Marignac, Blomstrand und Ramelsberg, ist der Columbit nur selten bloß niobsaures Eisenoxydul, gewöhnlich eine Mischung von niobsaurem und tantalsaurem Eisenoxydul, mit vorwaltendem Niobat; die tantalreichen Columbite gehen daher in die niobreichen Tantalite über. Das Eisenoxydul wird, wie im Tantalit, immer theilweise durch Manganoxydul ersetzt. Kleine Quantitäten von Wolframsäure, Zinnsäure und Zirkonsäure sind gewöhnlich vorhanden.

V. d. L. für sich unveränderlich, von Säuren unangreifbar.

Anmerkung. Die richtige Deutung der Krystallisation des Columbits verdanken wir J. D. Dana ¹⁾, welcher im Jahre 1837 die Krystalle von Middleton ausführlich untersuchte, die prismatische Ausbildung derselben erkannte und das Krystallsystem genau bestimmte. J. D. Dana hat 12 Formen bestimmt. Gustav Rose ²⁾ seinerseits hat einen weiteren Fortschritt gemacht; obgleich er keine selbstständige Messungen veröffentlicht hat, so war er doch der Erste, welcher das Zwillingsgesetz für die Bodenmaiser Zwillinge erkannte und genau bestimmte. Später, vor ungefähr dreissig Jahren, veröffentlichte Déscloizeaux ³⁾ die erste Beschreibung der Columbitkrystalle von

¹⁾ Amer. Journal Science, 1837, Bd. XXXII, p. 149.

²⁾ Pogg. Ann. Bd. LXIV, S. 171 und 386.

³⁾ Ann. des Mines, 1855, Bd. VIII, (Ser. 8), p. 395.

Grönland mit zahlreichen von ihm aufgestellten Messungen und mit 7 neuen Formen. Im Jahre 1861 veröffentlichte Schrauf ¹⁾ seine wohlbekannte Monographie des Columbites und den Habitus der Krystalle verschiedener Fundorte, durch eine grosse Reihe von Figuren erläutert; diese Figuren wurden von A. Obsiger, nach den Skizzen von Schrauf, mit meisterhafter Genauigkeit und Eleganz ausgeführt. Endlich im Jahre 1886 hat Edward S. Dana ²⁾ seine hochwichtige Abhandlung über den Columbit von Standisch in Maine (Nord-Amerika) publicirt, in welcher er die Resultate seiner genauen und zahlreichen Messungen der Columbitkrystalle aus dem genannten Fundorte vereinigte.

Vor der Erscheinung der Monographie des Columbites von Schrauf folgten alle Mineralogen, in Hinsicht der Stellung der Krystalle, J. D. Dana's Ansicht, aber Schrauf stellte eine neue Grundform ($u = \bar{P}3$ von J. D. Dana) und ein neues Axenverhältniss auf. Edward S. Dana, in seiner oben citirten Abhandlung, hat wieder die Grundform seines Vaters von neuem adoptirt, was wir auch oben gethan haben. — Aus diesem Grunde sind für die bekannten Formen der Columbitkrystalle zwei Reihen krystallographischer Zeichen entstanden, nämlich:

Stellung nach Dana.	{	Stellung nach Schrauf.
$a = \infty \bar{P} \infty$	$\infty \bar{P} \infty$
$b = \infty \bar{P} \infty$	$\infty \bar{P} \infty$
$c = oP$	oP

¹⁾ Sitzungsberichte der mathem.-naturw. Classe der kaiserlichen Akademie der Wissenschaften zu Wien, 1861, vorgelegt in der Sitzung vom 18. Juli. Bd. XLIV, № 2.

²⁾ American Journal of Science, Vol. XXXII. November 1886.
„Zeitschrift für Krystallographie etc.“ von P. Groth, 1886. Bd. XII.

Stellung nach Dana.	Stellung nach Schrauf.
$m = \infty P$	$\infty \check{P}3$
$z = \infty \bar{P}\frac{2}{3}$	$\infty \check{P}5$
$y = \infty \bar{P}2$	$\infty \check{P}6$
$g = \infty \check{P}3$	∞P
$l = \frac{1}{6} \bar{P}\infty$	$\frac{1}{3} \check{P}\infty$
$k = \frac{1}{3} \bar{P}\infty$	$\check{P}\infty$
$f = \frac{1}{2} \bar{P}\infty$	$\frac{2}{3} \check{P}\infty$
$h = \frac{2}{3} \bar{P}\infty$	$2 \check{P}\infty$
$i = \check{P}\infty$	$\bar{P}\infty$
$e = 2 \check{P}\infty$	$2 \bar{P}\infty$
$\alpha = \frac{1}{3} P$	$\check{P}3$
$o = P$	$3 \check{P}3$
$\sigma = \frac{2}{3} \bar{P}2$	$2 \check{P}6$
$x = 2 \bar{P}2$	$6 \check{P}6$
$\beta = \check{P}\frac{2}{3}$	$2 \check{P}2$
$u = \check{P}3$	P
$t = 2 \check{P}\frac{2}{3}$	$4 \check{P}2$
$\pi = 2 \check{P}2$	$3 \check{P}\frac{2}{3}$
$s = 2 \check{P}3$	$2 P$
$n = 2 \check{P}6$	$2 \bar{P}2$
$\varphi = 4 \check{P}12$	$4 \bar{P}4$
$r = 9 \check{P}3$	$9 P$

Für die gegenseitigen Flächenneigungen dieser Formen hat Edward S. Dana, durch sehr genaue Messungen, folgende Winkel erhalten:

$z : z$ (Brachydiagonale Kante)

$$\text{Kr. I} \left\{ \begin{array}{l} \text{Eine Kante} = 127^\circ 18' \\ \text{Zweite Kante} = 127 \quad 7 \end{array} \right.$$

$$\text{Mittel} = 127^\circ 12' 30''$$

$z : z$ (Makrodiagonale Kante)

$$\text{Kr. I} \left\{ \begin{array}{l} \text{Eine Kante} = 52^\circ 51' \\ \text{Zweite Kante} = 52 \quad 46 \end{array} \right.$$

$$\text{Mittel} = 52^\circ 48' 30'' (1)$$

$$\text{Kr. III} = 52^\circ 46' (2)$$

$$\text{Kr. V} = 52^\circ 59' (3)$$

Also Mittel aus (1) (2) und (3) = $52^\circ 51' 10''$

$m : m$ (Brachydiagonale Kante)

$$\text{Kr. I} \left\{ \begin{array}{l} \text{Eine Kante} = 100^\circ 46' \\ \text{Zweite Kante} = 100 \quad 42 \end{array} \right.$$

$$\text{Mittel} = 100^\circ 44' 0''$$

$m : m$ (Makrodiagonale Kante)

$$\text{Kr. I} \left\{ \begin{array}{l} \text{Eine Kante} = 79^\circ 15' \\ \text{Zweite Kante} = 79 \quad 17 \end{array} \right.$$

$$\text{Mittel} = 79^\circ 16' 0'' (1)$$

$$\text{Kr. III} = 79^\circ 3' (2)$$

$$\text{Kr. V} \left\{ \begin{array}{l} \text{Eine Kante} = 79^\circ 17' \\ \text{Zweite Kante} = 79 \quad 17 \end{array} \right.$$

$$\text{Mittel} = 79^\circ 17' 0'' (3)$$

Also Mittel aus (1), (2) und (3) = $79^\circ 12' 0''$

$g : g$ (Brachydiagonale Kante)

$$\text{Kr. I} \left\{ \begin{array}{l} \text{Eine Kante} = 43^\circ 50' \\ \text{Zweite Kante} = 43 \ 50 \end{array} \right.$$

$$\text{Mittel} = 43^\circ 50' 0''$$

$g : g$ (Makrodiagonale Kante)

$$\text{Kr. I} \left\{ \begin{array}{l} \text{Eine Kante} = 136^\circ 9' \\ \text{Zweite Kante} = 136 \ 11 \end{array} \right.$$

$$\text{Mittel} = 136^\circ 10' 0'' \text{ (1)}$$

$$\text{Kr. III} = 136^\circ 11' \text{ (2)}$$

$$\text{Kr. V} = 136^\circ 16' \text{ (3)}$$

Also Mittel aus (1), (2) und (3) = $136^\circ 12' 20''$

$e : c$

$$\text{Kr. I} = 119^\circ 19'$$

$$\text{Kr. III} = 119 \ 19$$

$$\text{Kr. V} = 119 \ 25$$

$$\text{Mittel} = 119^\circ 21' 0''$$

$e : e$ (Brachydiagonale Polkante)

$$\text{Kr. V} = 58^\circ 33'$$

$o : o$ (über $c = oP$)

$$\text{Kr. I} \left\{ \begin{array}{l} \text{Eine Kante} = 71^\circ 17' \\ \text{Zweite Kante} = 71 \ 18 \end{array} \right.$$

$$\text{Mittel} = 71^\circ 17' 30'' \text{ (1)}$$

$$\text{Kr. II} \left\{ \begin{array}{l} \text{Eine Kante} = 71^\circ 17' \\ \text{Zweite Kante} = 71 \ 4 \end{array} \right.$$

$$\text{Mittel} = 71^\circ 10' 30'' \text{ (2)}$$

Also Mittel aus (1) und (2) = $71^\circ 14' 0''$

$o : o$ (Brachydiagonale Polkante)

$$\text{Kr. I} \begin{cases} \text{Eine Kante} = 117^\circ 40' \\ \text{Zweite Kante} = 117 \quad 31 \end{cases}$$

$$\text{Mittel} = 117^\circ 35' 30''$$

$o : o$ (Makrodiagonale Polkante)

$$\text{Kr. I} \begin{cases} \text{Eine Kante} = 102^\circ 37' \\ \text{Zweite Kante} = 102 \quad 24 \end{cases}$$

$$\text{Mittel} = 102^\circ 30' 30'' (1)$$

$$\text{Kr. II} \begin{cases} \text{Eine Kante} = 102^\circ 26' \\ \text{Zweite Kante} = 102 \quad 25 \end{cases}$$

$$\text{Mittel} = 102^\circ 25' 30'' (2)$$

Kr. IV Eine Kante = $102^\circ 31' (3)$

Mittel aus (1), (2) und (3) = $102^\circ 29' 0''$

$\beta : \beta$ (Makrodiagonale Polkante)

Kr. IV Eine Kante = $123^\circ 52'$

$u : u$ (über $c = oP$)

Kr. II Eine Kante = $92^\circ 22'$

$u : u$ (Brachydiagonale Polkante)

$$\text{Kr. II} \begin{cases} \text{Eine Kante} = 100^\circ 6' \\ \text{Zweite Kante} = 100 \quad 2 \end{cases}$$

$$\text{Mittel} = 100^\circ 4' 0''$$

$u : u$ (Makrodiagonale Polkante)

Kr. I Eine Kante = $150^\circ 1' (1)$

Kr. II Eine Kante = $149^\circ 59' (2)$

$$\text{Kr. IV} \left\{ \begin{array}{l} \text{Eine Kante} = 150^\circ 8' \\ \text{Zweite Kante} = 150 \quad 5 \end{array} \right.$$

$$\text{Mittel} = 150^\circ 6' 30'' (3)$$

$$\text{Kr. V Eine Kante} = 150^\circ 6' (4)$$

$$\text{Also Mittel aus (1), (2), (3) und (4)} = 150^\circ 3' 8''$$

$n : n$ (Brachydiagonale Polkante)

$$\text{Kr. I Eine Kante} = 61^\circ 41' (1)$$

$$\text{Kr. II} \left\{ \begin{array}{l} \text{Eine Kante} = 61^\circ 54' \\ \text{Zweite Kante} = 61 \quad 47 \end{array} \right.$$

$$\text{Mittel} = 61^\circ 50' 30'' (2)$$

$$\text{Also Mittel aus (1) und (2)} = 61^\circ 45' 45''$$

$n : n$ (Makrodiagonale Polkante)

$$\text{Kr. I} \left\{ \begin{array}{l} \text{Eine Kante} = 160^\circ 1' \\ \text{Zweite Kante} = 160 \quad 0 \end{array} \right.$$

$$\text{Mittel} = 160^\circ 0' 30'' (1)$$

$$\text{Kr. II} \left\{ \begin{array}{l} \text{Eine Kante} = 160^\circ 5' \\ \text{Zweite Kante} = 159 \quad 59 \end{array} \right.$$

$$\text{Mittel} = 160^\circ 2' 0'' (2)$$

$$\text{Kr. IV Eine Kante} = 160^\circ 3' (3)$$

$$\text{Kr. V} \left\{ \begin{array}{l} \text{Eine Kante} = 160^\circ 12' \\ \text{Zweite Kante} = 160 \quad 3 \end{array} \right.$$

$$\text{Mittel} = 160^\circ 7' 30'' (4)$$

$$\text{Also Mittel aus (1), (2), (3) und (4)} = 160^\circ 3' 15''$$

Aus diesen Messungen hat Edward S. Dana für die Grundform des Minerals folgendes Axenverhältniss abgeleitet: (1)

$$a : b : c = 0,88976 : 1 : 0,82850,$$

wo a = Verticalaxe, b = Makrodiagonale und c = Brachydiagonale.

Aus diesem Axenverhältnisse berechnen sich für die Formen des Columbits von Standisch in Maine (Nord-Amerika) die nachfolgenden Winkel, wenn wir bezeichnen wollen in jeder rhombischen Pyramide:

die makrodiagonalen Polkanten mit X, die brachydiagonalen Polkanten mit Y, die Mittelkante mit Z,

den Winkel der makrodiagonalen Polkante gegen die Verticalaxe mit α ,

den Winkel der brachydiagonalen Polkante gegen die Verticalaxe mit β , und

den Winkel der Mittelkante gegen die Makrodiagonale mit γ .

$$\alpha = \frac{1}{3}P$$

$\frac{1}{2}X = 71^\circ 3' 27''$	$X = 142^\circ 6' 54''$
$\frac{1}{2}Y = 74 23 54$	$Y = 148 47 48$
$\frac{1}{2}Z = 24 55 59$	$Z = 49 51 58$

$$\alpha = 73^\circ 28' 49''$$

$$\beta = 70 18 13$$

$$\gamma = 39 38 30$$

$$o = P$$

$\frac{1}{2}X = 51^\circ 15' 32''$	$X = 102^\circ 31' 4''$
$\frac{1}{2}Y = 58 46 12$	$Y = 117 32 24$
$\frac{1}{2}Z = 54 21 30$	$Z = 108 43 0$

$$\alpha = 48^\circ 20' 19''$$

$$\beta = 42 57 29$$

$$\gamma = 39 38 30$$

1) Welches wir schon oben in der allgemeinen Charakteristik gegeben haben.

$$a = \frac{2}{3}\bar{P}2$$

$$\begin{array}{ll} \frac{1}{3}X = 55^\circ 32' 3'' & X = 111^\circ 4' 6'' \\ \frac{1}{3}Y = 76 26 31 & Y = 152 53 2 \\ \frac{1}{3}Z = 37 46 30 & Z = 75 33 0 \end{array}$$

$$\alpha = 73^\circ 28' 49''$$

$$\beta = 54 23 56$$

$$\gamma = 22 30 6$$

$$x = 2\bar{P}2$$

$$\begin{array}{ll} \frac{1}{3}X = 31^\circ 55' 51'' & X = 63^\circ 51' 42'' \\ \frac{1}{3}Y = 69 25 0 & Y = 138 50 0 \\ \frac{1}{3}Z = 66 43 34 & Z = 133 27 8 \end{array}$$

$$\alpha = 48^\circ 20' 19''$$

$$\beta = 24 57 56$$

$$\gamma = 22 30 6$$

$$\beta = \bar{P}\frac{2}{3}$$

$$\begin{array}{ll} \frac{1}{3}X = 61^\circ 51' 30'' & X = 123^\circ 43' 0'' \\ \frac{1}{3}Y = 54 6 58 & Y = 108 13 56 \\ \frac{1}{3}Z = 48 47 38 & Z = 97 35 16 \end{array}$$

$$\alpha = 48^\circ 20' 19''$$

$$\beta = 54 23 56$$

$$\gamma = 51 10 39$$

$$u = \bar{P}3$$

$$\begin{array}{ll} \frac{1}{3}X = 75^\circ 1' 38'' & X = 150^\circ 3' 16'' \\ \frac{1}{3}Y = 50 2 49 & Y = 100 5 38 \\ \frac{1}{3}Z = 43 48 12 & Z = 87 36 24 \end{array}$$

$$\alpha = 48^\circ 20' 19''$$

$$\beta = 70 18 13$$

$$\gamma = 68 5 0$$

$$t = 2\check{P}_2$$

$$\begin{array}{ll} \frac{1}{3}X = 54^\circ 57' 1'' & X = 109^\circ 54' 2'' \\ \frac{1}{3}Y = 44 27 51 & Y = 88 55 42 \\ \frac{1}{3}Z = 66 21 20 & Z = 132 42 40 \end{array}$$

$$\alpha = 29^\circ 20' 2''$$

$$\beta = 34 55 44$$

$$\gamma = 51 10 39$$

$$\pi = 2\check{P}_2$$

$$\begin{array}{ll} \frac{1}{3}X = 62^\circ 15' 0'' & X = 124^\circ 30' 0'' \\ \frac{1}{3}Y = 39 30 36 & Y = 79 1 12 \\ \frac{1}{3}Z = 64 18 22 & Z = 128 36 44 \end{array}$$

$$\alpha = 29^\circ 20' 2''$$

$$\beta = 42 57 29$$

$$\gamma = 58 53 20$$

$$s = 2\check{P}_3$$

$$\begin{array}{ll} \frac{1}{3}X = 70^\circ 40' 18'' & X = 141^\circ 20' 36'' \\ \frac{1}{3}Y = 34 38 57 & Y = 69 17 54 \\ \frac{1}{3}Z = 62 27 55 & Z = 124 55 50 \end{array}$$

$$\alpha = 29^\circ 20' 2''$$

$$\beta = 54 23 56$$

$$\gamma = 68 5 0$$

$$n = 2\check{P}_6$$

$$\begin{array}{ll} \frac{1}{3}X = 80^\circ 3' 11'' & X = 160^\circ 6' 22'' \\ \frac{1}{3}Y = 30 49 55 & Y = 61 39 50 \\ \frac{1}{3}Z = 61 8 56 & Z = 122 17 52 \end{array}$$

$$\alpha = 29^\circ 20' 2''$$

$$\beta = 70 18 13$$

$$\gamma = 78 37 33$$

$$p = 4\check{P}12$$

$$\begin{array}{ll} \frac{1}{2}X = 84^\circ 28' 9'' & X = 168^\circ 56' 18'' \\ \frac{1}{2}Y = 16 37 1 & Y = 33 14 2 \\ \frac{1}{2}Z = 74 22 52 & Z = 148 45 44 \end{array}$$

$$\alpha = 15^\circ 41' 38''$$

$$\beta = 70 18 13$$

$$\gamma = 84 15 23$$

$$r = 9\check{P}3$$

$$\begin{array}{ll} \frac{1}{2}X = 68^\circ 14' 11'' & X = 136^\circ 28' 22'' \\ \frac{1}{2}Y = 22 50 39 & Y = 45 41 18 \\ \frac{1}{2}Z = 83 23 30 & Z = 166 47 0 \end{array}$$

$$\alpha = 7^\circ 7' 5''$$

$$\beta = 17 14 36$$

$$\gamma = 68 5 0$$

$$m = \infty P$$

$$\begin{array}{ll} \frac{1}{2}X = 39^\circ 38' 30'' & X = 79^\circ 17' 0'' \\ \frac{1}{2}Y = 50 21 30 & Y = 100 43 0 \end{array}$$

$$z = \infty\check{P}\frac{5}{3}$$

$$\begin{array}{ll} \frac{1}{2}X = 26^\circ 25' 55'' & X = 52^\circ 51' 50'' \\ \frac{1}{2}Y = 63 34 5 & Y = 127 8 10 \end{array}$$

$$y = \infty\check{P}2$$

$$\begin{array}{ll} \frac{1}{2}X = 22^\circ 30' 6'' & X = 45^\circ 0' 12'' \\ \frac{1}{2}Y = 67 29 54 & Y = 134 59 48 \end{array}$$

$$g = \infty\check{P}3$$

$$\begin{array}{ll} \frac{1}{2}X = 68^\circ 5' 0'' & X = 136^\circ 10' 0'' \\ \frac{1}{2}Y = 21 55 0 & Y = 43 50 0 \end{array}$$

$$l = \frac{1}{3}\bar{P}\infty$$

$$\begin{array}{ll} \frac{1}{3}X = 79^\circ 51' 7'' & X = 159^\circ 42' 14'' \\ \frac{1}{3}Z = 10 \quad 8 \quad 53 & Z = 20 \quad 17 \quad 46 \end{array}$$

$$k = \frac{1}{3}\bar{P}\infty$$

$$\begin{array}{ll} \frac{1}{3}X = 70^\circ 18' 13'' & X = 140^\circ 36' 26'' \\ \frac{1}{3}Z = 19 \quad 41 \quad 47 & Z = 39 \quad 23 \quad 34 \end{array}$$

$$f = \frac{1}{3}\bar{P}\infty$$

$$\begin{array}{ll} \frac{1}{3}X = 61^\circ 45' 56'' & X = 123^\circ 31' 52'' \\ \frac{1}{3}Z = 28 \quad 14 \quad 4 & Z = 56 \quad 28 \quad 8 \end{array}$$

$$h = \frac{2}{3}\bar{P}\infty$$

$$\begin{array}{ll} \frac{1}{3}X = 54^\circ 23' 56'' & X = 108^\circ 47' 52'' \\ \frac{1}{3}Z = 35 \quad 36 \quad 4 & Z = 71 \quad 12 \quad 8 \end{array}$$

$$i = \bar{P}\infty$$

$$\begin{array}{ll} \frac{1}{3}Y = 48^\circ 20' 19'' & Y = 96^\circ 40' 38'' \\ \frac{1}{3}Z = 41 \quad 39 \quad 41 & Z = 83 \quad 19 \quad 22 \end{array}$$

$$e = 2\bar{P}\infty$$

$$\begin{array}{ll} \frac{1}{3}Y = 29^\circ 20' 2'' & Y = 58^\circ 40' 4'' \\ \frac{1}{3}Z = 60 \quad 39 \quad 58 & Z = 121 \quad 19 \quad 56 \end{array}$$

Ferner erhält man folgende Combinationswinkel:

Nach Rechnung aus Ed. Dana's Axenverhältniss. Nach Ed. Dana's Messungen.

$$\begin{array}{ll} \alpha : a & = 108^\circ 56' 33'' \\ \alpha : b & = 105 \quad 36 \quad 6 \\ \alpha : c & = 155 \quad 4 \quad 1 \\ \left. \begin{array}{l} \alpha : u \\ \text{anliegende} \end{array} \right\} & = 155 \quad 38 \quad 55 \end{array}$$

Nach Rechnung aus Ed. Dana's Axenverhältniss.

Nach Ed. Dana's Messungen.

$$\left. \begin{array}{l} \alpha : m \\ \text{anliegende} \end{array} \right\} = 114^{\circ} 55' 59''$$

$$\left. \begin{array}{l} \alpha : k \\ \text{anliegende} \end{array} \right\} = 164 \quad 23 \quad 54$$

$$\left. \begin{array}{l} \alpha : n \\ \text{anliegende} \end{array} \right\} = 136 \quad 26 \quad 1$$

$$\left. \begin{array}{l} \alpha : \varphi \\ \text{anliegende} \end{array} \right\} = 122 \quad 13 \quad 7$$

$$\left. \begin{array}{l} \alpha : o \\ \text{anliegende} \end{array} \right\} = 150 \quad 34 \quad 29$$

$$o : a = 128 \quad 44 \quad 28$$

$$o : b = 121 \quad 13 \quad 48$$

$$o : c = 125 \quad 38 \quad 30$$

$$\left. \begin{array}{l} o : m \\ \text{anliegende} \end{array} \right\} = 144 \quad 21 \quad 30$$

$$\left. \begin{array}{l} o : g \\ \text{anliegende} \end{array} \right\} = 135 \quad 36 \quad 32$$

$$\left. \begin{array}{l} o : \beta \\ \text{anliegende} \end{array} \right\} = 169 \quad 24 \quad 2$$

$$\left. \begin{array}{l} o : u \\ \text{anliegende} \end{array} \right\} = 156 \quad 13 \quad 54$$

$$\left. \begin{array}{l} o : e \\ \text{anliegende} \end{array} \right\} = 137 \quad 30 \quad 58$$

$$\left. \begin{array}{l} o : k \\ \text{anliegende} \end{array} \right\} = 139 \quad 25 \quad 25$$

$$\left. \begin{array}{l} o : l \\ \text{anliegende} \end{array} \right\} = 133 \quad 8 \quad 46$$

$$\left. \begin{array}{l} o : x \\ \text{anliegende} \end{array} \right\} = 160 \quad 40 \quad 19$$

$$\left. \begin{array}{l} o : \pi \\ \text{anliegende} \end{array} \right\} = 160 \quad 44 \quad 24$$

$$\left. \begin{array}{l} o : o \\ \text{über } c \end{array} \right\} = 71 \quad 17 \quad 0 \dots\dots 71^{\circ} 14'$$

Nach Rechnung aus Ed. Dana's Axenverhältniss. Nach Ed. Dana's Messungen.

$o : o$ in X	}	=	102° 31' 4''	102° 29'
$o : o$ in Y	}	=	117 32 24	117° 36'
$o : f$ anliegende	}	=	144 2 28		
$o : i$ anliegende	}	=	141 15 32		
$x : a$		=	148 4 9		
$x : b$		=	110 35 0		
$x : c$		=	113 16 26		
$x : u$ anliegende	}	=	136 54 13		
$x : \beta$ anliegende	}	=	150 4 21		
$\beta : a$		=	118 8 30		
$\beta : b$		=	125 53 2		
$\beta : c$		=	131 12 22		
$\beta : u$ anliegende	}	=	166 49 52		
$\beta : e$ anliegende	}	=	146 28 58		
$\beta : t$ anliegende	}	=	162 26 18		
$\beta : \sigma$ anliegende	}	=	157 40 27		
$\beta : s$ anliegende	}	=	160 31 59		
$\beta : h$ anliegende	}	=	144 6 58		
$\beta : i$ anliegende	}	=	151 51 30		
$\beta : \beta$ in X	}	=	123 43 0	123° 52'

Nach Rechnung aus Ed. Dana's Axenverhältniss.

Nach Ed. Dana's Messungen.

$$\left. \begin{array}{l} \beta : u \\ \text{anliegende} \end{array} \right\} = 166^\circ 49' 52''$$

$$\sigma : a = 124 \quad 27 \quad 57$$

$$\sigma : b = 103 \quad 33 \quad 29$$

$$\sigma : c = 142 \quad 13 \quad 30$$

$$\left. \begin{array}{l} \sigma : k \\ \text{anliegende} \end{array} \right\} = 159 \quad 12 \quad 53$$

$$u : a = 104 \quad 58 \quad 22$$

$$u : b = 129 \quad 57 \quad 11$$

$$u : c = 136 \quad 11 \quad 48$$

$$\left. \begin{array}{l} u : m \\ \text{anliegende} \end{array} \right\} = 127 \quad 29 \quad 28$$

$$\left. \begin{array}{l} u : g \\ \text{anliegende} \end{array} \right\} = 133 \quad 48 \quad 12$$

$$\left. \begin{array}{l} u : l \\ \text{anliegende} \end{array} \right\} = 139 \quad 6 \quad 30$$

$$\left. \begin{array}{l} u : k \\ \text{anliegende} \end{array} \right\} = 140 \quad 2 \quad 49$$

$$\left. \begin{array}{l} u : e \\ \text{anliegende} \end{array} \right\} = 155 \quad 58 \quad 42$$

$$\left. \begin{array}{l} u : i \\ \text{anliegende} \end{array} \right\} = 165 \quad 1 \quad 38$$

$$\left. \begin{array}{l} u : s \\ \text{anliegende} \end{array} \right\} = 161 \quad 20 \quad 17$$

$$\left. \begin{array}{l} u : r \\ \text{anliegende} \end{array} \right\} = 140 \quad 24 \quad 42$$

$$\left. \begin{array}{l} u : n \\ \text{anliegende} \end{array} \right\} = 160 \quad 47 \quad 6$$

$$\left. \begin{array}{l} u : \alpha \\ \text{anliegende} \end{array} \right\} = 155 \quad 38 \quad 55$$

$$\left. \begin{array}{l} u : \varphi \\ \text{anliegende} \end{array} \right\} = 146 \quad 34 \quad 12$$

$$\left. \begin{array}{l} u : t \\ \text{anliegende} \end{array} \right\} = 153 \quad 39 \quad 12$$

Nach Rechnung aus Ed. Dana's Axenverhältniss. Nach Ed. Dana's Messungen.

$u : u$ über c	}	=	92° 23' 36''	92° 22'
$u : u$ in X	}	=	150 3 16	150° 3'
$u : u$ in Y	}	=	100 5 38	100° 4'
$t : a$		=	125 2 59	
$t : b$		=	135 32 9	
$t : c$		=	113 38 40	
$t : m$ anliegende	}	=	153 50 16	
$t : n$ anliegende	}	=	154 53 50	
$t : s$ anliegende	}	=	164 16 43	
$\pi : a$		=	117 45 0	
$\pi : b$		=	140 29 24	
$\pi : c$		=	115 41 38	
$\pi : t$ anliegende	}	=	172 42 1	
$\pi : m$ anliegende	}	=	148 17 38	
$\pi : s$ anliegende	}	=	171 34 42	
$\pi : e$ anliegende	}	=	152 15 0	
$\pi : n$ anliegende	}	=	162 11 49	
$s : a$		=	109 19 42	
$s : b$		=	145 21 3	
$s : c$		=	117 32 5	
$s : g$ anliegende	}	=	152 27 55	

Nach Rechnung aus Ed. Dana's Axenverhältniss.

Nach Ed. Dana's Messungen.

$s : e$	}	= 160° 40' 18''	
anliegende			
$s : h$	}	= 124 38 57	
anliegende			
$s : r$	}	= 159 4 25	
anliegende			
$s : n$	}	= 170 37 7	
anliegende			
$n : a$		= 99 56 49	
$n : b$		= 149 10 5	
$n : c$		= 118 51 4	
$n : m$	}	= 132 54 33	
anliegende			
$n : g$	}	= 149 26 22	
anliegende			
$n : k$	}	= 120 49 55	
anliegende			
$n : l$	}	= 120 21 34	
anliegende			
$n : \varphi$	}	= 165 47 6	
anliegende			
$n : e$	}	= 170 3 11	
anliegende			
$n : n$ in X	}	= 160 6 22 160° 3'	
$n : n$ in Y	}	= 61 39 50 61° 46'	
$\varphi : a$		= 95 31 51	
$\varphi : b$		= 163 22 59	
$\varphi : c$		= 105 37 8	
$r : a$		= 111 45 49	
$r : b$		= 157 9 21	
$r : c$		= 96 36 30	

Nach Rechnung aus Ed. Dana's Axenverhältniss.

Nach Ed. Dana's Messungen.

$r : g$ anliegende	}	= 173° 23' 30''	
$m : a$			= 140 21 30
$m : b$		= 129 38 30	
$m : c$		= 90 0 0	
$m : g$ anliegende	}	= 151 33 30	
$m : g$ über b			= 107 43 30
$m : z$ anliegende	}	= 166 47 25	
$m : y$ anliegende			= 162 51 36
$m : l$ anliegende	}	= 97 47 52	
$m : k$ anliegende			= 105 2 32
$m : e$ anliegende	}	= 123 47 32	
$m : m$ in X			= 79 17 0 79° 12'
$m : m$ in Y	}	= 100 43 0 100° 44'	
$z : a$			= 153 34 5
$z : b$	= 116 25 55		
$z : c$	= 90 0 0		
$z : g$ anliegende	}	= 138 20 55	
$z : e$ anliegende			= 112 50 2
$z : l$ anliegende	}	= 99 4 40	
$z : k$ anliegende			= 107 33 57

Nach Rechnung aus Ed. Dana's Axenverhältniss. Nach Ed. Dana's Messungen.

$$\begin{array}{l}
 z : z \\
 \text{in X} \quad \left. \vphantom{\begin{array}{l} z : z \\ \text{in X} \end{array}} \right\} = 52^\circ 51' 50'' \dots\dots 52^\circ 51' \\
 z : z \\
 \text{in Y} \quad \left. \vphantom{\begin{array}{l} z : z \\ \text{in Y} \end{array}} \right\} = 127 \quad 8 \quad 10 \dots\dots 127^\circ 13' \\
 g : a = 111 \quad 55 \quad 0 \\
 g : b = 158 \quad 5 \quad 0 \\
 g : c = 90 \quad 0 \quad 0 \\
 g : y \\
 \text{anliegende} \quad \left. \vphantom{\begin{array}{l} g : y \\ \text{anliegende} \end{array}} \right\} = 134 \quad 25 \quad 6 \\
 g : e \\
 \text{anliegende} \quad \left. \vphantom{\begin{array}{l} g : e \\ \text{anliegende} \end{array}} \right\} = 143 \quad 58 \quad 35 \\
 g : l \\
 \text{anliegende} \quad \left. \vphantom{\begin{array}{l} g : l \\ \text{anliegende} \end{array}} \right\} = 93 \quad 46 \quad 15 \\
 g : k \\
 \text{anliegende} \quad \left. \vphantom{\begin{array}{l} g : k \\ \text{anliegende} \end{array}} \right\} = 97 \quad 13 \quad 38 \\
 g : f \\
 \text{anliegende} \quad \left. \vphantom{\begin{array}{l} g : f \\ \text{anliegende} \end{array}} \right\} = 100 \quad 10 \quad 14 \\
 g : h \\
 \text{anliegende} \quad \left. \vphantom{\begin{array}{l} g : h \\ \text{anliegende} \end{array}} \right\} = 102 \quad 32 \cdot 59 \\
 g : i \\
 \text{anliegende} \quad \left. \vphantom{\begin{array}{l} g : i \\ \text{anliegende} \end{array}} \right\} = 128 \quad 4 \quad 27 \\
 g : g \\
 \text{in X} \quad \left. \vphantom{\begin{array}{l} g : g \\ \text{in X} \end{array}} \right\} = 136 \quad 10 \quad 0 \dots\dots 136^\circ 12' \\
 g : g \\
 \text{in Y} \quad \left. \vphantom{\begin{array}{l} g : g \\ \text{in Y} \end{array}} \right\} = 43 \quad 50 \quad 0 \dots\dots 43^\circ 50' \\
 y : a = 157 \quad 29 \quad 54 \\
 y : b = 112 \quad 30 \quad 6 \\
 y : c = 90 \quad 0 \quad 0 \\
 l : a = 100 \quad 8 \quad 53 \\
 l : b = 90 \quad 0 \quad 0 \\
 l : c = 169 \quad 51 \quad 7 \\
 l : k \\
 \text{anliegende} \quad \left. \vphantom{\begin{array}{l} l : k \\ \text{anliegende} \end{array}} \right\} = 170 \quad 27 \quad 6
 \end{array}$$

Nach Rechnung aus Ed. Dana's Axenverhältniss.

Nach Ed. Dana's Messungen.

$l : f$	}	=	161°	54'	49''	
anliegende						
$l : h$	}	=	154	32	49	
anliegende						
$k : a$		=	109	41	47	
$k : b$		=	90	0	0	
$k : c$		=	160	18	13	
$f : a$		=	118	14	4	
$f : b$		=	90	0	0	
$f : c$		=	151	45	56	
$h : a$		=	125	36	4	
$h : b$		=	90	0	0	
$h : c$		=	144	23	56	
$i : a$		=	90	0	0	
$i : b$		=	131	39	41	
$i : c$		=	138	20	19	
$e : a$		=	90	0	0	
$e : b$		=	150	39	58	
$e : c$		=	119	20	2 119° 21'
$e : e$	}	=	58	40	4 58° 33'
in Y						

Messungen der russischen Columbit-Krystalle.

Bevor die Frage über die Winkel der Columbitkrystalle von Middletown (gemessen von James Dana), von Grönland (gemessen von Descloizeaux und Schrauf) und von Bodenmais (gemessen von Schrauf) behandelt werden wird, werde ich hier die Resultate meiner Messungen an russischen Krystallen (vom Ilmengebirge am Ural)

geben. Diese letzteren waren bis jetzt fast gar nicht gemessen, denn Auerbach ¹⁾ giebt bei der Beschreibung derselben nur zwei auf approximativer Weise gemessene Winkel, nämlich: $m : a =$ im Mittel $140^{\circ} 18'$ und $g : a =$ im Mittel $112\frac{1}{4}^{\circ}$.

Ich habe neun Krystalle gemessen, welche hier mit № 1, № 2 bis № 9 bezeichnet werden. Der Krystall № 1 wurde von mir ziemlich gut gemessen und er zeigte, dass seine Winkel etwas von den Winkeln der Krystalle von Standisch in Maine (Nord-Amerika), welche mit so grosser Genauigkeit von Edw. S. Dana gemessen wurden, etwas differiren.

Die Resultate meiner Messungen sind nämlich folgende:

$$u : u \text{ (über } c = oP)$$

Krystall № 1.

a) Vermittelst des Mitscherlich'schen Goniometers: ²⁾

Eine Kante = $92^{\circ} 55' 0''$ gut.

b) Vermittelst des gewöhnlichen Wollaston'schen Goniometers:

Dieselbe Kante = $93^{\circ} 0'$ ziemlich gut.

93 15 »

92 50 »

92 56 »

92 46 »

Mittel = $92^{\circ} 57' 24''$

¹⁾ Journal für praktische Chemie von O. L. Erdmann und R. F. Marchand, 1846, Bd. XXXVIII. S. 122.

²⁾ Die Messungen, welche vermittelst des Mitscherlich'schen Goniometers ausgeführt wurden, boten fast gar keine Differenz bei jeder Drehung des Instruments dar, deshalb sind sie hier durch eine mittlere Zahl gegeben. Zum Gegensatz sind die mit dem gewöhnlichen Wollaston'schen Goniometer ausgeführten Messungen mit Zahlen bezeichnet, welche der getheilte Kreis des Instruments bei jeder Drehung gab.

a) Vermittelst des Mitscherlich'schen Goniometers:

Zweite Kante = $92^{\circ} 53' 0''$ gut.

b) Vermittelst des gewöhnlichen Wollaston'schen Goniometers:

Dieselbe Kante = $93^{\circ} 0'$ ziemlich gut.

93	3	»
93	2	»

Mittel = $93^{\circ} 1' 40''$

Also:

Das Mittel aus zwei mit dem Mitscherlich'schen Goniometer erhaltenen Zahlen ist:

92° 55' 0''
92 53 0

Mittel = $92^{\circ} 54' 0''$ (A)

Das Mittel aus zwei mit dem gewöhnlichen Wollaston'schen Goniometer erhaltenen Zahlen ist:

92° 57' 24''
93 1 40

Mittel = $92^{\circ} 59' 32''$ (B)

Endlich das Mittel aus:

(A) = $92^{\circ} 54' 0''$

(B) = $92 59 32$

Mittel = $92^{\circ} 56' 46''$

$u : u$ (Brachydiagonale Polkante).

Krystall № 1.

a) Vermittelst des Mitscherlich'schen Goniometers:

Eine Kante = $100^{\circ} 20' 50''$ gut.

b) Vermittelst des gewöhnlichen Wollaston'schen Goniometers:

Dieselbe Kante = $100^{\circ} 21'$ ziemlich gut.

100 12 »

100 32 »

100 20 »

100 24 »

100 37 »

Mittel = $100^{\circ} 24' 20''$

a) Vermittelst des Mitscherlich'schen Goniometers:

Zweite Kante = $100^{\circ} 30' 0''$ gut.

b) Vermittelst des gewöhnlichen Wollaston'schen Goniometers:

Dieselbe Kante = $100^{\circ} 30'$ ziemlich gut.

100 25 »

100 40 »

100 30 »

100 30 »

Mittel = $100^{\circ} 31' 0''$

Also:

Das Mittel aus zwei mit dem Mitscherlich'schen Goniometer erhaltenen Zahlen ist:

$100^{\circ} 20' 50''$

100 30 0

Mittel = $100^{\circ} 25' 25''$ (A)

Das Mittel aus zwei mit dem gewöhnlichen Wollaston'schen Goniometer erhaltenen Zahlen ist:

$100^{\circ} 24' 20''$

100 31 0

Mittel = $100^{\circ} 27' 40''$ (B)

Endlich das Mittel aus:

$$\begin{array}{r} (A) = 100^\circ 25' 25'' \\ (B) = 100 \quad 27 \quad 40 \\ \hline \text{Mittel} = 100^\circ 26' 33'' \end{array}$$

$u : u$ (Makrodiagonale Polkante).

Krystall № 1.

a) Vermittelst des Mitscherlich'schen Goniometers:

Eine Kante = $150^\circ 15' 0''$ gut (A).

b) Vermittelst des gewöhnlichen Wollaston'schen Goniometers:

Dieselbe Kante = $150^\circ 20'$ ziemlich gut.

$$\begin{array}{r} 150 \quad 30 \quad \triangleright \\ 150 \quad 25 \quad \triangleright \\ 150 \quad 30 \quad \triangleright \\ \hline \end{array}$$

$$\text{Mittel} = 150^\circ 26' 15'' \text{ (B)}$$

$u : a$ (anliegende).

Krystall № 1.

a) Vermittelst des Mitscherlich'schen Goniometers:

Eine Kante = $104^\circ 41' 0''$ mittelmässig.

b) Vermittelst des gewöhnlichen Wollaston'schen Goniometers:

Dieselbe Kante = $104^\circ 42'$ ziemlich gut.

$$\begin{array}{r} 104 \quad 42 \quad \triangleright \\ 104 \quad 46 \quad \triangleright \\ 104 \quad 42 \quad \triangleright \\ \hline \end{array}$$

$$\text{Mittel} = 104^\circ 43' 0''$$

a) Vermittelst des Mitscherlich'schen Goniometers:

Zweite Kante = $74^\circ 54' 0''$ (Compl. = $105^\circ 6' 0''$) gut.

b) Vermittelst des gewöhnlichen Wollaston'schen Goniometers:

Dieselbe Kante = 75° 0' ziemlich gut.

75 3 »

75 3 »

75 0 »

Mittel = 75° 1' 30'' (Compl. 104° 58' 30'')

Krystall № 2.

a) Vermittelst des gewöhnlichen Wollaston'schen Goniometers:

Eine Kante = 105° 0' ziemlich gut.

105 0 »

Mittel = 105° 0' 0''

Also:

Das Mittel aus zwei mit dem Mitscherlich'schen Goniometer erhaltenen Zahlen ist:

104° 41' 0''

105 6 0

Mittel = 104° 53' 30'' (A).

Das Mittel aus drei mit dem gewöhnlichen Wollaston'schen Goniometer erhaltenen Zahlen ist:

104° 43' 0''

104 58 30

105 0 0

Mittel = 104° 53' 50'' (B)

Endlich das Mittel:

(A) = 104° 53' 30''

(B) = 104 53 50

Mittel = 104° 53' 40'', was giebt:

die Neigung $u : u$ in den Makrodiagonalen Polkanten = $150^{\circ} 12' 40''$ (C);

Endlich für $u : u$ (Makrodiagonale Polkante) wir haben:

$$\begin{array}{r} (A) = 150^{\circ} 15' 0'' \\ (B) = 150 \quad 26 \quad 15 \\ (C) = 150 \quad 12 \quad 40 \\ \hline \text{Mittel} = 150^{\circ} 17' 58'' \end{array}$$

$u : g$ (anliegende)

Krystall № 1.

Vermittelst des Mitscherlich'schen Goniometers:

Eine Kante = $133^{\circ} 40' 0''$ gut.

Vermittelst des gewöhnlichen Wollaston'schen Goniometers:

$$\begin{array}{r} \text{Dieselbe Kante} = 133^{\circ} 50' \text{ gut.} \\ 133 \quad 50' \quad \text{»} \\ 133 \quad 45 \quad \text{»} \\ \hline \text{Mittel} = 133^{\circ} 48' 20' \end{array}$$

Vermittelst des Mitscherlich'schen Goniometers:

Zweite Kante = $46^{\circ} 31'$ (Compl. = $133^{\circ} 29'$) gut.

Vermittelst des gewöhnlichen Wollaston'schen Goniometers:

$$\begin{array}{r} \text{Dieselbe Kante} = 46^{\circ} 50' \text{ ziemlich gut.} \\ 46 \quad 45 \quad \text{»} \\ 46 \quad 30 \quad \text{»} \\ \hline \text{Mittel} = 46^{\circ} 41' 40'' \text{ (Compl. } 133^{\circ} 18' 20'') \end{array}$$

Vermittelst des Mitscherlich'schen Goniometers:

Dritte Kante = $133^{\circ} 37' 0''$ gut.

Also:

Das Mittel aus den drei mit dem Mitscherlich'schen Goniometer erhaltenen Zahlen wird:

$$\begin{array}{r} 133^{\circ} 40' 0'' \\ 133 \quad 29 \quad 0 \\ 133 \quad 37 \quad 0 \\ \hline \text{Mittel} = 133^{\circ} 35' 20'' \text{ (A)} \end{array}$$

Das Mittel aus den zwei mit dem gewöhnlichen Wollaston'schen Goniometer erhaltenen Zahlen wird:

$$\begin{array}{r} 133^{\circ} 48' 20'' \\ 133 \quad 18 \quad 20 \\ \hline \text{Mittel} = 133^{\circ} 33' 20'' \text{ (B)} \end{array}$$

Endlich das Mittel aus:

$$\begin{array}{r} \text{(A)} = 133^{\circ} 35' 20'' \\ \text{(B)} = 133 \quad 33 \quad 20 \\ \hline \text{Mittel} = 133^{\circ} 34' 20'' \end{array}$$

$m : a$ (anliegende)

Vermittelst des gewöhnlichen Wollaston'schen Goniometers:

Krystall № 1.

$$\begin{array}{r} \text{Eine Kante} = 140^{\circ} 15' \text{ mittelmässig} \\ 140 \quad 20 \quad \bullet \\ \hline \text{Mittel} = 140^{\circ} 17' 30'' \text{ (1)} \end{array}$$

Krystall № 2.

$$\begin{array}{r} \text{Eine Kante} = 140^{\circ} 30' \text{ mittelmässig} \\ 140 \quad 20 \quad \bullet \\ \hline \text{Mittel} = 140^{\circ} 25' 0'' \text{ (2)} \end{array}$$

Zweite Kante = $140^{\circ} 25'$ mittelmässig (3)

Krystall № 4.

Eine Kante = $140^{\circ} 15'$ mittelmässig (4)

Krystall № 5.

Eine Kante = $140^{\circ} 10'$ ziemlich

140 10 „

140 30 „

Mittel = $140^{\circ} 16' 40''$ (5)

Zweite Kante = $39^{\circ} 20'$ ziemlich

39 30 „

Mittel = $39^{\circ} 25' 0''$ (Compl. $140^{\circ} 35' 0''$) (6)

Krystall № 6.

Eine Kante = $140^{\circ} 8'$ ziemlich (7)

Krystall № 7.

Eine Kante = $140^{\circ} 10'$ ziemlich (8)

Krystall № 8.

Eine Kante = $140^{\circ} 20'$ ziemlich (9)

Also das Mittel a. d. Mess. (1), (2), (3), (4), (5), (6), (7), (8) u. (9):

(1) = $140^{\circ} 17' 30''$

(2) = 140 25 0

(3) = 140 25 0

(4) = 140 15 0

(5) = 140 16 40

(6) = 140 35 0

(7) = 140 8 0

(8) = 140 10 0

(9) = 140 20 0

$m : a$ im Mittel = $140^{\circ} 19' 8''$

$m : g$ (anliegende).

Vermittelst des gewöhnlichen Wollaston'schen Goniometers:

Krystall № 2.

Eine Kante = $151^{\circ} 40'$ ziemlich (1)
Zweite Kante = $151^{\circ} 50'$ » (2)

Krystall № 3.

Eine Kante = $151^{\circ} 29'$ ziemlich (3)
Zweite Kante = $151^{\circ} 40'$ » (4)

Krystall № 5.

Eine Kante = $151^{\circ} 7'$ ziemlich (5)

Krystall № 6.

Eine Kante = $151^{\circ} 30'$ ziemlich (6)

Krystall № 9.

Eine Kante = $151^{\circ} 47'$ ziemlich (7)

Also das Mittel aus den Messungen (1), (2), (3), (4), (5), (6), (7):

$$m : g = 151^{\circ} 34' 43''$$

$$m : g \text{ (über } b = \infty \text{)} \approx \infty$$

Vermittelst des gewöhnlichen Wollaston'schen Goniometers:

Krystall № 3.

Eine Kante = $107^{\circ} 55' 30''$ ziemlich (1)
Zweite Kante = $108^{\circ} 5' 0''$ » (2)

Krystall № 4.

Eine Kante = $107^{\circ} 54' 30''$ ziemlich (3)

Also das Mittel aus den Messungen (1), (2) und (3):

$$m : g \text{ (über } b) = 107^{\circ} 58' 20''$$

$g : a$ (anliegende)

Vermittelst des gewöhnlichen Wollaston'schen Goniometers:

Krystall № 2.

Eine Kante = $112^{\circ} 9'$ ziemlich (1)
Zweite Kante = $112 0$ » (2)
Dritte Kante = $112 0$ » (3)

Krystall № 4.

Eine Kante = $112^{\circ} 0'$ ziemlich (4)
Zweite Kante = $68^{\circ} 2'$ (Compl. $111^{\circ} 58'$) ziemlich (5)

Krystall № 5.

Eine Kante = $112^{\circ} 0'$ ziemlich (6)

Krystall № 7.

Eine Kante = $111^{\circ} 45'$ ziemlich (7)

Also das Mittel aus den Messungen (1), (2), (3), (4), (5), (6) und (7):

$$g : a = 111^{\circ} 58' 51''$$

$g : b$ (anliegende)

Vermittelst des gewöhnlichen Wollaston'schen Goniometers:

Krystall № 5.

Eine Kante = $158^{\circ} 0'$ mittelmässig
Zweite Kante = $157 40$ »

Mittel = $157^{\circ} 50' 0''$

$g : g$ (Makrodiagonale Kante).

Kr. № 2, Eine Kante = $136^{\circ} 35'$ ziemlich
Kr. № 3, » » = $136 26$ »
Kr. № 4, » » = $136 25$ »
Kr. № 5, » » = $136 10$ »

Mittel = $136^{\circ} 24' 0''$

$g : e$ (anliegende)

Vermittelt des gewöhnlichen Wollaston'schen Goniometers:

Krystall № 5.

Eine Kante = $144^{\circ} 5'$ ziemlich

= $144 \quad 0 \quad \text{»}$

Mittel = $144^{\circ} 2' 30''$

$\beta : \alpha$

Vermittelt des gewöhnlichen Wollaston'schen Goniometers:

Krystall № 2.

Eine Kante = $118^{\circ} 7'$ gut

$118 \quad 2 \quad \text{»}$

Mittel = $118^{\circ} 4' 30''$

Wenn wir jetzt die Winkel

$$\begin{cases} u : u \text{ (Makrodiagonale Kante)} = 150^{\circ} 15' 0'' \\ u : u \text{ (über } c = oP) = 92^{\circ} 54' 0'', \end{cases}$$

welche wir, vermittelt des Mitscherlich'schen Goniometers, durch ziemlich gute Messungen erhalten haben, in Rücksicht nehmen wollen, so berechnet man für die Grundform des *russischen Columbits* (vom Ilmgebirge am Ural) folgendes Axenverhältniss:

$$a : b : c = 0,882178 : 1 : 0,830216,$$

(wo a = Verticalaxe, b = Makrodiagonale und c = Brachydiagonale) ferner erhält man folgende Winkel, für:

$$\alpha = \frac{1}{3}P$$

$$\begin{array}{ll} \frac{1}{3}X = 71^{\circ} 13' 55'' & X = 142^{\circ} 27' 50'' \\ \frac{1}{3}Y = 74 \quad 30 \quad 27 & Y = 149 \quad 0 \quad 54 \\ \frac{1}{3}Z = 24 \quad 43 \quad 9 & Z = 49 \quad 26 \quad 18 \end{array}$$

$$\alpha = 73^{\circ} 36' 49''$$

$$\beta = 70 \quad 29 \quad 46$$

$$\gamma = 39 \quad 42 \quad 0$$

$$o = P$$

$$\begin{array}{ll} \frac{1}{2}X = 51^\circ 27' 3'' & X = 102^\circ 54' 6'' \\ \frac{1}{2}Y = 58 \ 50 \ 36 & Y = 117 \ 41 \ 12 \\ \frac{1}{2}Z = 54 \ 5 \ 33 & Z = 108 \ 11 \ 6 \end{array}$$

$$\alpha = 48^\circ 34' 55''$$

$$\beta = 43 \ 15 \ 43$$

$$\gamma = 39 \ 42 \ 0$$

$$\sigma = \frac{2}{3}\bar{P}2$$

$$\begin{array}{ll} \frac{1}{2}X = 55^\circ 47' 58'' & X = 111^\circ 35' 56'' \\ \frac{1}{2}Y = 76 \ 30 \ 25 & Y = 153 \ 0 \ 50 \\ \frac{1}{2}Z = 37 \ 29 \ 18 & Z = 74 \ 58 \ 36 \end{array}$$

$$\alpha = 73^\circ 36' 49''$$

$$\beta = 54 \ 41 \ 12$$

$$\gamma = 22 \ 32 \ 37$$

$$x = 2\bar{P}2$$

$$\begin{array}{ll} \frac{1}{2}X = 32^\circ 6' 26'' & X = 64^\circ 12' 52'' \\ \frac{1}{2}Y = 69 \ 24 \ 49 & Y = 138 \ 49 \ 38 \\ \frac{1}{2}Z = 66 \ 30 \ 38 & Z = 133 \ 1 \ 16 \end{array}$$

$$\alpha = 48^\circ 34' 55''$$

$$\beta = 25 \ 11 \ 57$$

$$\gamma = 22 \ 32 \ 37$$

$$\beta = \tilde{P}\frac{3}{2}$$

$$\begin{array}{ll} \frac{1}{2}X = 62^\circ 1' 18'' & X = 124^\circ 2' 36'' \\ \frac{1}{2}Y = 54 \ 15 \ 5 & Y = 108 \ 30 \ 10 \\ \frac{1}{2}Z = 48 \ 31 \ 40 & Z = 97 \ 3 \ 20 \end{array}$$

$$\alpha = 48^\circ 34' 55''$$

$$\beta = 54 \ 41 \ 12$$

$$\gamma = 51 \ 14 \ 7$$

$$u = \check{P}3$$

$$\begin{array}{ll} \frac{1}{2}X = 75^\circ 7' 30'' & X = 150^\circ 15' 0'' \\ \frac{1}{2}Y = 50 15 17 & Y = 100 30 34 \\ \frac{1}{2}Z = 43 33 0 & Z = 87 6 0 \end{array}$$

$$\alpha = 48^\circ 34' 55''$$

$$\beta = 70 29 46$$

$$\gamma = 68 7 28$$

$$t = 2\check{P}\frac{3}{2}$$

$$\begin{array}{ll} \frac{1}{2}X = 55^\circ 3' 43'' & X = 110^\circ 7' 26'' \\ \frac{1}{2}Y = 44 30 19 & Y = 89 0 38 \\ \frac{1}{2}Z = 66 9 28 & Z = 132 18 56 \end{array}$$

$$\alpha = 29^\circ 32' 37''$$

$$\beta = 35 12 55$$

$$\gamma = 51 14 7$$

$$\pi = 2\check{P}2$$

$$\begin{array}{ll} \frac{1}{2}X = 62^\circ 20' 52'' & X = 124^\circ 41' 44'' \\ \frac{1}{2}Y = 39 35 28 & Y = 79 10 56 \\ \frac{1}{2}Z = 64 6 8 & Z = 128 12 16 \end{array}$$

$$\alpha = 29^\circ 32' 37''$$

$$\beta = 43 15 43$$

$$\gamma = 58 56 29$$

$$s = 2\check{P}3$$

$$\begin{array}{ll} \frac{1}{2}X = 70^\circ 44' 45'' & X = 141^\circ 29' 30'' \\ \frac{1}{2}Y = 34 46 59 & Y = 69 33 58 \\ \frac{1}{2}Z = 62 15 26 & Z = 124 30 52 \end{array}$$

$$\alpha = 29^\circ 32' 37''$$

$$\beta = 54 41 12$$

$$\gamma = 68 7 28$$

$$n = 2\check{P}6$$

$$\begin{array}{ll} \frac{1}{2}X = 80^\circ 5' 36'' & X = 160^\circ 11' 12'' \\ \frac{1}{2}Y = 31 1 4 & Y = 62 2 8 \\ \frac{1}{2}Z = 60 56 22 & Z = 121 52 44 \end{array}$$

$$\alpha = 29^\circ 32' 37''$$

$$\beta = 70 29 46$$

$$\gamma = 78 38 55$$

$$p = 4\check{P}12$$

$$\begin{array}{ll} \frac{1}{2}X = 84^\circ 29' 2'' & X = 168^\circ 58' 4'' \\ \frac{1}{2}Y = 16 43 59 & Y = 33 27 58 \\ \frac{1}{2}Z = 74 15 11 & Z = 148 30 22 \end{array}$$

$$\alpha = 15^\circ 49' 20''$$

$$\beta = 70 29 46$$

$$\gamma = 84 16 5$$

$$r = 9\check{P}3$$

$$\begin{array}{ll} \frac{1}{2}X = 68^\circ 16' 48'' & X = 136^\circ 33' 36'' \\ \frac{1}{2}Y = 22 49 15 & Y = 45 38 30 \\ \frac{1}{2}Z = 83 20 0 & Z = 166 40 0 \end{array}$$

$$\alpha = 7^\circ 10' 43''$$

$$\beta = 17 25 0$$

$$\gamma = 68 7 28$$

$$m = \infty P$$

$$\begin{array}{ll} \frac{1}{2}X = 39^\circ 42' 0'' & X = 79^\circ 24' 0'' \\ \frac{1}{2}Y = 50 18 0 & Y = 100 36 0 \end{array}$$

$$z = \infty \check{P}\frac{3}{2}$$

$$\begin{array}{ll} \frac{1}{2}X = 26^\circ 28' 45'' & X = 52^\circ 57' 30'' \\ \frac{1}{2}Y = 63 31 15 & Y = 127 2 30 \end{array}$$

$$y = \infty \bar{P}2$$

$$\begin{array}{ll} \frac{1}{3}X = 22^\circ 32' 37'' & X = 45^\circ 5' 14'' \\ \frac{1}{3}Y = 67 \ 27 \ 23 & Y = 134 \ 54 \ 46 \end{array}$$

$$g = \infty \check{P}3$$

$$\begin{array}{ll} \frac{1}{3}X = 68^\circ 7' 28'' & X = 136^\circ 14' 56'' \\ \frac{1}{3}Y = 21 \ 52 \ 32 & Y = 43 \ 45 \ 4 \end{array}$$

$$l = \frac{1}{6} \bar{P}\infty$$

$$\begin{array}{ll} \frac{1}{3}X = 79^\circ 57' 26'' & X = 159^\circ 54' 52'' \\ \frac{1}{3}Z = 10 \ 2 \ 34 & Z = 20 \ 5 \ 8 \end{array}$$

$$k = \frac{1}{3} \bar{P}\infty$$

$$\begin{array}{ll} \frac{1}{3}X = 70^\circ 29' 46'' & X = 140^\circ 59' 32'' \\ \frac{1}{3}Z = 19 \ 30 \ 14 & Z = 39 \ 0 \ 28 \end{array}$$

$$f = \frac{1}{3} \bar{P}\infty$$

$$\begin{array}{ll} \frac{1}{3}X = 62^\circ 1' 7'' & X = 124^\circ 2' 14'' \\ \frac{1}{3}Z = 27 \ 58 \ 53 & Z = 55 \ 57 \ 46 \end{array}$$

$$h = \frac{2}{3} \bar{P}\infty$$

$$\begin{array}{ll} \frac{1}{3}X = 54^\circ 41' 12'' & X = 109^\circ 22' 24'' \\ \frac{1}{3}Z = 35 \ 18 \ 48 & Z = 70 \ 37 \ 36 \end{array}$$

$$i = \check{P}\infty$$

$$\begin{array}{ll} \frac{1}{3}Y = 48^\circ 34' 55'' & Y = 97^\circ 9' 50'' \\ \frac{1}{3}Z = 41 \ 25 \ 5 & Z = 82 \ 50 \ 10 \end{array}$$

$$e = 2 \bar{P}\infty$$

$$\begin{array}{ll} \frac{1}{3}Y = 29^\circ 32' 37'' & Y = 59^\circ 5' 14'' \\ \frac{1}{3}Z = 60 \ 27 \ 23 & Z = 120 \ 54 \ 46 \end{array}$$

Ferner erhält man folgende Combinationswinkel:

Nach Rechnung aus Kokscharow's Axenverhältniss.

Nach Kokscharow's

Mess. russ. Krystalle.

$\alpha : a$	$= 108^\circ 46' 5''$
$\alpha : b$	$= 105 \quad 29 \quad 33$
$\alpha : c$	$= 155 \quad 16 \quad 51$
$\alpha : u$ anliegende	$\left. \vphantom{\alpha : u} \right\} = 155 \quad 44 \quad 50$
$\alpha : m$ anliegende	$\left. \vphantom{\alpha : m} \right\} = 114 \quad 43 \quad 9$
$\alpha : k$ anliegende	$\left. \vphantom{\alpha : k} \right\} = 164 \quad 30 \quad 27$
$\alpha : n$ anliegende	$\left. \vphantom{\alpha : n} \right\} = 136 \quad 30 \quad 37$
$\alpha : \varphi$ anliegende	$\left. \vphantom{\alpha : \varphi} \right\} = 122 \quad 13 \quad 32$
$\alpha : o$ anliegende	$\left. \vphantom{\alpha : o} \right\} = 150 \quad 37 \quad 36$
$o : a$	$= 128 \quad 32 \quad 57$
$o : b$	$= 121 \quad 9 \quad 24$
$o : c$	$= 125 \quad 54 \quad 27$
$o : m$ anliegende	$\left. \vphantom{o : m} \right\} = 144 \quad 5 \quad 33$
$o : g$ anliegende	$\left. \vphantom{o : g} \right\} = 135 \quad 25 \quad 26$
$o : \beta$ anliegende	$\left. \vphantom{o : \beta} \right\} = 169 \quad 25 \quad 45$
$o : u$ anliegende	$\left. \vphantom{o : u} \right\} = 156 \quad 19 \quad 33$
$o : e$ anliegende	$\left. \vphantom{o : e} \right\} = 137 \quad 40 \quad 17$
$o : k$ anliegende	$\left. \vphantom{o : k} \right\} = 139 \quad 32 \quad 34$
$o : l$ anliegende	$\left. \vphantom{o : l} \right\} = 133 \quad 19 \quad 39$
$o : f$ anliegende	$\left. \vphantom{o : f} \right\} = 144 \quad 7 \quad 35$

Nach Rechnung aus Kokscharow's Axenverhältnissen.

Nach Kokscharow's
Mess. russ. Krystalle.

$$o : x \left. \begin{array}{l} \text{anliegende} \end{array} \right\} = 160^\circ 39' 23''$$

$$o : \pi = 160 \quad 44 \quad 52$$

$$o : o \left. \begin{array}{l} \text{über } c \end{array} \right\} = 71 \quad 48 \quad 54$$

$$o : o \left. \begin{array}{l} \text{in } X \end{array} \right\} = 102 \quad 54 \quad 6$$

$$o : o \left. \begin{array}{l} \text{in } Y \end{array} \right\} = 117 \quad 41 \quad 12$$

$$o : i \left. \begin{array}{l} \text{anliegende} \end{array} \right\} = 141 \quad 27 \quad 3$$

$$x : a = 147 \quad 53 \quad 34$$

$$x : b = 110 \quad 35 \quad 11$$

$$x : c = 113 \quad 29 \quad 22$$

$$x : u \left. \begin{array}{l} \text{anliegende} \end{array} \right\} = 136 \quad 58 \quad 56$$

$$x : \beta \left. \begin{array}{l} \text{anliegende} \end{array} \right\} = 150 \quad 5 \quad 8$$

$$\beta : a = 117 \quad 58 \quad 42 \quad \dots \text{Woll. G.} = 118^\circ 4' 30''$$

$$\beta : b = 125 \quad 44 \quad 55$$

$$\beta : c = 131 \quad 28 \quad 20$$

$$\beta : u \left. \begin{array}{l} \text{anliegende} \end{array} \right\} = 166 \quad 53 \quad 48$$

$$\beta : e \left. \begin{array}{l} \text{anliegende} \end{array} \right\} = 146 \quad 35 \quad 49$$

$$\beta : t \left. \begin{array}{l} \text{anliegende} \end{array} \right\} = 162 \quad 22 \quad 12$$

$$\beta : \sigma \left. \begin{array}{l} \text{anliegende} \end{array} \right\} = 157 \quad 44 \quad 40$$

$$\beta : s \left. \begin{array}{l} \text{anliegende} \end{array} \right\} = 160 \quad 31 \quad 54$$

$$\beta : h \left. \begin{array}{l} \text{anliegende} \end{array} \right\} = 144 \quad 15 \quad 5$$

Nach Rechnung aus Kokscharow's Axenverhältniss.

Nach Kokscharow's
Mess. russ. Krystall.

$$\left. \begin{array}{l} \beta : i \\ \text{anliegende} \end{array} \right\} = 152^\circ 1' 18''$$

$$\left. \begin{array}{l} \beta : \beta \\ \text{in X} \end{array} \right\} = 124 \quad 2 \quad 36$$

$$\left. \begin{array}{l} \beta : u \\ \text{anliegende} \end{array} \right\} = 166 \quad 53 \quad 48$$

$$\sigma : a = 124 \quad 12 \quad 2$$

$$\sigma : b = 103 \quad 29 \quad 35$$

$$\sigma : c = 142 \quad 30 \quad 42$$

$$\left. \begin{array}{l} \sigma : k \\ \text{anliegende} \end{array} \right\} = 159 \quad 19 \quad 40$$

$$u : a = 104 \quad 52 \quad 30 \left\{ \begin{array}{l} \text{Mitsch. G.} = 104^\circ 53' 30'' \\ \text{Woll. G.} = 104 \quad 53 \quad 50 \\ \hline \text{Mittel} = 104^\circ 53' 40'' \end{array} \right.$$

$$u : b = 129 \quad 44 \quad 43$$

$$u : c = 136 \quad 27 \quad 0$$

$$\left. \begin{array}{l} u : m \\ \text{anliegende} \end{array} \right\} = 127 \quad 17 \quad 45$$

$$\left. \begin{array}{l} u : g \\ \text{anliegende} \end{array} \right\} = 133 \quad 33 \quad 0 \left\{ \begin{array}{l} \text{Mitsch. G.} = 133^\circ 35' 20'' \\ \text{Woll. G.} = 133 \quad 33 \quad 20 \\ \hline \text{Mittel} = 133^\circ 34' 20'' \end{array} \right.$$

$$\left. \begin{array}{l} u : l \\ \text{anliegende} \end{array} \right\} = 139 \quad 19 \quad 35$$

$$\left. \begin{array}{l} u : k \\ \text{anliegende} \end{array} \right\} = 140 \quad 15 \quad 17$$

$$\left. \begin{array}{l} u : e \\ \text{anliegende} \end{array} \right\} = 156 \quad 0 \quad 39$$

$$\left. \begin{array}{l} u : i \\ \text{anliegende} \end{array} \right\} = 165 \quad 7 \quad 30$$

$$\left. \begin{array}{l} u : s \\ \text{anliegende} \end{array} \right\} = 161 \quad 17 \quad 34$$

Nach Rechnung aus Kokscharow's Axenverhältniss.

Nach Kokscharow's
Mess. russ. Krystalle.

$$\left. \begin{array}{l} u : r \\ \text{anliegende} \end{array} \right\} = 140^{\circ} 13' 0''$$

$$\left. \begin{array}{l} u : n \\ \text{anliegende} \end{array} \right\} = 160 \quad 45 \quad 47$$

$$\left. \begin{array}{l} u : \varphi \\ \text{anliegende} \end{array} \right\} = 146 \quad 28 \quad 42$$

$$\left. \begin{array}{l} u : t \\ \text{anliegende} \end{array} \right\} = 153 \quad 38 \quad 3$$

$$\left. \begin{array}{l} u : u \\ \text{über } c \end{array} \right\} = 92 \quad 54 \quad 0 \left\{ \begin{array}{l} \text{Mitsch. G.} = 92^{\circ} 54' 0'' \\ \text{Woll. G.} = 92 \quad 59 \quad 32 \\ \hline \text{Mittel} = 92^{\circ} 56' 46'' \end{array} \right.$$

$$\left. \begin{array}{l} u : u \\ \text{in X} \end{array} \right\} = 150 \quad 15 \quad 0 \left\{ \begin{array}{l} \text{Mitsch. G.} = 150^{\circ} 15' 0'' \\ \text{Woll. G.} = 150 \quad 26 \quad 15 \\ \text{W.G. aus } u : a = 150 \quad 12 \quad 40 \\ \hline \text{Mittel} = 150^{\circ} 17' 58'' \end{array} \right.$$

$$\left. \begin{array}{l} u : u \\ \text{in Y} \end{array} \right\} = 100 \quad 30 \quad 34 \left\{ \begin{array}{l} \text{Mitsch. G.} = 100^{\circ} 25' 25'' \\ \text{Woll. G.} = 100 \quad 27 \quad 40 \\ \hline \text{Mittel} = 100^{\circ} 26' 33'' \end{array} \right.$$

$$t : a = 124 \quad 56 \quad 17$$

$$t : b = 135 \quad 29 \quad 41$$

$$t : c = 113 \quad 50 \quad 32$$

$$\left. \begin{array}{l} t : m \\ \text{anliegende} \end{array} \right\} = 153 \quad 39 \quad 41$$

$$\left. \begin{array}{l} t : n \\ \text{anliegende} \end{array} \right\} = 154 \quad 58 \quad 7$$

$$\left. \begin{array}{l} t : s \\ \text{anliegende} \end{array} \right\} = 164 \quad 18 \quad 58$$

$$\pi : a = 117 \quad 39 \quad 8$$

$$\pi : b = 140 \quad 24 \quad 32$$

$$\pi : c = 115 \quad 53 \quad 52$$

Nach Rechnung aus Kokscharow's Axenverhältniss.

Nach Kokscharow's
Mess. russ. Krystalle.

$\pi : t$	}	= 172° 42' 51''
anliegende		
$\pi : m$	}	= 148 8 16
anliegende		
$\pi : s$	}	= 171 36 7
anliegende		
$\pi : e$	}	= 152 20 52
anliegende		
$\pi : n$	}	= 162 15 16
anliegende		
$s : a$		= 109 15 15
$s : b$		= 145 13 1
$s : c$		= 117 44 34
$s : g$	}	= 152 15 26
anliegende		
$s : e$	}	= 160 44 45
anliegende		
$s : h$	}	= 124 46 59
anliegende		
$s : r$	}	= 158 55 26
anliegende		
$s : n$	}	= 170 39 9
anliegende		
$n : a$		= 99 54 24
$n : b$		= 148 58 56
$n : c$		= 119 3 38
$n : m$	}	= 132 49 40
anliegende		
$n : g$	}	= 149 14 58
anliegende		
$n : k$	}	= 121 1 4
anliegende		
$n : l$	}	= 120 33 1
anliegende		

Nach Rechnung aus Kokscharow's Axenverhältniss.

Nach Kokscharow's
Mess. russ. Krystalle.

$n : \varphi$ anliegende	}	= 165° 42' 55"	
$n : e$ anliegende			
$n : n$ in X	}	= 160 11 12	
$n : n$ in Y			
$\varphi : a$		= 95 30 58	
$\varphi : b$		= 163 16 1	
$\varphi : c$		= 105 44 49	
$r : a$		= 111 43 12	
$r : b$		= 157 10 45	
$r : c$		= 96 40 0	
$r : g$ anliegende	}	= 173 20 0	
$m : a$			
$m : a$		= 140 18 0	Woll. G. = 140° 19' 8"
$m : b$		= 129 42 0	
$m : c$		= 90 0 0	
$m : g$ anliegende	}	= 151 34 32	Woll. G. = 151° 34' 43"
$m : g$ über b			
$m : z$ anliegende	}	= 107 49 28	Woll. G. = 107° 58' 20"
$m : y$ anliegende			
$m : l$ anliegende	}	= 166 46 45	
$m : y$ anliegende			
$m : l$ anliegende	}	= 162 50 37	
$m : l$ anliegende			
$m : l$ anliegende	}	= 97 42 38	
$m : l$ anliegende			
$m : k$ anliegende	}	= 104 53 6	
$m : k$ anliegende			
$m : e$ anliegende	}	= 123 45 36	
$m : e$ anliegende			

Nach Rechnung aus Kokscharow's Axenverhältniss.

Nach Kokscharow's
Mess. russ. Krystalle.

$m : m$ in X	} = 79° 24' 0''	
$m : m$ in Y	} = 100 36 0	
$z : a$	= 153 31 15	
$z : b$	= 116 28 45	
$z : c$	= 90 0 0	
$z : g$ anliegende	} = 138 21 17	
$z : e$ anliegende	} = 112 49 26	
$z : l$ anliegende	} = 98 58 48	
$z : k$ anliegende	} = 107 23 18	
$z : z$ in X	} = 52 57 30	
$z : z$ in Y	} = 127 2 30	
$g : a$	= 111 52 32	Woll. G. = 111° 58' 51''
$g : b$	= 158 7 28	Woll. G. = 157° 50' 0''
$g : c$	= 90 0 0	
$g : y$ anliegende	} = 134 25 9	
$g : e$ anliegende	} = 143 50 12	Woll. G. = 144° 2' 30''
$g : l$ anliegende	} = 93 43 31	
$g : k$ anliegende	} = 97 8 45	
$g : f$ anliegende	} = 100 4 5	
$g : h$ anliegende	} = 102 26 15	

Nach Rechnung aus Kokscharow's Axenverhältniss.

Nach Kokscharow's
Mess. russ. Krystalle.

$$\left. \begin{array}{l} g : i \\ \text{anliegende} \end{array} \right\} = 127^\circ 52' 23''$$

$$\left. \begin{array}{l} g : g \\ \text{in } \bar{X} \end{array} \right\} = 136 \quad 14 \quad 56 \quad \text{Woll. G.} = 136^\circ 24' 0''$$

$$(\text{Gr.} = 136^\circ 10' - 136^\circ 35'')$$

$$\left. \begin{array}{l} g : g \\ \text{in } \bar{Y} \end{array} \right\} = 43 \quad 45 \quad 4$$

$$y : a = 157 \quad 27 \quad 23$$

$$y : b = 112 \quad 32 \quad 37$$

$$y : c = 90 \quad 0 \quad 0$$

$$l : a = 100 \quad 2 \quad 34$$

$$l : b = 90 \quad 0 \quad 0$$

$$l : c = 169 \quad 57 \quad 26$$

$$\left. \begin{array}{l} l : k \\ \text{anliegende} \end{array} \right\} = 170 \quad 32 \quad 20$$

$$\left. \begin{array}{l} l : f \\ \text{anliegende} \end{array} \right\} = 162 \quad 3 \quad 41$$

$$\left. \begin{array}{l} l : h \\ \text{anliegende} \end{array} \right\} = 154 \quad 43 \quad 46$$

$$k : a = 109 \quad 30 \quad 14$$

$$k : b = 90 \quad 0 \quad 0$$

$$k : c = 160 \quad 29 \quad 46$$

$$f : a = 117 \quad 58 \quad 53$$

$$f : b = 90 \quad 0 \quad 0$$

$$f : c = 152 \quad 1 \quad 7$$

$$h : a = 125 \quad 18 \quad 48$$

$$h : b = 90 \quad 0 \quad 0$$

$$h : c = 144 \quad 41 \quad 12$$

$$i : a = 90 \quad 0 \quad 0$$

$$i : b = 131 \quad 25 \quad 5$$

$$i : c = 138 \quad 34 \quad 55$$

$$e : a = 90 \quad 0 \quad 0$$

$$e : b = 150 \quad 27 \quad 23$$

$$e : c = 119 \quad 32 \quad 37$$

$$\left. \begin{array}{l} e : e \\ \text{in } \bar{Y} \end{array} \right\} = 59 \quad 5 \quad 14$$

Die Combinationen, welche ich an Columbit-Krystallen vom Ilmengebirge beobachtet habe, sind hier auf den horizontalen Projectionen abgebildet (Fig. 1, 2 und 3):

Fig. 1.

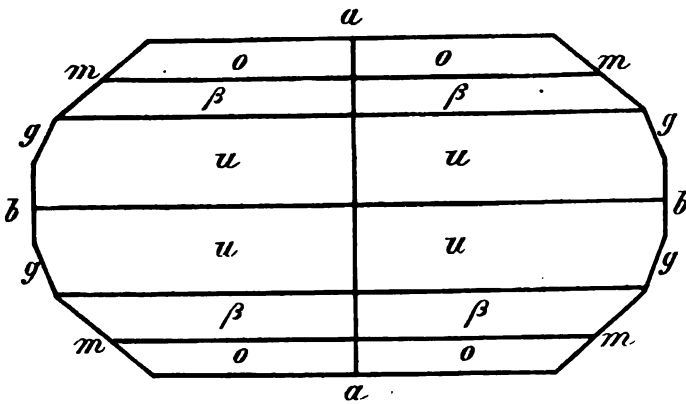


Fig. 2.

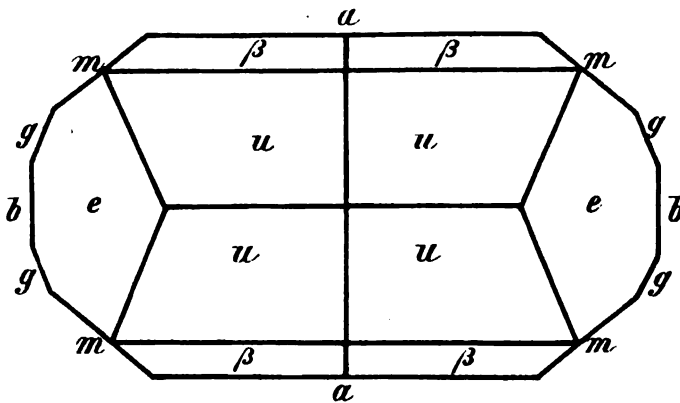
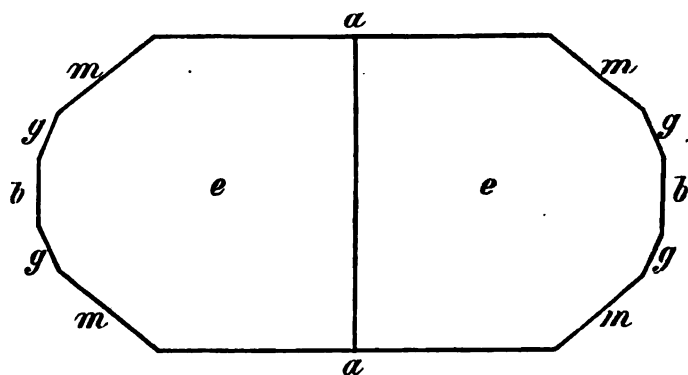


Fig. 3.



Die wichtigsten Krystallformen, welche in den russischen Columbit-Krystallen vorkommen, sind also folgende:

$$a = (\infty a : \infty b : c) = \infty \bar{P} \infty$$

$$b = (\infty a : b : \infty c) = \infty \bar{P} \infty$$

$$c = (a : \infty b : \infty c) = oP$$

$$m = (\infty a : b : c) = \infty P$$

$$g = (\infty a : b : 3c) = \infty \bar{P} 3$$

$$e = (2a : b : \infty c) = 2\bar{P} \infty$$

$$o = (a : b : c) = P$$

$$\beta = (a : b : \frac{3}{2}c) = \bar{P} \frac{3}{2}$$

$$u = (a : b : 3c) = \bar{P} 3$$

Das in den Columbit-Krystallen aus anderen Fundorten so oft vorkommende basische Pinakoid habe ich in den von mir untersuchten russischen Krystallen nicht beobachtet; doch sagt Auerbach in seiner Abhandlung ¹⁾ unter anderem: «die sonst so häufige gerade Endfläche

¹⁾ Journal für praktische Chemie von O. L. Erdmann und R. F. Marchand, 1846, Bd. XXXVIII, S. 121.

»kommt an den ilmenischen Columbit-Krystallen nur selten vor.« Die Flächen sind oft ziemlich glatt und glänzend von Metallglanz, mit Ausnahme des basischen Pinakoids $c = oP$, dessen Flächen, wie Auerbach erwähnt, fast immer ganz matt und drusig sind. Specifisches Gewicht, bei drei Versuchen mit verschiedenen Krystallen, hat R. Hermann gefunden = 5,43; 5,55 und 5,73, also im Mittel = 5,57.

Den Columit im Ilmengebirge findet man zusammen mit Samarskit auf der Ostseite des Ilmensees, auf einem Granitgange im Miascit. Die hiesigen Columbitkrystalle sind oft innig mit Samarskit-Krystalle verwachsen. Es scheint, dass die beiden Mineralien eine und dieselbe Krystallform haben. Nach den Untersuchungen von R. Hermann ¹⁾, ist das Löthrorverhalten des ilmenischen Columbites folgendes:

Im Kolben erhitzt, verändert sich das Mineral nicht und giebt kein Wasser. In der Zange erhitzt, bleibt es ganz unverändert und schmilzt nicht. In Borax löst sich das Mineral in der äusseren Flamme zu einem rothbraunen Glase, das in der inneren Flamme lichter wird. Phosphorsalz wie Borax.

Nach der chemischen Analyse von R. Hermann besteht der ilmenische Columbit aus:

Tantalähnliche Substanzen	80,47
Eisenoxydul	8,50
Manganoxydul	6,09
Magnesia	2,44
Yttererde	2,00
Uranoxydul	0,50
	100,00

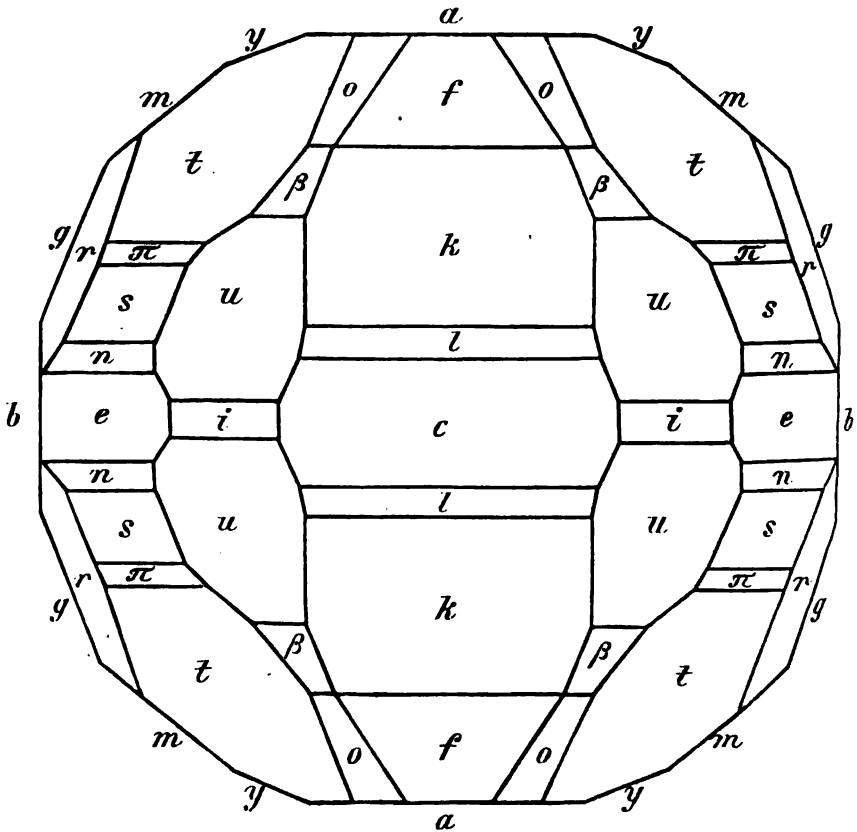
¹⁾ Journal für praktische Chemie von O. L. Erdmann und R. F. Marchand, 1846, Bd. XXXVIII, S. 122.

R. Hermann bemerkt dabei, dass das Uranoxydul und die Yttererde offenbar vom beibrechenden Samarskit herrühren, der gewöhnlich so innig mit dem Columbit verwachsen ist, dass es schwer hält ganz reine Stücke zu erhalten. Magnesia dagegen vertritt Manganoxydul.

Messungen der grönländischen und anderen Columbit-Krystalle.

Die Columbit-Krystalle aus Grönland (schöne im Kryolith eingewachsene Krystalle von Evigtok am Arksutfjord) wurden sehr ausführlich von A. Descloizeaux beschrieben und gemessen.

Fig. 4.



Die von Descloizeaux gemessenen Krystalle waren ziemlich complicirt und zeigten die Combinationen, welche der hier beigefügten Figur 4 ähnlich waren.

Unter dieser grossen Menge von Formen hat Descloizeaux zum ersten Mal als neue folgende erkannt: ¹⁾

$$\begin{aligned} (a^2) f &= (\frac{1}{2}a : \infty b : c) = \frac{1}{2}\bar{P}\infty \\ \beta &= (a : b : \frac{3}{2}c) = \bar{P}\frac{3}{2} \\ (e') i &= (a : b : \infty c) = \bar{P}\infty \\ t &= (2a : b : \frac{3}{2}c) = 2\bar{P}\frac{3}{2} \\ (e_3) \pi &= (2a : b : 2c) = 2\bar{P}2 \\ s &= (2a : b : 3c) = 2\bar{P}3 \\ r &= (9a : b : 3c) = 9\bar{P}3 \end{aligned}$$

Wenn wir als Data für die Berechnungen folgende von Descloizeaux in seiner Tabelle gegebenen Winkel annehmen:

$$\begin{aligned} o : a &= 128^\circ 30' 0'' \\ m : a &= 140^\circ 20' 0'' \end{aligned}$$

so erhalten wir als Axenverhältniss der Grundform:

$$a : b : c = 0,877577 : 1 : 0,829234 \text{ (für grönländische Kr.)}$$

und aus diesem Axenverhältnisse, berechnen sich für die grönländischen Krystalle, nach Descloizeaux's Messungen, folgende Winkel:

$$\begin{aligned} \alpha &= \frac{1}{3}P. \\ \frac{1}{2}X &= 71^\circ 17' 42'' & X &= 142^\circ 35' 24'' \\ \frac{1}{2}Y &= 74 \quad 34 \quad 40 & Y &= 149 \quad 9 \quad 20 \\ \frac{1}{2}Z &= 24 \quad 37 \quad 15 & Z &= 49 \quad 14 \quad 30 \\ \alpha &= 73^\circ 41' 40'' \\ \beta &= 70 \quad 34 \quad 8 \\ \gamma &= 39 \quad 40 \quad 0 \end{aligned}$$

¹⁾ Hier stehen neben den Buchstaben, welche in meinem Werke schon angenommen sind, in Klammern die von Descloizeaux.

$$o = P$$

$$\begin{array}{ll} \frac{1}{2}X = 51^\circ 30' 0'' & X = 103^\circ 0' 0'' \\ \frac{1}{2}Y = 58 55 18 & Y = 117 50 36 \\ \frac{1}{2}Z = 53 58 9 & Z = 107 56 18 \end{array}$$

$$\alpha = 48^\circ 43' 50''$$

$$\beta = 43 22 40$$

$$\gamma = 39 40 0$$

$$\sigma = \frac{2}{3}P2$$

$$\begin{array}{ll} \frac{1}{2}X = 55^\circ 53' 46'' & X = 111^\circ 47' 32'' \\ \frac{1}{2}Y = 76 33 26 & Y = 153 6 52 \\ \frac{1}{2}Z = 37 22 18 & Z = 74 44 36 \end{array}$$

$$\alpha = 73^\circ 41' 40''$$

$$\beta = 54 47 45$$

$$\gamma = 22 31 11$$

$$x = 2\bar{P}2$$

$$\begin{array}{ll} \frac{1}{2}X = 32^\circ 9' 11'' & X = 64^\circ 18' 22'' \\ \frac{1}{2}Y = 69 27 0 & Y = 138 54 0 \\ \frac{1}{2}Z = 66 25 19 & Z = 132 50 38 \end{array}$$

$$\alpha = 48^\circ 43' 50''$$

$$\beta = 25 17 20$$

$$\gamma = 22 31 11$$

$$\beta = \check{P}\frac{3}{2}$$

$$\begin{array}{ll} \frac{1}{2}X = 62^\circ 3' 49'' & X = 124^\circ 7' 38'' \\ \frac{1}{2}Y = 54 21 25 & Y = 108 42 50 \\ \frac{1}{2}Z = 48 23 32 & Z = 96 47 4 \end{array}$$

$$\alpha = 48^\circ 43' 50''$$

$$\beta = 54 47 45$$

$$\gamma = 51 12 8$$

$$u = \check{P}3$$

$$\begin{array}{ll} \frac{1}{2}X = 75^\circ 9' 0'' & X = 150^\circ 18' 0'' \\ \frac{1}{2}Y = 50 23 20 & Y = 100 46 40 \\ \frac{1}{2}Z = 43 24 19 & Z = 86 48 38 \end{array}$$

$$\alpha = 48^\circ 43' 50''$$

$$\beta = 70 34 8$$

$$\gamma = 68 6 4$$

$$t = 2\check{P}\frac{1}{2}$$

$$\begin{array}{ll} \frac{1}{2}X = 55^\circ 3' 53'' & X = 110^\circ 7' 46'' \\ \frac{1}{2}Y = 44 34 39 & Y = 89 9 18 \\ \frac{1}{2}Z = 66 3 25 & Z = 132 6 50 \end{array}$$

$$\alpha = 29^\circ 40' 20''$$

$$\beta = 35 19 29$$

$$\gamma = 51 12 8$$

$$\pi = 2\check{P}2$$

$$\begin{array}{ll} \frac{1}{2}X = 62^\circ 21' 0'' & X = 124^\circ 42' 0'' \\ \frac{1}{2}Y = 39 40 40 & Y = 79 21 20 \\ \frac{1}{2}Z = 63 59 30 & Z = 127 59 0 \end{array}$$

$$\alpha = 29^\circ 40' 20''$$

$$\beta = 43 22 40$$

$$\gamma = 58 54 41$$

$$s = 2\check{P}3$$

$$\begin{array}{ll} \frac{1}{2}X = 70^\circ 44' 51'' & X = 141^\circ 29' 42'' \\ \frac{1}{2}Y = 34 53 14 & Y = 69 46 28 \\ \frac{1}{2}Z = 62 8 15 & Z = 124 16 30 \end{array}$$

$$\alpha = 29^\circ 40' 20''$$

$$\beta = 54 47 45$$

$$\gamma = 68 6 4$$

$$n = 2\bar{P}6$$

$$\begin{array}{ll} \frac{1}{2}X = 80^\circ 5' 39'' & X = 160^\circ 11' 18'' \\ \frac{1}{2}Y = 31 \quad 8 \quad 20 & Y = 62 \quad 16 \quad 40 \\ \frac{1}{2}Z = 60 \quad 48 \quad 48 & Z = 121 \quad 37 \quad 36 \end{array}$$

$$\alpha = 29^\circ 40' 20''$$

$$\beta = 70 \quad 34 \quad 8$$

$$\gamma = 78 \quad 38 \quad 8$$

$$\varphi = 4\bar{P}12$$

$$\begin{array}{ll} \frac{1}{2}X = 84^\circ 28' 47'' & X = 168^\circ 57' 34'' \\ \frac{1}{2}Y = 16 \quad 48 \quad 30 & Y = 33 \quad 37 \quad 0 \\ \frac{1}{2}Z = 74 \quad 10 \quad 29 & Z = 148 \quad 20 \quad 58 \end{array}$$

$$\alpha = 15^\circ 54' 3''$$

$$\beta = 70 \quad 34 \quad 8$$

$$\gamma = 84 \quad 15 \quad 41$$

$$r = 9\bar{P}3$$

$$\begin{array}{ll} \frac{1}{2}X = 68^\circ 15' 30'' & X = 136^\circ 31' 0'' \\ \frac{1}{2}Y = 22 \quad 51 \quad 10 & Y = 45 \quad 42 \quad 20 \\ \frac{1}{2}Z = 83 \quad 18 \quad 0 & Z = 166 \quad 36 \quad 0 \end{array}$$

$$\alpha = 7^\circ 12' 57''$$

$$\beta = 17 \quad 28 \quad 59$$

$$\gamma = 68 \quad 6 \quad 4$$

$$m = \infty P$$

$$\begin{array}{ll} \frac{1}{2}X = 39^\circ 40' 0'' & X = 79^\circ 20' 0'' \\ \frac{1}{2}Y = 50 \quad 20 \quad 0 & Y = 100 \quad 40 \quad 0 \end{array}$$

$$z = \infty \bar{P} \frac{5}{3}$$

$$\begin{array}{ll} \frac{1}{2}X = 26^\circ 27' 8'' & X = 52^\circ 54' 16'' \\ \frac{1}{2}Y = 63 \quad 32 \quad 52 & Y = 127 \quad 5 \quad 44 \end{array}$$

$$y = \infty\bar{P}2$$

$$\begin{array}{ll} \frac{1}{2}X = 22^\circ 31' 11'' & X = 45^\circ 2' 22'' \\ \frac{1}{2}Y = 67 28 49 & Y = 134 57 38 \end{array}$$

$$g = \infty\check{P}3$$

$$\begin{array}{ll} \frac{1}{2}X = 68^\circ 6' 4'' & X = 136^\circ 12' 8'' \\ \frac{1}{2}Y = 21 53 56 & Y = 43 47 52 \end{array}$$

$$l = \frac{1}{6}\bar{P}\infty$$

$$\begin{array}{ll} \frac{1}{2}X = 79^\circ 59' 49'' & X = 159^\circ 59' 38'' \\ \frac{1}{2}Z = 10 0 11 & Z = 20 0 22 \end{array}$$

$$k = \frac{1}{3}\bar{P}\infty$$

$$\begin{array}{ll} \frac{1}{2}X = 70^\circ 34' 8'' & X = 141^\circ 8' 16'' \\ \frac{1}{2}Z = 19 25 52 & Z = 38 51 44 \end{array}$$

$$f = \frac{1}{4}\bar{P}\infty$$

$$\begin{array}{ll} \frac{1}{2}X = 62^\circ 6' 52'' & X = 124^\circ 13' 44'' \\ \frac{1}{2}Z = 27 53 8 & Z = 55 46 16 \end{array}$$

$$h = \frac{2}{3}\bar{P}\infty$$

$$\begin{array}{ll} \frac{1}{2}X = 54^\circ 47' 45'' & X = 109^\circ 35' 30'' \\ \frac{1}{2}Z = 35 12 15 & Z = 70 24 30 \end{array}$$

$$i = \check{P}\infty$$

$$\begin{array}{ll} \frac{1}{2}Y = 48^\circ 43' 50'' & Y = 97^\circ 27' 40'' \\ \frac{1}{2}Z = 41 16 10 & Z = 82 32 20 \end{array}$$

$$e = 2\check{P}\infty$$

$$\begin{array}{ll} \frac{1}{2}Y = 29^\circ 40' 20'' & Y = 59^\circ 20' 40'' \\ \frac{1}{2}Z = 60 \ 19 \ 40 & Z = 120 \ 39 \ 20 \end{array}$$

und ferner folgende Combinationswinkel:

$$\begin{array}{l} \alpha : a = 108^\circ 42' 18'' \\ \alpha : b = 105 \ 25 \ 20 \\ \alpha : c = 155 \ 22 \ 45 \\ o : a = 128 \ 30 \ 0 \\ o : b = 121 \ 4 \ 42 \\ o : c = 126 \ 1 \ 51 \\ \sigma : a = 124 \ 6 \ 14 \\ \sigma : b = 103 \ 26 \ 34 \\ \sigma : c = 142 \ 37 \ 42 \\ x : a = 147 \ 50 \ 49 \\ x : b = 110 \ 33 \ 0 \\ x : c = 113 \ 34 \ 41 \\ \beta : a = 117 \ 56 \ 11 \\ \beta : b = 125 \ 38 \ 35 \\ \beta : c = 131 \ 36 \ 28 \\ u : a = 104 \ 51 \ 0 \\ u : b = 129 \ 36 \ 40 \\ u : c = 136 \ 35 \ 41 \\ t : a = 124 \ 56 \ 7 \\ t : b = 135 \ 25 \ 21 \\ t : c = 113 \ 56 \ 35 \\ \pi : a = 117 \ 39 \ 0 \\ \pi : b = 140 \ 19 \ 20 \\ \pi : c = 116 \ 0 \ 30 \\ s : a = 109 \ 15 \ 9 \end{array}$$

s : *b* = 145° 6' 46''
s : *c* = 117 51 45
n : *a* = 99 54 21
n : *b* = 148 51 40
n : *c* = 119 11 12
φ : *a* = 95 31 13
φ : *b* = 163 11 30
φ : *c* = 105 49 31
r : *a* = 111 44 30
r : *b* = 157 8 50
r : *c* = 96 42 0
m : *a* = 140 20 0
m : *b* = 129 40 0
m : *c* = 90 0 0
z : *a* = 153 32 52
z : *b* = 116 27 8
z : *c* = 90 0 0
y : *a* = 157 28 49
y : *b* = 112 31 11
y : *c* = 90 0 0
g : *a* = 111 53 56
g : *b* = 158 6 4
g : *c* = 90 0 0
l : *a* = 100 0 11
l : *b* = 90 0 0
l : *c* = 169 59 49
k : *a* = 109 25 52
k : *b* = 90 0 0
k : *c* = 160 34 8
f : *a* = 117 53 8
f : *b* = 90 0 0
f : *c* = 152 6 52

$$h : a = 125^{\circ} 12' 15''$$

$$h : b = 90 \quad 0 \quad 0$$

$$h : c = 144 \quad 47 \quad 45$$

$$i : a = 90 \quad 0 \quad 0$$

$$i : b = 131 \quad 16 \quad 10$$

$$i : c = 138 \quad 43 \quad 50$$

$$e : a = 90 \quad 0 \quad 0$$

$$e : b = 150 \quad 19 \quad 40$$

$$e : c = 119 \quad 40 \quad 20$$

Wenn man jetzt die Messungen von Descloizeaux und die aus diesen Messungen berechneten Winkel der Columbit-Krystalle aus Grönland mit den meinigen die an den uralischen (ilmenschen) Columbit-Krystallen vollzogen wurden vergleicht, so gelangt man unwillkürlich zu dem Schlusse, dass die Winkel der Krystalle aus den beiden genannten Fundorten fast *gleich* sind. Man ersieht dies schon aus den Axenverhältnissen der Grundformen der beiden Arten von Krystallen, in der That, es wurde erhalten:

1) Für die grönländischen Krystalle:

$$a : b : c = 0,877577 : 1 : 0,829234 \text{ (Descloizeaux).}$$

2) Für die uralischen (ilmenschen) Krystalle:

$$a : b : c = 0,882178 : 1 : 0,830216 \text{ (Kokscharow),}$$

wo a = Verticalaxe, b = Makrodiagonale und c = Brachydiagonale ist.

Dieselbe Uebereinstimmung findet man auch, wenn man die Winkel, welche Descloizeaux in grönländischen und ich in russischen Krystallen gefunden habe mit einander vergleicht, wie dies am Besten aus der nachfolgenden vergleichenden Tabelle zu ersehen ist.

Désclouzeaux. Grönland. Kryst.		Kokscharow. Uralische Kr.		
Berechnet.	Gemessen.	Berechnet.	Gemessen.	
$m : a (h^1) = 140^\circ 20'$	140° 0'	140° 18'	140° 19' W.	
$(h^1) a : g (g^2) = 111 54$	111 30	111 53	111 59 W.	
$(h^1) a : f (a^3) = 117 53$	118 20	117 59	—	
$(h^1) a : k (a^3) = 109 26$	—	109 30	—	
$(h^1) a : l (a^6) = 100 0$	—	100 3	—	
$(p) c : l (a^6) = 170 0$	170 0	169 57	—	
$(p) c : k (a^3) = 160 34$	160 30	160 30	—	
$(p) c : f (a^3) = 152 7$	151 30	152 1	—	
$(h^1) a : \beta = 117 56$	117 35	117 59	118 5 W.	
$(h^1) a : o (b^{\frac{1}{2}}) = 128 30$	128 30	128 33	—	
$(h^1) a : u = 104 51$	104 30	104 53	{ 104 54 M. 104 54 W.	
$\beta : u$ } anliegende	= 166 55	166 50	166 54	—
$\beta : o (b^{\frac{1}{2}}) = 169 26$	169 17	169 26	—	
$(b^{\frac{1}{2}}) o : u = 156 21$	156 10	156 20	—	
$u : u$ } in x	= 150 18	150 30	150 15	{ 150 15 M. 150 26 W. 150 13 W.
			Mt. 150 18	
$m : t = 153 34$	153 0	153 40	—	
$m : u = 127 11$	127 25	127 18	—	
$t : c (p) = 113 57$	113 10	113 51	—	
$\beta : c (p) = 131 36$	130 35	131 28	—	
$(g^2) g : r = 173 18$	173 50	173 20	—	
$(g^2) g : s = 152 8$	152 10	152 15	—	
$(g^2) g : u = 133 24$	133 30	133 33	{ 133 35 M. 133 33 W.	
			Mt. 133 34	

Désclouzeaux. Grönland. Kryst.		Kokscharow. Uralische Kr.	
Berechnet.	Gemessen.	Berechnet.	Gemessen.
$u : u$ über $g (g^2)$ } = 86° 49'	86° 45'	87° 6'	{ 87° 6' M. 87 0 W. Mt. 87 3
$r : u$ = 140 6	140 15	140 13	—
$s : u$ = 161 16	161 35	161 18	—
$s : c (p)$ = 117 52	118 0	117 45	—
(h') $a : t$ = 124 56	123 30?	124 56	—
(h') $a : \pi (e^3)$ = 117 39	117 30	117 39	—
(h') $a : s$ = 109 15	109 0	109 15	—
(h') $a : n$ = 99 54	—	99 54	—
(h') $a : e (e^{\frac{1}{2}})$ = 90 0	—	90 0	—
$t : \pi (e^3)$ = 172 43	172 30	172 43	—
$t : s$ = 164 19	164 35	164 19	—
$t : n$ = 154 58	—	154 58	—
$t : e (e^{\frac{1}{2}})$ = 145 4	—	145 4	—
(e ³) $\pi : s$ = 171 36	171 30	171 36	—
(e ³) $\pi : n$ = 162 15	162 0	162 15	—
(e ³) $\pi : e (e^{\frac{1}{2}})$ = 152 21	152 35	152 21	—
$s : n$ = 170 39	170 35	170 39	—
$s : e (e^{\frac{1}{2}})$ = 160 45	161 0	160 45	—
$n : e (e^{\frac{1}{2}})$ = 170 6	170 40	170 6	—
$n : n$ über $e (e^{\frac{1}{2}})$ } = 160 11	160 35	160 11	—
$s : n$ über $e (e^{\frac{1}{2}})$ } = 150 51	151 0	150 50	—
$s : s$ über $e (e^{\frac{1}{2}})$ } = 141 30	142 10	141 30	—
(e ³) $\pi : n$ über $e (e^{\frac{1}{2}})$ } = 142 27	142 30	142 26	—

Désclouzeaux. Grönländ. Kryst.		Kokscharow. Uralische Kr.		
Berechnet.	Gemessen.	Berechnet.	Gemessen.	
$(e^3) \pi : g$ über $e (e^3)$	$\} = 133^\circ 6'$	133° 40'	133° 6'	—
$(e^3) \pi : \pi (e^3)$ über $e (e^3)$	$\} = 124 42$	124 30	124 42	—
$(e^3) \pi : m$	$= 148 3$	148 50	148 8	—
$(g^3) g : \pi (e^3)$	$= 152 31$	152 35	152 38	
$(g^3) g : \beta$	$= 135 41$	135 45	135 48	
$(g^3) \tau : \beta$	$= 163 10$	163 12	163 11	
$(g^3) g : k (a^3)$	$= 97 8$	—	97 9	—
$(e^3) \pi : k (a^3)$	$= 124 36$	—	124 31	
$\beta : k (a^3)$	$= 141 27$	—	141 21	
$(e^3) \pi : c (p)$	$= 116 1$	—	115 54	—

Man ersieht also daraus, dass die von Désclouzeaux und von mir an grönländischen und russischen Krystallen angestellten Messungen fast vollkommen mit einander übereinstimmen. Da aber die höchst genauen Messungen von E. Dana (Sohn) an Columbit-Krystallen von Standisch in Maine (Nord Amerika) etwas (obgleich nicht viel) von den von Désclouzeaux und von den meinigen (jedenfalls nicht so strenge Messungen als die von E. Dana) differiren, so ist es immer zu vermuthen, dass vielleicht (wie ich schon oben in der allgemeinen Charakteristik bemerkt habe; vergl. Seite 261 dieses Bandes) wirklich eine kleine Differenz in den Winkeln existirt, welche von der chemischen Zusammensetzung herrührt.

Die Messungen von Schrauf an grönländischen Krystallen stimmen nicht besonders gut mit den unseren überein; wahrscheinlich waren die zur Messung angewandten Krystalle nicht tauglich zu ganz genauen Messungen.

Dagegen kommen die von James D. Dana aus seinen eigenen Messungen berechneten Winkel der Krystalle von Middletown, ziemlich nahe denen von Descloizeaux und von mir erhaltenen; was am Besten aus nachfolgender Vergleichung zu ersehen ist.

Schrauf Grönland.		Descloizeaux Grönland.	Kokscharow Ural.	James Dana Middletown.
Gemessen.	Berechnet.	Berechnet.	Berechnet.	Berechnet.
$a : y = 157^{\circ} 30'$	157° 45	157° 29'	157° 27'	—
$a : m = 140 30$	140 43	140 20	140 18	140 20
$a : g = 112 20$	112 10	111 54	111 53	111 54
$a : h = 123 30$	123 47	125 12	125 19	—
$a : f = \text{—}$	116 39	117 53	117 59	117 53
$a : k = \text{—}$	108 30	109 26	109 30	109 26
$a : l = 99 50$	99 30	100 0	100 3	100 0
$a : u = 104 30$	104 30	104 51	104 53	104 51
$g : u = 132 0$	131 34	133 24	133 33	133 15
$m : u = 126 10$	125 39	127 11	127 18	127 11
$g : s = 151 10$	150 35	152 8	152 15	152 9
$u : s = 161 30$	160 59	161 16	161 18	161 16
$m : \pi = 147 10$	146 50	148 3	148 8	148 3
$s : \pi = 171 45$	171 38	171 36	171 36	171 36
$e : s = 161 15$	160 39	160 45	160 45	—

Fünfter Anhang zum Zirkon.

(Vergl. Bd. III, S. 189 und S. 198; Bd. IV, S. 85; Bd. V, S. 103; Bd. VII, S. 213.)

In den Süd-Amerikanischen Platinseifen findet man, unter vielen anderen Mineralien, kleine langgezogene quadratische Krystalle, fast ganz wasserhell, oder von einer blassen rosenrothen Färbung, welche, nach einer näheren Untersuchung von meinem Sohne N. v. Kokscharow sich als Zirkonkrystalle erwiesen.

N. v. Kokscharow Sohn beschreibt diese Krystalle in folgender Weise: Der Habitus dieser Zirkonkrystalle ist ein sehr einfacher: sie bilden nämlich Combinationen von $a = \infty P \infty$ und $x = 3P3$, oder von $M = \infty P$, $a = \infty P \infty$, $o = P$ und $x = 3P3$.

Die Eigenthümlichkeit dieser Zirkonkrystalle besteht darin, dass an allen Krystallen die ditetragonale Pyramide $x = 3P3$ vorherrschend auftritt, wodurch sie denselben ein sehr spitzes Aussehen verleiht. Die Krystalle erscheinen an beiden Enden ausgebildet.

Da die Länge dieser Zirkonkrystalle nicht mehr als 1,5 Mm. bei einer Dicke von 0,5 Mm. betrug und die Flächen äusserst glänzend waren, so war es von Interesse dieselben einer möglichst genauen Messung zu unterziehen, besonders da man hoffen konnte an so kleinen Zirkonkrystallen eine sehr regelmässige und völlig ungestörte Krystallisation vorzufinden und gemessene Werthe zu erhalten, welche unter einander gut zusammengestimmt hätten, was sich aber leider nicht bestätigte.

Die unten angeführten Messungen wurden mit Hilfe des Mitscherlich'schen Goniometers, welches mit *zwei Fernröhren* versehen war, auf die sorgfältigste Art und Weise ausgeführt.

Krystall № 1.

	Gemessen:	Berechnet:
$a : x$	$= 148^\circ 8' 0''$ sehr gut . .	$148^\circ 16' 46''$
$M : M$	$= 90 0 0$ „ . .	$90 0 0$
$a : a$	$= 90 0 0$ „ . .	$90 0 0$
$x : o$	$= 150 5 0$ sehr gut . .	$150 3 28$
$o : o$	$= 123 15 0$ gut	$123 19 34$
$a : o$	$= 118 15 0$ „	$118 20 13$
$x : x$ } über $o : o$ }	$= 116 30 0$ sehr gut . .	$116 16 52$
$x : x_1$	$= 132 55 0$ gut	$132 43 12$

Krystall № 2.

$M : M$	$= 89^\circ 23' 0''$ gut	$90^\circ 0' 0''$
	$= 89 51 0$ „	
	$= 90 29 0$ „	
$a : M$	$= 135 12 0$ mittelmässig .	$135 0 0$
	$= 135 25 0$ „	
	$= 134 39 0$ „	
	$= 134 52 0$ „	
$x : x_1$	$= 132 40 0$ sehr gut . .	$132 43 12$

Krystall № 3.

$a : x$	$= 148^\circ 5' 0''$ gut	$148^\circ 16' 46''$
	$= 148 12 0$ „	
	$= 148 18 0$ „	
	$= 147 52 0$ „	
$x : x$ } über $o : o$ }	$= 116 23 0$ gut	$116 16 52$
$a : a$	$= 90 0 0$ sehr gut . .	$90 0 0$

Wenn man jetzt alle die gemessenen Winkel zusammenstellt, um das arithmetische Mittel zu erhalten, so ergeben sich folgende Werthe:

$a : x$

Berechnet aus meinen Daten = $148^{\circ} 16' 46''$
Mittelwerth aus 5 Messungen = $148 \quad 7 \quad 30$

$a : o$

Berechnet = $118^{\circ} 20' 13''$
Gemessen = $118 \quad 15 \quad 0$

$x : o$

Berechnet = $150^{\circ} 3' 28''$
Gemessen = $150 \quad 5 \quad 0$

$o : o$

Berechnet = $123^{\circ} 19' 34''$
Gemessen = $123 \quad 15 \quad 0$

$x : x$ (über $o : o$)

Berechnet = $116^{\circ} 16' 52''$
Mittelwerth aus 2 Messungen = $116 \quad 26 \quad 30$

$x : x_1$

Berechnet = $132^{\circ} 43' 12''$
Mittelwerth aus 2 Messungen = $132 \quad 47 \quad 30$

$a : M$

Berechnet = $135^{\circ} 0' 0''$
Mittelwerth aus 4 Messungen = $135 \quad 2 \quad 0$

Aus allen den oben angeführten gemessenen Winkeln ist es leicht zu ersehen, dass die grosse Regelmässigkeit der Krystalle nur eine scheinbare war, da die gemessenen Werthe nicht nur von den berechneten Werthen abweichen, sondern auch unter einander bedeutende Differenzen aufweisen.

An einigen minder gut ausgebildeten Individuen konnte man auch beobachten, dass die Pyramidflächen, so wie die Flächen der Prismenzone Risse besaßen, welche den Charakter hatten, als ob sie durch Contraction hervorgerufen wären und mit denjenigen Rissen Aehnlichkeit hatten, welche Porzellangegegenstände bei dem Erhitzen im Glühofen erhalten. Die Unregelmässigkeit der inneren Bildung der Zirkonkrystalle aus den Süd-Amerikanischen Seifen könnte vielleicht einer ähnlichen Zusammenziehung zugeschrieben werden.

Fünfter Anhang zum Diamant.

(Vergl. Bd. V, S. 373; Bd. VI, S. 188 und 249; Bd. VII, S. 152, Bd. X, S. 82.)

In dem CXII Band der Comptes rendus, S. 112, hat der französische Gelehrte Ch. Vélain ¹⁾ folgende interessante Notiz unter dem Titel «Ueber den diamantführenden Sand, gesammelt von *Charles Rabot* im russischen Lappland (im Thale Pasvig)» veröffentlicht:

»Während seinen bemerkenswerthen Forschungsreisen im russischen Lapplande, welche seit dem Jahre 1884 in drei verschiedenen Zeiträumen ausgeführt worden waren, hat Herr Charles Rabot sehr bedeutende Sammlungen von Gesteinen gesammelt, welche er mir

¹⁾ 1891. Comptes rendus des séances de l'académie des sciences. Tome CXII, p. 112. M. Ch. Vélain: „Sur des sables diamantifères recueillis par M. Charles Rabot dans la Laponie russe (vallée du Pasvig).“

gefälligst zur Untersuchung anvertraut hatte. Unter diesen Gesteinen befand sich auch ein granatführender Sand aus dem Thale Pasvig herkommend, in welchem man hoffen konnte einige interessante Mineralien vorzufinden, weil der genannte Fluss über eine Gneiss-region fließt in welcher zahllose Granite und Pegmatite eingeschlossen vorkommen.

Die nähere Untersuchung hat vollkommen meine Erwartungen erfüllt, indem es mir gelungen ist zu erkennen, dass dieser Sand Diamante enthält. Dieses Resultat ist daher besonders interessant, da bis jetzt keine Fundorte des diamantführenden Sandes in Europa bekannt waren. Darum habe ich mich auch bemüht diese Entdeckung auf besonders genaue Daten zu stützen und womöglich ausführliche Untersuchungen an diesem Sande anzustellen.

Die folgenden Mineralien sind auf mikroskopischem Wege, durch Löthrohrversuche controlirt, bestimmt worden:

1. Granat (Almandin); 2. Zirkon; 3. Amphibol: braun und grün; 4. Glaukophan; 5. Disthen; 6. Pyroxen; 7. Quarz; 8. Korund; 9. Rutil; 10. Magnetit; 11. Staurolith; 12. Andalusit; 13. Turmalin; 14. Epidot; 15. Feldspath (Oligoklas); 16. Diamant.

Granat. — Eine Art Granat, welche dem Almandin zugeschrieben werden kann, bildet die Hälfte der Bestandtheile dieses Sandes und tritt auf in gerollten Körnern von blasser rosenrother Färbung, in kleinen Bruchstücken mit gut ausgebildeten Ecken, oder seltener in scharf ausgeprägten Rhombendodekaedern.

Eine ausserordentlich isotrope Masse vorstellend, oft sehr reich an Einschlüssen, von denen die einen Gas-Einschlüsse, die anderen Krystall-Einschlüsse enthalten. Die letzteren bestehen aus Quarz, schwarzem Mica, Eisenoxyd, und besonders aus Rutilnadeln, welche symmetrisch den Seiten des Hexagons eingeschlossen sind.

Der Zirkon ist sehr stark vertreten und erscheint in kleinen wenig abgerundeten Einschlüssen, welche oft gut ausgebildete Kanten, manchesmal mit einigen krystallinischen Flächen *m b'*, vorweisen.

Diese Krystalle werden von Säuren nicht angegriffen, schmelzen nicht vor dem Löthrohre, sind von einer sehr blassen braunen Färbung, welche sie nach dem Erhitzen verlieren; sie verlieren auch die Färbung in dünnen Lamellen, und weisen nicht nur deutlich ausgedrückte Spuren der Spaltbarkeit längs den Flächen h' vor, sondern enthalten auch Gazporen, welche bedeutend langgezogen sind. Sie zeigen eine sehr energische positive Doppelbrechung.

»Der Amphibol, ist auch sehr bedeutend vertreten, erscheint in unregelmässigen Körnern immer von geringer Grösse, schmilzt zu einem mehr oder weniger gefärbten Glase und ist durch zwei Varietäten vertreten, von denen die eine — von sehr dunkler Färbung, ein Typhus der Hornblende ist und gleich der letzteren einen gut ausgeprägten Polychroismus besitzt, welche vom dunklen Grasgrün zum blassen Gelb durch ein dunkles Grün übergeht; die andere Varietät ist grüngefärbt, ihre Färbung ist weniger intensiv und deshalb auch weniger polychroitisch. In den basischen Schnitten sind die Spaltungsflächen nach mm , mit einem Winkel von 124° , sehr gut ausgebildet.

»Der Glaukophan ist auch bedeutend vertreten, er erscheint in langgezogenen Körnern von lavendel-blauer Färbung, besitzt den typischen Polychroismus und weist alle optischen Eigenschaften des natronhaltigen Amphibols auf; die einzige Eigenthümlichkeit, die besonders betont werden muss, ist das häufige Auftreten der Eisenoxydeinschlüsse, welche sich parallel der Längsrichtung der Glaukophankrystalle gruppieren.

»Der Pyroxen, tritt weniger häufig auf; er erscheint in kleinen abgerundeten Körnern, hellgrün gefärbt, kaum polychroitisch und leicht schmelzbar zu einem Glase, welches ungefärbt, oder sehr blass gelb gefärbt ist. Die prismatische Spaltung = 87° , ist gut ausgeprägt, ausserdem bemerkt man wenig deutliche Spuren einer Spaltung nach h' .

»Der Disthen tritt in himmelblauen Schuppen oder in kleinen Lamellen mit gut ausgebildeten länglichen Kanten auf, welche, im Sinne der Verlängerung, Spuren der Spaltung nach h' und sehr gut charakterisirte feine perpendikuläre Striche nach p , besitzen. Nicht schmelzbar, und von Säuren nicht angreifbar, besitzen diese Krystalle, welche schöne Polarisations-Farben zeigen und manchesmal eine Zwillingsbildung nach p' aufweisen, keinen Polychroismus, ebenso wie keine Einschlüsse.

»Der Korund, ist gut vertreten, erscheint in kleinen glänzenden Körnern, welche zuweilen hellblau gefärbt sind, den Quarz ritzen und nicht vor dem Löthrohre schmelzen. Es sind einfache Individuen oder Zwillinge nach p ; sie weisen keine Spaltbarkeit auf und besitzen die Brechung und die Doppelbrechung dieses Minerals. Einige Körner, welche von sehr heller azurblauen Färbung und polychroitisch waren, hatten ihre Färbung bei dem Erhitzen verloren. Solche Körner könnten zum Saphir gerechnet werden.

»Der Rutil erscheint in nicht abgerundeten Bruchstücken, hat eine ziemlich intensive schwarze Färbung, und kann sehr gut mit unbewaffnetem Auge unterschieden werden, da die Dimensionen dieser Bruchstücke sehr bedeutend sind. Der Glanz ist fast metallisch, und wenn man die sehr dunkle Färbung in Anbetracht zieht, so kann man daraus schliessen, dass dieser Rutil Eisen enthält. Die Bruchstücke besitzen eine sehr starke Doppelbrechung. Man konnte auch die charakteristischen knieförmigen Zwillinge nach b' beobachten.

»Ausser diesen Mineralien, treten am häufigsten Erze auf. Der Magnetit in abgerollten, selten eckigen Körnern, von verschiedener Grösse, besitzt gar keine andere Eigenthümlichkeiten, als die, dass er Einschlüsse von Apatit enthält. Weniger glänzende Körner, welche vom Magnet nicht angezogen werden, müssen wohl als Ilmenit angesehen werden.

»Der Staurolith, der Andalusit, der Turmalin und der Sphen, treten in kleinen bräunlichen, undurchsichtigen Bruchstücken

auf; der Epidot in flasch-grünen Körnern, sehr polychroitisch, schmilzt, aufblasend an den Rändern, zu einem dunkel-braunen Glase; der Quarz und der Feldspath, welche in dem Sande nur ausnahmsweise vertreten sind, besitzen keine besondere Eigenschaften. Man muss aber erwähnen, dass der Quarz, welcher reich an Gaz- und Flüssigkeitseinschlüssen ist, zuweilen dihexaëdrisch auftritt; dass der Feldspath, welcher äusserst selten angetroffen wird, nach dem Albitgesetze Zwillinge aufweist und den Winkel der Auslöschung des Oligoklases besitzt.

»Diamant. In letzter Linie treten unter den genannten Elementen, welche fast alle gefärbt erscheinen, kleine wasserhelle Bruchstücke — eckig oder seltener gerollt, mit gestreifter Oberfläche auf, deren Dimensionen in allen Fällen sehr unbedeutend sind und nicht $0^{\text{mm}},25$ übersteigen; ausnahmsweise wurde ein Krystall von $1^{\text{mm}},5$ beobachtet. Alle besitzen einen starken Diamantglanz, eine sehr bedeutende Brechung und verhalten sich gegen das polarisirte Licht, gleich den Körpern welche aus vollkommen isotroper Substanz bestehen. Die einzigen Spuren einer sehr schwachen Doppelbrechung müssen, als von Spannungserscheinungen abhängig, angesehen werden.

» Wenn man dieses Mineral der Wirkung der oxydirenden Reagentien aussetzt, so bleibt es unverändert; endlich hat die Härte-Prüfung gezeigt, dass diese Bruchstücke den Korund ritzen können. Man weiss aber, dass alle diese Kennzeichen speciell den Diamant charakterisieren. Um der grösseren Genauigkeit willen wurde ein Bruchstück im Ueberschuss von Sauerstoff vollkommen verbrannt und ergab nur Kohlensäure. In diesen Diamanten, welche durch dauernde Einwirkung der Fluorsäure mit concentrirter Schwefelsäure ausgeschieden werden konnten, ist die Durchsichtigkeit derselben durch fremde Einschlüsse sehr stark beeinträchtigt; die einen von den letzteren sind sehr fein und abgerundet, und können denen Gazporen zugeschrieben werden, welche von Brewster beschrieben worden sind; die anderen

sind krystallinisch und treten seltener auf, aber ihre Dimensionen sind in einem solchen Grade unbedeutend, dass dieselben nicht mit Genauigkeit bestimmt werden konnten.

»Man sieht also, dass alle Mineralien, welche die Hauptmasse dieses diamantführenden Sandes bilden, zu den eruptiven Gesteinen (Graniten und Pegmatiten) und den Gneissen der Gegend angehören; die Gneisse sind gewöhnlich granulitisch und weisen schöne Varietäten mit Amphibol oder mit Pyroxen auf. Diese Thatsache erklärt die Differenzen zwischen der Zusammensetzung dieses Sandes mit der Zusammensetzung des Sandes von derselben Beschaffenheit aus Indien und aus Brasilien, in welchem Damour, mit unbewaffnetem Auge oder mittelst einer Loupe, 28 verschiedene Arten unterscheiden konnte. Diese Unterschiede sind aber sehr unbedeutend, und stützen sich nur auf der Anwesenheit des Epidots, welcher in den letzteren nicht aufgefunden worden ist und auf der Abwesenheit der wasserhaltigen Chlorophosphate, welche so oft in dem brasilianischen Sande auftreten. Die grösste Mehrzahl der Elemente des Sandes aus Lappland gehören zu denen, welche die gewöhnlichen Begleiter der Diamanten sind.

»Wenn man aber den Stammfundort dieses Minerals suchen wollte, so könnte man mit Wahrscheinlichkeit annehmen, dass es aus den Pegmatiten stammt, welche in dieser Region ausgebildet sind; diese Annahme wird besonders dadurch berechtigt, dass Chaper ¹⁾ die Anwesenheit des Diamanten, in den Pegmatiten aus Hindostan, als Muttergestein, beschrieben hat.

¹⁾ Chaper. Sur les pegmatites diamantifères de l'Hindoustan (Comptes rendus, 14 Janvier, 1884).

Achter Anhang zum Topas.

(Vergl. Bd. II, S. 198 und S. 344; Bd. III, S. 195 und S. 378; Bd. IV, S. 34; Bd. IX, S. 97 und S. 299; Bd. X, S. 229.)

Mein Sohn N. N. v. Kokscharow hat genaue Messungen an Topas-Krystallen aus verschiedenen Fundorten angestellt und schreibt folgendes:

In meiner letzten Arbeit •Ueber den Topas aus Durango in Mexico '), hatte ich mir zur Aufgabe gestellt die Frage zu erörtern — ob man berechtigt zur Annahme ist, dass die Winkel der Hauptformen des Topases verschieden sind bei Topas-Krystallen aus verschiedenen Fundorten?

Da scheinbar sehr gut ausgebildete Krystalle zu meiner Verfügung standen, so suchte ich nur solche aus, welche vorzügliche Reflexe boten; die Topaskrystalle aus folgenden Fundorten: Durango, Brasilien, Altenberg, Schneckenstein, aus den Bakakin'schen Seifen (rosenrothe Varietät), dem Ilmengebirge und dem Aduntschilon — wurden von mir einer näheren Untersuchung unterworfen.

Alle die untenfolgenden Messungen wurden mit Hilfe des Mitscherlich'schen Goniometers, welches mit zwei Fernröhren versehen war, ausgeführt.

I. Messungen an Topaskrystallen aus dem Schneckenstein.

Aus diesem Fundorte wurden zwei Krystalle, deren Flächen besonders gute Reflexe gaben, von mir gemessen.

Krystall № 1 bestand aus den Flächen folgender Formen: $P = oP$, $u = \frac{1}{3}P$, $i = \frac{1}{3}P$, $x = \frac{2}{3}\tilde{P}2$, $f = \tilde{P}\infty$, $M = \infty P$ und $l = \infty\tilde{P}2$.

¹⁾ Записки Императорскаго Сиб. Минералогическаго Общества, т. XXIII, 1886 г. und Materialien zur Mineralogie Russlands, Bd. IX, S. 299.

Die Fläche $P = oP$ war matt und gab gar keinen Reflex.

Krystall № 2 wies, ausser den genannten Formen, noch die Flächen des Brachydomas $y = 2\check{P}\infty$ auf.

$u : i$

Krystall № 1	=	168° 50'	0''	sehr gut
»	=	168 38	0	gut
		<hr/>		
Mittelwerth	=	168° 44'	0''	
Berechnet ¹⁾	=	168 38	50	

$u : M$

Krystall № 1	=	135° 30'	0''	sehr gut
»	=	135 28	0	»
»	=	135 32	0	gut
		<hr/>		
Mittelwerth	=	135° 30'	0''	
Berechnet. .	=	135 35	15	

Zone $f : x : u : M$

$u : M,$

Krystall № 1	=	113° 39'	0''	sehr gut
Berechnet. .	=	113 43	33	

$u : x$

Krystall № 1	=	166° 34'	0''	sehr gut
Berechnet. .	=	166 26	44	

¹⁾ Alle diese Werthe sind von meinem Vater in seinen „Materialien zur Mineralogie Russlands“ nach dem von ihm gegebenen Axenverhältnisse $a : b : c = 1,80487 : 1,89199 : 1$ berechnet worden.

$x : f$

Krystall № 1 = 151° 1' 0'' gut
Berechnet. . = 151 0 37

$x : M$

Krystall № 1 = 100° 13' 0'' gut
Berechnet. . = 109 10 20

$u : f$

Krystall № 1 = 137° 35' 0'' sehr gut
Berechnet. . = 137 27 22

$y : f$

Krystall № 2 = 161° 24' 0'' sehr gut
Berechnet. . = 161 18 38

$f : f_1$

Krystall № 1 = 92° 58' 0'' sehr gut
Krystall № 2 = 92 50 0

Mittelwerth = 92° 54' 0''
Berechnet. . = 92 42 0

$y : f_1$

Krystall № 2 = 74° 46' 0'' sehr gut
Berechnet. . = 74 0 38

$f : M$

Krystall № 1 = 108° 46' 0'' sehr gut
Berechnet. . = 108 49 0

$i : M$

Krystall № 1 = 124° 20' 0'' gut

» = 124 6 0

Mittelwerth = 124° 13' 0''

Berechnet. . = 124 14 5

II. Messungen an Topaskrystallen aus Altenberg.

Diese Messungen wurden an zwei vorzüglich ausgebildeten Krystallen ausgeführt, welche aus der Sammlung meines Freundes, Herrn Gustav Seligmann in Coblenz, stammten und von ihm in höchst liebenswürdiger Weise mir zur Verfügung gestellt wurden.

Krystall № 1 wies folgende Formen auf: $o = P$, $u = \frac{1}{3}P$, $d = \bar{P}\infty$, $f = \bar{P}\infty$, $M = \infty P$ und $l = \infty \bar{P}2$.

Krystall № 2: $M = \infty P$, $l = \infty \bar{P}2$ und $f = \bar{P}\infty$.

$o : o$

Krystall № 1 = 130° 27' 0'' sehr gut

Berechnet. . = 130 22 32

$o : d$

Krystall № 1 = 155° 13' 30'' sehr gut

» = 155 13 30 »

Mittelwerth = 155° 13' 30''

Berechnet. . = 155 11 16

$o : f$

Krystall № 1 = 127° 28' 0'' sehr gut

Berechnet. . = 127 26 32

o : M

Krystall № 1 = 153° 58' 0'' sehr gut
Berechnet. . = 153 54 8

d : M

Krystall № 1 = 140° 40' 0'' sehr gut
Berechnet. . = 140 39 17

d : f

Krystall № 1 = 110° 35' 30'' sehr gut
Berechnet. . = 110 31 42

f : M

Krystall № 1 = 109° 4' 30'' sehr gut
Berechnet. . = 108 49 0

f : f

Krystall № 1 = 92° 45' 40'' sehr gut
Krystall № 2 = 92 43 0

Mittelwerth = 92° 44' 20''
Berechnet. . = 92 42 0

M : M

Krystall № 1 = 124° 11' 0'' gut
Krystall № 2 = 124 17 0 sehr gut
» = 124 14 0 gut

Mittelwerth = 124° 14' 0''
Berechnet. . = 124 17 0

$l : M$

Krystall № 2	=	161° 16'	0''	sehr gut
»	=	161	20 0	»
»	=	161	22 0	»
<hr/>				
Mittelwerth	=	161° 19'	20''	
Berechnet. .	=	161	16 8	

$l : M$

Krystall № 1	=	105° 44'	0''	gut
Berechnet. .	=	105	33 8	

III. Messungen an Krystallen von Brasilien.

Aus diesem Fundorte wurden von mir auch nur zwei Krystalle gemessen, da ungeachtet des reichen Materials, welches zu meiner Verfügung stand, es mir nicht gelungen war gut messbare Krystalle aufzufinden.

Krystall № 1 bestand aus den Flächen der Pyramide $n = \frac{1}{3}P$ und des Prismas $M = \infty P$.

Krystall № 2 wies eine weniger einfache Combination nach, er bestand, nämlich, aus $P = oP$, $u = \frac{1}{3}P$, $f = \checkmark\infty$ und $M = \infty P$.

$u : u_1$ (über oP).

Krystall № 1	=	89° 22'	30''	gut
»	=	89	2 0	»
Krystall № 2	=	89	14 0	sehr gut
»	=	89	33 30	»
<hr/>				
Mittelwerth	=	89° 18'	0''	
Berechnet. .	=	88	49 30	

$u : u$ (in Y)

Krystall № 2	=	140°	38'	0''	gut
»	=	141	3	0	sehr gut
Mittelwerth		= 140° 50' 30''			
Berechnet. .		= 141 0 6			

$u : M$

Krystall № 1	=	135°	31'	0''	gut
»	=	135	27	0	»
»	=	135	27	0	»
Mittelwerth		= 135° 28' 20''			
Berechnet. .		= 135 35 15			

$u : f$

Krystall № 2	=	138°	4'	0''	gut
Berechnet. .		= 137 27 22			

Schon aus dem Vergleich der einzelnen gemessenen Werthe mit einander ersieht man, dass die brasilianischen Topaskrystalle eine sehr gestörte Krystallisation besitzen. Meiner Meinung nach kann man also keinen besonderen Werth den gemessenen Daten beilegen, selbst in dem Falle, wenn die Flächen auch sehr gute Reflexe liefern.

IV. Messungen an der bekannten rosenrothen Varietät des Topases aus den Bakakinschen Seifen.

Aus diesem Fundorte wurden von mir drei Krystalle gemessen.

Krystall № 1 bestand aus den Formen $l = \infty\tilde{P}2$, $M = \infty P$, $y = 2\tilde{P}\infty$, $f = \tilde{P}\infty$, $u = \frac{1}{2}P$ und $i = \frac{1}{3}P$, sowie aus der Brachypyramide $x = \frac{2}{3}\tilde{P}2$.

Krystall № 2 wies, ausser den Prismen $M = \infty P$ und $l = \infty \bar{P}2$, nur noch die Pyramide $i = \frac{1}{3}P$ auf.

Krystall № 3 bestand aus den Formen: $M = \infty P$, $l = \infty \bar{P}2$, $y = 2\bar{P}\infty$, $f = \bar{P}\infty$, $u = \frac{1}{3}P$ und der Brachipyramide $x = \frac{2}{3}\bar{P}2$.

Die Flächen der Prismenzone waren so gestreift, dass an denselben keine genaue Messungen ausgeführt werden konnten.

Die Flächen $x = \frac{2}{3}\bar{P}2$ erschienen in beiden Fällen so schmal, dass man dieselben nur approximativ bestimmen konnte.

$u : u$

Krystall № 3 = $140^{\circ} 45' 0''$ sehr gut
Berechnet. . = 141 0 6

$u : i$

Krystall № 1 = $168^{\circ} 43' 0''$ sehr gut
Berechnet. . = 168 38 50

$u : i$ (über oP)

Krystall № 1 = $100^{\circ} 26' 0''$ sehr gut
Berechnet. . = 100 10 40

$i : i$ (über oP)

Krystall № 1 = $111^{\circ} 43' 0''$ sehr gut
Berechnet. . = 111 31 50

$i : i$

Krystall № 2 = $149^{\circ} 33' 0''$ sehr gut
Berechnet. . = 149 31 0

$u : f$

Krystall № 1 = 137° 29' 0'' sehr gut
Berechnet. . = 137 27 22

$y : f$

Krystall № 3 = 161° 15' 40'' sehr gut
Berechnet. . = 161 18 38

$f : f$

Krystall № 3 = 93° 2' 30'' sehr gut
Berechnet. . = 92 42 0

$y : f$ (über oP).

Krystall № 3 = 73° 18' 10'' sehr gut
Berechnet. . = 74 0 38

V. Messungen an einem Topaskrystalle aus dem Ilmengebirge.

Die Topaskrystalle aus dem Ilmengebirge sind von meinem Vater sehr genau gemessen worden, aus diesem Grunde habe ich mich mit der Untersuchung eines einzigen Krystalles aus diesem Fundorte begnügt, dessen Flächen durchweg vorzügliche Reflexe ergaben.

Der gemessene Krystall bestand aus folgenden Formen: $P = oP$, $M = \infty P$, $l = \infty \bar{P}2$, $c = \infty \bar{P}\infty$, $f = \bar{P}\infty$, $y = 2\bar{P}\infty$, $d = \bar{P}\infty$, $h = \frac{1}{3}\bar{P}\infty$, $o = P$, $u = \frac{1}{2}P$, $i = \frac{1}{3}P$ und $r = 2\bar{P}^2$.

$o : P$

Gemessen. . = 116° 8' 0'' sehr gut
Berechnet. . = 116 5 52

o : M

Gemessen . . = 153° 57' 0'' sehr gut
Berechnet . . = 153 54 8

o : u

Gemessen . . = 161° 39' 0'' sehr gut
Berechnet . . = 161 41 7

o : r

Gemessen . . = 161° 59' 0'' sehr gut
Berechnet . . = 162 3 15

o : c

Gemessen . . = 114° 49' 0'' sehr gut
Berechnet . . = 114 48 44

u : P

Gemessen . . = 134° 29' 0'' sehr gut
Berechnet . . = 134 24 45

u : i

Gemessen . . = 168° 44' 0'' sehr gut
Berechnet . . = 168 38 50

i : P

Gemessen . . = 145° 45' 0'' sehr gut
Berechnet . . = 145 45 55

M : P

Gemessen . . = 89° 55' 0'' sehr gut
Berechnet . . = 90 0 0

d : P

Gemessen . . = 119° 2' 30'' sehr gut

Berechnet . . = 118 59 20

d : h

Gemessen . . = 150° 4' 0'' gut

= 150 2 0 sehr gut

Mittelwerth = 150° 3' 0''

Berechnet . . = 150 1 16

h : P

Gemessen . . = 148° 59' 0'' sehr gut

= 149 0 0

Mittelwerth = 148° 59' 30''

Berechnet . . = 148 58 4

f : P

Gemessen . . = 136° 23' 0'' gut

Berechnet . . = 136 21 0

y : P

Gemessen . . = 117° 44' 0'' sehr gut

Berechnet . . = 117 39 38

c : P

Gemessen . . = 89° 58' 0'' sehr gut

Berechnet . . = 90 0 0

f : y

Gemessen . . = 161° 21' 0'' gut

Berechnet . . = 161 18 38

$f : c$

Gemessen . . = 133° 39' 0'' gut

Berechnet . . = 133 39 0

$y : c$

Gemessen . . = 152° 18' 0 sehr gut

Berechnet . . = 152 20 22

$r : l$

Gemessen . . = 159° 13' 0'' mittelm.

Berechnet . . = 159 9 19

$r : P$

Gemessen . . = 110° 50' 0'' gut

Berechnet . . = 110 50 41

$r : c$

Gemessen . . = 132° 50' 0'' gut

Berechnet . . = 132 45 29

$l : P$

Gemessen . . = 89° 57' 0'' gut

Berechnet . . = 90 0 0

Messungen an den Topas-Krystallen, aus dem Adun-tschilon.

Aus diesem Fundorte wurden an 7 Krystallen die genauen Messungen ausgeführt. Die Krystalle № 1 und № 3 bestanden aus den Flächen der Formen $M = \infty P$, $l = \infty \bar{P}2$, $c = \infty \bar{P}\infty$, $o = P$,

$u = \frac{1}{2}P$, $f = \bar{P}\infty$ und $d = \bar{P}\infty$. An den Krystallen № 2 und № 4 waren dieselben Formen entwickelt, nur fehlte das Makrodoma $d = \bar{P}\infty$.

Die Krystalle № 5, № 6 und № 7 bestanden aus den Formen $u = \frac{1}{2}P$, $f = \bar{P}\infty$, $M = \infty P$, $l = \infty \bar{P}2$ und $c = \infty \bar{P}\infty$.

Alle die gemessenen Krystalle waren ganz wasserhell und ihre Flächen ergaben gute Reflexe.

$o : M$

Krystall № 1	=	153° 52' 45"	gut
Krystall № 2	=	153 50 0	sehr gut
Krystall № 4	=	153 54 0	•
•	=	153 52 0	gut
Krystall № 5	=	153 56 30	
Mittelwerth	=	153° 53' 3"	
Berechnet. .	=	153 54 8	

$o : u$

Krystall № 1	=	161° 39' 15"	sehr gut
Krystall № 4	=	161 39 30	•
•	=	161 40 0	•
Krystall № 5	=	161 36 30	gut
Mittelwerth	=	161° 38' 49"	
Berechnet. .	=	161 41 7	

$u : u$ (über d)

Krystall № 6	=	140° 59' 30"	gut
•	=	140 57 45	•
Mittelwerth	=	140° 58' 38"	
Berechnet. .	=	141 0 6	

$u : u$ (über P)

Krystall № 6 = 89° 3' 0'' sehr gut

„ = 88 54 30 gut

Mittelwerth = 88° 58' 45''

Berechnet. . = 88 49 30

$u : u$ (über f)

Krystall № 6 = 101° 50' 30'' sehr gut

„ = 101 53 30 „

Mittelwerth = 101° 52' 0''

Berechnet. . = 101 40 20

$u : M$

Krystall № 1 = 135° 32' 0'' gut

Krystall № 2 = 135 27 0 sehr gut

Krystall № 4 = 135 33 30 „

„ = 135 32 0 „

Krystall № 5 = 135 33 0 „

Krystall № 6 = 135 30 30 gut

„ = 135 28 30 „

„ = 135 36 0 „

„ = 135 29 30 „

Mittelwerth = 135° 31' 20''

Berechnet. . = 135 35 15

$u : f$

Krystall № 1 = 137° 35' 0'' sehr gut.

Krystall № 2 = 137 28 0 „

Krystall № 6 = 137 35 30 „

„ = 137 35 0 „

Krystall № 7	=	137° 48' 0''	gut
•	=	137 30 30	sehr gut
<hr/>			
Mittelwerth	=	137° 35' 20'	
Berechnet. .	=	137 27 22	

u : d

Krystall № 3	=	152° 59' 0''	gut
Berechnet. .	=	153 4 18	

f : f

Krystall № 1	=	92° 51' 15''	sehr gut
Krystall № 3	=	92 57 15	•
Krystall № 4	=	93 0 0	gut
Krystall № 7	=	92 54 0	sehr gut
<hr/>			
Mittelwerth	=	92° 55' 38''	
Berechnet. .	=	92 42 0	

f : c

Krystall № 4	=	133° 28' 0''	gut
•	=	133 32 0	•
<hr/>			
Mittelwerth	=	133° 30' 0''	
Berechnet. .	=	133 39 0	

f : d

Krystall № 3	=	110° 27' 0''	gut
Berechnet. .	=	110 31 42	

In der untenfolgenden Tabelle sind alle die obenangeführten Messungen zusammengestellt, welche an den Krystallen aus Durango, Brasilien, Schneckenstein, Altenberg, Bakakinschen Seifen, Ilmengebirge und dem Adun-tschilon ausgeführt wurden. Eine solche Zusammenstellung wird, meiner Meinung nach, uns sehr die Entscheidung der Frage: ob die Winkel der Hauptformen des Topases verschiedener Fundorte — verschiedene sind? erleichtern.

	Berechnet nach dem Axen- verhältnisse von N. v. Kokscha- row, Vater.	Durango.	Brasilien.	Altenberg.	Schnecken- stein.	Ilmengebirge.	Adun- Tschilon.	Sanarka (Bakakische Seifen).	Urulga *).	Murzinka *).
$o : o =$	130°22'32"	130°13' 0"	—	130°27' 0"	—	130°22'37"*)	130°28'10"*)	—	—	130°23' 0"*)
$o : O_1 =$ über P	52 11 44	52 18 20	—	—	—	—	—	—	—	—
$o : o =$ über f	74 53 4	75 3 0	—	—	—	—	—	—	—	—
$o : M =$	153 54 8	154 4 30	—	153 58 0	—	153 57 0	153 53 3	—	—	153 53 0 *)
$o : P =$	116 552	116 6 0	—	—	—	{ 116 8 0 116 6 0 *)	—	—	116° 5'16"*)	116 6 0 *)
$o : l =$	148 15 52	148 36 30	—	—	—	—	—	—	—	—
$o : c =$	114 48 44	—	—	—	—	114 49 0	—	—	—	—
$o : u =$	161 41 7	161 34 30	—	—	—	{ 161 39 0 161 41 0 *)	161 38 49	—	161 41 0 *)	—
$o : f =$	127 26 32	—	—	127 28 0	—	—	—	—	—	—
$o : y =$	125 9 46	125 10 30	—	—	—	—	—	—	—	—
$o : d =$	155 11 16	155 10 50	—	155 13 30	—	—	155 11 30 *)	—	—	—
$o : r =$	162 3 15	—	—	—	—	161 59 0	—	—	—	—
$u : u =$ über d	141 0 6	—	140°50'30"	—	141° 8' 0"LSF	—	140 58 88	{ 140°45' 0" 141 17 30 *)	141 1 0 *)	141 1 0 *)
$u : u =$ über P	88 49 30	—	89 18 0	—	—	—	88 58 45	88 52 30 *)	88 50 0 *)	—
$u : u =$ über f	101 40 20	101 44 30	—	—	—	—	101 52 0	—	—	—
$u : M =$	135 35 15	135 40 0	135 28 20	—	135 30 0	—	135 31 20	—	135 35 50 *)	135 34 30 *)
$u : M_1 =$	113 43 33	113 27 26	—	—	113 39 0	—	—	—	113 43 30 *)	—

	Berechnet nach dem Azen- verhältnis von N. v. Kokscha- row, Vater.	Durango.	Brasilien.	Altenberg.	Schnecken- stein.	Imengebirge.	Adun- Tschilon.	Sanarka (Bakafinsche Seifen).	Urniga *).	Murzinka *).
$w : d =$	168° 4' 18"	168° 5' 30"	—	—	—	—	162° 59' 0"	—	168° 4' 20' (**)	—
$w : P =$	184 24 45	134 26 88	—	—	—	184° 29' 0"	—	—	184 24 80 *	184° 26' 0' (**)
$w : f =$	187 27 22	—	138° 4' 0"	—	137° 35' 0"	—	137 35 20	{ 187° 29' 0"	137 27 48 *	—
$w : x =$	166 26 44	—	—	—	166 84 0	—	—	—	—	—
$i : i =$	149 31 0	—	—	—	—	—	—	{ 149 33 0	—	—
$i : i =$ über P	111 31 50	—	—	—	—	—	—	{ 149 40 0 *	—	149 32 0 *
$i : w =$	168 38 50	—	—	—	168 44 0	168 44 0	—	{ 111 43 0	—	—
$i : w =$ über P	100 10 40	—	—	—	—	—	—	{ 111 30 19 *	—	—
$i : M =$	124 14 5	—	—	—	—	—	—	168 43 0	—	—
$i : P =$	145 45 55	—	—	—	—	—	—	{ 168 41 50 *	—	—
$y : y =$	55 19 16	55 22 0	—	—	—	145 45 0	—	{ 100 26 0	—	—
$y : f =$	161 18 88	161 20 0	—	—	{ 161 16 0 } { 161 24 0 } ^{LSP}	161 21 0	—	{ 100 9 33 *	—	—
$w : f =$ über P	74 0 34	—	—	—	74 40 0	—	—	161 15 40	—	—
								73 14 10		

In dieser Tabelle sind auch die genau gemessenen Werthe, welche mein Vater N. v. Kokscharow, P. Groth, Laspeyres und Grünhut an Krystallen verschiedener Fundorte ausgeführt haben, aufgenommen worden. Die von meinem Vater gemessenen Winkel sind mit *), die von Groth — mit Gr., von Laspeyres mit Lsp. und von Grünhut — mit Grht. bezeichnet.

Aus dieser Tabelle ersieht man, dass alle die gemessenen Werthe von den berechneten, nach dem Axenverhältniss — $c : b : a = 0,52854 : 1 : 0,95395$ (v. Kokscharow), sich sehr wenig unterscheiden. Wenn in einigen Fällen, wie z. B. bei den brasilianischen Topasen und bei den Krystallen aus Sanarka man bedeutende Unterschiede zwischen den gemessenen und den berechneten Werthen aufweisen kann, so muss man dieselben eher der sehr gestörten Krystallbildung einzelner Individuen dieser Fundorte zuschreiben, als einer Krystallisation, welche ein von den anderen Fundorten verschiedenes Axenverhältniss erfordert. Die Störungen, welche in einigen Krystallen beobachtet wurden, ergaben bei der Messung eines und desselben Winkels, und zuweilen an einem und demselben Krystalle, Differenzen, welche in einigen Fällen fast einen Grad erreichten, also viel grösser waren, als die Differenzen zwischen den Mittelwerthen der gemessenen und der berechneten Werthe an Krystallen verschiedener Fundorte.

Dass diese letzteren Differenzen sehr gering sein müssen kann man auch aus der untenfolgenden Zusammenstellung der verschiedenen Axenverhältnisse, welche von verschiedenen Beobachtern auf Grund ihrer Messungen aufgestellt worden sind ¹⁾, ersehen.

1. Russische Topase . . . = $0,52854 : 1 : 0,95395$
— N. v. Kokscharow.

¹⁾ Dr. C. Hintze. Handbuch der Mineralogie, Erste Lieferung. S. 102.

2. Schneckenstein . . . $\left. \begin{array}{l} = 0,531548 : 1 : 0,951947 \\ = 0,529988 : 1 : 0,945585 \end{array} \right\}$
 — Laspeyres.
3. Ehrenfriedersdorf . . = 0,52812 : 1 : 0,94710
 — Grünhut.
4. Altenberg = 0,52882 : 1 : 0,95330 }
 5. Schlaggenwald . . . = 0,5300 : 1 : 0,9497 }
 — Groth.
6. Insel Elba = 0,52858 : 1 : 0,94911
 — A. Corsi.
7. Brasilien = 0,5279656 : 1 : —
 — Grünhut.
8. San Luis Potosi . . . = 0,5291 : 1 : 0,9552
 — Bücking.
9. Keins-Berg Damaraland = 0,52761 : 1 : 0,95063
 — Gürich.
10. Utah. Ver. St. . . . = vollkommen übereinstimmend
 mit den russischen — Whitman Cross.
11. Damaraland in SW. Afrika = nahezu vollk. übereinstimmend
 mit den russischen — Hintze.
12. Durango = übereinstimmend
 mit den russischen — N. v. Kokscharow
 Sohn.

Aus dieser Tabelle ergibt sich die Differenz zwischen $c_{\max.}$ und $c_{\min.} = 0,00938$, und die Differenz zwischen $a_{\max.}$ und $a_{\min.} = 0,03384$.

Der Mittelwerth aus allen diesen Axenverhältnissen ist folgender:

$$c : b : a = 0,528915 : 1 : 0,95103$$

er unterscheidet sich von dem Axenverhältnisse, welches von meinem Vater aufgestellt worden ist, erst in der vierten Decimalstelle.

Wenn wir aber auf Grund der einzelnen gemessenen Werthe, die wir an den Krystallen von Durango erhalten haben, mittels verschiedener Combinationen der Winkel $M : M$ und $y : y$, die entsprechenden Axenverhältnisse ausrechnen, so ergeben sich diese letzteren so verschieden, dass die Differenz zwischen $c_{\max.}$ und $c_{\min.}$ schon in der zweiten Decimalstelle sich kund macht, also eine grössere ist, als zwischen dem Axenverhältnisse, welches von meinem Vater aufgestellt ist und dem obenangeführten Mittelwerthe.

So habe ich, z. B. für $M : M$ und $y : y$ folgende Grenzwerte erhalten:

1. $M : M = 55^\circ 42' 0''$ und $M : M = 55^\circ 47' 0''$
2. $y : y = 54 \ 52 \ 0$ und $y : y = 55 \ 31 \ 0$

Wenn wir diese Werthe verschiedenartig combiniren, so erhalten wir, bei:

1. $M : M = 55^\circ 47' 0''$ — $y : y = 54^\circ 52' 0''$
 $c : b : a = 0,5292866 : 1 : 0,9632260$
2. $M : M = 55^\circ 42' 0''$ — $y : y = 54^\circ 52' 0''$
 $c : b : a = 0,5283560 : 1 : 0,9632260$
3. $M : M = 55^\circ 47' 0''$ — $y : y = 55^\circ 31' 0''$
 $c : b : a = 0,5292866 : 1 : 0,9500082$
4. $M : M = 55^\circ 42' 0''$ — $y : y = 55^\circ 31' 0''$
 $a : b : c = 0,5283560 : 1 : 0,9500082$

Die Differenz zwischen $c_{\max.}$ und $c_{\min.}$ ist = 0,0009306, und die Differenz zwischen $a_{\max.}$ und $a_{\min.}$ ist = 0,0132178.

Register zum zehnten Bande.

	Seite		Seite
C.		K.	
Chrysoberyll (Dritter Anhang) . . .	236	Klinochlor (Anhang)	5
Columbit	261	Kotschubeit	35
D.		M.	
Diamant (Vierter Anhang) . . .	82	Meteorit von Nowo-Urei, Gouver- nement Pensa	82
„ (Fünfter Anhang) . . .	324	Monazit (Vierter Anhang) . . .	155
E.		S.	
Euklas (Dritter Anhang) . . .	104	Sylvanit (Beiträge zur Kenntniss der Krystallisation des Syl- vanits)	165
„ (Vierter Anhang) . . .	225	Schrifterz	165
Eichwaldit	257	T.	
H.		Topas (Siebenter Anhang) . . .	229
Herderit	136	„ (Achter Anhang) . . .	330
J.		Z.	
Jeremejewit	241	Zirkon (Fünfter Anhang) . . .	321

Druckfehler des zehnten Bandes.

Seite	36	Zeile	7 v. u.	statt: S. 374	lies: S. 369
"	81	"	9 v. u.	" $-\frac{1}{2}b$	" $-\frac{1}{2}P$
"	332	"	6 v. o.	" $109^{\circ} 10' 20''$	" $100^{\circ} 10' 20''$
"	335	"	12 v. u.	" $n = \frac{1}{2}P$	" $n = \frac{1}{2}P$
"	338	"	12 v. u.	" Tonaskristalle	" Topaskristalle

MATERIALIEN

ZUR

MINERALOGIE RUSSLANDS.

ELFTER BAND.

1

MATERIALIEN

ZUR

MINERALOGIE RUSSLANDS

VON

NIKOLAI v. KOKSCHAROW,

Berg-Ingenieur, wirklichem Mitgliede der Kaiserl. Akademie der Wissenschaften zu St.-Petersburg, Director und Ehren-Mitgliede der Kaiserl. Mineralogischen Gesellschaft zu St.-Petersburg, Ehren-Mitgliede der Kaiserl. Universitäten zu St.-Petersburg, Moskau, St. Wladimir zu Kiew (auch Doctor der Mineralogie), Kasan und Charkow, Kaiserl. Medicinischen Akademie zu St.-Petersburg, Correspondirendem Mitgliede der Akademie der Wissenschaften zu Paris, Berlin, München (auch auswärtigem Mitgliede), Rom (auch auswärtigem Mitgliede), Turin, Kopenhagen, New-York, Philadelphia und Deutsche Leopoldo-Carolinische Akademie der Wissenschaften, der Königl. Gesellschaft der Wissenschaften zu Göttingen, (auch Ehren-Mitgliede), der Kaiserl. Königl. Geologischen Reichsanstalt zu Wien, der Geologischen Gesellschaft zu London (auch auswärtigem Mitgliede), der Naturforschenden Gesellschaft in Freiburg, wirklichem Mitgliede der Kaiserl. Geographischen und Freien Oekonomischen Gesellschaft zu St.-Petersburg, Ehren-Mitgliede der Mineralogischen Gesellschaft zu Paris, des Natur-Wissenschaften Vereins für Steiermark, der Oberhessischen Gesellschaft für Natur- und Heilkunde zu Giessen, des Naturhistorischen Vereins „Lotos“ in Prag, des Freien Deutschen Hochstiftes für Wissenschaften, Künste und allgemeine Bildung in Goethe's Vaterhause zu Frankfurt am Main, der Pharmaceutischen Gesellschaft zu St.-Petersburg, der Naturforschenden Vereine zu St.-Petersburg, Moskau, Charkow, Kasan, Odessa, Riga, auswärtigem Mitgliede der Königl. Böhmisches Gesellschaft der Wissenschaften.

ELFTER BAND.

St.-Petersburg.

Gedruckt bei ALEXANDER JACOBSON.

(Was. Ostr., 7 Lin., N 4.)

1891.

|

|

Dritter Anhang zum Aragonit.

(Vergl. Bd. VI, S. 261; Bd. VII, S. 218; Bd. VIII, S. 341.)

Seit der Zeit, wo Miller, v. Zepharovich und ich die an Aragonitkrystallen angestellten Messungen veröffentlicht haben, sind noch mehrere wichtige Abhandlungen von L. Buchrucker ¹⁾ und J. Beckenkamp ²⁾ über denselben Gegenstand erschienen.

I. L. Buchrucker's Beobachtungen.

L. Buchrucker hat die Aragonit-Krystalle von Leogang in Salzburg untersucht. Die Krystallisationsgestalten der Leoganger Aragonite theilt er in drei Typen und zwar sind es:

- a) Individuen vom tafeligen Habitus.
- b) Viellinge vom säuligen Habitus.
- c) Viellinge vom spiessigen Habitus.

Er bemerkt unter anderem, dass die Prismenflächen dieser Krystalle höchst vollkommen ebenflächig sind und bei der Messung mit dem Reflexionsgoniometer Bilder von vorzüglicher Güte liefern, so dass

¹⁾ Vergl. L. Buchrucker's: Abhandlung: „Die Mineralien der Erzlagerstätten von Leogang in Salzburg“, Zeitschrift für Krystallographie und Mineralogie von P. Groth, 1891, Bd. XIX, Heft 2, Seite 140.

²⁾ Vergl. J. Beckenkamp's Abhandlung: „Zur Symmetrie der Krystalle,“, Zeitschrift für Krystallographie und Mineralogie von P. Groth, 1891, Bd. XIX, Heft 3, Seite 241.

an verschiedenen Krystallen der Prismenwinkel oft nur um $\frac{1}{2}$ Minute differirte. Die Flächen des primären Brachydomas, wenn sie auch an Vollkommenheit den prismatischen Flächen nicht gleichkommen, geben ebenfalls recht gute Signalbilder und lassen Messungen zu, welche wohl geeignet sind für die Berechnung des Axenverhältnisses. Was das Basopinakoid betrifft, so ist hervorzuheben, dass es einen lebhaften, fast demantartigen Glanz besitzt und parallel der Combinationsecke mit $h = \infty\bar{P}\infty$ eine feine regelmässige Streifung zeigt. Die Flächen des Brachypinakoides gehören zu den am unvollkommensten ausgebildeten, indem sie durch eine stets vorhandene Combinationstreifung mit $v = 3\bar{P}\infty$ oder seltener mit $k = \bar{P}\infty$ ein tiefgefurchtes und mattschimmerndes Aussehen erlangen und durch eine blätterartige Auflagerung auf $h = \infty\bar{P}\infty$ convex gewölbt erscheinen.

»Die Messungen«, schreibt L. Buchrucker, »denen 22 un-
 »erlesene schöne Krystalle unterzogen wurden, sind wie alle späteren,
 »mit dem Fuess'schen Reflexionsgoniometer (Modell № 2) ausgeführt
 »worden, das eine genaue Ablesung auf 30'' gestattet. Als Signal
 »wurde theils der Websky'sche Spalt, theils das Schrauf'sche Sig-
 »nal verwendet, welches letzteres besonders bei den vorzüglich-gebilde-
 »ten Prismenflächen eine sorgfältige Einstellung ermöglichte. Für die
 »Stellung der Krystalle ist die übliche beibehalten worden, wobei
 »(100) als optische Axenebene fungirt und die c-Axe ¹⁾ die erste
 »Mittellinie bildet.«

Durch auf diese Weise angestellten Messungen hat L. Buchrucker folgende Winkelwerthe erhalten:

$$M(\infty P) : M(\infty P)$$

(Brachydiagonale Kante, 38 Messungen.)

$$\text{Mittel} = 116^\circ 12\frac{1}{2}' \left\{ \begin{array}{l} \text{Grösster Werth} = 116^\circ 20' \\ \text{Kleinster Werth} = 116^\circ 8\frac{1}{2}' \end{array} \right.$$

¹⁾ Unsere Axe a.

$$k (\check{P}\infty) : k (\check{P}\infty)$$

(Brachydiagonale Polkante, 21 Messungen.)

$$\text{Mittel} = 108^\circ 24' \left\{ \begin{array}{l} \text{Grösster Werth} = 108^\circ 27\frac{1}{2}' \\ \text{Kleinster Werth} = 108 \quad 20 \end{array} \right.$$

$$v (3\check{P}\infty) : v (3\check{P}\infty)$$

(Brachydiagonale Polkante, 10 Messungen.)

$$\text{Mittel} = 49^\circ 44'$$

$$k (\check{P}\infty) : c (oP)$$

(8 Messungen).

$$\text{Mittel} = 144^\circ 12' \left\{ \begin{array}{l} \text{Grösster Werth} = 144^\circ 16' \\ \text{Kleinster Werth} = 144 \quad 6 \end{array} \right.$$

$$v (3\check{P}\infty) : c (oP)$$

$$\text{Mittel} = 114^\circ 52' \left\{ \begin{array}{l} \text{Grösster Werth} = 114^\circ 58' \\ \text{Kleinster Werth} = 114 \quad 48 \end{array} \right.$$

Aus seinen Messungen $M : M$ und $k : c$ hat L. Buchrucker, für die Grundform des Minerals, folgendes Axenverhältniss berechnet:

$$\begin{aligned} a : b : c &= 1,15888 : 1,60684 : 1 \\ &= 0,72122 : 1 : 0,62234, \end{aligned}$$

wo a = Verticalaxe, b = Makrodiagonale und c = Brachydiagonale.

Aus diesem Axenverhältnisse berechnen sich für die Formen der Aragonitkrystalle von Leogang in Salzburg folgende Winkel:

$$p = P$$

$$\begin{array}{ll} \frac{1}{2}X = 46^\circ 46' 25'' & X = 93^\circ 32' 50'' \\ \frac{1}{2}Y = 64 \ 46 \ 17 & Y = 129 \ 32 \ 34 \\ \frac{1}{2}Z = 53 \ 46 \ 24 & Z = 107 \ 32 \ 48 \end{array}$$

$$\alpha = 54^\circ 12' 0''$$

$$\beta = 40 \ 47 \ 27$$

$$\gamma = 31 \ 53 \ 44$$

$$n = \bar{P}2$$

$$\begin{array}{ll} \frac{1}{2}X = 64^\circ 49' 42'' & X = 129^\circ 39' 24'' \\ \frac{1}{2}Y = 58 \ 2 \ 4 & Y = 116 \ 4 \ 8 \\ \frac{1}{2}Z = 42 \ 46 \ 25 & Z = 85 \ 32 \ 50 \end{array}$$

$$\alpha = 54^\circ 12' 0''$$

$$\beta = 59 \ 54 \ 37$$

$$\gamma = 51 \ 13 \ 15$$

$$s = 2\bar{P}2$$

$$\begin{array}{ll} \frac{1}{2}X = 56^\circ 33' 52'' & X = 113^\circ 7' 44'' \\ \frac{1}{2}Y = 46 \ 42 \ 1 & Y = 93 \ 24 \ 2 \\ \frac{1}{2}Z = 61 \ 36 \ 40 & Z = 123 \ 13 \ 20 \end{array}$$

$$\alpha = 34^\circ 43' 57''$$

$$\beta = 40 \ 47 \ 27$$

$$\gamma = 51 \ 13 \ 15$$

$$M = \infty P$$

$$\begin{array}{ll} \frac{1}{2}X = 31^\circ 53' 44'' & X = 63^\circ 47' 28'' \\ \frac{1}{2}Y = 58 \ 6 \ 16 & Y = 116 \ 12 \ 32 \end{array}$$

$$u = \bar{P}\infty$$

$$\begin{array}{ll} \frac{1}{2}X = 40^\circ 47' 27'' & X = 81^\circ 34' 54'' \\ \frac{1}{2}Z = 49 \ 12 \ 33 & Z = 98 \ 25 \ 6 \end{array}$$

$$x = \frac{1}{3}\check{P}\infty$$

$$\begin{array}{ll} \frac{1}{3}Y = 70^\circ 10' 13'' & Y = 140^\circ 20' 26'' \\ \frac{1}{3}Z = 19 \ 49 \ 47 & Z = 39 \ 39 \ 34 \end{array}$$

$$k = \check{P}\infty$$

$$\begin{array}{ll} \frac{1}{3}Y = 54^\circ 12' 0'' & Y = 108^\circ 24' 0'' \\ \frac{1}{3}Z = 35 \ 48 \ 0 & Z = 71 \ 36 \ 0 \end{array}$$

$$l = \frac{2}{3}\check{P}\infty$$

$$\begin{array}{ll} \frac{1}{3}Y = 42^\circ 44' 57'' & Y = 85^\circ 29' 54'' \\ \frac{1}{3}Z = 47 \ 15 \ 3 & Z = 94 \ 30 \ 6 \end{array}$$

$$i = 2\check{P}\infty$$

$$\begin{array}{ll} \frac{1}{3}Y = 34^\circ 43' 57'' & X = 69^\circ 27' 54'' \\ \frac{1}{3}Z = 55 \ 16 \ 3 & Z = 110 \ 32 \ 6 \end{array}$$

$$v = 3\check{P}\infty$$

$$\begin{array}{ll} \frac{1}{3}Y = 24^\circ 48' 20'' & Y = 49^\circ 36' 40'' \\ \frac{1}{3}Z = 65 \ 11 \ 40 & Z = 130 \ 23 \ 20 \end{array}$$

$$e = 5\check{P}\infty$$

$$\begin{array}{ll} \frac{1}{3}Y = 15^\circ 29' 57'' & Y = 30^\circ 59' 54'' \\ \frac{1}{3}Z = 74 \ 30 \ 3 & Z = 149 \ 0 \ 6 \end{array}$$

$$q = 6\check{P}\infty$$

$$\begin{array}{ll} \frac{1}{3}Y = 13^\circ 0' 44'' & Y = 26^\circ 1' 28'' \\ \frac{1}{3}Z = 76 \ 59 \ 16 & Z = 153 \ 58 \ 32 \end{array}$$

Ferner erhalten sich durch Rechnung folgende Combinations-
winkel:

$M : h$	$=$	$121^{\circ} 53' 44''$
$M : b$	$=$	$148 \quad 6 \quad 16$
$M : M$ über h	$\} =$	$63 \quad 47 \quad 28$
$M : M$ über b	$\} =$	$116 \quad 12 \quad 32$
$M : u$	$=$	$130 \quad 0 \quad 0$
$M : c$	$=$	$90 \quad 0 \quad 0$
$M : x$	$=$	$100 \quad 19 \quad 31$
$M : k$	$=$	$108 \quad 0 \quad 13$
$M : l$	$=$	$112 \quad 49 \quad 49$
$M : i$	$=$	$115 \quad 44 \quad 10$
$M : v$	$=$	$118 \quad 39 \quad 39$
$M : e$	$=$	$120 \quad 36 \quad 28$
$M : q$	$=$	$120 \quad 59 \quad 4$
$M : p$ anliegende	$\} =$	$143 \quad 46 \quad 24$
$h : q$	$=$	$166 \quad 59 \quad 16$
$h : e$	$=$	$164 \quad 30 \quad 3$
$h : v$	$=$	$155 \quad 11 \quad 40$
$h : i$	$=$	$145 \quad 16 \quad 3$
$h : l$	$=$	$137 \quad 15 \quad 3$
$h : k$	$=$	$125 \quad 48 \quad 0$
$h : x$	$=$	$109 \quad 49 \quad 47$
$h : c$	$=$	$90 \quad 0 \quad 0$
$h : s$	$=$	$133 \quad 17 \quad 59$
$h : p$	$=$	$115 \quad 13 \quad 43$
$h : u$	$=$	$90 \quad 0 \quad 0$
$h : n$	$=$	$121 \quad 57 \quad 56$
$h : b$	$=$	$90 \quad 0 \quad 0$
$b : u$	$=$	$139 \quad 12 \quad 33$

$b : c$	=	90° 0' 0''
$b : p$	=	133 13 35
$b : n$	=	115 10 18
$b : s$	=	123 26 8
$c : x$	=	160 10 13
$c : k$	=	144 12 0
$c : l$	=	132 44 57
$c : i$	=	124 43 57
$c : v$	=	114 48 20
$c : e$	=	105 29 57
$c : q$	=	103 0 44
$c : u$	=	130 47 27
$c : p$	=	126 13 36
$c : n$	=	137 13 35
$c : s$	=	118 23 20
$u : p$	=	154 46 17
$u : u$ über c	} =	81 34 54
$u : s$	=	136 42 1
$u : n$	=	143 16 49
$p : s$	=	161 55 44
$p : n$	=	161 56 43
$p : p$ über k	} =	93 32 50
$p : p$ über u	} =	129 32 34
$p : x$	=	134 28 11
$p : k$	=	136 46 25
$p : l$	=	135 34 25
$p : i$	=	133 23 34
$p : v$	=	129 24 31
$p : e$	=	124 39 24
$p : q$	=	123 15 14

$n : x$	=	150° 28' 15''
$n : k$	=	154 49 42
$n : l$	=	152 30 5
$n : i$	=	148 34 20
$n : v$	=	142 2 52
$n : e$	=	134 56 8
$n : q$	=	132 55 44
$n : n$ über k	} =	129 39 24
$n : n$ Brachydiagonale Polkante	} =	116 4 8
$n : n$ über c	} =	94 27 10
$s : x$	=	132 50 11
$s : k$	=	144 53 14
$s : l$	=	145 43 32
$s : i$	=	146 33 52
$s : v$	=	145 17 12
$s : e$	=	141 59 32
$s : q$	=	140 49 42
$s : s$ über u	} =	93 24 2
$s : s$ über i	} =	113 7 44
$x : x$ über c	} =	140 20 26
$x : x$ über h	} =	39 39 34
$x : k$ anliegende	} =	164 1 47
$x : k$ über x	} =	124 22 13
$x : l$	=	152 34 44
$x : i$	=	144 33 44
$x : v$	=	134 38 7
$x : e$	=	125 19 44

$x : q$	$= 122^\circ 50' 31''$
$k : k$ über c	} $= 108 \ 24 \ 0$
$k : k$ über h	
$k : l$	$= 168 \ 32 \ 57$
$k : i$	$= 160 \ 31 \ 57$
$k : v$	$= 150 \ 36 \ 20$
$k : e$	$= 144 \ 17 \ 57$
$k : q$	$= 138 \ 48 \ 44$
$l : l$ über c	} $= 85 \ 29 \ 54$
$l : l$ über h	
$l : i$	$= 171 \ 59 \ 0$
$l : v$	$= 162 \ 3 \ 23$
$l : e$	$= 152 \ 45 \ 0$
$l : q$	$= 150 \ 15 \ 47$
$i : i$ über c	} $= 69 \ 27 \ 54$
$i : i$ über h	
$i : v$	$= 170 \ 4 \ 23$
$i : e$	$= 160 \ 46 \ 0$
$i : q$	$= 158 \ 16 \ 47$
$v : v$ über c	} $= 49 \ 36 \ 40$
$v : v$ über h	
$v : e$	$= 170 \ 41 \ 37$
$v : q$	$= 168 \ 12 \ 24$
$e : e$ über c	} $= 30 \ 59 \ 54$
$e : e$ über h	
$e : q$	$= 177 \ 30 \ 47$
$q : q$ über c	} $= 26 \ 1 \ 28$

$$\begin{array}{l} g : g \\ \text{über } h \end{array} \} = 153^\circ 58' 32''$$

$$\begin{array}{l} x : x' \\ \text{Zwillingskante} \end{array} \} = 159 \quad 20 \quad 58$$

$$\begin{array}{l} k : k' \\ \text{Zwillingskante} \end{array} \} = 143 \quad 59 \quad 34$$

Zur Ermittlung des optischen Axenwinkels wurden von wasserhellen Krystallen einige basische Platten geschliffen, welche das Interferenzbild scharf und ungestört erkennen liessen. L. Buchrucker schreibt über diesen Gegenstand folgendes:

»Das Mittel aus einer grösseren Anzahl von Messungen mit dem grossen Axenwinkelapparate von Fuess ergibt für den scheinbaren spitzen Winkel in Luft und bei gewöhnlicher Zimmertemperatur:

$$\begin{array}{l} \text{»}2E \text{ für } Li \text{ — Licht} = 30^\circ 38' \\ \text{»} \text{ — — } Na \text{ — — — — —} = 30^\circ 43\frac{1}{2}' \\ \text{»} \text{ — — } Tl \text{ — — — — —} = 30^\circ 57' \end{array}$$

»Nach Grailich und v. Lang ist für Roth

$$\text{»}2E = 30^\circ 40' \text{«}$$

II. J. Beckenkamp's Beobachtungen.

J. Beckenkamp in Freiburg hat neuerdings zwei wichtige Abhandlungen geliefert. In der zweiten Abhandlung beschreibt er die Aragonit-Krystalle von Bilin (Böhmen) ziemlich ausführlich und beginnt seine Abhandlung mit folgender Vorrede:

»Bei den von mir untersuchten Aragoniten waren zum Theil der Fundort Bilin, theils die in dessen Nähe liegenden Orte Horschenez und Czieszow angegeben u. s. w.

»Es kam mir bei dieser Untersuchung wesentlich darauf an, den
 »Sinn der Abweichung der vicinalen Flächen von der wahren Lage
 »der Flächen zu bestimmen, d. h. zu untersuchen, ob dieselbe vor-
 »wiegend nur nach einer Seite hin stattfindet oder nach verschiedenen
 »Seiten. Die Berechnung der Indices der vicinalen Flächen habe ich
 »unterlassen und nur die Winkelwerthe angegeben, von der Ansicht
 »ausgehend, dass nach den bisherigen Erfahrungen die Beobachtungen
 »jedenfalls nicht den Nachweis zu führen vermochten, dass die vici-
 »nalen Flächen dem Gesetze der Rationalität folgen.

»Da bei weitem die Mehrzahl der Flächen des Aragonits mehrfache
 »Reflexe geben, und auch die Flächen mit einfachen Bildern bei ver-
 »schiedenen Individuen meist durchaus nicht übereinstimmen, so
 »konnte zur Bestimmung der wahren Lage der Flächen das Mittel
 »noch so vieler Beobachtungen nicht zum Ziele führen. Glücklicher-
 »weise machen einige Flächen von dem erwähnten unregelmässigen
 »Verhalten eine sehr auffallende Ausnahme. Eine zusammenstellende
 »Uebersicht über eine grosse Anzahl von Beobachtungen ergab, dass
 »die Brachydomenfläche $x = \{012\}$ und die Pyramidenfläche $s =$
 » $\{121\}$ bei allen meinen Beobachtungen nicht nur einfach, sondern
 »auch auf die Minute genau übereinstimmend erschienen. Sie allein
 »konnten daher als Ausgangspunkte in Betracht kommen.«

J. Beckenkamp hat daher, zur Ermittlung des Axenver-
 hältnisses der Grundform, die vier Flächen $s = 2\bar{P}2$ gewählt. Nach
 der von ihm angegebenen Ausgleichungsmethode erhielt er die wahr-
 scheinlichsten Werthe:

$$\begin{aligned} s (2\bar{P}2) : b (\infty\bar{P}\infty) &= 123^\circ 24' 20.6 \\ s (2\bar{P}2) : h (\infty\bar{P}\infty) &= 133 \quad 17 \quad 50 \quad 4 \\ s (2\bar{P}2) : c (o\bar{P}) &= 118 \quad 25 \quad 28 \quad 7 \end{aligned}$$

J. Beckenkamp erwähnt dabei, dass die den Beobachtungen
 nöthigen Correcturen äusserst gering waren:

$$+ 1.3, - 1.6, - 1.4.$$

Hieraus leitet er folgendes Axenverhältniss ab :

$$\left. \begin{aligned} a : b : c &= 1,15665 : 1,60565 : 1 \\ &= 0,72036 : 1 : 0,62280 \end{aligned} \right\} \text{J. Beckenkamp,}$$

wo a = Verticalaxe, b = Makrodiagonale und c = Brachydiagonale¹⁾.

Dieses mit so grosser Sorgfalt abgeleitete Axenverhältniss unterscheidet sich sehr wenig von dem, welches Miller, v. Zepharovich und ich aus unseren Messungen erhalten haben.

Die übrigen besten von J. Beckenkamp ausgeführten Messungen sind folgende:

$$x \left(\frac{1}{3} \bar{P} \infty \right) : c \text{ (oP)}$$

Kr. 1,	unterer Kopf,	links	=	160° 12'
Kr. 2	„	„	{	rechts = 160 11
			{	links = 160 11
Kr. 4	„	„	{	rechts = 160 11
			{	links = 160 11
Kr. 5	„	„	{	rechts = 160 11
			{	links = 160 11
Kr. 6	„	„	{	rechts = 160 11
			{	links = 160 11
Kr. 7	{	eine Hälfte	{	rechts = 160 12
			{	links = 160 12
Zwilling	{	andere Hälfte	{	rechts = 160 11
			{	links = 160 11

Mittel = 160° 11' 13''

¹⁾ Ich behalte hier für die Axen und Flächen dieselbe Bezeichnung bei, welche ich in diesem Werke angenommen habe. J. Beckenkamp dagegen bezeichnet dieselben etwas anders, nämlich mit c Verticalaxe, mit b Makrodiagonale und mit a Brachydiagonale. Auch bezeichnet er mit α Makropinakoid, mit β Brachypinakoid und mit γ Basopinakoid.

$k (\check{P}\infty) : c (oP)$

Kr. 1	{	unterer Kopf	{	rechts = 144° 14'
				links = 144 14
		oberer Kopf	{	rechts = 144 12
				links = 144 12
Kr. 2,		unterer Kopf,		links = 144 13
Kr. 3,		unterer Kopf	{	rechts = 144 13
				links = 144 13
Kr. 4	{	unterer Kopf,		links = 144 14
		oberer Kopf,		rechts = 144 12
Kr. 5,		unterer Kopf,		links = 144 13
Kr. 6,		unterer Kopf	{	rechts = 144 13
				links = 144 13
Kr. 7	{	eine Hälfte	{	unterer Kopf, rechts = 144 14
				oberer Kopf, links = 144 10
Zwilling	{	andere Hälfte	{	unterer Kopf, links = 144 13
				oberer Kopf, rechts = 144 12
				Mittel = 144° 12' 49''

$l (\frac{3}{2}\check{P}\infty) : c (oP)$

Kr. 1,	unterer Kopf,	rechts = 132° 48'
Kr. 7	}	unterer Kopf, rechts = 132 48
Zwilling	}	unterer Kopf, rechts = 132 48
		Mittel = 132° 48' 0''

$v (3\check{P}\infty) : c (oP)$

Kr. 1	{	unterer Kopf, rechts = 114° 50'
		oberer Kopf, rechts = 114 52
Kr. 2,		unterer Kopf, links = 114 50
		Mittel = 114° 50' 40''

Wenn wir jetzt alle von J. Beckenkamp ausgeführten Messungen ohne Ausnahme (d. h. die genauen, so wie die weniger befriedigenden) in Rücksicht nehmen wollen, so erhält man folgendes:

Für $k(\check{P}\infty) : c(oP)$

Krystall № 1 = $144^{\circ} 14'$
144 14
144 3
144 12
144 6
144 0
143 46
142 59
141 13
144 12
143 53

Krystall № 2 = $144^{\circ} 13'$

Krystall № 3 = $144^{\circ} 13'$
144 4
144 13
144 4

Krystall № 4 = $144^{\circ} 12'$

144 3
143 56
143 53
144 14
144 10

Krystall № 5 = $144^{\circ} 5'$

143 53

144° 13'
144 8
144 2
143 50

Krystall № 6 = 144° 13'
144 8
144 4
143 59
144 13
144 5
143 55
143 49

Krystall № 7 } = 144° 14'
Zwilling }
144 9
144 4
143 59
144 10
144 12
144 6
144 0
143 49
143 42
143 36
144 13
144 8
144 0
143 53

Mittel = 143° 58' 48''

Für l ($\frac{2}{3}\bar{P}\infty$) : c (oP)

Krystall № 1	=	132° 48'
		132 44
		132 37
		132 40
		132 48

Mittel = 132° 43' 24''

Für ν ($3\bar{P}\infty$) : c (oP)

Krystall № 1	=	114° 50'
		114 38
		114 45
		114 52

Krystall № 2	=	114° 50'
		114 12

Krystall № 5	=	114° 43'
		114 36
		114 32
		114 26
		114 21
		114 9

Krystall № 7 } Zwilling }	=	114° 48'
------------------------------	---	----------

Mittel = 114° 35' 32''

Für b ($\infty\bar{P}\infty$) : c (oP)

Krystall № 1	=	90° 0'
		86 38
		89 58
		90 3

Krystall № 2	=	90° 35'	
Krystall № 3	=	90° 7'	
		90 3	
		89 55	
		90 5	
Krystall № 4	=	90° 22'	
		90 0	
Krystall № 5	=	90° 12'	
		89 57	
		89 35	
		90 23	
		90 14	
		90 5	
		90 0	
		89 53	
		89 50	
Krystall № 6	=	90° 0'	
		90 7	
		90 0	
Krystall № 7	}	= 90° 0'	
Zwilling			
			90 15
			90 9
		90 2	
Mittel	=	89° 56' 36''	

Vermittelst des Axenverhältnisses, welches J. Beckenkamp abgeleitet hat, d. h.

$$a : b : c = 1,15665 : 1,60565 : 1,$$

lassen sich für den Aragonit aus Bilin folgende Winkel berechnen :

$$p = P$$

$$\begin{array}{ll} \frac{1}{2}X = 46^\circ 49' 2'' & X = 93^\circ 38' 4'' \\ \frac{1}{2}Y = 64 46 24 & Y = 129 32 48 \\ \frac{1}{2}Z = 53 43 33 & Z = 107 27 6 \end{array}$$

$$\alpha = 54^\circ 13' 57''$$

$$\beta = 40 50 44$$

$$\gamma = 31 54 53$$

$$n = \check{P}2$$

$$\begin{array}{ll} \frac{1}{2}X = 64^\circ 51' 42'' & X = 129^\circ 43' 24'' \\ \frac{1}{2}Y = 58 3 10 & Y = 116 6 20 \\ \frac{1}{2}Z = 42 43 53 & Z = 85 27 46 \end{array}$$

$$\alpha = 54^\circ 13' 57''$$

$$\beta = 59 57 29$$

$$\gamma = 51 14 30$$

$$s = 2\check{P}2$$

$$\begin{array}{ll} \frac{1}{2}X = 56^\circ 35' 39'' & X = 113^\circ 11' 18'' \\ \frac{1}{2}Y = 46 42 10 & Y = 93 24 20 \\ \frac{1}{2}Z = 61 34 31 & Z = 123 9 2 \end{array}$$

$$\alpha = 34^\circ 45' 52''$$

$$\beta = 40 50 44$$

$$\gamma = 51 14 30$$

$$M = \infty P$$

$$\begin{array}{ll} \frac{1}{2}X = 31^\circ 54' 53'' & X = 63^\circ 49' 46'' \\ \frac{1}{2}Y = 58 5 7 & Y = 116 10 14 \end{array}$$

$$u = \bar{P}\infty$$

$$\begin{array}{ll} \frac{1}{3}X = 40^\circ 50' 44'' & X = 81^\circ 41' 28'' \\ \frac{1}{3}Z = 49 \quad 9 \quad 16 & Z = 98 \quad 18 \quad 32 \end{array}$$

$$x = \frac{1}{3}\check{P}\infty$$

$$\begin{array}{ll} \frac{1}{3}Y = 70^\circ 11' 31'' & Y = 140^\circ 23' \quad 2'' \\ \frac{1}{3}Z = 19 \quad 48 \quad 29 & Z = 39 \quad 36 \quad 58 \end{array}$$

$$k = \check{P}\infty$$

$$\begin{array}{ll} \frac{1}{3}Y = 54^\circ 13' 57'' & Y = 108^\circ 27' 54'' \\ \frac{1}{3}Z = 35 \cdot 46 \quad 3 & Z = 71 \quad 32 \quad 6 \end{array}$$

$$l = \frac{2}{3}\check{P}\infty$$

$$\begin{array}{ll} \frac{1}{3}Y = 42^\circ 46' 59'' & Y = 85^\circ 33' 58'' \\ \frac{1}{3}Z = 47 \quad 13 \quad 1 & Z = 94 \quad 26 \quad 2 \end{array}$$

$$i = 2\check{P}\infty$$

$$\begin{array}{ll} \frac{1}{3}Y = 34^\circ 45' 52'' & Y = 69^\circ 31' 44'' \\ \frac{1}{3}Z = 55 \quad 14 \quad 8 & Z = 110 \quad 28 \quad 16 \end{array}$$

$$v = 3\check{P}\infty$$

$$\begin{array}{ll} \frac{1}{3}Y = 24^\circ 49' 53'' & Y = 49^\circ 39' 46'' \\ \frac{1}{3}Z = 65 \quad 10 \quad 7 & Z = 130 \quad 20 \quad 14 \end{array}$$

$$e = 5\check{P}\infty$$

$$\begin{array}{ll} \frac{1}{3}Y = 15^\circ 31' \quad 0'' & Y = 31^\circ \quad 2' \quad 0'' \\ \frac{1}{3}Z = 74 \quad 29 \quad 0 & Z = 148 \quad 58 \quad 0 \end{array}$$

$$q = 6\bar{P}\infty$$

$$\begin{array}{ll} \frac{1}{2}Y = 13^\circ 1' 37'' & Y = 26^\circ 3' 14'' \\ \frac{1}{2}Z = 76 58 23 & Z = 153 56 46 \end{array}$$

Ferner erhält man durch Rechnung folgende Winkel:

$$\begin{array}{ll} M : h & = 121^\circ 54' 53'' \\ M : b & = 148 5 7 \\ M : M \} & = 63 49 46 \\ \text{über } h & \\ M : M \} & = 116 10 14 \\ \text{über } b & \\ M : u & = 129 57 1 \\ M : c & = 90 0 0 \\ M : x & = 100 19 12 \\ M : k & = 107 59 56 \\ M : l & = 112 49 48 \\ M : i & = 115 44 24 \\ M : v & = 118 40 16 \\ M : e & = 120 37 23 \\ M : q & = 121 0 3 \\ M : p \} & = 143 43 33 \\ \text{anliegende} & \\ h : q & = 166 58 23 \\ h : e & = 164 29 0 \\ h : v & = 155 10 7 \\ h : i & = 145 14 8 \\ h : l & = 137 13 1 \\ h : k & = 125 46 3 \\ h : x & = 109 48 29 \\ h : c & = 90 0 0 \\ h : s & = 133 17 50 \end{array}$$

$h : p$	$=$	115°	13'	36''
$h : u$	$=$	90	0	0
$h : n$	$=$	121	56	50
$h : b$	$=$	90	0	0
$b : u$	$=$	139	9	16
$b : c$	$=$	90	0	0
$b : p$	$=$	133	10	58
$b : n$	$=$	115	8	18
$b : s$	$=$	123	24	21
$c : x$	$=$	160	11	31
$c : k$	$=$	144	13	57
$c : l$	$=$	132	46	59
$c : i$	$=$	124	45	52
$c : v$	$=$	114	49	53
$c : e$	$=$	105	31	0
$c : q$	$=$	103	1	37
$c : u$	$=$	130	50	44
$c : p$	$=$	126	16	27
$c : n$	$=$	137	16	7
$c : s$	$=$	118	25	29
$u : p$	$=$	154	46	24
$u : u$ über c	$\} =$	81	41	28
$u : s$	$=$	136	42	10
$u : n$	$=$	143	17	55
$p : s$	$=$	161	55	46
$p : n$	$=$	161	57	20
$p : p$ über k	$\} =$	93	38	4
$p : p$ über u	$\} =$	129	32	48
$p : p$ über c	$\} =$	72	32	54
$p : x$	$=$	134	30	46

$p : k$	=	136° 49' 2''
$p : l$	=	135 36 56
$p : i$	=	133 25 53
$p : v$	=	129 26 21
$p : e$	=	124 40 35
$p : q$	=	123 16 14
$n : x$	=	150 30 15
$n : k$	=	154 51 42
$n : l$	=	152 31 56
$n : i$	=	148 35 51
$n : v$	=	142 3 47
$n : e$	=	134 56 21
$n : q$	=	132 55 44
$n : n$ über k	} =	129 43 24
Brachydiagonale Polkante $n : n$ über c	} =	116 6 20
$n : n$ über c	} =	94 32 14
$s : x$	=	132 51 42
$s : k$	=	141 54 43
$s : l$	=	145 45 15
$s : i$	=	146 35 39
$s : v$	=	145 18 49
$s : e$	=	142 0 40
$s : q$	=	140 50 39
$s : s$ über u	} =	93 24 20
$s : s$ über i	} =	113 11 18
$x : x$ über c	} =	140 23 2
$x : x$ über h	} =	39 36 58
$x : k$ anliegende	} =	164 2 26

$x : l$	=	152° 35' 28''
$x : i$	=	144 34 21
$x : v$	=	134 38 22
$x : e$	=	125 19 29
$x : q$	=	122 50 6
$k : k$ über c	}	= 108 27 54
$k : k$ über h		
$k : l$	=	168 33 2
$k : i$	=	160 31 55
$k : v$	=	150 35 56
$k : e$	=	141 17 3
$k : q$	=	138 47 40
$l : l$ über c	}	= 85 33 58
$l : l$ über h		
$l : i$	=	171 58 53
$l : v$	=	162 2 54
$l : e$	=	152 44 1
$l : q$	=	150 14 38
$i : i$ über c	}	= 69 31 44
$i : i$ über h		
$i : v$	=	170 4 1
$i : e$	=	160 45 8
$i : q$	=	158 15 45
$v : v$ über c	}	= 49 39 46
$v : v$ über h		
$v : e$	=	170 41 7
$v : q$	=	168 11 44
$e : e$ über c	}	= 31 2 0

$$\begin{aligned}
 e : e \left. \begin{array}{l} \text{über } h \end{array} \right\} &= 148^\circ 58' 0'' \\
 e : q &= 177 \quad 30 \quad 37 \\
 q : q \left. \begin{array}{l} \text{über } c \end{array} \right\} &= 26 \quad 3 \quad 14 \\
 q : q \left. \begin{array}{l} \text{über } h \end{array} \right\} &= 153 \quad 56 \quad 46 \\
 x : x' \left. \begin{array}{l} \text{Zwillingskante} \end{array} \right\} &= 159 \quad 21 \quad 36 \\
 k : k' \left. \begin{array}{l} \text{Zwillingskante} \end{array} \right\} &= 144 \quad 0 \quad 8
 \end{aligned}$$

III. Miller's und v. Zepharovich's Beobachtungen.

Um unsere obenangegebenen Berechnungen zu vervollständigen, werden wir die Winkel der Aragonitkrystalle aus dem Axenverhältnisse berechnen, welches Miller ¹⁾ und v. Zepharovich ²⁾ abgeleitet haben. — Dieses Axenverhältniss, wie man weiss, ist folgendes:

$$\begin{aligned}
 a : b : c &= 1,15720 : 1,60550 : 1 \\
 &= 0,72077 : 1 : 0,62286
 \end{aligned}$$

Aus demselben berechnen sich nämlich folgende Werthe:

$$\begin{aligned}
 p &= P \\
 \frac{1}{3}X &= 46^\circ 48' 33'' & X &= 93^\circ 37' 6'' \\
 \frac{1}{3}Y &= 64 \quad 46 \quad 0 & Y &= 129 \quad 32 \quad 0 \\
 \frac{1}{3}Z &= 53 \quad 44 \quad 23 & Z &= 107 \quad 28 \quad 46 \\
 \alpha &= 54^\circ 13' 1'' \\
 \beta &= 40 \quad 49 \quad 56 \\
 \gamma &= 31 \quad 55 \quad 2
 \end{aligned}$$

¹⁾ Brooke and Miller: An elementary Introduction to Mineralogy, London, 1852, p. 567.

²⁾ Sitzb. der Akad. der Wissensch. zu Wien, I. Abtheil. April-Heft, 1875.

$$n = \check{P}2$$

$$\begin{array}{ll} \frac{1}{2}X = 64^\circ 51' 20'' & X = 129^\circ 42' 40'' \\ \frac{1}{2}Y = 58 \quad 2 \quad 28 & Y = 116 \quad 4 \quad 56 \\ \frac{1}{2}Z = 42 \quad 44 \quad 47 & Z = 85 \quad 29 \quad 34 \end{array}$$

$$\begin{array}{l} \alpha = 54^\circ 13' 1'' \\ \beta = 59 \quad 56 \quad 47 \\ \gamma = 51 \quad 14 \quad 40 \end{array}$$

$$s = 2\check{P}2$$

$$\begin{array}{ll} \frac{1}{2}X = 56^\circ 35' 30'' & X = 113^\circ 11' 0'' \\ \frac{1}{2}Y = 46 \quad 41 \quad 39 & Y = 93 \quad 23 \quad 18 \\ \frac{1}{2}Z = 61 \quad 35 \quad 17 & Z = 123 \quad 10 \quad 34 \end{array}$$

$$\begin{array}{l} \alpha = 34^\circ 44' 57'' \\ \beta = 40 \quad 49 \quad 56 \\ \gamma = 51 \quad 14 \quad 40 \end{array}$$

$$M = \infty P$$

$$\begin{array}{ll} \frac{1}{2}X = 31^\circ 55' 2'' & X = 63^\circ 50' 4'' \\ \frac{1}{2}Y = 58 \quad 4 \quad 58 & Y = 116 \quad 9 \quad 56 \end{array}$$

$$u = \bar{P}\infty$$

$$\begin{array}{ll} \frac{1}{2}X = 40^\circ 49' 56'' & X = 81^\circ 39' 52'' \\ \frac{1}{2}Z = 49 \quad 10 \quad 4 & Z = 98 \quad 20 \quad 8 \end{array}$$

$$x = \frac{1}{2}\check{P}\infty$$

$$\begin{array}{ll} \frac{1}{2}Y = 70^\circ 10' 54'' & Y = 140^\circ 21' 48'' \\ \frac{1}{2}Z = 19 \quad 49 \quad 6 & Z = 39 \quad 38 \quad 12 \end{array}$$

$$k = \check{P}_\infty$$

$$\begin{array}{ll} \frac{1}{3}Y = 54^\circ 13' 1'' & Y = 108^\circ 26' 2'' \\ \frac{1}{3}Z = 35 \ 46 \ 59 & Z = 71 \ 33 \ 58 \end{array}$$

$$l = \frac{2}{3}\check{P}_\infty$$

$$\begin{array}{ll} \frac{1}{3}Y = 42^\circ 46' 0'' & Y = 85^\circ 32' 0'' \\ \frac{1}{3}Z = 47 \ 14 \ 0 & Z = 94 \ 28 \ 0 \end{array}$$

$$i = 2\check{P}_\infty$$

$$\begin{array}{ll} \frac{1}{3}Y = 34^\circ 44' 57'' & Y = 69^\circ 29' 54'' \\ \frac{1}{3}Z = 55 \ 15 \ 3 & Z = 110 \ 30 \ 6 \end{array}$$

$$v = 3\check{P}_\infty$$

$$\begin{array}{ll} \frac{1}{3}Y = 24^\circ 49' 8'' & Y = 49^\circ 38' 16'' \\ \frac{1}{3}Z = 65 \ 10 \ 52 & Z = 130 \ 21 \ 44 \end{array}$$

$$e = 5\check{P}_\infty$$

$$\begin{array}{ll} \frac{1}{3}Y = 15^\circ 30' 30'' & Y = 31^\circ 1' 0'' \\ \frac{1}{3}Z = 74 \ 29 \ 30 & Z = 148 \ 59 \ 0 \end{array}$$

$$q = 6\check{P}_\infty$$

$$\begin{array}{ll} \frac{1}{3}Y = 13^\circ 1' 12'' & Y = 26^\circ 2' 24'' \\ \frac{1}{3}Z = 76 \ 58 \ 48 & Z = 153 \ 57 \ 36 \end{array}$$

Ferner erhält man durch Rechnung folgende Winkel:

$$\begin{array}{ll} M : h & = 121^\circ 55' 2'' \\ M : b & = 148 \ 4 \ 58 \\ M : M \} & = 63 \ 50 \ 4 \\ \text{über } h & \end{array}$$

$M : M$	}	= 116° 9' 56''
über b		
$M : u$	=	129 57 31
$M : c$	=	90 0 0
$M : x$	=	100 19 33
$M : k$	=	108 0 26
$M : k$	}	= 71 59 34
nicht anliegende		
$M : l$	=	112 50 17
$M : i$	=	115 44 50
$M : v$	=	118 40 35
$M : e$	=	120 37 37
$M : q$	=	121 0 15
$M : p$	}	= 143 44 23
anliegende		
$h : q$	=	166 58 48
$h : e$	=	164 29 30
$h : v$	=	155 10 52
$h : i$	=	145 15 3
$h : l$	=	137 14 0
$h : k$	=	125 46 59
$h : x$	=	109 49 6
$h : c$	=	90 0 0
$h : s$	=	133 18 21
$h : p$	=	115 14 0
$h : u$	=	90 0 0
$h : n$	=	121 57 32
$h : b$	=	90 0 0
$b : u$	=	139 10 4
$b : c$	=	90 0 0
$b : p$	=	133 11 27
$b : n$	=	115 8 40
$b : s$	=	123 24 30

<i>c</i> : <i>x</i>	=	160°	10'	54''
<i>c</i> : <i>k</i>	=	144	13	1
<i>c</i> : <i>l</i>	=	132	46	0
<i>c</i> : <i>i</i>	=	124	44	57
<i>c</i> : <i>v</i>	=	114	49	8
<i>c</i> : <i>e</i>	=	105	30	30
<i>c</i> : <i>q</i>	=	103	1	12
<i>c</i> : <i>u</i>	=	130	49	56
<i>c</i> : <i>p</i>	=	126	15	37
<i>c</i> : <i>n</i>	=	137	15	13
<i>c</i> : <i>s</i>	=	118	24	43
<i>u</i> : <i>p</i>	=	154	46	0
<i>u</i> : <i>u</i> über <i>c</i>	} =	81	39	52
<i>u</i> : <i>s</i>	=	136	41	39
<i>u</i> : <i>n</i>	=	143	17	18
<i>p</i> : <i>s</i>	=	161	55	39
<i>p</i> : <i>n</i>	=	161	57	13
<i>p</i> : <i>p</i> über <i>k</i>	} =	93	37	6
<i>p</i> : <i>p</i> über <i>u</i>	} =	129	32	0
<i>p</i> : <i>p</i> über <i>c</i>	} =	72	31	14
<i>p</i> : <i>x</i>	=	134	30	14
<i>p</i> : <i>k</i>	=	136	48	33
<i>p</i> : <i>l</i>	=	135	36	28
<i>p</i> : <i>i</i>	=	133	25	28
<i>p</i> : <i>v</i>	=	129	26	4
<i>p</i> : <i>e</i>	=	124	40	31
<i>p</i> : <i>q</i>	=	123	16	14
<i>n</i> : <i>x</i>	=	150	29	47
<i>n</i> : <i>k</i>	=	154	51	20
<i>n</i> : <i>l</i>	=	152	31	35

$n : i$	$= 148^\circ 35' 34''$
$n : v$	$= 142 \quad 3 \quad 42$
$n : e$	$= 134 \quad 56 \quad 31$
$n : q$	$= 132 \quad 56 \quad 0$
$n : n$ über k	$\} = 129 \quad 42 \quad 40$
$n : n$ Brachydiagonale Polkante	$\} = 116 \quad 4 \quad 56$
$n : n$ über c	$\} = 94 \quad 30 \quad 26$
$s : x$	$= 132 \quad 51 \quad 24$
$s : k$	$= 141 \quad 54 \quad 36$
$s : l$	$= 145 \quad 45 \quad 7$
$s : i$	$= 146 \quad 35 \quad 30$
$s : v$	$= 145 \quad 18 \quad 43$
$s : e$	$= 142 \quad 0 \quad 43$
$s : q$	$= 140 \quad 50 \quad 46$
$s : s$ über u	$\} = 93 \quad 23 \quad 18$
$s : s$ über i	$\} = 113 \quad 11 \quad 0$
$s : s$ über c	$\} = 56 \quad 49 \quad 26$
$x : x$ über c	$\} = 140 \quad 21 \quad 48$
$x : x$ über h	$\} = 39 \quad 38 \quad 12$
$x : k$ anliegende	$\} = 164 \quad 2 \quad 7$
$x : k$ über x	$\} = 124 \quad 23 \quad 55$
$x : l$	$= 152 \quad 35 \quad 6$
$x : i$	$= 144 \quad 34 \quad 3$
$x : v$	$= 134 \quad 38 \quad 14$
$x : e$	$= 125 \quad 19 \quad 36$
$x : q$	$= 122 \quad 50 \quad 18$

$k : k$ über c	} = 108° 26' 2"
$k : k$ über h	} = 71 33 58
$k : l$	= 168 32 59
$k : i$	= 160 31 56
$k : v$	= 150 36 7
$k : e$	= 141 17 29
$k : q$	= 138 48 11
$l : l$ über c	} = 85 32 0
$l : l$ über h	} = 94 28 0
$l : i$	= 171 58 57
$l : v$	= 162 3 8
$l : e$	= 152 44 30
$l : q$	= 150 15 12
$i : i$ über c	} = 69 29 54
$i : i$ über h	} = 110 30 6
$i : v$	= 170 4 11
$i : e$	= 160 45 33
$i : q$	= 158 16 15
$v : v$ über c	} = 49 38 16
$v : v$ über h	} = 130 21 44
$v : e$	= 170 41 22
$v : q$	= 168 12 4
$e : e$ über c	} = 31 1 0
$e : e$ über h	} = 148 59 0
$e : q$	= 177 30 42
$q : q$ über c	} = 26 2 24

$$\left. \begin{array}{l} q : q \\ \text{über } h \end{array} \right\} = 153^\circ 57' 36''$$

$$\left. \begin{array}{l} x : x' \\ \text{Zwillingskante} \end{array} \right\} = 159 \quad 20 \quad 54$$

$$\left. \begin{array}{l} k : k' \\ \text{Zwillingskante} \end{array} \right\} = 143 \quad 59 \quad 8$$

IV. Schlussbemerkungen.

Wir haben also für die Grundform des Aragonits vier Axenverhältnisse, welche ziemlich gut zusammen übereinstimmen, nämlich:

$$1) \left. \begin{array}{l} a : b : c = 1,15720 : 1,60550 : 1 \\ = 0,72077 : 1 : 0,62286 \end{array} \right\} \begin{array}{l} \text{Miller und} \\ \text{v. Zepharovich.} \end{array}$$

$$2) \left. \begin{array}{l} a : b : c = 1,15888 : 1,60684 : 1 \\ = 0,72122 : 1 : 0,62234 \end{array} \right\} \text{Buchrucker.}$$

$$3) \left. \begin{array}{l} a : b : c = 1,15665 : 1,60565 : 1 \\ = 0,72036 : 1 : 0,62280 \end{array} \right\} \text{Beckenkamp.}$$

$$4) \left. \begin{array}{l} a : b : c = 1,15763 : 1,60657 : 1 \\ = 0,72056 : 1 : 0,62244 \end{array} \right\} \text{Kokscharow.}$$

wo a = Verticalaxe, b = Makrodiagonale und c = Brachydiagonale.

Um jetzt zu zeigen, in welchem Grade die Berechnungen mit den Messungen übereinstimmen, geben wir hier nachfolgende Vergleichungstabelle:

Miller und Zepharovich. Berechnet.	Buchrucker. Berechnet.	Beckenkamp. Berechnet.	Kokscharow. Berechnet.	Nach Messung.
$s : h = 133^{\circ} 18'$	133° 18'	133° 18'	133° 17'	133° 18' Beckenkamp
$s : b = 123 25$	123 26	123 24	123 25	123 24 Beckenkamp.
$s : c = 118 25$	118 23	118 25	118 25	118 25 Beckenkamp.
$s : k = 141 55$	141 53	141 55	141 54	141 54 Kokscharow.
$s : s \left. \vphantom{s} \right\} = 93 23$ über u	93 24	93. 24	93 25	93 22 Kokscharow.
$s : s \left. \vphantom{s} \right\} = 113 11$ über i	113 8	113 11	113 9	113 8 Kokscharow.
$s : s \left. \vphantom{s} \right\} = 56 49$ über c	56 47	56 51	56 50	56 49 Kokscharow.
$x : c = 160 11$	160 10	160 12	160 11	{ 160 11 Beckenkamp. 160 11 Kokscharow.
$x : x \left. \vphantom{x} \right\} = 140 22$	140 20	140 23	140 22	{ 140 22 Beckenkamp. 140 22 Kokscharow.

Zweiter Anhang zum Weissbleierz.

(Vergl. Bd. VI, S. 100 und Bd. VII, S. 156.)

Seit der Zeit, wo ich meine Abhandlung über Weissbleierz ¹⁾ veröffentlicht habe, wurden in den Weissbleierzkrystallen von verschiedenen Beobachtern mehrere neue Formen entdeckt und mehrere Winkel genau gemessen; die neuen Formen sind von folgenden Gelehrten entdeckt:

$$\text{J. Dana, } \alpha = \bar{P}2, \beta = \bar{P}3, l = 2\bar{P}\infty, e = \bar{P}\infty.$$

$$\text{V. v. Zepharovich, } \lambda = \bar{P}\frac{7}{3}.$$

$$\text{Victor v. Lang } ^2), \vartheta = \bar{P}3, \mu = \frac{3}{4}\bar{P}\frac{3}{2}, \vartheta = \frac{2}{3}\bar{P}\frac{3}{2}, \eta = \frac{2}{3}\bar{P}\frac{3}{2}, \\ \psi = \frac{3}{4}\bar{P}3, \xi = \frac{2}{4}\bar{P}3, \sigma = \frac{7}{3}\bar{P}7, \pi = \frac{2}{3}\bar{P}\infty.$$

$$\text{A. Descloizeaux } ^3), \nabla = \infty\bar{P}\frac{5}{3}.$$

$$\text{Schrauf, } \tau = 2P, \varepsilon = 3P, \Delta = 3\bar{P}3, \delta = 3\bar{P}\frac{6}{3}, \rho = 2\bar{P}\frac{4}{3}, \\ \varphi = 3\bar{P}3.$$

$$\text{G. Seligmann } ^4), \zeta = 8\bar{P}\infty.$$

$$\text{Alexander Schmidt } ^5), \kappa = 5\bar{P}\frac{5}{3} \chi = \infty\bar{P}2.$$

¹⁾ Materialien zur Mineralogie Russlands von N. v. Kokscharow, 1870, Bd. VI, S. 100.

²⁾ Verhandlungen der Russisch-Kaiserlichen Mineralogischen Gesellschaft zu St. Petersburg. 1874, Zweite Serie, Bd. IX, S. 152.

³⁾ Descloizeaux: Manuel de Mineralogie, Tome II, 1^{er} fasc. Paris, 1874, p. 153.

⁴⁾ Zeitschrift für Krystallographie und Mineralogie von P. Groth, 1882, Bd. VI, S. 102.

⁵⁾ Zeitschrift für Krystallographie und Mineralogie von P. Groth, 1882, Bd. VI, S. 545.

O. Mügge¹⁾, $A = 14\bar{P}$, $B = \bar{P}_2^3$, $H = \frac{1}{3}\bar{P}\infty$, $I = 14\bar{P}\infty$,
 $K = 10\check{P}\infty$, $L = 9\check{P}\infty$, $O = \frac{7}{6}\check{P}\infty$, $P = \frac{8}{7}\check{P}\infty$, $Q = \frac{1}{6}\check{P}\infty$.

Th. Liweh²⁾, $\omega = \frac{5}{7}\check{P}5$, $\Gamma = \infty\check{P}8$.

A. Dannenberg³⁾, $F = \frac{8}{4}\check{P}\frac{8}{4}$.

E. Artini⁴⁾, $E = 6\check{P}6$, $G = \frac{1}{4}\bar{P}\infty$, $M = \frac{5}{2}\check{P}\infty$, $N = \frac{3}{2}\check{P}\infty$.

G. B. Negri⁵⁾ $C = 13\check{P}\frac{1}{4}\frac{3}{4}$, $D = \frac{5}{4}\check{P}\frac{3}{3}$.

Jetzt ist also die Zahl der Formen der Weissbleierzkrystalle ziemlich gross (65 Formen). Wir werden in der nachfolgenden Aufzählung V. v. Lang's Beispiel folgen, d. h. bei den Formen, welche sich in der Mineralogie von Brooke und Miller nicht vorfinden, wird der Name des Forschers beigesezt werden, der die betreffende Form zuerst auffand. Es wird, wie immer, bezeichnet durch:

a = Verticalaxe, b = Makrodiagonale, c = Brachydiagonale

Pyramiden der Hauptreihe.

$$h = (\frac{1}{4}a : b : c) = \frac{1}{4}P \text{ Kokscharow.}$$

$$g = (\frac{1}{3}a : b : c) = \frac{1}{3}P$$

$$o = (\frac{1}{2}a : b : c) = \frac{1}{2}P$$

$$p = (a : b : c) = P$$

¹⁾ Zeitschrift für Krystallographie und Mineralogie von P. Groth, 1884, Bd. VIII, S. 544.

²⁾ Zeitschrift für Krystallographie und Mineralogie von P. Groth, 1884, Bd. IX, S. 512.

³⁾ Zeitschrift für Krystallographie und Mineralogie von P. Groth, 1890, Bd. XVIII, S. 64.

⁴⁾ Zeitschrift für Krystallographie und Mineralogie von P. Groth, 1891, Bd. XIX, S. 814.

⁵⁾ Zeitschrift für Krystallographie und Mineralogie von P. Groth, 1891, Bd. XIX, S. 819.

$$\begin{aligned}\tau &= (2a : b : c) = 2P \text{ Schrauf.} \\ \epsilon &= (3a : b : c) = 3P \text{ Schrauf.} \\ A &= (14a : b : c) = 14P \text{ Mügge.}\end{aligned}$$

Makropyramiden.

$$\begin{aligned}\vartheta &= (a : 3b : c) = \bar{P}3 \text{ Lang.} \\ \mu &= (\frac{2}{4}a : \frac{2}{3}b : c) = \frac{2}{4}\bar{P}\frac{2}{3} \text{ Lang.} \\ B &= (a : \frac{2}{3}b : c) = \bar{P}\frac{2}{3} \text{ Mügge.} \\ \Delta &= (3a : 3b : c) = 3\bar{P}3 \text{ Schrauf.} \\ w &= (2a : 2b : c) = 2\bar{P}2 \\ \nu &= (\frac{2}{3}a : \frac{2}{4}b : c) = \frac{2}{3}\bar{P}\frac{2}{4} \text{ Lang.}\end{aligned}$$

Brachypyramiden.

$$\begin{aligned}C &= (13a : b : \frac{4}{11}c) = 13\check{P}\frac{4}{11} \text{ Negri.} \\ \delta &= (3a : b : \frac{6}{5}c) = 3\check{P}\frac{6}{5} \text{ Schrauf.} \\ \rho &= (2a : b : \frac{4}{3}c) = 2\check{P}\frac{4}{3} \text{ Schrauf.} \\ x &= (5a : b : \frac{5}{3}c) = 5\check{P}\frac{5}{3} \text{ Schmidt.} \\ \eta &= (\frac{5}{3}a : b : \frac{5}{3}c) = \frac{5}{3}\check{P}\frac{5}{3} \text{ Lang.} \\ D &= (\frac{5}{4}a : b : \frac{5}{3}c) = \frac{5}{4}\check{P}\frac{5}{3} \text{ Negri.} \\ s &= (2a : b : 2c) = 2\check{P}2 \\ \alpha &= (a : b : 2c) = \check{P}2 \text{ Dana.} \\ \lambda &= (a : b : \frac{7}{3}c) = \check{P}\frac{7}{3} \text{ Zepharovich.} \\ \psi &= (\frac{3}{4}a : b : 3c) = \frac{3}{4}\check{P}3 \text{ Lang.} \\ \beta &= (a : b : 3c) = \check{P}3 \text{ Dana.} \\ \xi &= (\frac{2}{4}a : b : 3c) = \frac{2}{4}\check{P}3 \text{ Lang.} \\ \varphi &= (3a : b : 3c) = 3\check{P}3 \text{ Schrauf.} \\ \omega &= (\frac{5}{4}a : b : 5c) = \frac{5}{4}\check{P}5 \text{ Liweh.} \\ E &= (6a : b : 6c) = 6\check{P}6 \text{ Artini.} \\ \sigma &= (\frac{7}{3}a : b : 7c) = \frac{7}{3}\check{P}7 \text{ Lang.} \\ F &= (\frac{6}{4}a : b : \frac{6}{4}c) = \frac{6}{4}\check{P}\frac{6}{4} \text{ Dannenberg.}\end{aligned}$$

Makrodomen.

$$\begin{aligned}
 l &= (2a : \infty b : c) = 2\bar{P}\infty \text{ Dana.} \\
 \pi &= (\frac{3}{2}a : \infty b : c) = \frac{3}{2}\bar{P}\infty \text{ Lang.} \\
 e &= (a : \infty b : c) = \bar{P}\infty \text{ Dana.} \\
 y &= (\frac{1}{2}a : \infty b : c) = \frac{1}{2}\bar{P}\infty \\
 d &= (\frac{1}{3}a : \infty b : c) = \frac{1}{3}\bar{P}\infty \\
 G &= (\frac{1}{4}a : \infty b : c) = \frac{1}{4}\bar{P}\infty \text{ Artini.} \\
 H &= (\frac{1}{8}a : \infty b : c) = \frac{1}{8}\bar{P}\infty \text{ Mügge.}
 \end{aligned}$$

Brachydomen.

$$\begin{aligned}
 I &= (14a : b : \infty c) = 14\check{P}\infty \text{ Mügge.} \\
 K &= (10a : b : \infty c) = 10\check{P}\infty \text{ Mügge.} \\
 L &= (9a : b : \infty c) = 9\check{P}\infty \text{ Mügge.} \\
 \zeta &= (8a : b : \infty c) = 8\check{P}\infty \text{ Seligmann.} \\
 u &= (7a : b : \infty c) = 7\check{P}\infty \text{ Kokscharow.} \\
 t &= (6a : b : \infty c) = 6\check{P}\infty \text{ Kokscharow.} \\
 n &= (5a : b : \infty c) = 5\check{P}\infty \text{ Kokscharow.} \\
 z &= (4a : b : \infty c) = 4\check{P}\infty \\
 v &= (3a : b : \infty c) = 3\check{P}\infty \\
 M &= (\frac{5}{2}a : b : \infty c) = \frac{5}{2}\check{P}\infty \text{ Artini.} \\
 i &= (2a : b : \infty c) = 2\check{P}\infty \\
 N &= (\frac{3}{2}a : b : \infty c) = \frac{3}{2}\check{P}\infty \text{ Artini.} \\
 O &= (\frac{7}{6}a : b : \infty c) = \frac{7}{6}\check{P}\infty \text{ Mügge.} \\
 P &= (\frac{8}{7}a : b : \infty c) = \frac{8}{7}\check{P}\infty \text{ Mügge.} \\
 k &= (a : b : \infty c) = \check{P}\infty \\
 q &= (\frac{3}{2}a : b : \infty c) = \frac{3}{2}\check{P}\infty \text{ Kokscharow.} \\
 x &= (\frac{4}{3}a : b : \infty c) = \frac{4}{3}\check{P}\infty \\
 \gamma &= (\frac{1}{3}a : b : \infty c) = \frac{1}{3}\check{P}\infty \\
 Q &= (\frac{1}{6}a : b : \infty c) = \frac{1}{6}\check{P}\infty \text{ Mügge.}
 \end{aligned}$$

Prismen.

$$\begin{aligned}
 m &= (\infty a : b : c) = \infty P \\
 f &= (\infty a : \frac{5}{3}b : c) = \infty \bar{P}\frac{5}{3} \\
 v &= (\infty a : b : \frac{5}{3}c) = \infty \check{P}\frac{5}{3} \text{ Déscloizeaux.} \\
 \chi &= (\infty a : b : 2c) = \infty \check{P}2 \text{ Schmidt.} \\
 r &= (\infty a : b : 3c) = \infty \check{P}3 \\
 \Gamma &= (\infty a : b : 8c) = \infty \check{P}8 \text{ Liweh.}
 \end{aligned}$$

Pinakoiden.

$$\begin{aligned}
 a &= (\infty a : b : \infty c) = \infty \check{P}\infty \\
 b &= (\infty a : \infty b : c) = \infty \bar{P}\infty \\
 c &= (a : \infty b : \infty c) = oP.
 \end{aligned}$$

II.

Wir werden jetzt für die Krystallformen des Weissbleierztes, von welchen in diesem Werke noch nicht die Rede war, die Berechnungen abgeben (vergl. Mat. z. Min. Russlands, 1870, Bd. VI, S. 126). Aus dem von mir abgeleiteten Axenverhältnisse für die Grundform:

$$\begin{aligned}
 a : b : c &= 1,18531 : 1,63943 : 1 \\
 &= 0,723000 : 1 : 0,609968 \\
 &= 1 : 1,383123 : 0,843661
 \end{aligned}$$

(wo a = Verticalaxe, b = Makrodiagonale, c = Brachydiagonale), erhält man durch Rechnung folgende Winkel:

Pyramiden der Hauptreihe.

$$\tau = 2P$$

$$\begin{array}{ll} \frac{1}{3}X = 36^\circ 33' 41'' & X = 73^\circ 7' 22'' \\ \frac{1}{3}Y = 60 \ 39 \ 49 & Y = 121 \ 19 \ 38 \\ \frac{1}{3}Z = 70 \ 11 \ 42 & Z = 140 \ 23 \ 24 \end{array}$$

$$\alpha = 34^\circ 39' 58''$$

$$\beta = 22 \ 52 \ 17$$

$$\gamma = 31 \ 22 \ 55$$

$$\epsilon = 3P$$

$$\begin{array}{ll} \frac{1}{3}X = 33^\circ 53' 17'' & X = 67^\circ 46' 34'' \\ \frac{1}{3}Y = 59 \ 34 \ 45 & Y = 119 \ 9 \ 30 \\ \frac{1}{3}Z = 76 \ 29 \ 59 & Z = 152 \ 59 \ 58 \end{array}$$

$$\alpha = 24^\circ 45' 6''$$

$$\beta = 15 \ 42 \ 25$$

$$\gamma = 31 \ 22 \ 55$$

$$A = 14P$$

$$\begin{array}{ll} \frac{1}{3}X = 31^\circ 30' 22'' & X = 63^\circ 0' 44'' \\ \frac{1}{3}Y = 58 \ 39 \ 50 & Y = 117 \ 19 \ 40 \\ \frac{1}{3}Z = 87 \ 3 \ 18 & Z = 174 \ 6 \ 36 \end{array}$$

$$\alpha = 5^\circ 38' 32''$$

$$\beta = 3 \ 26 \ 55$$

$$\gamma = 31 \ 22 \ 55$$

Makropyramiden.

$$\varrho = \bar{P}_3$$

$$\begin{array}{ll} \frac{1}{2}X = 40^\circ 57' 7'' & X = 81^\circ 54' 14'' \\ \frac{1}{2}Y = 81 \ 10 \ 0 & Y = 162 \ 20 \ 0 \\ \frac{1}{2}Z = 50 \ 25 \ 6 & Z = 100 \ 50 \ 12 \end{array}$$

$$\alpha = 76^\circ 27' 0''$$

$$\beta = 40 \ 9 \ 11$$

$$\gamma = 11 \ 29 \ 34$$

$$\mu = \frac{3}{4}\bar{P}_3$$

$$\begin{array}{ll} \frac{1}{2}X = 50^\circ 6' 11'' & X = 100^\circ 12' 22'' \\ \frac{1}{2}Y = 74 \ 52 \ 52 & Y = 149 \ 45 \ 44 \\ \frac{1}{2}Z = 43 \ 49 \ 16 & Z = 87 \ 38 \ 32 \end{array}$$

$$\alpha = 70^\circ 7' 30''$$

$$\beta = 48 \ 21 \ 48$$

$$\gamma = 22 \ 7 \ 44$$

$$B = \bar{P}_3$$

$$\begin{array}{ll} \frac{1}{2}X = 43^\circ 7' 24'' & X = 86^\circ 14' 48'' \\ \frac{1}{2}Y = 72 \ 44 \ 3 & Y = 145 \ 28 \ 6 \\ \frac{1}{2}Z = 51 \ 59 \ 31 & Z = 103 \ 59 \ 2 \end{array}$$

$$\alpha = 64^\circ 15' 57''$$

$$\beta = 40 \ 9 \ 11$$

$$\gamma = 22 \ 7 \ 44$$

$$\Delta = 3\bar{P}3$$

$$\begin{array}{ll} \frac{1}{2}X = 19^\circ 8' 16'' & X = 38^\circ 16' 32'' \\ \frac{1}{2}Y = 78 55 32 & Y = 157 51 4 \\ \frac{1}{2}Z = 74 35 34 & Z = 149 11 8 \end{array}$$

$$\begin{array}{l} \alpha = 54^\circ 7' 59'' \\ \beta = 15 42 25 \\ \gamma = 11 29 34 \end{array}$$

$$\nu = \frac{2}{3}\bar{P}\frac{3}{2}$$

$$\begin{array}{ll} \frac{1}{3}X = 34^\circ 45' 45'' & X = 69^\circ 31' 30'' \\ \frac{1}{3}Y = 70 29 3 & Y = 140 58 6 \\ \frac{1}{3}Z = 62 28 48 & Z = 124 57 36 \end{array}$$

$$\begin{array}{l} \alpha = 54^\circ 7' 59'' \\ \beta = 29 21 19 \\ \gamma = 22 7 44 \end{array}$$

Brachypyramiden.

$$C = 13\bar{P}\frac{1}{4}$$

$$\begin{array}{ll} \frac{1}{3}X = 35^\circ 56' 25'' & X = 71^\circ 52' 50'' \\ \frac{1}{3}Y = 54 17 33 & Y = 108 35 6 \\ \frac{1}{3}Z = 86 26 24 & Z = 172 52 48 \end{array}$$

$$\begin{array}{l} \alpha = 6^\circ 4' 23'' \\ \beta = 4 23 9 \\ \gamma = 35 47 12 \end{array}$$

$$\delta = 3\check{P}_3^6$$

$$\begin{array}{ll} \frac{1}{2}X = 38^\circ 52' 9'' & X = 77^\circ 44' 18'' \\ \frac{1}{2}Y = 55 \ 15 \ 26 & Y = 110 \ 30 \ 52 \\ \frac{1}{2}Z = 74 \ 46 \ 1 & Z = 149 \ 32 \ 2 \end{array}$$

$$\alpha = 24^\circ 45' 6''$$

$$\beta = 18 \ 38 \ 52$$

$$\gamma = 36 \ 12 \ 10$$

$$\varphi = 2\check{P}_3^4$$

$$\begin{array}{ll} \frac{1}{2}X = 44^\circ 40' 42'' & X = 89^\circ 21' 24'' \\ \frac{1}{2}Y = 54 \ 40 \ 6 & Y = 109 \ 20 \ 12 \\ \frac{1}{2}Z = 66 \ 25 \ 34 & Z = 132 \ 51 \ 8 \end{array}$$

$$\alpha = 34^\circ 39' 58''$$

$$\beta = 29 \ 21 \ 19$$

$$\gamma = 39 \ 7 \ 16$$

$$\kappa = 5\check{P}_3^5$$

$$\begin{array}{ll} \frac{1}{2}X = 46^\circ 31' 38'' & X = 93^\circ 3' 16'' \\ \frac{1}{2}Y = 45 \ 37 \ 6 & Y = 91 \ 14 \ 12 \\ \frac{1}{2}Z = 78 \ 50 \ 38 & Z = 157 \ 41 \ 16 \end{array}$$

$$\alpha = 15^\circ 27' 46''$$

$$\beta = 15 \ 42 \ 25$$

$$\gamma = 45 \ 28 \ 20$$

$$\eta = \frac{5}{2}\check{P}_3^5$$

$$\begin{array}{ll} \frac{1}{2}X = 49^\circ 16' 52'' & X = 98^\circ 33' 44'' \\ \frac{1}{2}Y = 48 \ 27 \ 24 & Y = 96 \ 54 \ 48 \\ \frac{1}{2}Z = 68 \ 28 \ 29 & Z = 136 \ 56 \ 58 \end{array}$$

$$\alpha = 28^\circ 57' 13''$$

$$\beta = 29 \ 21 \ 19$$

$$\gamma = 45 \ 28 \ 20$$

$$D = \frac{1}{4}\check{P}_3^2$$

$$\begin{aligned} \frac{1}{2}X &= 56^\circ 35' 36'' & X &= 113^\circ 11' 12'' \\ \frac{1}{2}Y &= 55 57 48 & Y &= 111 55 36 \\ \frac{1}{2}Z &= 51 43 57 & Z &= 103 27 54 \\ \alpha &= 47^\circ 53' 39'' \\ \beta &= 48 21 48 \\ \gamma &= 45 28 20 \end{aligned}$$

$$\lambda = \check{P}_3^2$$

$$\begin{aligned} \frac{1}{2}X &= 67^\circ 37' 30'' & X &= 135^\circ 15' 0'' \\ \frac{1}{2}Y &= 57 11 39 & Y &= 114 23 18 \\ \frac{1}{2}Z &= 41 27 52 & Z &= 82 55 44 \\ \alpha &= 54^\circ 7' 59'' \\ \beta &= 63 4 12 \\ \gamma &= 54 54 28 \end{aligned}$$

$$\psi = \frac{3}{4}\check{P}_3$$

$$\begin{aligned} \frac{1}{2}X &= 75^\circ 23' 57'' & X &= 150^\circ 47' 54'' \\ \frac{1}{2}Y &= 62 31 47 & Y &= 125 3 34 \\ \frac{1}{2}Z &= 31 42 49 & Z &= 63 25 38 \\ \alpha &= 61^\circ 31' 52'' \\ \beta &= 73 29 38 \\ \gamma &= 61 20 40 \end{aligned}$$

$$\xi = \frac{2}{4}\check{P}_3$$

$$\begin{aligned} \frac{1}{2}X &= 65^\circ 2' 8'' & X &= 130^\circ 4' 16'' \\ \frac{1}{2}Y &= 39 26 15 & Y &= 78 52 30 \\ \frac{1}{2}Z &= 61 39 22 & Z &= 123 18 44 \\ \alpha &= 31^\circ 34' 48'' \\ \beta &= 48 21 49 \\ \gamma &= 61 20 40 \end{aligned}$$

$$\varphi = 3\check{P}3$$

$$\begin{array}{ll} \frac{1}{2}X = 63^\circ 36' 22'' & X = 127^\circ 12' 44'' \\ \frac{1}{2}Y = 35 33 50 & Y = 71 7 40 \\ \frac{1}{2}Z = 67 58 23 & Z = 135 56 46 \end{array}$$

$$\alpha = 24^\circ 45' 6''$$

$$\beta = 40 9 11$$

$$\gamma = 61 20 40$$

$$\omega = \frac{5}{4}\check{P}5$$

$$\begin{array}{ll} \frac{1}{2}X = 77^\circ 36' 3'' & X = 155^\circ 12' 6'' \\ \frac{1}{2}Y = 49 5 26 & Y = 98 10 52 \\ \frac{1}{2}Z = 43 33 51 & Z = 87 7 42 \end{array}$$

$$\alpha = 47^\circ 53' 39''$$

$$\beta = 73 29 38$$

$$\gamma = 71 50 47$$

$$E = 6\check{P}6$$

$$\begin{array}{ll} \frac{1}{2}X = 75^\circ 5' 26'' & X = 150^\circ 10' 52'' \\ \frac{1}{2}Y = 19 40 17 & Y = 39 20 34 \\ \frac{1}{2}Z = 77 27 47 & Z = 154 55 34 \end{array}$$

$$\alpha = 12^\circ 58' 52''$$

$$\beta = 40 9 11$$

$$\gamma = 74 43 3$$

$$\sigma = \frac{7}{3}\check{P}7$$

$$\begin{array}{ll} \frac{1}{2}X = 78^\circ 36' 33'' & X = 157^\circ 13' 6'' \\ \frac{1}{2}Y = 32 30 42 & Y = 65 1 24 \\ \frac{1}{2}Z = 60 0 31 & Z = 120 1 2 \end{array}$$

$$\alpha = 30^\circ 39' 29''$$

$$\beta = 68 26 27$$

$$\gamma = 76 49 7$$

$$F = \frac{26}{45} \bar{P} \frac{22}{4}$$

$$\begin{array}{ll} \frac{1}{3}X = 86^\circ 27' 55'' & X = 172^\circ 55' 50'' \\ \frac{1}{3}Y = 36 \quad 2 \quad 41 & Y = 72 \quad 5 \quad 22 \\ \frac{1}{3}Z = 54 \quad 11 \quad 4 & Z = 108 \quad 22 \quad 8 \end{array}$$

$$\begin{array}{l} \alpha = 35^\circ 53' 40'' \\ \beta = 83 \quad 59 \quad 8 \\ \gamma = 85 \quad 38 \quad 22 \end{array}$$

Makrodomen.

$$\pi = \frac{3}{2} \bar{P} \infty$$

$$\begin{array}{ll} \frac{1}{3}X = 29^\circ 21' 19'' & X = 58^\circ 42' 38'' \\ \frac{1}{3}Z = 60. \quad 38 \quad 41 & Z = 121 \quad 17 \quad 22 \end{array}$$

$$G = \frac{1}{4} \bar{P} \infty$$

$$\begin{array}{ll} \frac{1}{3}X = 73^\circ 29' 38'' & X = 146^\circ 59' 16'' \\ \frac{1}{3}Z = 16 \quad 30 \quad 22 & Z = 33 \quad 0 \quad 44 \end{array}$$

$$H = \frac{1}{5} \bar{P} \infty$$

$$\begin{array}{ll} \frac{1}{3}X = 76^\circ 39' 49'' & X = 153^\circ 19' 38'' \\ \frac{1}{3}Z = 13 \quad 20 \quad 11 & Z = 26 \quad 40 \quad 22 \end{array}$$

Brachydomen.

$$I = 14 \bar{P} \infty$$

$$\begin{array}{ll} \frac{1}{3}Y = 5^\circ 38' 32'' & Y = 11^\circ 17' 4'' \\ \frac{1}{3}Z = 84 \quad 21 \quad 28 & Z = 168 \quad 42 \quad 56 \end{array}$$

$$K = 10\check{P}\infty$$

$$\begin{array}{ll} \frac{1}{2}Y = 7^\circ 52' 29'' & Y = 15^\circ 44' 58'' \\ \frac{1}{2}Z = 82 \quad 7 \quad 31 & Z = 164 \quad 15 \quad 2 \end{array}$$

$$L = 9\check{P}\infty$$

$$\begin{array}{ll} \frac{1}{2}Y = 8^\circ 44' 13'' & Y = 17^\circ 28' 26'' \\ \frac{1}{2}Z = 81 \quad 15 \quad 47 & Z = 162 \quad 31 \quad 34 \end{array}$$

$$\zeta = 8\check{P}\infty$$

$$\begin{array}{ll} \frac{1}{2}Y = 9^\circ 48' 32'' & Y = 19^\circ 37' 4'' \\ \frac{1}{2}Z = 80 \quad 11 \quad 28 & Z = 160 \quad 22 \quad 56 \end{array}$$

$$M = \frac{5}{2}\check{P}\infty$$

$$\begin{array}{ll} \frac{1}{2}Y = 28^\circ 57' 13'' & Y = 57^\circ 54' 26'' \\ \frac{1}{2}Z = 61 \quad 2 \quad 47 & Z = 122 \quad 5 \quad 34 \end{array}$$

$$N = \frac{3}{2}\check{P}\infty$$

$$\begin{array}{ll} \frac{1}{2}Y = 42^\circ 40' 43'' & Y = 85^\circ 21' 26'' \\ \frac{1}{2}Z = 47 \quad 19 \quad 17 & Z = 94 \quad 38 \quad 34 \end{array}$$

$$O = \frac{7}{2}\check{P}\infty$$

$$\begin{array}{ll} \frac{1}{2}Y = 49^\circ 51' 8'' & Y = 99^\circ 42' 16'' \\ \frac{1}{2}Z = 40 \quad 8 \quad 52 & Z = 80 \quad 17 \quad 44 \end{array}$$

$$P = \frac{9}{2}\check{P}\infty$$

$$\begin{array}{ll} \frac{1}{2}Y = 50^\circ 26' 1'' & Y = 100^\circ 52' 2'' \\ \frac{1}{2}Z = 39 \quad 33 \quad 59 & Z = 79 \quad 7 \quad 58 \end{array}$$

$$Q = \frac{1}{2}\check{P}\infty$$

$$\begin{array}{ll} \frac{1}{2}Y = 83^\circ 7' 44'' & Y = 166^\circ 15' 28'' \\ \frac{1}{2}Z = 6 \ 52 \ 16 & Z = 13 \ 44 \ 32 \end{array}$$

Prismen.

$$\nabla = \infty\check{P}\frac{5}{2}$$

$$\begin{array}{ll} \frac{1}{2}X = 45^\circ 28' 20'' & X = 90^\circ 56' 40'' \\ \frac{1}{2}Y = 44 \ 31 \ 40 & Y = 89 \ 3 \ 20 \end{array}$$

$$\chi = \infty\check{P}2$$

$$\begin{array}{ll} \frac{1}{2}X = 50^\circ 39' 29'' & X = 101^\circ 18' 58'' \\ \frac{1}{2}Y = 39 \ 20 \ 31 & Y = 78 \ 41 \ 2 \end{array}$$

$$\Gamma = \infty\check{P}8$$

$$\begin{array}{ll} \frac{1}{2}X = 78^\circ 25' 8'' & X = 156^\circ 50' 16'' \\ \frac{1}{2}Y = 11 \ 34 \ 52 & Y = 23 \ 9 \ 44 \end{array}$$

Ferner, aus meinem Axenverhältniss der Grundform

$$(a : b : c = 1,18531 : 1,63943 : 1)$$

erhält man durch Rechnung folgende Combinationswinkel:

$$\tau : a = 119^\circ 20' 11''$$

$$\tau : b = 143 \ 26 \ 19$$

$$\tau : c = 109 \ 48 \ 18$$

$\epsilon : a = 120^\circ 25' 15''$
$\epsilon : b = 146 \ 6 \ 43$
$\epsilon : c = 103 \ 30 \ 1$
$A : a = 121 \ 20 \ 10$
$A : b = 148 \ 29 \ 38$
$A : c = 92 \ 56 \ 42$
$\vartheta : a = 98 \ 50 \ 0$
$\vartheta : b = 139 \ 2 \ 53$
$\vartheta : c = 129 \ 34 \ 54$
$\mu : a = 105 \ 7 \ 8$
$\mu : b = 129 \ 53 \ 49$
$\mu : c = 136 \ 10 \ 44$
$B : a = 107 \ 15 \ 57$
$B : b = 136 \ 52 \ 36$
$B : c = 128 \ 0 \ 29$
$\Delta : a = 101 \ 4 \ 28$
$\Delta : b = 160 \ 51 \ 44$
$\Delta : c = 105 \ 24 \ 26$
$\nu : a = 109 \ 30 \ 57$
$\nu : b = 145 \ 14 \ 15$
$\nu : c = 117 \ 31 \ 12$
$C : a = 125 \ 42 \ 47$
$C : b = 144 \ 3 \ 35$
$C : c = 93 \ 33 \ 36$
$\delta : a = 124 \ 44 \ 34$
$\delta : b = 141 \ 7 \ 51$
$\delta : c = 105 \ 13 \ 59$
$\rho : a = 125 \ 19 \ 54$
$\rho : b = 135 \ 19 \ 18$
$\rho : c = 113 \ 34 \ 26$

x	a	$=$	134°	22'	54''
x	b	$=$	133	28	22
x	c	$=$	101	9	22
η	a	$=$	131	32	36
η	b	$=$	130	43	8
η	c	$=$	111	31	31
D	a	$=$	124	2	12
D	b	$=$	123	24	24
D	c	$=$	128	16	3
λ	a	$=$	122	48	21
λ	b	$=$	112	22	30
λ	c	$=$	138	32	8
ψ	a	$=$	117	28	13
ψ	b	$=$	104	36	3
ψ	c	$=$	148	17	11
ξ	a	$=$	140	33	45
ξ	b	$=$	114	57	52
ξ	c	$=$	118	20	38
φ	a	$=$	144	26	10
φ	b	$=$	116	23	38
φ	c	$=$	112	1	37
ω	a	$=$	130	54	34
ω	b	$=$	102	23	57
ω	c	$=$	136	26	9
E	a	$=$	160	19	43
E	b	$=$	104	54	34
E	c	$=$	102	32	13
σ	a	$=$	147	29	18
σ	b	$=$	101	23	27
σ	c	$=$	119	59	29

$$F : a = 143^{\circ} 57' 19''$$

$$F : b = 93 \ 32 \ 5$$

$$F : c = 125 \ 48 \ 56$$

$$\pi : a = 90 \ 0 \ 0$$

$$\pi : b = 150 \ 38 \ 41$$

$$\pi : c = 119 \ 21 \ 19$$

$$G : a = 90 \ 0 \ 0$$

$$G : b = 106 \ 30 \ 22$$

$$G : c = 163 \ 29 \ 38$$

$$H : a = 90 \ 0 \ 0$$

$$H : b = 103 \ 20 \ 11$$

$$H : c = 166 \ 39 \ 49$$

$$I : a = 174 \ 21 \ 28$$

$$I : b = 90 \ 0 \ 0$$

$$I : c = 95 \ 38 \ 32$$

$$K : a = 172 \ 7 \ 31$$

$$K : b = 90 \ 0 \ 0$$

$$K : c = 97 \ 52 \ 29$$

$$L : a = 171 \ 15 \ 47$$

$$L : b = 90 \ 0 \ 0$$

$$L : c = 98 \ 44 \ 13$$

$$\zeta : a = 170 \ 11 \ 28$$

$$\zeta : b = 90 \ 0 \ 0$$

$$\zeta : c = 99 \ 48 \ 32$$

$$M : a = 151 \ 2 \ 47$$

$$M : b = 90 \ 0 \ 0$$

$$M : c = 118 \ 57 \ 13$$

$$N : a = 137 \ 19 \ 17$$

$$N : b = 90 \ 0 \ 0$$

$$N : c = 132 \ 40 \ 43$$

$$O : a = 130^{\circ} 8' 52''$$

$$O : b = 90 \quad 0 \quad 0$$

$$O : c = 139 \quad 51 \quad 8$$

$$P : a = 129 \quad 33 \quad 59$$

$$P : b = 90 \quad 0 \quad 0$$

$$P : c = 140 \quad 26 \quad 1$$

$$Q : a = 96 \quad 52 \quad 16$$

$$Q : b = 90 \quad 0 \quad 0$$

$$Q : c = 173 \quad 7 \quad 44$$

$$\nabla : a = 135 \quad 28 \quad 20$$

$$\nabla : b = 134 \quad 31 \quad 40$$

$$\nabla : c = 90 \quad 0 \quad 0$$

$$\chi : a = 140 \quad 39 \quad 29$$

$$\chi : b = 129 \quad 20 \quad 31$$

$$\chi : c = 90 \quad 0 \quad 0$$

$$\Gamma : a = 168 \quad 25 \quad 8$$

$$\Gamma : b = 101 \quad 34 \quad 52$$

$$\Gamma : c = 90 \quad 0 \quad 0$$

III.

E. Artini ¹⁾ hat eine sehr ausführliche krystallographische Untersuchung des Weissbleierztes aus Sardinien gemacht. Die von diesem Gelehrten untersuchten Krystalle von Monteponi und Montevichio waren in Bleiglanzdrüsen eingeschlossen und von Anglesit, Phosgenit, Leadhillit u. and. begleitet.

¹⁾ Mem. d. R. Accad. d. Lincei, Cl. d. Sc. fis., mat. e nat. 1888, V. 604. Zeitschrift für Krystallographie und Mineralogie von P. Groth, 1891, Bd. XIX, drittes Heft, S. 314.

Das Axenverhältniss für die Grundform hat E. Artini aus 15 Winkeln bestimmt und folgendes erhalten:

$$\begin{aligned} a : b : c &= 0,722929 : 1 : 0,610128, \\ &= 1,1848809 : 1,6390003 : 1 \end{aligned}$$

wo a = Verticalaxe, b = Makrodiagonale, c = Brachydiagonale.

Aus diesem von E. Artini abgeleiteten Axenverhältnisse berechnen sich folgende Winkel:

Pyramiden der Hauptreihe.

$$h = \frac{1}{4}P$$

$$\begin{array}{ll} \frac{1}{2}X = 73^\circ 44' 56'' & X = 147^\circ 29' 52'' \\ \frac{1}{3}Y = 80 \quad 10 \quad 8 & Y = 160 \quad 20 \quad 16 \\ \frac{1}{3}Z = 19 \quad 8 \quad 13 & Z = 38 \quad 16 \quad 26 \end{array}$$

$$\alpha = 79^\circ 45' 19''$$

$$\beta = 73 \quad 29 \quad 59$$

$$\gamma = 31 \quad 23 \quad 19$$

$$g = \frac{1}{3}P$$

$$\begin{array}{ll} \frac{1}{2}X = 68^\circ 59' 41'' & X = 137^\circ 59' 22'' \\ \frac{1}{3}Y = 77 \quad 22 \quad 2 & Y = 154 \quad 44 \quad 4 \\ \frac{1}{3}Z = 24 \quad 49 \quad 43 & Z = 49 \quad 39 \quad 26 \end{array}$$

$$\alpha = 76^\circ 27' 5''$$

$$\beta = 68 \quad 26 \quad 53$$

$$\gamma = 31 \quad 23 \quad 19$$

$$o = \frac{1}{2}P$$

$$\begin{array}{ll} \frac{1}{2}X = 60^\circ 52' 31'' & X = 121^\circ 45' 2'' \\ \frac{1}{2}Y = 72 43 30 & Y = 145 27 0 \\ \frac{1}{2}Z = 34 45 38 & Z = 69 31 16 \end{array}$$

$$\alpha = 70^\circ 7' 37''$$

$$\beta = 59 21 21$$

$$\gamma = 31 23 19$$

$$p = P$$

$$\begin{array}{ll} \frac{1}{2}X = 46^\circ 9' 44'' & X = 92^\circ 19' 28'' \\ \frac{1}{2}Y = 65 0 7 & Y = 130 0 14 \\ \frac{1}{2}Z = 54 13 43 & Z = 108 27 26 \end{array}$$

$$\alpha = 54^\circ 8' 9''$$

$$\beta = 40 9 48$$

$$\gamma = 31 23 19$$

$$\tau = 2P$$

$$\begin{array}{ll} \frac{1}{2}X = 36^\circ 34' 10'' & X = 73^\circ 8' 20'' \\ \frac{1}{2}Y = 60 39 30 & Y = 121 19 0 \\ \frac{1}{2}Z = 70 11 22 & Z = 140 22 44 \end{array}$$

$$\alpha = 34^\circ 40' 8''$$

$$\beta = 22 52 44$$

$$\gamma = 31 23 19$$

$$\varepsilon = 3P$$

$$\begin{array}{ll} \frac{1}{2}X = 33^\circ 53' 44'' & X = 67^\circ 47' 28'' \\ \frac{1}{2}Y = 59 34 23 & Y = 119 8' 46 \\ \frac{1}{2}Z = 76 29 45 & Z = 152 59 30 \end{array}$$

$$\alpha = 24^\circ 45' 14''$$

$$\beta = 15 42 45$$

$$\gamma = 31 23 19$$

$$A = 14P$$

$$\begin{array}{ll} \frac{1}{2}X = 31^\circ 30' 42'' & X = 63^\circ 1' 24'' \\ \frac{1}{2}Y = 58 39 30 & Y = 117 19 0 \\ \frac{1}{2}Z = 87 3 15 & Z = 174 6 30 \end{array}$$

$$\begin{array}{l} \alpha = 5^\circ 38' 34'' \\ \beta = 3 26 59 \\ \gamma = 31 23 19 \end{array}$$

Makropyramiden.

$$\varrho = \bar{P}3$$

$$\begin{array}{ll} \frac{1}{2}X = 40^\circ 57' 44'' & X = 81^\circ 55' 28'' \\ \frac{1}{2}Y = 81 9 56 & Y = 162 19 52 \\ \frac{1}{2}Z = 50 24 29 & Z = 100 48 58 \end{array}$$

$$\begin{array}{l} \alpha = 76^\circ 27' 5'' \\ \beta = 40 9 48 \\ \gamma = 11 29 45 \end{array}$$

$$\mu = \frac{3}{4}\bar{P}\frac{3}{2}$$

$$\begin{array}{ll} \frac{1}{2}X = 50^\circ 6' 48'' & X = 100^\circ 13' 36'' \\ \frac{1}{2}Y = 74 52 49 & Y = 149 45 38 \\ \frac{1}{2}Z = 43 48 42 & Z = 87 37 24 \end{array}$$

$$\begin{array}{l} \alpha = 70^\circ 7' 37'' \\ \beta = 48 22 26 \\ \gamma = 22 8 3 \end{array}$$

$$B = \bar{P}_2^3$$

$$\begin{aligned} \frac{1}{2}X &= 43^\circ 8' 0'' & X &= 86^\circ 16' 0'' \\ \frac{1}{2}Y &= 72 43 57 & Y &= 145 27 54 \\ \frac{1}{2}Z &= 51 58 57 & Z &= 103 57 54 \\ \alpha &= 64^\circ 16' 6'' \\ \beta &= 40 9 48 \\ \gamma &= 22 8 3 \end{aligned}$$

$$\Delta = 3\bar{P}3$$

$$\begin{aligned} \frac{1}{2}X &= 19^\circ 8' 38'' & X &= 38^\circ 17' 16'' \\ \frac{1}{2}Y &= 78 55 23 & Y &= 157 50 46 \\ \frac{1}{2}Z &= 74 35 15 & Z &= 149 10 30 \\ \alpha &= 54^\circ 8' 9'' \\ \beta &= 15 42 45 \\ \gamma &= 11 29 45 \end{aligned}$$

$$w = 2\bar{P}2$$

$$\begin{aligned} \frac{1}{2}X &= 27^\circ 30' 22'' & X &= 55^\circ 0' 44'' \\ \frac{1}{2}Y &= 74 18 5 & Y &= 148 36 10 \\ \frac{1}{2}Z &= 68 1 12 & Z &= 136 2 24 \\ \alpha &= 54^\circ 8' 9'' \\ \beta &= 22 52 44 \\ \gamma &= 16 57 54 \end{aligned}$$

$$v = \frac{2}{3}\bar{P}_2^3$$

$$\begin{aligned} \frac{1}{2}X &= 34^\circ 46' 17'' & X &= 69^\circ 32' 34'' \\ \frac{1}{2}Y &= 70 28 51 & Y &= 140 57 42 \\ \frac{1}{2}Z &= 62 28 20 & Z &= 124 56 40 \\ \alpha &= 54^\circ 8' 9'' \\ \beta &= 29 21 51 \\ \gamma &= 22 8 3 \end{aligned}$$

Brachypyramiden.

$$C = 13\check{P}_{11}^3$$

$$\begin{array}{ll} \frac{1}{2}X = 35^\circ 56' 53'' & X = 71^\circ 53' 46'' \\ \frac{1}{2}Y = 54 \ 17 \ 5 & Y = 108 \ 34 \ 10 \\ \frac{1}{2}Z = 86 \ 26 \ 20 & Z = 172 \ 52 \ 40 \end{array}$$

$$\begin{array}{l} \alpha = 6^\circ 4' 25'' \\ \beta = 4 \ 23 \ 15 \\ \gamma = 35 \ 47 \ 38 \end{array}$$

$$d = 3\check{P}_5^2$$

$$\begin{array}{ll} \frac{1}{2}X = 38^\circ 52' 38'' & X = 77^\circ 45' 16'' \\ \frac{1}{2}Y = 55 \ 15 \ 4 & Y = 110 \ 30 \ 8 \\ \frac{1}{2}Z = 74 \ 45 \ 47 & Z = 149 \ 31 \ 34 \end{array}$$

$$\begin{array}{l} \alpha = 24^\circ 45' 14'' \\ \beta = 18 \ 39 \ 15 \\ \gamma = 36 \ 12 \ 36 \end{array}$$

$$\rho = 2\check{P}_3^4$$

$$\begin{array}{ll} \frac{1}{2}X = 44^\circ 41' 12'' & X = 89^\circ 22' 24'' \\ \frac{1}{2}Y = 54 \ 39 \ 49 & Y = 109 \ 19 \ 38 \\ \frac{1}{2}Z = 66 \ 25 \ 14 & Z = 132 \ 50 \ 28 \end{array}$$

$$\begin{array}{l} \alpha = 34^\circ 40' 8'' \\ \beta = 29 \ 21 \ 51 \\ \gamma = 39 \ 7 \ 43 \end{array}$$

$$x = 5\check{P}_3^5$$

$$\begin{array}{ll} \frac{1}{2}X = 46^\circ 32' 7'' & X = 93^\circ 4' 14'' \\ \frac{1}{2}Y = 45 36 40 & Y = 91 13 20 \\ \frac{1}{2}Z = 78 50 29 & Z = 157 40 58 \end{array}$$

$$\alpha = 15^\circ 27' 51''$$

$$\beta = 15 42 45$$

$$\gamma = 45 28 47$$

$$\eta = \frac{5}{2}\check{P}_3^5$$

$$\begin{array}{ll} \frac{1}{2}X = 49^\circ 17' 21'' & X = 98^\circ 34' 42'' \\ \frac{1}{2}Y = 48 27 6 & Y = 96 54 12 \\ \frac{1}{2}Z = 68 28 13 & Z = 136 56 26 \end{array}$$

$$\alpha = 28^\circ 57' 22''$$

$$\beta = 29 21 51$$

$$\gamma = 45 28 47$$

$$D = \frac{5}{4}\check{P}_3^5$$

$$\begin{array}{ll} \frac{1}{2}X = 56^\circ 36' 7'' & X = 113^\circ 12' 14'' \\ \frac{1}{2}Y = 55 57 42 & Y = 111 55 24 \\ \frac{1}{2}Z = 51 43 33 & Z = 103 27 6 \end{array}$$

$$\alpha = 47^\circ 53' 50''$$

$$\beta = 48 22 26$$

$$\gamma = 45 28 47$$

$$s = 2\check{P}_2$$

$$\begin{array}{ll} \frac{1}{2}X = 56^\circ 1' 12'' & X = 112^\circ 2' 24'' \\ \frac{1}{2}Y = 46 59 58 & Y = 93 59 56 \\ \frac{1}{2}Z = 61 51 20 & Z = 123 42 40 \end{array}$$

$$\alpha = 34^\circ 40' 8''$$

$$\beta = 40 9 48$$

$$\gamma = 50 39 56$$

$$x = \check{P}2$$

$$\begin{array}{ll} \frac{1}{3}X = 64^\circ 21' 13'' & X = 128^\circ 42' 26'' \\ \frac{1}{3}Y = 58 \quad 7 \quad 11 & Y = 116 \quad 14 \quad 22 \\ \frac{1}{3}Z = 43 \quad 3 \quad 57 & Z = 86 \quad 7 \quad 54 \\ \alpha = 54^\circ 8' 9'' \\ \beta = 59 \quad 21 \quad 21 \\ \gamma = 50 \quad 39 \quad 56 \end{array}$$

$$\lambda = \check{P}\frac{2}{3}$$

$$\begin{array}{ll} \frac{1}{3}X = 67^\circ 37' 53'' & X = 135^\circ 15' 46'' \\ \frac{1}{3}Y = 57 \quad 11 \quad 42 & Y = 114 \quad 23 \quad 24 \\ \frac{1}{3}Z = 41 \quad 27 \quad 33 & Z = 82 \quad 55 \quad 6 \\ \alpha = 54^\circ 8' 9'' \\ \beta = 63 \quad 4 \quad 42 \\ \gamma = 54 \quad 54 \quad 53 \end{array}$$

$$\psi = \frac{3}{4}\check{P}3$$

$$\begin{array}{ll} \frac{1}{3}X = 75^\circ 24' 14'' & X = 150^\circ 48' 28'' \\ \frac{1}{3}Y = 62 \quad 31 \quad 53 & Y = 125 \quad 3 \quad 46 \\ \frac{1}{3}Z = 31 \quad 42 \quad 34 & Z = 63 \quad 25 \quad 8 \\ \alpha = 61^\circ 32' 1'' \\ \beta = 73 \quad 29 \quad 59 \\ \gamma = 61 \quad 21 \quad 3 \end{array}$$

$$\beta = \check{P}3$$

$$\begin{array}{ll} \frac{1}{3}X = 72^\circ 15' 5'' & X = 144^\circ 30' 10'' \\ \frac{1}{3}Y = 56 \quad 5 \quad 1 & Y = 112 \quad 10 \quad 2 \\ \frac{1}{3}Z = 39 \quad 28 \quad 51 & Z = 78 \quad 57 \quad 42 \\ \alpha = 54^\circ 8' 9'' \\ \beta = 68 \quad 26 \quad 53 \\ \gamma = 61 \quad 21 \quad 3 \end{array}$$

$$\xi = \overset{\circ}{\underset{\cdot}{P}}3$$

$$\begin{array}{ll} \overset{\circ}{\underset{\cdot}{X}} = 65^\circ 2' 32'' & X = 130^\circ 5' 4'' \\ \overset{\circ}{\underset{\cdot}{Y}} = 39 26 9 & Y = 78 52 18 \\ \overset{\circ}{\underset{\cdot}{Z}} = 61 39 9 & Z = 123 18 18 \end{array}$$

$$\alpha = 31^\circ 34' 57''$$

$$\beta = 48 22 26$$

$$\gamma = 61 21 3$$

$$\varphi = 3\overset{\circ}{\underset{\cdot}{P}}3$$

$$\begin{array}{ll} \overset{\circ}{\underset{\cdot}{X}} = 63^\circ 36' 45'' & X = 127^\circ 13' 30'' \\ \overset{\circ}{\underset{\cdot}{Y}} = 35 33 40 & Y = 71 7 20 \\ \overset{\circ}{\underset{\cdot}{Z}} = 67 58 11 & Z = 135 56 22 \end{array}$$

$$\alpha = 24^\circ 45' 14''$$

$$\beta = 40 9 48$$

$$\gamma = 61 21 3$$

$$\omega = \overset{\circ}{\underset{\cdot}{P}}5$$

$$\begin{array}{ll} \overset{\circ}{\underset{\cdot}{X}} = 77^\circ 36' 17'' & X = 155^\circ 12' 34'' \\ \overset{\circ}{\underset{\cdot}{Y}} = 49 5 35 & Y = 98 11 10 \\ \overset{\circ}{\underset{\cdot}{Z}} = 43 33 37 & Z = 87 7 14 \end{array}$$

$$\alpha = 47^\circ 53' 50''$$

$$\beta = 73 29 59$$

$$\gamma = 71 51 3$$

$$E = 6\overset{\circ}{\underset{\cdot}{P}}6$$

$$\begin{array}{ll} \overset{\circ}{\underset{\cdot}{X}} = 75^\circ 5' 39'' & X = 150^\circ 11' 18'' \\ \overset{\circ}{\underset{\cdot}{Y}} = 19 40 11 & Y = 39 20 22 \\ \overset{\circ}{\underset{\cdot}{Z}} = 77 27 43 & Z = 154 55 26 \end{array}$$

$$\alpha = 12^\circ 58' 57''$$

$$\beta = 40 9 48$$

$$\gamma = 74 43 17$$

$$\sigma = \frac{2}{3}\bar{P}7$$

$$\begin{array}{ll} \frac{1}{3}X = 78^\circ 36' 45'' & X = 157^\circ 13' 30'' \\ \frac{1}{3}Y = 32 \ 30 \ 47 & Y = 65 \ 1 \ 34 \\ \frac{1}{3}Z = 60 \ 0 \ 21 & Z = 120 \ 0 \ 42 \end{array}$$

$$\alpha = 30^\circ 39' 38''$$

$$\beta = 68 \ 26 \ 53$$

$$\gamma = 76 \ 49 \ 19$$

$$F = \frac{86}{45}\bar{P}\frac{86}{4}$$

$$\begin{array}{ll} \frac{1}{3}X = 86^\circ 27' 58'' & X = 172^\circ 55' 56'' \\ \frac{1}{3}Y = 36 \ 2 \ 51 & Y = 72 \ 5 \ 42 \\ \frac{1}{3}Z = 54 \ 10 \ 54 & Z = 108 \ 21 \ 48 \end{array}$$

$$\alpha = 35^\circ 53' 50''$$

$$\beta = 83 \ 59 \ 15$$

$$\gamma = 85 \ 38 \ 26$$

Makrodomen.

$$l = 2\bar{P}\infty$$

$$\begin{array}{ll} \frac{1}{3}X = 22^\circ 52' 44'' & X = 45^\circ 45' 28'' \\ \frac{1}{3}Z = 67 \ 7 \ 16 & Z = 134 \ 14 \ 32 \end{array}$$

$$\pi = \frac{3}{4}\bar{P}\infty$$

$$\begin{array}{ll} \frac{1}{3}X = 29^\circ 21' 51'' & X = 58^\circ 43' 42'' \\ \frac{1}{3}Z = 60 \ 38 \ 9 & Z = 121 \ 16 \ 18 \end{array}$$

$$e = \bar{P}\infty$$

$$\begin{array}{ll} \frac{1}{3}X = 40^\circ 9' 48'' & X = 80^\circ 19' 36'' \\ \frac{1}{3}Z = 49 \ 50 \ 12 & Z = 99 \ 40 \ 24 \end{array}$$

$$y = \frac{1}{3}\bar{P}\infty$$

$$\begin{array}{ll} \frac{1}{3}X = 59^\circ 21' 21'' & X = 118^\circ 42' 42'' \\ \frac{1}{3}Z = 30 \ 38 \ 39 & Z = 61 \ 17 \ 18 \end{array}$$

$$d = \frac{1}{3}\bar{P}\infty$$

$$\begin{array}{ll} \frac{1}{3}X = 68^\circ 26' 53'' & X = 136^\circ 53' 46'' \\ \frac{1}{3}Z = 21 \ 33 \ 7 & Z = 43 \ 6 \ 14 \end{array}$$

$$G = \frac{1}{4}\bar{P}\infty$$

$$\begin{array}{ll} \frac{1}{3}X = 73^\circ 29' 59'' & X = 146^\circ 59' 58'' \\ \frac{1}{3}Z = 16 \ 30 \ 1 & Z = 33 \ 0 \ 2 \end{array}$$

$$H = \frac{1}{5}\bar{P}\infty$$

$$\begin{array}{ll} \frac{1}{3}X = 76^\circ 40' 6'' & X = 153^\circ 20' 12'' \\ \frac{1}{3}Z = 13 \ 19 \ 54 & Z = 26 \ 39 \ 48 \end{array}$$

Brachydomen.

$$I = 14\check{P}\infty$$

$$\begin{array}{ll} \frac{1}{3}Y = 5^\circ 38' 34'' & Y = 11^\circ 17' 8'' \\ \frac{1}{3}Z = 84 \ 21 \ 26 & Z = 168 \ 42 \ 52 \end{array}$$

$$K = 10\check{P}\infty$$

$$\begin{array}{ll} \frac{1}{3}Y = 7^\circ 52' 32'' & Y = 15^\circ 45' 4'' \\ \frac{1}{3}Z = 82 \ 7 \ 28 & Z = 164 \ 14 \ 56 \end{array}$$

$$L = 9\check{P}\infty$$

$$\begin{array}{ll} \frac{1}{3}Y = 8^\circ 44' 16'' & Y = 17^\circ 28' 32'' \\ \frac{1}{3}Z = 81 \ 15 \ 44 & Z = 162 \ 31 \ 28 \end{array}$$

$$z = 8\check{P}_\infty$$

$$\begin{array}{ll} \frac{1}{2}Y = 9^\circ 48' 36'' & Y = 19^\circ 37' 12'' \\ \frac{1}{2}Z = 80 \ 11 \ 24 & Z = 160 \ 22 \ 48 \end{array}$$

$$u = 7\check{P}_\infty$$

$$\begin{array}{ll} \frac{1}{2}Y = 11^\circ 40' 41'' & Y = 22^\circ 21' 22'' \\ \frac{1}{2}Z = 78 \ 49 \ 19 & Z = 157 \ 38 \ 38 \end{array}$$

$$t = 6\check{P}_\infty$$

$$\begin{array}{ll} \frac{1}{2}Y = 12^\circ 58' 57'' & Y = 25^\circ 57' 54'' \\ \frac{1}{2}Z = 77 \ 1 \ 3 & Z = 154 \ 2 \ 6 \end{array}$$

$$n = 5\check{P}_\infty$$

$$\begin{array}{ll} \frac{1}{2}Y = 15^\circ 27' 51'' & Y = 30^\circ 55' 42'' \\ \frac{1}{2}Z = 74 \ 32 \ 9 & Z = 149 \ 4 \ 18 \end{array}$$

$$z = 4\check{P}_\infty$$

$$\begin{array}{ll} \frac{1}{2}Y = 19^\circ 4' 34'' & Y = 38^\circ 9' 8'' \\ \frac{1}{2}Z = 70 \ 55 \ 26 & Z = 141 \ 50 \ 52 \end{array}$$

$$v = 3\check{P}_\infty$$

$$\begin{array}{ll} \frac{1}{2}Y = 24^\circ 45' 14'' & X = 49^\circ 30' 28'' \\ \frac{1}{2}Z = 65 \ 14 \ 46 & Z = 130 \ 29 \ 32 \end{array}$$

$$M = \frac{2}{3}\check{P}_\infty$$

$$\begin{array}{ll} \frac{1}{2}Y = 28^\circ 57' 22'' & Y = 57^\circ 54' 44'' \\ \frac{1}{2}Z = 61 \ 2 \ 38 & Z = 122 \ 5 \ 16 \end{array}$$

$$i = 2\check{P}\infty$$

$$\begin{array}{ll} \frac{1}{3}Y = 34^{\circ} 40' 8'' & Y = 69^{\circ} 20' 16'' \\ \frac{1}{3}Z = 55 \ 19 \ 52 & Z = 110 \ 39 \ 44 \end{array}$$

$$N = \frac{2}{3}\check{P}\infty$$

$$\begin{array}{ll} \frac{1}{3}Y = 42^{\circ} 40' 54'' & Y = 85^{\circ} 21' 48'' \\ \frac{1}{3}Z = 47 \ 19 \ 6 & Z = 94 \ 38 \ 12 \end{array}$$

$$O = \frac{2}{4}\check{P}\infty$$

$$\begin{array}{ll} \frac{1}{3}Y = 49^{\circ} 51' 19'' & Y = 99^{\circ} 42' 38'' \\ \frac{1}{3}Z = 40 \ 8 \ 41 & Z = 80 \ 17 \ 22 \end{array}$$

$$P = \frac{2}{7}\check{P}\infty$$

$$\begin{array}{ll} \frac{1}{3}Y = 50^{\circ} 26' 11'' & Y = 100^{\circ} 52' 22'' \\ \frac{1}{3}Z = 39 \ 33 \ 49 & Z = 79 \ 7 \ 38 \end{array}$$

$$k = \check{P}\infty$$

$$\begin{array}{ll} \frac{1}{3}Y = 54^{\circ} 8' 9'' & Y = 108^{\circ} 16' 18'' \\ \frac{1}{3}Z = 35 \ 51 \ 51 & Z = 71 \ 43 \ 42 \end{array}$$

$$q = \frac{2}{3}\check{P}\infty$$

$$\begin{array}{ll} \frac{1}{3}Y = 64^{\circ} 16' 5'' & Y = 128^{\circ} 32' 10'' \\ \frac{1}{3}Z = 25 \ 43 \ 55 & Z = 51 \ 27 \ 50 \end{array}$$

$$x = \frac{1}{3}\check{P}\infty$$

$$\begin{array}{ll} \frac{1}{3}Y = 70^{\circ} 7' 37'' & Y = 140^{\circ} 15' 14'' \\ \frac{1}{3}Z = 19 \ 52 \ 23 & Z = 39 \ 44 \ 46 \end{array}$$

$$\gamma = \frac{1}{3}\check{P}\infty$$

$$\begin{array}{ll} \frac{1}{2}Y = 76^{\circ} 27' 5'' & Y = 152^{\circ} 54' 10'' \\ \frac{1}{2}Z = 13 \ 32 \ 55 & Z = 27 \ 5 \ 50 \end{array}$$

$$Q = \frac{1}{6}\check{P}\infty$$

$$\begin{array}{ll} \frac{1}{2}Y = 83^{\circ} 7' 47'' & Y = 166^{\circ} 15' 34'' \\ \frac{1}{2}Z = 6 \ 52 \ 13 & Z = 13 \ 44 \ 26 \end{array}$$

Prismen.

$$m = \infty P$$

$$\begin{array}{ll} \frac{1}{2}X = 31^{\circ} 23' 19'' & X = 62^{\circ} 46' 38'' \\ \frac{1}{2}Y = 58 \ 36 \ 41 & Y = 117 \ 13 \ 22 \end{array}$$

$$f = \infty \bar{P}\frac{5}{3}$$

$$\begin{array}{ll} \frac{1}{2}X = 20^{\circ} 6' 24'' & X = 40^{\circ} 12' 48'' \\ \frac{1}{2}Y = 69 \ 53 \ 36 & Y = 139 \ 47 \ 12 \end{array}$$

$$\nabla = \infty \check{P}\frac{5}{3}$$

$$\begin{array}{ll} \frac{1}{2}X = 45^{\circ} 28' 47'' & X = 90^{\circ} 57' 34'' \\ \frac{1}{2}Y = 44 \ 31 \ 13 & Y = 89 \ 2 \ 26 \end{array}$$

$$\chi = \infty \check{P}2$$

$$\begin{array}{ll} \frac{1}{2}X = 50^{\circ} 39' 56'' & X = 101^{\circ} 19' 52'' \\ \frac{1}{2}Y = 39 \ 20 \ 4 & Y = 78 \ 40 \ 8 \end{array}$$

$$r = \infty \check{P}3$$

$$\begin{array}{ll} \frac{1}{2}X = 61^{\circ} 21' 3'' & X = 122^{\circ} 42' 6'' \\ \frac{1}{2}Y = 28 \ 38 \ 57 & Z = 57 \ 17 \ 54 \end{array}$$

$$\Gamma = \infty\check{P}8$$

$$\begin{array}{ll} \frac{1}{3}Z = 78^\circ 25' 18'' & Z = 156^\circ 50' 36'' \\ \frac{1}{3}Y = 11 \ 34 \ 42 & Y = 23 \ 9 \ 24 \end{array}$$

Ferner erhält man durch Rechnung folgende Combinationswinkel:

$$\begin{array}{l} h : a = 99^\circ 49' 52'' \\ h : b = 106 \ 15 \ 4 \\ h : c = 160 \ 51 \ 47 \\ g : a = 102 \ 37 \ 58 \\ g : b = 111 \ 0 \ 19 \\ g : c = 155 \ 10 \ 17 \\ o : a = 107 \ 16 \ 30 \\ o : b = 119 \ 7 \ 29 \\ o : c = 145 \ 14 \ 22 \\ p : a = 114 \ 59 \ 53 \\ p : b = 133 \ 50 \ 16 \\ p : c = 125 \ 46 \ 17 \\ \tau : a = 119 \ 20 \ 30 \\ \tau : b = 143 \ 25 \ 50 \\ \tau : c = 109 \ 48 \ 38 \\ \epsilon : a = 120 \ 25 \ 37 \\ \epsilon : b = 146 \ 6 \ 16 \\ \epsilon : c = 103 \ 30 \ 15 \\ A : a = 121 \ 20 \ 30 \\ A : b = 148 \ 29 \ 18 \\ A : c = 92 \ 56 \ 45 \\ \vartheta : a = 98 \ 50 \ 4 \\ \vartheta : b = 139 \ 2 \ 16 \\ \vartheta : c = 129 \ 35 \ 31 \end{array}$$

$\mu : a = 105^\circ 7' 11''$
$\mu : b = 129 \ 53 \ 12$
$\mu : c = 136 \ 11 \ 18$
$B : a = 107 \ 16 \ 3$
$B : b = 136 \ 52 \ 0$
$B : c = 128 \ 1 \ 3$
$\Delta : a = 101 \ 4 \ 37$
$\Delta : b = 160 \ 51 \ 22$
$\Delta : c = 105 \ 24 \ 45$
$w : a = 105 \ 41 \ 55$
$w : b = 152 \ 29 \ 38$
$w : c = 111 \ 58 \ 48$
$v : a = 109 \ 31 \ 9$
$v : b = 145 \ 13 \ 43$
$v : c = 117 \ 31 \ 40$
$C : a = 125 \ 42 \ 55$
$C : b = 144 \ 3 \ 7$
$C : c = 93 \ 33 \ 40$
$\delta : a = 124 \ 44 \ 56$
$\delta : b = 141 \ 7 \ 22$
$\delta : c = 105 \ 14 \ 13$
$\rho : a = 125 \ 20 \ 11$
$\rho : b = 135 \ 18 \ 48$
$\rho : c = 113 \ 34 \ 46$
$x : a = 134 \ 23 \ 20$
$x : b = 133 \ 27 \ 53$
$x : c = 101 \ 9 \ 31$
$n : a = 131 \ 32 \ 54$
$n : b = 130 \ 42 \ 39$
$n : c = 111 \ 31 \ 47$
$D : a = 124 \ 2 \ 18$
$D : b = 123 \ 23 \ 53$
$D : c = 128 \ 16 \ 27$

$s : a = 133^{\circ} 0' 2''$
$s : b = 123 58 48$
$s : c = 118 8 40$
$\alpha : a = 121 52 49$
$\alpha : b = 115 38 47$
$\alpha : c = 136 56 3$
$\lambda : a = 122 48 18$
$\lambda : b = 112 22 7$
$\lambda : c = 138 32 27$
$\psi : a = 117 28 7$
$\psi : b = 104 35 46$
$\psi : c = 148 17 26$
$\beta : a = 123 54 59$
$\beta : b = 107 44 55$
$\beta : c = 140 31 9$
$\xi : a = 140 33 51$
$\xi : b = 114 57 28$
$\xi : c = 118 20 51$
$\varphi : a = 144 26 20$
$\varphi : b = 116 23 15$
$\varphi : c = 112 1 49$
$\omega : a = 130 54 25$
$\omega : b = 102 23 43$
$\omega : c = 136 26 23$
$E : a = 160 19 49$
$E : b = 104 54 21$
$E : c = 102 32 17$
$\sigma : a = 147 29 13$
$c : b = 101 23 15$
$\sigma : c = 119 59 39$
$F : a = 143 57 9$
$F : b = 93 32 2$
$F : c = 125 49 6$

$l : a =$	90°	0'	0''
$l : b =$	157	7	16
$l : c =$	112	52	44
$\pi : a =$	90	0	0
$\pi : b =$	150	38	9
$\pi : c =$	119	21	51
$e : a =$	90	0	0
$e : b =$	139	50	12
$e : c =$	130	9	48
$y : a =$	90	0	0
$y : b =$	120	38	39
$y : c =$	149	21	21
$d : a =$	90	0	0
$d : b =$	111	33	7
$d : c =$	158	26	53
$G : a =$	90	0	0
$G : b =$	106	30	1
$G : c =$	163	29	59
$H : a =$	90	0	0
$H : b =$	103	19	54
$H : c =$	166	40	6
$I : a =$	174	21	26
$I : b =$	90	0	0
$I : c =$	95	38	34
$K : a =$	172	7	28
$K : b =$	90	0	0
$K : c =$	97	52	32
$L : a =$	171	15	44
$L : b =$	90	0	0
$L : c =$	98	44	16
$\zeta : a =$	170	11	24
$\zeta : b =$	90	0	0
$\zeta : c =$	99	48	36

<i>u</i> : <i>a</i>	=	168°	49'	19''
<i>u</i> : <i>b</i>	=	90	0	0
<i>u</i> : <i>c</i>	=	101	10	41
<i>t</i> : <i>a</i>	=	167	1	3
<i>t</i> : <i>b</i>	=	90	0	0
<i>t</i> : <i>c</i>	=	102	58	57
<i>n</i> : <i>a</i>	=	164	32	9
<i>n</i> : <i>b</i>	=	90	0	0
<i>n</i> : <i>c</i>	=	105	27	51
<i>z</i> : <i>a</i>	=	160	55	26
<i>z</i> : <i>b</i>	=	90	0	0
<i>z</i> : <i>c</i>	=	109	4	34
<i>v</i> : <i>a</i>	=	155	14	46
<i>v</i> : <i>b</i>	=	90	0	0
<i>v</i> : <i>c</i>	=	114	45	14
<i>M</i> : <i>a</i>	=	151	2	38
<i>M</i> : <i>b</i>	=	90	0	0
<i>M</i> : <i>c</i>	=	118	57	22
<i>i</i> : <i>a</i>	=	145	19	52
<i>i</i> : <i>b</i>	=	90	0	0
<i>i</i> : <i>c</i>	=	124	40	8
<i>N</i> : <i>a</i>	=	137	19	6
<i>N</i> : <i>b</i>	=	90	0	0
<i>N</i> : <i>c</i>	=	132	40	54
<i>O</i> : <i>a</i>	=	130	8	41
<i>O</i> : <i>b</i>	=	90	0	0
<i>O</i> : <i>c</i>	=	139	51	19
<i>P</i> : <i>a</i>	=	129	33	49
<i>P</i> : <i>b</i>	=	90	0	0
<i>P</i> : <i>c</i>	=	140	26	11
<i>k</i> : <i>a</i>	=	125	51	51
<i>k</i> : <i>b</i>	=	90	0	0
<i>k</i> : <i>c</i>	=	144	8	9

$q : a = 115^{\circ} 43' 55''$
$q : b = 90 \quad 0 \quad 0$
$q : c = 154 \quad 16 \quad 5$
$x : a = 109 \quad 52 \quad 23$
$x : b = 90 \quad 0 \quad 0$
$x : c = 160 \quad 7 \quad 37$
$\gamma : a = 103 \quad 32 \quad 55$
$\gamma : b = 90 \quad 0 \quad 0$
$\gamma : c = 166 \quad 27 \quad 5$
$Q : a = 96 \quad 52 \quad 13$
$Q : b = 90 \quad 0 \quad 0$
$Q : c = 173 \quad 7 \quad 47$
$m : a = 121 \quad 23 \quad 19$
$m : b = 148 \quad 36 \quad 41$
$m : c = 90 \quad 0 \quad 0$
$f : a = 110 \quad 6 \quad 24$
$f : b = 159 \quad 53 \quad 36$
$f : c = 90 \quad 0 \quad 0$
$\nabla : a = 135 \quad 28 \quad 47$
$\nabla : b = 134 \quad 31 \quad 13$
$\nabla : c = 90 \quad 0 \quad 0$
$\chi : a = 140 \quad 39 \quad 56$
$\chi : b = 129 \quad 20 \quad 4$
$\chi : c = 90 \quad 0 \quad 0$
$r : a = 151 \quad 21 \quad 3$
$r : b = 118 \quad 38 \quad 57$
$r : c = 90 \quad 0 \quad 0$
$\Gamma : a = 168 \quad 25 \quad 18$
$\Gamma : b = 101 \quad 34 \quad 42$
$\Gamma : c = 90 \quad 0 \quad 0$

E. Artini hat seine Krystallmessungen und Berechnungen in der nachfolgenden vergleichenden Tabelle zusammengestellt. In dieser Tabelle, schreibt E. Artini, sind diejenigen Winkelwerthe angegeben, welche zur Berechnung der Constanten benutzt wurden, und von den übrigen die wichtigsten:

	Gemessen (Artini)	Berechnet (Artini)
$m : a$	121° 23' 50''	121° 23' 19''
$m : b$	148 37 24	148 36 41
$\nabla : a$	135 31 0	135 28 46
$\chi : a$	140 14 0	140 39 55
$r : a$	151 20 48	151 21 3
$r : m$	150 2 5	150 2 16
$y : b$	120 39 26	120 38 39
$y : k$	134 11 17	134 12 20
$y : p$	148 52 0	148 51 53
$y : r$	104 9 0	104 8 42
$y : s$	133 42 0	133 41 8
$y : w$	140 43 0	140 43 25
$G : b$	106 41 0	106 30 1
$G : g$	166 31 0	166 24 38
$G : o$	157 59 0	157 48 40
$x : c$	160 7 54	160 7 37
$q : c$	154 17 40	154 16 6
$k : c$	144 6 37	144 8 9
$k : m$	107 46 39	107 46 0
$k : r$	120 56 17	120 56 24
$N : a$	137 21 0	137 19 7
$N : p$	135 9 0	134 59 10
$i : a$	145 19 20	145 19 52
$i : p$	133 17 0	132 50 56
$M : a$	150 40 0	151 2 39

	Gemessen (Artini)	Berechnet (Artini)
$v : a$	155° 14' 0'	155° 14' 46''
$v : r$	142 50 0	142 50 18
$v : m$	118 11 0	118 13 41
$z : a$	160 54 0	160 55 26
$n : a$	164 28 40	164 32 9
$t : a$	166 55 0	167 1 4
$p : c$	125 46 47	125 46 16
$p : b$	133 50 0	133 50 16
$p : a$	114 58 18	114 59 53
$p : m$	144 13 24	144 13 44
$p : p$ } in Y	130 0 54	130 0 14
$p : p$ } in Z	108 26 34	108 27 28
$p : k$	136 9 38	136 9 44
$p : k$ ($0\bar{1}1$)	103 4 6	103 4 12
$p : x$	133 53 0	133 53 57
$o : m$	124 46 35	124 45 39
$o : y$	162 43 37	162 43 30
$o : a$	107 24 0	107 16 30
$o : k$	147 5 0	147 6 53
$o : c$	145 14 0	145 14 21
$g : k$	119 25 0	119 43 36
$g : m$	114 49 30	114 49 43
$h : c$	160 26 0	160 51 48
$h : m$	109 33 0	109 8 13
$s : a$	132 59 13	133 0 2
$s : z$	151 52 0	151 51 20
$s : m$	146 21 0	146 20 18
$s : k$	141 25 30	141 25 42
$s : p$	161 59 40	161 59 52

	Gemessen (Artini)	Berechnet (Artini)
<i>E</i> : <i>a</i>	160° 13' 0''	160° 19' 50''
<i>E</i> : <i>r</i>	161 40 0	161 44 55
<i>E</i> : <i>v</i>	161 10 0	161 5 23
<i>w</i> : <i>m</i>	153 55 32	153 54 28
<i>w</i> : <i>b</i>	152 30 10	152 29 38
<i>w</i> : <i>a</i>	105 42 30	105 41 56

■■■.

G. B. Negri ¹⁾ hat ebenfalls eine sehr wichtige krystallographische Arbeit über Weissbleierz gemacht. Aus seinen genauen Messungen, welche an drei Krystallen aus Auronzo, von denen zwei Zwillinge waren, ausgeführt wurden, wurden durch Anwendung der Methode der kleinsten Quadrate, im Mittel, folgende Axenverhältnisse berechnet:

$$\begin{aligned} a : b : c &= 0,723465 : 1 : 0,610141, \\ &= 1,185733 : 1,638964 : 1 \end{aligned}$$

wo *a* = Verticalaxe, *b* = Makrodiagonale, *c* = Brachydiagonale.

Aus diesem von Negri abgeleiteten Axenverhältnisse berechnen sich folgende Winkel:

¹⁾ G. B. Negri: „Krystallographische Untersuchungen des Cerussits von Auronzo“ (Atti d. R. Instit. Ven. 1888. Rivista di Mineralogia e Cristallografia Italiana 1889, Vol. IV, p. 41. Zeitschrift für Krystallographie und Mineralogie von P. Groth, 1891, Bd. XIX, drittes Heft, S. 319.)

Pyramiden der Hauptreihe.

$$h = \frac{1}{4}P$$

$\frac{1}{2}X = 73^\circ 44' 17''$	$X = 147^\circ 28' 34''$
$\frac{1}{3}Y = 80 \quad 9 \quad 45$	$Y = 160 \quad 19 \quad 30$
$\frac{1}{3}Z = 19 \quad 8 \quad 58$	$Z = 38 \quad 17 \quad 56$

$$\alpha = 79^\circ 44' 53''$$

$$\beta = 73 \quad 29 \quad 19$$

$$\gamma = 31 \quad 23 \quad 21$$

$$g = \frac{1}{3}P$$

$\frac{1}{2}X = 68^\circ 58' 54''$	$X = 137^\circ 57' 48''$
$\frac{1}{3}Y = 77 \quad 21 \quad 33$	$Y = 154 \quad 43 \quad 6$
$\frac{1}{3}Z = 24 \quad 50 \quad 40$	$Z = 49 \quad 41 \quad 20$

$$\alpha = 76^\circ 26' 30''$$

$$\beta = 68 \quad 26 \quad 2$$

$$\gamma = 31 \quad 23 \quad 21$$

$$o = \frac{1}{2}P$$

$\frac{1}{2}X = 60^\circ 51' 35''$	$X = 121^\circ 43' 10''$
$\frac{1}{3}Y = 72 \quad 42 \quad 58$	$Y = 145 \quad 25 \quad 56$
$\frac{1}{3}Z = 34 \quad 46 \quad 49$	$Z = 69 \quad 33 \quad 38$

$$\alpha = 70^\circ 6' 48''$$

$$\beta = 59 \quad 20 \quad 16$$

$$\gamma = 31 \quad 23 \quad 21$$

$p = P$

$$\begin{array}{ll} \frac{1}{2}X = 46^\circ 8' 56'' & X = 92^\circ 17' 52'' \\ \frac{1}{2}Y = 64 59 42 & Y = 129 59 24 \\ \frac{1}{2}Z = 54 14 55 & Z = 108 29 50 \end{array}$$

$$\alpha = 54^\circ 6' 56''$$

$$\beta = 40 8 35$$

$$\gamma = 31 23 21$$

$\tau = 2P$

$$\begin{array}{ll} \frac{1}{2}X = 36^\circ 33' 48'' & X = 73^\circ 7' 36'' \\ \frac{1}{2}Y = 60 39 19 & Y = 121 18 38 \\ \frac{1}{2}Z = 70 12 10 & Z = 140 24 20 \end{array}$$

$$\alpha = 34^\circ 38' 57''$$

$$\beta = 22 51 51$$

$$\gamma = 31 23 21$$

$\varepsilon = 3P$

$$\begin{array}{ll} \frac{1}{2}X = 33^\circ 53' 33'' & X = 67^\circ 47' 6'' \\ \frac{1}{2}Y = 59 34 17 & Y = 119 8 34 \\ \frac{1}{2}Z = 76 30 19 & Z = 153 0 38 \end{array}$$

$$\alpha = 24^\circ 44' 16''$$

$$\beta = 15 42 6$$

$$\gamma = 31 23 21$$

$A = 14P$

$$\begin{array}{ll} \frac{1}{2}X = 31^\circ 30' 43'' & X = 63^\circ 1' 26'' \\ \frac{1}{2}Y = 58 39 28 & Y = 117 18 56 \\ \frac{1}{2}Z = 87 3 22 & Z = 174 6 44 \end{array}$$

$$\alpha = 5^\circ 38' 19''$$

$$\beta = 3 26 50$$

$$\gamma = 31 23 21$$

Makropyramiden.

$$\vartheta = \bar{P}_3$$

$$\begin{array}{ll} \frac{1}{2}X = 40^\circ 56' 35'' & X = 81^\circ 53' 10'' \\ \frac{1}{2}Y = 81 \quad 9 \quad 46 & Y = 162 \quad 19 \quad 32 \\ \frac{1}{2}Z = 50 \quad 25 \quad 44 & Z = 100 \quad 51 \quad 28 \end{array}$$

$$\begin{array}{l} \alpha = 76^\circ 26' 30'' \\ \beta = 40 \quad 8 \quad 35 \\ \gamma = 11 \quad 29 \quad 45 \end{array}$$

$$\mu = \frac{3}{4}\bar{P}_2$$

$$\begin{array}{ll} \frac{1}{2}X = 50^\circ 5' 43'' & X = 100^\circ 11' 26'' \\ \frac{1}{2}Y = 74 \quad 52 \quad 27 & Y = 149 \quad 44 \quad 54 \\ \frac{1}{2}Z = 43 \quad 49 \quad 56 & Z = 87 \quad 39 \quad 52 \end{array}$$

$$\begin{array}{l} \alpha = 70^\circ 6' 48'' \\ \beta = 48 \quad 21 \quad 12 \\ \gamma = 22 \quad 8 \quad 5 \end{array}$$

$$B = \bar{P}_2$$

$$\begin{array}{ll} \frac{1}{2}X = 43^\circ 7' 0'' & X = 86^\circ 14' 0'' \\ \frac{1}{2}Y = 72 \quad 43 \quad 38 & Y = 145 \quad 27 \quad 16 \\ \frac{1}{2}Z = 52 \quad 0 \quad 10 & Z = 104 \quad 0 \quad 20 \end{array}$$

$$\begin{array}{l} \alpha = 64^\circ 15' 5'' \\ \beta = 40 \quad 8 \quad 35 \\ \gamma = 22 \quad 8 \quad 5 \end{array}$$

$$\Delta = 3\bar{P}3$$

$$\begin{array}{ll} \frac{1}{2}X = 19^\circ 8' 8'' & X = 38^\circ 16' 16'' \\ \frac{1}{2}Y = 78 55 20 & Y = 157 50 40 \\ \frac{1}{2}Z = 74 35 54 & Z = 149 11 48 \end{array}$$

$$\alpha = 54^\circ 6' 56''$$

$$\beta = 15 42 6$$

$$\gamma = 11 29 45$$

$$w = 2\bar{P}2$$

$$\begin{array}{ll} \frac{1}{2}X = 27^\circ 29' 43'' & X = 54^\circ 59' 26'' \\ \frac{1}{2}Y = 74 17 57 & Y = 148 35 54 \\ \frac{1}{2}Z = 68 2 3 & Z = 136 4 6 \end{array}$$

$$\alpha = 54^\circ 6' 56''$$

$$\beta = 22 51 51$$

$$\gamma = 16 57 56$$

$$v = \frac{2}{3}\bar{P}\frac{2}{3}$$

$$\begin{array}{ll} \frac{1}{3}X = 34^\circ 45' 31'' & X = 69^\circ 31' 2'' \\ \frac{1}{3}Y = 70 28 39 & Y = 140 57 18 \\ \frac{1}{3}Z = 62 29 21 & Z = 124 58 42 \end{array}$$

$$\alpha = 54^\circ 6' 56''$$

$$\beta = 29 20 47$$

$$\gamma = 22 8 5$$

Brachypyramiden.

$$C = 13\check{P}_{\frac{1}{11}}^{\frac{1}{3}}$$

$$\begin{array}{ll} \frac{1}{3}X = 35^{\circ} 56' 50'' & X = 71^{\circ} 53' 40'' \\ \frac{1}{3}Y = 54 \ 17 \ 7 & Y = 108 \ 34 \ 14 \\ \frac{1}{3}Z = 86 \ 26 \ 29 & Z = 172 \ 52 \ 58 \end{array}$$

$$\begin{array}{l} \alpha = 6^{\circ} 4' 9'' \\ \beta = 4 \ 23 \ 3 \\ \gamma = 35 \ 47 \ 40 \end{array}$$

$$d = 3\check{P}_{\frac{1}{5}}^{\frac{6}{5}}$$

$$\begin{array}{ll} \frac{1}{3}X = 38^{\circ} 52' 27'' & X = 77^{\circ} 44' 54'' \\ \frac{1}{3}Y = 55 \ 14 \ 55 & Y = 110 \ 29 \ 50 \\ \frac{1}{3}Z = 74 \ 46 \ 25 & Z = 149 \ 32 \ 50 \end{array}$$

$$\begin{array}{l} \alpha = 24^{\circ} 44' 16'' \\ \beta = 18 \ 38 \ 30 \\ \gamma = 36 \ 12 \ 38 \end{array}$$

$$\rho = 2\check{P}_{\frac{1}{3}}^{\frac{4}{3}}$$

$$\begin{array}{ll} \frac{1}{3}X = 44^{\circ} 40' 49'' & X = 89^{\circ} 21' 38'' \\ \frac{1}{3}Y = 54 \ 39 \ 31 & Y = 109 \ 19 \ 2 \\ \frac{1}{3}Z = 66 \ 26 \ 9 & Z = 132 \ 52 \ 18 \end{array}$$

$$\begin{array}{l} \alpha = 34^{\circ} 38' 57'' \\ \beta = 29 \ 20 \ 47 \\ \gamma = 39 \ 7 \ 45 \end{array}$$

$$x = 5\check{P}\frac{5}{3}$$

$$\begin{array}{ll} \frac{1}{2}X = 46^\circ 32' 3'' & X = 93^\circ 4' 6'' \\ \frac{1}{2}Y = 45 36 34 & Y = 91 13 8 \\ \frac{1}{2}Z = 78 50 58 & Z = 157 41 56 \end{array}$$

$$\alpha = 15^\circ 27' 12''$$

$$\beta = 15 42 6$$

$$\gamma = 45 28 49$$

$$n = \frac{5}{2}\check{P}\frac{5}{3}$$

$$\begin{array}{ll} \frac{1}{2}X = 49^\circ 17' 5'' & \bullet X = 98^\circ 34' 10'' \\ \frac{1}{2}Y = 48 26 46 & Y = 96 53 32 \\ \frac{1}{2}Z = 68 29 5 & Z = 136 58 10 \end{array}$$

$$\alpha = 28^\circ 56' 17''$$

$$\beta = 29 20 47$$

$$\gamma = 45 28 49$$

$$D = \frac{5}{4}\check{P}\frac{5}{3}$$

$$\begin{array}{ll} \frac{1}{2}X = 56^\circ 35' 30'' & X = 113^\circ 11' 0'' \\ \frac{1}{2}Y = 55 57 1 & Y = 111 54 2 \\ \frac{1}{2}Z = 51 44 48 & Z = 103 29 36 \end{array}$$

$$\alpha = 47^\circ 52' 33''$$

$$\beta = 48 21 12$$

$$\gamma = 45 28 49$$

$$s = 2\check{P}2$$

$$\begin{array}{ll} \frac{1}{2}X = 56^\circ 0' 51'' & X = 112^\circ 1' 42'' \\ \frac{1}{2}Y = 46 59 25 & Y = 93 58 50 \\ \frac{1}{2}Z = 61 52 22 & Z = 123 44 44 \end{array}$$

$$\alpha = 34^\circ 38' 57''$$

$$\beta = 40 8 35$$

$$\gamma = 50 39 58$$

$$\alpha = \check{P}2$$

$$\begin{array}{ll} \frac{1}{2}X = 64^{\circ} 20' 35'' & X = 128^{\circ} 41' 10'' \\ \frac{1}{2}Y = 58 \quad 6 \quad 19 & Y = 116 \quad 12 \quad 38 \\ \frac{1}{2}Z = 43 \quad 5 \quad 13 & Z = 86 \quad 10 \quad 26 \end{array}$$

$$\alpha = 54^{\circ} 6' 56''$$

$$\beta = 59 \quad 20 \quad 16$$

$$\gamma = 50 \quad 39 \quad 58$$

$$\lambda = \check{P}\frac{2}{3}$$

$$\begin{array}{ll} \frac{1}{2}X = 67^{\circ} 37' 19'' & X = 135^{\circ} 14' 38'' \\ \frac{1}{2}Y = 57 \quad 10 \quad 46 & Y = 114 \quad 21 \quad 32 \\ \frac{1}{2}Z = 41 \quad 28 \quad 48 & Z = 82 \quad 57 \quad 36 \end{array}$$

$$\alpha = 54^{\circ} 6' 56''$$

$$\beta = 63 \quad 3 \quad 42$$

$$\gamma = 54 \quad 54 \quad 55$$

$$\psi = \frac{3}{4}\check{P}3$$

$$\begin{array}{ll} \frac{1}{2}X = 75^{\circ} 23' 47'' & X = 150^{\circ} 47' 34'' \\ \frac{1}{2}Y = 62 \quad 30 \quad 56 & Y = 125 \quad 1 \quad 52 \\ \frac{1}{2}Z = 31 \quad 43 \quad 41 & Z = 63 \quad 27 \quad 22 \end{array}$$

$$\alpha = 61^{\circ} 30' 57''$$

$$\beta = 73 \quad 29 \quad 19$$

$$\gamma = 61 \quad 21 \quad 5$$

$$\beta = \check{P}3$$

$$\begin{array}{ll} \frac{1}{2}X = 72^{\circ} 14' 37'' & X = 144^{\circ} 29' 14'' \\ \frac{1}{2}Y = 56 \quad 4 \quad 0 & Y = 112 \quad 8 \quad 0 \\ \frac{1}{2}Z = 39 \quad 30 \quad 7 & Z = 79 \quad 0 \quad 14 \end{array}$$

$$\alpha = 54^{\circ} 6' 56''$$

$$\beta = 68 \quad 26 \quad 2$$

$$\gamma = 61 \quad 21 \quad 5$$

$$\xi = \frac{2}{4}\check{P}3$$

$$\begin{array}{ll} \frac{1}{2}X = 65^\circ 2' 17'' & X = 130^\circ 4' 34'' \\ \frac{1}{2}Y = 39 25 26 & Y = 78 50 52 \\ \frac{1}{2}Z = 61 40 12 & Z = 123 20 24 \end{array}$$

$$\alpha = 31^\circ 33' 49''$$

$$\beta = 48 21 12$$

$$\gamma = 61 21 5$$

$$\varphi = 3\check{P}3$$

$$\begin{array}{ll} \frac{1}{2}X = 63^\circ 36' 36'' & X = 127^\circ 13' 12'' \\ \frac{1}{2}Y = 35 33 8 & Y = 71 6 16 \\ \frac{1}{2}Z = 67 59 4 & Z = 135 58 8 \end{array}$$

$$\alpha = 24^\circ 44' 16''$$

$$\beta = 40 8 35$$

$$\gamma = 61 21 5$$

$$\omega = \frac{5}{4}\check{P}5$$

$$\begin{array}{ll} \frac{1}{2}X = 77^\circ 36' 1'' & X = 155^\circ 12' 2'' \\ \frac{1}{2}Y = 49 4 24 & Y = 98 8 48 \\ \frac{1}{2}Z = 43 34 54 & Z = 87 9 48 \end{array}$$

$$\alpha = 47^\circ 52' 33''$$

$$\beta = 73 29 19$$

$$\gamma = 71 51 5$$

$$E = 6\check{P}6$$

$$\begin{array}{ll} \frac{1}{2}X = 75^\circ 5' 39'' & X = 150^\circ 11' 18'' \\ \frac{1}{2}Y = 19 39 49 & Y = 39 19 38 \\ \frac{1}{2}Z = 77 28 15 & Z = 154 56 30 \end{array}$$

$$\alpha = 12^\circ 58' 23''$$

$$\beta = 40 8 35$$

$$\gamma = 74 43 19$$

$$\sigma = \frac{2}{3}\bar{P}7$$

$$\begin{array}{ll} \frac{1}{3}X = 78^\circ 36' 38'' & X = 157^\circ 13' 16'' \\ \frac{1}{3}Y = 32 \ 29 \ 47 & Y = 64 \ 59 \ 34 \\ \frac{1}{3}Z = 60 \ 1 \ 27 & Z = 120 \ 2 \ 54 \end{array}$$

$$\alpha = 30^\circ 38' 31''$$

$$\beta = 68 \ 26 \ 2$$

$$\gamma = 76 \ 49 \ 20$$

$$F = \frac{86}{43}\bar{P}\frac{86}{4}$$

$$\begin{array}{ll} \frac{1}{3}X = 86^\circ 27' 56'' & X = 172^\circ 55' 52'' \\ \frac{1}{3}Y = 36 \ 1 \ 38 & Y = 72 \ 3 \ 16 \\ \frac{1}{3}Z = 54 \ 12 \ 7 & Z = 108 \ 24 \ 14 \end{array}$$

$$\alpha = 35^\circ 52' 37''$$

$$\beta = 83 \ 59 \ 0$$

$$\gamma = 85 \ 38 \ 27$$

Makrodomen.

$$l = 2\bar{P}\infty$$

$$\begin{array}{ll} \frac{1}{3}X = 22^\circ 51' 51'' & X = 45^\circ 43' 42'' \\ \frac{1}{3}Z = 67 \ 8 \ 9 & Z = 134 \ 16 \ 18 \end{array}$$

$$\pi = \frac{3}{2}\bar{P}\infty$$

$$\begin{array}{ll} \frac{1}{3}X = 29^\circ 20' 47'' & X = 58^\circ 41' 34'' \\ \frac{1}{3}Z = 60 \ 39 \ 13 & Z = 121 \ 18 \ 26 \end{array}$$

$$e = \bar{P}\infty$$

$$\begin{array}{ll} \frac{1}{3}X = 40^\circ 8' 35'' & X = 80^\circ 17' 10'' \\ \frac{1}{3}Z = 49 \ 51 \ 25 & Z = 99 \ 42 \ 50 \end{array}$$

$$y = \frac{1}{3}\bar{P}\infty$$

$$\begin{array}{ll} \frac{1}{3}X = 59^\circ 20' 16'' & X = 118^\circ 40' 32'' \\ \frac{1}{3}Z = 30 \ 39 \ 44 & Z = 61 \ 19 \ 28 \end{array}$$

$$d = \frac{1}{3}\bar{P}\infty$$

$$\begin{array}{ll} \frac{1}{3}X = 68^\circ 26' 2'' & X = 136^\circ 52' 4'' \\ \frac{1}{3}Z = 21 \ 33 \ 58 & Z = 43 \ 7 \ 56 \end{array}$$

$$G = \frac{1}{3}\bar{P}\infty$$

$$\begin{array}{ll} \frac{1}{3}X = 73^\circ 29' 19'' & X = 146^\circ 58' 38'' \\ \frac{1}{3}Z = 16 \ 30 \ 41 & Z = 33 \ 1 \ 22 \end{array}$$

$$H = \frac{1}{3}\bar{P}\infty$$

$$\begin{array}{ll} \frac{1}{3}X = 76^\circ 39' 32'' & X = 153^\circ 19' 4'' \\ \frac{1}{3}Z = 13 \ 20 \ 28 & Z = 26 \ 40 \ 56 \end{array}$$

Brachydomen.

$$I = 14\check{P}\infty$$

$$\begin{array}{ll} \frac{1}{3}Y = 5^\circ 38' 19'' & Y = 11^\circ 16' 38'' \\ \frac{1}{3}Z = 84 \ 21 \ 41 & Z = 168 \ 43 \ 22 \end{array}$$

$$K = 10\check{P}\infty$$

$$\begin{array}{ll} \frac{1}{3}Y = 7^\circ 52' 11'' & Y = 15^\circ 44' 22'' \\ \frac{1}{3}Z = 82 \ 7 \ 49 & Z = 164 \ 15 \ 38 \end{array}$$

$$L = 9\check{P}\infty$$

$$\begin{array}{ll} \frac{1}{3}Y = 8^\circ 43' 53'' & Y = 17^\circ 27' 46'' \\ \frac{1}{3}Z = 81 \ 16 \ 7 & Z = 162 \ 32 \ 14 \end{array}$$

$$z = 8\check{P}_\infty$$

$$\begin{array}{ll} \frac{1}{2}Y = 9^\circ 48' 10'' & Y = 19^\circ 36' 20'' \\ \frac{1}{2}Z = 80 \ 11 \ 50 & Z = 160 \ 23 \ 40 \end{array}$$

$$u = 7\check{P}_\infty$$

$$\begin{array}{ll} \frac{1}{2}Y = 11^\circ 10' 12'' & Y = 22^\circ 20' 24'' \\ \frac{1}{2}Z = 78 \ 49 \ 48 & Z = 157 \ 39 \ 36 \end{array}$$

$$t = 6\check{P}_\infty$$

$$\begin{array}{ll} \frac{1}{2}Y = 12^\circ 58' 23'' & Y = 25^\circ 56' 46'' \\ \frac{1}{2}Z = 77 \ 1 \ 37 & Z = 154 \ 3 \ 14 \end{array}$$

$$n = 5\check{P}_\infty$$

$$\begin{array}{ll} \frac{1}{2}Y = 15^\circ 27' 12'' & Y = 30^\circ 54' 24'' \\ \frac{1}{2}Z = 74 \ 32 \ 48 & Z = 149 \ 5 \ 36 \end{array}$$

$$z = 4\check{P}_\infty$$

$$\begin{array}{ll} \frac{1}{2}Y = 19^\circ 3' 47'' & Y = 38^\circ 7' 34'' \\ \frac{1}{2}Z = 70 \ 56 \ 13 & Z = 141 \ 52 \ 26 \end{array}$$

$$v = 3\check{P}_\infty$$

$$\begin{array}{ll} \frac{1}{2}Y = 24^\circ 44' 16'' & Y = 49^\circ 28' 32'' \\ \frac{1}{2}Z = 65 \ 15 \ 44 & Z = 130 \ 31 \ 28 \end{array}$$

$$M = \frac{1}{2}\check{P}_\infty$$

$$\begin{array}{ll} \frac{1}{2}Y = 28^\circ 56' 17'' & Y = 57^\circ 52' 34'' \\ \frac{1}{2}Z = 61 \ 3 \ 43 & Z = 122 \ 7 \ 26 \end{array}$$

$$i = 2\check{P}\infty$$

$$\begin{array}{ll} \frac{1}{2}Y = 34^\circ 38' 57'' & Y = 69^\circ 17' 54'' \\ \frac{1}{2}Z = 55 \ 21 \ 3 & Z = 110 \ 42 \ 6 \end{array}$$

$$N = \frac{3}{2}\check{P}\infty$$

$$\begin{array}{ll} \frac{1}{2}Y = 42^\circ 39' 37'' & Y = 85^\circ 19' 14'' \\ \frac{1}{2}Z = 47 \ 20 \ 23 & Z = 94 \ 40 \ 46 \end{array}$$

$$O = \frac{7}{6}\check{P}\infty$$

$$\begin{array}{ll} \frac{1}{2}Y = 49^\circ 50' 3'' & Y = 99^\circ 40' 6'' \\ \frac{1}{2}Z = 40 \ 9 \ 57 & Z = 80 \ 19 \ 54 \end{array}$$

$$P = \frac{8}{7}\check{P}\infty$$

$$\begin{array}{ll} \frac{1}{2}Y = 50^\circ 24' 56'' & Y = 100^\circ 49' 52'' \\ \frac{1}{2}Z = 39 \ 35 \ 4 & Z = 79 \ 10 \ 8 \end{array}$$

$$k = \check{P}\infty$$

$$\begin{array}{ll} \frac{1}{2}Y = 54^\circ 6' 56'' & Y = 108^\circ 13' 52'' \\ \frac{1}{2}Z = 35 \ 53 \ 4 & Z = 71 \ 46 \ 8 \end{array}$$

$$q = \frac{2}{3}\check{P}\infty$$

$$\begin{array}{ll} \frac{1}{2}Y = 64^\circ 15' 5'' & Y = 128^\circ 30' 10'' \\ \frac{1}{2}Z = 25 \ 44 \ 55 & Z = 51 \ 29 \ 50 \end{array}$$

$$x = \frac{1}{3}\check{P}\infty$$

$$\begin{array}{ll} \frac{1}{2}Y = 70^\circ 6' 48'' & Y = 140^\circ 13' 36'' \\ \frac{1}{2}Z = 19 \ 53 \ 12 & Z = 39 \ 46 \ 24 \end{array}$$

$$\gamma = \frac{1}{3}\check{P}\infty$$

$$\begin{array}{ll} \frac{1}{3}Y = 76^\circ 26' 30'' & Y = 152^\circ 53' 0'' \\ \frac{1}{3}Z = 13 \ 33 \ 30 & Z = 27 \ 7 \ 0 \end{array}$$

$$Q = \frac{1}{6}\check{P}\infty$$

$$\begin{array}{ll} \frac{1}{3}Y = 83^\circ 7' 29'' & Y = 166^\circ 14' 58'' \\ \frac{1}{3}Z = 6 \ 52 \ 31 & Z = 13 \ 45 \ 2 \end{array}$$

Prismen.

$$m = \infty P$$

$$\begin{array}{ll} \frac{1}{3}X = 31^\circ 23' 21'' & X = 62^\circ 46' 42'' \\ \frac{1}{3}Y = 58 \ 36 \ 39 & Y = 117 \ 13 \ 18 \end{array}$$

$$f = \infty \bar{P}\frac{1}{3}$$

$$\begin{array}{ll} \frac{1}{3}X = 20^\circ 6' 25'' & X = 40^\circ 12' 50'' \\ \frac{1}{3}Y = 69 \ 53 \ 35 & Y = 139 \ 47 \ 10 \end{array}$$

$$\nabla = \infty \check{P}\frac{1}{3}$$

$$\begin{array}{ll} \frac{1}{3}X = 45^\circ 28' 49'' & X = 90^\circ 57' 38'' \\ \frac{1}{3}Y = 44 \ 31 \ 11 & Y = 89 \ 2 \ 22 \end{array}$$

$$\chi = \infty \check{P}2$$

$$\begin{array}{ll} \frac{1}{3}X = 50^\circ 39' 58'' & X = 101^\circ 19' 56'' \\ \frac{1}{3}Y = 39 \ 20 \ 2 & Y = 78 \ 40 \ 4 \end{array}$$

$$r = \infty \check{P}3$$

$$\begin{array}{ll} \frac{1}{3}X = 61^\circ 21' 5'' & X = 122^\circ 42' 10'' \\ \frac{1}{3}Y = 28 \ 38 \ 55 & Y = 57 \ 17 \ 50 \end{array}$$

$$\Gamma = \infty\check{P}8$$

$$\begin{array}{ll} \frac{1}{2}X = 78^\circ 25' 19'' & X = 156^\circ 50' 38'' \\ \frac{1}{2}Y = 11 \ 34 \ 41 & Y = 23 \ 9 \ 22 \end{array}$$

Ferner, aus Negri's Axenverhältniss der Grundform

$$\begin{aligned} a : b : c &= 0,723465 : 1 : 0,610141 \\ &= 1,18573 : 1,63896 : 1, \end{aligned}$$

erhält man durch Rechnung folgende Combinationswinkel:

$$\begin{array}{ll} h : a = 99^\circ 50' 15'' \\ h : b = 106 \ 15 \ 43 \\ h : c = 160 \ 51 \ 2 \\ g : a = 102 \ 38 \ 27 \\ g : b = 111 \ 1 \ 6 \\ g : c = 155 \ 9 \ 20 \\ o : a = 107 \ 17 \ 2 \\ o : b = 119 \ 8 \ 25 \\ o : c = 145 \ 13 \ 11 \\ p : a = 115 \ 0 \ 18 \\ p : b = 133 \ 51 \ 4 \\ p : c = 125 \ 45 \ 5 \\ \tau : a = 119 \ 20 \ 41 \\ \tau : b = 143 \ 26 \ 12 \\ \tau : c = 109 \ 47 \ 50 \\ \varepsilon : a = 120 \ 25 \ 43 \\ \varepsilon : b = 146 \ 6 \ 27 \\ \varepsilon : c = 103 \ 29 \ 41 \\ A : a = 121 \ 20 \ 32 \\ A : b = 148 \ 29 \ 17 \\ A : c = 92 \ 56 \ 38 \\ \mathfrak{S} : a = 98 \ 50 \ 14 \\ \mathfrak{S} : b = 139 \ 3 \ 25 \\ \mathfrak{S} : c = 129 \ 34 \ 16 \end{array}$$

$\mu : a = 105^\circ 7' 33''$
$\mu : b = 129 54 17$
$\mu : c = 136 10 4$
$B : a = 107 16 22$
$B : b = 136 53 0$
$B : c = 127 59 50$
$\Delta : a = 101 4 40$
$\Delta : b = 160 51 52$
$\Delta : c = 105 24 6$
$w : a = 105 42 3$
$w : b = 152 30 17$
$w : c = 111 57 57$
$\nu : a = 109 31 21$
$\nu : b = 145 14 29$
$\nu : c = 117 30 39$
$C : a = 125 42 53$
$C : b = 144 3 10$
$C : c = 93 33 31$
$\delta : a = 124 45 5$
$\delta : b = 141 7 33$
$\delta : c = 105 13 35$
$\rho : a = 125 20 29$
$\rho : b = 135 19 11$
$\rho : c = 113 33 51$
$x : a = 134 23 26$
$x : b = 133 27 57$
$x : c = 101 9 2$
$\eta : a = 131 33 14$
$\eta : b = 130 42 55$
$\eta : c = 111 30 55$
$D : a = 124 2 59$
$D : b = 123 24 30$
$D : c = 128 15 12$

$s : a = 133^{\circ} 0' 35''$
$s : b = 123 59 9$
$s : c = 118 7 38$
$\alpha : a = 121 53 41$
$\alpha : b = 115^{\circ} 39 25$
$\alpha : c = 136 54 47$
$\lambda : a = 122 49 14$
$\lambda : b = 112 22 41$
$\lambda : c = 138 31 12$
$\psi : a = 117 29 4$
$\psi : b = 104 36 13$
$\psi : c = 148 16 19$
$\beta : a = 123 56 0$
$\beta : b = 107 45 23$
$\beta : c = 140 29 53$
$\xi : a = 140 34 34$
$\xi : b = 114 57 43$
$\xi : c = 118 19 48$
$\varphi : a = 144 26 52$
$\varphi : b = 116 23 24$
$\varphi : c = 112 0 56$
$\omega : a = 130 55 36$
$\omega : b = 102 23 59$
$\omega : c = 136 25 6$
$E : a = 160 20 11$
$E : b = 104 54 21$
$E : c = 102 31 45$
$\sigma : a = 147 30 13$
$\sigma : b = 101 23 22$
$\sigma : c = 119 58 33$
$F : a = 143 58 22$
$F : b = 93 32 4$
$F : c = 125 47 53$

$l : a =$	90°	0'	0''
$l : b =$	157	8	9
$l : c =$	112	51	51
$\pi : a =$	90	0	0
$\pi : b \rightarrow$	150	39	13
$\pi : c =$	119	20	47
$e : a =$	90	0	0
$e : b =$	139	51	25
$e : c =$	130	8	35
$y : a =$	90	0	0
$y : b =$	120	39	44
$y : c =$	149	20	16
$d : a =$	90	0	0
$d : b =$	111	33	58
$d : c =$	158	26	2
$G : a =$	90	0	0
$G : b =$	106	30	41
$G : c =$	163	29	19
$H : a =$	90	0	0
$H : b =$	103	20	28
$H : c =$	166	39	32
$I : a =$	174	21	41
$I : b =$	90	0	0
$I : c =$	95	38	19
$K : a =$	172	7	49
$K : b =$	90	0	0
$K : c =$	97	52	11
$L : a =$	171	16	7
$L : b =$	90	0	0
$L : c =$	98	43	53
$\zeta : a =$	170	11	50
$\zeta : b =$	90	0	0
$\zeta : c =$	99	48	10

$u : a = 168^{\circ} 49' 48''$
$u : b = 90 \quad 0 \quad 0$
$u : c = 101 \quad 10 \quad 12$
$t : a = 167 \quad 1 \quad 37$
$t : b = 90 \quad 0 \quad 0$
$t : c = 102 \quad 58 \quad 23$
$n : a = 164 \quad 32 \quad 48$
$n : b = 90 \quad 0 \quad 0$
$n : c = 105 \quad 27 \quad 12$
$z : a = 160 \quad 56 \quad 13$
$z : b = 90 \quad 0 \quad 0$
$z : c = 109 \quad 3 \quad 47$
$v : a = 155 \quad 15 \quad 44$
$v : b = 90 \quad 0 \quad 0$
$v : c = 114 \quad 44 \quad 16$
$M : a = 151 \quad 3 \quad 43$
$M : b = 90 \quad 0 \quad 0$
$M : c = 118 \quad 56 \quad 17$
$i : a = 145 \quad 21 \quad 3$
$i : b = 90 \quad 0 \quad 0$
$i : c = 124 \quad 38 \quad 57$
$N : a = 137 \quad 20 \quad 23$
$N : b = 90 \quad 0 \quad 0$
$N : c = 132 \quad 39 \quad 37$
$O : a = 130 \quad 9 \quad 57$
$O : b = 90 \quad 0 \quad 0$
$O : c = 139 \quad 50 \quad 3$
$P : a = 129 \quad 35 \quad 4$
$P : b = 90 \quad 0 \quad 0$
$P : c = 140 \quad 24 \quad 56$
$k : a = 125 \quad 53 \quad 4$
$k : b = 90 \quad 0 \quad 0$
$k : c = 144 \quad 6 \quad 56$

$q : a = 115^{\circ} 44' 55''$
$q : b = 90 \quad 0 \quad 0$
$q : c = 154 \quad 15 \quad 5$
$x : a = 109 \quad 53 \quad 12$
$x : b = 90 \quad 0 \quad 0$
$x : c = 160 \quad 6 \quad 48$
$\gamma : a = 103 \quad 33 \quad 30$
$\gamma : b = 90 \quad 0 \quad 0$
$\gamma : c = 166 \quad 26 \quad 30$
$Q : a = 96 \quad 52 \quad 31$
$Q : b = 90 \quad 0 \quad 0$
$Q : c = 173 \quad 7 \quad 29$
$m : a = 121 \quad 23 \quad 21$
$m : b = 148 \quad 36 \quad 39$
$m : c = 90 \quad 0 \quad 0$
$f : a = 110 \quad 6 \quad 25$
$f : b = 159 \quad 53 \quad 35$
$f : c = 90 \quad 0 \quad 0$
$\nabla : a = 135 \quad 28 \quad 49$
$\nabla : b = 134 \quad 31 \quad 11$
$\nabla : c = 90 \quad 0 \quad 0$
$\chi : a = 140 \quad 39 \quad 58$
$\chi : b = 129 \quad 20 \quad 2$
$\chi : c = 90 \quad 0 \quad 0$
$r : a = 151 \quad 21 \quad 5$
$r : b = 118 \quad 38 \quad 55$
$r : c = 90 \quad 0 \quad 0$
$\Gamma : a = 168 \quad 25 \quad 19$
$\Gamma : b = 101 \quad 34 \quad 41$
$\Gamma : c = 90 \quad 0 \quad 0$

Die Resultate von G. B. Negri's Messungen sind hier in der nachfolgenden vergleichenden Tabelle dargestellt:

	Durch Messung (Negri).	Durch Rechnung aus Negri's Axenverhältniss.
$m : a$	= 121° 22' 52'' . . .	121° 23' 21''
$a : r$	= 151 21 27 . . .	151 21 5
$r : m$	= 150 1 57 . . .	150 2 16
$l : m$	= 148 35 53 . . .	148 36 39
$m : i$	= 115 22 11 . . .	115 22 15
$i : p$	= 132 49 5 . . .	132 50 14
$\left. \begin{matrix} p : m \\ (\bar{111}) : (\bar{110}) \end{matrix} \right\}$	= 111 47 51 . . .	111 47 31
$a : i$	= 145 20 49 . . .	145 21 3
$m : p$	= 144 13 47 . . .	144 14 55
$\left. \begin{matrix} p : p \\ (111) : (\bar{111}) \end{matrix} \right\}$	= 71 29 12 . . .	71 30 10
$i : x$	= 144 32 30 . . .	144 32 9
$i : k$	= 160 35 49 . . .	160 32 1
$\left. \begin{matrix} i : i \\ (021) : (\bar{021}) \end{matrix} \right\}$	= 129 15 58 . . .	129 15 30
$a : p$	= 115 2 6 . . .	115 0 18
$\left. \begin{matrix} p : p \\ \text{in Y} \end{matrix} \right\}$	= 129 58 27 . . .	129 59 24
$\left. \begin{matrix} m : m \\ \text{in Y} \end{matrix} \right\}$	= 117 13 25 . . .	117 13 18
$\left. \begin{matrix} m : a \\ (110) : (\bar{010}) \end{matrix} \right\}$	= 175 50 51 . . .	175 49 57
$\left. \begin{matrix} r : m \\ (\bar{130}) : (110) \end{matrix} \right\}$	= 155 28 9 . . .	155 31 8
$k : x$	= 163 59 10 . . .	164 0 8
$c : p$	= 125 44 20 . . .	125 45 5
$v : a$	= 155 17 10 . . .	155 15 44
$s : p$	= 163 25 0 (?) . . .	161 59 44

$m : h$	=	109° 35' 0''	. . .	109° 8' 59''
$a : z$	=	160 51 0	. . .	160 56 13
$a : \zeta$	=	169 55 0	. . .	170 11 50
$\left. \begin{array}{l} C : m \\ (11.\bar{1}\bar{3}.\bar{1}) : (1\bar{1}0) \end{array} \right\}$	=	174 38 0	. . .	174 20 21
$D : p$	=	168 20 0	. . .	168 29 10

IV.

a) V. von Zepharovich hat durch Messung Zahlen erhalten, welche sehr gut mit denen übereinstimmen, welche sich aus meinem Axenverhältnisse berechnen lassen. V. v. Zepharovich hat nämlich gefunden:

	Durch Messung.	Durch Rechnung aus Kokscharow's Axen- verhältniss.
$\left. \begin{array}{l} m : m \\ \text{in Y} \end{array} \right\}$	=	117° 13' 30'' . . . 117° 14' 10''
$\left. \begin{array}{l} r : r \\ \text{in Y} \end{array} \right\}$	=	57 19 0 . . . 57 18 40
$x : a$	=	109 54 0 . . . 109 52 30
$x : m$	=	100 11 0 . . . 100 11 50
$\left. \begin{array}{l} p : p \\ \text{in Y} \end{array} \right\}$	=	130 0 0 . . . 130 0 32
$\left. \begin{array}{l} r : r \\ \text{Zwillingskante} \end{array} \right\}$	=	174 34 30 . . . 174 32 50

b) A. Schmidt hat durch Messung an Weissbleierzkrystallen von Telekes (in Oberungarn), auch Zahlen erhalten, die ziemlich gut mit den berechneten aus meinem Axenverhältnisse übereinstimmen. Er hat nämlich gefunden:

	Durch Messung (A. Schmidt).	Durch Rechnung aus Kokscharow's Axen- verhältniss.
$a : i$	$= 145^{\circ} 16' 20''$	$. . . 145^{\circ} 20' 2''$
$z : i$	$= 164 20 0$	$. . . 164 24 30$
$i : k$	$= 160 32 20$	$. . . 160 31 59$
$i : x$	$= 144 33 10$	$. . . 144 32 28$
$i : x'$	$= 104 47 30$	$. . . 104 47 28$
$i : i'$	$= 69 21 50$	$. . . 69 19 56$
$i : z'$	$= 53 41 50$	$. . . 53 44 26$
$a : i$	$= 34 38 30$	$. . . 34 39 58$
$x : x'$	$= 140 15 0$	$. . . 140 15 0$
$a : r$	$= 151 20 0$	$. . . 151 20 40$
$a : m$	$= 121 19 30$	$. . . 121 22 55$
$b : m$	$= 148 36 20$	$. . . 148 37 5$
$m : p$	$= 144 12 20$	$. . . 144 14 12$
$m : o$	$= 124 39 50$	$. . . 124 46 7$
$m : g$	$= 114 48 30$	$. . . 114 50 6$
$p : y$	$= 148 52 0$	$. . . 148 51 57$
$p' : g$	$= 133 24 50$	$. . . 133 20 35$
$p' : k$	$= 103 5 0$	$. . . 103 3 51$
$b : s$	$= 123 58 0$	$. . . 123 58 48$
$a : s$	$= 133 0 0$	$. . . 132 59 51$
$a : p$	$= 115 0 0$	$. . . 114 59 44$
$a : \varphi$	$= 144 30 0$	$. . . 144 26 10$
$p : \varphi$	$= 150 30 0$	$. . . 150 33 34$
$m : \varphi$	$= 143 30 0$	$. . . 143 25 43$
$p : s$	$= 162 5 0$	$. . . 161 59 53$
$m : i$	$= 115 19 40$	$. . . 115 21 34$

e) Ferdinand Gonnard ¹⁾ hat neuerdings die Weissbleierzkrystalle von Pacaudière, in der Nähe von Roanne (Loire) und von Roure (Pongibaud), Puy-de-Dôme auch ziemlich ausführlich untersucht und Resultate erhalten, welche mit den von mir berechneten Werthen ziemlich befriedigend übereinstimmen. F. Gonnard hat nämlich gefunden:

a) In den Krystallen von Pacaudière.

Durch Messung.	Durch Rechnung aus Kokscharow's Axenverhältniss.
----------------	--

Für $r : a$

Kryst. № 1 = 151° 22'	
» № 2 = 151 16	
» № 4 = 151 16	
Mittel = 151° 18' 0''	. . . 151° 20' 40''

Für $r : r$

(Brachydiagonale Kante).

Kryst. № 1 = 57° 20'	. . . 57° 18' 40''
----------------------	--------------------

Für $r : m$

Kryst. № 1 = 150° 4'	
» № 2 = 150 5	
» № 3 = 149 57	
» № 4 = 150 3	
Mittel = 150° 2' 15''	. . . 150° 2' 15''

¹⁾ Bulletin de la Société française de Minéralogie (ancienne Société Minéralogique de France, fondée le 21 Mars 1878) Paris, 1892, tome XV, p. 35.

Durch Messung.

Durch Rechnung aus Kokscharow's Axenverhältniss.

Für $m : m$

(Brachydiagonale Kante).

Kryst. № 1	=	117° 9'			
» № 2	=	117 15			
<hr/>					
Mittel	=	117° 12' 0''	.	.	117° 14' 10''

Für $i : a$

Kryst. № 1	=	145° 23'			
» № 2	=	145 20			
<hr/>					
Mittel	=	145° 21' 30''	.	.	145° 20' 2''

Für $k : i$

Kryst. № 1	=	160° 21'			
» № 2	=	160 35			
<hr/>					
Mittel	=	160° 28' 0''	.	.	160° 31' 59''

Für $k : k$

(Brachydiagonale Polkante).

Kryst. № 1	=	108° 17'	.	.	108° 15' 58''
------------	---	----------	---	---	---------------

Für $p : m$

Kryst. № 1	=	144° 13'			
» № 2	=	144 6			
» № 3	=	143 55			
» № 4	=	144 5			
<hr/>					
Mittel	=	144° 4' 45''	.	.	144° 14' 12''

Durch Messung.

Durch Rechnung aus Kokscharow's Axenverhältniss.

Für $p : y$

Kryst. № 1	=	148° 54'		
» № 2	=	148 50		
» № 3	=	148 49		
» № 4	=	148 51		
» № 5	=	148 51		
<hr/>				
Mittel	=	148° 51' 0''	. . .	148° 51' 57''

Für $y : k$

Kryst. № 1	=	134° 13'	. . .	134° 11' 54''
------------	---	----------	-------	---------------

Für $a : m$

Kryst. № 2	=	121° 26'	. . .	121° 22' 55''
------------	---	----------	-------	---------------

Für $b : m$

Kryst. № 2	=	148° 37'		
» № 3	=	148 27		
<hr/>				
Mittel	=	148° 32' 0''	. . .	148° 37' 5''

Für $k : a$

Kryst. № 2	=	125° 55'	. . .	125° 52' 1''
------------	---	----------	-------	--------------

Für $x : a$

Kryst. № 2	=	109° 54'	. . .	109° 52' 30''
------------	---	----------	-------	---------------

Für $x : k$

Kryst. № 2	=	163° 57'	. . .	164° 0' 29''
------------	---	----------	-------	--------------

Durch Messung.

Durch Rechnung aus Kokscharow's Axenverhältniss.

Für $x : x$

(Brachydiagonale Polkante).

Kryst. № 2	=	140° 13'		
• № 4	=	140 16		
• № 5	=	140 35		
<hr/>				
Mittel	=	140° 21' 20''	. . .	140° 15' 0''

Für $s : p$

Kryst. № 2	=	162° 4'		
• №	=	161 56		
<hr/>				
Mittel	=	162° 0' 0''	. . .	161° 59' 53''

Für $y : x$

Kryst. № 2	=	143° 57'		
• № 5	=	144 10		
<hr/>				
Mittel	=	144° 3' 30''	. . .	144° 0' 4''

Für $r : b$

Kryst. № 3	=	118° 24'	. . .	118° 39' 20''
------------	---	----------	-------	---------------

Für $p : b$

Kryst. № 3	=	133° 39'	. . .	133° 50' 50''
------------	---	----------	-------	---------------

Für $y : b$

Kryst. № 3	=	120° 33'	. . .	120° 39' 12''
------------	---	----------	-------	---------------

Durch Messung.

Durch Rechnung aus Kokscharow's Axenverhältniss.

Für $y : o$

Kryst. № 4	=	162° 43'	
« № 5	=	162 42	
		<hr/>	
Mittel	=	162° 42' 30"	. . . 162° 43' 30"

Für $o : m$

Kryst. № 4	=	124° 42'	. . . 124° 46' 7"
------------	---	----------	-------------------

Für $o : p$

Kryst. № 4	=	160° 38'	
» № 5	=	160 35	
		<hr/>	
Mittel	=	160° 36' 30"	. . . 160° 31' 55"

Für $s : r$

Kryst. № 4	=	149° 54'	
» № 5	=	149 55	
		<hr/>	
Mittel	=	149° 54' 30"	. . . 150° 3' 19"

Für $x : o$

Kryst. № 5	=	151° 8'	. . . 150° 52' 0"
------------	---	---------	-------------------

Für $s : a$

Kryst. № 5	=	132° 53'	. . . 132° 59' 51"
------------	---	----------	--------------------

Für $p : a$

Kryst. № 5	=	114° 51'	. . . 114° 59' 44"
------------	---	----------	--------------------

Durch Messung.

Durch Rechnung aus Kokscharow's Axenverhältniss.

Für $s : s$

Kryst. № 5 = 94° 6' . . . 94° 0' 18''

Für $p : p$

Kryst. № 5 = 129° 55' . . . 130° 0' 32''

Für $o : r$

Kryst. № 5 = 119° 43' . . . 119° 36' 25''

Für $s : o$

Kryst. № 5 = 149° 45' . . . 149° 33' 6''

β) In den Krystallen von Roure (Pontgiband Puy-de-Dôme).

Hier unten sind die Resultate gegeben, welche F. Gonnard, durch Messung in mehreren Krystallen im Mittel erhalten hat:

Durch Messung.

Durch Rechnung aus Kokscharow's Axenverhältniss.

Für $a : m$

121° 22' bis 121° 27' . . . 121° 22' 55''

Für $r : m$

149° 59' bis 150° 0' . . . 150° 2' 15''

Für $r : b$

118° 35' . . . 118° 39' 20''

Durch Messung.

Durch Rechnung aus Kokscha-
row's Axenverhältniss.

Für $m : b$

148° 36' bis 148° 41' . . . 148° 37' 5"

Für $m : m$

(Brachydiagonale Kante).

117° 12' bis 117° 21' . . . 117° 14' 10"

Für $a : i$

145° 2' . . . 145° 20' 2"

Für $i : i$

(Brachydiagonale Polkante).

69° 14' bis 69° 22' . . . 69° 19' 56"

Für $i : x$

144° 26' bis 144° 32' . . . 144° 32' 28"

Für $x : x$

(Brachydiagonale Polkante).

140° 8' bis 140° 26' . . . 140° 15' 0"

Für $b : p$

133° 44' bis 133° 53' . . . 133° 50' 50"

Für $p : p$

(über b).

87° 38' bis 87° 42' . . . 87° 41' 40"

Durch Messung.

Durch Rechnung aus Kokscharow's Axenverhältniss.

Für $p : p$

(Brachydiagonale Polkante).

129° 54' bis 129° 57' . . . 130° 0' 32''

Für $m : p$

143° 56' bis 144° 15' . . . 144° 14' 12''

Für $p : p$

(über m)

108° 2' bis 108° 28' . . . 108° 28' 24''

Für $p : x$

133° 43' . . . 133° 53' 25''

Für $p : i$

132° 50' bis 133° 5' . . . 132° 50' 26''

Für $i : i$

(über α)

110° 40' bis 111° 1' . . . 110° 40' 4''

d) Karl Zimányi ¹⁾ hat Weissbleierz (Cerussit) von Kis-Muncsel im Comitate Hunyad (Ungarn) untersucht und mehrere Krystalle desselben gemessen.

¹⁾ Mineralogische Mittheilungen, von Karl. Zimányi (Különlenyomat a földtani Közlöny XXII. Kötetéből) Budapest, 1892, mineralogisches Institut des Polytechnikums.

K. Zimányi schreibt unter anderem:

»In der Umgebung von Kis-Muncsel wurde in älteren Zeiten auf
»silberhaltigen Bleiglanz ein lebhafter Bergbau betrieben, dessen
»Reste nunmehr die grossen, bewaldeten Halden sind.

»Als im Jahre 1857 K. Unverricht¹⁾, dem wir die ausführ-
»lichsten Mittheilungen über den Kis-Muncseler Bergbau verdanken,
»dort war, arbeiteten nur mehr vier Bergleute in den Gruben; zur
»Zeit der geologischen Aufnahmen D. Stur's²⁾ waren die Arbeiten
»schon gänzlich eingestellt.

»Die östlichen Ausläufer des Poyana-Russka Gebirgen bestehen
»in der Umgebung von Kis-Muncsel hauptsächlich aus Gneiss und
»Glimmerschiefer, dieser ist stark von Eisenoxydhydrat rostbraun
»gefärbt; die Schichten streichen von SW nach NO, fallen nach Süd-
»Ost, im Hangenden ist conform streichender Kalkstein eingelagert³⁾.

»Die Erze brechen auf Gängen ein, deren hauptsächlichstes Be-
»gleitmineral Quarz ist. Grösstentheils kommt der Cerussit in derben
»Massen vor, jedoch findet er sich auch in schönen Krystallen⁴⁾,
»welche, wie Prof. A. Koch⁵⁾ das Vorkommen beschreibt, entwe-
»der auf dem rothbraunen Glimmerschiefer oder auf zelligem Quarz
»aufgewachsen sind.

»Der Habitus ist säulenförmig oder dicktafelig nach der Längs-
»fläche b (010), nicht selten sind Zwillinge nach m (110). —
»A. Koch gibt die folgenden drei Formen an: $\infty\bar{P}\infty$, ∞P , $\bar{P}\infty$.

¹⁾ Verhandl. und Mitth. d. Siebenb. Ver. f. Naturwiss. 1857, VIII, pag. 127.

²⁾ Jahrb. d. k. k. Geolog. Reichsanstalt, 1863, XIII, pag. 41 und Hauer und Stache: Geologie Siebenbürgens, Wien 1863, pag. 228—229.

³⁾ Ueber die geologischen Verhältnisse dieses Gebietes vergl. die Berichte D. Stur's, H. Wolf's und L. v. Lőczy's in Verhand. d. k. k. geolog. Reichsanstalt, 1860, XI, pag. 143 und 148—149; Földtani Közlöny 1882, XII, p. 119.

⁴⁾ M. J. Ackner, Mineralogie Siebenbürgens. Hermanstadt, 1855, p. 203.

⁵⁾ Referat in Zeitschr. f. Krystal. 1835, X, pag. 96 und 97.

•Prof. Dr. A. Koch hatte die Güte, wofür ich ihm meinen
 »besten Dank ausspreche, auf mein Ersuchen mir von diesem kry-
 »stallisirten Cerussit ein kleines Stückchen zu übersenden. Einige
 »losgelöste, wasserklare Krystalle (2—3 mm lang, 1—2 mm breit)
 »konnte ich zur krystallographischen Untersuchung verwenden. •

Der prismenartige Habitus der von K. Zimányi untersuchten
 Krystalle war aus $m = \infty P$ und $b = \infty \check{P} \infty$ gebildet; die letztere
 Form war immer etwas vorherrschend. Zwillinge nach $m = \infty P$
 kamen häufiger als einfache Krystalle vor, diese erinnern in manchen
 Combinationen den Telekeser Cerussiten. Die beobachteten Formen
 sind folgende:

$$\left. \begin{aligned} a &= \infty \check{P} \infty \\ b &= \infty \bar{P} \infty \end{aligned} \right\} 1)$$

$$\begin{aligned} m &= \infty P \\ r &= \infty \check{P} 3 \\ x &= \frac{1}{2} \check{P} \infty \\ i &= 2 \check{P} \infty \\ v &= 3 \check{P} \infty \\ p &= P \\ \tau &= 2P \end{aligned}$$

Die Flächen $a = \infty \check{P} \infty$ $m = \infty P$ und $i = 2 \check{P} \infty$ kommen be-
 ständig vor; $p = P$ und $b = \infty \check{P} \infty$ treten auch sehr oft in der
 Entwicklung auf.

Ferner sagt K. Zimányi:

•Der lebhaftige Diamantglanz wird oft durch die Streifung der
 »Flächen gestört: gewöhnlich sind $i = 2 \check{P} \infty$, $m = \infty P$, $p = P$
 »vollkommen glatt.

1) Wir behalten hier unsere Bezeichnung; bei K. Zimányi ist dies umgekehrt;
 er bezeichnet nämlich $a = \infty \bar{P} \infty$ und $b = \infty \check{P} \infty$.

»An der Längsfläche ist eine horizontale Streifung immer bemerkbar; die treppenförmigen Erhöhungen entstehen dadurch, dass » $a = \infty\check{P}\infty$ ¹⁾ und $i = 2\check{P}\infty$ vielfach mit einander abwechseln.

»Die Flächen der untergeordneten Formen $b = \infty\bar{P}\infty$ ²⁾ und » $r = \infty\check{P}3$ sind in verticaler Richtung sehr fein gestreift.

Seine durch unmittelbare Messung erhaltenen Winkel vergleicht K. Zimanyi mit denen, welche aus meinem Axenverhältnisse berechnet wurden; auf diese Weise wurde erhalten:

K. Zimanyi's Messungen.

Gränzglieder.	n ²⁾	Endresultat.	Aus Kokscharow's Axenverhältnissberechnet
$a : b = 89^\circ 52' - 90^\circ 7'$	9	$90^\circ 0'$	$90^\circ 0' 0''$
$a : m = 121 16 - 121 29$	15	121 24	121 22 55
$a : r = 151 23 - 151 28$	8	151 25	151 20 40
$v : a = 155 5 - 155 20$	6	155 19	155 14 54
$i : a = 145 12 - 145 29$	10	145 10	145 20 2
$x : a = 140 0 - 140 39$	2	140 20 appr.	109 52 30
$m : p = 144 10 - 144 22$	5	144 14	144 11 12
$m : \tau = \quad - \quad -$	1	160 45 appr.	160 11 42
$i : p = 132 46 - 132 53$	2	132 49	132 50 26
$i : m = 115 19 - 115 23$	2	115 21	115 21 31

¹⁾ Wir behalten hier wieder unsere Bezeichnung bei, K. Zimanyi bezeichnet dagegen a mit $\infty\bar{P}\infty$ und b mit $\infty\check{P}\infty$.

²⁾ n ist die Zahl der gemessenen Kanten.

V.

Wenn wir jetzt alle oben angeführten Beobachtungen zusammen bringen wollen, so werden wir die nachstehende vergleichende Tabelle erhalten:

p : p

(Brachydiagonale Polkante.)

	Gemessen	Berechnet
Artini	130° 0' 54'' . . .	130° 0' 14''
Negri	129 58 27 . . .	129 59 24
Zepharovich	130 0 0 . . .	—
Kokscharow	130 0 32 . . .	130 0 32
Mittel =	129° 59' 58''	

p : p

(Mittelkante.)

Artini	108° 26' 34'' . . .	108° 27' 26''
Negri	108 30 48 . . .	108 29 50
Gonnard . .	108 28 0 . . .	—
Kokscharow	108 27 42 . . .	108 28 24
Mittel =	108° 28' 16''	

p : p

(Makrodiagonale Polkante.)

Gonnard . .	92° 18' 0'' . . .	92° 18' 20'' (Kokscharow).
-------------	-------------------	----------------------------

p : u

Artini	114° 58' 18'' . . .	114° 59' 53''
Negri	115 2 6 . . .	115 0 18
Schmidt . .	115 0 0 . . .	114 59 44 (Kokscharow).
Mittel =	115° 0' 8''	

Gemessen Berechnet

p : b

Artini	133° 50' 0''	133° 50' 16''
Kokscharow	—	133 50 50

p : c

Artini	125° 46' 47''	125° 46' 17''
Negri	125 44 20	125 45 5
Kokscharow	125 45 10	125 45 48
Mittel =		125° 45' 26''	

p : m

(anliegende)

Artini	144° 13' 24''	144° 13' 44''
Negri	144 13 47	144 14 55
Schmidt . . .	144 12 20	—
Kokscharow	144 14 18	144 14 12
Zimanyi . . .	144 14 0	—
Mittel =		144° 13' 34''	

p : o

Gonnard . . .	160° 36' 30''	—
Kokscharow	160 31 20	160° 31' 55''
Mittel =		160° 33' 55''	

p : s

(anliegende)

Artini	161° 59' 40''	161° 59' 52''
Schmidt . . .	162 5 0	—
Gonnard . . .	162 0 0	—
Kokscharow	162 0 10	161 59 53
Mittel =		162° 1' 13''	

Gemessen Berechnet

p : w

(anliegende)

Kokscharow 161° 20' 30" . . . 161° 20' 44"

p : k

Artini 136° 9' 38" . . . 136° 9' 44"

Kokscharow — . . . 136 9 10

p' : k

Artini 103° 4' 6" . . . 103° 4' 12"

Schmidt . . . 103 5 0 . . . 103 3 51 (Kokscharow).

Mittel = 103° 4' 33"

p : x

Artini 133° 53' 0" . . . 133° 53' 57"

Gonnard . . . 133 43 0 . . . 133 53 25 (Kokscharow).

Mittel = 133° 48' 0"

p : i

Artini 133° 17' 0" . . . 132° 50' 56"

Negri 132 49 5 . . . 132 50 14

Gonnard . . . 132 57 30 . . . } 132 50 26 (Kokscharow).
Zimanyi . . . 132 50 0 . . . }

Mittel = 132° 58' 24"

p : D

Negri 168° 20' 0" . . . 168° 29' 10"

p : y

Artini 148° 52' 0" . . . 148° 51' 53"

Schmidt . . . 148 52 0 . . . } 148 51 57 (Kokscharow).
Gonnard . . . 148 51 0 . . . }

Mittel = 148° 51' 40"

Gemessen Berechnet

$p : \varphi$

Schmidt . . . 150° 30' 0" . . . 150° 33' 34" (Kokscharow)

$p : N$

Artini 135° 9' 0" . . . 134° 59' 10"

$m : m$

(Brachydiagonale Kante).

Negri 117° 13' 25" . . . 117° 13' 18"

Zepharovich 117 13 30 . . . —

Gonnard . . 117 12 0 . . . —

Kokscharow 117 14 14 . . . 117 14 10

Mittel = 117° 13' 17"

$m : r$

(anliegende)

Artini 150° 2' 5" . . . 150° 2' 16"

Negri 150 1 57 . . . 150 2 16

Gonnard . . 150 2 15 . . . —

Kokscharow 150 2 43 . . . 150 2 15

Mittel = 150° 2' 15"

$m . r$

(über m)

Kokscharow 87° 20' 0" . . . 87° 16' 25"

$m : o$

Artini 124° 46' 35" . . . 124° 45' 39"

Schmidt . . . 124 39 50 . . . —

Gonnard . . 124 42 0 . . . —

Kokscharow 124 45 45 . . . 124 46 7

Mittel = 124° 43' 33"

Gemessen Berechnet

m : w

(anliegende)

Artini 153° 55' 32" . . . 153° 54' 28"

Kokscharow 153 55 5 . . . 153 54 52

Mittel = 153° 55' 19"

m : s

(anliegende)

Artini 146° 21' 0" . . . 146° 20' 18"

Kokscharow 146 21 0 . . . 146 20 34

Mittel = 146° 21' 0"

m : c

Kokscharow 90° 0' 0" . . . 90° 0' 0"

m : a

Artini 121° 23' 50" . . . 121° 23' 19"

Negri 121 22 52 . . . 121 23 21

Schmidt . . . 121 19 50 . . .

Gonnard . . 121 26 0 . . .

Zimanyi . . 121 24 0 . . .

} 121 22 55 (Kokscharow).

Mittel = 121° 23' 18"

m : b

Artini 148° 37' 24" . . . 148° 36' 41"

Negri 148 35 53 . . . 148 36 39

Schmidt . . . 148 36 20 . . . 148 37 5 (Kokscharow).

Mittel = 148° 36' 32"

m : k

Artini 107° 46' 39" . . . 107° 46' 0"

Kokscharow — . . . 107 45 52

Gemessen Berechnet

m : v

Artini	118° 11' 0''	. . .	118° 13' 41''
Kokscharow	—	. . .	118 13 22

m : g

Artini	114° 49' 30''	. . .	114° 49' 43''
Schmidt . . .	114 48 30	. . .	114 50 6 (Kokscharow).

Mittel = 114° 49' 0''

m : h

Artini	109° 33' 0''	. . .	109° 8' 13''
Negri	109 35 0	. . .	109 8 59
Kokscharow	—	. . .	109 8 31

Mittel = 109° 34' 0''

m : i

Negri	115° 22' 11''	. . .	115° 22' 15''
Schmidt . . .	115 19 40	. . .	} 115 21 34 (Kokscharow).
Zimanyi . . .	115 21 0	. . .	

Mittel = 115° 20' 57''

m : x

Zepharovich 100° 11' 0'' . . . 100° 11' 50'' (Kokscharow).

m : φ

Schmidt . . . 143° 30' 0'' . . . 143° 25' 43'' (Kokscharow).

r : E

Artini 161° 40' 0'' . . . 161° 44' 55''

Gemessen Berechnet

r : r

(Brachydiagonale Kante).

Zepharovich	57° 19' 0''	...	—
Gonnard	57 20 0	...	—
Kokscharow	57 21 40	...	57 18 40
Mittel =	57° 20' 13''		

r : v

Artini	142° 50' 0''	...	142° 50' 18''
Kokscharow	—	...	142 50 7

r : a

Artini	151° 20' 48''	...	151° 21' 3''
Negri	151 21 27	...	151 21 5
Schmidt	151 20 0	..	} 151 20 40 (Kokscharow).
Zimanyi	151 25 0	..	
Mittel =	151° 21' 49''		

r : k

Artini	120° 56' 17''	...	120° 56' 24''
--------	---------------	-----	---------------

r : y

Artini	104° 9' 0''	...	104° 8' 42''
--------	-------------	-----	--------------

o : c

Artini	145° 14' 0''	...	145° 14' 21''
Kokscharow	145 13 40	...	145 13 53
Mittel =	145° 13' 50''		

o : o

(Brachydiagonale Polkante).

Kokscharow	145° 26' 30''	...	145° 27' 0''
------------	---------------	-----	--------------

Gemessen Berechnet

w : y

(anliegende)

Artini 140° 43' 0" . . . 140° 43' 25"

Kokscharow 140 43 10 . . . 140 43 34

Mittel = 140° 43' 5

w : w

(Brachyd. Polkante)

Kokscharow 148° 35' 50" . . . 148° 36' 32"

w : a

Artini 105° 42' 30" . . . 105° 41' 56"

Kokscharow — . . . 105 41 44

w : b

Artini 152° 30' 10" . . . 152° 29' 38"

Kokscharow — . . . 152° 30' 6"

s : c

Kokscharow 118° 7' 40" . . . 118° 8' 22"

s : y

Artini 133° 42' 0" . . . 133° 41' 8

Kokscharow 133 39 50 . . . 133 41 15

Mittel = 133° 40' 55"

s : a

Artini 132° 59' 13" . . . 133° 0' 2"

Schmidt . . . 133 0 0 . . . 132 59 51 (Kokscharow)

Mittel = 132° 59' 36"

Gemessen Berechnet

s : x

Artini 151° 52' 0'' . . . 151° 51' 20''

s : k

Artini 141° 25' 30'' . . . 141° 25' 42''

Kokscharow — . . . 141 25 18

s : b

Schmidt . . . 123° 58' 0'' . . . 123° 59' 16'' (Kokscharow)

y : c

Kokscharow 149° 20' 40'' . . . 149° 20' 48''

y : x

Kokscharow 144° 0' 20'' . . . 144° 0' 4''

y : q

Kokscharow 140° 49' 20'' . . . 140° 48' 0''

y : k

Artini 134° 11' 17'' . . . 134° 12' 20''

Gonnard . . . 134 13 0 . . . —

Kokscharow 134 13 0 . . . 134 11 54

Mittel = 134° 12' 26''

x : c

Artini 160° 7' 54'' . . . 160° 7' 37''

Kokscharow 160 8 0 . . . 160 7 30

Mittel = 160° 7' 57''

	Gemessen	Berechnet
	$x : q$	
Kokscharow	174° 8' 30''	174° 8' 27''

	$x : k$	
Negri	163° 59' 10''	164° 0' 8''
Kokscharow	164 0 0	164 0 29
	<hr style="width: 20%; margin: auto;"/>	
Mittel	= 163° 59' 35	

	$x : x$	
	(Brachyd. Polkante)	
Schmidt	140° 15' 0''	—
Kokscharow	140 15 0	140° 15' 0''
	<hr style="width: 20%; margin: auto;"/>	
Mittel	= 140° 15' 0''	

	$x : i$	
Negri	144° 32' 30''	144° 32' 9''
Schmidt	144 33 10	144 32 28 (Kokscharow)
	<hr style="width: 20%; margin: auto;"/>	
Mittel	= 144° 32' 50''	

	$x : a$	
Zepharovich	109° 54' 0''	—
Gonnard	109 54 0	109° 52' 30'' (Kokscharow)
	<hr style="width: 20%; margin: auto;"/>	
Mittel	= 109° 54' 0''	

	$q : c$	
Artini	154° 17' 40''	154° 16' 6''
Kokscharow	154 16 30	154 15 57
	<hr style="width: 20%; margin: auto;"/>	
Mittel	= 154° 17' 5''	

Gemessen Berechnet

q : k

Kokscharow 169° 52' 0" . . . 169° 52' 2"

k : c

Artini 144° 6' 37" . . . 144° 8' 9"

Kokscharow 144 7 50 . . . 144 7 59

Mittel = 144° 7' 14"

k : g

Artini 149° 25' 0" . . . 149° 43' 36"

Kokscharow — . . . 149 43' 16

k : k

(Brachydiagonale Polkante).

Gonnard . . . 108° 17' 0" . . . 108° 15' 58" (Kokscharow).

k : i

Negri 160° 35' 49" . . . 160° 32' 1"

Schmidt . . . 160 32 20 . . . —

Gonnard . . . 160 28 0 . . . — .

Kokscharow — . . . 160 31 59

Mittel = 160° 32' 3"

i : a

Artini 145° 19' 20" . . . 145° 19' 52"

Negri 145 20 49 . . . 145 21 3

Schmidt . . . 145 18 55 . . . }

Gonnard . . . 145 21 30 . . . } 145 20 2 (Kokscharow).

Zimanyi . . . 145 20 0 . . . }

Mittel = 145° 20' 7"

Gemessen Berechnet

i : z

Schmidt . . . 164° 20' 0'' . . . 164° 24' 30'' (Kokscharow).

i : i'

Schmidt . . . 69° 21' 50'' . . . 69° 19' 56'' (Kokscharow).

v : a

Artini 155° 14' 0'' . . . 155° 14' 46''

Negri 155 17 10 . . . 155 15 44

Zimanyi . . . 155 19 0 . . . 155 14 54 (Kokscharow).

Mittel = 155° 16' 43''

v : E

Artini 161° 10' 0'' . . . 161° 5' 23''

z : a

Artini 160° 54' 0'' . . . 166° 55' 26''

Negri 160 51 0 . . . 160 56 13

Kokscharow — . . . 160 55 32

Mittel = 160° 52' 30''

n : a

Artini 164° 28' 40'' . . . 164° 32' 9''

Kokscharow — . . . 164 32 14

t : a

Artini 166° 55' 0'' . . . 167° 1' 4''

Kokscharow — . . . 167 1 8

Gemessen Berechnet

h : c

Artini 160° 26' 0" . . . 160° 51' 48"
Kokscharow — . . . 160 51 29

χ : α

Artini 140° 14' 0" . . . 140° 39' 55"
Kokscharow — . . . 140 39 29

ζ : α

Negri 169° 55' 0" . . . 170° 11' 50"
Kokscharow — . . . 170 11 28

φ : α

Schmidt . . . 144° 30' 0" . . . 144° 26' 10" (Kokscharow).

V : α

Artini 135° 31' 0" . . . 135° 28' 46"
Kokscharow — . . . 135 28 20

θ : b

Artini 106° 41' 0" . . . 106° 30' 1"
Kokscharow — . . . 106 30 22

θ : g

Artini 166° 31' 0" . . . 166° 24' 38"

N : α

Artini 137° 21' 0" . . . 137° 19' 7"
Kokscharow — . . . 137 19 17

	Gemessen	Berechnet
	<i>M : a</i>	
Artini	150° 40' 0'' 151° 2' 39''
Kokscharow	— 151 2 47

	<i>E : a</i>	
Artini	160° 13' 0'' 160° 19' 50''
Kokscharow	— 160 19 43

Aus dieser Vergleichung der Resultate von verschiedenen Beobachtern ist leicht zu ersehen, dass meine primitiven Messungen und Rechnungen vollkommen mit denen übereinstimmen, welche später ausgeführt worden sind.

Fünfter Anhang zum Titaneisenerz.

(Vergl. Bd. I, S. 16; Bd. VI, S. 248, S. 350 und S. 407; Bd. VII, S. 216).

P. v. Jeremejew ¹⁾ hat Titaneisen-Krystalle (Ilmenit-Krystalle) aus den Goldseifen des südlichen Theils des Orenburgschen Urals gemessen und folgende Resultate erhalten:

$$\begin{array}{l}
 o : s \\
 \text{anliegende}
 \end{array}
 \left. \vphantom{\begin{array}{l} o : s \\ \text{anliegende} \end{array}} \right\} = 158^{\circ} 11' 40''$$

$$\begin{array}{l}
 o : t \\
 o : R \\
 o : k \\
 s : R
 \end{array}
 \begin{array}{l}
 = 141 \ 23 \ 10 \\
 = 122 \ 2 \ 10 \\
 = 89 \ 58 \ 15 \\
 = 143 \ 50 \ 25
 \end{array}$$

¹⁾ Russisches Bergjournal 1887, № 8.

$$\begin{array}{l} t : k \\ \text{anliegende} \end{array} \left. \vphantom{\begin{array}{l} t : k \\ \text{anliegende} \end{array}} \right\} = 128^{\circ} 35' 20''$$
$$\begin{array}{l} t : R \\ \text{anliegende} \end{array} \left. \vphantom{\begin{array}{l} t : R \\ \text{anliegende} \end{array}} \right\} = 132 \quad 45 \quad 10$$
$$R : k = 147 \quad 59 \quad 30$$

d. h. fast dieselben Grössen, welche ich aus dem von mir abgeleiteten Axenverhältnisse ($a : b : b : b = 1, 38458 : 1 : 1 : 1$) berechnet hatte ¹⁾.

Erster Anhang zum Baryt.

(Vergl. Bd. VII, S. 25).

1) F. F. Graeff ²⁾ hat Barytkrystalle aus den Drusenräumen des Bundsandsteins von Waldshut (Baden) untersucht und gemessen. Die Messungen dieses Gelehrten stimmen ziemlich gut mit den Zahlen überein, welche ich aus meinem Axenverhältniss ³⁾ berechnet habe.

F. F. Graeff hat in den Krystallen von dem erwähnten Fundorte 18 verschiedene Formen, darunter eine ($R = \frac{1}{7}P$), für Baryt überhaupt neue beobachtet. Diese Formen sind folgende:

¹⁾ Materialien zur Mineralogie Russlands, Bd. VI, S. 357.

²⁾ Zeitschrift für Krystallographie etc. Von P. Groth, 1889. Bd. XV. Heft 4, S. 380.

³⁾ „Materialien zur Mineralogie Russlands“, von N. v. Kokscharow, 1875, Bd. VII, S. 25.

$$\begin{aligned}
 a^1) &= \infty \bar{P} \infty \\
 b &= \infty \bar{P} \infty \\
 c &= oP \\
 \lambda &= \infty \bar{P} \frac{2}{2} \\
 t &= \infty \bar{P} \frac{3}{2} \\
 m &= \infty P \\
 r &= \infty \bar{P} \frac{3}{2} \\
 n &= \infty \bar{P} 2 \\
 \chi &= \infty \bar{P} 3 \\
 u &= \bar{P} \infty \\
 d &= \frac{1}{2} \bar{P} \infty \\
 l &= \frac{1}{4} \bar{P} \infty \\
 o &= \bar{P} \infty \\
 z &= P \\
 s &= \frac{1}{2} P \\
 R &= \frac{1}{7} P \\
 y &= \bar{P} 2 \\
 \rho &= \frac{1}{2} \bar{P} 2
 \end{aligned}$$

F. F. Graeff gemessen. Aus Kokscharow's Axenverhältniss
berechnet.

$b : \lambda = 157^\circ 50'$	$157^\circ 50' 46''$
$\lambda : t = 173 \ 39 \frac{1}{2}$	$173 \ 39 \ 27$
$t : m = 169 \ 21$	$169 \ 20 \ 24$
$m : \mu = 167 \ 52 \text{ (ca)}$	$168 \ 27 \ 47$
$n : \chi = 170 \ 44$	$170 \ 42 \ 39$
$\chi : a = 157 \ 42$	$157 \ 44 \ 19$
$\lambda : m = 162 \ 59$	$162 \ 59 \ 51$
$\lambda : r = 151 \ 22 \text{ (ca)}$	$151 \ 27 \ 38$
$m : n = 160 \ 43$	$160 \ 42 \ 25$

¹⁾ Ich behalte hier die Buchstaben bei, welche ich in meiner früheren Abhandlung für die Barytformen angenommen hatte.

F. F. Graeff gemessen.	Aus Kokscharow's Axenverhältnis berechnet.
$m : \chi = 151^\circ 24'$	$151^\circ 25' 4''$
$m : a = 129 \ 9\frac{1}{2}$	$129 \ 9 \ 23$
$u : d = 160 \ 55$	$160 \ 40 \ 45$
$d : l = 163 \ 6$	$163 \ 5 \ 26$
$l : c = 158 \ 4$	$158 \ 4 \ 29$
$b : d = 128 \ 52$	$128 \ 50 \ 5$
$d : c = 141 \ 7$	$141 \ 9 \ 55$
$c : o = 127 \ 13$	$127 \ 20 \ 2$
$o : a = 142 \ 40$	$142 \ 39 \ 58$
$c : R = 163 \ 7\frac{1}{2}$	$163 \ 28 \ 43$
$R : s = 151 \ 29$	$150 \ 26 \ 55$
$s : z = 161 \ 53$	$161 \ 47 \ 21$
$z : m = 154 \ 19$	$154 \ 17 \ 1$
$c : s = 133 \ 56\frac{1}{3}$	$133 \ 55 \ 38$
$R : z = 133 \ 8$	$132 \ 14 \ 16$
$c : \rho = 142 \ 26\frac{1}{3}$	$142 \ 25 \ 51$
$\rho : y = 160 \ 38\frac{1}{3}$	$160 \ 35 \ 32$
$o : y = 153 \ 57$	$153 \ 58 \ 40$
$y : z = 161 \ 51$	$161 \ 42 \ 20$
$o : z = 135 \ 35$	$135 \ 41 \ 0$
$a : y = 135 \ 45$	$135 \ 36 \ 11$
$y : s = 161 \ 27$	$161 \ 26 \ 51$
$s : d = 152 \ 59$	$152 \ 56 \ 58$
$a : \rho = 121 \ 15$	$121 \ 18 \ 17$
$a : R = 100 \ 24$	$100 \ 20 \ 39$
$\rho : \rho = 142 \ 43$	$142 \ 47 \ 26$

Für die neue Form $R = \frac{1}{7}P$ berechnen sich, aus meinem Axenverhältniss ($a : b : c = 1,61004 : 1,22803 : 1$), folgende Winkel:

Dem Andenken N. I. von Kokscharow.

Dieses waren die letzten Seiten, die mein theurer Vater und Freund den Tag vor seinem Tode geschrieben hatte: mit diesen Zeilen werden auch die «Materialien» abgebrochen, um Nichts Fremdes in das so hoch von allen Fachmännern geschätzte Werk des Verstorbenen einzuführen. — Ich wage nicht meinen eigenen Gefühlen freien Lauf zu geben, um die moralische Seite meines verstorbenen Vaters den Lesern der «Materialien» vorzuführen, weil der Verstorbene mir zu nahe stand; ich lasse deshalb folgende dem von dem weltberühmten französischen Gelehrten A. Daubreé geschriebenen Necrologe entnommenen Zeilen folgen, welche — wie auf die Materialien, so auch auf die Persönlichkeit meines theuren Vaters Bezug haben:

«La précision des mesures angulaires, la conscience avec laquelle Kokscharow avait soin d'indiquer le degré de confiance que lui-même accordait à chacune d'elles font de son oeuvre de Cristallographie un véritable monument. Qu'on ouvre un traité quelconque de Minéralogie et l'on verra, d'après la place d'honneur qu'occupent les données numériques empruntées à ses observations, de quelle estime les travaux du savant russe jouissent auprès des cristallographes de tous les pays, notamment de Dana».

«Jusqu'à sa dernière heure, Kokscharow travaillait à ses chers «Materialien»: peu d'instants avant qu'il rendit le dernier soupir, le médecin dut enlever de sa table les pages d'un dernier volume qu'il écrivait encore».

«Tous ceux qui le voyaient étaient dès le premier abord attirés par son aménité; ceux qui le connaissaient davantage se trouvaient sous le charme d'une bonté rare, dont sa physionomie portait le reflet. C'était un ami sincère, toujours désireux de rendre service, dévoué en toute circonstance. Plusieurs des Membres de l'Académie des Sciences Française, qui déplorent particulièrement sa perte, l'ont éprouvé; personne mieux que celui qui écrit ces lignes n'a pu apprécier ses nobles qualités qui commandaient l'affection».

In russischer Sprache ist der folgende Necrolog meines verstorbenen Vaters erschienen, welcher der Feder des Secretärs des gelehrten Bergcomités, H. Berg-Ingenieurs S. v. Kulibin stammt und welchen, der Verweser des Museums des Berg-Instituts H. Berg-Ingenieur A. v. Lösch zu übersetzen die Liebenswürdigkeit hatte.

N. v. Kokscharow Sohn.

Ein schwerer Verlust hat uns betroffen: am 21. Dec. gegen 5 Uhr Morgens verschied einer der ältesten aus unserer Mitte, der Bergingenieur, Geheim-Rath, Akademiker und Mitglied des Bergconseils und des gelehrten Bergcomités Nikolai Iwanowitsch von Kokscharow.

Der Verewigte ward am 23. Nov. 1818 unweit der Stadt Ustkammenogorsk (im Gebiet von Ssemipalatinsk) geboren, wo sein Grossvater (mütterlicherseits) der Fürst Eristoff den Posten des Commandanten bekleidete. Der Vater des Verstorbenen, Iwan Konstantinowitsch war Bergingenieur und diente anfangs am Altai, wurde aber später zum Verwalter der Goldwäschereien von Beresowsk am Ural ernannt. Hier verlebte Nikolai Iwanowitsch seine Kinderjahre bis zu seiner Aufnahme ins Bergcorps zu St. Petersburg. Es war vom Schicksal gleichsam bestimmt, dass Nikol. Iwanowitsch sich der gelehrten Laufbahn widmen sollte; denn kaum hatte er seine Studien am Bergcorps absolvirt (1840), als Murchison, de Verneuil und Graf Keyserling im Auftrage der Regierung ihre erste geologische Forschungsreise durch Russland unternahmen. Nikolai Iwanowitsch erhielt den Auftrag sie zu begleiten und erwies sich dabei als ein so eifriger und begabter angehender Forscher, dass er auch an deren 2ter, im darauffolgenden Jahr unternommenen Reise theilnehmen durfte. Es ist bekannt, welche grundlegenden Ergebnisse diese Reisen für die geologische Kenntniss Russlands lieferten. Sie übten aber auch, wie der Verstorbene es in seinen Aufzeichnungen selbst hervorhebt, in entscheidenster Weise auf ihn persönlich ein; denn in dem nahen

Verkehr mit so ausgezeichneten Männern der Wissenschaft reifte der in ihm wohnende Forschungsdrang zum zielbewussten Streben heran und erhielt die richtige Anleitung durch das ihm täglich vor Augen geführte Bild ihrer Thätigkeit. Nikolai Iwanowitsch reichte auch seinerseits einen Bericht¹⁾ über diese Reisen seinem Vorgesetzten ein, in welchem er nicht nur den Verlauf derselben schildert, sondern auch einige eigene Ansichten über das Alter des sogenannten •buntpurpurnen Schichtencomplexes des östlichen Russlands• ausspricht, denen in der Folge auch Murchison sich anschloss.

Allein, so sehr es auch von seinem einsichtsvollen hohen Vorgesetzten (Tschewkin) gewünscht wurde, nicht auf geologischem Gebiet sollte sich die wissenschaftliche Thätigkeit des Verstorbenen entfalten — die Mineralien waren es, denen sein Leben gewidmet sein sollte, die ihn schon als Schüler stets an sich gefesselt hatten.

Im Jahre 1842 wurde Nikolai Iwanowitsch von der Regierung studienhalber auf 3 Jahre ins Ausland gesandt; die Anregung dazu war von Murchison ausgegangen. In Frankreich beschäftigte sich N. I. bei Elie de Beaumont, Delafosse, Valenciennes, Dufrenoy u. A.; ausschlaggebend für seine ganze folgende Richtung waren aber seine Studien der Krystallographie bei Weiss und der Mineralogie bei G. Rose in Berlin. Von den damals herrschenden krystallographischen Methoden war es diejenige Naumann's welche ihn am meisten ansprach und ihr ist er auch in seinem ganzen späteren Leben treu geblieben. Den Vorträgen Naumann's hat übrigens N. I. nicht beigewohnt.

Schon während dieses seines ersten Aufenthalts im Auslande knüpfte N. I. zahlreiche persönliche Beziehungen zu auswärtigen Gelehrten an, die er eifrig fortpflegte und gelegentlich seiner wiederholten späteren Reisen noch vielfach erweiterte.

Nach seiner Rückkehr (1846) wurde N. I. zum Repetitor am Bergcorps ernannt und ist von dann ab bis zum Jahre 1881 auf pä-

¹⁾ Berg-Journal 1840, unter der Aufschrift: „Geognostische Bemerkungen über einige Gouvernements des europäischen Russlands.“

dagogischem Gebiet thätig gewesen. Er hat zu verschiedenen Zeiten Mineralogie, Geologie und physikalische Geographie an folgenden Lehranstalten vorgetragen: am Bergcorps, am Corps der Wege- und Wasserbauingenieure, am Forstcorps, am Konstantinow'schen Corps, am Pagencorps, am 1. Kadettencorps u. a. Im Jahre 1848 vertrat er ausserdem beide Semester hindurch Prof. Hoffmann an der St. Petersburg'schen Universität, auch hat er ein Jahr lang (1846) Bergbau und Metallurgie an der technischen Schule des technologischen Instituts vorgetragen. Von 1849 bis 1852 war er Custos am physikalischen Central-Observatorium. 1857 wurde er zum Mitglied des gelehrten Bergcomités ernannt. 1855 nahm die Kaiserliche Akademie der Wissenschaften den schon allbekannten Gelehrten als Adjunkten in ihre Mitte auf; 3 Jahre später (24. Mai 1858) ernannte sie ihn zum extraordinären und 1866 (4. März) zum Akademiker ordinarius. Am 12. März 1858 erwählte ihn die Kaiserlich-Russische Mineralogische Gesellschaft zu ihrem Director und wenige Monate darauf (am 8. Oct.) zu ihrem Ehrenmitgliede. Zum Director des Berginstituts wurde N. I. am 3. Nov. 1872 ernannt und bekleidete diesen Posten bis zum 25. Aug. 1881. In den Jahren 1865 und 1866 begleitete N. I. den Herzog Nikolaus Maximilianowitsch von Leuchtenberg auf seinen Reisen ins Gouv. Tula und an den Ural. Eine tiefe gegenseitige Hochachtung und Zuneigung hat diese Beiden ihr ganzes Leben hindurch verbunden.

Die ersten Arbeiten, mit denen der Verstorbene an die Oeffentlichkeit trat und mit denen er auch sofort die Aufmerksamkeit der Gelehrtenwelt auf sich lenkte, waren eine krystallographische Untersuchung des Bagrationits und des Magnetits (sie erschienen zuerst im Bergjournal 1847 abgedruckt; in derselben Zeitschrift hatte er übrigens schon früher eine Notiz über die Krystallisation des Perowskits veröffentlicht); es folgte dann eine lange Reihe hervorragender Monographien, die in verschiedenen in- und ausländischen Fachschriften zur Veröffentlichung gekommen sind ¹⁾.

¹⁾ Ein vollständiges Verzeichniss der Schriften N. I. v. Kokscharow's hoffen wir recht bald den Lesern des Bergjournals bringen zu können.

Das Hauptwerk unseres verstorbenen Gelehrten sind aber seine «Materialien zur Mineralogie Russlands», welches anfänglich gleichzeitig in russischer und deutscher Sprache erschien (die russische Ausgabe bricht mit dem 5. Bande ab). Der 1. Band derselben, welcher dem Autor die Demidoff-Prämie eintrug, erschien 1853. Den Materialien zur Mineralogie Russlands, welche eine Epoche in der russischen mineralogischen Forschung bedeuten und den Namen ihres Verfassers zu einem der hervorragendsten unter den Forschern aller Zeiten und Länder erhoben haben, war so recht eigentlich das ganze Leben des Verstorbenen geweiht. Von dem verhängnissvollen Uebel bereits ergriffen, legte er die letzten Correcturbogen noch am Vorabend seines Dahinscheidens erst auf ernstes ärztliches Mahnen — für immer — aus der Hand.

Um den gewaltigen Fortschritt, welchen die «Materialien» für die russische mineralogische Forschung bedeuten, voll zu würdigen, muss man sich vergegenwärtigen, dass alle bis dahin veröffentlichten mineralogischen Schriften russischer Forscher, so gewissenhaft und sorgfältig sie die Vorkommensweise und die äusseren Merkmale, auch wohl die chemische Zusammensetzung der Mineralien behandeln, sie doch kaum auf das Wesen der Sache — die krystallographische Untersuchung derselben eingehen; sie gehören noch ganz dem naiven Jünglingstadium der Mineralogie an. Mit dem Erscheinen des ersten Bandes der Materialien änderte sich dies wie mit einem Schlage — das russische mineralogische Studium betritt zum ersten Mal den Weg zielbewusster methodischer Forschung. Nikolai Iwanowitsch von Kokscharow ist also in des Wortes vollster Bedeutung als erster Vertreter der streng wissenschaftlichen Mineralogie in Russland anzusehen. Die Ueberzeugung, mit welcher er diesen Weg einschlug, hat er selbst in die Worte gekleidet¹⁾ «dass nur wiederholte, mit äusserster Genauigkeit angestellte goniometrische Bestimmungen die Grundlagen zu liefern im Stande sind, auf welcher sich die Kenntniss der Gesetze der Krystallbildung aufbauen kann». Wie genau und streng gegen

¹⁾ Kurze Biographie N. I. v. Kokscharow's in der zum Andenken an sein 50-jähriges Dienstjubiläum verfassten Schrift.

sich selbst er dabei zu Werk ging, das beweisen am besten die zahlreichen Nachträge, in denen er immer wieder auf dasselbe Mineral zurückkam, sobald es ihm gelungen war an neuen Exemplaren vollständigere oder schärfere Beobachtungen anzustellen. Mehr, als 200 in Russland angetroffene Mineralspecies hat N. I. in seinen Materialien in grösster Vollständigkeit beschrieben, darunter viele, die von ihm selbst zuerst in Russland entdeckt worden sind (Euklas, Brookit, Kupferglimmer, Wollastonit u. a.) und auch solche (Bagracionit, Ilmenorutil, Kotschubeit, Klinochlor, Waluewit und Mursinskit), die überhaupt neu waren.

So sind denn die Materialien zur Mineralogie Russlands mit ihrer überwältigenden Fülle der genauesten mit peinlichster Sorgfalt angestellten Beobachtungen und deren Deutung schon längst zu einem der unentbehrlichsten Nachschlagewerke auf dem Tisch eines Jeden geworden, der, wo es auch sei, sich ernstlichen mineralogischen Forschungen hingiebt. Aber auch der Anfänger wird aus dem so anschaulich klaren und mit so viel warmer Hingebung verfassten Werk reiche Belehrung und zugleich hohe Begeisterung für sein Fach schöpfen. Ja, selbst in dem gänzlich Uneingeweihten muss das so ausgeprägte Anerkennen fremder Leistungen und die so rücksichtsvolle Sachlichkeit Irrthümern gegenüber, wie sie den Grundzug dieses Werks bilden, eine Ahnung von der wahren Grösse seines Autors erwecken.

Ausser den Materialien zur Mineralogie Russlands hat der Verstorbene noch den 1. Theil seiner Vorlesungen über Mineralogie in russischer und deutscher Sprache herausgegeben, ein Lehrbuch, in welchem die Krystallographie nach Naumann's System mit der dem Verstorbenen bei allen seinen Darlegungen eigenthümlichen Anschaulichkeit und Klarheit behandelt ist und welches daher von den Studierenden noch lange Jahre nachher mit Vorliebe benutzt worden ist. Nicht unerwähnt dürfen wir auch seinen «Catalog russischer in der Sammlung des Berginstituts befindlicher Topaze» lassen, welcher unter diesem bescheidenen Titel eine geradezu erschöpfende Abhandlung über sämmtliche Vorkommnisse dieses schönen Minerals in Russland bietet.

Selbst in diesen skizzenhaften dem Andenken unseres grossen Verstorbenen gewidmeten Zeilen darf die Thätigkeit nicht unerwähnt bleiben, welche N. I. v. Kokscharow als Director der Kaiserlich-Russischen Mineralogischen Gesellschaft entfaltet hat. Lange lange Jahre ist er in dieser Stellung so eigentlich die Seele all' der wissenschaftlichen Unternehmungen gewesen, welche namentlich auf geologischem Gebiet seitens der Gesellschaft ausgeführt worden sind. Als er daher im Jahre 1891 zum Leidwesen aller Mitglieder angesichts seines leidenden Zustandes und seiner dahinschwindenden Kräfte von seinem Posten zurücktrat, war es eigentlich selbstverständlich, dass er auf allgemeinen Wunsch zum Ehrendirector erwählt wurde. Schon früher, gelegentlich seines 50-jährigen Dienstjubiläums hatte die Gesellschaft zum Andenken an diesen Ehrentag ihres hochgeschätzten Directors eine Medaille mit seinem Bildniss gestiftet.

Wie seine wissenschaftliche Stellung Anderen gegenüber sich durch ungewöhnlich ausgeprägtes Wohlwollen und Nachsicht charakterisirt, so war er auch im amtlichen Verkehr ein stets wohlmeinender und hilfsbereiter Vorgesetzter, der, wenn er einmal Diesem oder Jenem Unrecht gethan zu haben meinte, es auch dem Geringsten gegenüber nie unterliess, solches in ausgiebigster Weise wieder gut zu machen.

Wer Gelegenheit gehabt hat dem Verstorbenen im Privatverkehr näher zu treten, der wird uns voll zustimmen, wenn wir sagen, dass es nicht leicht wäre einen so liebenswürdigen, heiteren und so anregenden Gesellschafter zu finden, wie der Verstorbene es bis zu seiner letzten Stunde gewesen.

Die streng wissenschaftliche Forschung, so erhaben der Verstorbene das Banner derselben auch stets gehalten hat, konnte eine so hochbegabte und vielseitig angelegte Natur allein nicht ausfüllen — in seinen Mussestunden gab sich Nikolai Iwanowitsch gern Kunstgenüssen hin, denen er ein feines inneres Verständniss und künstlerische Veranlagung entgegenbrachte. Er liebte es sich mit wahren Kunstzeugnissen zu umgeben und war auch hierin ein feiner Kenner und eifriger Sammler. Auch der Dichtkunst ist er nicht fern geblieben,

wenn auch seine Lieder nur für einen engeren Kreis seiner Bekannten bestimmt waren. In der «Russkaja Starina» 1890 hat er seine höchst interessanten Erinnerungen, leider nur bis zum Jahr 1859 niedergelegt, in denen uns der Charakter jener Zeit und viele hervorragende Persönlichkeiten aus derselben, zumeist Gelehrte, wie Murchison, de Verneuil, Humboldt, L. v. Buch, Weiss, G. A. Jossa u. A. in lebendigster Schilderung vorgeführt werden.

Der Verstorbene unterhielt eine sehr ausgebreitete Correspondenz, die sicher einen interessanten Beitrag zur Chronik der Gelehrtenwelt in den letzten vierzig Jahren liefern würde. Er war Ritter des Alexander Newsky-Ordens mit Brillanten und war wiederholt auch von ausländischen Regierungen durch Ordensverleihungen ausgezeichnet worden. Nicht weniger, wie 8 ausländische Akademien hatten ihn in ihre Mitte aufgenommen und er gehörte 19 russischen und 11 auswärtigen gelehrten Gesellschaften als Mitglied an.

Das Andenken an den verstorbenen Nikolai Iwanowitsch von Kokscharow wird in uns Allen, die wir ihn persönlich kannten, auf's treueste bewahrt bleiben, seinem Namen hat er in seinen Werken ein unvergängliches Denkmal gesetzt, zu dem auch kommende Geschlechter mit Verehrung und Bewunderung aufschauen werden.

Register zum elften Bande.

	Seite.		Seite.
A.		T.	
Aragonit (dritter Anhang)	5	Titaneisenerz (fünfter Anhang) . .	125
B.		W.	
Baryt (erster Anhang)	126	Weissbleierz (zweiter Anhang) . .	38

Nekrolog des verstorbenen Verfassers, Akademikers und Berg-Ingenieurs, N. v. Kokscharow	129
--	-----

REGISTER

ZU DEN ELF BÄNDEN

DER

MATERIALIEN ZUR MINERALOGIE RUSSLANDS

VON

N. von KOKSCHAROW.

1853—1892.

2000

2000

2000

.

2000

.

.

.

A.

	Seite. Bd.		Seite. Bd.
Achmatit	272 III	Anatas (erster Anhang)	256 VI
Achтарандит	324 V	„ (zweiter „)	151 VII
Adiaphan-Spath	164 VIII	Andalusit	164 V
Adular	120, 126 u. 330 V	Ankerit	8 VII
Aeschnyt	384 III	Anomit	7 u. 11 VIII
„ (erster Anhang)	53 IV	Anorthisches Melanerz	346 III
„ (zweiter „)	100 IV	Anorthit	200 IV
„ (dritter „)	85 V	„ (erster Anhang)	111 V
„ (vierter „)	104 V	„ (zweiter „)	244 IX
„ (fünfter „)	115 VIII	Antimonglanz	161 II
Akantikonit (Akantikon)	271 III	Antrakonit	69 VII
Aktinolith	161, 164 u. 167 VIII	Apatit	39 II
Aktinot	164 u. 167 VIII	„ (erster Anhang)	189 II
Alexandrit	56 IV	„ (zweiter „)	363 II
Allagit	177 IV	„ (dritter „)	86 III
Allanit	346 III	„ (vierter „)	192 III
Allochroit	10 III	„ (fünfter „)	44 IV
Almandin	9 III	„ (sechster „)	76 V
Altait	186 II	„ (siebenter „)	86 V
Amazonenstein 120, 126, 128 u. 329	V	Aplom	10 III
Amiant	166, 167 u. 222 VIII	Aragonit	261 VI
Amphibol	159 u. 168 VIII	„ (erster Anhang)	218 VII
„ (erster Anhang)	247 VIII	„ (zweiter „)	341 VIII
„ (zweiter „)	411 VIII	„ (dritter „)	5 XI
Amphodelit	254 IV	Arendalit	271 III
Analcim	91 III	Asbest	166, 168, 208 u. 221 VII
„ (erster Anhang)	236 III	Aschirit	286 VI
„ (zweiter „)	191 V	Asperolit	102 V
„ (dritter „)	321 VIII	Auerbachit	163 III
Anatas	44 I	Augit	274 u. 281 IV

II

B.

	Seite.	Bd.
Bagrationit	346 u. 357	III
„	112	IV
Baikalit	278	IV
„	235	VIII
Barsowit	207	I
„ (erster Anhang)	148	VIII
Baryt	25	VII
„ (erster Anhang)	126	XI
Basaltische Hornblende	161, 166 u.	
	168	VIII
Beilstein	164 u. 168	VIII
Bergholz	222	VIII
Bergkork	167 u. 222	VIII
Bergleder	167 u. 222	VIII
Beryll	147	I
„ (erster Anhang)	356	II
„ (zweiter „)	243	III
„ (dritter „)	125	IV
„ (vierter „)	258	IV
„ (fünfter „)	94	VI
„ (sechster „)	223	VIII
Biotit	115 u. 296	II
Bissolith	166 u. 168	VIII
Blei, gediegenes	236	VI

	Seite.	Bd.
Bleiglanz	285	II
Bleivitriol	34	I
„ (erster Anhang)	167	II
Böhmischer Granat	11	III
Bohnerz	112	V
Boloneserspath	26	VII
Bournonit	123	VIII
Brauneisenerz	111	V
Braunspath	7	VII
Breunnerit	181	VII
„ (erster Anhang)	221	VII
Brochantit	260	III
Brookit	61	I
„ (erster Anhang)	79	II
„ (zweiter „)	273	II
„ (dritter „)	204	VI
„ (vierter „)	88	IX
Brucit	111	II
„ (erster Anhang)	272	II
„ (zweiter „)	104	IV
Bucklandit	272 u. 289	III
„	37 u. 112	IV
Bustamit	176	IV

C.

Calcit	59	VII
Caledonit	40	IX
Cancrinit	78	I
„ (erster Anhang)	81	I
„ (zweiter „)	77	II
„ (dritter „)	76	III
Captivos	118	IV
Carbunculus	11	III
Cerin	348	III
Cerium, oxydé siliceux noir	346	III
Cerium phosphaté	7	IV
Cerussit	103	VI

Ceylanit	213	I
Chalkolith	35	V
Chalkophyllith	108	V
Chalkopyrit	131	IV
Chiastolith	166 u. 170	V
Chiolith	389	IV
„ (erster Anhang)	343	VIII
Chlorit	9	II
Chloritoid	357	II
Chlorospinell	211	I
„	368	V
Chlorsilber	283	II

	Seite.	Bd.
Chodnewit	397	IV
„ (erster Anhang)	343	VIII
Chondrodit	61 u. 73	VI
Christianit	202	IV
Chromeisenerz	262	II
„ (erster Anhang)	161	V
Chrysoberyll	54	IV
„ (erster Anhang)	113	V
„ (zweiter „)	225	VI
„ (dritter „)	238	X

	Seite.	Bd.
Chrysokoll	67	V
Chrysolith	12	V
„ (erster Anhang)	5	VI
„ (zweiter „)	216	VII
„ (dritter „)	387	VIII
Coelestin	2	V
Columbit	261	X
Cumingtonit	165 u. 168	VIII
Cymophan	72	IV

D.

Datolith	139	VIII
Demantoid	310	VIII
Demidowit	72	V
„ (erster Anhang)	316	V
Diamant	373	V
„ (erster Anhang)	188	VI
„ (zweiter „)	249	VI
„ (dritter „)	152	VII
„ (vierter „)	82	X
„ (fünfter „)	324	X
Diamantspath	30	I
Diaphorit	177	IV
Diaspor	169	III

Diaspor (erster Anhang)	44	V
„ (zweiter „)	372	V
Dichroit	255	III
Dimagnetit	50	III
Diopsid	269	IV
„	284	VIII
Dioplas	285	VI
„ (erster Anhang)	218	VII
Dolomit	5	VII
„ (erster Anhang)	212	VII
Doppelsalz aus Bromnatrium und bromsaurem Natron	282	VIII
Dyssnit	177	IV

E.

Edler Granat	9	III
Edwardsit	7	IV
Eichwaldit	257	X
Einaxiger Glimmer	115	II
Eisen-Epidot	270	III
Eisenglanz	3	I
Eisenkies	190	VII
Eisenmulm	49	III
Eisenniery	112	V
Eisenplatin	177	V
Eisen-Thon-Granat	14	III
Eisspath	120	V
Elaolith	158	I
Elektrum	322	VI
Engelhardt	150	III

Epidot	268	III
„ (erster Anhang)	106	IV
„ (zweiter „)	75	V
„ (dritter „)	366	V
„ (vierter „)	297	VI
„ (fünfter „)	43	VIII
Eremit	7	IV
Eudialyt	29	VIII
Euklas	97	III
„ (erster Anhang)	51	IV
„ (zweiter „)	100	IV
„ (dritter „)	104	X
„ (vierter „)	225	X
Eukolit	29	VIII

IV

F.

	Seite. Bd.		Seite. Bd.
Fahlerz	96 IV	Finbo-Orthit	346 III
„ (erster Anhang)	369 V	Fischerit	31
Faluhn-Orthit	346 III	„ (erster Anhang)	23 VII
Faserkalk	69 VII	Flussspath	197 V
Feldspath . 115, 120, 123 u. 334	V	Forsterit	14 V
Feldstein	120 V	Fowlerit	176 IV

G.

Galitzinit	11 III	Glimmer (achter Anhang)	420 VIII
Gelbbleierz	394 VIII	Glinkit	15 V
„ (erster Anhang)	87 IX	Gold, gediegenes	321 VI
Gemeiner Granat	9 III	Grammatit 163 u. 168	VIII
Gemeiner Orthit	362 III	Granat	7 III
Glaskopf	112 V	„ (erster Anhang)	79 III
Glaukolith	304 II	„ (zweiter „)	230 III
Glimmer	113 II	„ (dritter „)	310 VIII
„ (erster Anhang)	291 II	Granatit	10 III
„ (zweiter „)	46 V	Graphit	153 IV
„ (dritter „)	167 VII	„ (erster Anhang)	249 VI
„ (vierter „)	177 VII	Greenokit	125 VIII
„ (fünfter „)	222 VII	Grönlandit	10 III
„ (sechster „)	225 VII	Grossular 9, 29 u. 80	III
„ (siebenter „)	5 VIII		

H.

Harter Fahlunit	255 III	Hornerz	284 II
Hedenbergit	262 IV	Hornmangan	177 IV
Helvin	320 V	Humit	61 VI
Herderit	136 X	„ (erster Anhang)	205 VI
Hermannit	176 IV	Hyacinth	140 III
Hessit	181 II	Hyalosiderit	13 V
Honigstein	218 III	Hydrargillit	88 IV
Hornblei 118 u. 168	VIII	„ (erster Anhang)	398 IV
Hornblende 161, 165, 205 u. 206	VIII	Hydroboracit	173 VII
„ (basaltische) 166,		Hydropit	177 IV
168. 212, 213 u. 215	VIII		

J.

	Seite.	Bd.
Jade	164	VIII
Jadeit	164	VIII
Jargon	140	III
Jarosit	242	VI
„ (erster Anhang)	227	VIII
Jeffersonit	262	IV
Jeremejewit	241	X
Jewreinowit	116	I
Ilmenit	17	I
„ (Anhänge)	351 u. 407	VI
Ilmenorutil	352	II

	Seite.	Bd.
Ilmenorutil	198	V
Jodoform	248	VIII
Jogynait	321	VI
Iolith	255	III
Iridium, gediegenes	242	VI
Isonitrophensäure	263	VIII
1. Freie Säure	263	VIII
2. Neutrales Natriumsalz mit 8 Aequiv. Krystallwasser	275	VIII
3. Aethylsalz	280	VIII

K.

Kalamit	163 u. 168	VIII
Kalkspath	69	VII
Kalkstein	70	VII
Kalktuff	70	VII
Kalk-Chrom-Granat	37	III
Kalk-Eisen-Granat	32 u. 79	III
„	310	VIII
Kalk-Thon-Granat	23	III
Kallochrom	98	VII
Kämmererit	134	IV
„	55	V
Kaneelstein	9	III
Karelnit	137	IV
Karintin	165 u. 168	VIII
Kerolith	79	V
Kischtimparisit	40	IV
Klinochlor	7	II
„ (erster Anhang)	236	III
„ (zweiter „)	45	V
„ (Anhang)	5	X
Knollige phosphorsaure Kalk- erde	60	II
Kochsalz	170	VII
Königin, Königit	261	III
Kokkolith	280	IV
Kokscharowit	165, 207 u. 220	VIII
Kolophonit	9	III
Korund	23	I
„ (erster Anhang)	79	II

Korund (zweiter Anhang)	44	IV
„ (dritter „)	223	VI
Kotschubeit	132	IV
„ (erster Anhang)	369	V
„ (zweiter „)	92	VI
„	35	X
Kreide	70	VII
Krisuvigit	261	III
Krokoit	98	VII
Kryolith	386	IV
Krystallmessungen einiger künst- licher Producte	248	VIII
Krystallographische Bestim- mungen dreier von J. Fritsche und H. Struve erhaltenen Sub- stanzen	293	VIII
Kuboit	92	III
„	321 u. 322	VIII
Kulibinit	281	IV
Kupfer, gediegenes	209	VI
Kupferblau	71	V
Kupferglimmer	108	V
Kupfergrün	67	V
Kupferkies	130	IV
„ (erster Anhang)	277	VI
Kupfernickel	155	V
Kupferuranit	35	V
Kupferit 163, 164, 168, 206, 217, 218 u. 219		VIII

II.

	Seite.	Bd.
Laumontit	156	V
Lawrowit	109	V
„	164	VIII
Laxmannit	244	VI
Lazur-Feldspath	152	V
Lepidolith	125 u. 137	II
„	7 u. 18	VIII
Lepidomelan	7 u. 11	VIII
Lepolith	234	IV
Leuchtenbergit	28	V
„ (erster Anhang)	319	V

	Seite.	Bd.
Linarit	139	IV
„ (erster Anhang)	106	V
„ (zweiter Anhang)	206	V
„ (Bemerkungen und Ver- besserungen)	314	V
„ (dritter Anhang)	268	IX
Lindsagit	249	IV
Listwenit	12	VII
Lithionglimmer	125 u. 137	II
Luchssapphir	255	III

III.

Magnesit	237	III
„ (erster Anhang)	101	IV
Magnesitspath	183	VII
Magneteisenerz	47	III
„ (erster Anhang)	226	VIII
Magnetisches Platin 178, 180 u. 371		V
Magnetkies	126	IV
„ (erster Anhang)	400	IV
Malachitkiesel	67	V
Malakolit	262	IV
Manganepidot	270	III
Manganhornblende	176	IV
Mangankiesel	11	III
Margarit	7	VIII
Marmor	70	VII
Martit	50	III
Mejonit	105	II
„ (zweiter Anhang z. Wer- nerit)	255	VI
Melanochroit	119	IV
Melanit	9	III
Melichron-Harz	218	III

Mellit	217	III
Mengit	7	IV
Meroxen	7, 8, 14 u. 16	VIII
Meteorit von Nowo-Urei, Gou- vernement Pensa	82	X
Mizzonit	108	II
Molybdänglanz	267	II
„ (erster Anhang)	351	II
„ (zweiter „)	191	V
Monazit	5	IV
„ (erster Anhang)	200	VI
„ (zweiter „)	387	VI
„ (dritter „)	10	IX
„ (vierter „)	155	X
Monazitoid	32	IV
Mondstein	120	V
Morasterze	112	V
Moroxit	41 u. 45	II
„	46	IV
Mulmiges Magneteisenerz	49	III
Mursinskit	341	IX
Muscovit	7 u. 13	VIII

N.

	Seite. Bd.		Seite. Bd.
Nadelerz	238 III	Nitrophensäure und Isonitro-	
Neoktes	308 VI	phensäure, sowie auch einige	
Nephelin	155 II	Salze dieser Säure	250 VIII
„ (erster Anhang)	78 III	Nitrophensäure	251 VIII
„ (zweiter „)	247 IX	1. Freie Säure	251 „
Nephrit . . . 164, 168, 208 u. 411	VIII	2. Bariumsalz	254 „
Newjanskit	237 VI	3. Silbersalz	258 „
		Nordenskiöldit	163 u. 168 VIII

O.

Oisanit	272 III	Orthit	344 III
Olivin	12 V	„ (erster Anhang)	37 IV
„ (erster Anhang	5 VI	„ (zweiter „)	112 IV
z. Chrysolith)		Orthoklas	115 V
„	387 VIII	„ (erster Anhang)	329 V
Opsimos	177 IV	Osmiridium	237 VI

P.

Pachnolith	387 u. 396 IV	Perowskit (zweiter Anhang)	375 VII
„	425 VIII	„ (dritter „)	39 VIII
„ (Beitrag zu einer No-		„ (vierter „)	424 VIII
tiz über Krystallmes-		Phenakit	303 II
sungendes Pachnoliths)	5 IX	„ (erster Anhang)	81 III
Pajsbergit	176 u. 178 IV	„ (zweiter „)	329 V
Paligorskite	207 VIII	Phönikochroit	120 IV
Paralogit	187 III	Phönicit	120 IV
Paragonit	7 VIII	Phlogopit	7 u. 12 VIII
Pargasit 161, 165, 168, 210,		Phosgenit	118 VIII
211 u. 216 VIII		„ (erster Anhang)	143 VIII
Patrinit	239 III	Photicit	177 IV
Pechgranat	10 III	Phosphorchromit	247 VI
Pegmatolit	120 V	Piemontit	270 III
Peliom	255 III	Pistazit	272 u. 278 III
Perowskit	199 I	Pitkärandit . . . 166, 168 u. 210	VIII
„ (erster Anhang)	388 VI	Planerit	115 IV

VIII

	Seite.	Bd.
Platin, gediegenes	177	V
„ Eisen-	177	V
„ magnetisches	178	V
„ -Magnete	180 u. 371	V
„ -Magnete	143	VII
„ (erster Anhang)	371	V
„ (zweiter „)	143	VII
Poenammu	164	VIII
Polyadelphit	11	III
Polyxen	178	V
Porpezit (Palladium-Gold)	322	VI
Prismatischer Quarz	255	III
Pseudoskapolith	99	II
Psilomelan	65	V
Punamustein	164 u. 169	VIII
Puschkinit	272 u. 287	III

	Seite.	Bd.
Pyrenait	10	III
Pyrgom	262	IV
Pyrochlor	215	I
„ (erster Anhang)	84	V
Pyromorphit	364	II
„ (erster Anhang)	42	III
Pyrop	11	III
Pyrophyllit	164	II
Pyrrorhit	346	III
Pyroxmalit	351	II
Pyroxen	259 u. 281	IV
„ (erster Anhang)	109	V
„ (zweiter „)	206	VII
„ (dritter „)	234	VIII
Pyrrhit	222	I
Pyrrhotin	128	IV

Q.

Quarz	127	VIII
-----------------	-----	------

R.

Raphilit	165 u. 169	VIII
Ratofkit	199 u. 204	V
Rhodium-Gold	323	VI
Rhodizit	231	III
„ (erster Anhang)	422	VIII
Rhodochrom	59	V
Rhodonit	174	IV
Rhyakolith	146 u. 338	V
Ripidolith	9	II
Romanzowit	10	III
Rothbleierz	97	VII

Rothbleierz (erster Anhang).	423	VIII
Rotheisenstein	16	I
Rothhoffit	10	III
Rothkupfererz	84	I
Rutil	50	I
„ (erster Anhang)	352	II
„ (zweiter „)	213	III
„ (dritter „)	36	IV
„ (vierter „)	118	IV
„ (fünfter „)	193	V
„ (sechster „)	29	IX

S.

Sahlit	262	IV
Samarskit	189	IV
„ (erster Anhang)	82	V
„ (zweiter „)	146	VIII

Sanidin	153 u. 338	V
„ (erster Anhang)	338 u. 366	V
„ (zweiter „)	252	IX
Saphirin	214	I

IX

	Seite.	Bd.
Sarkolith	109	II
Schlackiger Granat	10	III
Schlackiges Magneteisenerz	49	III
Schmirgel	30	I
Schrifterz	165	X
Schwefel	368	VI
„ (erster Anhang)	244	VIII
Schwefelkies	190	VII
Schwefelkohlenaures Blei	76	I
Schwerspath	25	VII
Scorza	272	III
Seeerze	112	V
Serpentin	114	V
Silber	149	IV
Silberglanz	281	II
„ (erster Anhang)	191	V
Sisserskit	237	VI
Skapolith	85	II
„ wasserfreier	101	II
„ wasserhaltiger	100	II
Skolezit, wasserfreier	101	II
Skorodit	307	VI
„ (erster Anhang)	381	VII
Smaragd	180	I
„ (erster Anhang)	81	II

	Seite.	Bd.
Sodalith	224	I
„ (erster Anhang)	217	VII
Sonnenstein	120 u. 128	V
Speckstein	143	III
Speiskobalt	157	VII
Spessartine	11	III
Sphalerit	185	III
Spinell	211	I
„ (erster Anhang)	367	V
Staurolith	159	VII
„ (erster Anhang)	110	VIII
Steatit	143	IV
Steinheilith	255	III
Steinsalz	170	VII
Stilphnosiderit	158	V
Stinkflussspath	199	V
Stinkfluss	199	V
Strahlstein	164, 169, 209 u. 214	VIII
Strogonowit	92	II
„	95	II
Succinit	11	III
Sumpferze	112	V
Sundvikit	256	IV
Sylvanit	165	X

T.

Talk	141	IV
Talkapatit	78	V
Talkspath	183	VII
Tankit	111	V
Tellurblei	186	II
Tellursilber	181	II
Tetartoprismatisches Melan-Erz	346	III
Thallit	272	III
Thoneisenstein	112	V
Thulit	273	III
„	75	V
Titaneisen	16	I
„ (erster Anhang)	248	VI
„ (zweiter „)	350	VI
„ (dritter „)	407	VI
„ (vierter „)	216	VII
„ (fünfter „)	125	XI
Tomosit	177	IV

Topas	198	II
„ (erster Anhang)	344	II
„ (zweiter „)	195	III
„ (dritter „)	378	III
„ (vierter „)	34	IV
„ (fünfter „)	97	IX
„ (sechster „)	299	IX
„ (siebenter „)	229	X
„ (achter „)	330	X
Topazolith	10	III
Topfstein	143	IV
Trappeisenerz	49	III
Traversellit	166 u. 169	VIII
Tremolith	160, 163, 169 u. 214	VIII
Tschewkinit	150	II
„ (erster Anhang)	105	V
Türkis	83	IX

X

U.

	Seite, Bd.		Seite, Bd.
Uralit	275 IV		Uranoniobit 191 IV
„	166, 169 u. 222 VIII		Uranotantal 191 IV
Uralorthit	346 u. 353 III		Urdit 7 IV
Uranglimmer	35 V		Uwarowit 10 u. 37 III

V.

Vanadinit	370 II		Vesuvian 92 I
„ (erster Anhang)	44 III		„ (erster Anhang) 192 II
„ (zweiter „)	228 VIII		„ (zweiter „) 156 IX
Vauquelinit	345 VIII		Vietinghoffit 146 VIII
„ (erster Anhang)	355 VIII		Volborthit 145 IV
Verbindung von Pikrinsäure mit den Kohlenwasserstoffen des Steinkohlenöls	296 VIII		„ (erster Anhang) 267 IX

W.

Waluewit	346 VII		Wernerit (erster Anhang) 304 II
„	273 IX		„ (zweiter „) 94 III
Wasserfreier Skapolith	101 II		„ (dritter „) 187 III
„ Skolezit	101 II		„ (Anhang) 255 VI
Wasserhaltiger Skapolith	100 II		Wiluit 110 I
Wassersapphir	255 III		Wismuth, gediegenes 234 VI
Weissbleierz	100 VI		Wismuthglanz 193 V
„ (erster Anhang)	156 VII		Wolkonskoit 140 I
„ (zweiter „)	38 XI		Wollastonit 19 IX
Weisser Granat	9 III		Wolnyn 26 VII
Wernerit	82 II		Wulfenit 396 VIII

X.

Xanthophyllit	121 IV		Xanthophyllit (dritter Anhang) 10 IX
„ (erster Anhang)	155 VII		„ (vierter „) 273 IX
„ (zweiter „)	346 VII		Xanthorthit 346 III

Y.

	Seite. Bd.			Seite. Bd.
Yttrilmenit	190 u. 199		Yttrilmenit	83
	IV			V

Z.

Zeilanit	218		Zirkon (zweiter Anhang) . . .	85	IV
"	368		" (dritter ") . . .	108	V
Zinkblende	184		" (vierter ") . . .	218	VII
" (erster Anhang) . . .	22		" (fünfter ") . . .	321	X
Zinnober	257		Zoisit	273	III
Zinnwaldit	7 u. 12		"	159	V
Zirkon	189		Zweiaxiger Glimmer	121	II
" (erster Anhang) . . .	193				







Stanford University Libraries



3 6105 018 942 743

Locked
Stack

